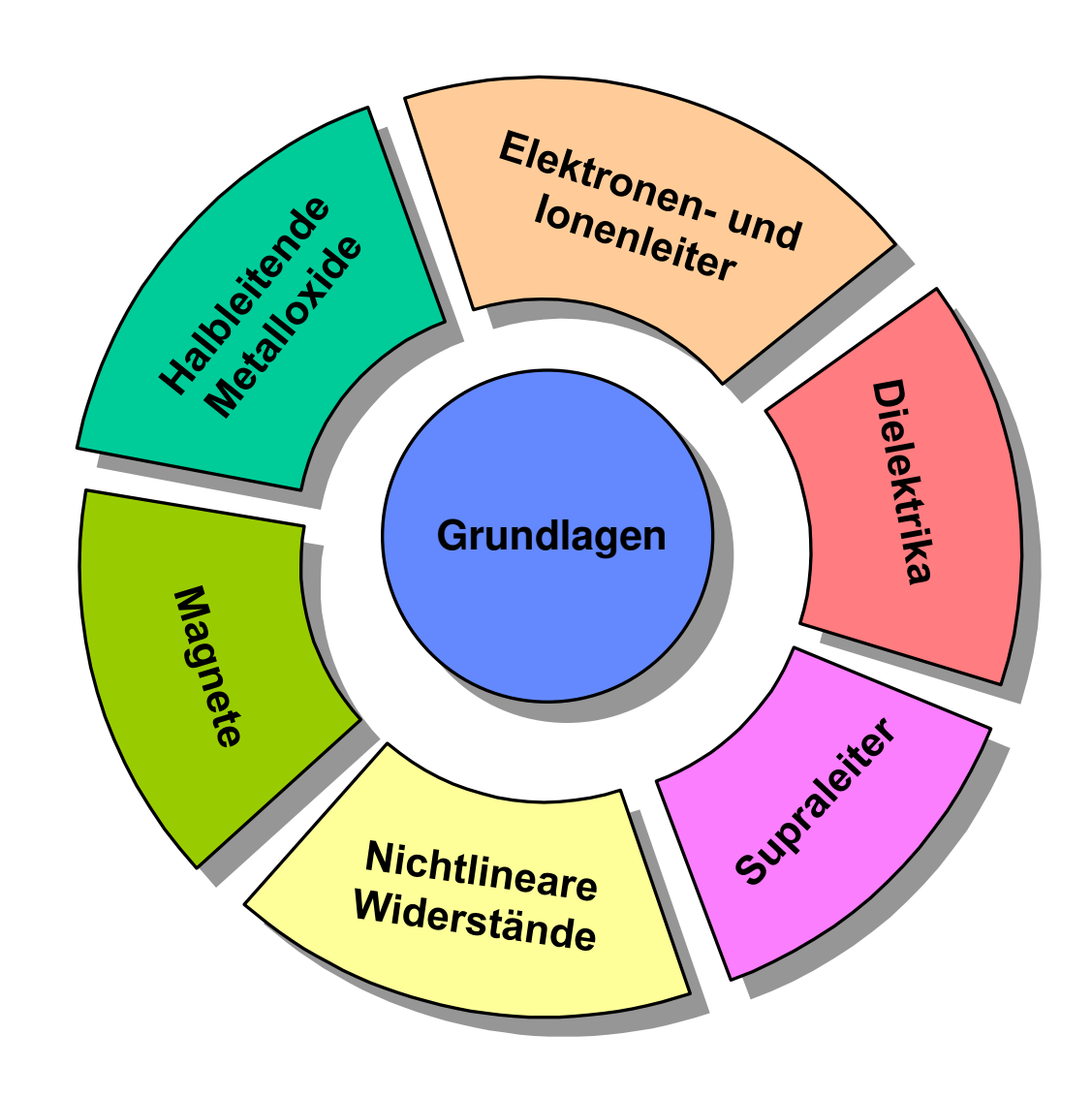
# Passive Bauelemente Sommersemester 2013 Einführung





### Passive Bauelemente Sommersemester 2013 Dozent



#### **Dozent**

Dr.-Ing. Wolfgang Menesklou

• Sekretariat: Forschungszentrum Umwelt, Geb. 50.40, Raum 319

Telefon: 0721/608-47491



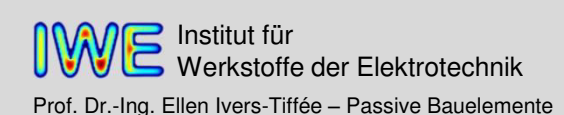
#### Forschungsgebiete am IWE

Materialentwicklung für und Modellierung von

- Brennstoffzellen
- Li-Ionen-Batterien
- Sensoren
- Gasseparationsmembranen

#### Weitere Lehrveranstaltungen des IWE

- Batterien und Brennstoffzellen (WS, SS)
- Sensoren (WS)
- Praktikum Sensoren und Aktoren (SS)
- Praktikum Batterien und Brennstoffzellen (WS, SS)
- Sensorsysteme (Integrierte-Sensor-Aktor-Systeme) (SS)
- Modellbildung elektrochemischer Systeme (SS)



# Passive Bauelemente Sommersemester 2013 Vorlesungsvertretung



#### Vorlesungsvertretung

Dr.-Ing. Stefan F. Wagner

• Büro: Forschungszentrum Umwelt, Geb. 50.40, Raum 315

• Telefon: 0721/608-48455

E-Mail: stefan.wagner@kit.edu

Dr.-Ing. André Weber

Büro: Forschungszentrum Umwelt, Geb. 50.40, Raum 314

• Telefon: 0721/608-47572

• E-Mail: andre.weber@kit.edu





# Passive Bauelemente Sommersemester 2013 Betreuung



#### **Betreuung**

Dipl.-Ing. Michael Schönleber

Büro: Forschungszentrum Umwelt, Geb. 50.40, Raum 351

• Telefon: 0721/608-46484

E-Mail: michael.schoenleber@kit.edu

Dipl.-Phys. Julian Szász

Büro: Forschungszentrum Umwelt, Geb. 50.40, Raum 351

• Telefon: 0721/608-41733

E-Mail: julian.szasz@kit.edu





#### Sprechstunden

Nach Vereinbarung – einfach anrufen oder E-Mail schreiben.

# Passive Bauelemente Sommersemester 2013 Saalübungen



#### **Organisation**

- •Es gibt acht Übungsstunden.
- •Übungen werden zu den normalen Vorlesungszeiten durchgeführt.
- Übungsblätter werden rechtzeitig vor der Übung ins Netz gestellt
- •Eine Terminübersicht aller Vorlesungen und Übungen kann unter dem Stichwort "Veranstaltungsplan" von der Vorlesungshomepage heruntergeladen werden.

## Passive Bauelemente Sommersemester 2013 Veranstaltungszeiten



**Gewicht**: 3 SWS 4,5 ECTS

**Zeit und Ort:** Dienstag, 11.30 – 13.00 Uhr, 90 min, Hörsaal Benz

Donnerstag, 8.00 – 9.30 Uhr, 90 min, Hörsaal MTI

Termin		Veranstaltung	Termin		Veranstaltung
Dienstag	16.04.2013	Vorlesung 1	Donnerstag	06.06.2013	frei
Donnerstag	18.04.2013	Vorlesung 2	Dienstag	11.06.2013	Vorlesung 7
Dienstag	23.04.2013	Übung 1	Donnerstag	13.06.2013	Vorlesung 8
Donnerstag	25.04.2013	Vorlesung 3	Dienstag	18.06.2013	Übung 5
Dienstag	30.04.2013	Vorlesung 4	Donnerstag	20.06.2013	Vorlesung 9
Donnerstag	02.05.2013	Übung 2	Dienstag	25.06.2013	Vorlesung 10
Dienstag	07.05.2013	Vorlesung 5	Donnerstag	27.06.2013	Übung 6
Donnerstag	09.05.2013	frei (Feiertag)	Dienstag	02.07.2013	Vorlesung 11
Dienstag	14.05.2013	Übung 3	Donnerstag	04.07.2013	Übung 7
Donnerstag	16.05.2013	frei	Dienstag	09.07.2013	Vorlesung 12
Dienstag	21.05.2013	frei (Pfingstwoche)	Donnerstag	11.07.2013	Übung 8
Donnerstag	23.05.2013	frei (Pfingstwoche)			
Dienstag	28.05.2013	Vorlesung 6			
Donnerstag	30.05.2013	frei (Fronleichnam)	Donnerstag	05.09.2013	Klausurtermin
Dienstag	04.06.2013	Übung 4			

## Passive Bauelemente Sommersemester 2013 Womit Sie lernen können ...



#### **PB Folienskript**

Die Vorlesungsfolien sind vor der jeweiligen Vorlesung unter http://www.iwe.kit.edu verfügbar.

Eine gebundene Version aller Folien ist ab sofort im Skriptenverkauf erhältlich.

#### Buch "Werkstoffe der Elektrotechnik" (Ellen Ivers-Tiffée)

Teubner (10te Auflage 2007, Preis 26,90 €, siehe Literaturliste).

#### Wir stellen Ihnen weiterhin zur Verfügung

- Übungsblätter
- Formelsammlung (für die Klausur gültige Fassung ab 12.04.2013)
- Alte Klausurjahrgänge
- Liste ausgewählter Literatur



# **Passive Bauelemente Sommersemester 2013 Internet**



#### Internetauftritt

Ankündigungen unter http://www.iwe.kit.edu

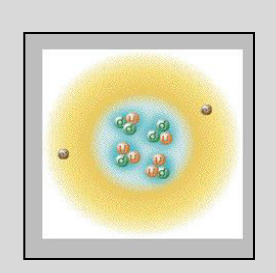
### **Zugang zum Download**

User: pb

Passwort: Fcenter13

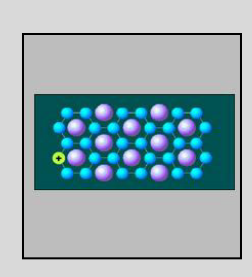
# Passive Bauelemente Sommersemester 2013 Vorlesungsinhalt





#### Kapitel 1: Aufbau von Atomen und Festkörpern

- 1.1 Atommodell
- 1.2 Periodensystem der Elemente
- 1.3 Chemische Bindungen
- 1.4 Ideale Kristalle
- 1.5 Kristallfehler und reale Festkörper
- 1.6 Exkurs in die Gibbs'sche Thermodynamik
- 1.7 Thermische und mechanische Aspekte

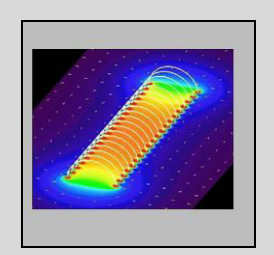


#### Kapitel 2: Leiterwerkstoffe und Ihre Bauelemente

- 2.1 Einführung
- 2.2 Klassische Bandleiter
- 2.3 Halbleitende Metalloxide
- 2.4 Elektronische Hoppingleiter
- 2.5 Ionische Hoppingleiter
- 2.6 Supraleiter

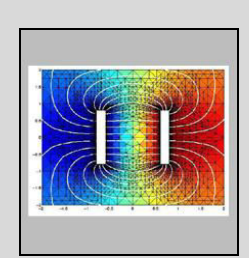
# Passive Bauelemente Sommersemester 2013 Vorlesungsinhalt





### Kapitel 3: Dielektrische Werkstoffe und Ihre Bauelemente

- 3.1 Einführung
- 3.2 Polarisationsmechanismen
- 3.3 Verhalten von Dielektrika im Wechselfeld
- 3.4 Piezoelektrische Werkstoffe
- 3.5 Ferroelektrische Werkstoffe
- 3.6 Pyroelektrische Werkstoffe
- 3.7 Kondensatoren



### Kapitel 4: Magnetische Werkstoffe und Ihre Bauelemente

- 4.1 Einführung
- 4.2 Grundlagen
- 4.3 Polarisationsmechanismen
- 4.4 Magnetische Hysterese
- 4.5 Verhalten von Magnetika im Wechselfeld
- 4.6 Bauelemente und Anwendungen

## Passive Bauelemente Sommersemester 2013 Ausgewählte Literatur



#### Vorlesungsbegleitend

- E. Ivers-Tiffée, W. von Münch, Werkstoffe der Elektrotechnik, Teubner, 10. Aufl. 2007
- G. Fasching, Werkstoffe für die Elektrotechnik, Springer, 4. Aufl. 2005

#### Kapitel 1

- P. W. Atkins, J. de Paula, *Physikalische Chemie*, Wiley-VCH, 4. Aufl. 2006 (Standardwerk)
- C. E. Mortimer, U. Müller, *Chemie*, Thieme, 10. Aufl. 2010 (Vertiefung in anorganischer Chemie)
- P. A. Tipler, G. Mosca, *Physik*, Spektrum, 6. Aufl. 2009 (relativ eingängige Darstellung)

#### Kapitel 2

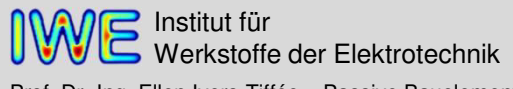
- W. Heywang (Hrsg.), Amorphe und polykristalline Halbleiter, Springer, 1984
- M. Reisch, *Elektronische Bauelemente*, Springer, 2. Aufl. 2007 (Nachschlagewerk)
- H. Schaumburg (Hrsg.), Keramik, Teubner, 1994
- O. Zinke, H. Seither, Widerstände, Kondensatoren, Spulen und ihre Werkstoffe, Springer, 2. Aufl. 1982

#### Kapitel 3

- M. Reisch, *Elektronische Bauelemente* (s.o.)
- O. Zinke, H. Seither, Widerstände, Kondensatoren, Spulen und ihre Werkstoffe (s.o.)

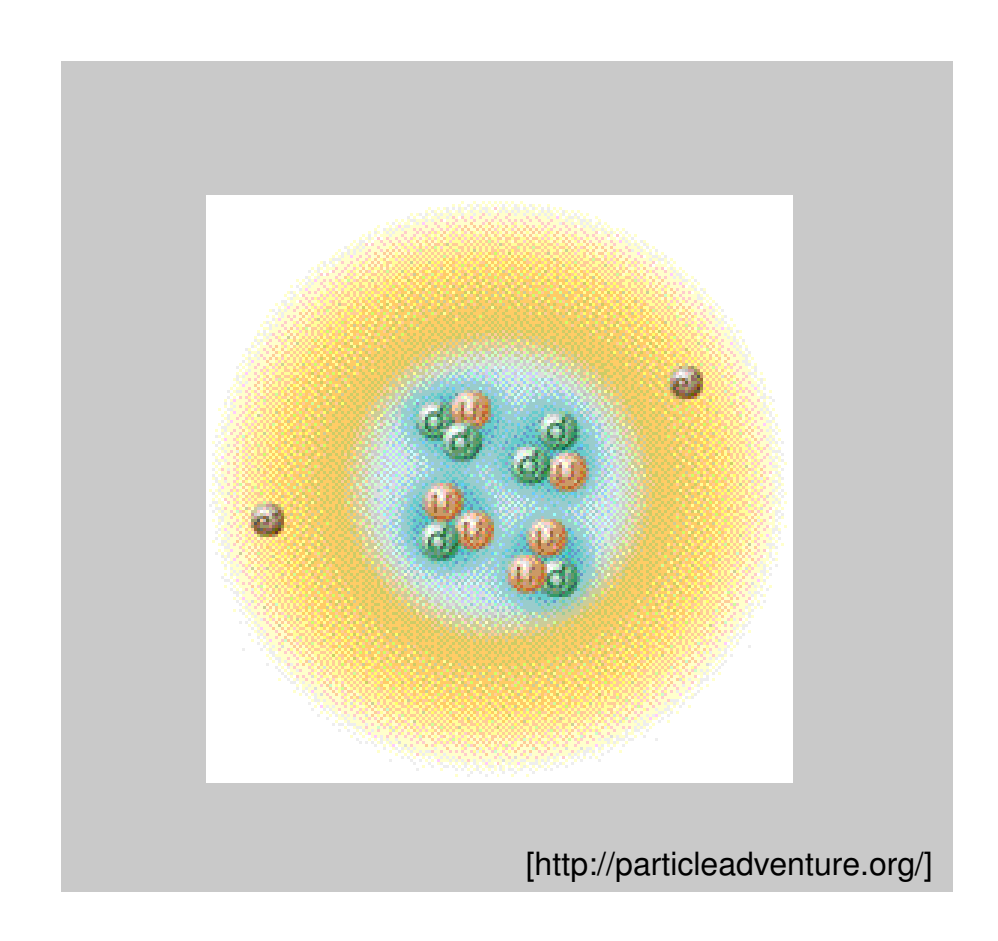
#### Kapitel 4

• W. von Münch, Elektrische und magnetische Eigenschaften der Materie, Teubner, 1987



# Kapitel 1 Aufbau von Atomen und Festkörpern





# Kapitel 1 Aufbau von Atomen und Festkörpern



1	.1	Atommodell

- 1.2 Periodensystem der Elemente
- 1.3 Chemische Bindungen
- 1.4 Ideale Kristalle
- 1.5 Kristallfehler und reale Festkörper
- 1.6 Exkurs in die Gibbs'sche Thermodynamik
- 1.7 Thermische und mechanische Aspekte



# 1.1 Atommodell Einige Wegbereiter





Niels Bohr \* 1885 † 1962

1913

Elektronen bewegen sich auf Kreisbahnen um den Atomkern



Erwin Schrödinger \* 1887 † 1961

1926

Formuliert Wellengleichung (,Schrödingergleichung')



Wolfgang Pauli \* 1900 † 1958

1925

Ausschlussprinzip (,Pauli-Prinzip')



# 1.1 Atommodell Bohrsches Atommodell



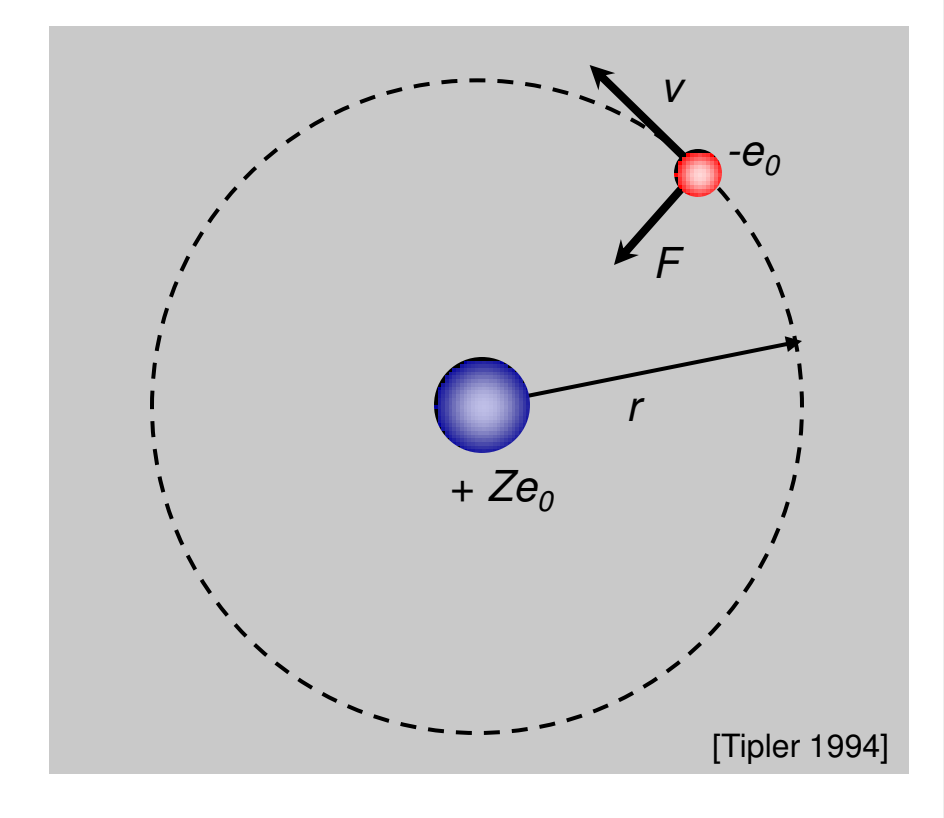
 Positiv geladener Atomkern (+ Ze<sub>0</sub>) besteht aus Protonen und Neutronen.

$$d_{\text{Kern}} \approx 10^{-15} \text{ m}$$
  
 $d_{\text{Atom}} \approx 0.8 \cdot 10^{-10} \dots 3 \cdot 10^{-10} \text{ m}$ 

• Negativ geladenes Elektron ( $-e_0$ ) umläuft Atomkern auf diskreten Kreisbahnen.

$$|F| = \frac{1}{4\pi\varepsilon_0} \frac{Ze_0^2}{r^2} = \frac{m_e v^2}{r}$$

Coulomb-Kraft = Zentripetalkraft



**Problem**: Gemäß Elektrodynamik verliert beschleunigtes Elektron (Rotation) Strahlungsenergie.

## 1.1 Atommodell Bohrsche Postulate



**Lösung**: Bohr postuliert (1913)

**1.** Nicht alle aufgrund der klassischen Mechanik möglichen Bahnen sind erlaubt, sondern nur solche, für die der Drehimpuls  $L = m_e vr$  ein ganzzahliges Vielfaches der Größe  $\hbar = h/2\pi$  ist.

- 2. Auf den erlaubten
  Bahnen finden die Gesetze
  der Elektrodynamik keine
  Anwendung. Die Bewegung
  des Elektrons erfolgt
  strahlungslos.
- **3.** Ein Übergang zwischen zwei erlaubten Bahnen erfolgt unter Emission oder Absorption eines Photons. Dabei gilt  $vh = E_1 E_2$ .

[Rudden 1995]

Bohr konnte mit seinem Atommodell u.a. das Spektrum des Wasserstoffatoms korrekt vorhersagen.

# 1.1 Atommodell Schrödinger-Gleichung der Quantenmechanik



Im Doppelspaltexperiment entwickeln Elektronen Wellencharakter (Interferenz).

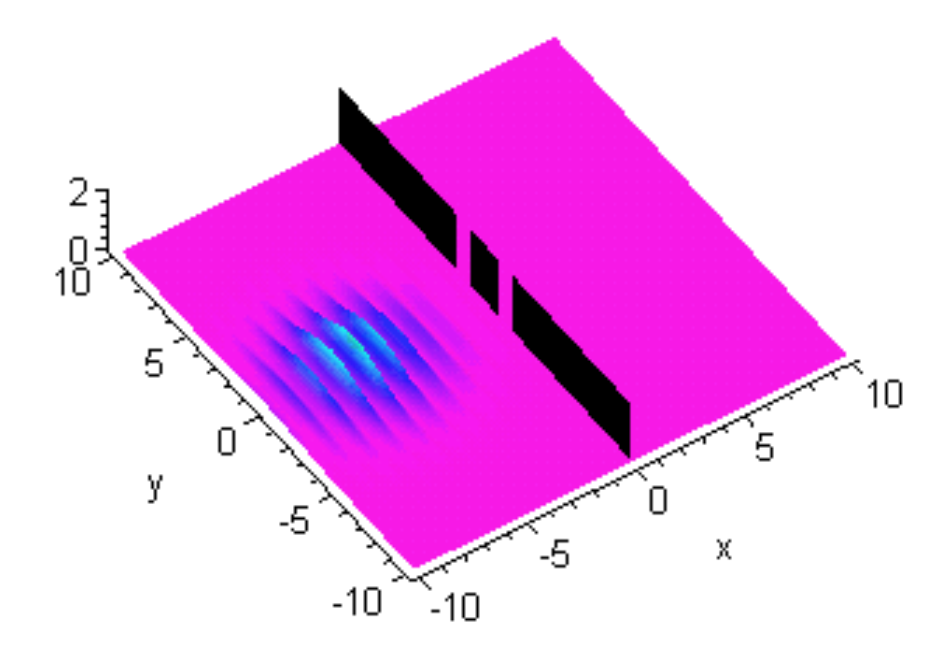
→ Welle-Teilchen-Dualismus

#### Geburt der Quantenmechanik

Schrödinger formuliert 1926 eine Gleichung für die Wellenfunktion  $\psi$  zur Beschreibung der Bewegung massebehafteter Teilchen.

$$-\left(\frac{\hbar^2}{2m}\right)\frac{\partial^2\Psi}{\partial x^2} + V\Psi = i\hbar\frac{\partial\Psi}{\partial t}$$

Aufenthaltswahrscheinlichkeit des Teilchens am Ort x ist  $|\Psi(x)|^2 dx$ 



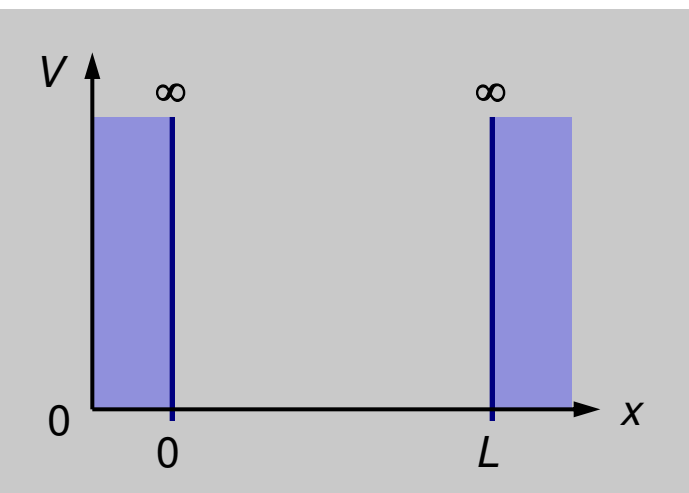
[http://www.ikg.rt.bw.schule.de]

Prof. Dr.-Ing. Ellen Ivers-Tiffée – Passive Bauelemente

## 1.1 Atommodell

### Elektron im Potentialtopf mit unendlich hohen Wänden (1)





Im Inneren des Potentialtopfs gilt die zeitunabhängige Schrödinger-Gleichung mit V = 0.

$$-\left(\frac{\hbar^2}{2m}\right)\frac{\partial^2\Psi}{\partial x^2} = E\Psi$$

[Rudden 1995]

Die Lösung ist die Wellenfunktion:

$$\Psi_n(x) = \sqrt{\frac{2}{L}} \sin\left(\frac{n\pi x}{L}\right)$$

 $\psi_n$  existiert nur für diskrete Werte der Energie E, die Eigenwerte:

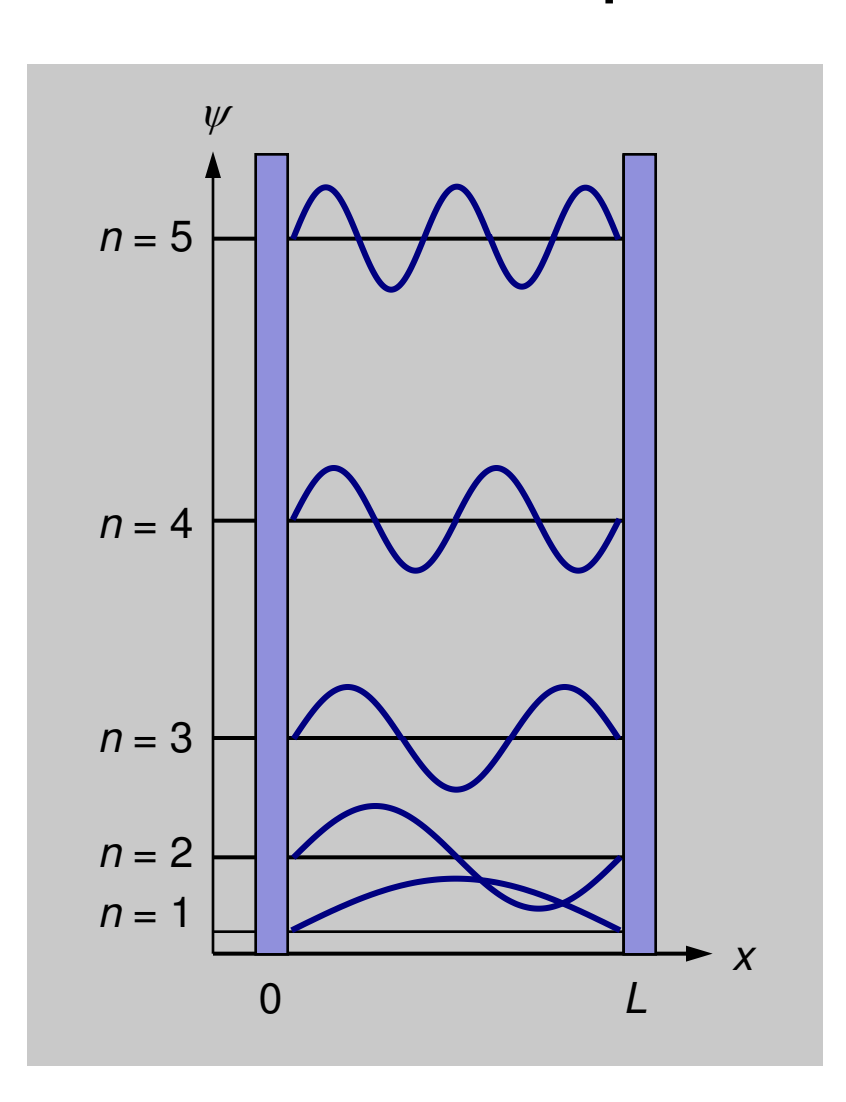
$$E_n = \frac{n^2 h^2}{8mL^2}$$
  $(n = 1, 2, 3, ...)$ 

→ Die Quantisierung der Energie ergibt sich zwanglos (n: sog. Quantenzahl).

Nullpunktsenergie: 
$$E_1 = \frac{h^2}{8ml^2}$$

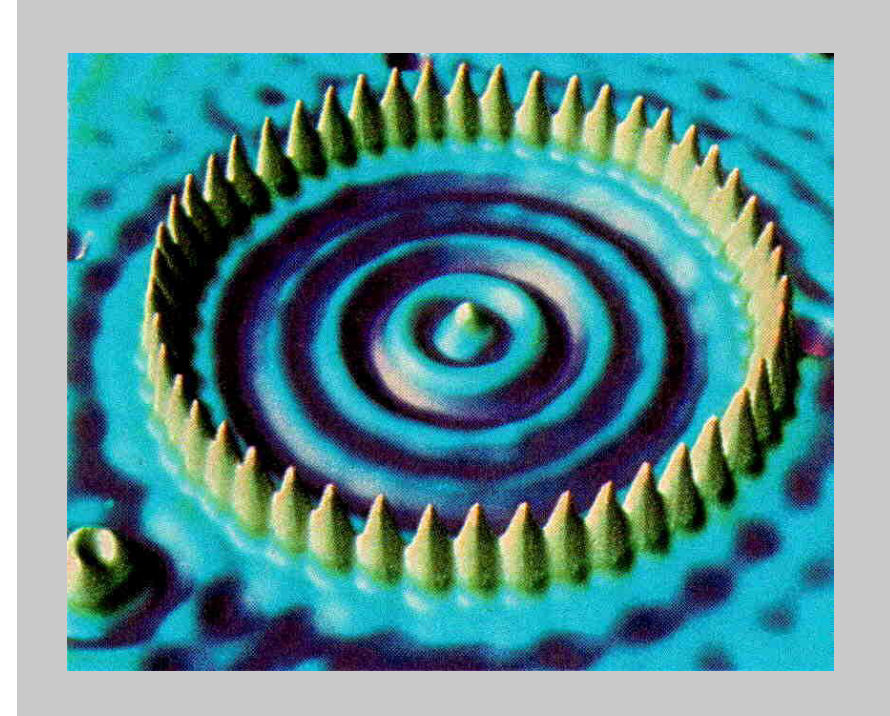
# 1.1 Atommodell Elektron im Potentialtopf mit unendlich hohen Wänden (2)





Stehende Elektronenwellen (Leitungselektronen in Cu-Substrat) in einem Ring von ca. 50 Fe-Atomen.

Verfahren: Rastertunnelmikroskopie

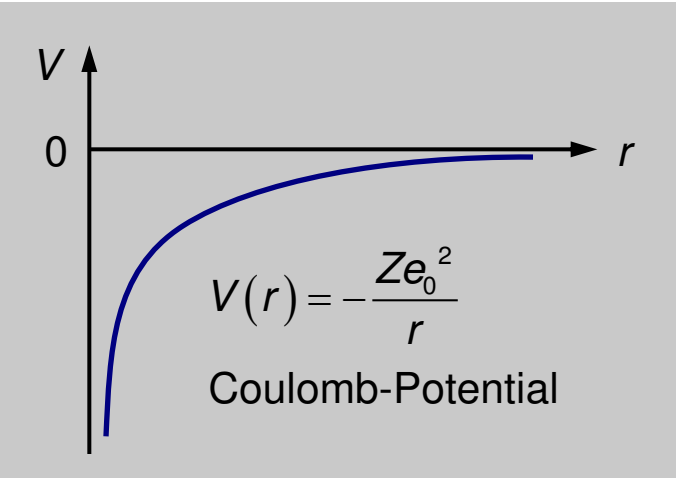


[Tipler 1994]

## 1.1 Atommodell

### **Elektron im Zentralpotential (Potential eines Atomkerns)**





Die zeitunabhängige Schrödinger-Gleichung wird zunächst auf Kugelkoordinaten transformiert.

$$-\left(\frac{\hbar^{2}}{2m}\nabla^{2}+V(r)\right)\psi(r,\Theta,\Phi)=E\psi(r,\Theta,\Phi)$$

Ein Separationsansatz gemäß

$$\Psi(r,\Theta,\varphi) = R(r)f(\Theta)g(\varphi)$$

löst die Schrödinger-Gleichung.

Die möglichen Lösungen für  $\psi(r,\Theta,\varphi)$  werden durch drei ganzzahlige, voneinander abhängige Quantenzahlen n, l, m festgelegt.

$$n = 1, 2, 3 ...$$
  
 $l = 0, 1, 2 ... (n - 1)$   
 $m = 0, \pm 1, \pm 2 ... \pm l$ 

[Tipler 1994]

Prof. Dr.-Ing. Ellen Ivers-Tiffée – Passive Bauelemente

# 1.1 Atommodell Orbitale der Atome

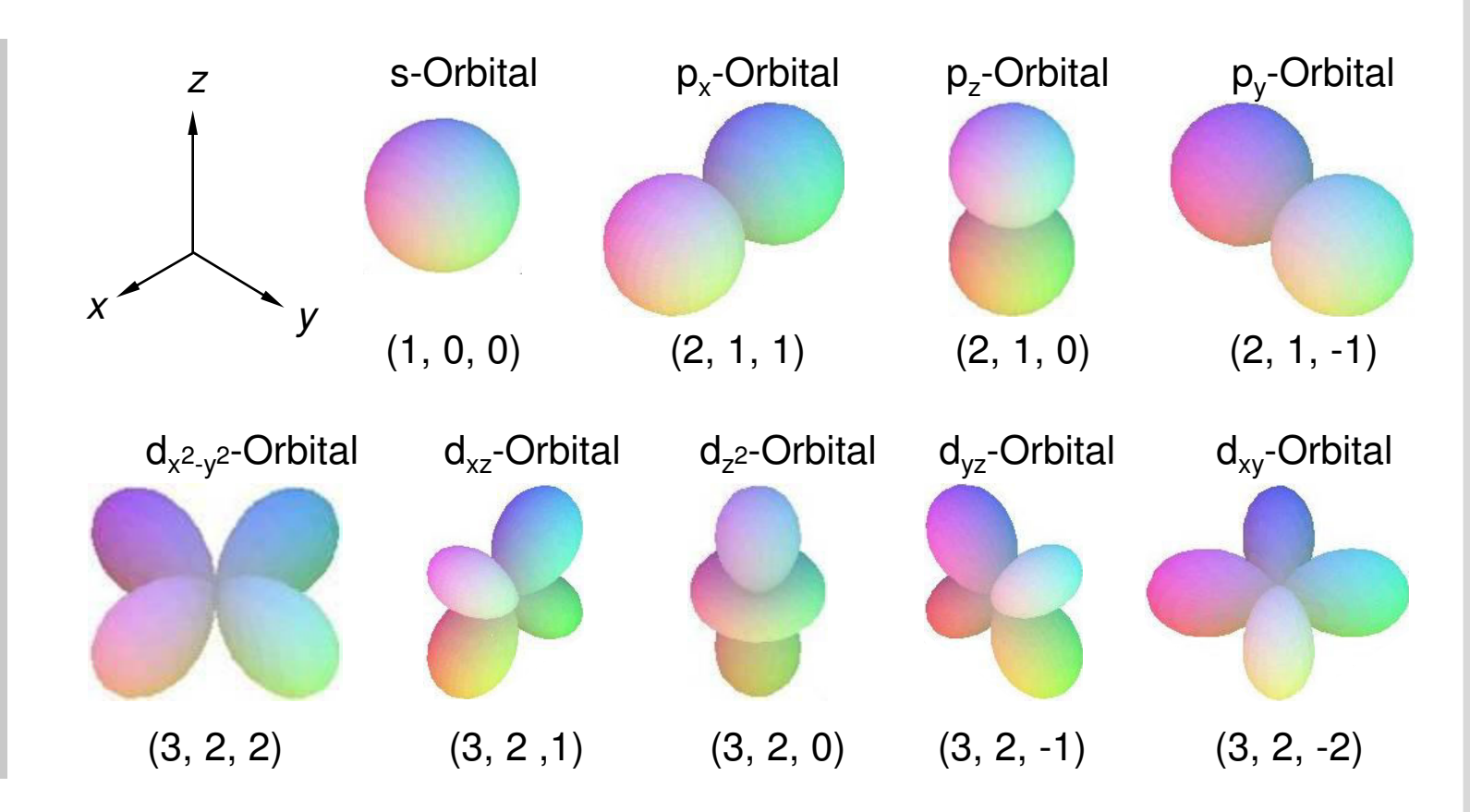


#### **Orbitale**

Tripel der Quantenzahlen (n, l, m)

Aufenthaltswahrscheinlichkeit innerhalb  $\approx 90 \%$ 

Auf der Hüllfläche gilt  $|\Psi(x)|^2 = \text{const.}$ 



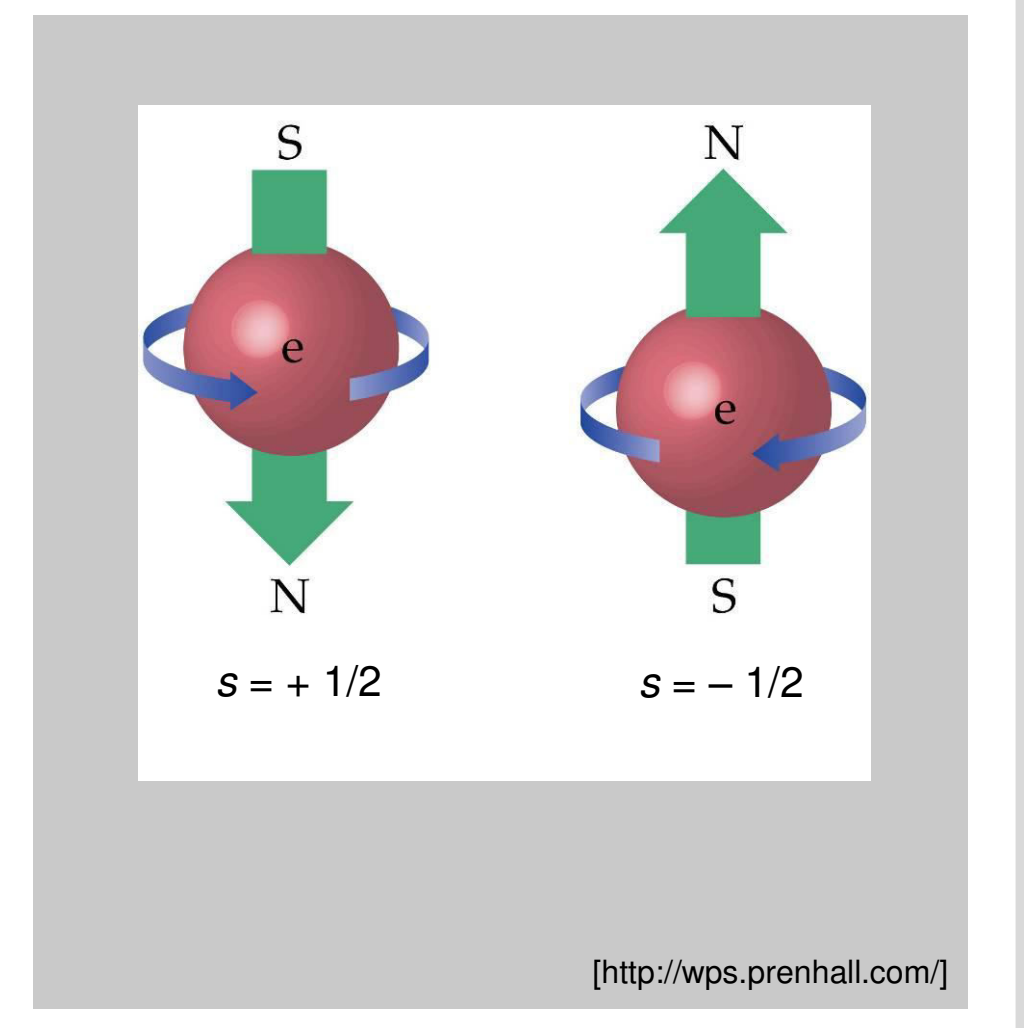
# 1.1 Atommodell Eigenrotation des Elektrons



Bei der Messung der Emissionsspektren von Alkalimetallen wurde die Eigenrotation der Elektronen erstmals beobachtet, die sich durch eine Aufspaltung der einzelnen Spektrallinien bemerkbar macht. Wolfgang Pauli schlug 1924 für diese Phänomen einen quantenmechanischen Freiheitsgrad vor, der zwei Werte annehmen kann.

Elektronenspin  $s = \pm 1/2$ 

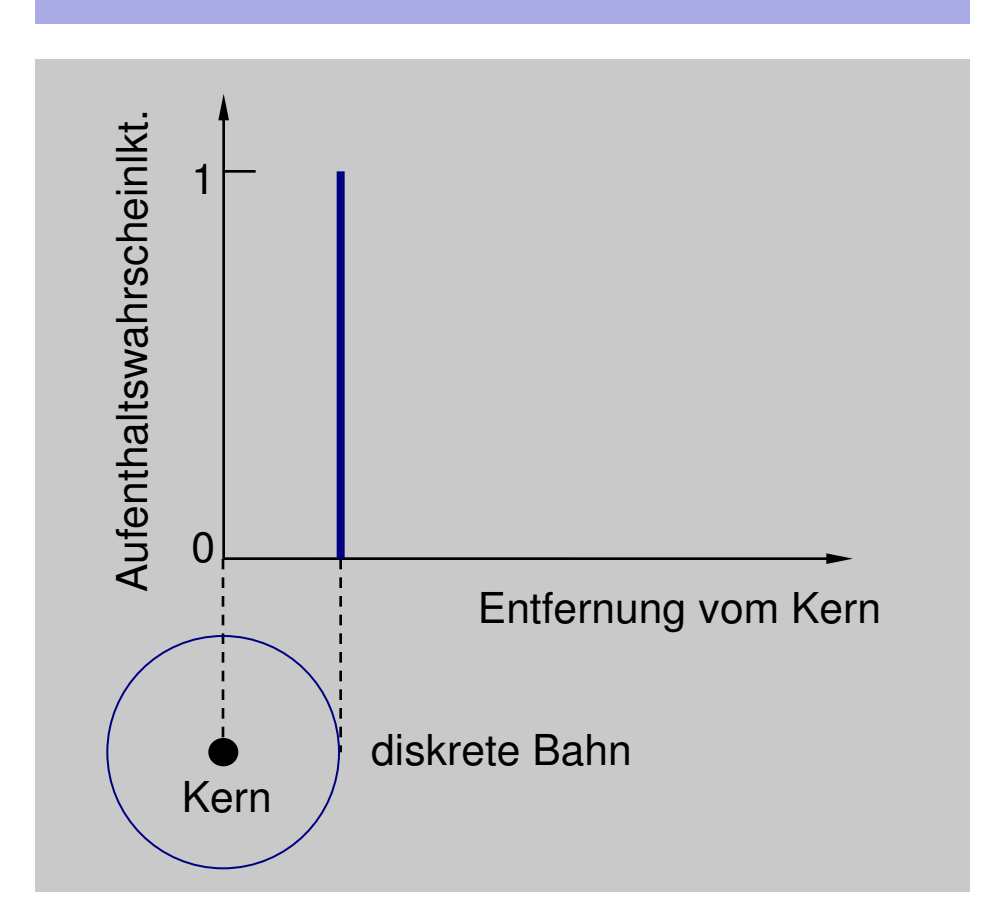
Des weiteren konnte er damit begründen, dass sich genau zwei Elektronen ein Atomorbital teilen.



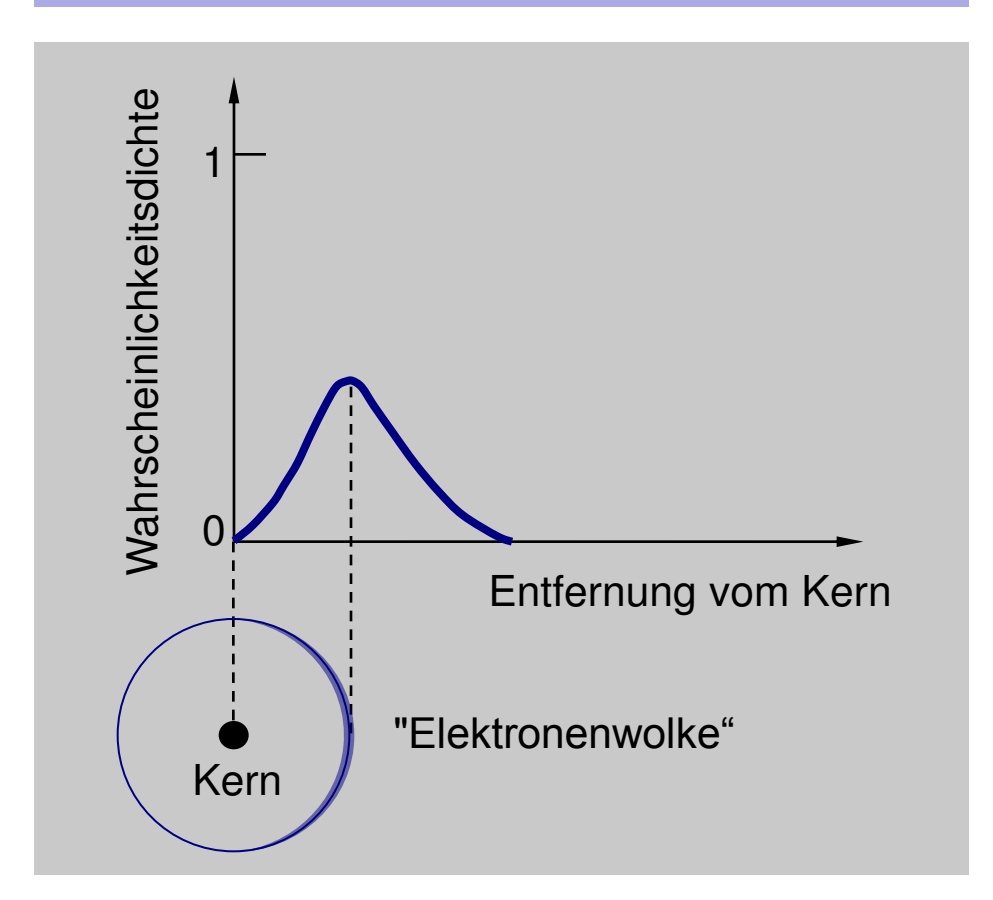
# 1.1 Atommodell Gegenüberstellung der Atommodelle



### **Bohrsche Anschauung**



### **Quantenmechanische Anschauung**



# 1.1 Atommodell Vollständiger Satz der Quantenzahlen



Die vollständige Charakterisierung der möglichen Elektronenzustände im Potential eines Atomkerns wird über die vier Quantenzahlen n, l, m und s vorgenommen.

n	1, 2, 3	K, L, M, N	Hauptquantenzahl/ Hauptschale (Abstand des Elektrons vom Atomkern)
I	0, 1, 2 ( <i>n</i> - 1)	s, p, d, f	Drehimpulsquantenzahl/ Unterschale/ Orbital (Bahndrehimpuls des Elektrons)
m	0, ± 1, ± 2 ± <i>I</i>	-	Magnetische Quantenzahl ( <i>z</i> -Komponente des Bahndrehimpulses)
s	± 1/2	-	Eigendrehimpulsquantenzahl (z-Komponente des Elektronenspins)
			[Tipler 1994]

s: sharp; p: principal; d: diffuse; f: fundamental danach alphabetisch fortgesetzt

# 1.2 Periodensystem der Elemente Termschema



Haupt- Quantenzahl	Schale	Elektronen pro Schale	Orbital	Elektronen pro Orbital
1	K	2	S	2
2	L	8	S	2
			р	6
3	M	18	S	2
			р	6
			d	10
4	N	32	S	2
			р	6
			d	10
			f	14
usw.		$2 \cdot n^2$		$\sum_{l=0}^{n-1} (2l+1) \cdot 2$

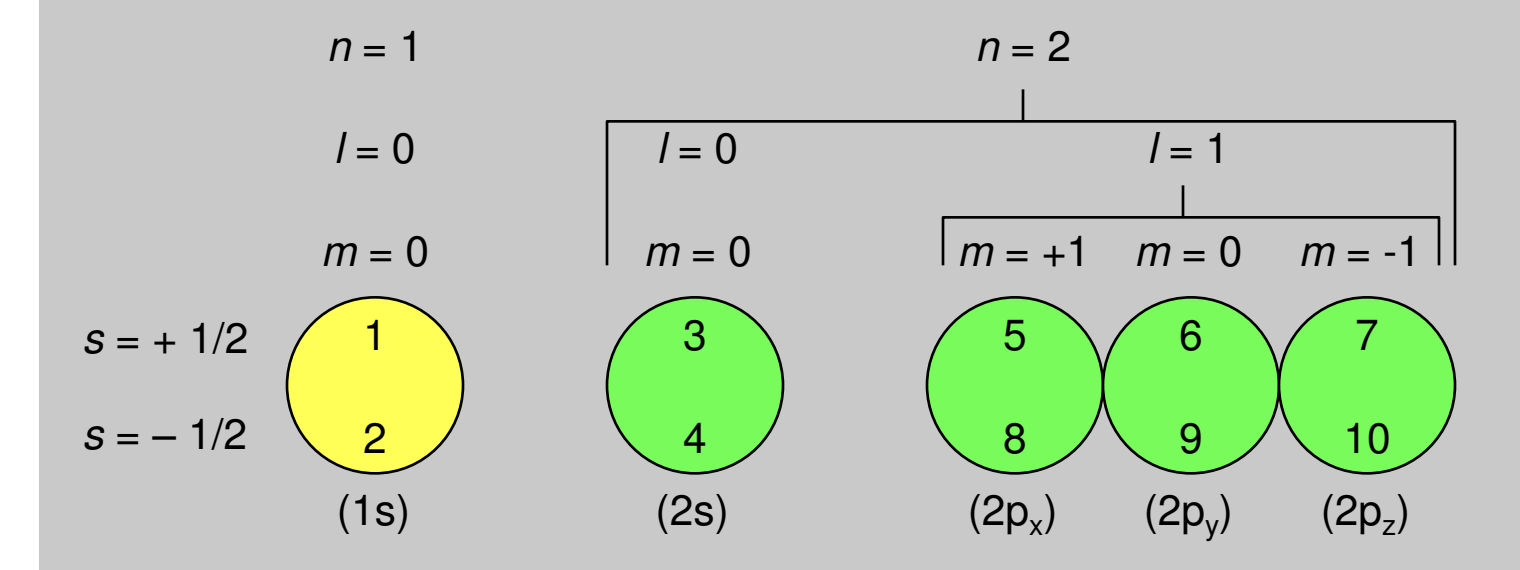
## 1.2 Periodensystem der Elemente Besetzungsregeln für Atomorbitale (1)



**Pauli-Prinzip:** In einem Atom dürfen die Elektronenzustände nicht in allen vier Quantenzahlen übereinstimmen. Aufgrund dessen beträgt die maximale Elektronenzahl pro Hauptschale

$$\sum_{l=0}^{n-1} (2l+1) \cdot 2 = 2 \cdot n^2$$

**Hund'sche Regel:** Die Atomorbitale werden zuerst von einzelnen Elektronen besetzt.



[Mortimer 1973]

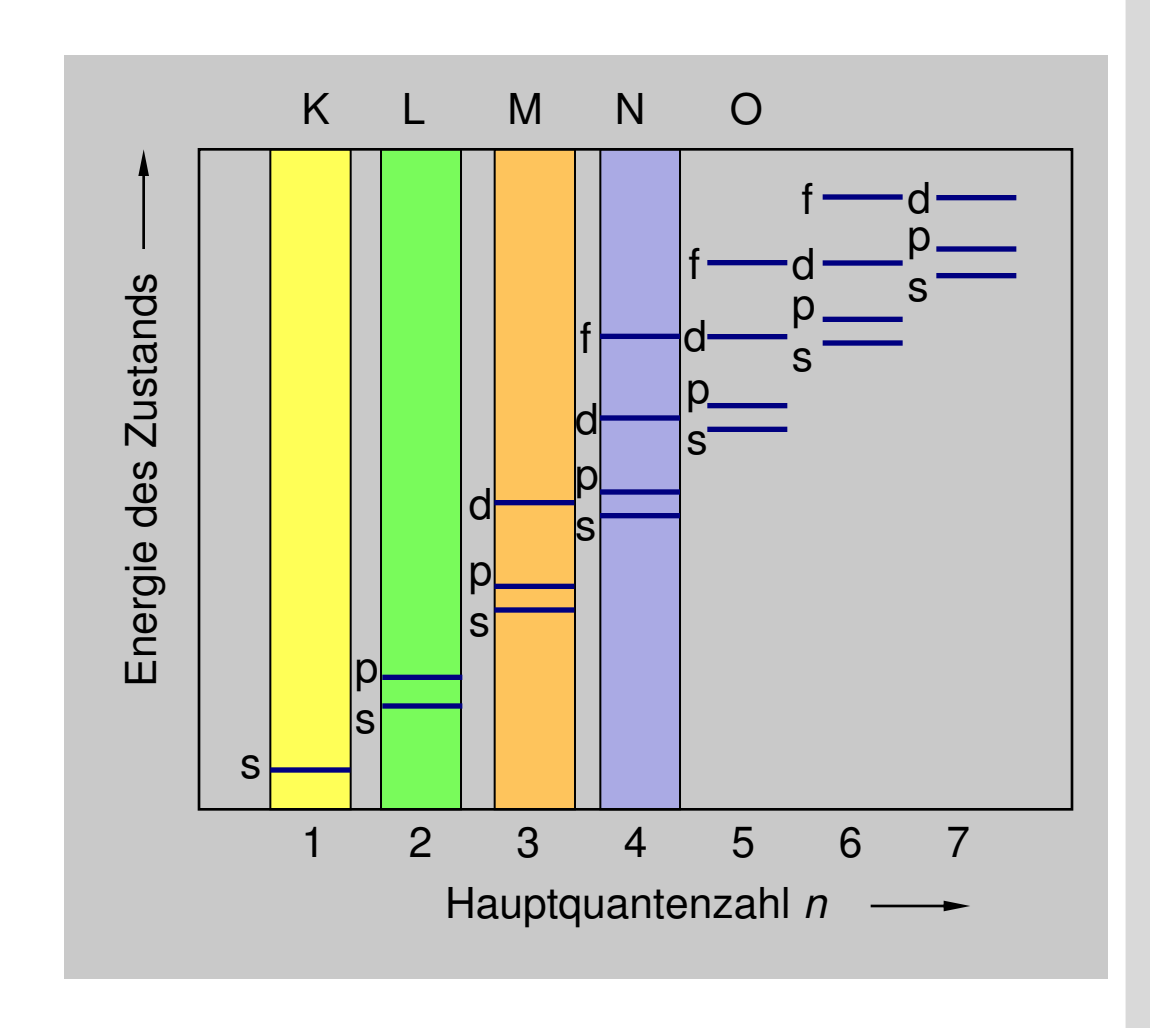
## 1.2 Periodensystem der Elemente Besetzungsregeln für Atomorbitale (2)



Die Elektronen besetzen zuerst Atomorbitale mit niedrigerem Energieniveau.

Die Reihenfolge ist nicht konsistent mit der Hauptquantenzahl *n*. So liegt z.B. die 4s-Unterschale energetisch günstiger als die 3d-Unterschale.

Besonders stabile Konfigurationen treten auf, wenn der Abstand zum nächsten Niveau besonders groß wird (sog. Edelgaskonfiguration).



## 1.2 Periodensystem der Elemente Elektronenkonfiguration bis Ordnungszahl Z = 36



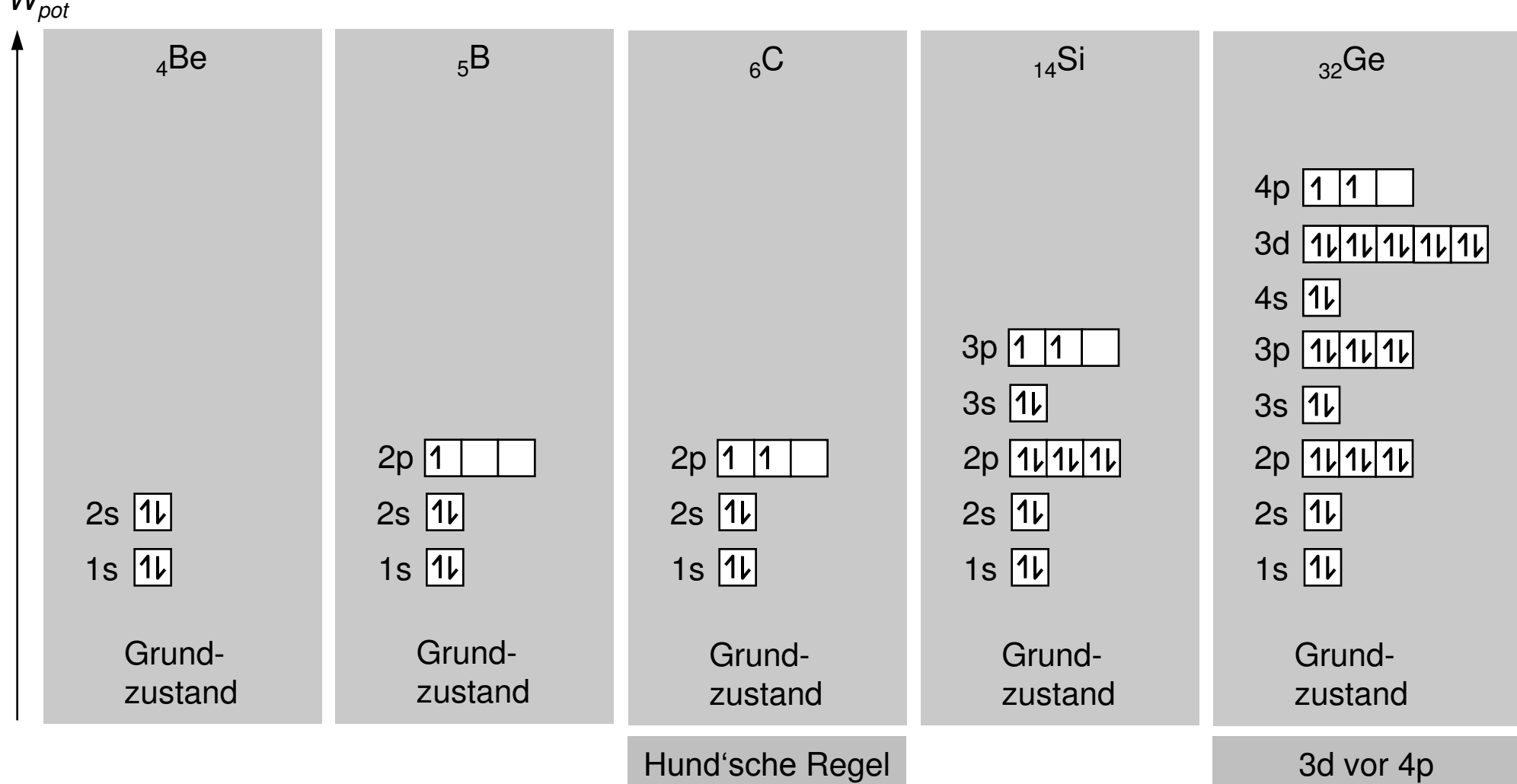
<u>Z</u>	El.	Elek	<u>Elektronenkonfiguration</u>								
1	Н	1s <sup>1</sup>									
2	He	1s <sup>2</sup>									
3	Li	1s <sup>2</sup>	2s <sup>1</sup>								
4	Be	1s <sup>2</sup>	2s <sup>2</sup>								
5	В	1s <sup>2</sup>	2s <sup>2</sup>	2p <sup>1</sup>							
6	С	1s <sup>2</sup>	2s <sup>2</sup>	2p <sup>2</sup>							
7	Ν	1s <sup>2</sup>	2s <sup>2</sup>	2p <sup>3</sup>							
8	0	1s <sup>2</sup>	2s <sup>2</sup>	2p <sup>4</sup>							
9	F	1s <sup>2</sup>	2s <sup>2</sup>	2p <sup>5</sup>							
10	Ne	1s <sup>2</sup>	2s <sup>2</sup>	2p <sup>6</sup>							
11	Na	1s <sup>2</sup>	$2s^2$	2p <sup>6</sup>	3s <sup>1</sup>						
12	Mg	1s <sup>2</sup>	$2s^2$	2p <sup>6</sup>	$3s^2$						
13	Αl	1s <sup>2</sup>	$2s^2$	2p <sup>6</sup>	$3s^2$	3p <sup>1</sup>					
14	Si	1s <sup>2</sup>	$2s^2$	2p <sup>6</sup>	$3s^2$	3p <sup>2</sup>					
15	Р	1s <sup>2</sup>	$2s^2$	2p <sup>6</sup>	$3s^2$	3p <sup>3</sup>					
16	S	1s <sup>2</sup>	2s <sup>2</sup>	2p <sup>6</sup>	$3s^2$	3p <sup>4</sup>					
17	CI	1s <sup>2</sup>	$2s^2$	2p <sup>6</sup>	$3s^2$	3p <sup>5</sup>					
18	Ar	1s <sup>2</sup>	$2s^2$	2p <sup>6</sup>	$3s^2$	3p <sup>6</sup>					

<u>Z</u>	El.	Elek	trone	<u>enkor</u>	<u>ıfigu</u> ı	ratior	<u>1</u>		
19	K	1s <sup>2</sup>	$2s^2$	2p <sup>6</sup>	$3s^2$	3p <sup>6</sup>		4s <sup>1</sup>	
20	Ca	1s <sup>2</sup>	2s <sup>2</sup>	2p <sup>6</sup>	$3s^2$	3p <sup>6</sup>		4s <sup>2</sup>	
21	Sc	1s <sup>2</sup>	$2s^2$	2p <sup>6</sup>	3s <sup>2</sup>	3p <sup>6</sup>	3d1	4s <sup>2</sup>	
22	Ti	1s <sup>2</sup>	2s <sup>2</sup>	2p <sup>6</sup>	3s <sup>2</sup>	3p <sup>6</sup>	3d <sup>2</sup>	4s <sup>2</sup>	
23	V	1s <sup>2</sup>	2s <sup>2</sup>	2p <sup>6</sup>	3s <sup>2</sup>	3p <sup>6</sup>	3d <sup>3</sup>	4s <sup>2</sup>	
24	Cr	1s <sup>2</sup>	2s <sup>2</sup>	2p <sup>6</sup>	3s <sup>2</sup>	3p <sup>6</sup>	3d <sup>5</sup>	4s <sup>1</sup>	
25	Mn	1s <sup>2</sup>	2s <sup>2</sup>	2p <sup>6</sup>	3s <sup>2</sup>	3p <sup>6</sup>	3d <sup>5</sup>	4s <sup>2</sup>	
26	Fe	1s <sup>2</sup>	2 <mark>s</mark> 2	2p <sup>6</sup>	3s <sup>2</sup>	3p <sup>6</sup>	3d <sup>6</sup>	4s <sup>2</sup>	
27	Co	1s <sup>2</sup>	2s <sup>2</sup>	2p <sup>6</sup>	3s <sup>2</sup>	3p <sup>6</sup>	$3d^7$	4s <sup>2</sup>	
28	Ni	1s <sup>2</sup>	2s <sup>2</sup>	2p <sup>6</sup>	3s <sup>2</sup>	3p <sup>6</sup>	3d <sup>8</sup>	4s <sup>2</sup>	
29	Cu	1s <sup>2</sup>	2s <sup>2</sup>	2p <sup>6</sup>	3s <sup>2</sup>	3p <sup>6</sup>	3d <sup>10</sup>	4s <sup>1</sup>	
30	Zn	1s <sup>2</sup>	2s <sup>2</sup>	2p <sup>6</sup>	3s <sup>2</sup>	3p <sup>6</sup>	3d <sup>10</sup>	4s <sup>2</sup>	
31	Ga	1s <sup>2</sup>	$2s^2$	2p <sup>6</sup>	$3s^2$	3p <sup>6</sup>	3d <sup>10</sup>	4s <sup>2</sup>	4p <sup>1</sup>
32	Ge	1s <sup>2</sup>	$2s^2$	2p <sup>6</sup>	$3s^2$	3p <sup>6</sup>	3d <sup>10</sup>	4s <sup>2</sup>	4p <sup>2</sup>
33	As	1s <sup>2</sup>	$2s^2$	2p <sup>6</sup>	$3s^2$	3p <sup>6</sup>	3d <sup>10</sup>	4s <sup>2</sup>	4p <sup>3</sup>
34	Se	1s <sup>2</sup>	$2s^2$	2p <sup>6</sup>	$3s^2$	3p <sup>6</sup>	3d <sup>10</sup>	4s <sup>2</sup>	4p <sup>4</sup>
35	Br	1s <sup>2</sup>	$2s^2$	2p <sup>6</sup>	$3s^2$	3p <sup>6</sup>	3d <sup>10</sup>	4s <sup>2</sup>	4p <sup>5</sup>
36	Kr	1s <sup>2</sup>	2s <sup>2</sup>	2p <sup>6</sup>	3s <sup>2</sup>	3p <sup>6</sup>	3d <sup>10</sup>	4s <sup>2</sup>	4p <sup>6</sup>

## 1.2 Periodensystem der Elemente Pauling-Schreibweise





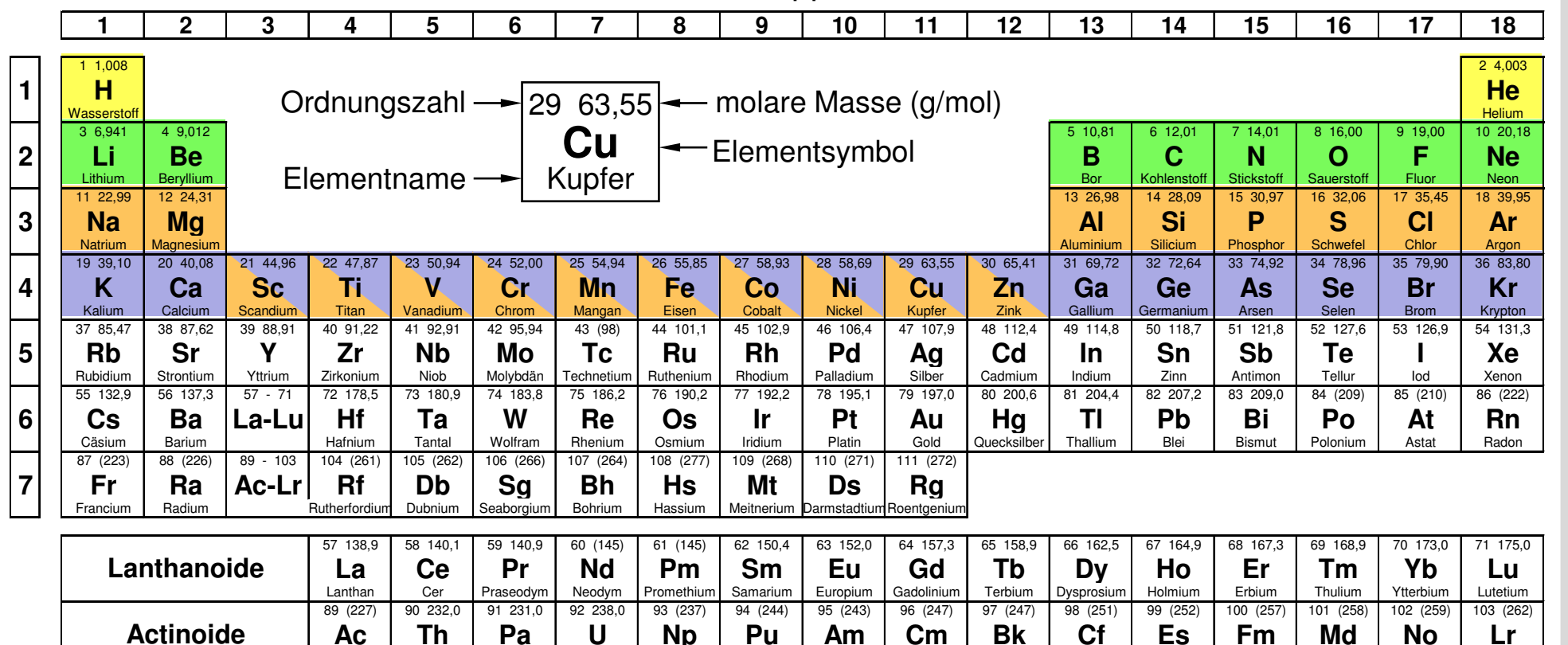


# 1.2 Periodensystem der Elemente Standardisierte Darstellung

Actinium



#### Gruppen



Plutonium

Uran

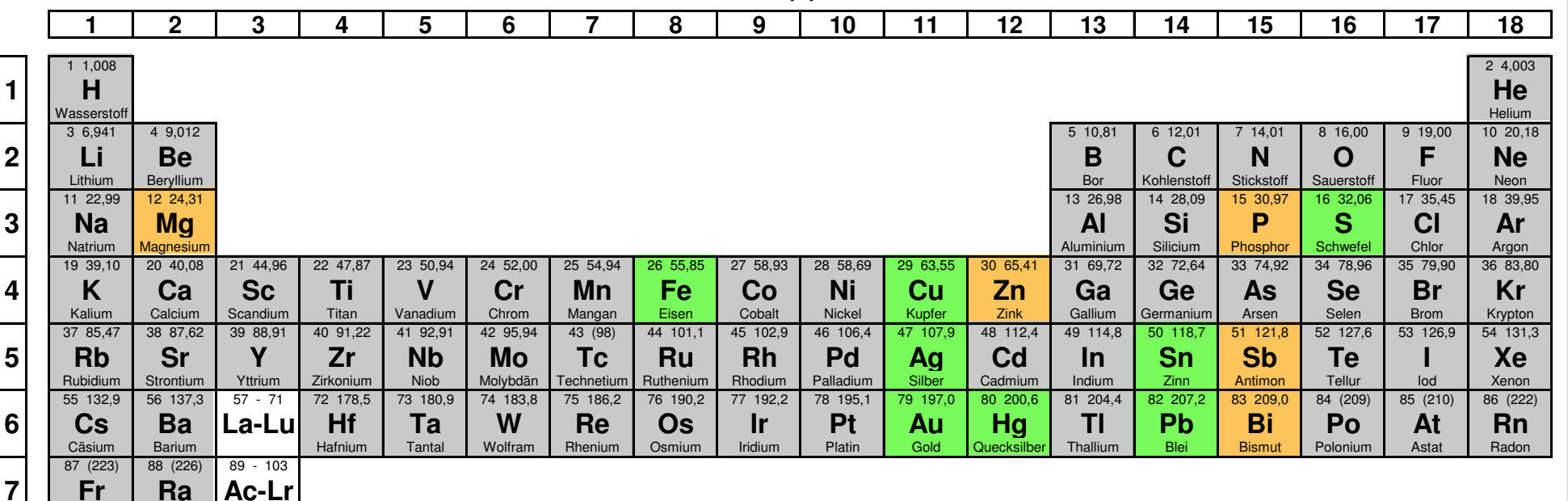
Perioden

Californium

## 1.2 Periodensystem der Elemente Natürliche, künstliche Elemente und ihre Entdeckung



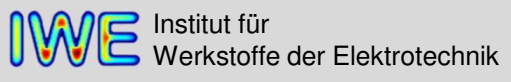
#### Gruppen



		57 138,9	58 140,1	59 140,9	60 (145)	61 (145)	62 150,4	63 152,0	64 157,3	65 158,9	66 162,5	67 164,9	68 167,3	69 168,9	70 173,0	71 175,0
	Lanthanoide	La	Ce	Pr	Nd	Pm	Sm	Eu	Gd	Tb	Dy	Но	Er	Tm	Yb	Lu
		Lanthan	Cer	Praseodym	Neodym	Promethium	Samarium	Europium	Gadolinium	Terbium	Dysprosium	Holmium	Erbium	Thulium	Ytterbium	Lutetium
		89 (227)	90 232,0	91 231,0	92 238,0	93 (237)	94 (244)	95 (243)	96 (247)	97 (247)	98 (251)	99 (252)	100 (257)	101 (258)	102 (259)	103 (262)
	Actinoide	Ac	Th	Pa	U	Np	Pu	Am	Cm	Bk	Cf	Es	Fm	Md	No	Lr
L		Actinium	Thorium	Protactinium	Uran	Neptunium	Plutonium	Americium	Curium	Berkelium	Californium	Einsteinium	Fermium	Mendelevium	Nobelium	Lawrencium

- natürliches Element, seit der Antike bekannt
  - natürliches Element, nach 1700 entdeckt

- natürliches Element, vor 1700 entdeckt
- künstliches Element, nach 1940 entdeckt



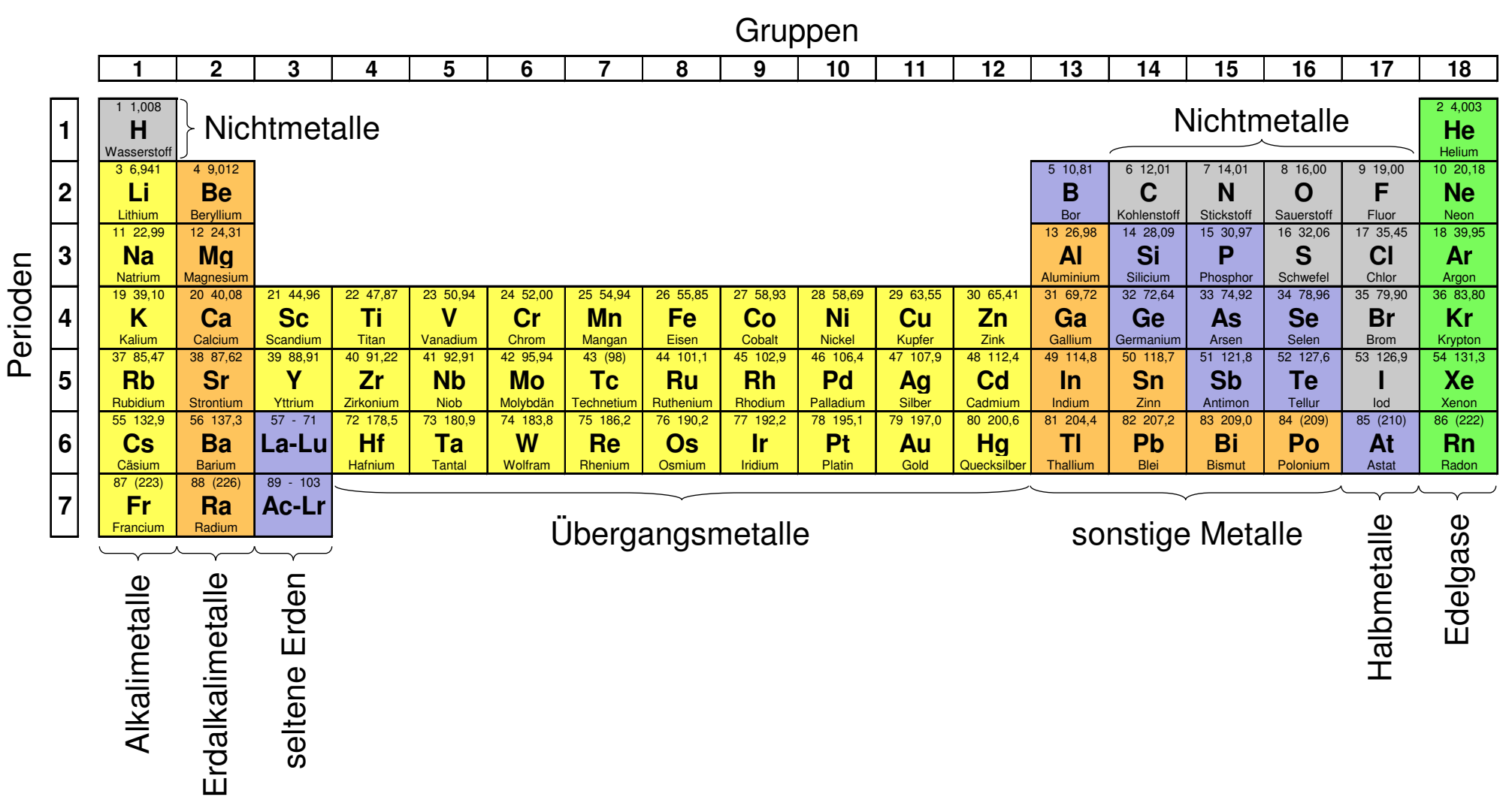
Fr Francium

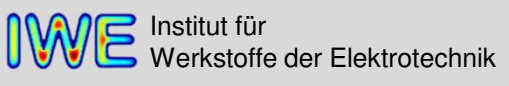
Radium

Perioden

# 1.2 Periodensystem der Elemente Elementfamilien



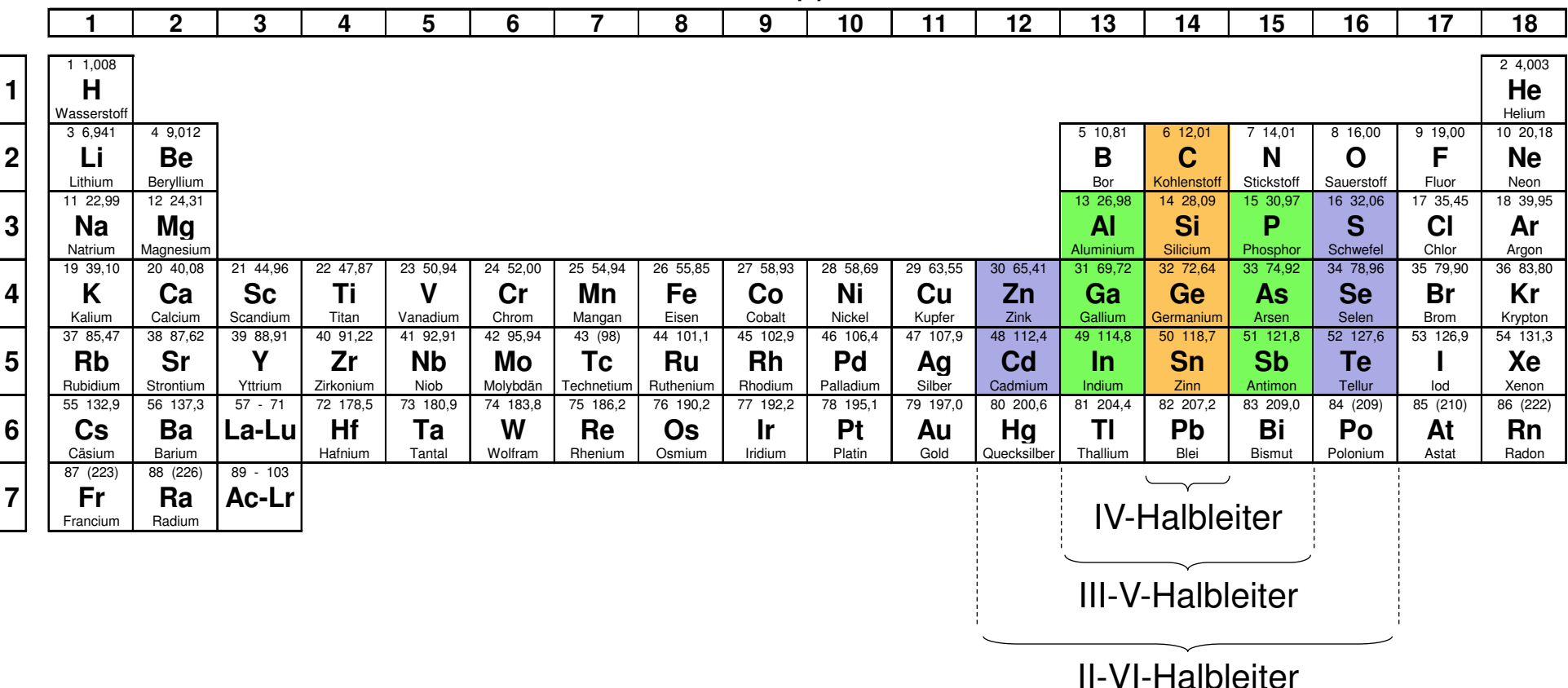




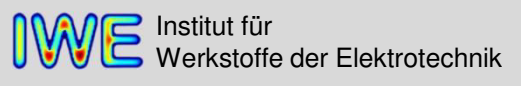
### 1.2 Periodensystem der Elemente Klassische Halbleiter in der Elektrotechnik



#### Gruppen



wird in Vorlesung "Halbleiterbauelemente" vertieft



Perioden

## 1.2 Periodensystem der Elemente Chemische Eigenschaften der Elemente



### Edelgaskonfiguration

In der Edelgaskonfiguration liegt ein großer energetischer Abstand zur nächstmöglichen Schale vor. Dies ist der Fall, wenn das s-Orbital als äußere Schale komplett gefüllt ist (für n = 1) bzw. das p-Orbital als äußere Schale komplett gefüllt ist (für n > 1).

• Helium: 1s<sup>2</sup>

• Neon: 1s<sup>2</sup> 2s<sup>2</sup> 2p<sup>6</sup>

• Argon: 1s<sup>2</sup> 2s<sup>2</sup> 2p<sup>6</sup> 3s<sup>2</sup> 3p<sup>6</sup>

→ energetisch besonders günstig, damit stabil und chemisch inert

#### **Periodizität**

Für das chemische Verhalten ist die Elektronenkonfiguration der äußeren Schale maßgebend.

- → periodisches Auftreten gleicher bzw. ähnlicher chemischer Eigenschaften
- Ionisierungsenergie
- Elektronenaffinität
- Atom- und Ionenradien

[Lindner 1997]

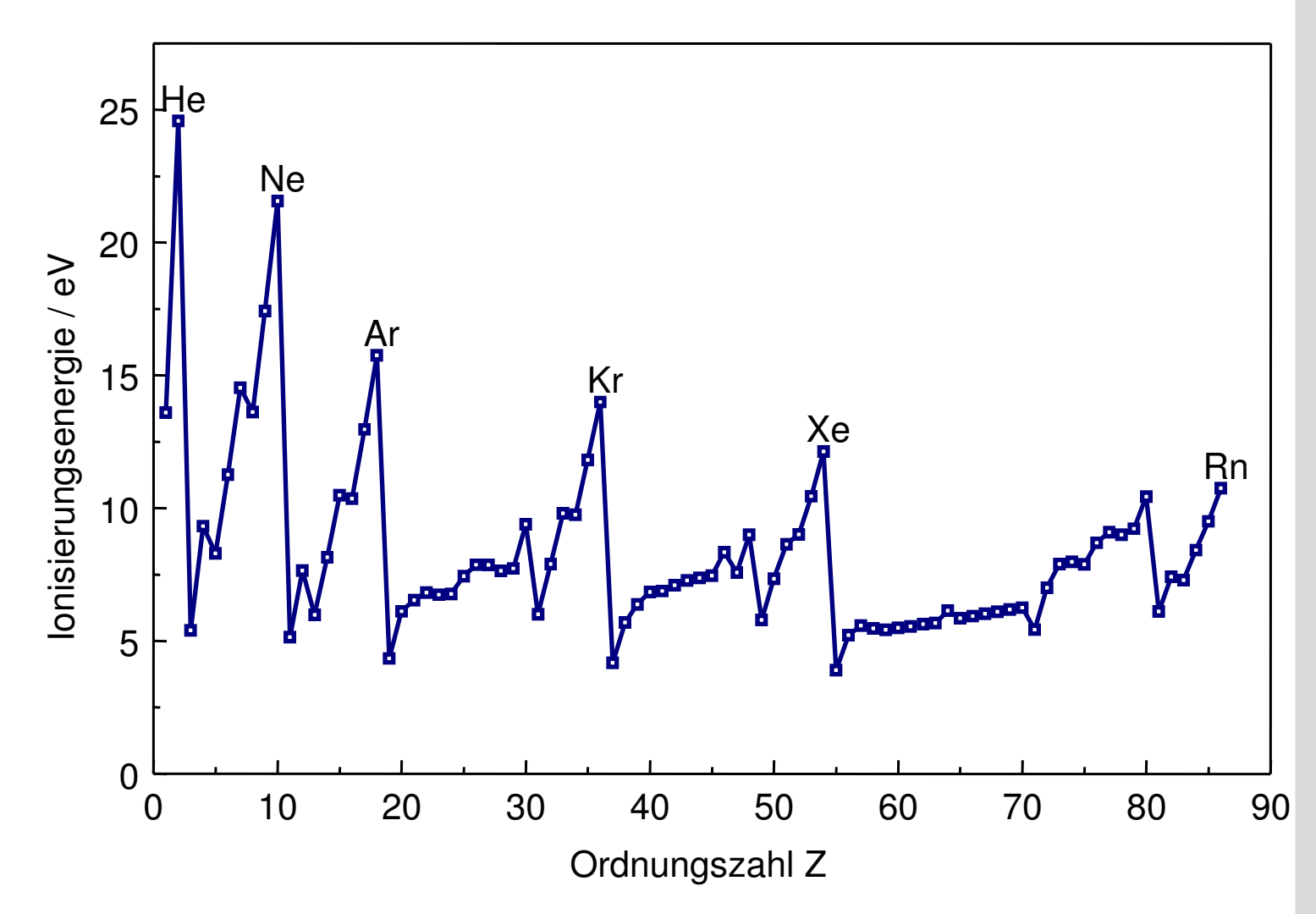
# 1.2 Periodensystem der Elemente Ionisierungsenergie (1)



Ionisierungsenergie ist der Energiebetrag, der benötigt wird, um das am schwächsten gebundene Elektron e- von einem Atom A abzuspalten.

Reaktion  $A(g) \rightarrow A^{+}(g) + e^{-}$ 

A+ ist ein positives Ion (Kation)



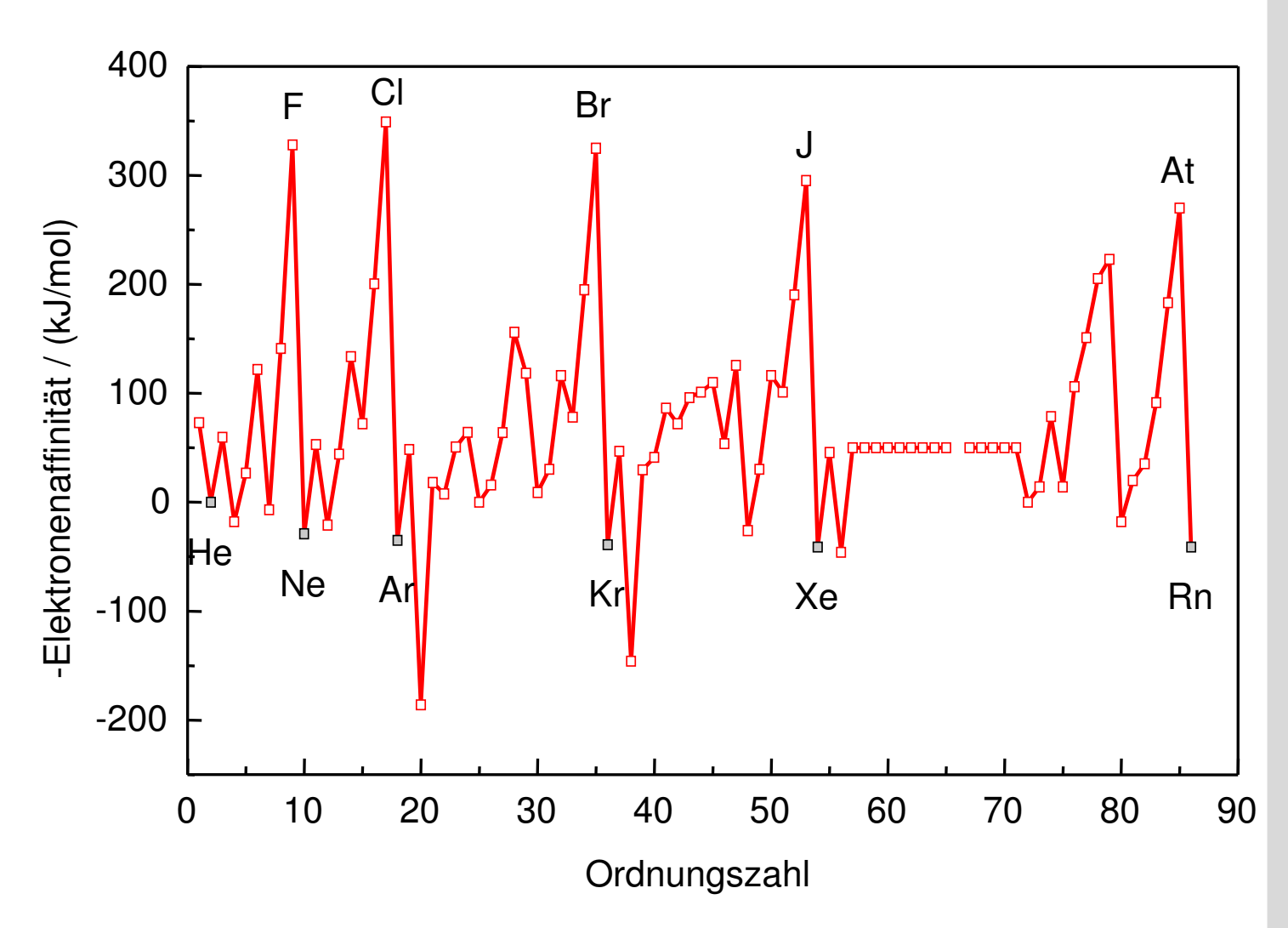
# 1.2 Periodensystem der Elemente Elektronenaffinität (1)



Elektronenaffinität bezeichnet den Energiebeitrag, der mit Aufnahme eines Elektrons e- durch ein neutrales Atom B verbunden ist.

Reaktion  $B(g) + e^- \rightarrow B^-(g)$ 

B<sup>-</sup> ist ein negatives Ion (Anion)



# 1.2 Periodensystem der Elemente Elektronegativität (1)



Beschreibung der Elektronegativität nach Pauling (1964):

"Unter der Elektronegativität versteht man das Bestreben eines neutralen Atoms in einem stabilen Molekül Elektronen auf sich zu ziehen.

[...]

Wie Mulliken zeigen konnte, ist der **Mittelwert** der ersten **Ionisierungsenergie** und der **Elektronenaffinität** eines Atoms ein Maß für die Anziehung eines Elektrons durch das neutrale Atom und damit für dessen Elektronegativität."

[Pauling 1964]

# 1.2 Periodensystem der Elemente Elektronegativität (3)



#### Elektronegativitätsskala der Elemente (alle Werte bei 25 °C)

г													H 2,1			П
Li	Ве	В											C	${f N}$	O	F
1,0	1,5	2,0											2,5	3,0	3,5	4,0
Na	Mg	$\mathbf{A}\mathbf{l}$					•						$\mathbf{Si}$	P	$\mathbf{s}$	Cl
0,9	1,2	1,5											1,8	2,1	2,5	3,0
K	Ca	Sc	Ti	$\mathbf{v}$	$\operatorname{Cr}$	$\mathbf{M}\mathbf{n}$	$\mathbf{Fe}$	Co	$\mathbf{N}\mathbf{i}$	$\mathbf{C}\mathbf{u}$	Zn	Ga	Ge	$\mathbf{A}\mathbf{s}$	Se	Br
0,8	1,0	1,3	1,5	1,6	1,6	1,5	1,8	1,8	1,8	1,9	1,6	1,6	1,8	2,0	2,4	2,8
Rb	$\mathbf{sr}$	${f Y}$	$\mathbf{Zr}$	Nb	Mo	$\mathbf{T}\mathbf{c}$	$\mathbf{R}\mathbf{u}$	$\mathbf{R}\mathbf{h}$	$\mathbf{Pd}$	$\mathbf{A}\mathbf{g}$	Cd	In	$\mathbf{Sn}$	Sb	$\mathbf{Te}$	J
0,8	1,0	1,3	1,4	1,6	1,8	1,9	$^{2,2}$	2,2	2,2	1,9	1,7	1,7	1,8	1,9	2,1	2,5
Cs	Ва	La-Lu	Ħf	Ta	$\mathbf{w}$	${f Re}$	Os	Ir	Pt	Au	$\mathbf{H}\mathbf{g}$	$\mathbf{T}1$	Pb	Bi	Po	At
0,7	0,9	1,1-1,2	1,3	1,5	1,7	1,9	$^{\circ}$ ,2	2,2	2,2	2,4	1,9	1,8	1,8	1,9	2,0	2,2
Fr	Ra	$\mathbf{A}\mathbf{c}$	$\mathbf{T}\mathbf{h}$	Pa	$\mathbf{U}$	Np-No										
0,7	0,9	1,1	1,3	1,5	1,7	1,3										

[Pauling 1964]

## 1.3 Chemische Bindungen Bindungsarten der Festkörper

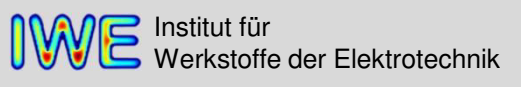


Bildung von Verbindungen durch Wechselwirkungen der äußeren Atomorbitale (z.B. Elektronenabgabe und -aufnahme, Überlappung der Elektronenwolken)

Idealtypen (Grenzfälle)	Beispiele
• ionische Bindung (heteropolare, ungerichtete Bindung)	Kochsalz (NaCl)
kovalente Bindung (homöopolare, gerichtete Bindung)	<ul><li>Silizium (Si)</li></ul>
metallische Bindung	Kupfer (Cu)

Ursache der Bildung von Verbindungen sind elektrostatische Kräfte zwischen den Atomen.

⇒ Gleichgewicht zwischen elektrostatischer Anziehung und Abstoßung



# 1.3 Chemische Bindungen Wechselwirkung zwischen einzelnen Atomen



### Kräfte und Energien

Anziehung 
$$F_{an} \sim \frac{1}{r^2}$$

z.B. zwischen pos. und neg. lonen

Abstoßung 
$$F_{ab} \sim \frac{1}{r^{9...12}}$$

z.B. zwischen den inneren, vollständig gefüllten Elektronenschalen

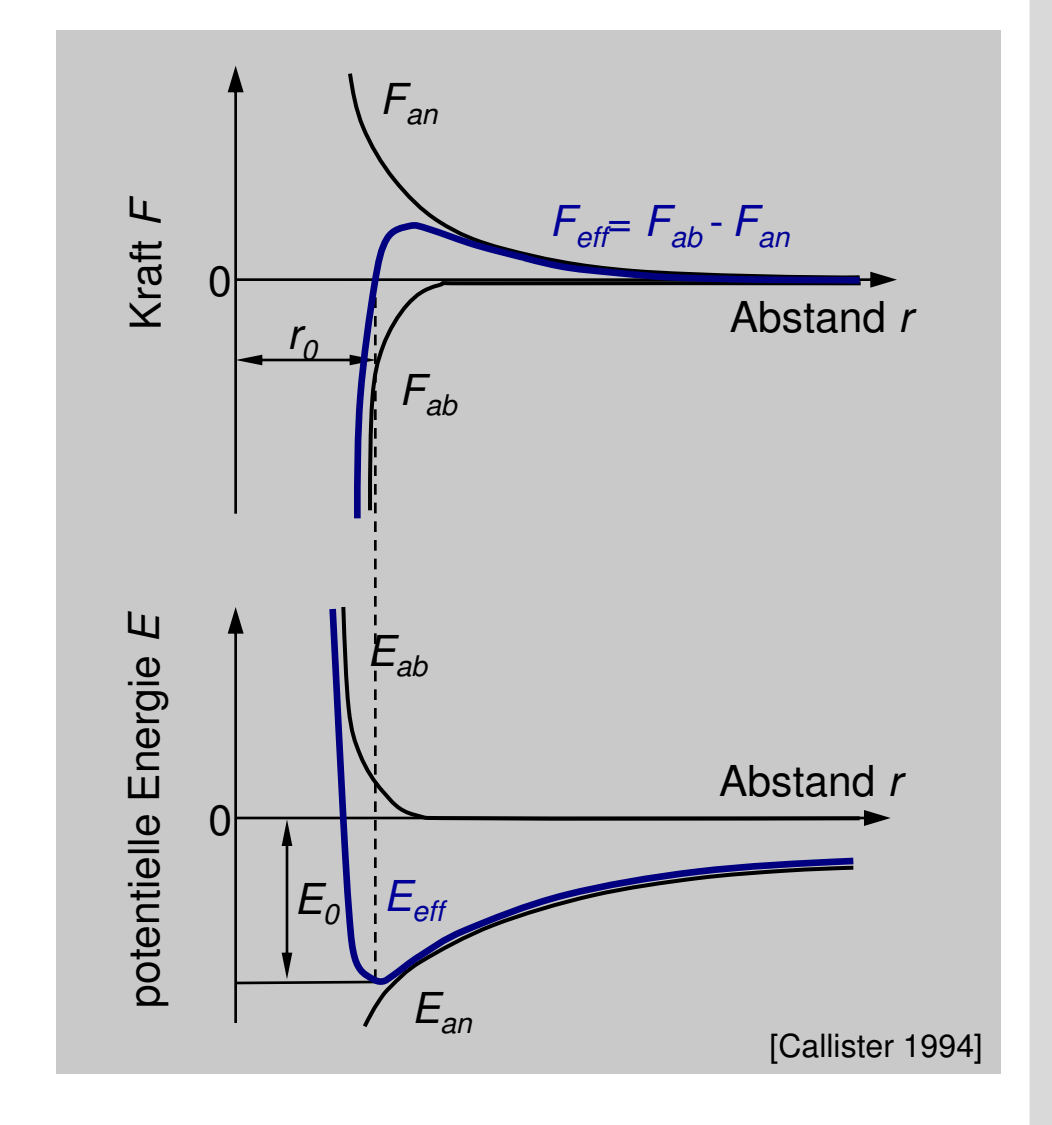
frei werdende Energie

zu zuführende Energie  $E_{ab} = \int_{\infty}^{r} F_{ab} dr$ 

$$E_{eff} = \int_{\infty}^{r} F_{eff} dr = E_{an} + E_{ab}$$

Gleichgewichtsabstand  $r_0$  bei

resultierende Bindungsenergie



# 1.3 Chemische Bindungen Ionische Bindung am Beispiel von Natriumchlorid (1)



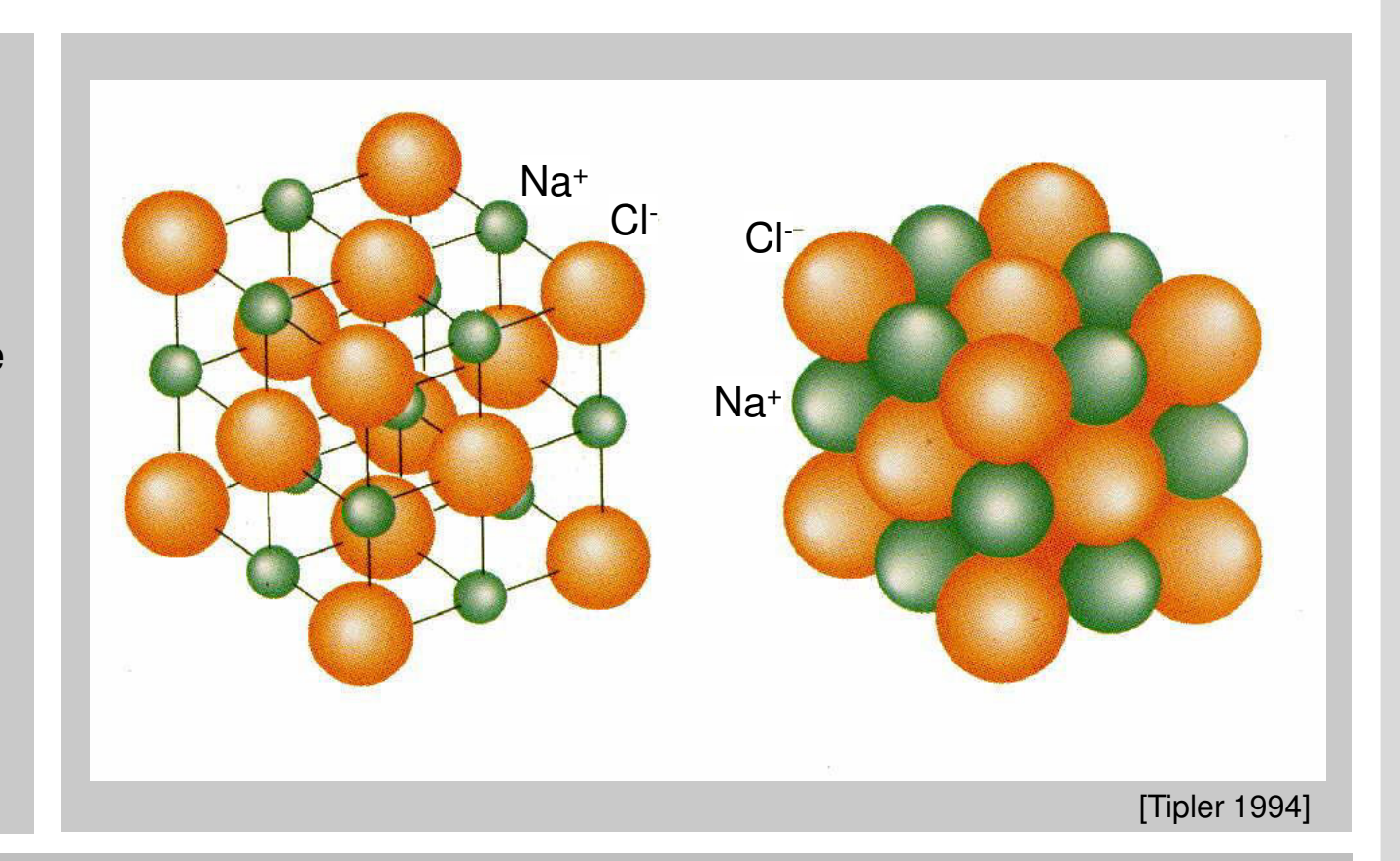
#### Chlor (CI)

hohe Elektronenaffinität Cl<sup>-</sup> ist ein Anion

#### Natrium (Na)

niedrige Ionisierungsenergie Na+ ist ein Kation

Na• + 
$${}^{\circ}Cl^{\circ}$$
  $\rightarrow$  Na+  ${}^{\circ}Cl^{\circ}$ 



Eigenschaften: nicht plastisch verformbar, gute Isolatoren

# 1.3 Chemische Bindungen Ionische Bindung am Beispiel von Natriumchlorid (2)



#### Vereinfachte Darstellung der Bildung von NaCl

Elektronenabgabe verbraucht Energie (Ionisierungsenergie des Natrium-Atoms)

$$\rightarrow$$
 Na<sup>+</sup>(g) + e<sup>-</sup>(g)

Elektronenaufnahme setzt Energie frei (Elektronenaffinität des Chlor-Atoms)

$$e^{-}(g) + CI(g)$$

$$\rightarrow$$
 Cl<sup>-</sup>(g) + 3,81 eV

Kondensation gasförmiger Ionen in ein Kristallgitter setzt Energie frei

$$Na^{+}(g) + Cl^{-}(g)$$

Energiegewinn der Reaktion: 6,62 eV

## 1.3 Chemische Bindungen Oxidationszahlen bzw. Wertigkeiten der Elemente



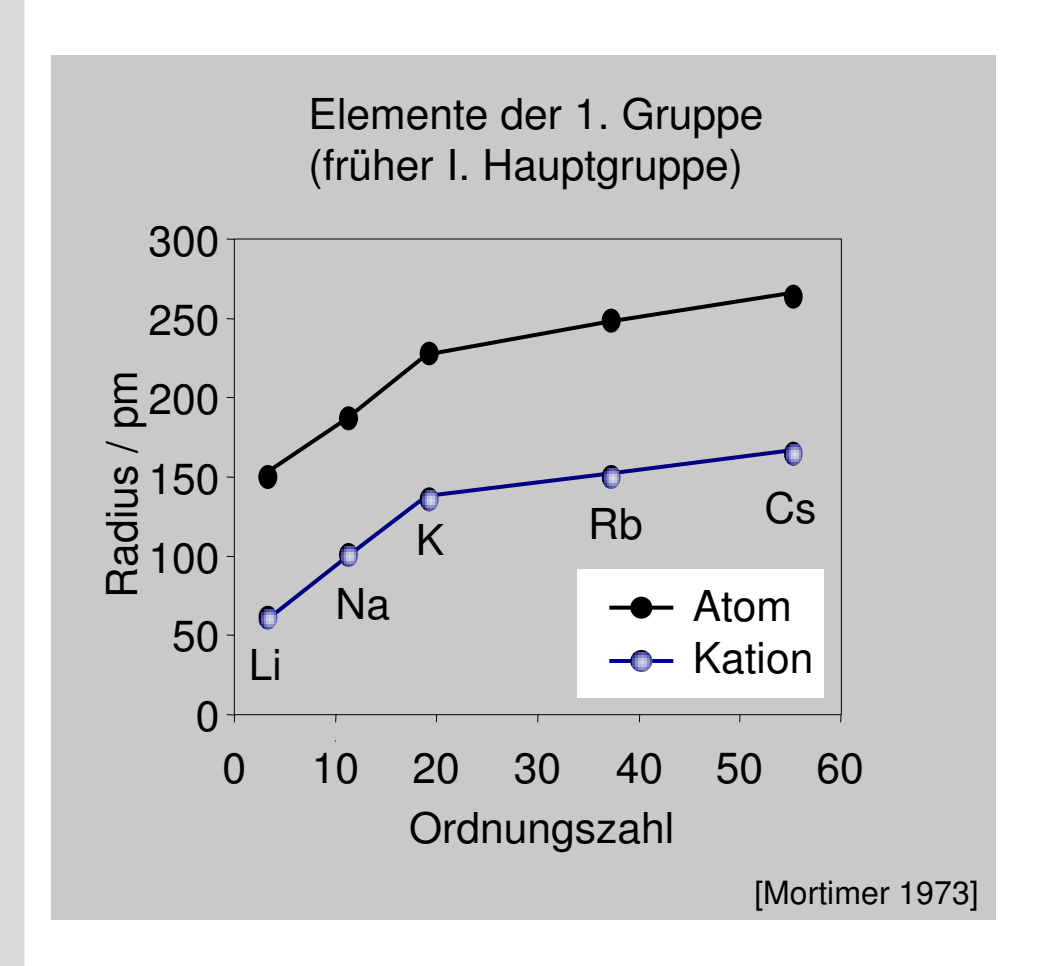
Total   Tota	2 4,003 He 10 20,18 Ne
C	<b>Ne</b>
Na	
$ \begin{array}{c ccccccccccccccccccccccccccccccccccc$	Ar
$ \begin{array}{ c c c c c c c c c c c c c c c c c c c$	36 83,80 <b>Kr</b> (2)
6 Cs Ba La-Lu Hf Ta W Re Os Ir Pt Au Hg TI Pb Bi Po At	54 131,3 <b>Xe</b> (2,4,6)
$\begin{array}{c ccccccccccccccccccccccccccccccccccc$	86 (222) <b>Rn</b>
7 Fr Ra 2 Ac-Lr	

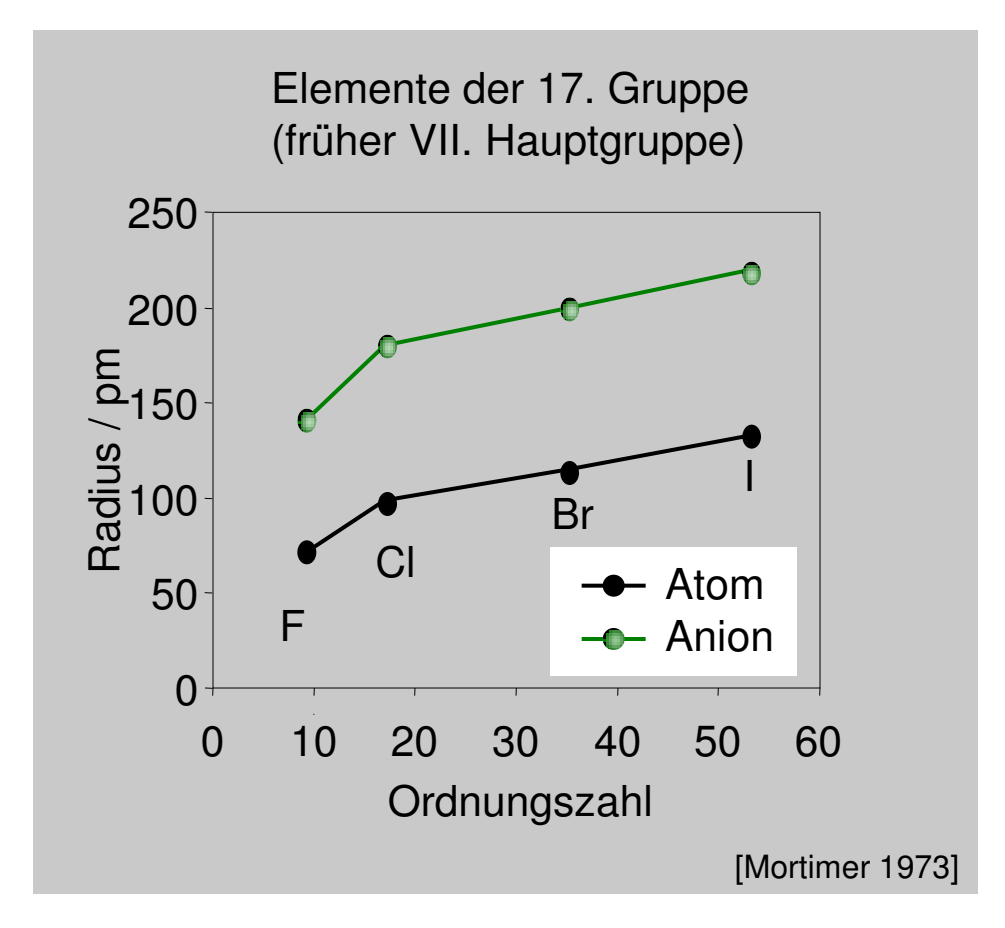
	57 138,9	58 140,1	59 140,9	60 (145)	61 (145)	62 150,4	63 152,0	64 157,3	65 158,9	66 162,5	67 164,9	68 167,3	69 168,9	70 173,0	71 175,0
Lanthanoide	La	Ce	Pr	Nd	Pm	Sm	Eu	Gd	Tb	Dy	Но	Er	Tm	Yb	Lu
	<u>3</u>	<u>3</u>	<u>3</u>	<u>3</u>											
		(4)	(4)			(2)	(2)		(4)				(2)	(2)	
	89 (227)	90 232,0	91 231,0	92 238,0	93 (237)	94 (244)	95 (243)	96 (247)	97 (247)	98 (251)	99 (252)	100 (257)	101 (258)	102 (259)	103 (262)
Actinoide	Ac	Th	Pa	U	Np	Pu	Am	Cm	Bk	Cf	Es	Fm	Md	No	Lr
	<u>3</u>	<u>4</u>	<u>5</u>	<u>6</u>	<u>5</u>	<u>4</u>	<u>3</u>	<u>3</u>	<u>3</u>	<u>3</u>	<u>3</u>	<u>3</u>	<u>3</u>	<u>2</u>	<u>3</u>
			(4)	(3,4,5)	(3,4,6)	(3,5,6)	(4,5,6)	(4)	(4)	(4)				(3)	

Perioden

## 1.3 Chemische Bindungen Radien von Atomen und Ionen







# 1.3 Chemische Bindungen Koordinationszahl von Verbindungen

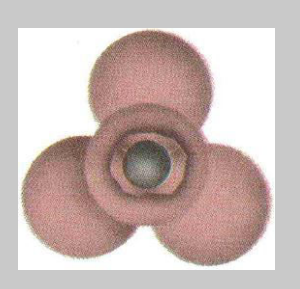


#### Das Radienverhältnis von Kation zu Anion bestimmt die Geometrie und damit die Koordinationszahl

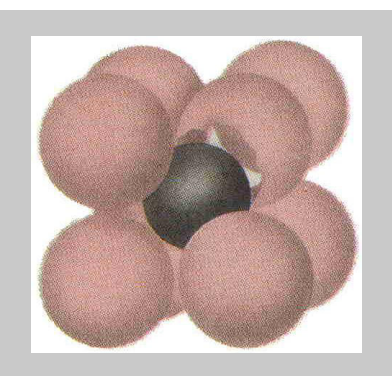
Koordinationszahl 2 Radienverhältnis:  $r_{K}/r_{A} < 0,155$ 



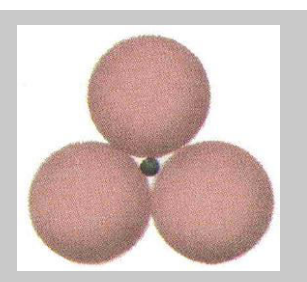
Koordinationszahl 4 Radienverhältnis:  $0,225 < r_K/r_A < 0,414$ 



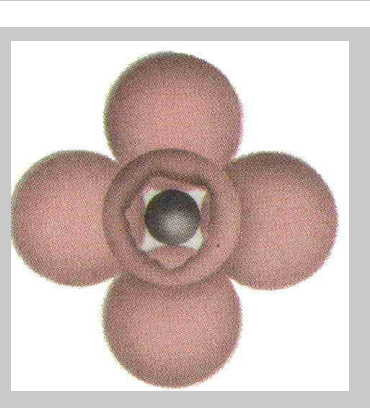
Koordinationszahl 8 Radienverhältnis:  $0.732 < r_K/r_A < 1.000$ 



Koordinationszahl 3 Radienverhältnis:  $0,155 < r_K/r_A < 0,225$ 



Koordinationszahl 6 Radienverhältnis:  $0,414 < r_K/r_A < 0,732$ 



Koordinationszahl 12 Radienverhältnis:  $1,000 < r_{\kappa}/r_{A}$ 

[Callister 1994]

## 1.3 Chemische Bindungen Kovalente Bindung am Beispiel von Wasserstoff (1)

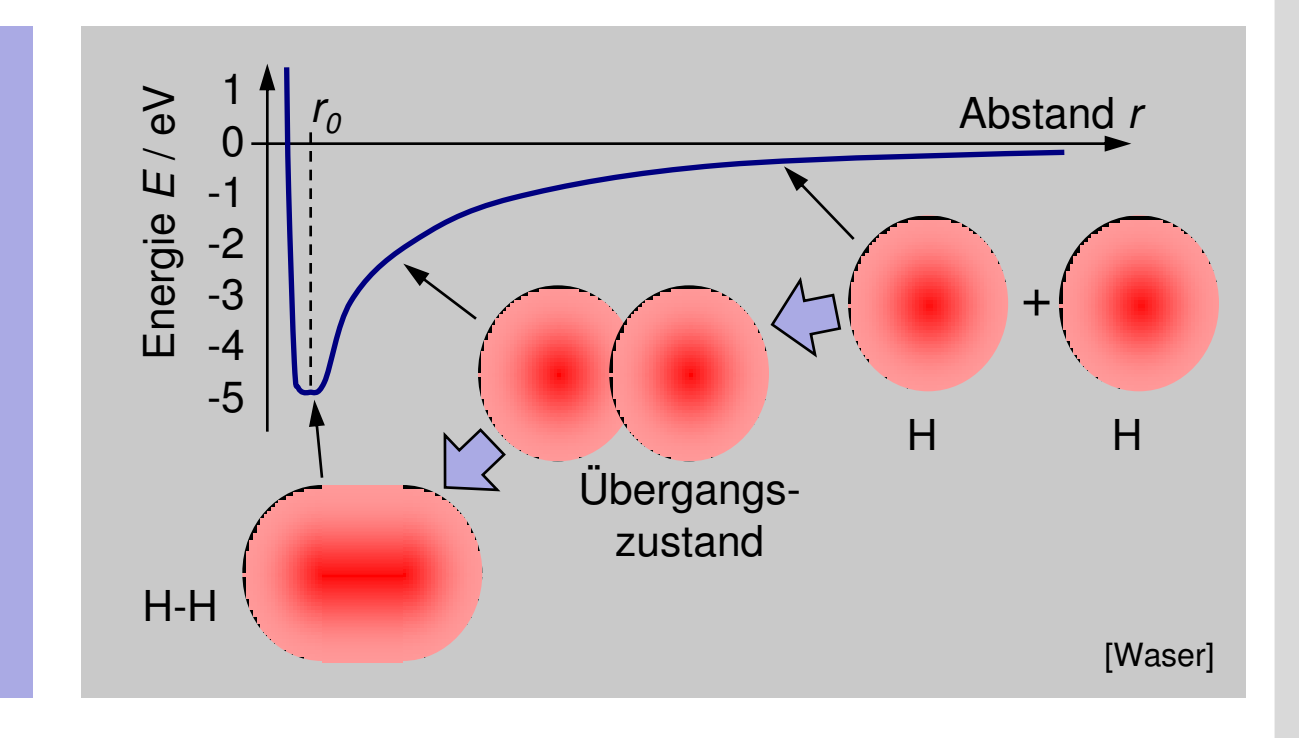


- Überlappung von (teilbesetzten) Elektronenschalen bzw. Atomorbitalen
- Partnerelektron hilft bei der Erreichung einer komplett besetzten Schale
- Elektronendichte zwischen den (positiven) Atomkernen erhöht

#### Beispiel: Wasserstoffmolekül (H<sub>2</sub>)

Gleichgewichtsabstand  $r_0 = 0.74 \cdot 10^{-10} \text{ m}$ 

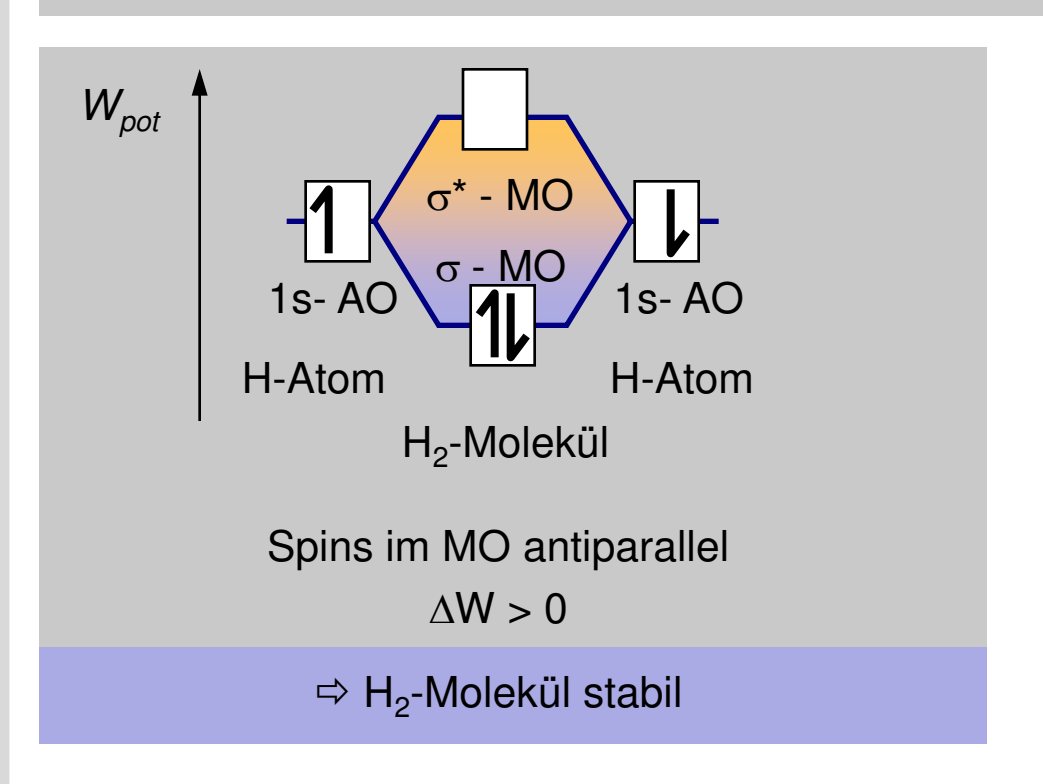
Bindungsenergie  $E_0 = 4.33 \cdot 10^5 \text{ J/mol}$ 

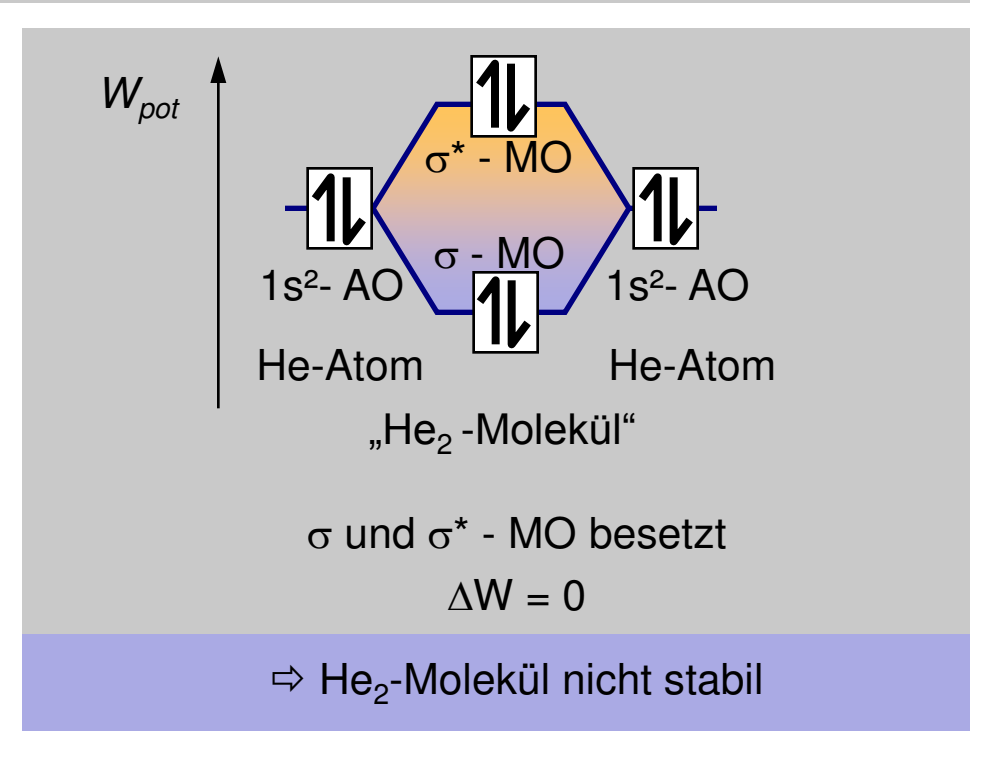


## 1.3 Chemische Bindungen Kovalente Bindung am Beispiel von Wasserstoff (2)



kovalente Bindung: aus Atomorbitalen (AO) entstehen Molekülorbitale (MO)





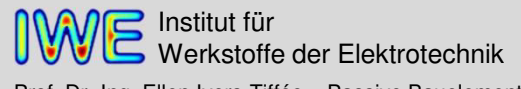
σ - Molekülorbital: bindend

(Absenkung der potentiellen Energie W<sub>pot</sub>)

σ\*- Molekülorbital: anti-bindend

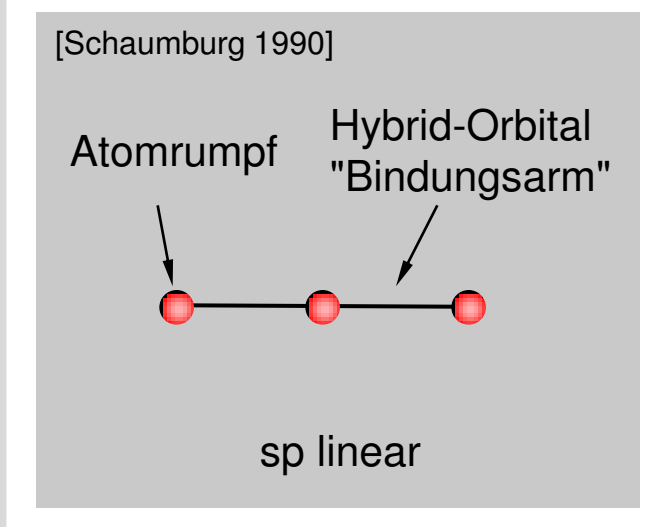
(Anstieg der potentiellen Energie Wpot)

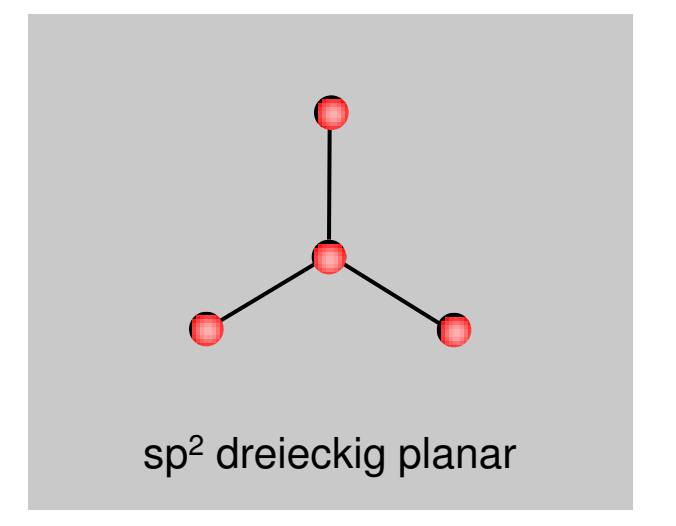
[Waser]

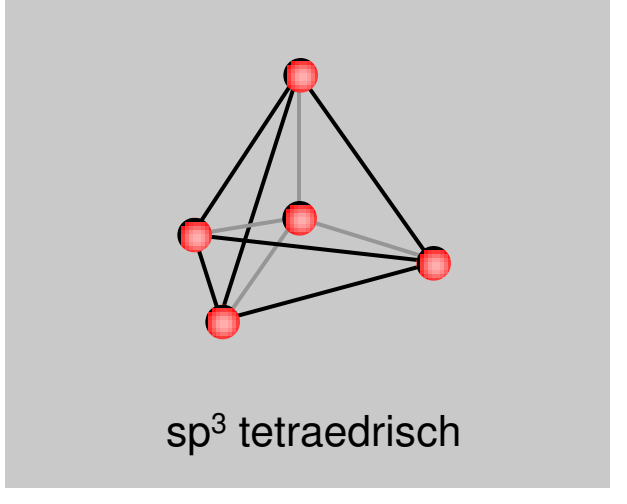


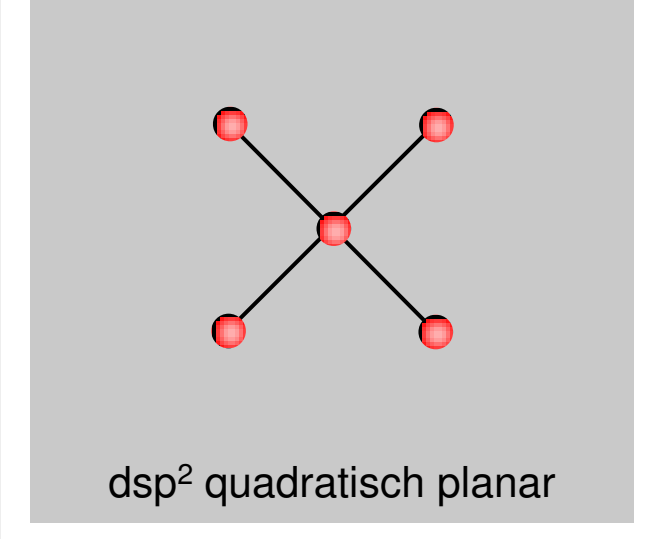
## 1.3 Chemische Bindungen Typische Hybridisierungsstrukturen kovalenter Bindungen

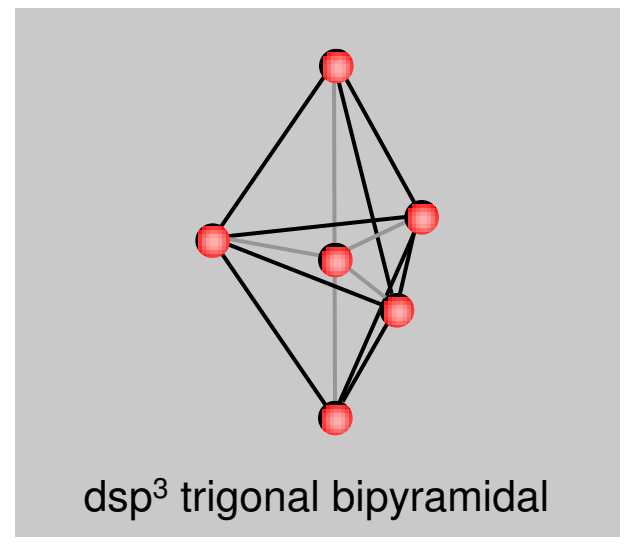


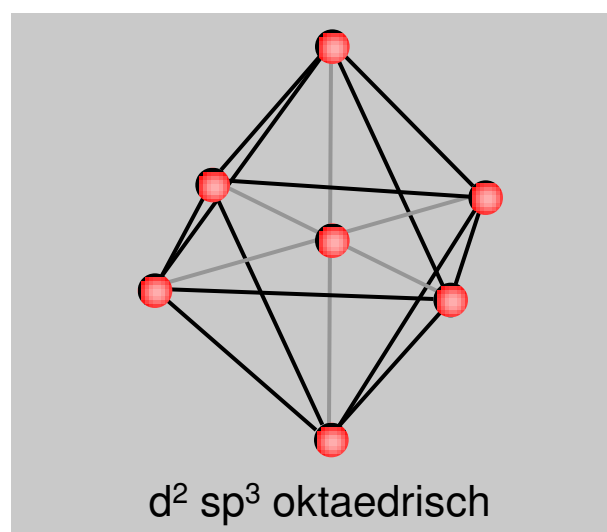






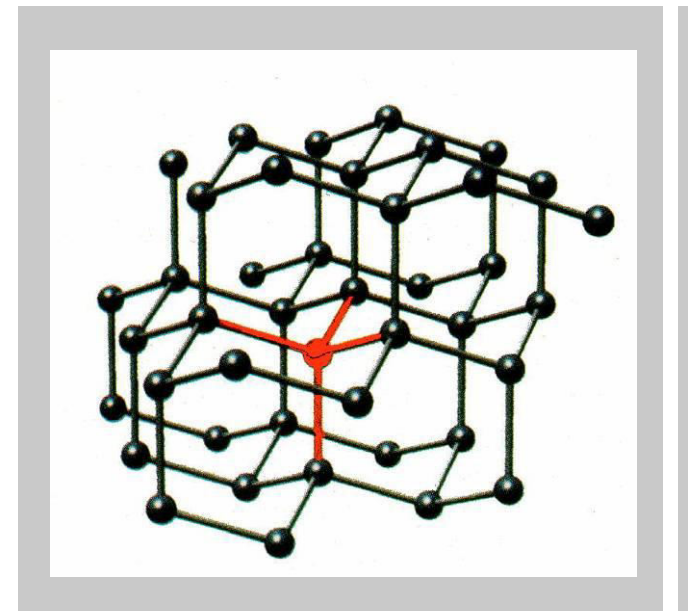




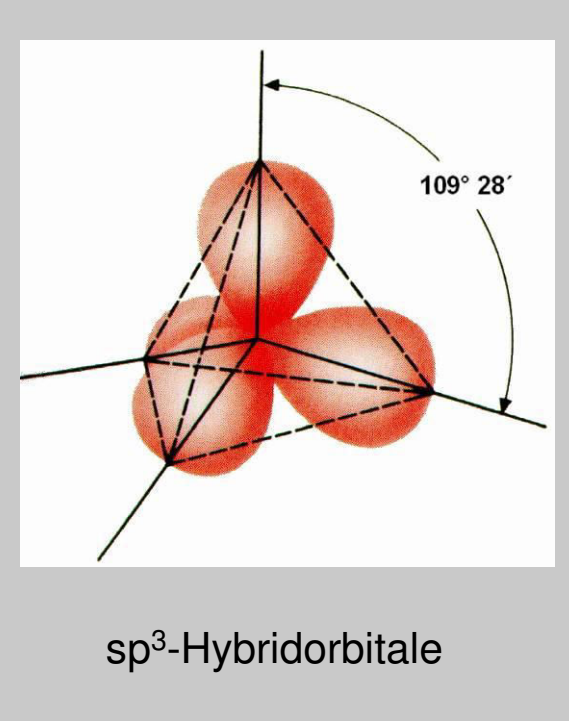


## 1.3 Chemische Bindungen Kohlenstoff in Diamantstruktur





Koordinationszahl: 4



Energieterme der Elektronen im Element C

2p 1 1

2s 11

1s 11

Grundzustand Energieterme der Elektronen im Diamant

sp<sup>3</sup> 1 1 1 1

1s 11

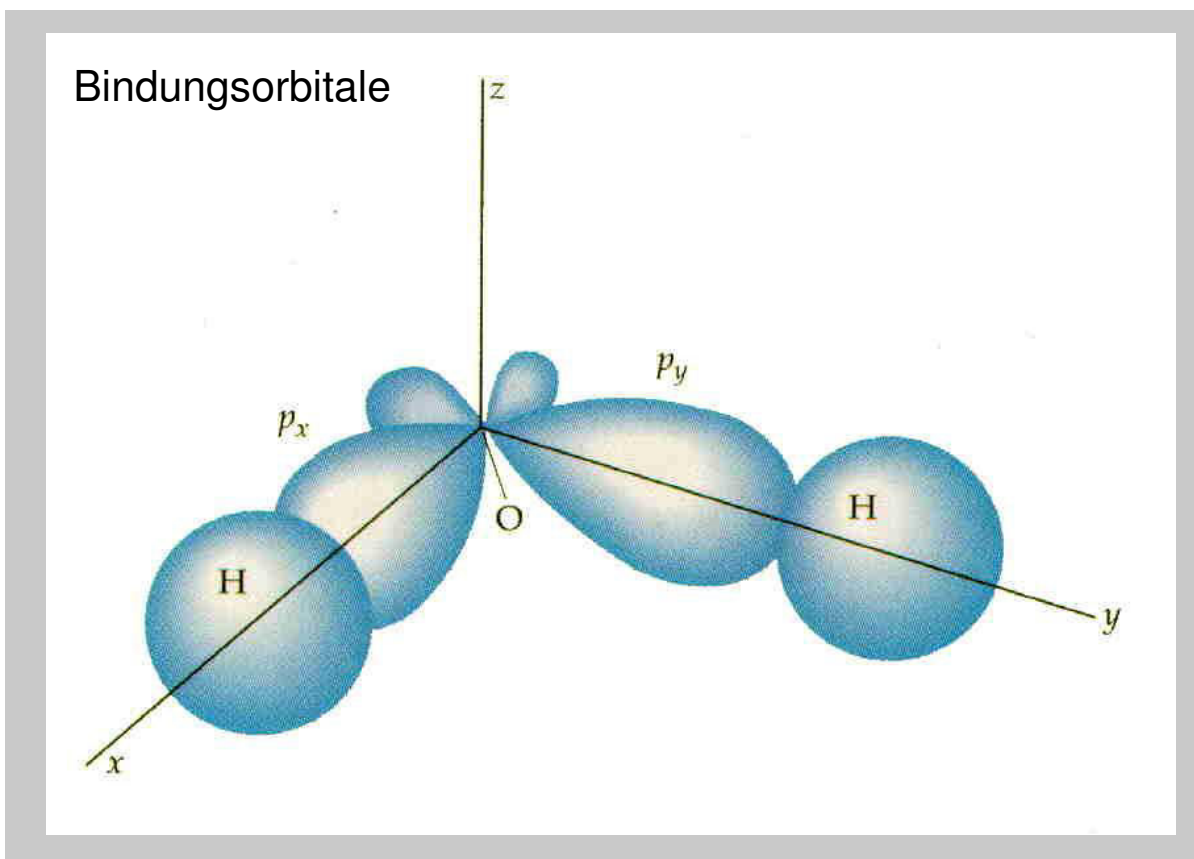
hybridisierter Zustand

Diamantstruktur (isomorph: Si, Ge)

[Tipler 1994, Mortimer 1973]

# 1.3 Chemische Bindungen Wasser (H<sub>2</sub>O-Molekül)





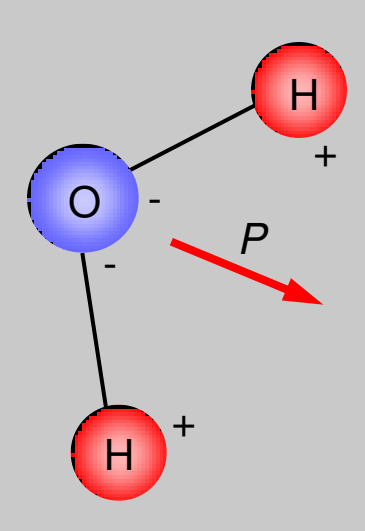
Bindungswinkel: 104,5°

Hybridorbital: sp<sup>3</sup>

px, py -Orbitale des Sauerstoff

s - Orbital des Wasserstoffs

Sauerstoff besitzt eine höhere Elektronenaffinität als Wasserstoff.



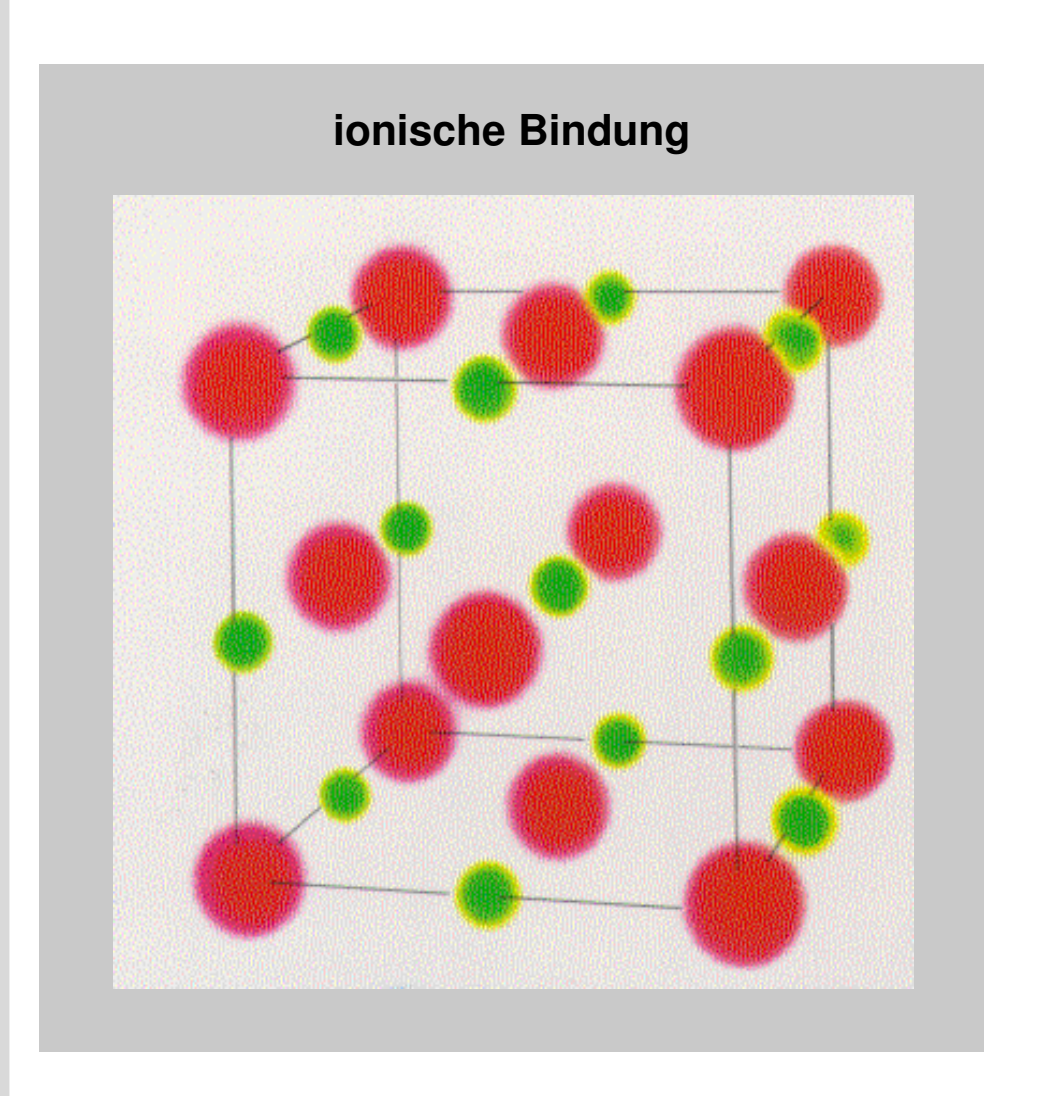
Es entsteht ein permanentes Dipolmoment *P.* 

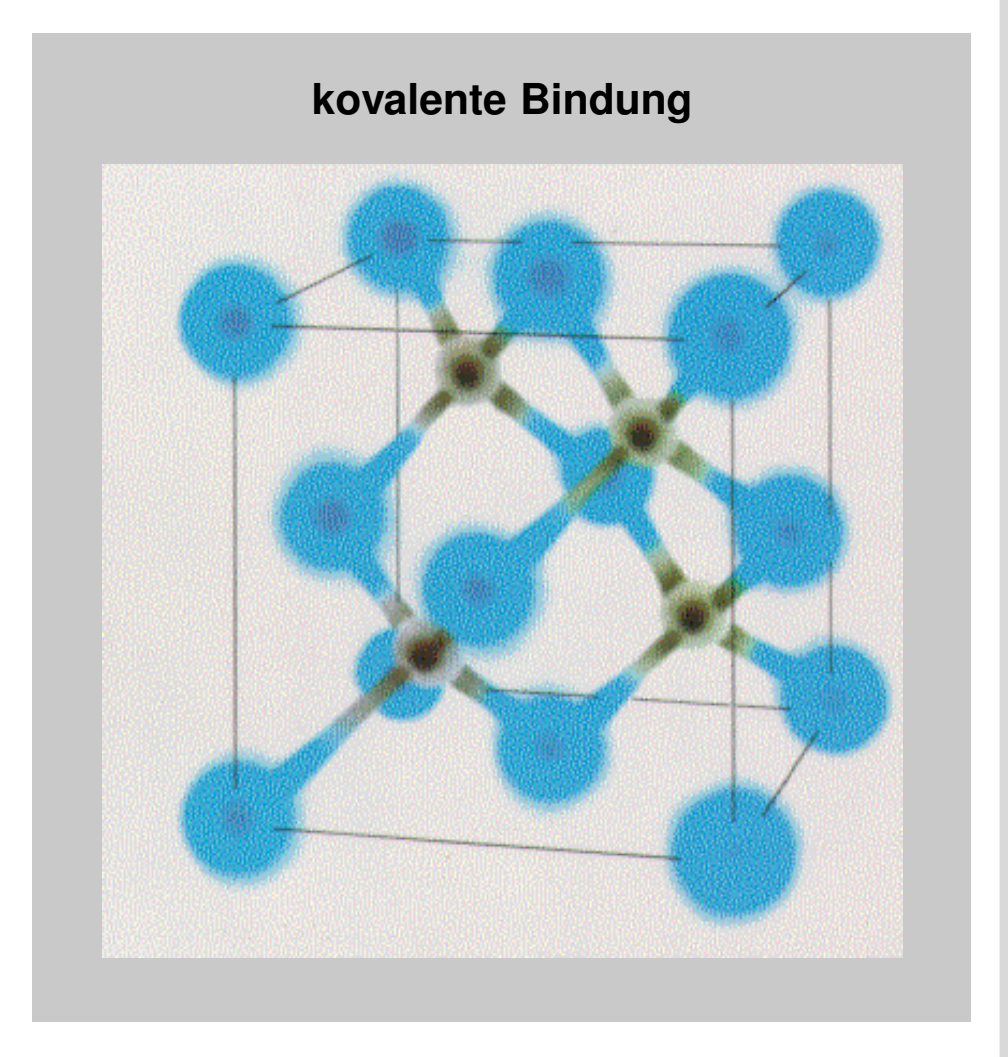
⇒ Wasser ist ein Dielektrikum (Orientierungspolarisation)

[Tipler 1994]

## 1.3 Chemische Bindungen Vergleich ionischer/ kovalenter Bindungstyp







## 1.3 Chemische Bindungen Übergang zwischen ionischer und kovalenter Bindung

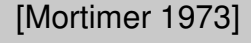


In der Realität sind nur die wenigsten Verbindungen rein ionisch oder rein kovalent. 

⇒ normalerweise herrschen gemischte Bindungen vor.

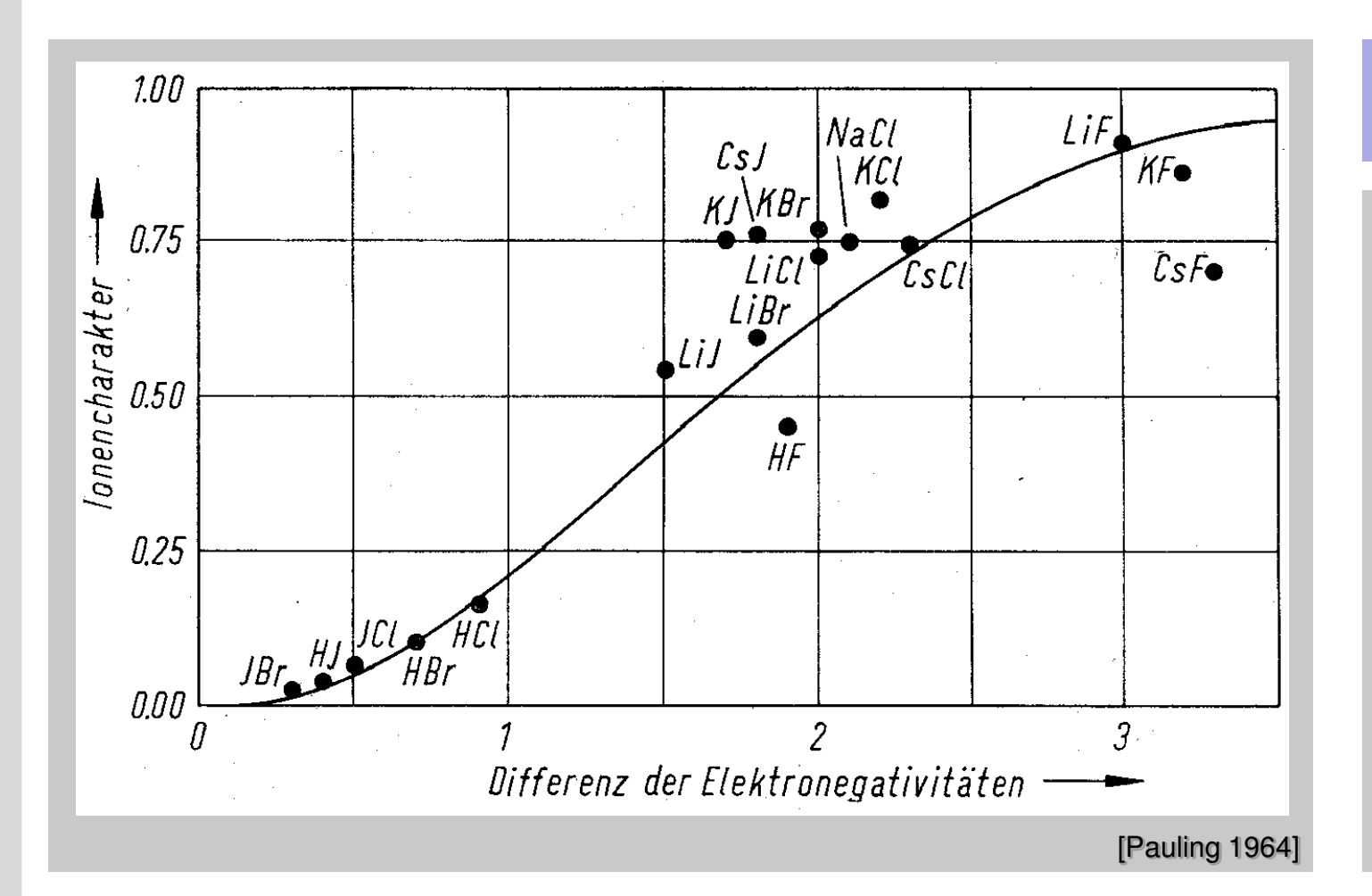
Ionische Bindung ungerichtet

Kovalente Bindung gerichtet



# 1.3 Chemische Bindungen Ionischer Grad einer Bindung





#### **lonencharakter**

ionischer Grad einer Verbindung

$$1 - \exp\left[-\frac{\left(x_A - x_B\right)^2}{4}\right]$$

*x<sub>i</sub>*: Elektronegativität des Elements *i* 

# 1.3 Chemische Bindungen Ionischer Bindungsanteil bei verschiedenen binären Verbindungen



Kristall	lonen- charakter	Kristall	lonen- charakter	Kristall	lonen- charakter
Si	0,00	InP	0,42	MgO	0,84
SiC	0,18	InAs	0,36	MgS	0,79
Ge	0,00	InSb	0,32	MgSe	0,79
ZnO	0,62	GaAs	0,31	LiF	0,92
ZnS	0,62	GaSb	0,26	NaCl	0,94
ZnSe	0,63			RbF	0,96
ZnTe	0,61	CuCl	0,75	$Al_2O_3$	0,63
		CuBr	0,74	SiO <sub>2</sub>	0,51
CdO	0,79			Si₃N₄	0,30
CdS	0,69	AgCl	0,86		
CdSe	0,70	AgBr	0,85		
CdTe	0,67	AgI	0,77		

vollständig bzw. überwiegend ionisch

vollständig bzw. überwiegend kovalent

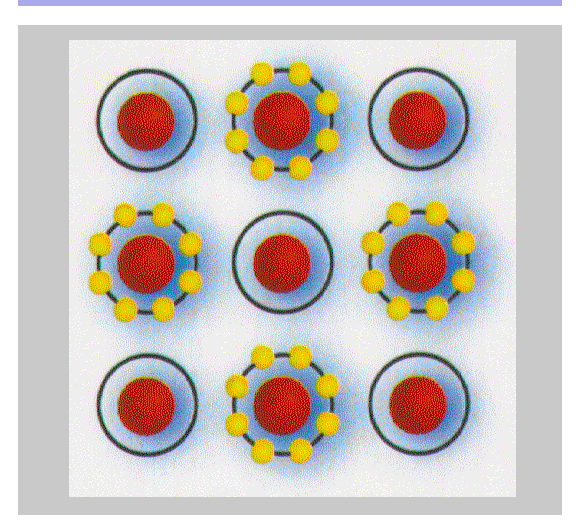
[Schaumburg 1990]

Prof. Dr.-Ing. Ellen Ivers-Tiffée - Passive Bauelemente

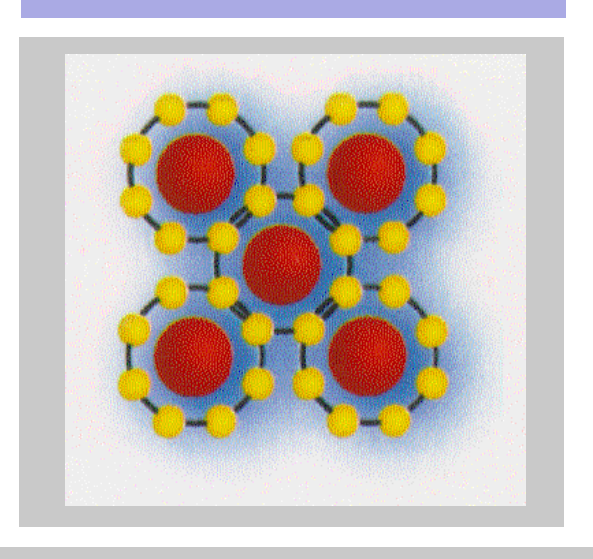
## 1.3 Chemische Bindungen Vergleich der ionischen, kovalenten und metallischen Bindung



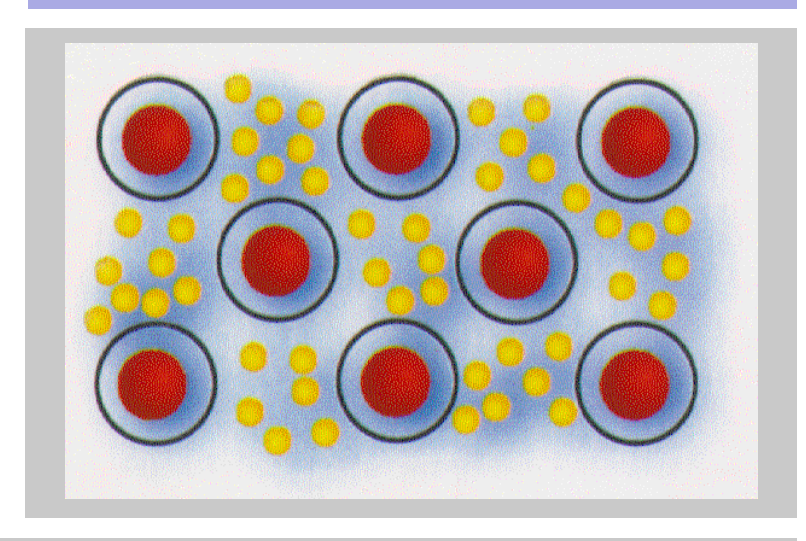
#### ionisch



#### kovalent



#### metallisch



Verbindungen der Hauptgruppenelemente:

1 + 17 : NaCl 2 + 16 : MgO Halbleiter: GaAs, InSb, SiC Moleküle: CH₄ Elementverbindungen: C, Si, Ge

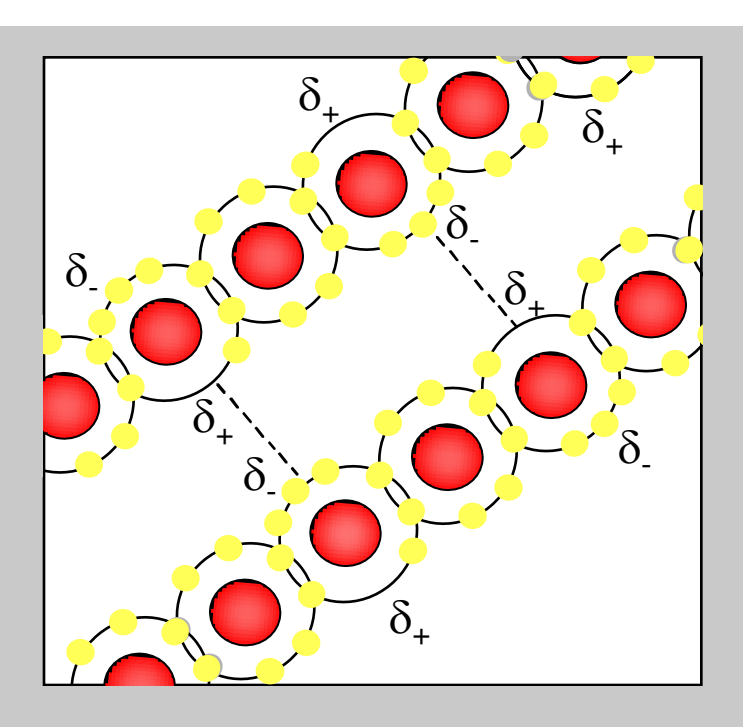
Intermetallische Verbindungen

Elementverbindungen der Metalle

# 1.3 Chemische Bindungen Exkurs: Van-der-Waals- und Wasserstoffbrückenbindung

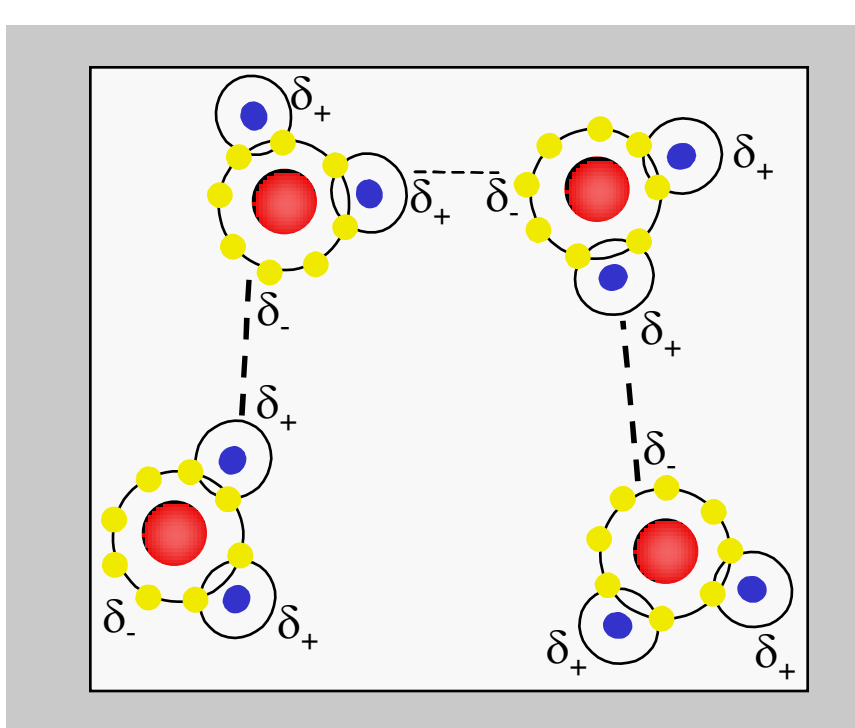


#### Van-der-Waals-Bindung



Bindung aufgrund Ausbildung momentaner Dipolmomente

### Wasserstoffbrücken-Bindung



Bindung aufgrund der permanenten Dipolmomente

## 1.3 Chemische Bindungen Typen kristalliner Feststoffe



Bindung	Teilchen	Elektronen- verteilung	Elektrische Eigenschaften	Typische Bindungsenergie	Beispiele
ionisch	Positive und negative Ionen	Kugelförmig am Ion Iokalisiert	lonenleiter	800 kJ/mol	NaCl
kovalent	Atome	Zwischen 2 Atomen lokalisiert	Isolator	600 kJ/mol	C (Diamant), SiC, Ge, AsIn
metallisch	Positive Ionen Bewegliche Elektronen	Völlig delokalisiert	Sehr guter elektrischer Leiter	100 kJ/mol	Cu, Ag, Pt, Fe
Van-der-Waals	Moleküle			50 kJ/mol	Paraffin
					[IWE]





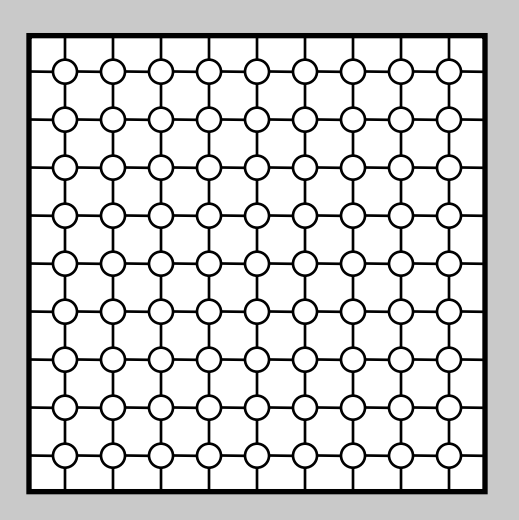
# **Ende Vorlesung 1**

# 1.4 Ideale Kristalle Einkristalline, polykristalline und amorphe Festkörper



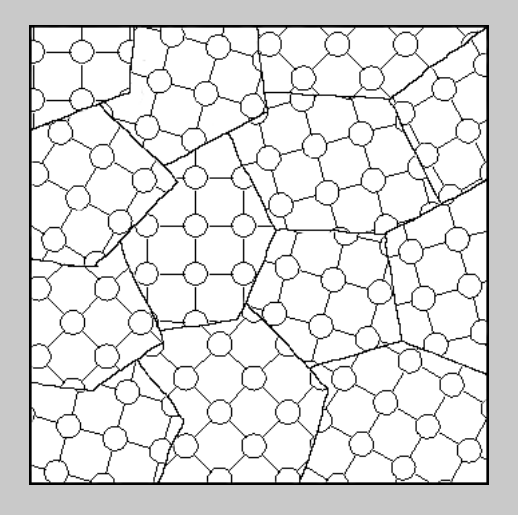
#### **Festkörper**

#### Einkristallin



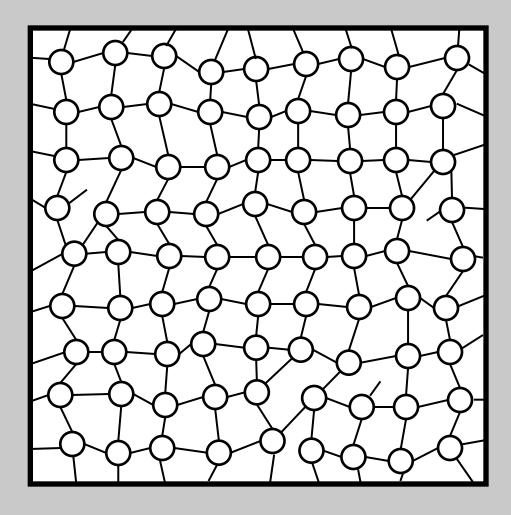
Fernordnung der Atome im gesamten Festkörper.

#### Polykristallin



Fernordnung der Atome in bestimmten Bereichen des Festkörpers.

#### Amorph

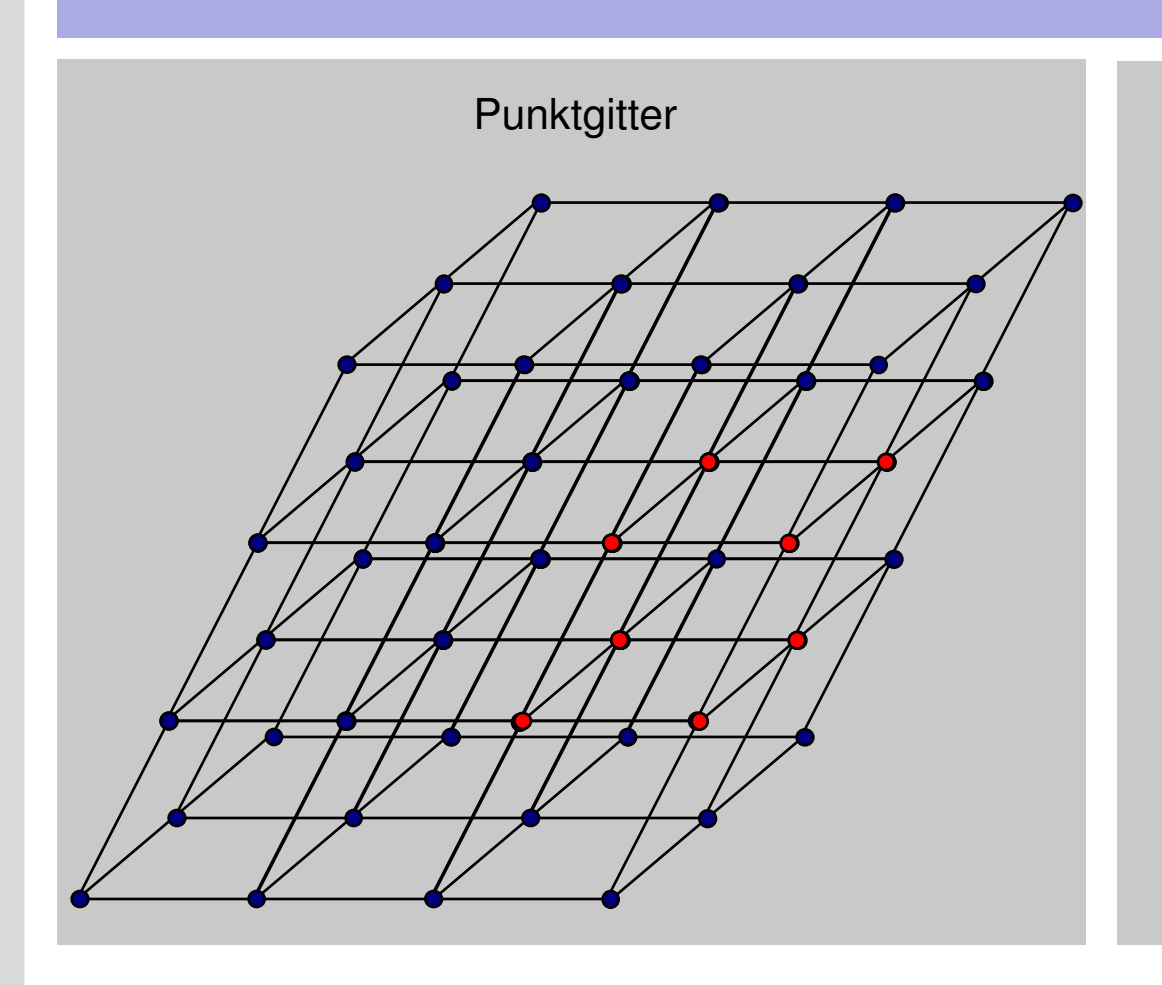


Fernordnung der Atome ist gestört, es existiert lediglich eine Nahordnung.

# 1.4 Ideale Kristalle Punktgitter, Elementarzelle und Gitterkonstanten



#### Angabe der Fernordnung durch Punktegitter und Elementarzelle



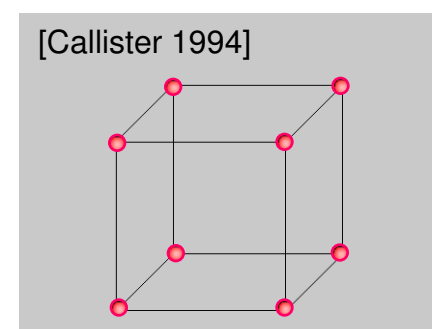
# 

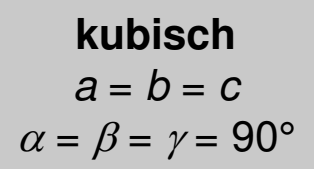
x, y, z - Achsenrichtungen a, b, c - Achsenabschnitte der Elementarzelle

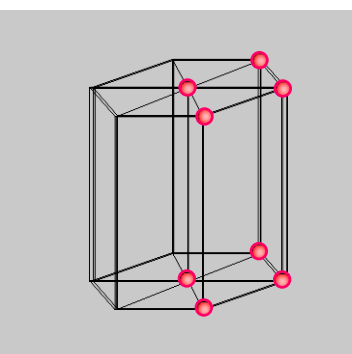
 $\alpha$ ,  $\beta$ ,  $\gamma$  - Gitterwinkel der Elementarzelle

# 1.4 Ideale Kristalle Kristallgitter-Typen

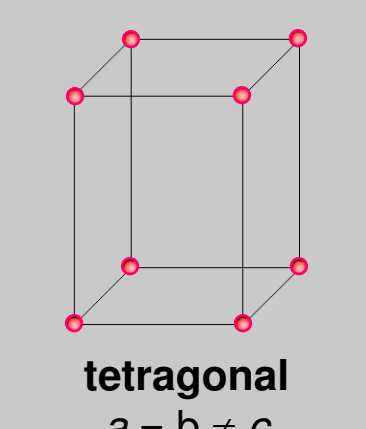


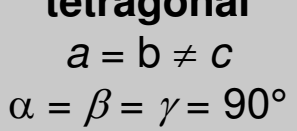


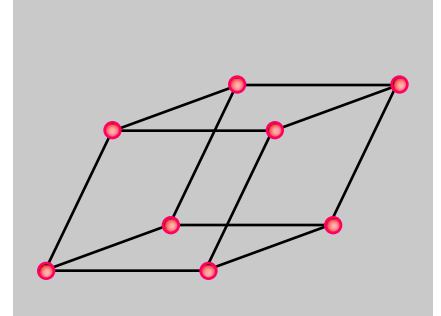




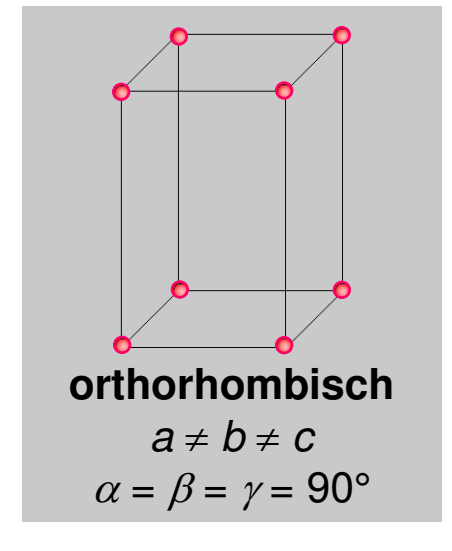
hexagonal  $a = b \neq c$  $\alpha = \beta = 90^{\circ} \gamma = 120^{\circ}$ 

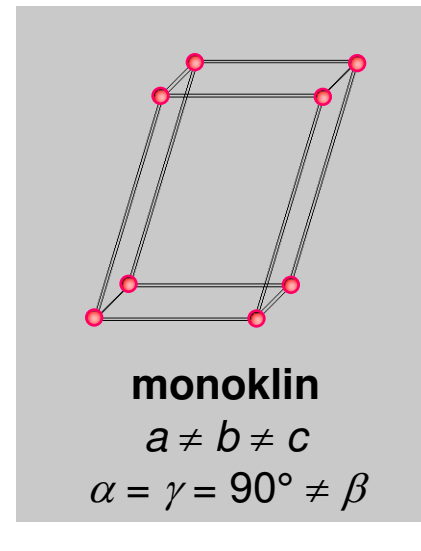


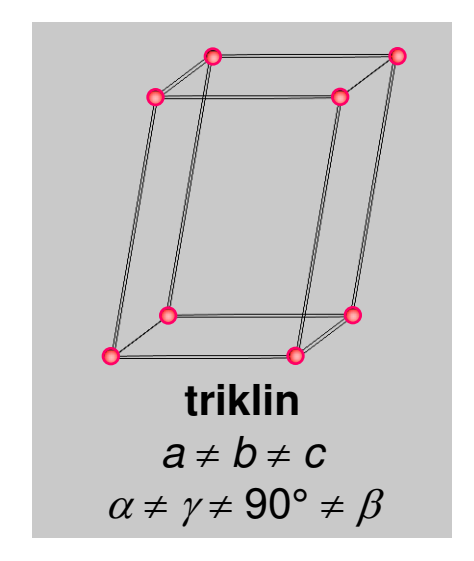




rhomboedrisch a = b = c $\alpha = \beta = \gamma \neq 90^{\circ}$ 



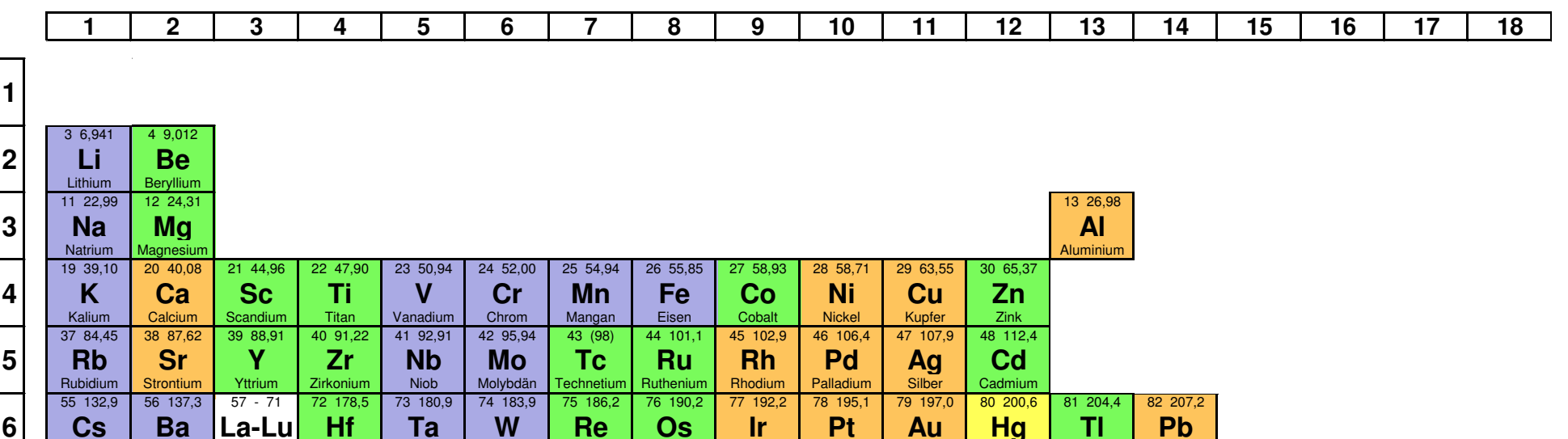




# 1.4 Ideale Kristalle Metalle: Kristallstrukturen (bei Raumtemperatur)







	57 138,9	58 104,1	59 140,9	60 144,2	61 147,0	62 150,4	63 152,0	64 157,3	65 158,9	66 162,5	67 164,9	68 167,3	69 168,9	70 173,0	71 175,0
Lanthanoide	La	Ce	Pr	Nd	Pm	Sm	Eu	Gd	Tb	Dv	Но	Er	Tm	Yb	Lu
	Lanthan				Promethium								Thulium		Lutetium

Osmium

kubisch raumzentriert (krz)

kubisch flächenzentriert (kfz)

Quecksilbe

Blei

hexagonal dichteste Packung (hdp)

Tantal

Wolfram

rhomboedrisch

[Mortimer 1973]

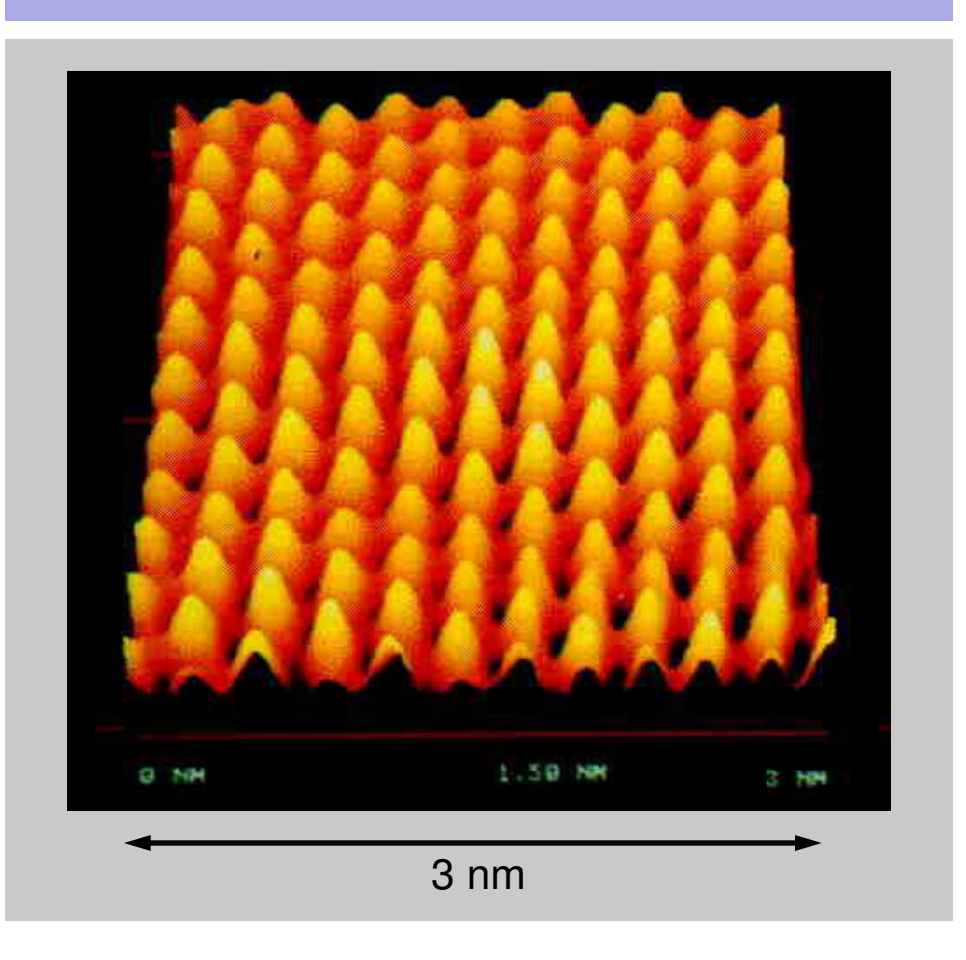
Perioden

Barium

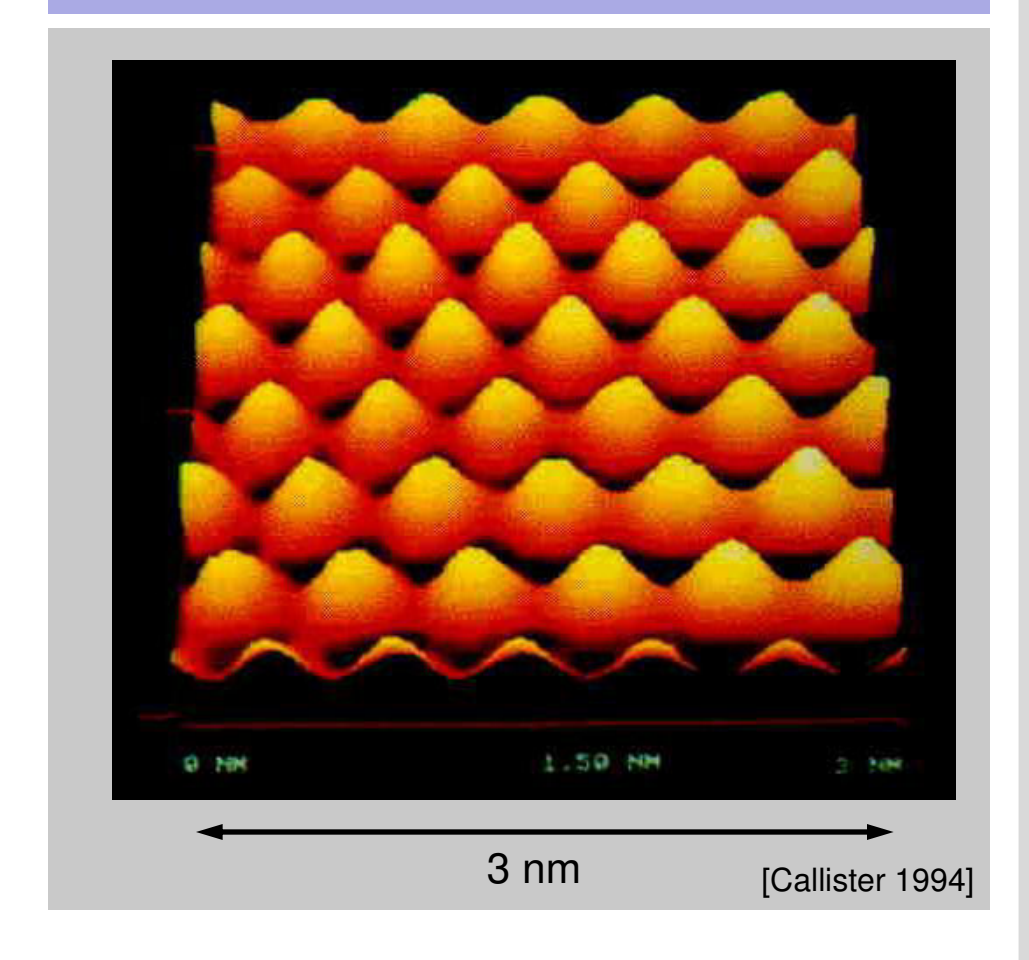
## 1.4 Ideale Kristalle Metalle: Rasterelektronenmikroskopie von Atomebenen



### (111)-Ebene in Gold

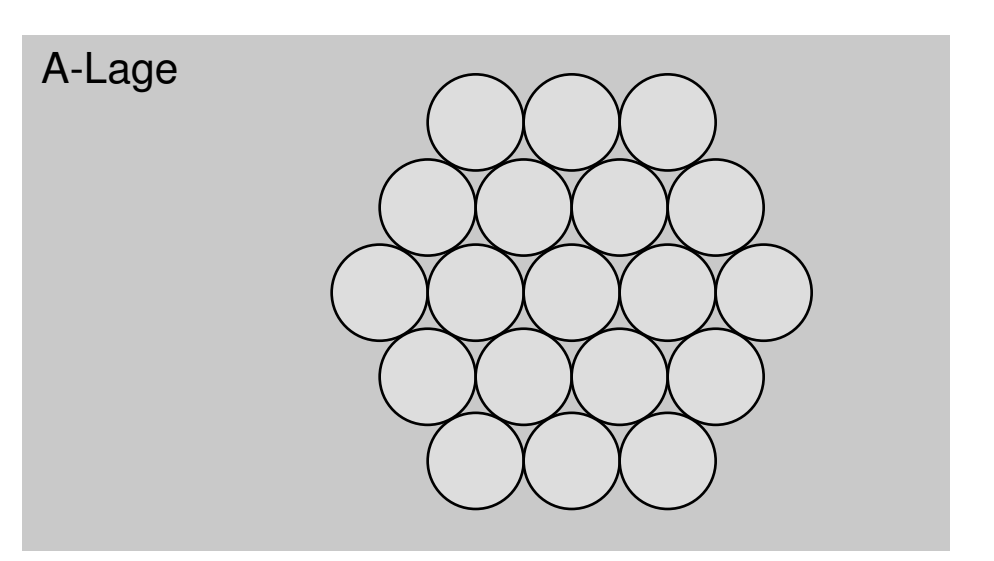


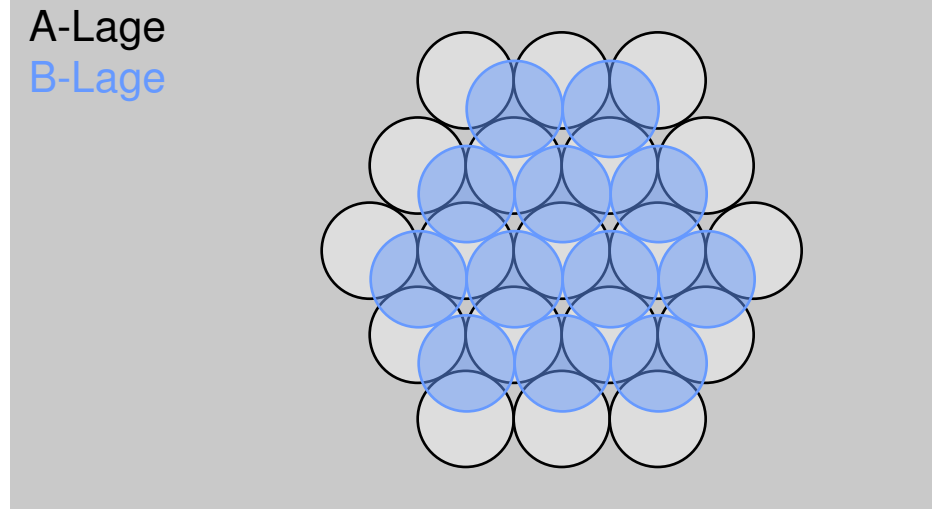
#### 1 Monolage Kupferatome zusätzlich

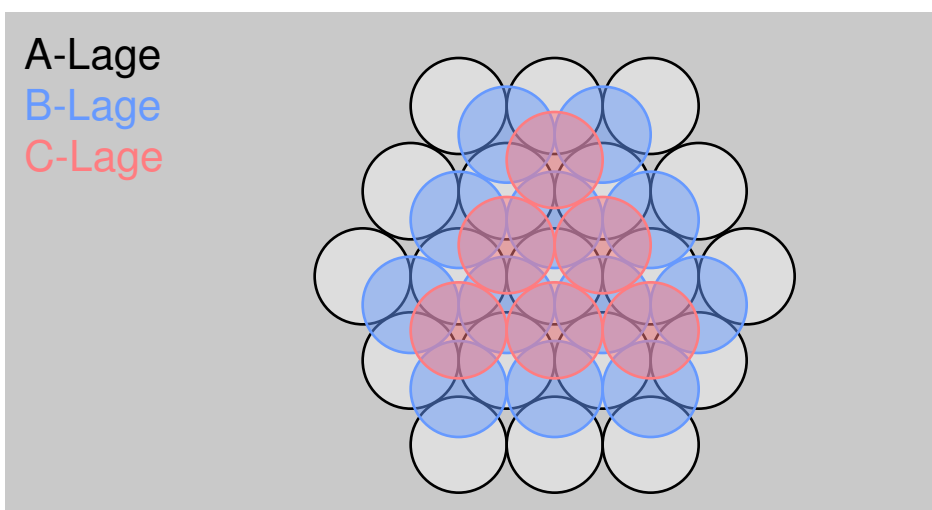


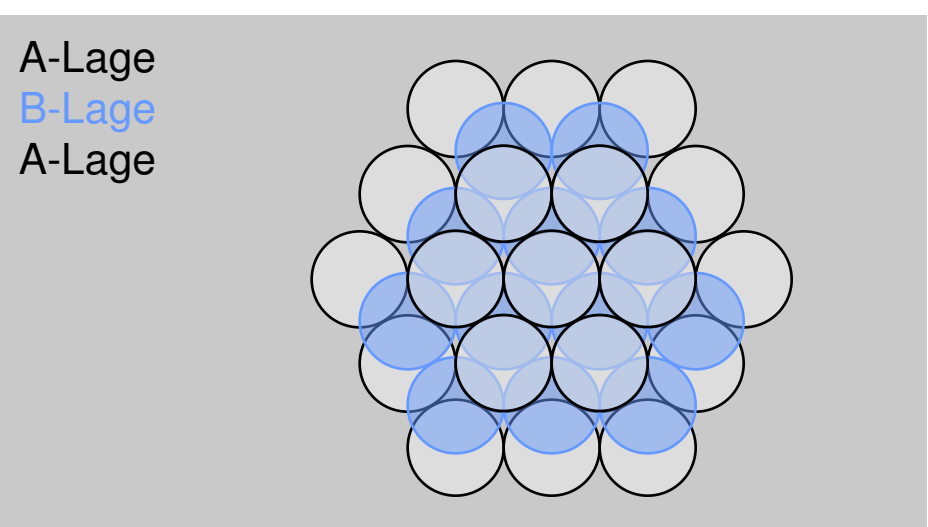
## 1.4 Ideale Kristalle Metalle: Räumlich dichteste Kugelpackungen











## 1.4 Ideale Kristalle **Metalle: Hexagonales Gitter (hdp)**



## Hexagonal dichteste Kugelpackung (hdp)

74% Raumerfüllung Koordinationszahl 12

a, c = Gitterkonstantend = Ionendurchmesser

$$a = d$$

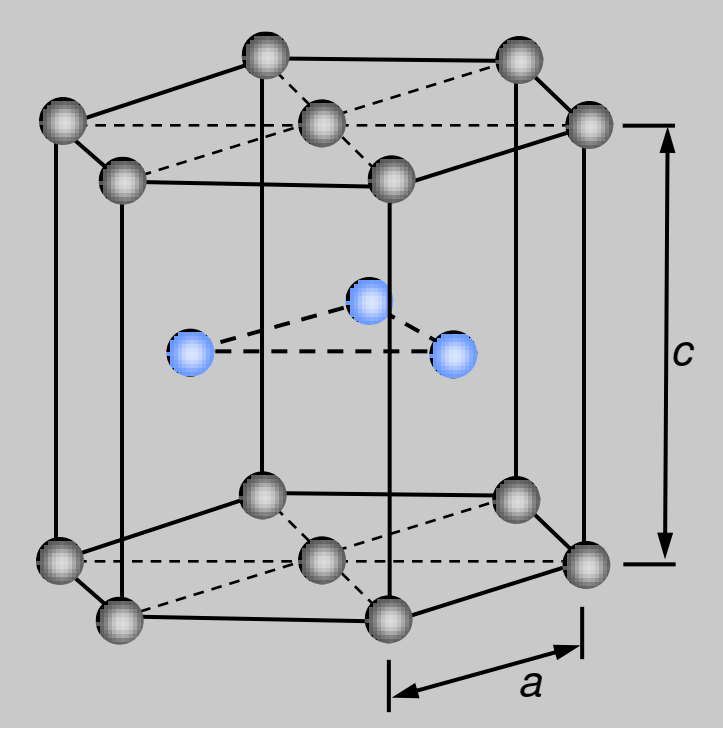
$$c=\sqrt{\frac{8}{3}}\cdot a$$

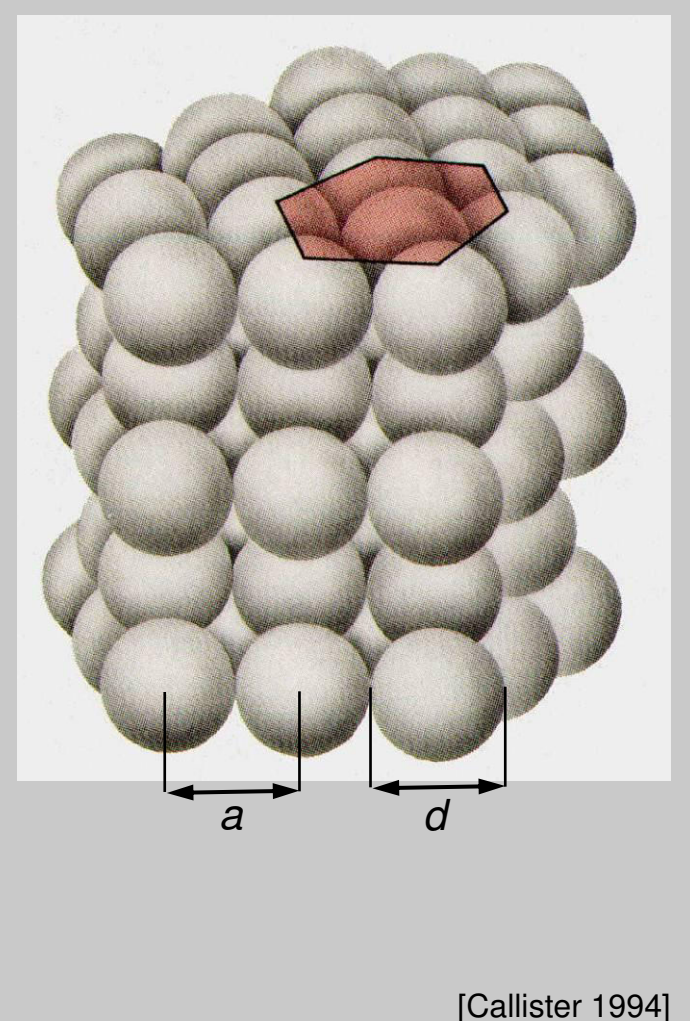
$$c = \sqrt{\frac{8}{3}} \cdot d$$

$$\frac{c}{a} = 1,633$$

(ideal)

## Stapelfolge der Ebenen A-B-A-





## 1.4 Ideale Kristalle Metalle: Kubisch flächenzentriertes Gitter (kfz)



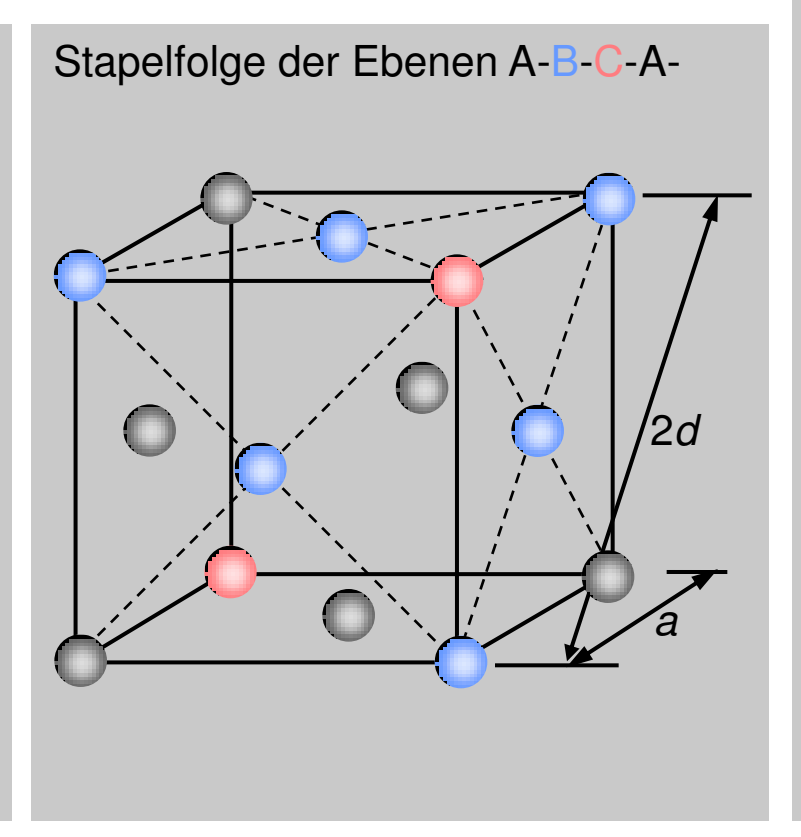
#### **Kubisch dichteste Kugelpackung**

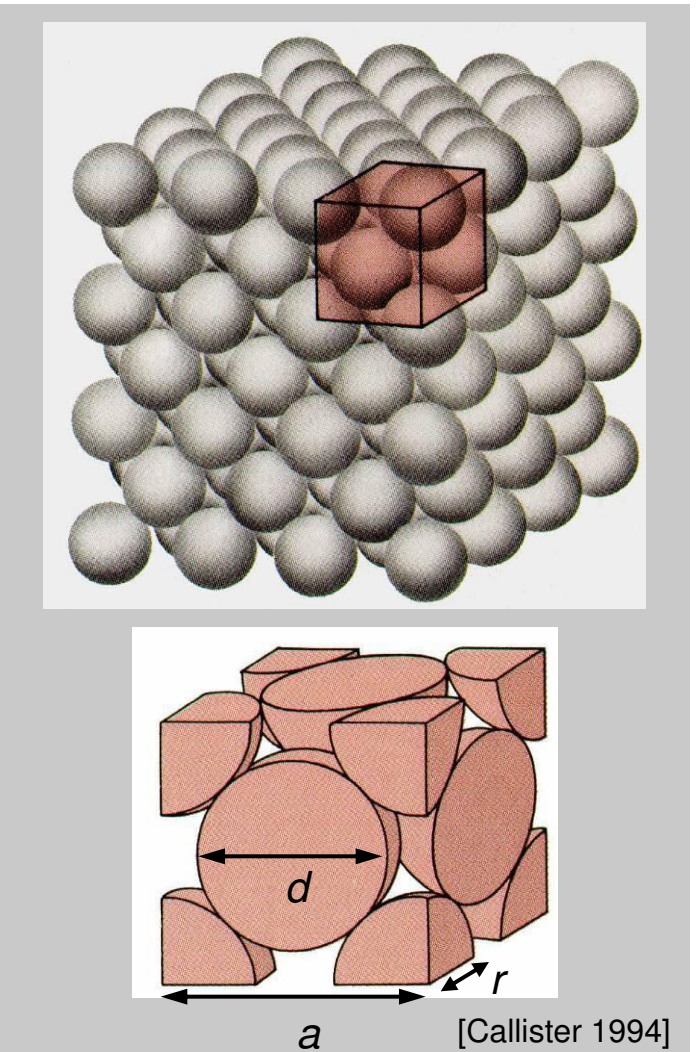
74% Raumerfüllung Koordinationszahl 12

*a* = Gitterkonstante

*d* = lonendurchmesser

$$a = \sqrt{2} \cdot d$$





Prof. Dr.-Ing. Ellen Ivers-Tiffée - Passive Bauelemente

# 1.4 Ideale Kristalle Metalle: Kubisch raumzentriertes Gitter (krz)

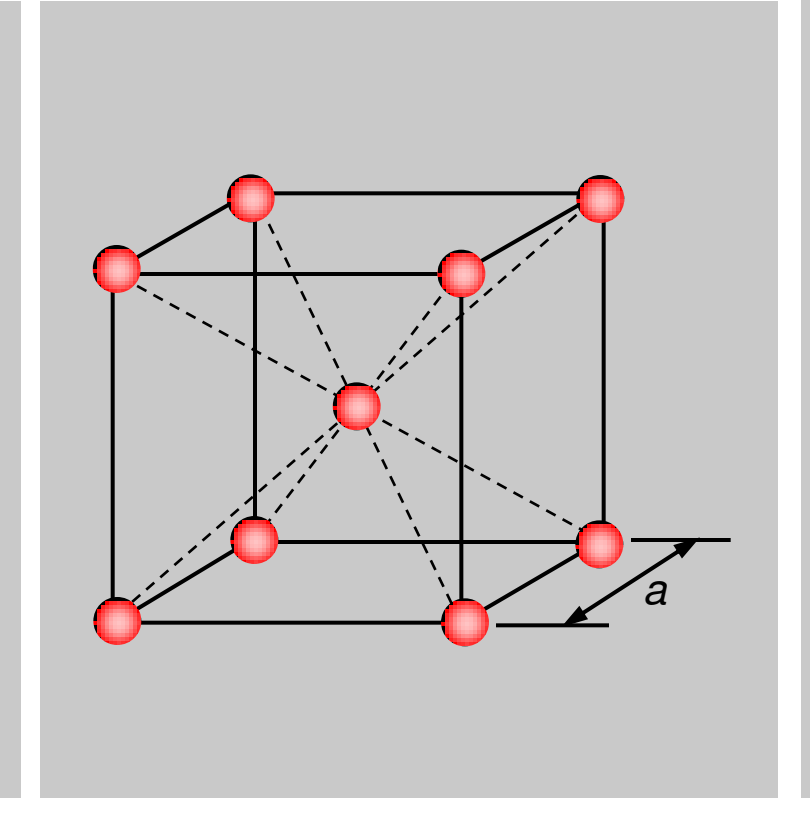


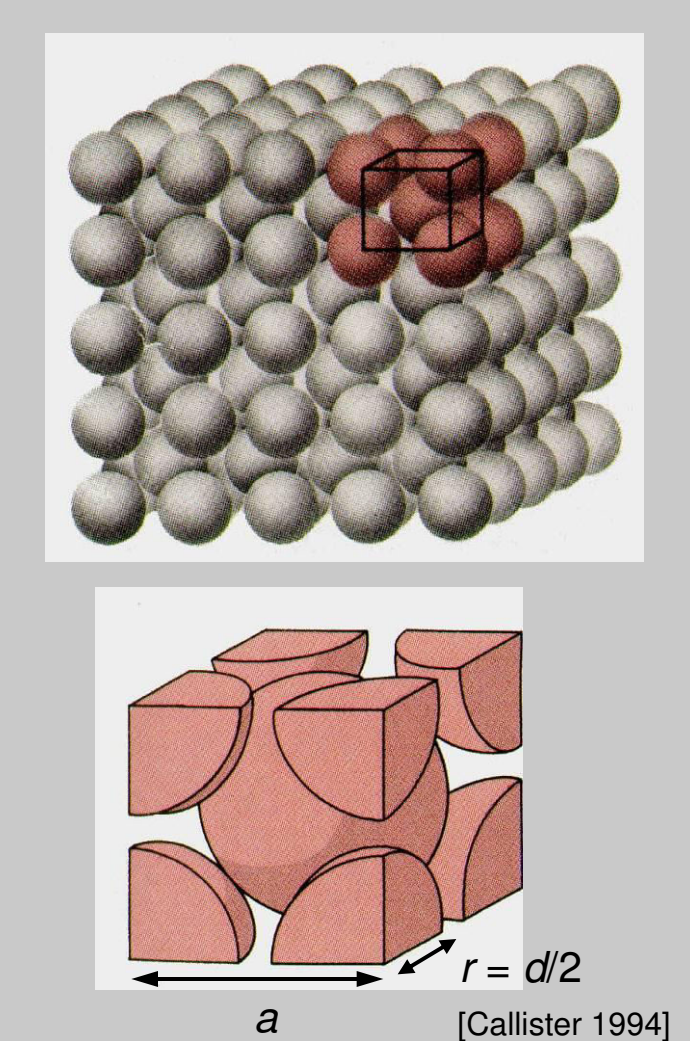
68% Raumerfüllung Koordinationszahl 8

*a* = Gitterkonstante

*d* = lonendurchmesser

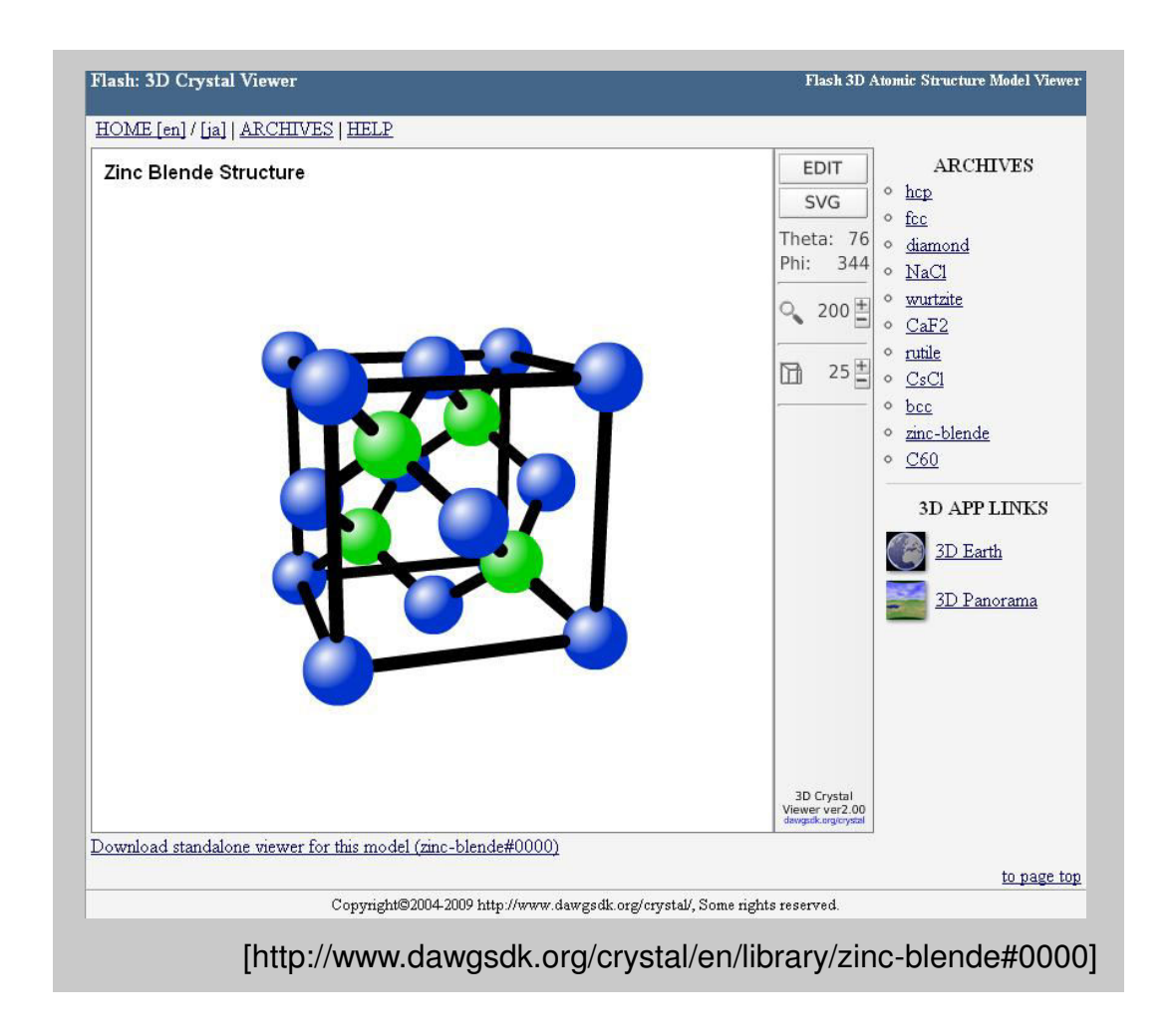
$$a = \sqrt{\frac{4}{3}} \cdot d$$





# 1.4 Ideale Kristalle Applet: 3D Crystal Viewer

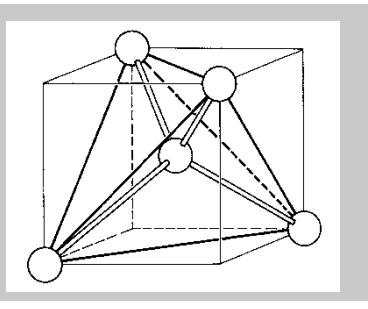




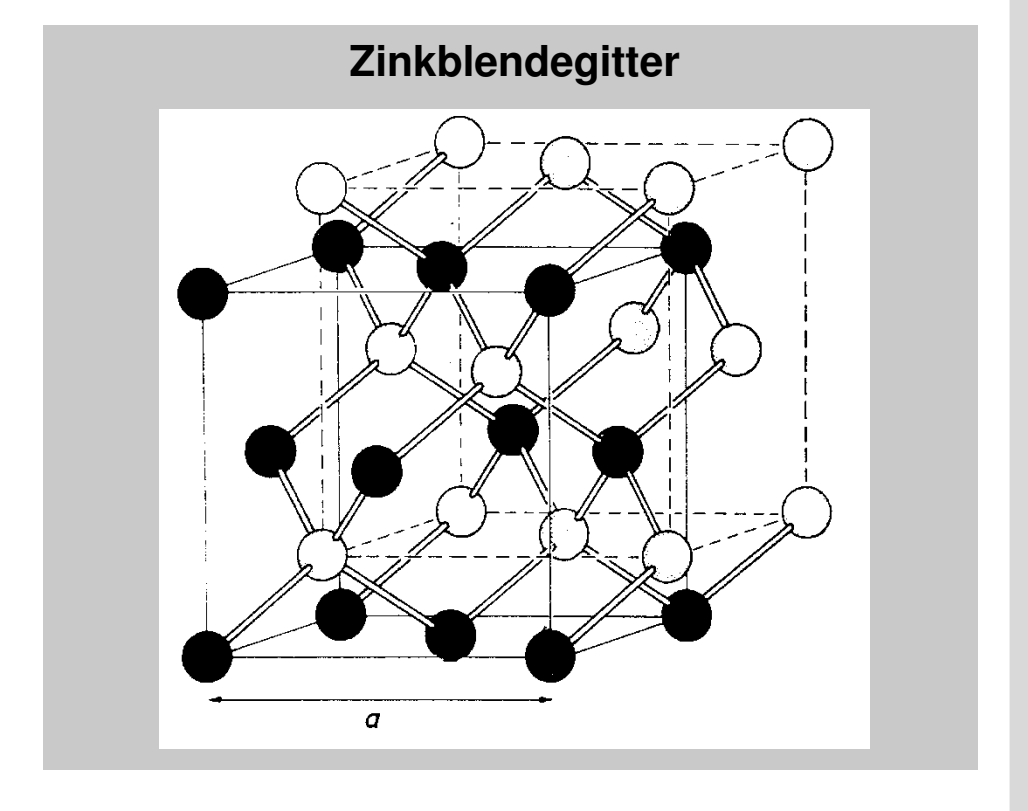
## 1.4 Ideale Kristalle Kovalente Bindung: Tetraedrische Koordination



Tetraedrische Koordination von Atomen

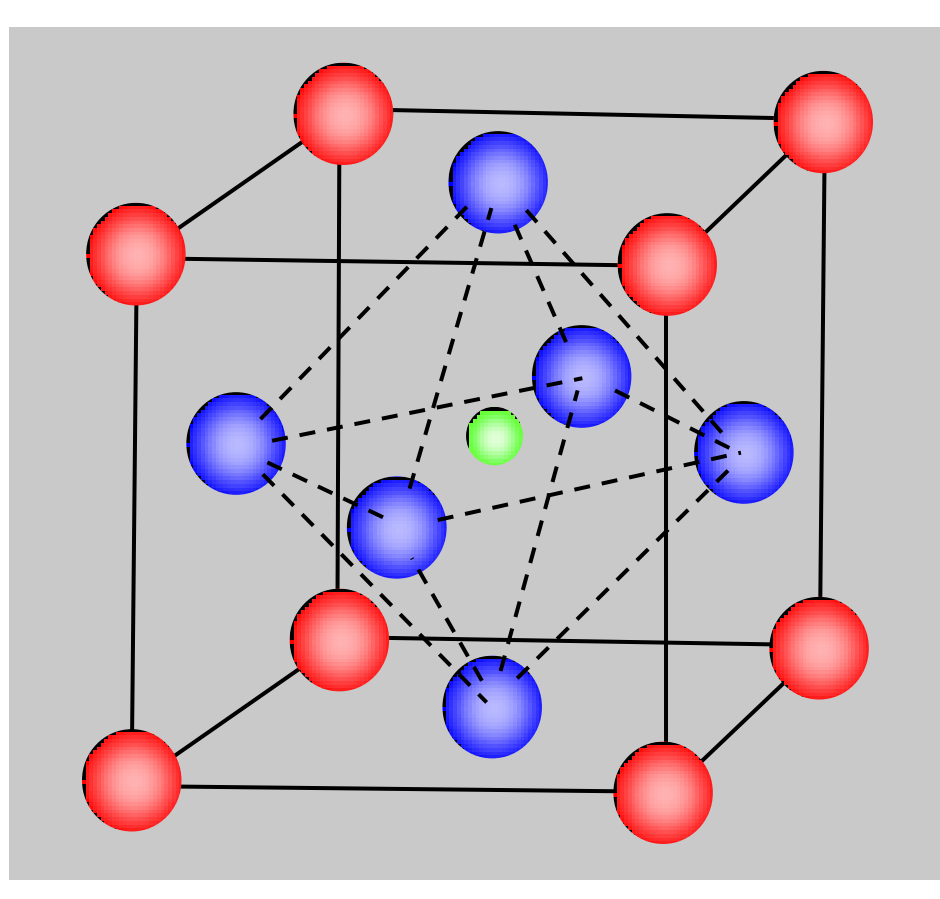


# Diamantgitter



# 1.4 Ideale Kristalle Perowskit ABO<sub>3</sub>







#### A-Kationen:

kubisch primitives Gitter



**B-Kationen:** 

Besetzung der Raumzentren



O-Anionen:

Besetzung der Flächenzentren

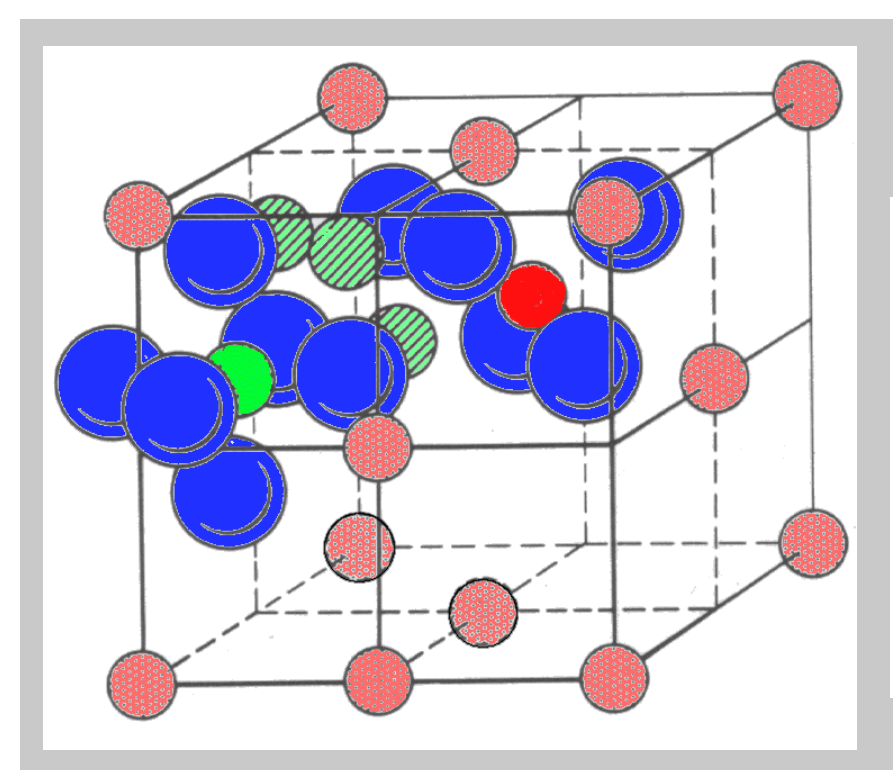
Oxidationszahlen	Beispiele					
II / IV A <sup>2+</sup> / B <sup>4+</sup>	BaTiO <sub>3</sub>					
	Pb(Zr,Ti)O <sub>3</sub>					
I / V A+ / B <sup>5+</sup>	KTaO <sub>3</sub>					
III / III A <sup>3+</sup> / B <sup>3+</sup>	LaMnO <sub>3</sub>					

**Anwendungen:** nichtlineare Widerstände (PTC), SMD-Kondensatoren, piezoelektrische Sensoren und Aktoren, Pyrodetektoren, ferroelektrische Speicher

[Chiang 1997]

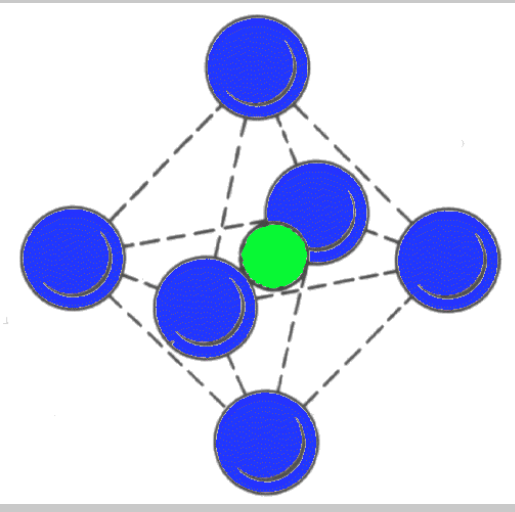
## 1.4 Ideale Kristalle Spinell AB<sub>2</sub>O<sub>4</sub> (AO·B<sub>2</sub>O<sub>3</sub>)





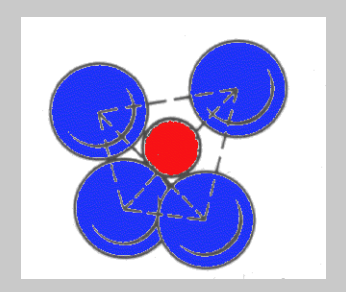
#### **B-Kationen:**

größeres Kation in Oktaeder-Umgebung



#### **A-Kationen:**

kleineres Kation in Tetraeder-Umgebung



#### Beispiele:

A = Mg, Mn, Co, Ni, Zn B = Al, Cr, Fe, Mn, Co MgAl<sub>2</sub>O<sub>4</sub> (Spinell), Fe<sub>3</sub>O<sub>4</sub> (Fe<sup>3+</sup>Fe<sup>3+</sup>Fe<sup>2+</sup>O<sup>2-</sup><sub>4</sub>) (inverser Spinell)

#### **O-Anionen:**

kfz- oder hdp-Packung

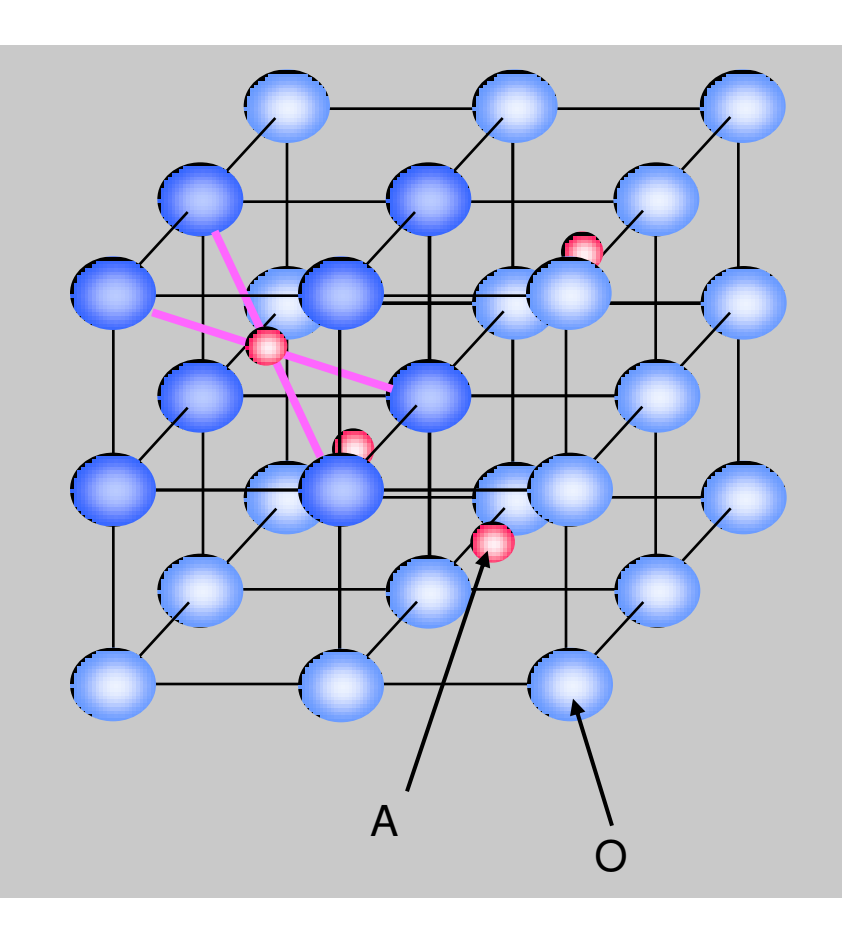
**Anwendungen:** nichtmetallische, polykristalline Magnetwerkstoffe, Weichferrite und Hartferrite

[Chiang 1997]



# 1.4 Ideale Kristalle Fluorit AO<sub>2</sub>





#### A-Kationen:

(kleine) Kationen in jedem zweiten O-Würfel

#### O-Anionen:

(große) Anionen in kubischer Kugelpackung Koordinationszahlen: 8 für Kation / 4 für Anion

#### Beispiel:

ZrO<sub>2</sub>, CeO<sub>2</sub>

**Anwendungen:** ZrO<sub>2</sub> als Sauerstoff-Ionenleiter in der Lambda-Sonde, Regelung von Verbrennungsmotoren

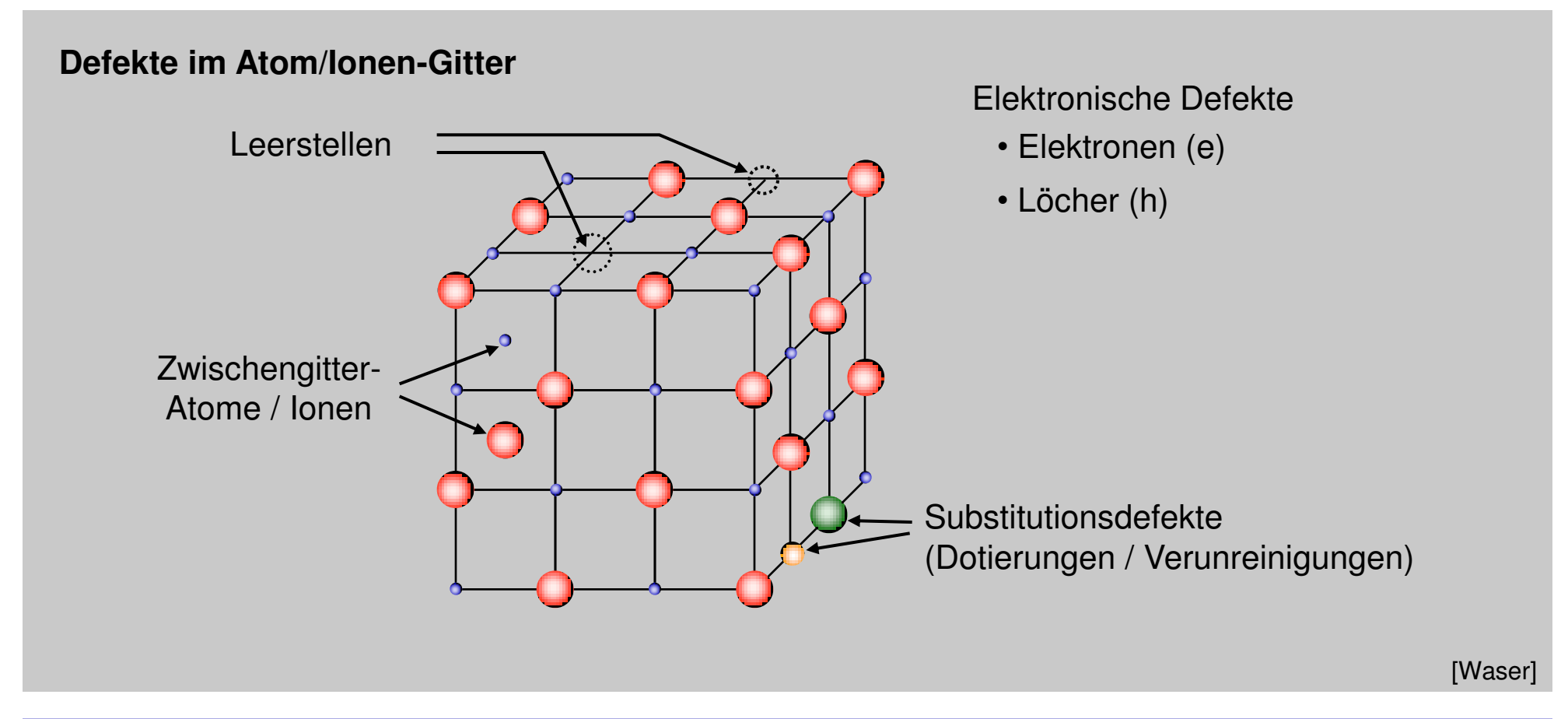
### 1.5 Kristallfehler und reale Festkörper Übersicht der Kristallfehler



Dimension	Тур	Bildung / Ursache
0-dimensional (in 3 Dimensionen von atomarer Ausdehnung)	Eigenfehlordnung (Schottky, Frenkel)	thermodynamisch bedingt, d.h. temperaturabhängig
	Fremdstörstelle / Substitution (Verunreinigung)	unreines Ausgangsmaterial
1-dimensional (in 2 Dimensionen von atomarer Ausdehnung)	Stufenversetzung Schraubenversetzung	herstellungsbedingt  • Wachstumsprozesse (intern)  • mechanische Beanspruchung (extern)
2-dimensional (in 1 Dimension von atomarer Ausdehnung)	Korngrenze Zwillingsebene Stapelfehler	
3-dimensional	Pore	

### 1.5 Kristallfehler und reale Festkörper Punktdefekte/ 0-dimensionale Kristallfehler (1)

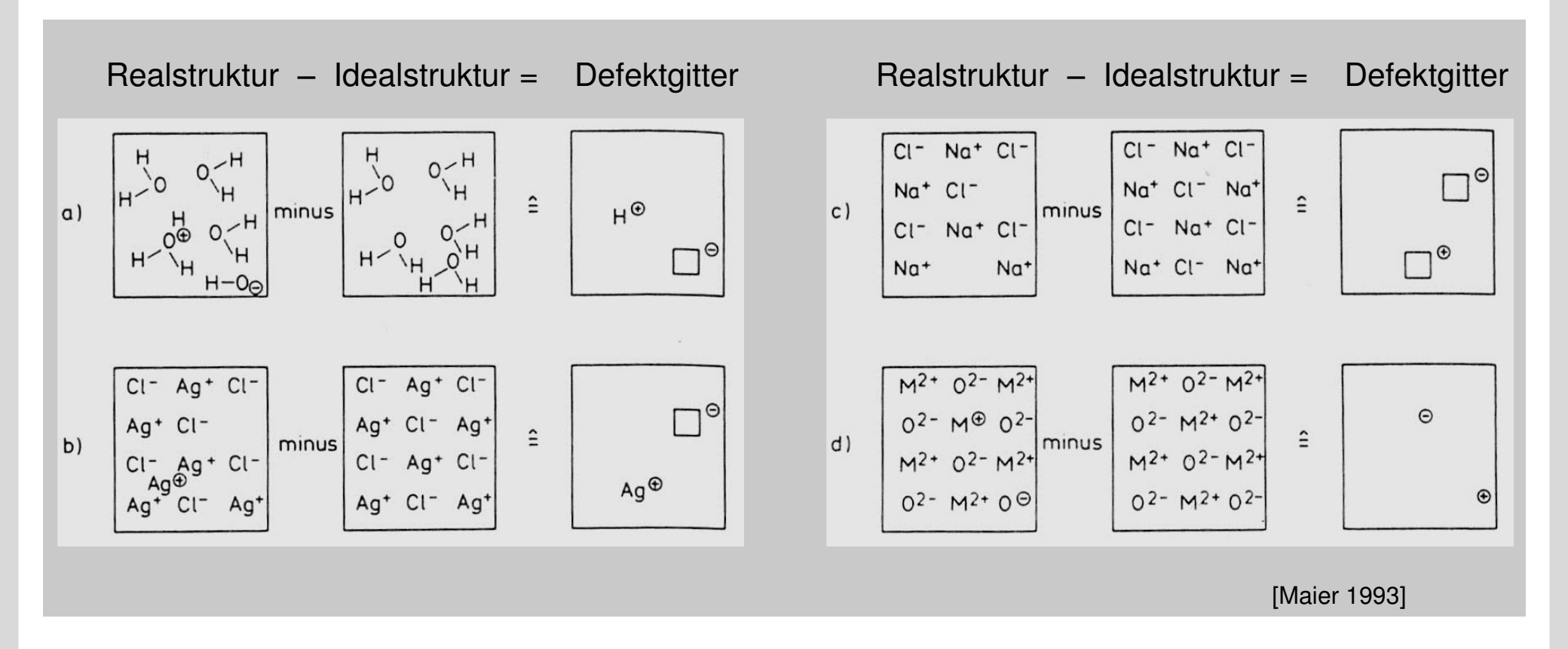




In vielen Werkstoffen (z.B. Halbleitern) bestimmen Punktdefekte die elektrischen Eigenschaften.

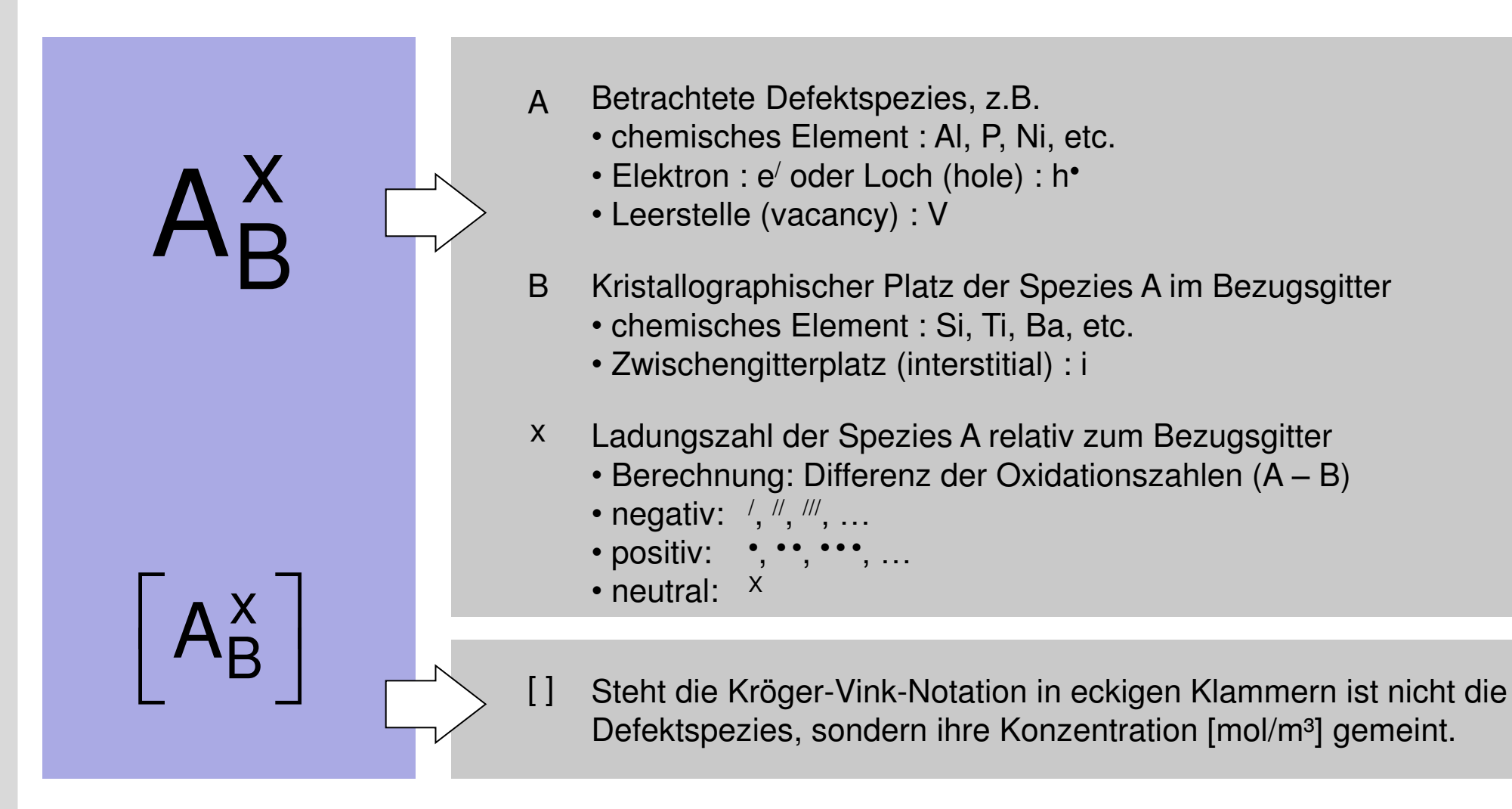
## 1.5 Kristallfehler und reale Festkörper Punktdefekte/ 0-dimensionale Kristallfehler (2)





## 1.5 Kristallfehler und reale Festkörper Kröger-Vink-Notation zur Beschreibung von Defekten

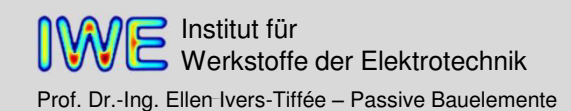




# 1.5 Kristallfehler und reale Festkörper Beispiele für Kröger-Vink-Notation

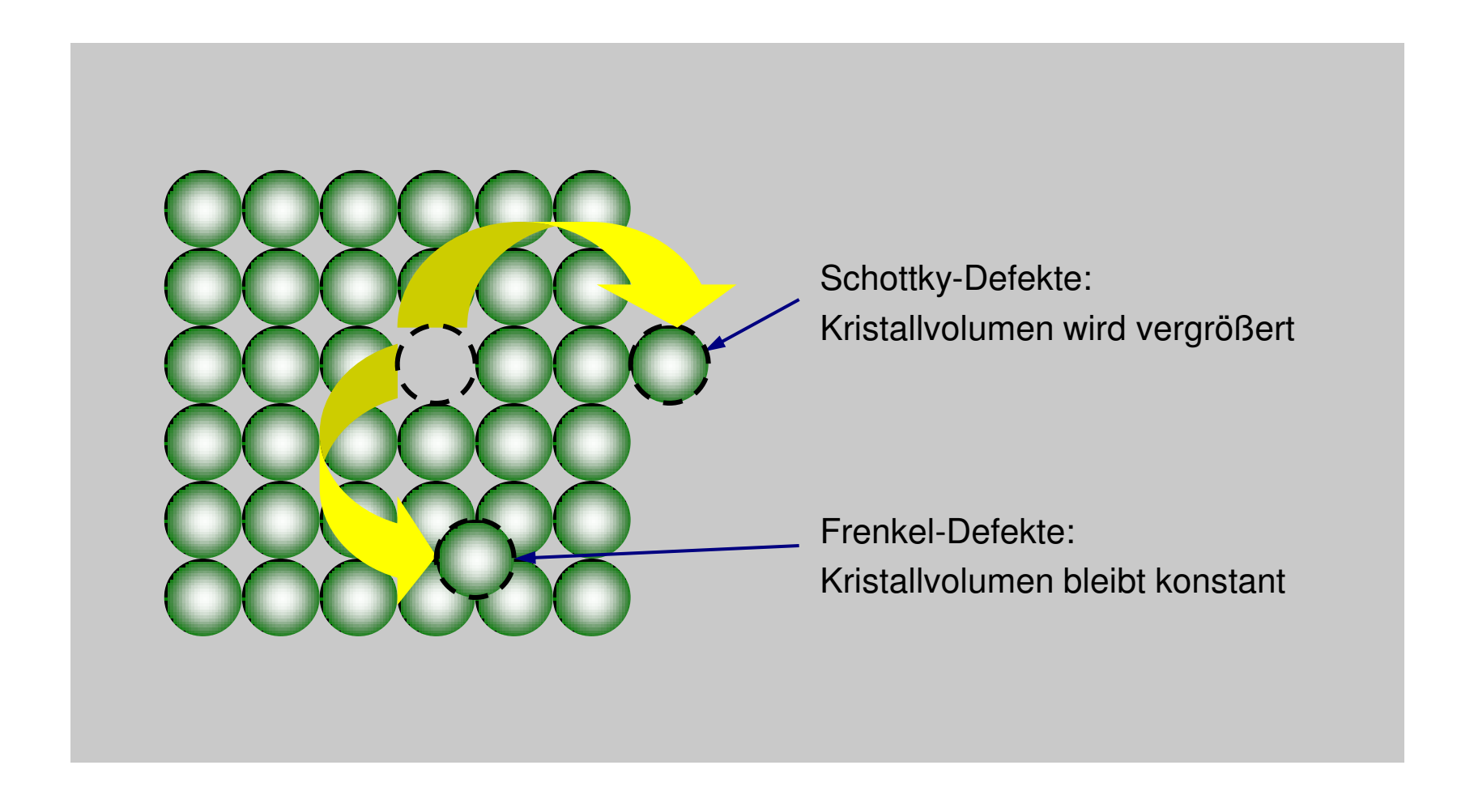


Bezugsgitter	Notation	Beschreibung (Ladungen relativ zum Gitterplatz)
Silizium	$P_{Si}$	Phosphor auf Silizium-Gitterplatz
	P <sub>Si</sub>	einfach positiv geladenes P auf Si-Gitterplatz
	$\left[P^{\scriptscriptstyleullet}_{Si} ight]$	Konzentration der einfach positiv geladenen P-Atome auf Si-Plätzen (entspricht Konzentration ionisierter Donatoren bei Halbleitern)
	$\left[ \mathbf{e}^{\prime} ight]$	Konzentration freier Elektronen (n bei Halbleitern)
	$Al^{\prime}_{Si}$	einfach negativ geladenes Aluminium auf Si-Gitterplatz
BaTiO <sub>3</sub>	Ni <sup>//</sup>	zweifach negativ geladenes Nickel auf Titanplatz
	Sr <sub>Ba</sub>	neutrales Strontium auf Bariumplatz
	[ <b>V</b> <sub>O</sub> ]	Konzentration der zweifach positiv geladenen Sauerstoffleerstellen



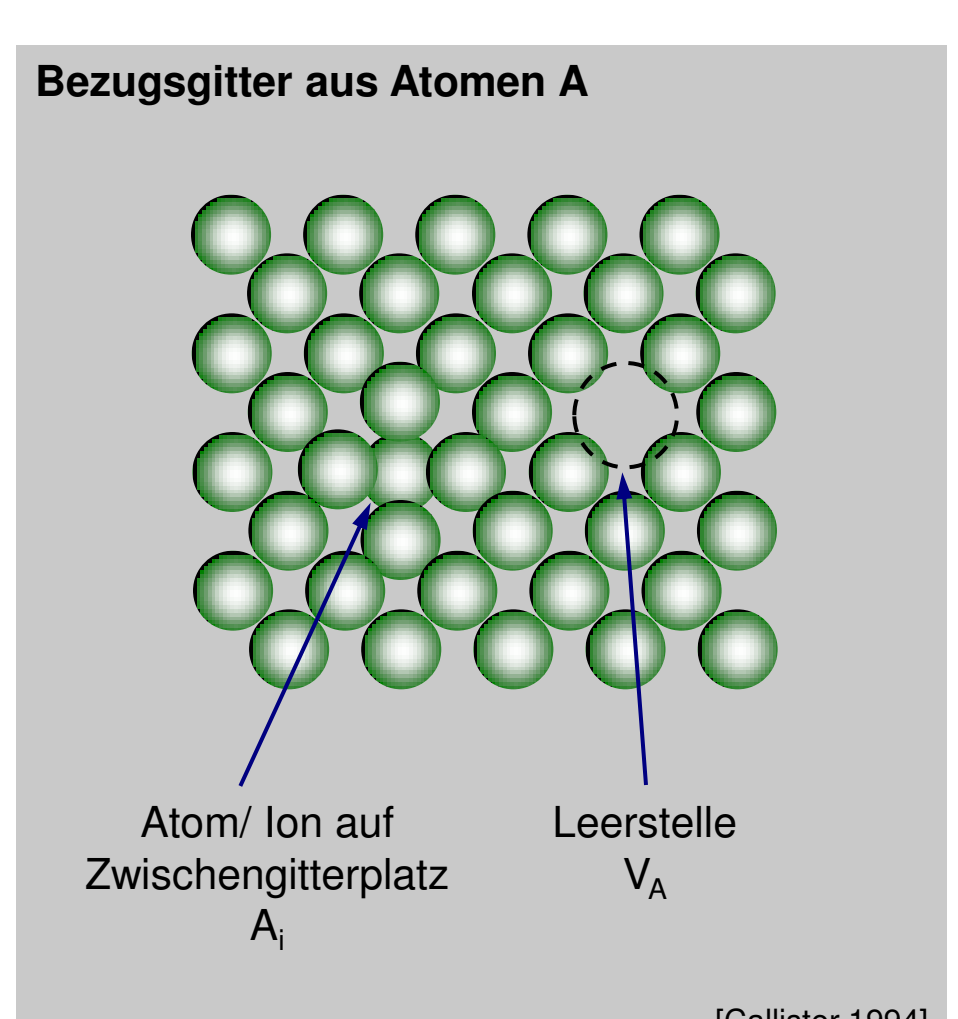
## 1.5 Kristallfehler und reale Festkörper Schottky- und Frenkel-Fehlordnung





## 1.5 Kristallfehler und reale Festkörper Frenkel-Fehlordnung





#### Ausbildung von Frenkelpaaren

Atom (Ion) auf Zwischengitterplatz hinterlässt Leerstelle im Gitter

Zwischengitterplätze können nur von Atomen/lonen mit relativ kleinen Radien eingenommen werden

Frenkel-Fehlstellen im Gleichgewichtszustand:

$$[V_A] = [A_i] = N_0 \cdot \exp\left(-\frac{W_{Fr}}{kT}\right)$$

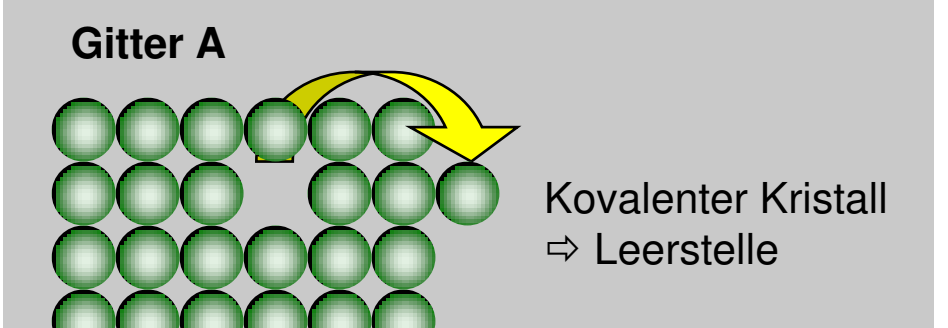
 $W_{Fr}$  Frenkel-Fehlordnungsenergie

N<sub>0</sub> Dichte der Gitterplätze

*k* Boltzmannkonstante

## 1.5 Kristallfehler und reale Festkörper Schottky-Fehlordnung





Die Anlagerung der Bausteine an der Kristalloberfläche ist mit einer Volumenänderung des Kristalls verbunden.

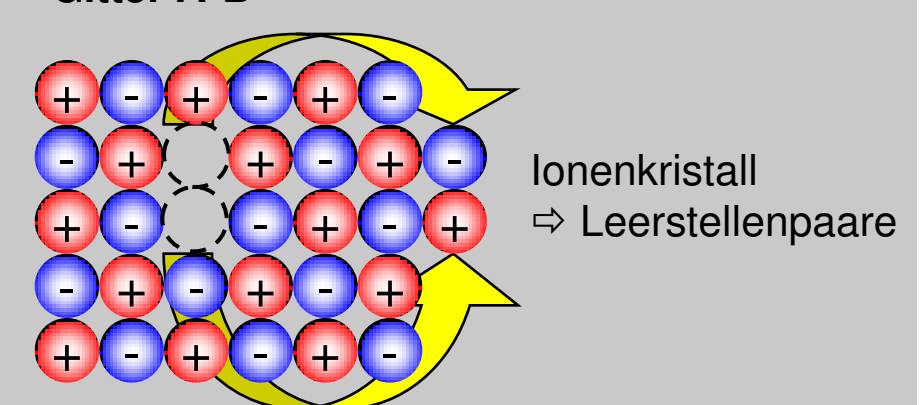


Ionischer Kristall 
$$\left[V_{A}^{\prime}\right] = \left[V_{B}^{\bullet}\right] = N_{0} \cdot \exp\left(\frac{-W_{s}}{2kT}\right)$$

 $W_S$  Schottky-Fehlordnungsenergie  $N_0$  Dichte der Gitterplätze

k Boltzmannkonstante

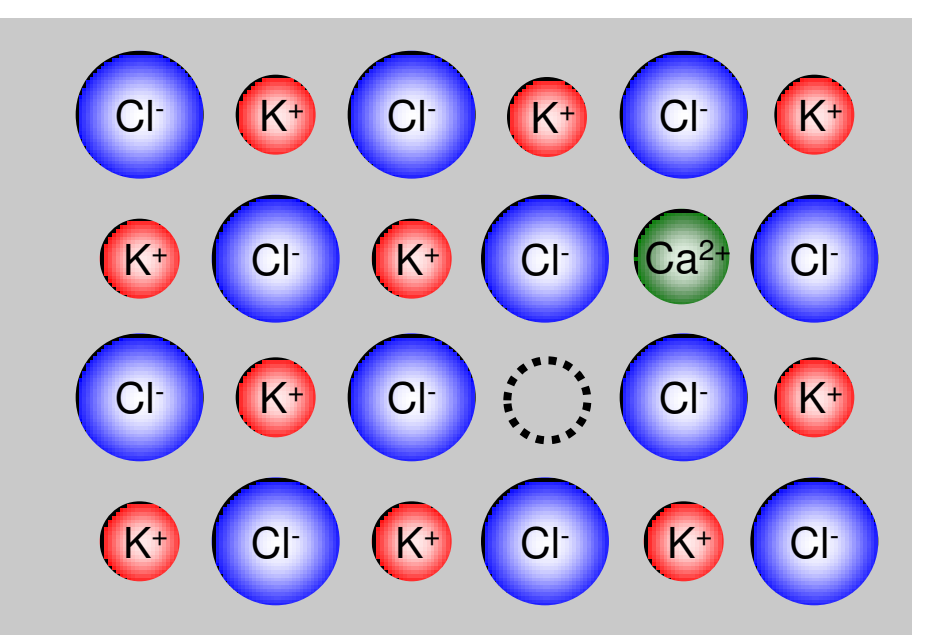
#### Gitter A+B-



### 1.5 Kristallfehler und reale Festkörper Verunreinigungen und Leerstellen



Verunreinigung/ Dotierung:



#### Einbaugleichung:

$$KCI + CaCl_2 \rightarrow K_K + Ca_K^{\bullet} + 3Cl_{CI} + V'_{K}$$

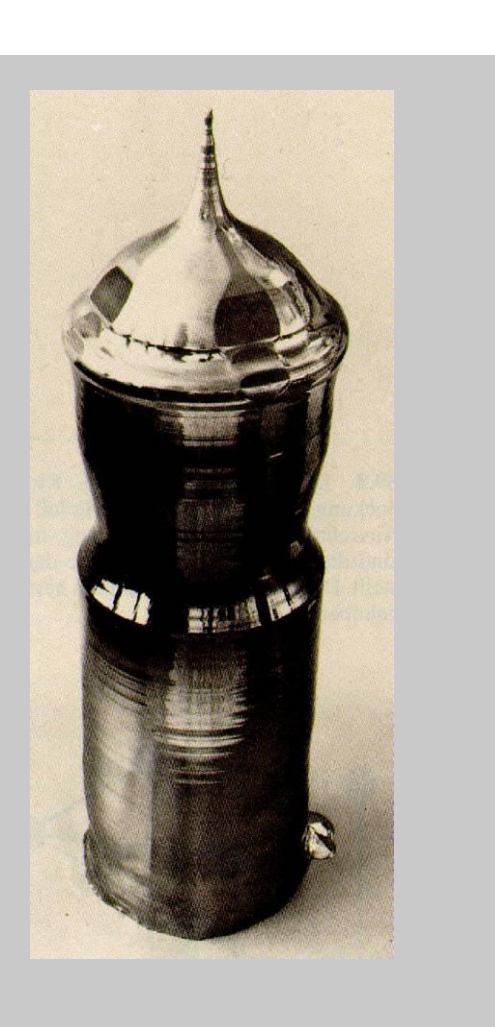
Randbedingung: Erhaltung der elektrischen Neutralität im Kristall erfolgt durch

die Bildung von Leerstellen (Ladungskompensation).

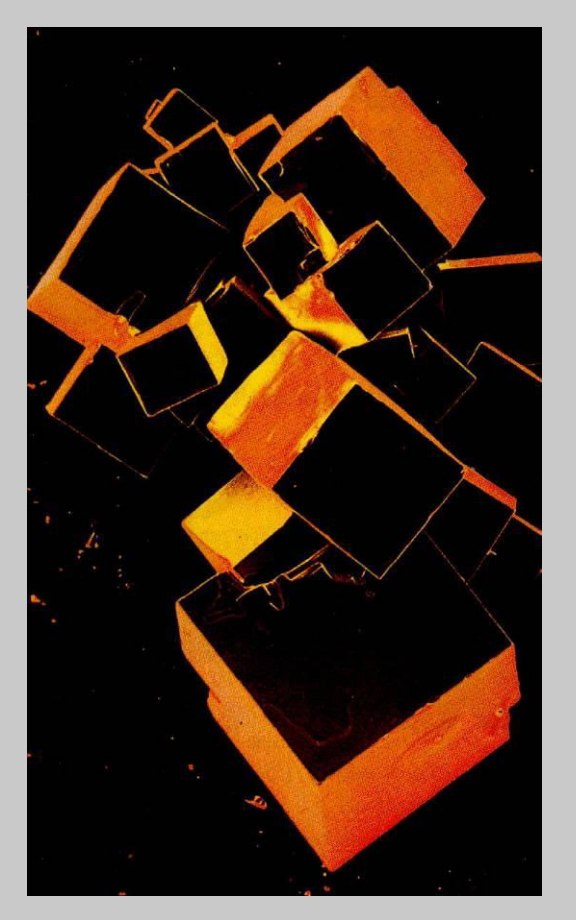
## 1.5 Kristallfehler und reale Festkörper Einkristalline und polykristalline Werkstoffe



#### Einkristall Si (Silizium) BasisØ 15 cm



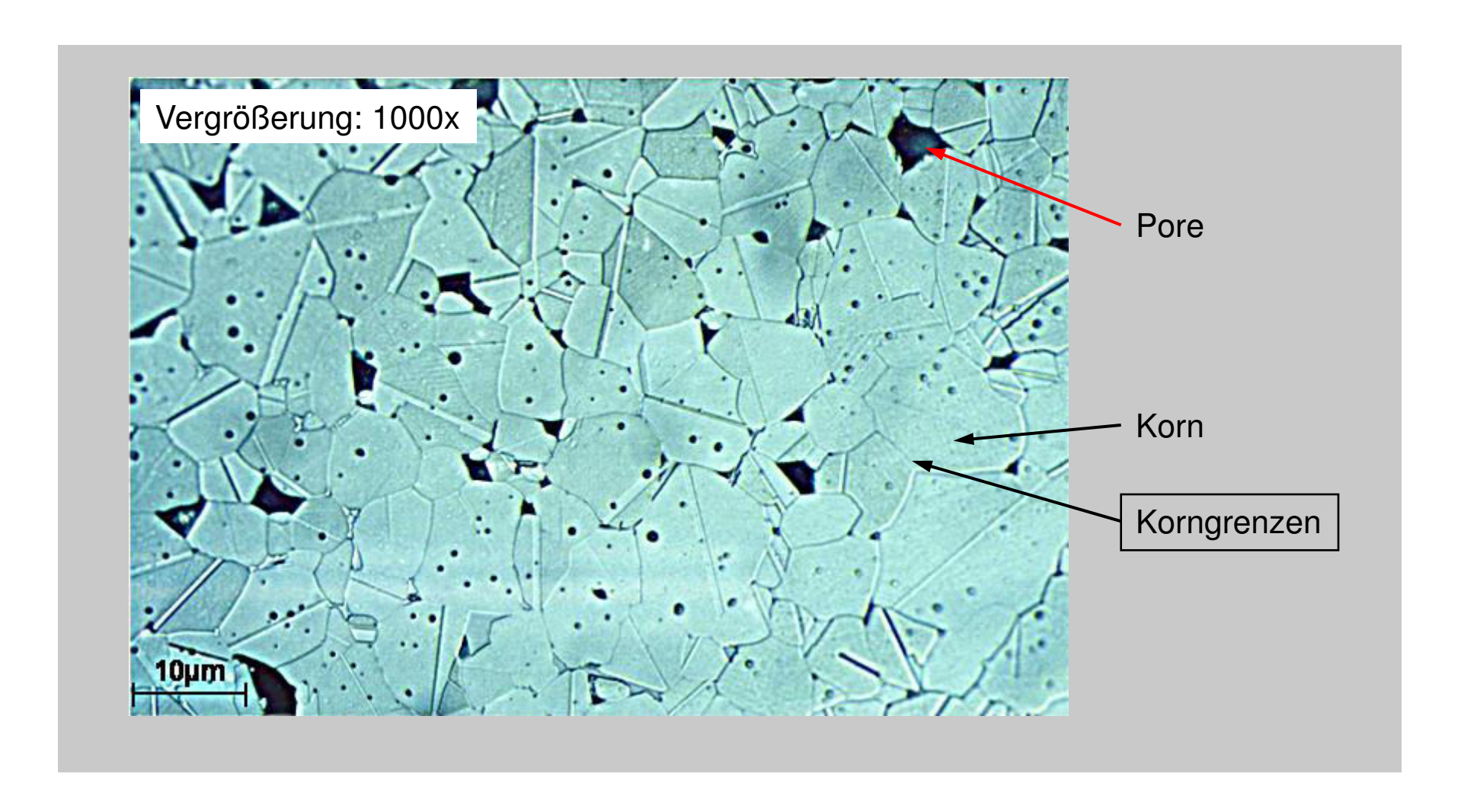
Polykristall NaCl (Kochsalz)



[Tipler 1994]

# 1.5 Kristallfehler und reale Festkörper Schliffbild einer Kondensatorkeramik (Ba,La)TiO<sub>3</sub> Lichtmikroskopie

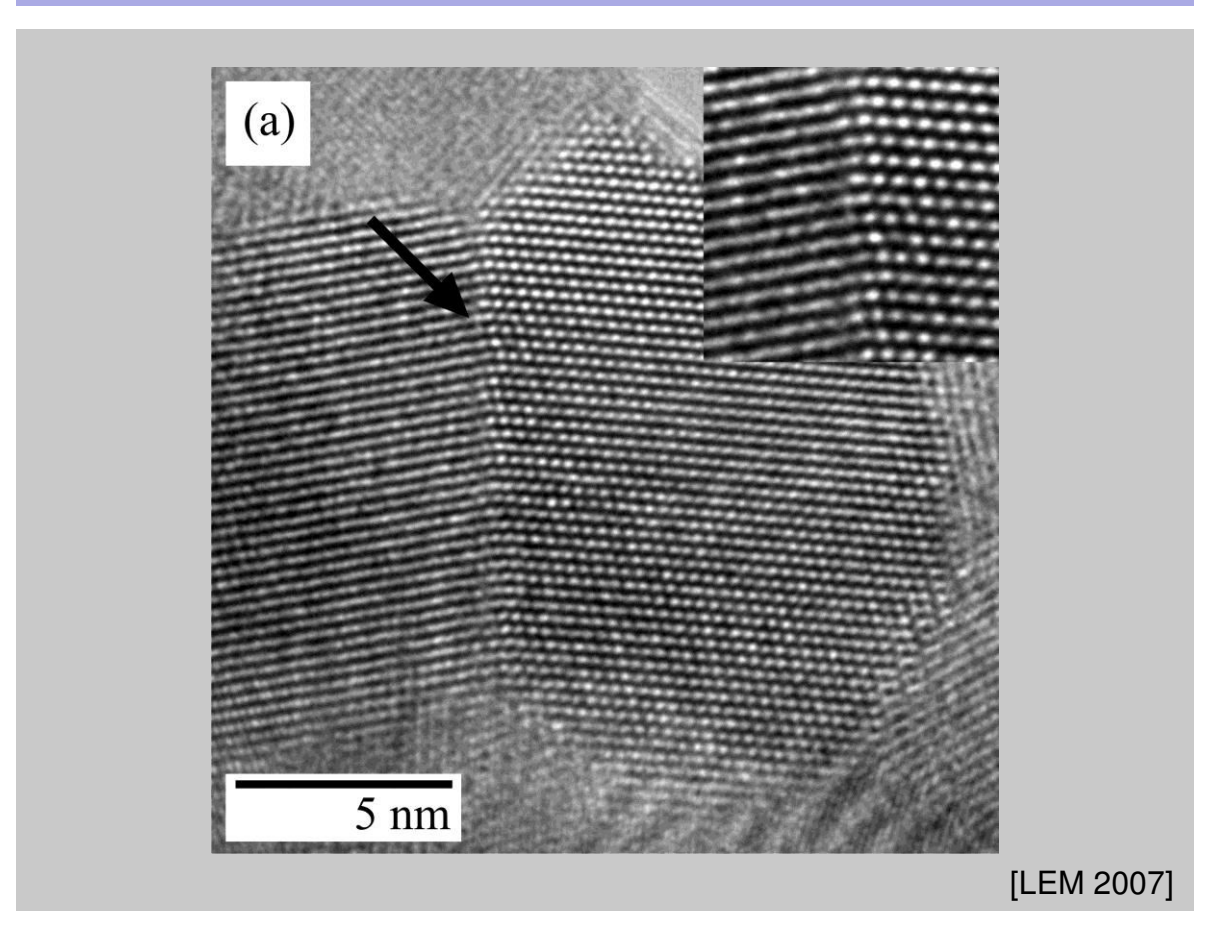




# 1.5 Kristallfehler und reale Festkörper Korngrenze im Materialsystem Y<sub>0.16</sub>Zr<sub>0.84</sub>O<sub>2</sub>



Y<sub>0.16</sub>Zr<sub>0.84</sub>O<sub>2</sub> Yttrium stabilisiertes Zirkonoxid High Resolution Transmissionselektronenmikroskopie



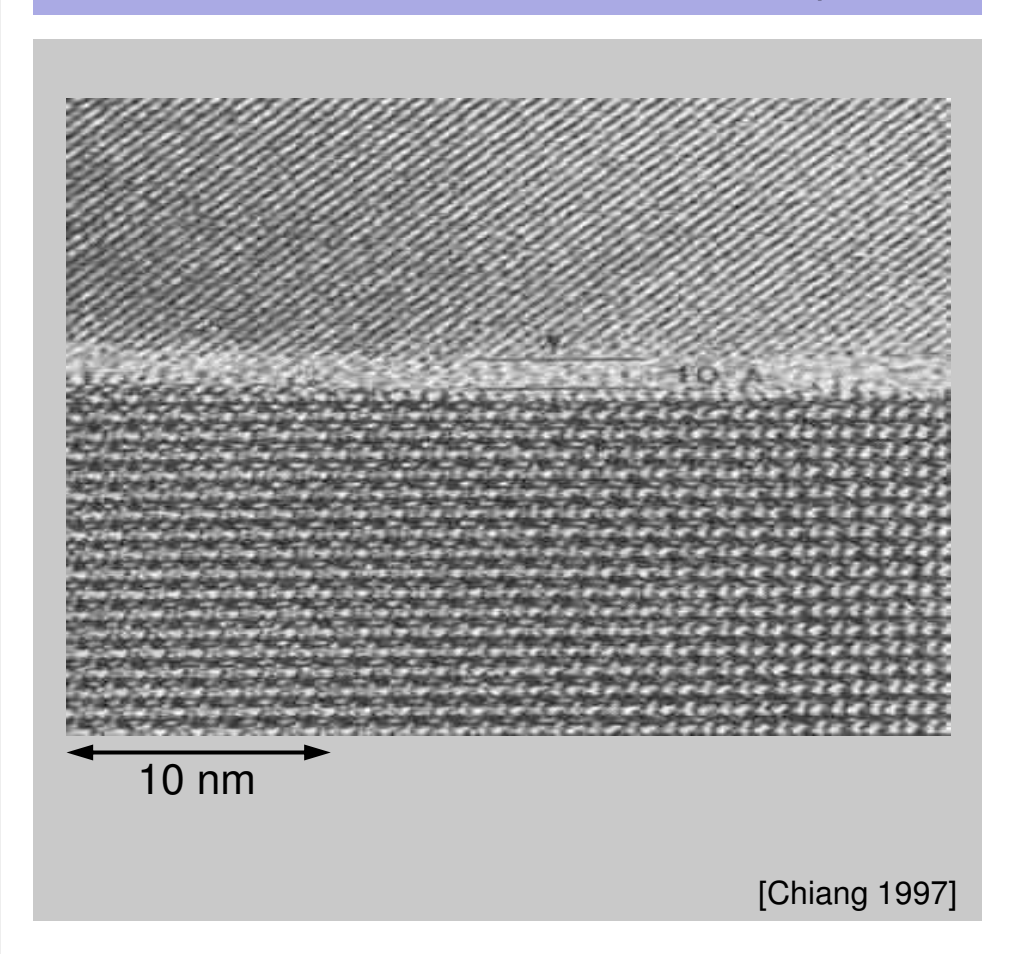


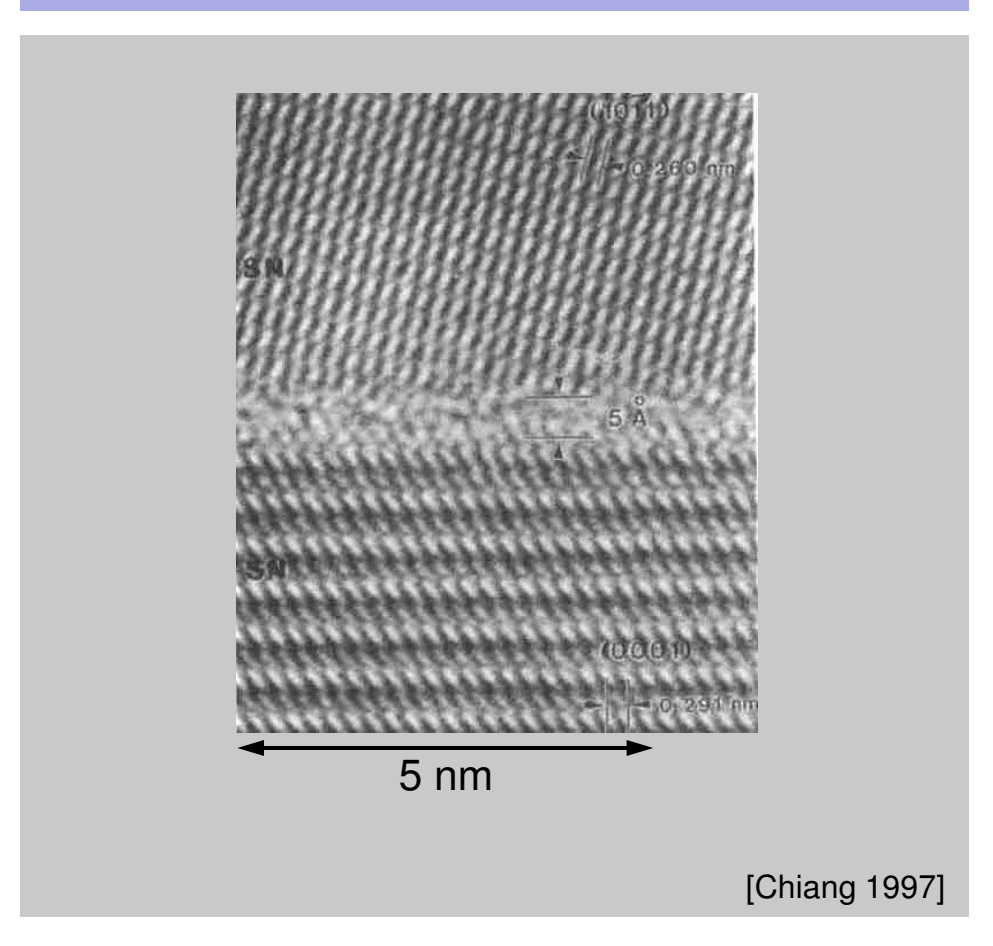
### 1.5 Kristallfehler und reale Festkörper Einlagerung von Fremdatomen entlang einer Korngrenze

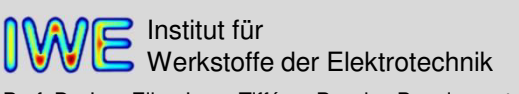


Si<sub>3</sub>N<sub>4</sub> Siliziumnitrid mit Yb<sub>2</sub>O<sub>3</sub>-Verunreinigung Transmissionselektronenmikroskopie

Si<sub>3</sub>N<sub>4</sub> Siliziumnitrid mit ZrO<sub>2</sub>-Verunreinigung Transmissionselektronenmikroskopie







## 1.5 Kristallfehler und reale Festkörper Volumen-, Grenz- und Oberflächeneigenschaften



Phasengrenz- und Oberflächeneigenschaften von Werkstoffen:

elektronisch: Raum- und Oberflächen-

ladungen

Anwendung:

Halbleiterbauelemente (p-n-Übergänge) Varistoren (Flächen- und Raumladungen

an Korngrenzen)

Gassensoren (Oberflächenladungen,

Verarmungsrandschichten)

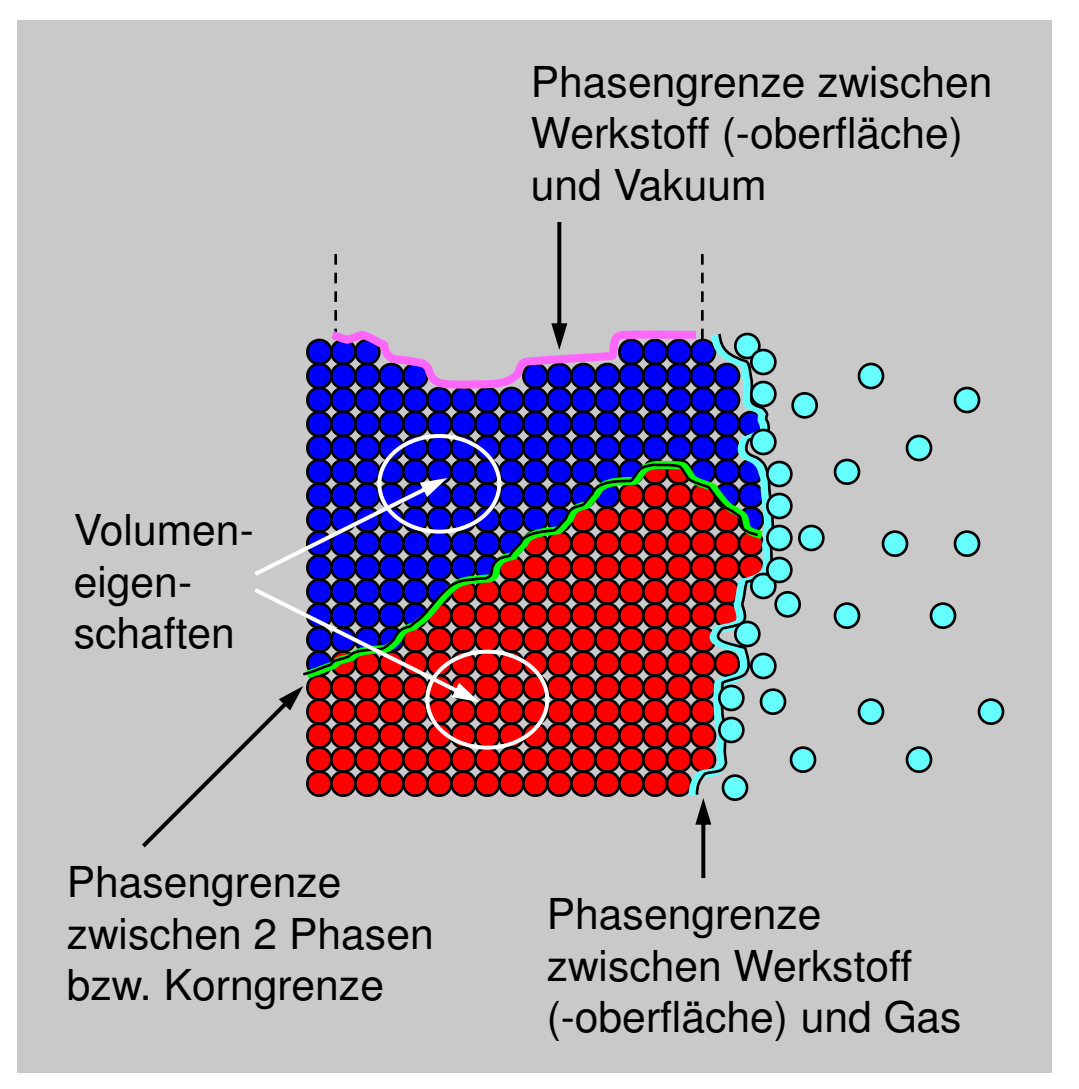
mechanisch: Oberflächenspannung

optisch: Reflexion, Brechung

Anwendung:

Lichtwellenleiter

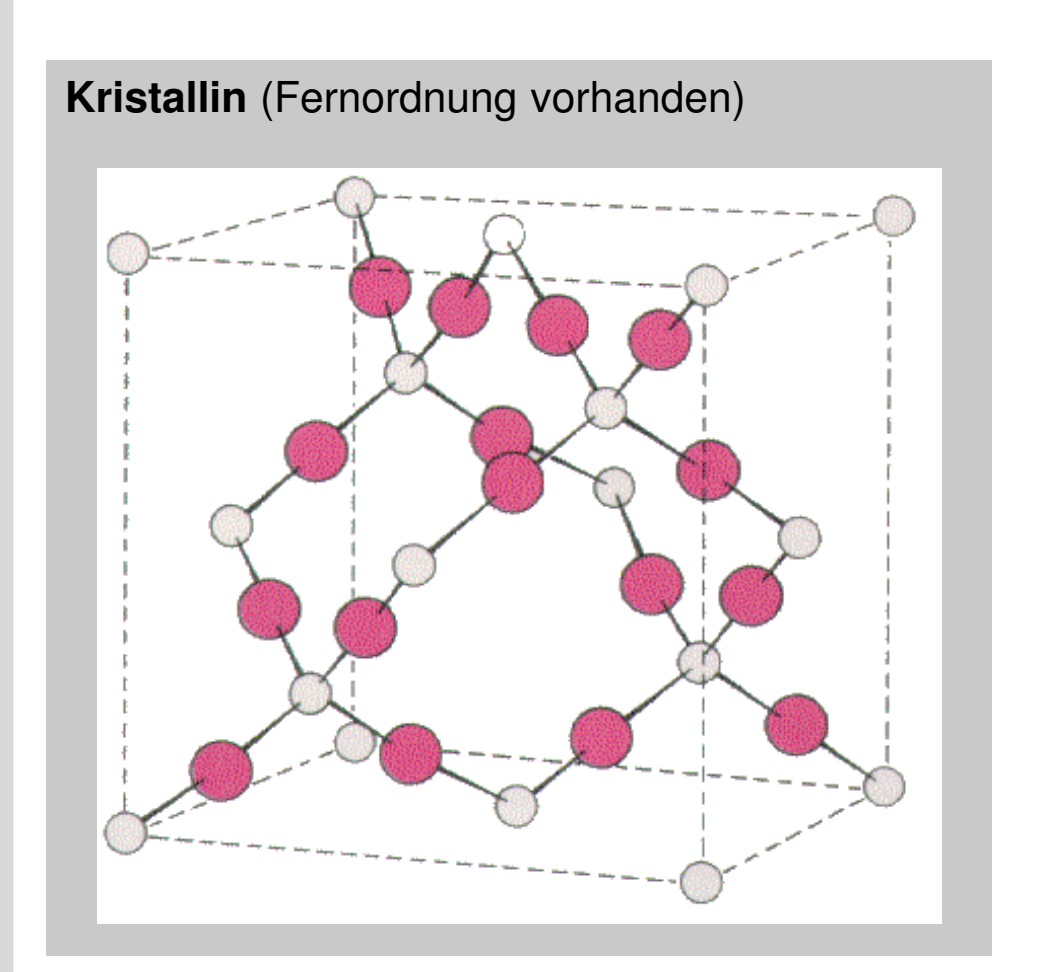
[Waser]

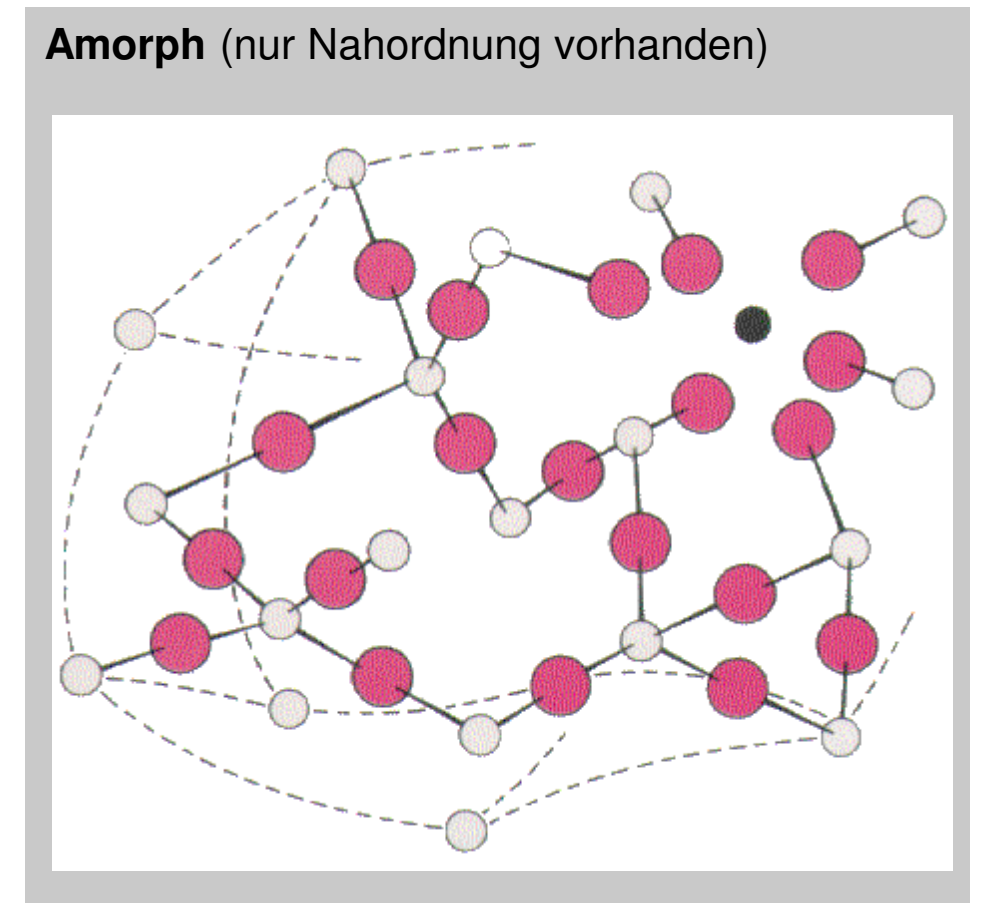


Prof. Dr.-Ing. Ellen Ivers-Tiffée – Passive Bauelemente

# 1.5 Kristallfehler und reale Festkörper Kristalline und Glasförmige Festkörper

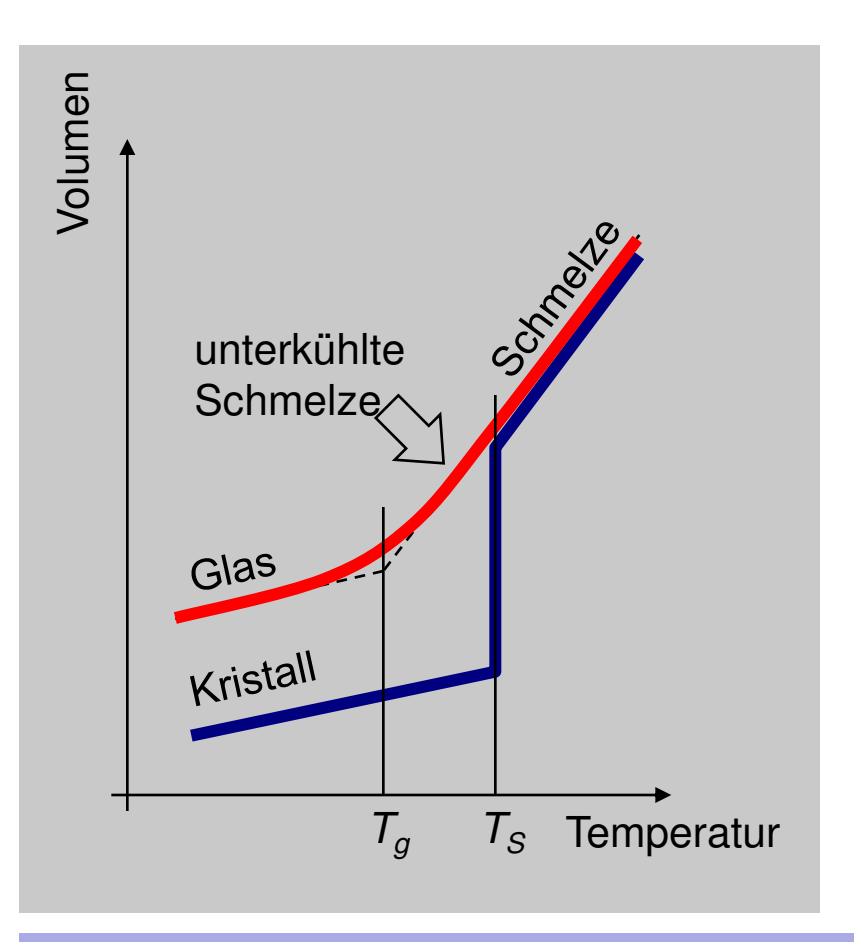






### 1.5 Kristallfehler und reale Festkörper Gläser





#### Amorpher Festkörper (Glas)

Der Übergang von der Schmelze zum Glas erfolgt über eine unterkühlte Flüssigkeit und das Volumen ändert sich kontinuierlich ( $V_{Glas} > V_{Kristall}$ ).

 $T_g$  Glastransformationstemperatur bei einer Viskosität von  $10^{12}$  Pas  $T > T_g$  unterkühlte Flüssigkeit, d.h. Schmelze  $T < T_g$  Glas, d.h. amorpher Festkörper

#### Kristalliner Festkörper

Beim Übergang von der Schmelze zum Kristall erfolgt eine diskontinuierliche Volumenänderung bei  $T_S$ .

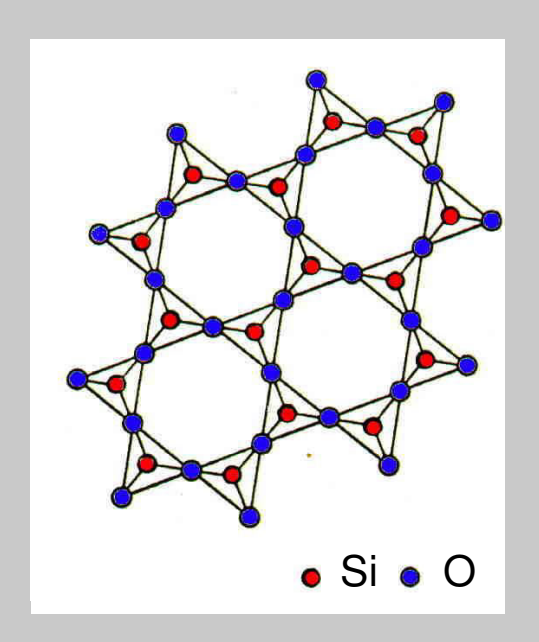
Im physikochemischen Sinn ist Glas eine eingefrorene, unterkühlte Flüssigkeit



## 1.5 Kristallfehler und reale Festkörper Netzwerkhypothese

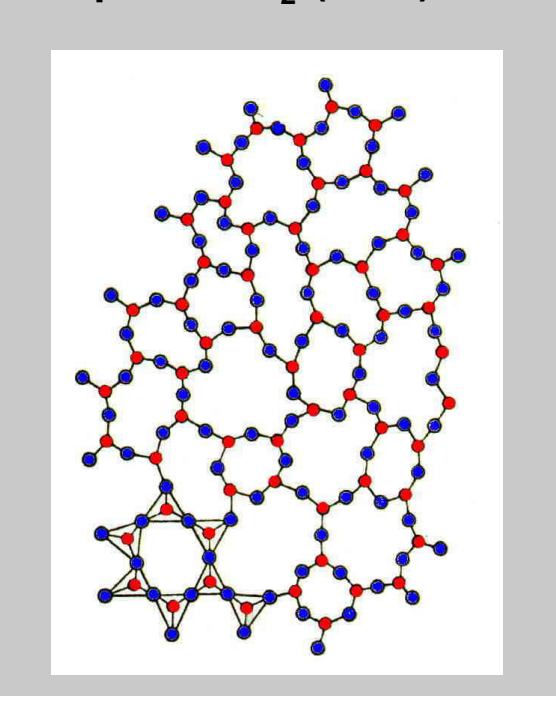


#### Kristallines SiO<sub>2</sub> (Quarz)



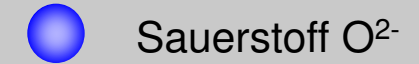
- Geordnete Vernetzung von SiO<sub>4</sub>-Tetraedern
- Nahordnung
- streng periodische Fernordnung

#### Amorphes SiO<sub>2</sub> (Glas)

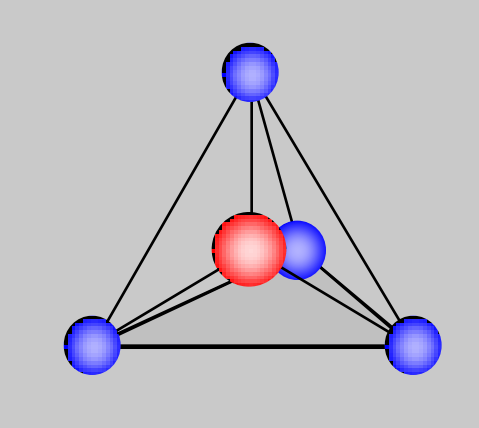


- Ungeordnete Vernetzung von SiO<sub>4</sub>-Tetraedern
- weitgehend feste Nahordnung
- keine Fernordnung

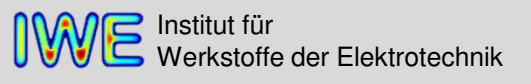
### SiO<sub>4</sub>-Tetraeder (sp<sup>3</sup>-Hybrid)





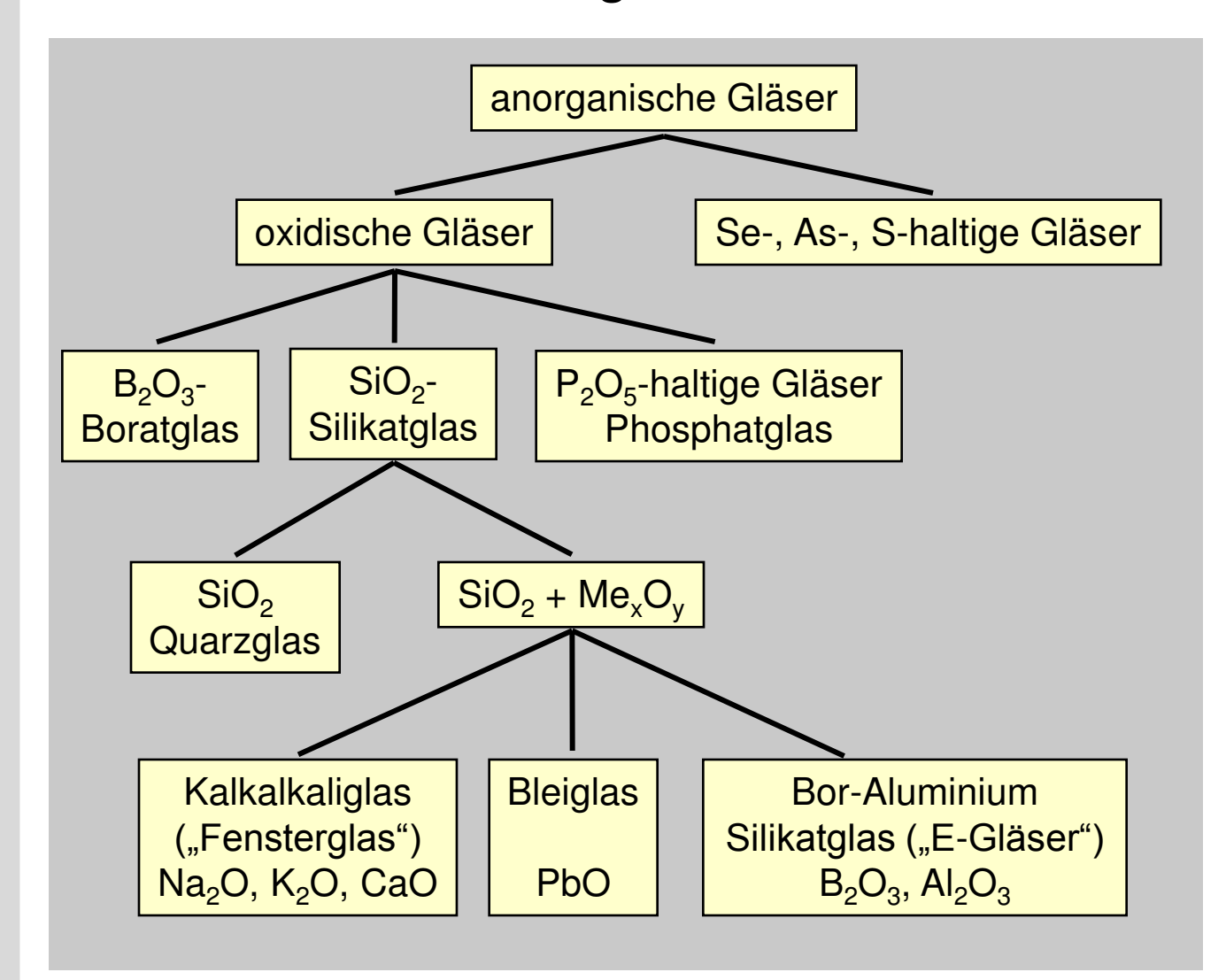


Kristall	Glas
109,5°	109,5°
150°	150°±15°
	109,5°



### 1.5 Kristallfehler und reale Festkörper Glassorten und deren Eigenschaften





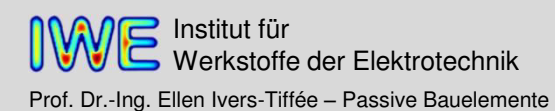
#### Eigenschaften

- → einstellbar über Zusammensetzung
- Glastransformationstemperatur  $T_a$
- ullet thermischer Ausdehnungskoeffizient lpha
- Farbe
- Brechungsindex n
- Dielektrizitätszahl arepsilon und Verlustwinkel  $\delta$
- elektrische Leitfähigkeit σ

### 1.5 Kristallfehler und reale Festkörper Anwendungsbeispiele in der Elektrotechnik



Produkt	Eigenschaft	Anwendung
Glasseide (Faser, Ø wenige μm)	gute Isolation hohe Wärmebeständigkeit	Isolation von Drähten und Kabeln
Glasisolatoren	gute Isolation	Durchführungen
Glasuren	gute Isolation korrosions- und thermoschockbeständig	Schutzglasur für Hochspannungsisolatoren
Glaslote	angepasster Ausdehnungskoeffizient korrosions- und temperaturbeständig Haftung auf Substrat	IC-Dickschichtschaltungen (Glaslot + Metallpulver)
<b>Lichtleiterfaser</b> (Faser, Ø ca. 100 μm)	unempfindlich gegen elektromagnetische Störungen große Bandbreite geringe Dämpfung (wenige dB/km)	optische Nachrichten- übertragung (Bordnetze im Flugzeug Datenbusse im PC)
Glassubstrate	plan dünn 0,7 mm bei 2 m x 2 m	LCD-Displays



## 1.5 Kristallfehler und reale Festkörper Einführung Kunststoffe/Polymere am Bsp. Polyethylen (PE)



#### Organische Verbindungen

Es existieren über 1 Million organische Kohlenstoffverbindungen

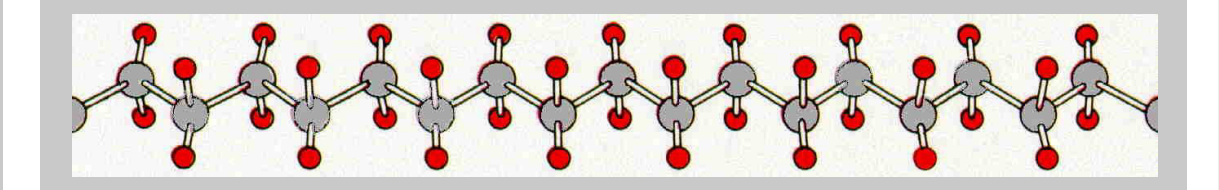
Kunststoffe sind synthetisierte organische Verbindungen

Kohlenstoff C bildet kovalente Bindungen mit wenigen Elementen H, O, N, S, P den Halogenen (17. Gruppe)

Kettenmoleküle sind kovalente Bindungen vieler Kohlenstoffatome und Partner (10<sup>3</sup>...10<sup>5</sup> Grundbausteine)

#### **Polymer**

räumliche Molekülstruktur aus Monomeren



[Callister 1994]

#### **Monomer**

kleinstes, als Molekül stabiles, sich im Kunststoff wiederholendes Strukturelement

Prof. Dr.-Ing. Ellen Ivers-Tiffée – Passive Bauelemente

### 1.5 Kristallfehler und reale Festkörper Übersicht der Monomere üblicher Kunststoffe/ Polymere



#### Polyethylen (PE)

Chemikalienbeständig, Kabelisolierung

"Hostalen"

#### **Polyvinylchlorid** (PVC)

Gute Isolierfähigkeit, aber hohe DK, Kabelummantelungen

#### Polypropylen (PP)

Alterungsstabil, Dichtungen

#### **Polytetrafluorethylen** (PTFE)

Wärmefest

"Teflon"

#### Polystyrol (PS)

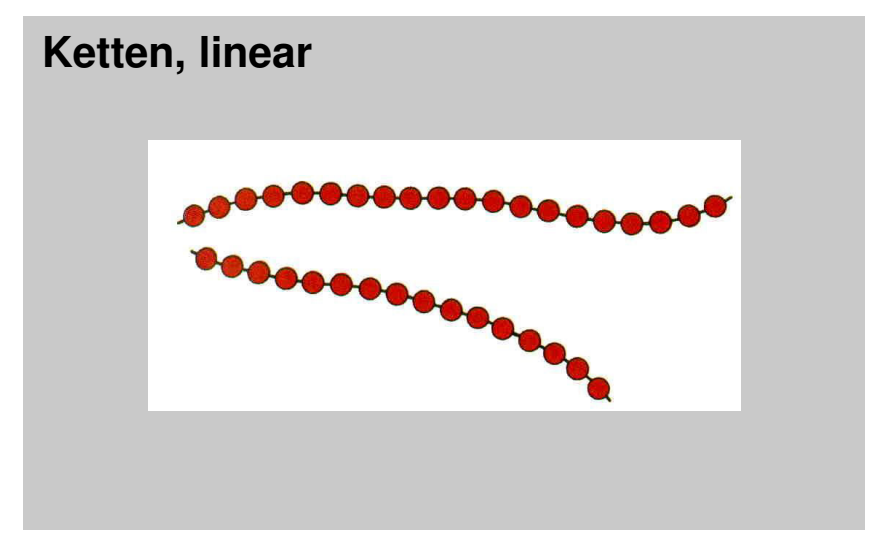
Gute mech. Eigenschaften,\_ HF-Isolierungen

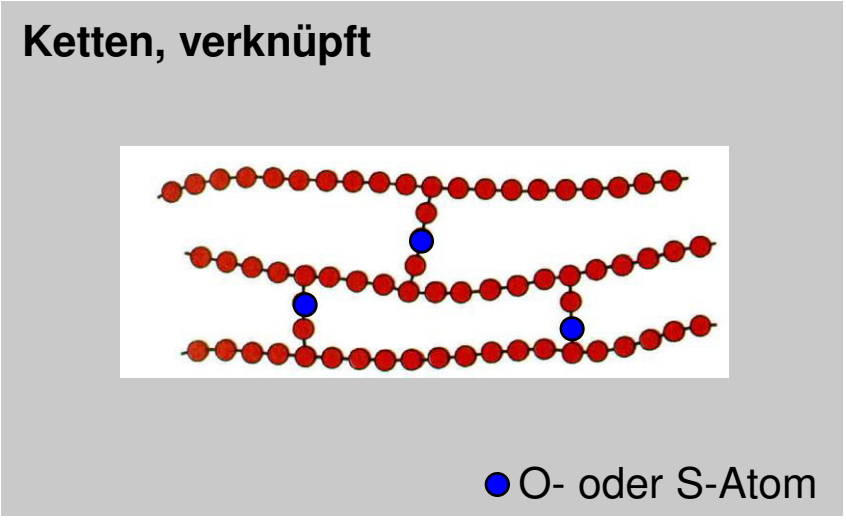
### Polymethylmethacrylat (PMMA)

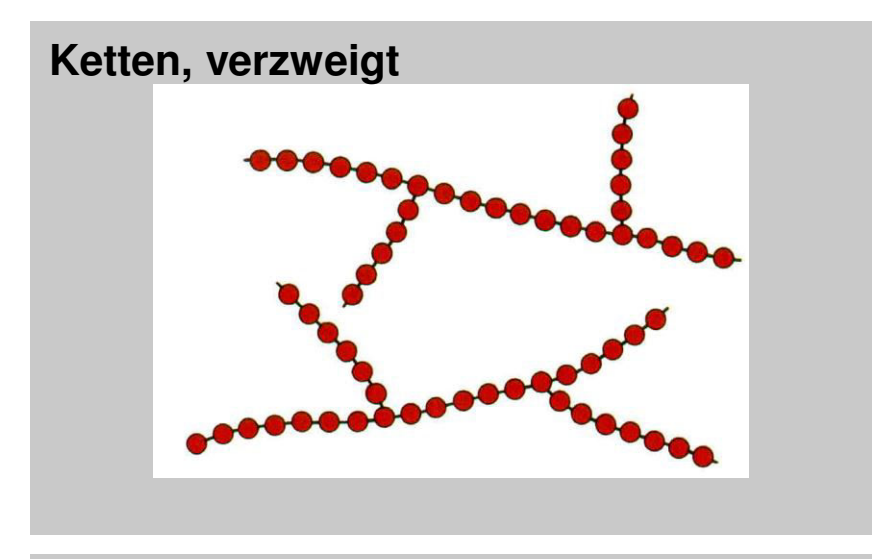
(Acrylglas bzw. Plexiglas) H CH<sub>3</sub> | I | -C-C-CH

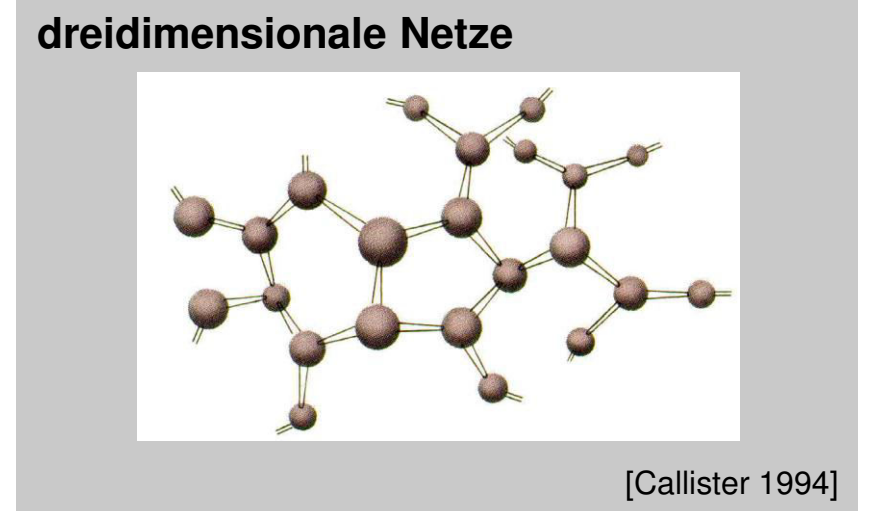
## 1.5 Kristallfehler und reale Festkörper Verbindung zwischen Polymeren







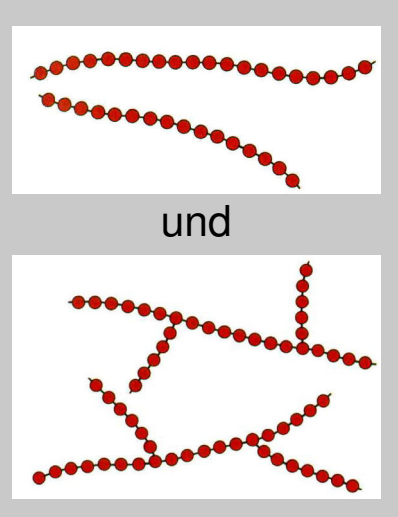




## 1.5 Kristallfehler und reale Festkörper Einteilung der Kunststoffe/ Polymere



#### **Thermoplaste**

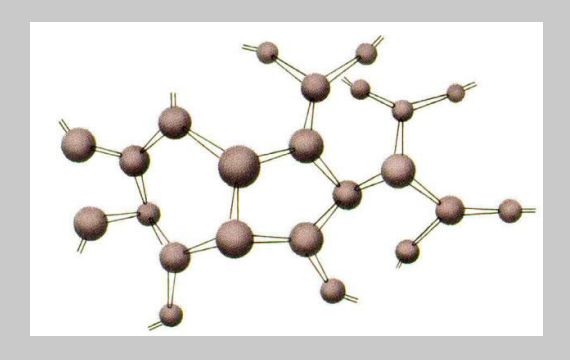


- lineare Ketten
- elastisch/plastisch verformbar bei 100...300 °C

PE, PVC, PTFE, PP

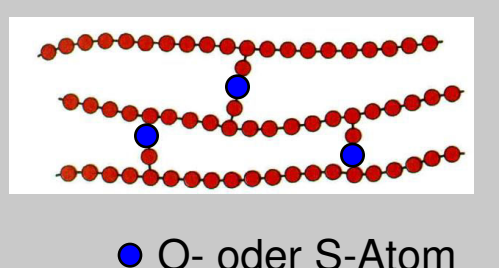
→ Isolierstoffe

#### **Duroplaste**



- räumlich vernetzte Ketten
- große Festigkeit formstabil, temperaturbeständig
   Epoxidharz, Polyester
- → Vergussmassen, Gehäuse

#### **Elastomere**

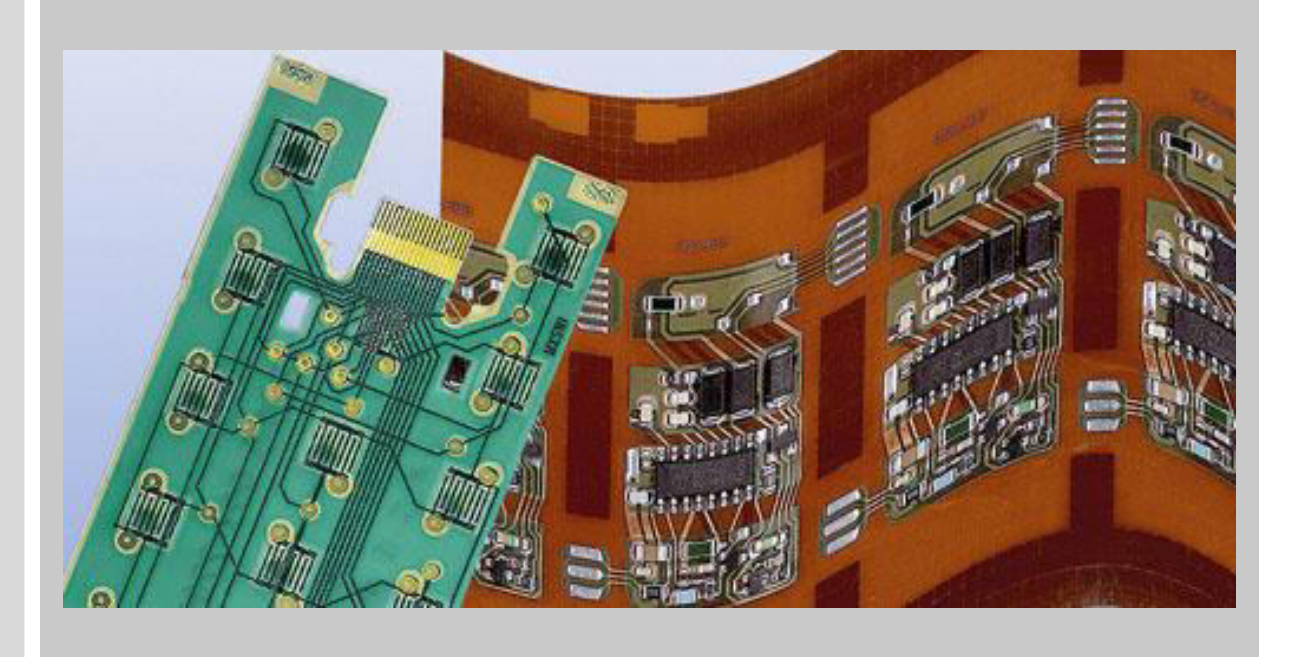


- schwach vernetzte
   Ketten, über O- oder S-Atome
   Modifikation der Thermoplaste
- weichelastisch (gummiartig) bis zur Zersetzung
   Silikon, Neopren, Gummi
- → Draht/Kabel-Ummantelung

## 1.5 Kristallfehler und reale Festkörper Innovative Anwendungen leitfähiger Polymere in der Elektrotechnik



#### **Gedruckte Low-Cost ICs**



[www.krempel-group.com]

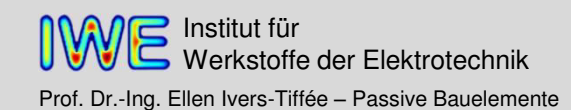
#### Polymer Flächen-LEDs



[Covion Organic Semiconductors GmbH]



### **Ende Vorlesung 2**



### 1.6 Exkurs in die Gibbs'sche Thermodynamik Erster Hauptsatz der Thermodynamik

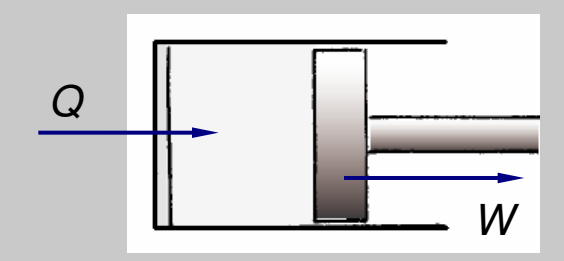




Hermann v. Helmholtz \* 1821 † 1894

#### 1. Hauptsatz

(Energieerhaltungssatz 1842/47): Die Energie eines abgeschlossenen Systems ist konstant. Sie kann weder erzeugt noch vernichtet werden.



Lediglich Umwandlung verschiedener Energieformen (Wärmemenge Q, mechanische Energie W, etc.)

Bsp: Gas im Kolben  $\Delta U = W + Q$ 



Julius Robert Mayer \* 1814 † 1878

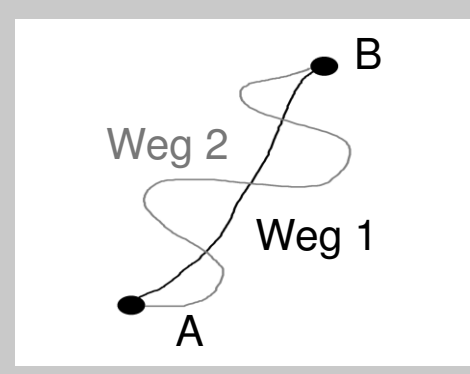
## 1.6 Exkurs in die Gibbs'sche Thermodynamik Zustandsgrößen und Entropie



#### Zustandsgröße X

In einem Zustand hat die Größe X einen festen Wert (mathematisch beschreibbar durch ein totales Differential dX).

$$\rightarrow \oint dX = 0$$



Wärme und Arbeit sind keine Zustandsgrößen.

**Problem:** Wärme ist keine Zustandsgröße, sondern eine Prozessgröße. Die Wärmemenge Q, die nötig ist, um ein System von einem Zustand A in B überzuführen, ist nicht eindeutig.

Jedoch ist die Größe 
$$S = \frac{\partial Q_{rev}}{T}$$
 ist Zustandsgröße.

Man bezeichnet sie als Entropie. Irreversible Prozesse produzieren Entropie. Bei reversiblen Prozessen wird keine Entropie erzeugt.

(Insbesondere beim Kreisprozess gilt:  $\oint dS = 0$ 

Die Verwendung von Entropie *S* statt Wärme *Q* zur Beschreibung thermodynamischer Vorgänge ist sinnvoll.

**Boltzmann** liefert statistischen Ausdruck für Entropie:  $S = k \cdot \ln \Omega$ 

 $\Omega$ : Anzahl der Realisierungsmöglichkeiten des Zustands

### 1.6 Exkurs in die Gibbs'sche Thermodynamik Zweiter Hauptsatz der Thermodynamik





Sadi Carnot \* 1796 † 1832

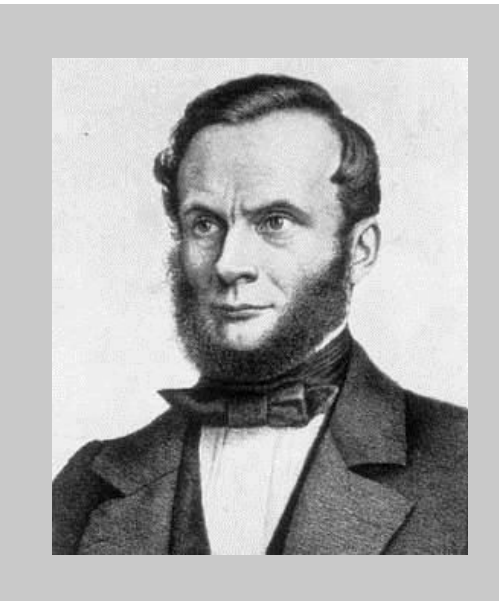
#### 2. Hauptsatz

Die Entropie eines abgeschlossenen Systems strebt einem Maximum zu.

#### Beispiele

- Defektbildung im Festkörper
- Vermischung von Gasen
- Unordnung in Kinderzimmer
- etc.

Physikalische Gesetze sind zeitinvariant. Doch der 2. Hauptsatz definiert irreversible Prozesse: Durch die Zunahme der Entropie ist eine Zeitrichtung vorgegeben.



Rudolf Clausius \* 1822 † 1888

### 1.6 Exkurs in die Gibbs'sche Thermodynamik **Entropie und Boltzmann-Faktor (1)**



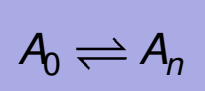
**Boltzmann:**  $S = k \cdot \ln \Omega$ 

 $\Omega$ : Anzahl der Realisierungsmöglichkeiten / k: Boltzmannkonstante

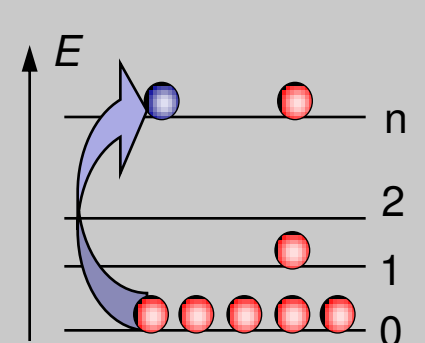
Beispiel:

N Teilchen auf N Plätze zu verteilen, wobei unter den N Teilchen  $N_1, N_2, ..., N_i$  identische sind.

$$\rightarrow S = k \cdot \ln \Omega = k \cdot \ln \frac{N!}{N_1! N_2! \cdots N_i!}$$



Betrachte Übergang von Atomen im Grundzustand  $A_0$  in den n-ten angeregten Zustand  $A_n$ . Für die Entropie vor dem Übergang gilt:



$$S_{\text{vorher}} = k \cdot \ln \Omega = k \cdot \ln \frac{N!}{A_0! A_1! \cdots A_n! \cdots}$$
  $A_k$ : Anzahl der Atome im k-ten Zustand

Nach dem Übergang vermindert sich die Zahl der Atome im Grundzustand um eins, die Zahl der Atome im n-ten Zustand ist um eins erhöht.

$$S_{\text{nachher}} = k \cdot \ln \frac{N!}{(A_0 - 1)! A_1! \cdots (A_n + 1)! \cdots}$$

### 1.6 Exkurs in die Gibbs'sche Thermodynamik **Entropie und Boltzmann-Faktor (2)**



Die damit verbundene Entropieänderung beträgt:

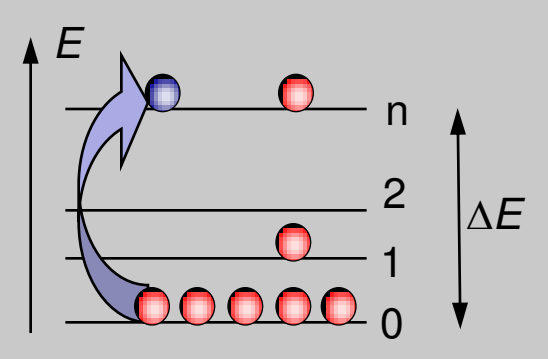
$$\Delta S_{0\rightarrow n} = S_{\text{nachher}} - S_{\text{vorher}} = k \cdot \ln \frac{N!}{(A_0 - 1)! A_1! \cdots (A_n + 1)! \cdots} - k \cdot \ln \frac{N!}{A_0! A_1! \cdots A_n! \cdots} = k \cdot \ln \frac{A_0}{A_n + 1}$$

Für große Zahlen ist  $A_n + 1 \approx A_n$ , daher gilt  $\Delta S_{0 \to n} \approx k \cdot \ln \frac{A_0}{A_n}$ 

Andererseits muss beim Übergang in einen höherenergetischen Zustand das System die mit der Energieaufnahme  $\Delta E$  aus der Umgebung verbundene Entropieaufnahme  $\Delta S = \Delta E / T$ mindestens kompensieren. Im Gleichgewicht gilt demnach:

$$\frac{\Delta E}{T} + \Delta S_{0 \to n} = 0 \to \frac{\Delta E}{T} = -k \cdot \ln \frac{A_n}{A_0}$$

**Boltzmann-Faktor** 
$$A_n = A_0 \cdot \exp\left(-\frac{\Delta E}{kT}\right)$$



Prof. Dr.-Ing. Ellen Ivers-Tiffée – Passive Bauelemente

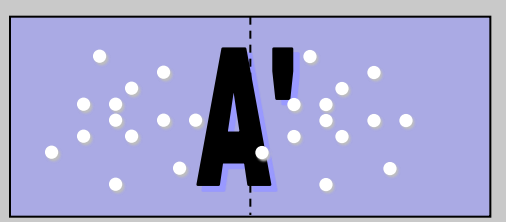
### 1.6 Exkurs in die Gibbs'sche Thermodynamik Definition: extensive und intensive Größen



Physikalisches System (z. B. Gas in Behälter)







Physikalische Größen heißen **extensiv**, wenn sich ihre Werte bei Zusammensetzung zweier identischer Systeme verdoppeln. Bleiben sie gleich, sind die Größen **intensiv**.

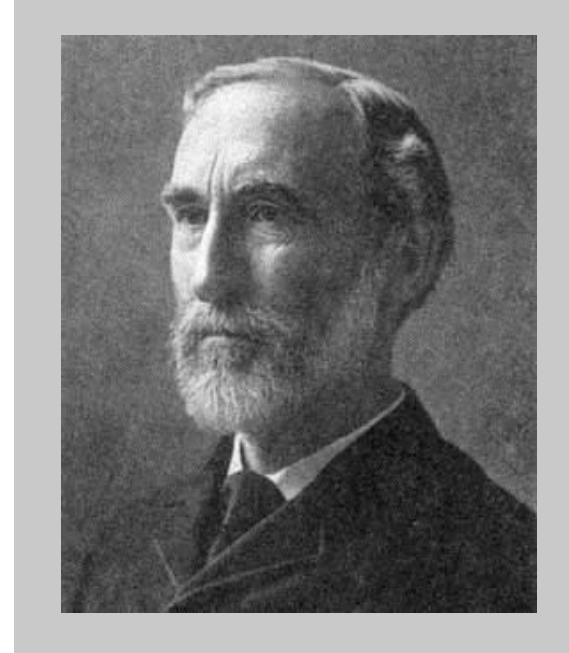
Beispiele:

extensive Größe:  $Y_{A'} = 2 \cdot Y_A$ 

Volumen *V*, Entropie *S*, Ladung *Q*, Teilchenzahl *N*,...

intensive Größe:  $x_{A'} = x_A$ 

Druck p, Temperatur T, elektrisches Potential  $\Phi$ , chemisches Potential  $\mu$ ,...



Josiah Willard Gibbs (1839-1903)

### 1.6 Exkurs in die Gibbs'sche Thermodynamik Formalismus der Gibbs'schen Fundamentalform

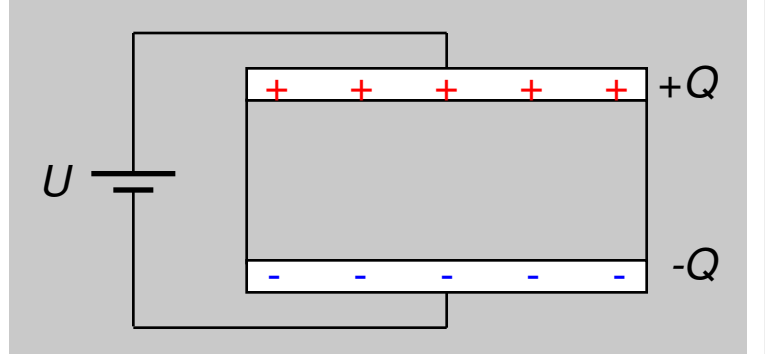


Jede Energieform verknüpft intensive und extensive Größen.

z.B. Druck p und Volumen V, Ladung Q und Potential  $\Phi$ , Entropie S und Temperatur T, etc.

$$dE_{\text{mechanisch}} = -pdV \Rightarrow \text{Arbeit}$$
 $dE_{\text{thermisch}} = TdS \Rightarrow \text{Wärme}$ 
 $dE_{\text{elektrisch}} = \Phi dQ \Rightarrow \text{elektrische Energie}$ 
 $dE_{\text{chemisch}} = \mu dN \Rightarrow \text{chemische Energie}$ 

#### Bsp.: Kondensator



$$dE = \Phi dQ \rightarrow E = \int U d(C \cdot U)$$
$$= \frac{CU^2}{2}$$

Der Energiesatz stellt die innere Energie E als Summe aus all diesen Energieformen dar:

**Gibbs'sche Fundamentalform**  $dE = -pdV + TdS + \Phi dQ + \mu dN + ...$ 

## 1.6 Exkurs in die Gibbs'sche Thermodynamik Gleichgewicht, Nichtgleichgewicht und Ausgleichsvorgänge



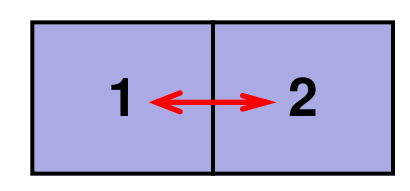
Gibbs'sche Fundamentalform: 
$$dE = -pdV + TdS + \Phi dQ + \mu dN + ... = \sum_{i} x_i dY_i$$

Ein System befindet sich im Gleichgewicht, wenn die intensiven Variablen aller Teilsysteme gleich sind.

Gleichgewichtsbedingung:  $x_{i,1} = x_{i,2}$ 

Im Nichtgleichgewicht gleichen sich die intensiven Variablen  $x_i$  an, indem die entsprechenden extensiven Größen  $Y_i$  ausgetauscht werden.

zwei Teilsysteme im Kontakt:



#### Beispiele:

- Thermometer (1) im Kontakt mit Probe (2)
- Gasbehälter mit beweglicher Zwischenwand
- zwei elektrische Leiter im Kontakt

falls 
$$T_1 > T_2 \rightarrow \Delta S_{1\rightarrow 2}$$
  $\Rightarrow$  thermisches Gleichgewicht erreicht durch Austausch von Entropie

falls 
$$p_1 > p_2 \rightarrow \Delta V_{1\rightarrow 2}$$
  $\Rightarrow$  Druckgleichgewicht erreicht durch Austausch von Volumen

falls 
$$\Phi_1 > \Phi_2 \to \Delta Q_{1\to 2}$$
  $\Rightarrow$  elektrisches Gleichgewicht erreicht durch Austausch von Ladung

### 1.6 Exkurs in die Gibbs'sche Thermodynamik Elektrochemisches Potential

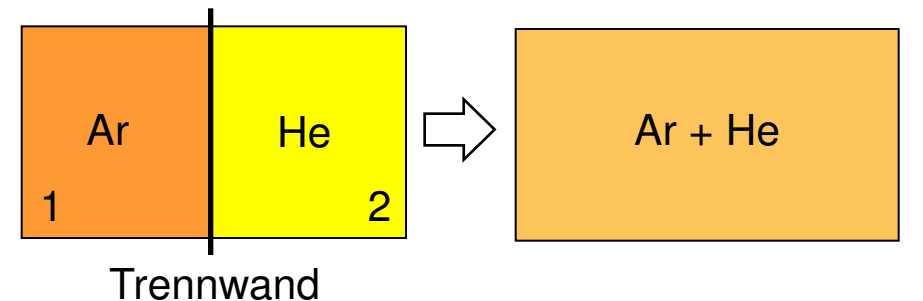


Gibbs'sche Fundamentalform: 
$$dE = -pdV + TdS + \Phi dQ + \frac{\mu dN}{\mu dN} + ... = \sum_{i} x_i dY_i$$

Das chemische Potential  $\mu$  drückt die Neigung eines Stoffes aus, sich umzuwandeln (chemische Reaktion, Verdampfung,...) bzw. sich im Raum umzuverteilen (Diffusion).

#### Beispiel:

Gaskanister mit 2 Kammern ( $p_1 = p_2$ ,  $T_1 = T_2$ )



Chemisches Gleichgewicht:  $\mu_{i,1} = \mu_{i,2}$ 

Zugehörige Ausgleichsvorgänge:

$$\mu_{\text{Ar,1}} > \mu_{\text{Ar,2}} \rightarrow \Delta N_{\text{Ar,1}\rightarrow 2}$$
  
 $\mu_{\text{He,2}} > \mu_{\text{He,1}} \rightarrow \Delta N_{\text{He,2}\rightarrow 1}$ 

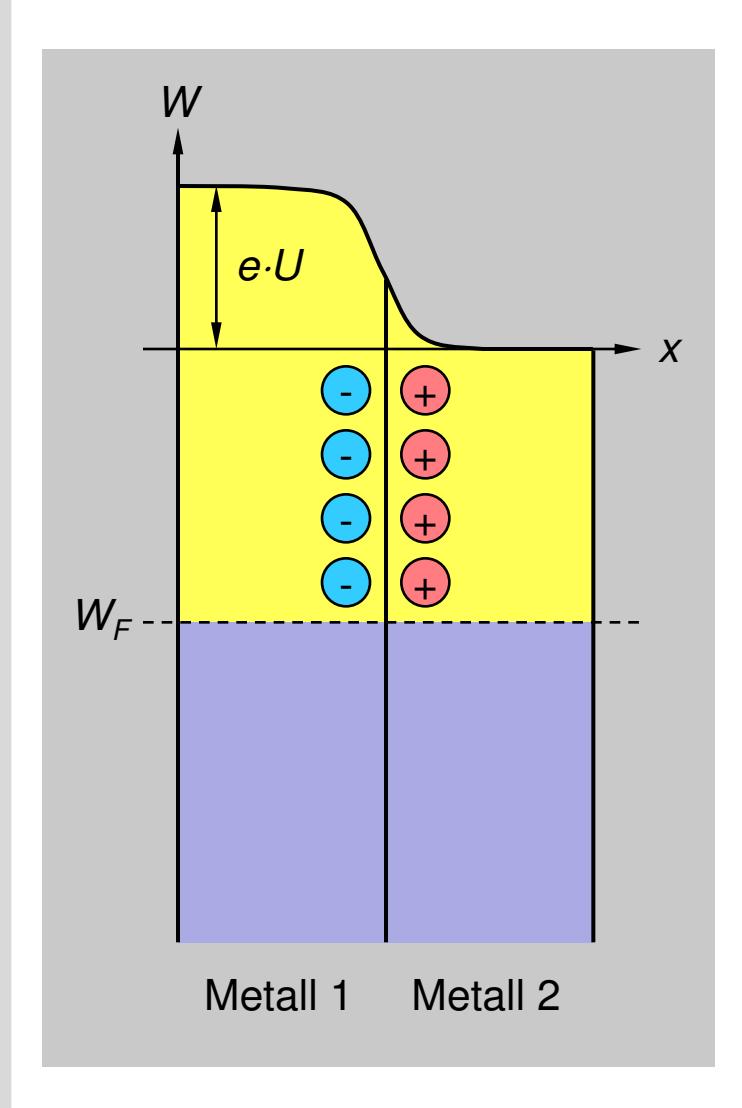
Im Falle elektrisch geladener Teilchen (Ladungsträger), Kopplung von Ladung an Teilchen:

$$dE = -pdV + TdS + \Phi dQ + \mu dN + \dots$$
  $dQ = ze_0 dN \rightarrow \tilde{\mu} = ze_0 \Phi + \mu$  elektrochemisches Potential



## 1.6 Exkurs in die Gibbs'sche Thermodynamik Zusammenhang zur Fermienergie





#### Kontaktspannung

Beim Kontakt zweier Metalle gehen Elektronen von Metall 2 mit geringerer Austrittsarbeit (= höheres chemisches Potential) in das Metall 1 über. Dadurch bildet sich die Kontaktspannung *U*.

Gleichgewichtsbedingung für geladene Teilchen ist die Angleichung des elektrochemischen Potentials:

$$\tilde{\mu}_1 = \tilde{\mu}_2$$
  $\longrightarrow$   $e_0 \Phi_1 + \mu_1 = e_0 \Phi_2 + \mu_2$   $-e_0 (\Phi_1 - \Phi_2) = \mu_1 - \mu_2$   $\longrightarrow$   $e_0 U = \mu_2 - \mu_1 = W_{A2} - W_{A1}$ 

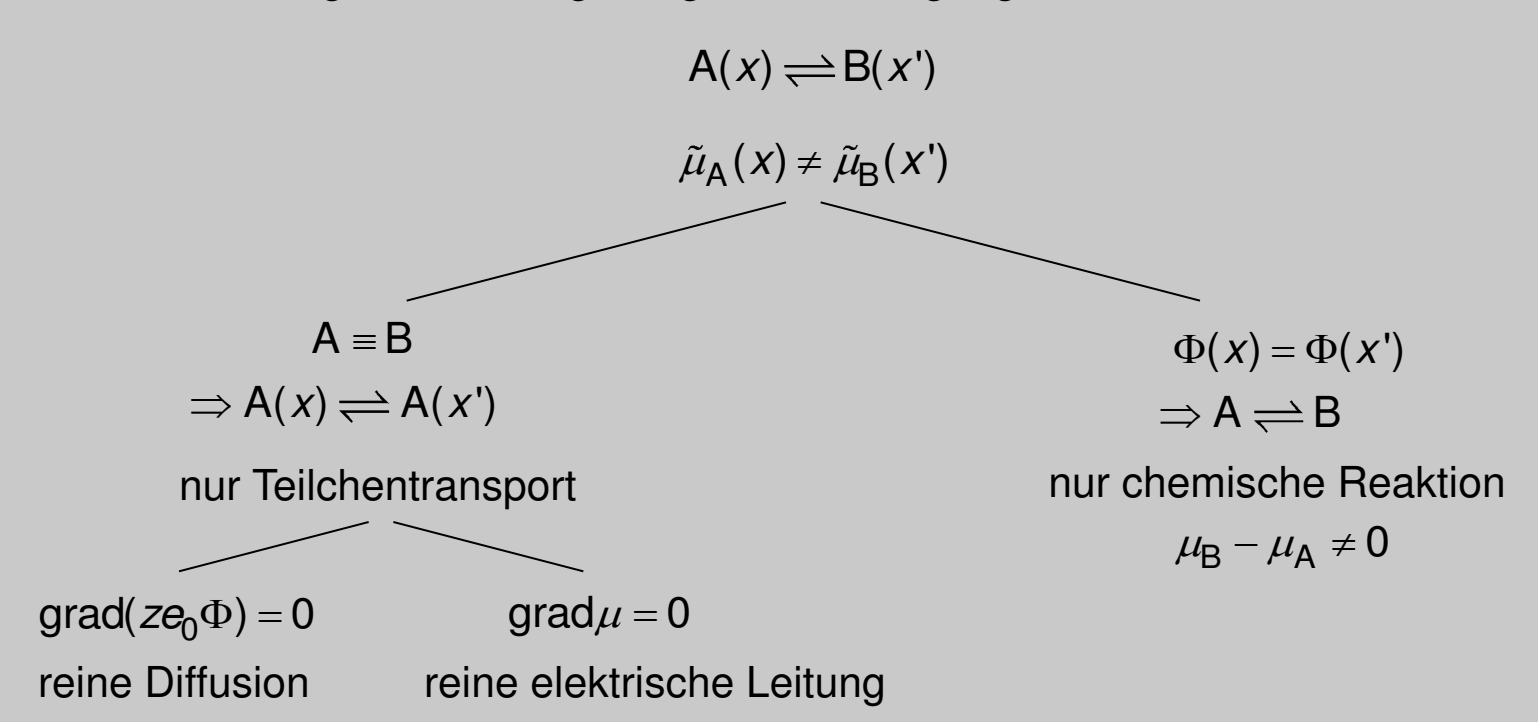
Elektrochemisches Potential entspricht der Fermienergie, chemisches Potential entspricht der Austrittsarbeit.

## 1.6 Exkurs in die Gibbs'sche Thermodynamik Nichtgleichgewicht des elektrochemischen Potentials



Elektrochemisches Potential:  $\tilde{\mu} = ze_0\Phi + \mu$ 

Allgemeine Formulierung eines Nichtgleichgewichts-Vorgangs:

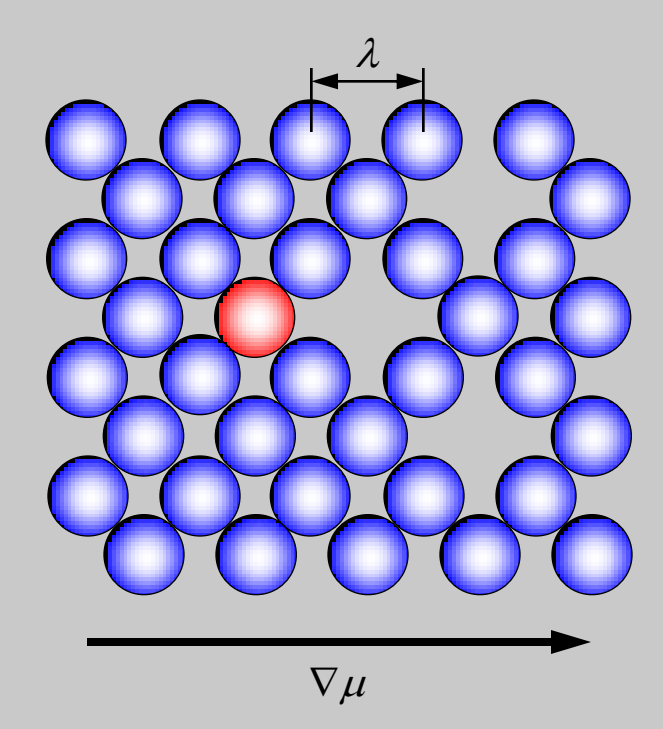


[Maier 2000]

## 1.6 Exkurs in die Gibbs'sche Thermodynamik Teilchendiffusion (1)



### Konzentrationsgefälle

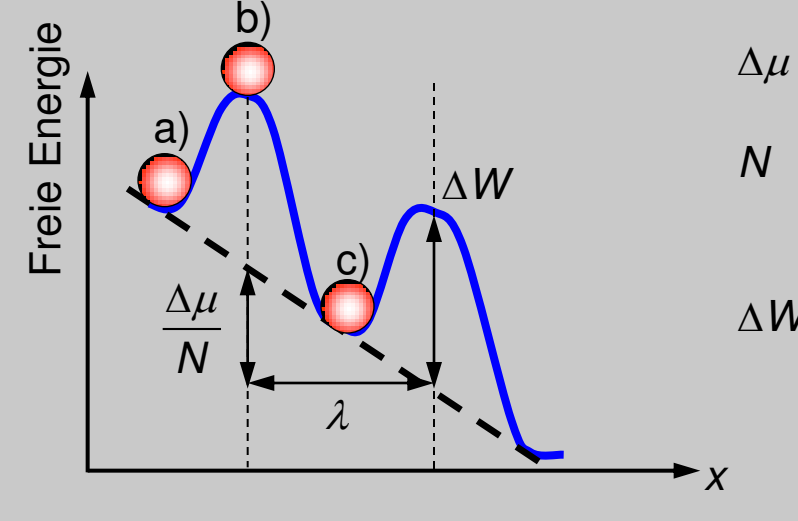


Gradient des chemischen Potentials

Näherungsweise gilt:

$$\nabla \mu = \frac{kT}{N} \cdot \nabla N$$

### **Bewegung eines Atoms in eine Leerstelle**



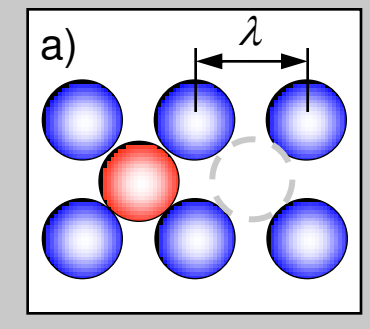
chem. Potentialdifferenz

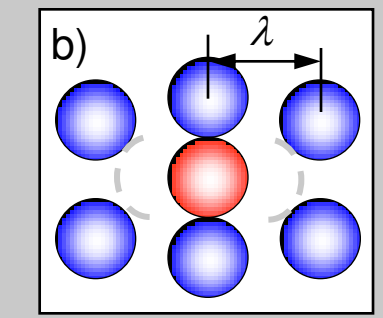
Anzahl der Gitterplätze

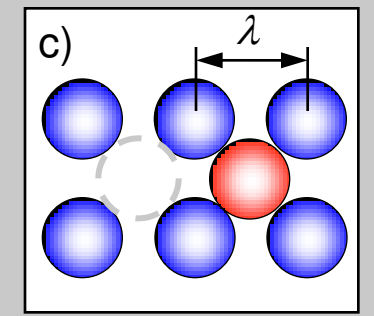
pro mol

∆W Aktivierungs-

energie

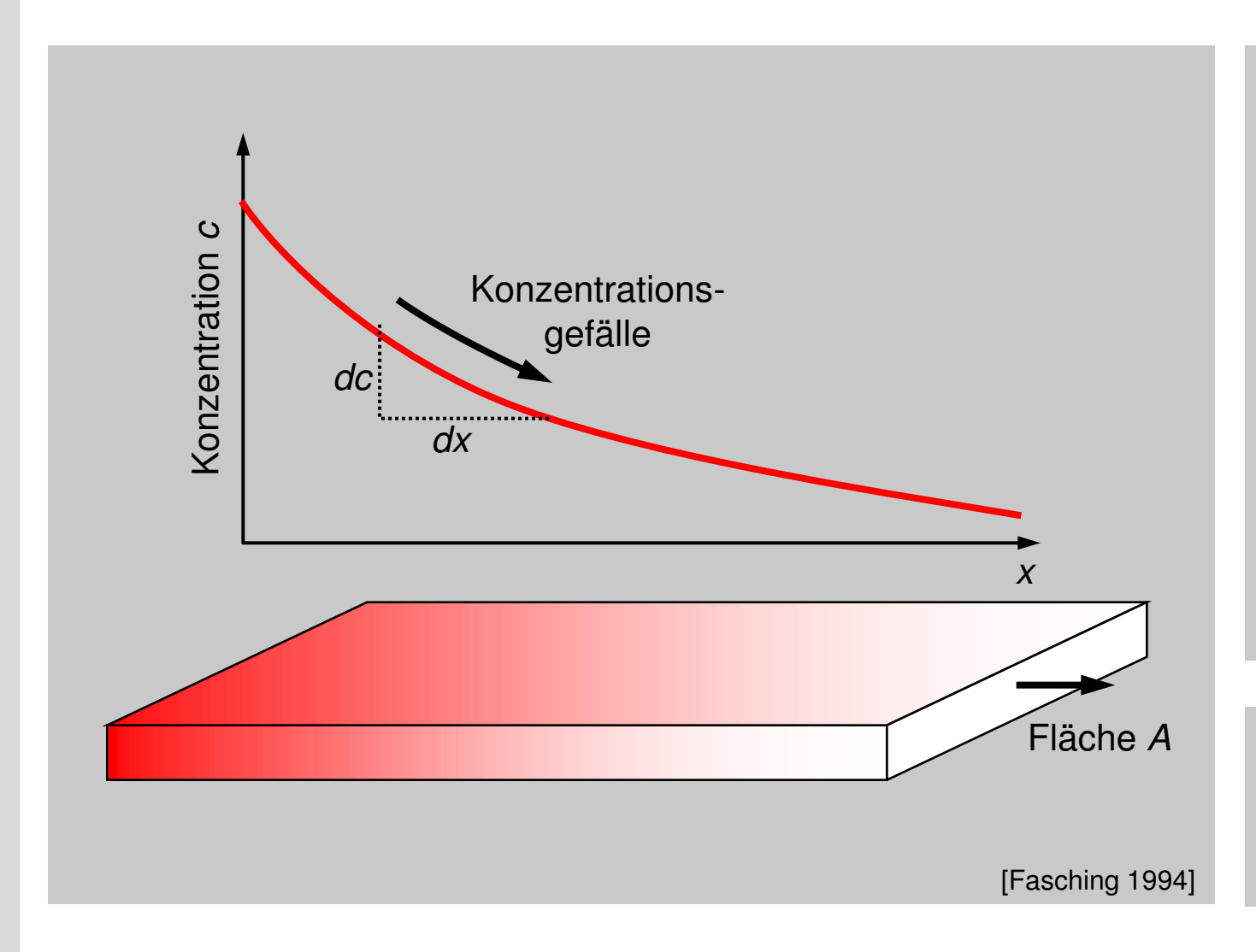






## 1.6 Exkurs in die Gibbs'sche Thermodynamik Teilchendiffusion (2)





#### Teilchenstromdichte

$$j_{\text{Diff}} = \frac{1}{A} \cdot \frac{dN}{dt}$$

#### Berechnung

$$\frac{1}{A} \cdot \frac{dN}{dt} = -D \cdot \frac{dc}{dx}$$

mit 
$$c = \frac{N}{V}$$
 und

#### Diffusionskoeffizient D

$$D = D_0 \cdot e^{-\frac{\Delta W}{kT}}$$

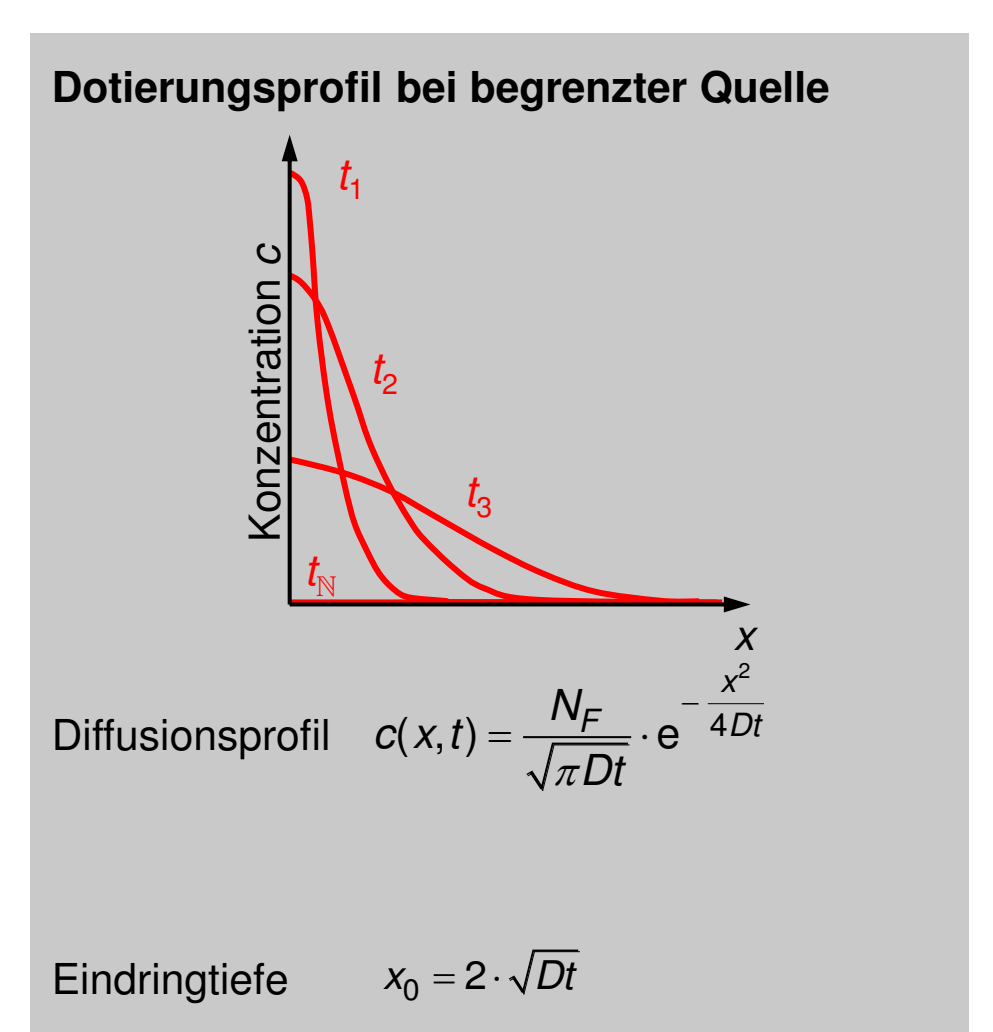
#### **Erstes Ficksches Gesetz**

$$\vec{j}_{\text{Diff}} = -D \cdot \nabla c = -D \frac{\nabla N}{V}$$

## 1.6 Exkurs in die Gibbs'sche Thermodynamik Diffusion von Dotierungen von der Oberfläche ins Volumen



# **Dotierungsprofil bei konstanter Quelle** Konzentration $c(x,t) = c_0 \cdot \left(1 - \frac{2}{\sqrt{\pi}} \cdot \int_0^a e^{-u^2} du\right)$ Diffusionsprofil mit $a = \frac{x}{2\sqrt{Dt}}$ $x_0 = 1,28 \cdot \sqrt{Dt}$ Eindringtiefe



[Braithwaite 1990]

Prof. Dr.-Ing. Ellen Ivers-Tiffée – Passive Bauelemente

## 1.6 Exkurs in die Gibbs'sche Thermodynamik Analogie zwischen elektrischer Leitung und Diffusion

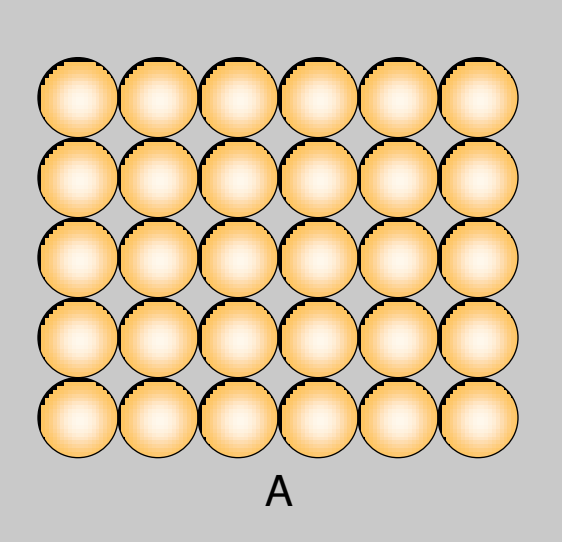


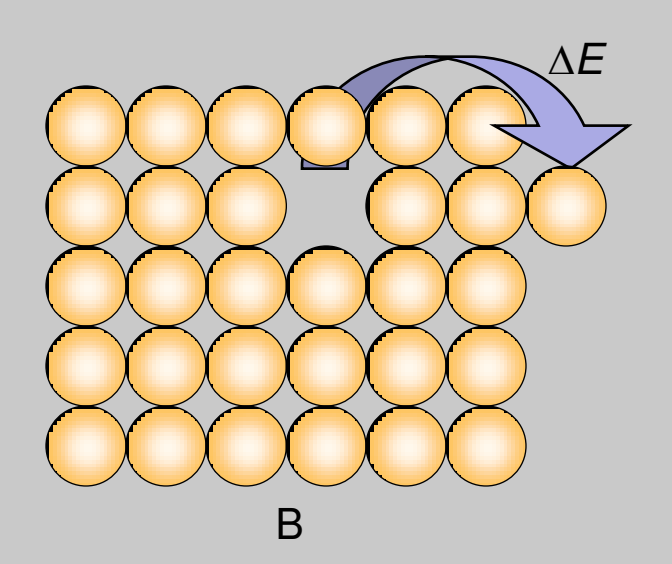
Physikalischer Effekt	"Triebkraft" (intensive Größe)	zugehörige extensive Größe	Gesetz
Elektrische Leitung $U = \Phi_1 - \Phi_2$ + $\vec{j}_Q$	elektrisches Potential Φ (Spannung)	elektrische Ladung Q	Ohmsches Gesetz $\vec{j}_Q \propto -\nabla \Phi$ $\vec{j}_Q = -\sigma \nabla \Phi$ bzw.: $\vec{j}_Q$ : Stromdichte $\sigma$ : Leitfähigkeit
Diffusion $ \begin{array}{c c}  & \nabla \mu \\ \hline  & N(x_1) & \overrightarrow{j}_{\text{Diff}} & N(x_2) \\ \hline  & & X \end{array} $	chemisches Potential $\mu$	Teilchenzahl <i>N</i> (Konzentration <i>c</i> )	erstes Ficksches Gesetz $\vec{j}_{\text{Diff}} \propto -\nabla \mu$ Für verdünnte Lösungen: $\vec{j}_{\text{Diff}} = -D\nabla c$ D: Diffusionskoeffizient

## 1.6 Exkurs in die Gibbs'sche Thermodynamik Defektbildung in Kristallen (1)



Der ideale Kristall A ist energetisch am günstigsten. Wieso bilden sich bei einem realen Kristall (B) dennoch Fehlstellen?





## 1.6 Exkurs in die Gibbs'sche Thermodynamik Defektbildung in Kristallen (2)



Innere Energie: 
$$dE = -pdV + TdS + \mu dN + ... \rightarrow E = E(V, S, N, ...)$$

Charakteristische Variable der Energie *E* sind Volumen *V*, Entropie *S* und Teilchenzahl *N*. Betrachtet man ein System unter der Bedingung, dass diese charakteristischen Variablen *V*, *S*, *N* konstant sind, so wird ein Gleichgewicht beschrieben durch die **Minimierung** der Energie *E*.

Von praktischer Bedeutung ist aber nicht der Fall konstanter Entropie, sondern der Fall konstanter Temperatur (Austausch von Entropie mit Umgebung zur Konstanthaltung der Temperatur).

Betrachte daher die Funktion  $F = E - T \cdot S$ 

$$dF = dE - TdS - SdT$$

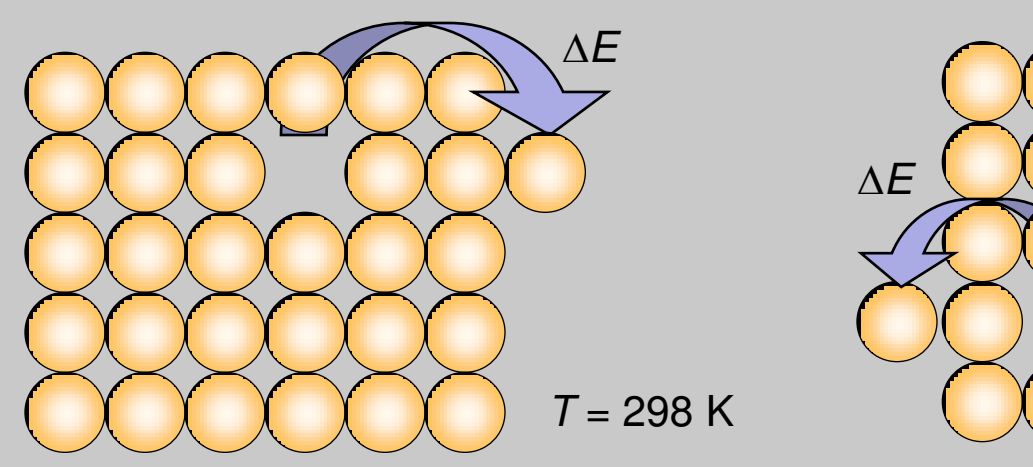
$$= -pdV + TdS + \mu dN + ... - TdS - SdT$$

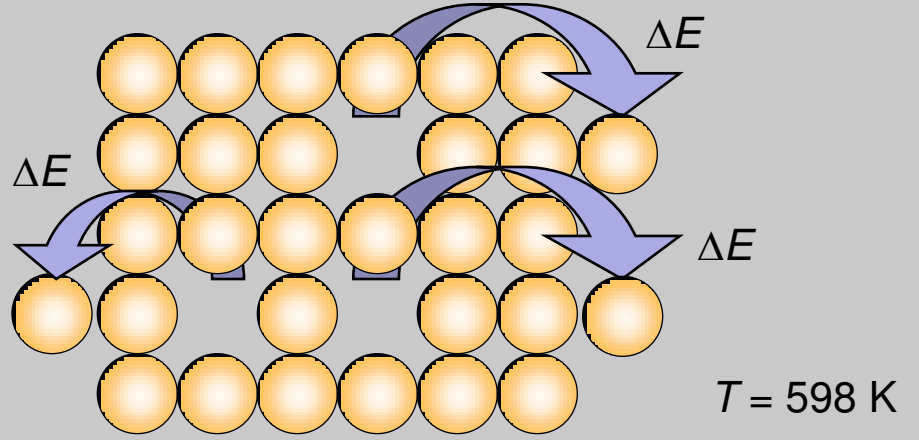
$$= -pdV - SdT + \mu dN + ...$$

 $\rightarrow$  F = F(V, T, N, ...) Zustandsfunktion der Freien Energie F

## 1.6 Exkurs in die Gibbs'sche Thermodynamik Defektbildung in Kristallen (3)







### Fehlordnung im Kristall

Minimum der Freien Energie F: dF = dE - TdS - SdT = 0

$$T = const.$$

$$= \frac{dE}{dE} - \frac{TdS}{dE} = 0$$

Erzeugung von Leerstellen:  $\begin{cases} dE > 0 \\ dS > 0 \end{cases}$ 

Je höher die Kristalltemperatur, desto stärker wird der Term *TdS* gewichtet.

## 1.6 Exkurs in die Gibbs'sche Thermodynamik Weitere thermodynamische Zustandsfunktionen



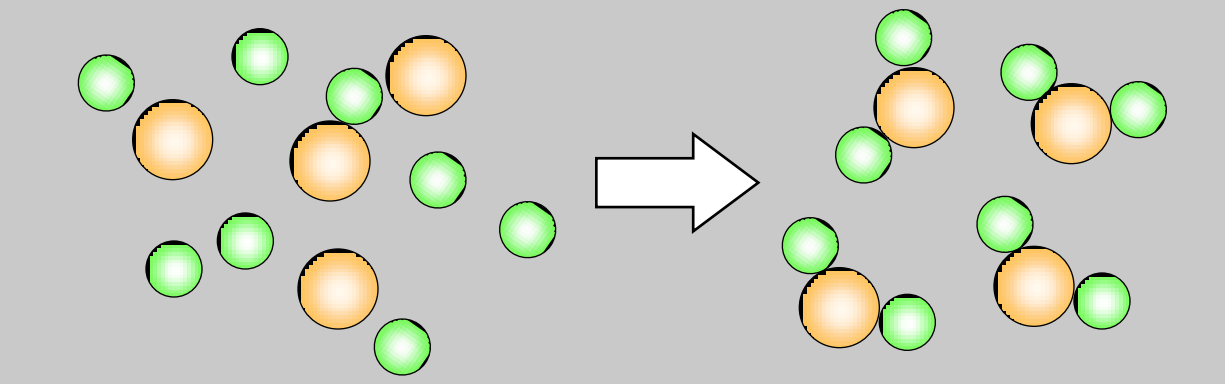
Analog zur Freien Energie *F* lassen sich aus der inneren Energie *E* auch die Enthalpie *H* und die Freie Enthalpie *G* herleiten:

$$H = E + p \cdot V$$
  $\rightarrow H = H(p, S, N,...)$ 

$$G = E - T \cdot S + p \cdot V$$
  $\rightarrow G = G(p, T, N, ...)$ 

chemische Reaktion

p, T = const.



Bei chemischen Reaktionen sind meist *p* und *T* konstant.

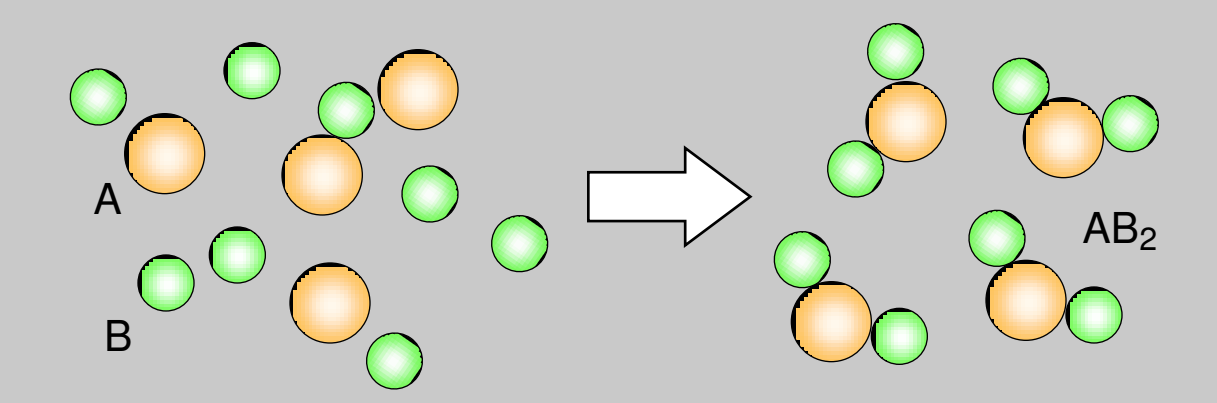
 $\Rightarrow$  Gleichgewichtsbedingung ist das Minimum der Freien Enthalpie: dG = 0

Prof. Dr.-Ing. Ellen Ivers-Tiffée – Passive Bauelemente

## 1.6 Exkurs in die Gibbs'sche Thermodynamik Gleichgewicht einer chem. Reaktion/Massenwirkungsgesetz (1)



chemische Reaktion 
$$A+2B \rightleftharpoons AB_2$$



Reaktion ist bei konstantem Druck p und Temperatur T im chemischen Gleichgewicht, wenn die Änderung der Freien Enthalpie verschwindet, d.h. dG = 0:

$$dG(p,T,N) = Vdp - SdT + \mu_{A}dN_{A} + \mu_{B}dN_{B} + \mu_{AB_{2}}dN_{AB_{2}} = 0 \qquad \rightarrow \mu_{A}dN_{A} + \mu_{B}dN_{B} = -\mu_{AB_{2}}dN_{AB_{2}}$$

Mit 
$$dN_A + \frac{1}{2}dN_B = -dN_{AB_2}$$
 und  $dN_A = \frac{1}{2}dN_B$  folgt:  $\mu_A + 2\mu_B = \mu_{AB_2}$ 

Prof. Dr.-Ing. Ellen Ivers-Tiffée – Passive Bauelemente

## 1.6 Exkurs in die Gibbs'sche Thermodynamik Gleichgewicht einer chem. Reaktion/ Massenwirkungsgesetz (2)



Für verdünnte Lösungen gilt der Ansatz:  $\mu = \mu_0 + kT \cdot \ln \frac{c}{c_0}$  c: Konzentrationen

$$\rightarrow \mu_{A,0} + kT \cdot \ln \frac{c_A}{c_{A,0}} + 2\mu_{B,0} + 2kT \cdot \ln \frac{c_B}{c_{B,0}} - \mu_{AB_2,0} - kT \cdot \ln \frac{c_{AB_2}}{c_{AB_2,0}} = 0$$

$$\ln \frac{c_A}{c_{A,0}} + 2\ln \frac{c_B}{c_{B,0}} - \ln \frac{c_{AB_2}}{c_{AB_2,0}} = \frac{\mu_{AB_2,0} - \mu_{A,0} - 2\mu_{B,0}}{kT} \rightarrow \frac{c_A \cdot c_B^2}{c_{AB_2}} = \frac{c_{A,0} \cdot c_{B,0}^2}{c_{AB_2,0}} \exp \left(\frac{\mu_{AB_2,0} - \mu_{A,0} - 2\mu_{B,0}}{kT}\right)$$

**Massenwirkungsgesetz** (Guldberg/Waage, 1867) für die chemische Reaktion  $A+2B \rightleftharpoons AB_2$ 

$$\frac{c_{AB_2}}{c_A \cdot c_B^2} = K(T) = k_0 \exp\left(-\frac{\Delta G}{kT}\right)$$

 $\Delta G$ : Freie Reaktionsenthalpie

## 1.6 Exkurs in die Gibbs'sche Thermodynamik Massenwirkungsgesetz in Kröger-Vink-Schreibweise



Die Konzentrationen der Edukte und Produkte im Gleichgewicht der chemischen Reaktion

$$n \cdot A + m \cdot B \rightleftharpoons A_n B_m$$

ergeben sich aus dem Massenwirkungsgesetz.

$$\frac{\left[\mathsf{A}_{n}\mathsf{B}_{m}\right]}{\left[\mathsf{A}\right]^{n}\cdot\left[\mathsf{B}\right]^{m}}=k_{0}\cdot\exp\left(-\frac{\Delta G}{kT}\right)$$

 $\lambda G$ : Freie Reaktionsenthalpie

k: BoltzmannkonstanteT: absolute Temperatur

 $k_0$ : Konstante

Die stöchiometrischen Koeffizienten *n*, *m* erscheinen dabei als Potenzen der Teilchenkonzentration [A], [B].

Beispiel: Bildung von Schottky-Defekten

In Kröger-Vink-Notation lautet die Bildung von Schottky-Punktdefekten der Atomsorte A:

$$A_A \rightleftharpoons A_A + V_A$$

Anwendung des Massenwirkungsgesetzes:

$$\frac{\left[\mathsf{V}_{\mathsf{A}}\right] \cdot \left[\mathsf{A}_{\mathsf{A}}\right]}{\left[\mathsf{A}_{\mathsf{A}}\right]} = \left[\mathsf{V}_{\mathsf{A}}\right] = k_0 \cdot \exp\left(-\frac{\Delta G}{kT}\right)$$

(vergleiche Abschnitt Kristallfehler)

## 1.7 Thermische und mechanische Aspekte Wärmeübertragung durch Wärmeleitung





Joseph Fourier \* 1768 † 1830

### Wärmeleitung durch

Gitterschwingungen (Phononen)
Elektronen

#### Durchtretende Wärmeleistung P

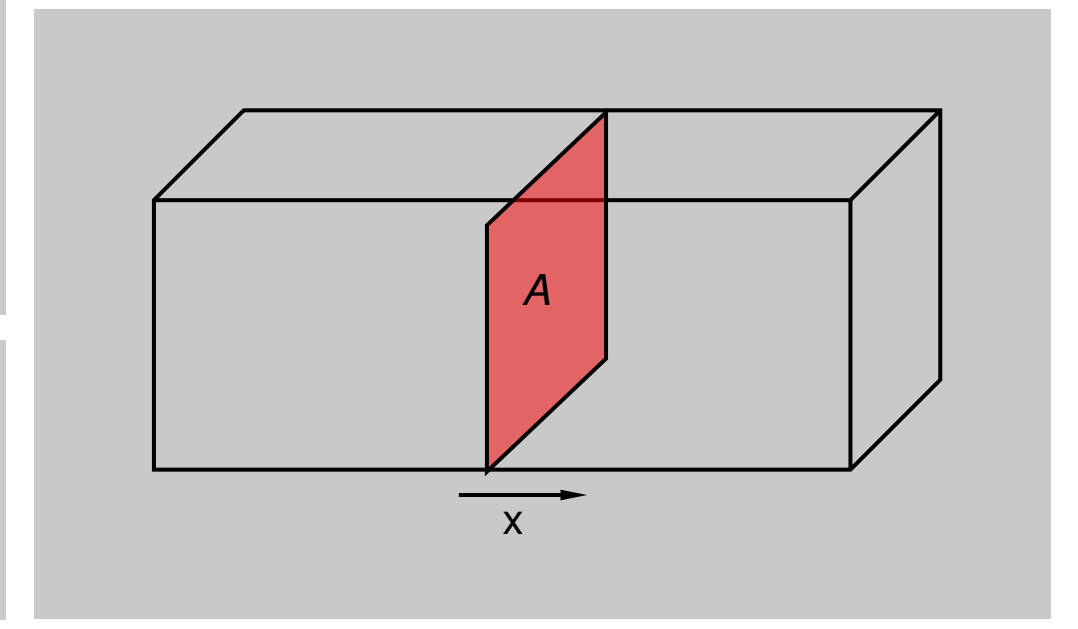
Fourier-Gesetz

Wärmestromdichte

$$P = -\lambda \cdot A \cdot \frac{dT}{dx}$$

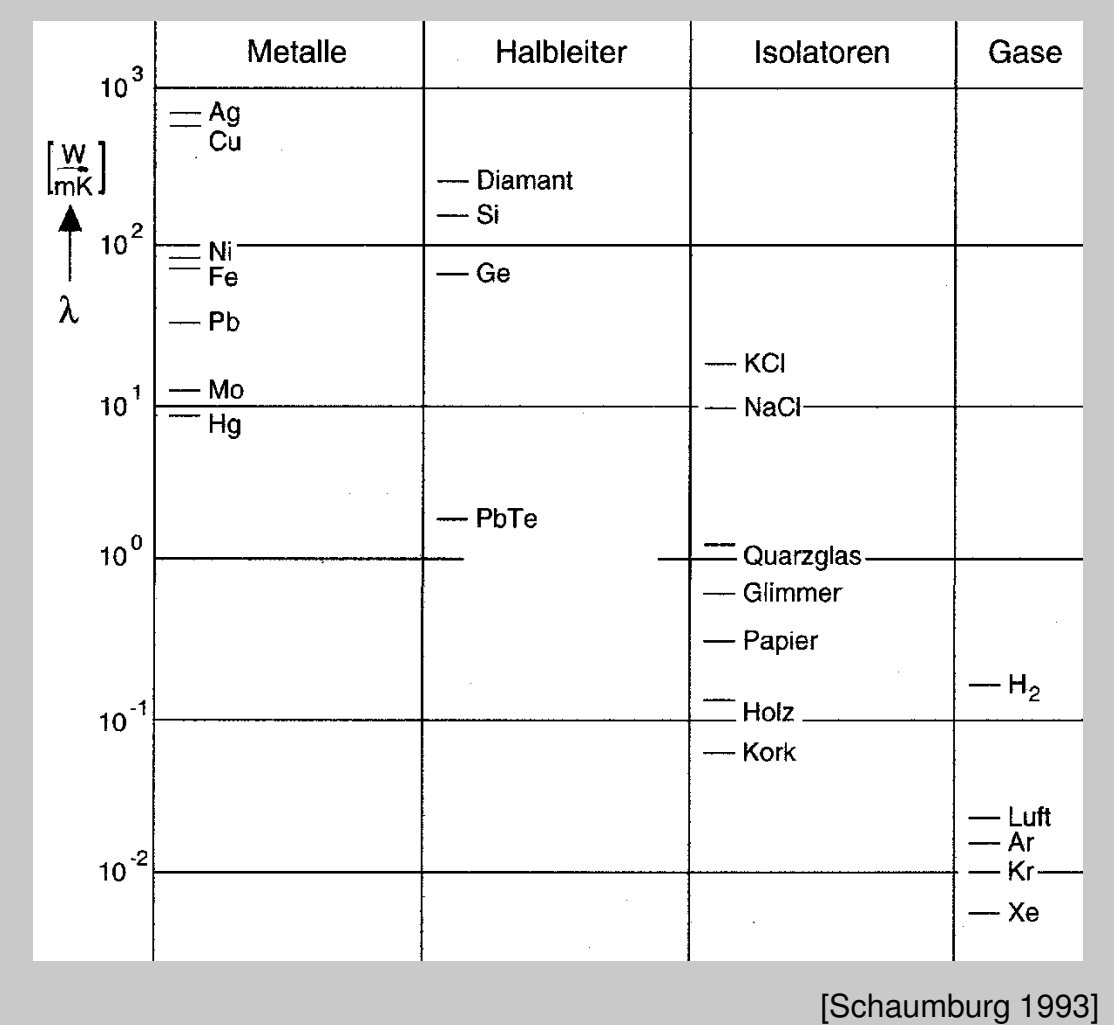
$$q_W = -\lambda_W \cdot \frac{dT}{dx}$$

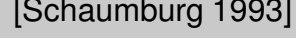
λ: Wärmeleitfähigkeit (Einheit W/(m·K))



### 1.7 Thermische und mechanische Aspekte Wärmeleitfähigkeit verschiedener Stoffe







## 1.7 Thermische und mechanische Aspekte Wärmeübertragung durch Strahlung



### Ausgetauschte Wärmeleistung $P_{AB}$

Stefan-Boltzmann-Gesetz

$$P_{AB} = c \cdot \sigma \cdot A \cdot \left(T_A^4 - T_B^4\right)$$

- *P<sub>AB</sub>* von A an B abgegebene Strahlungsleistung
- Stefan-Boltzmann-Konstante (abgestrahlte Leistung eines schwarzen Strahlers)
- c Materialkonstante berücksichtigt geringere Abstrahlungsfähigkeit (0 < c < 1)



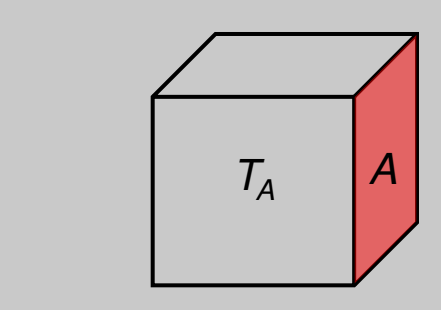
Josef Stefan \* 1835 † 1893

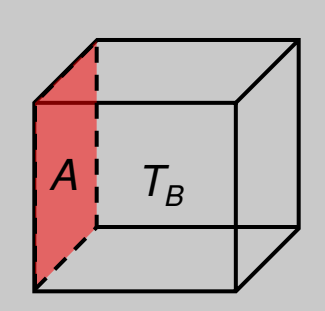


Ludwig Boltzmann \* 1844 † 1906

#### Wärmeaustausch durch

Photonen





## 1.7 Thermische und mechanische Aspekte Wärmeübertragung durch Konvektion





Isaac Newton \* 1643 † 1727

Wärmeübergang an Grenzfläche

### Übergehende Wärmeleistung P

Newton-Gesetz  $P_K = \alpha_K \cdot A_O \cdot (T - T_U) = G_{th} \cdot (T - T_U)$ 

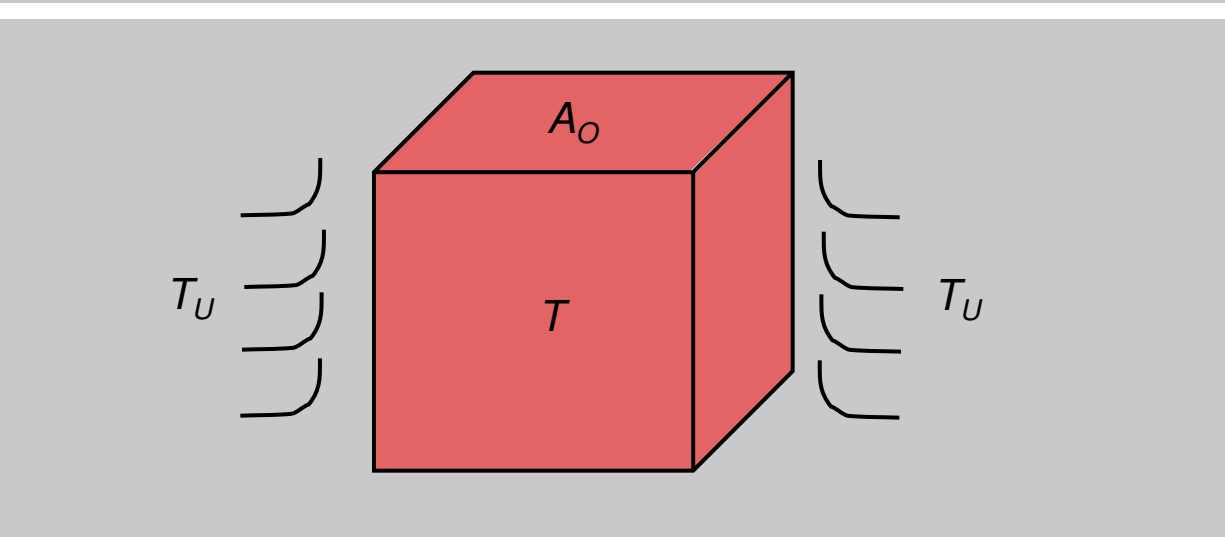
T: Temperatur des Körpers

 $T_U$ : Temperatur des umgebenden Mediums

G<sub>th</sub>: Wärmeleitwert

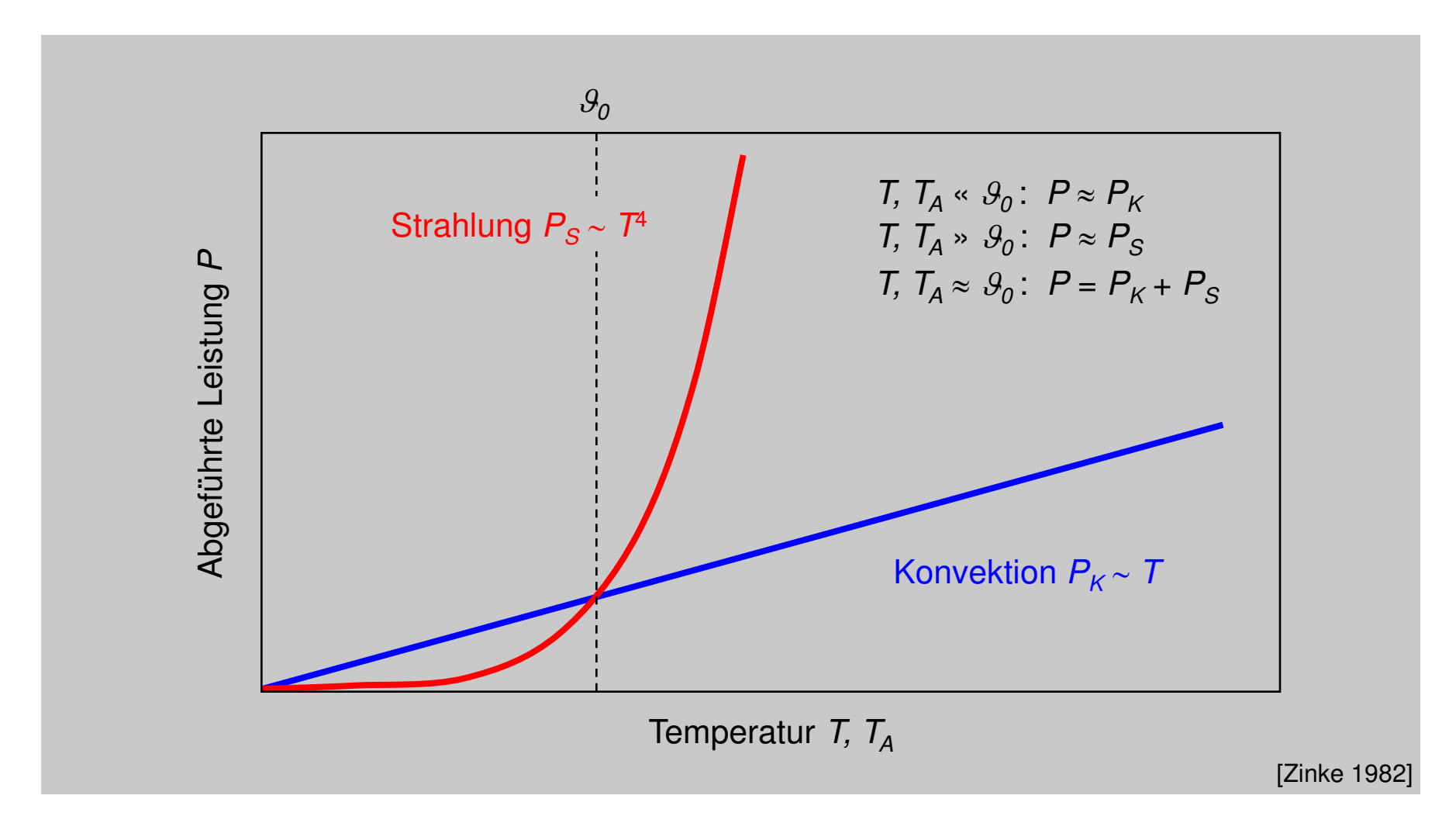
 $\alpha_K$ : Wärmeübergangszahl (Materialkonstante)

A<sub>O</sub>: Oberfläche des Körpers



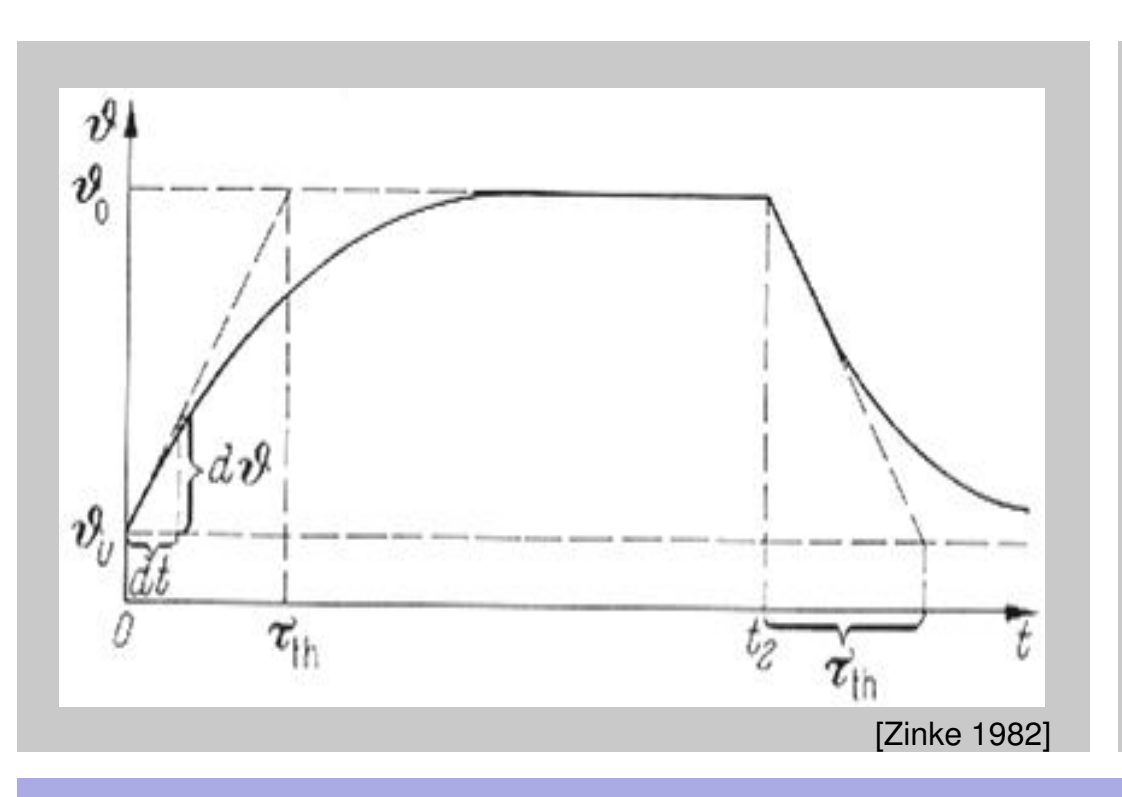
## 1.7 Thermische und mechanische Aspekte Vergleich der abgeführten Leistungen





### 1.7 Thermische und mechanische Aspekte Wärmezeitkonstante und spezifische Wärmekapazität





Symbol	Einheit	Größe
Р	W	el. Leistung
$ au_{th}$	S	Zeitkonstante
$\hat{\mathcal{Y}}_{U}$	K	Umgebungstemperatur
$\mathcal{G}_0$	K	Endtemperatur
m	g	Masse des NTC
С	Ws/gK	spez. Wärmekapazität

#### Beispiel:

c = 0.7 Ws/gK für viele NTC-Materialien

Exponentieller Anstieg und Abfall mit Zeitkonstanten  $\tau_{th}$ 

Aus dem Anstieg zum Zeitpunkt t = 0 folgt  $\tau_{th} = c \cdot m \cdot \frac{\theta_0 - \theta_U}{P}$ 



### 1.7 Thermische und mechanische Aspekte Beiträge zur Wärmekapazität



### Molare Wärmekapazität

$$c_{W,m} = \frac{\partial U}{\partial T} \quad \left[ \frac{\mathsf{J}}{\mathsf{mol}\;\mathsf{K}} \right]$$

Innere Energie

$$U(T) = 3/2 N_A \cdot kT + 3/2 N_A \cdot kT = 3 N_A \cdot kT$$
  
kin. Energie pot. Energie

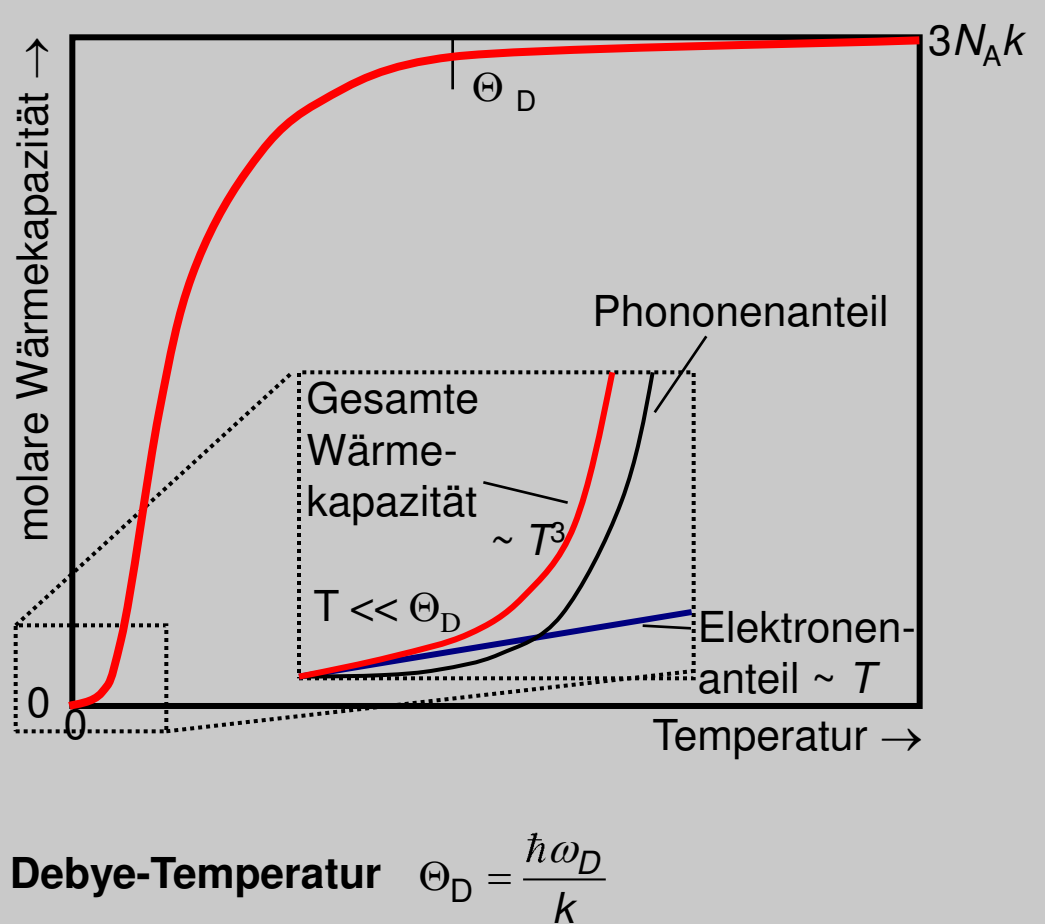
### Quantisierung der Gitterschwingungen

Dulong-Petit-Gesetz (für hohe T)

$$c_{W,m} = 3N_A k \approx 25 \frac{J}{\text{mol K}}$$

Debyesches-*T*<sup>3</sup>-Gesetz (für tiefe *T*)

$$c_{W,m} \approx 234 N_{\rm A} k \left(\frac{T}{\Theta_D}\right)^3$$

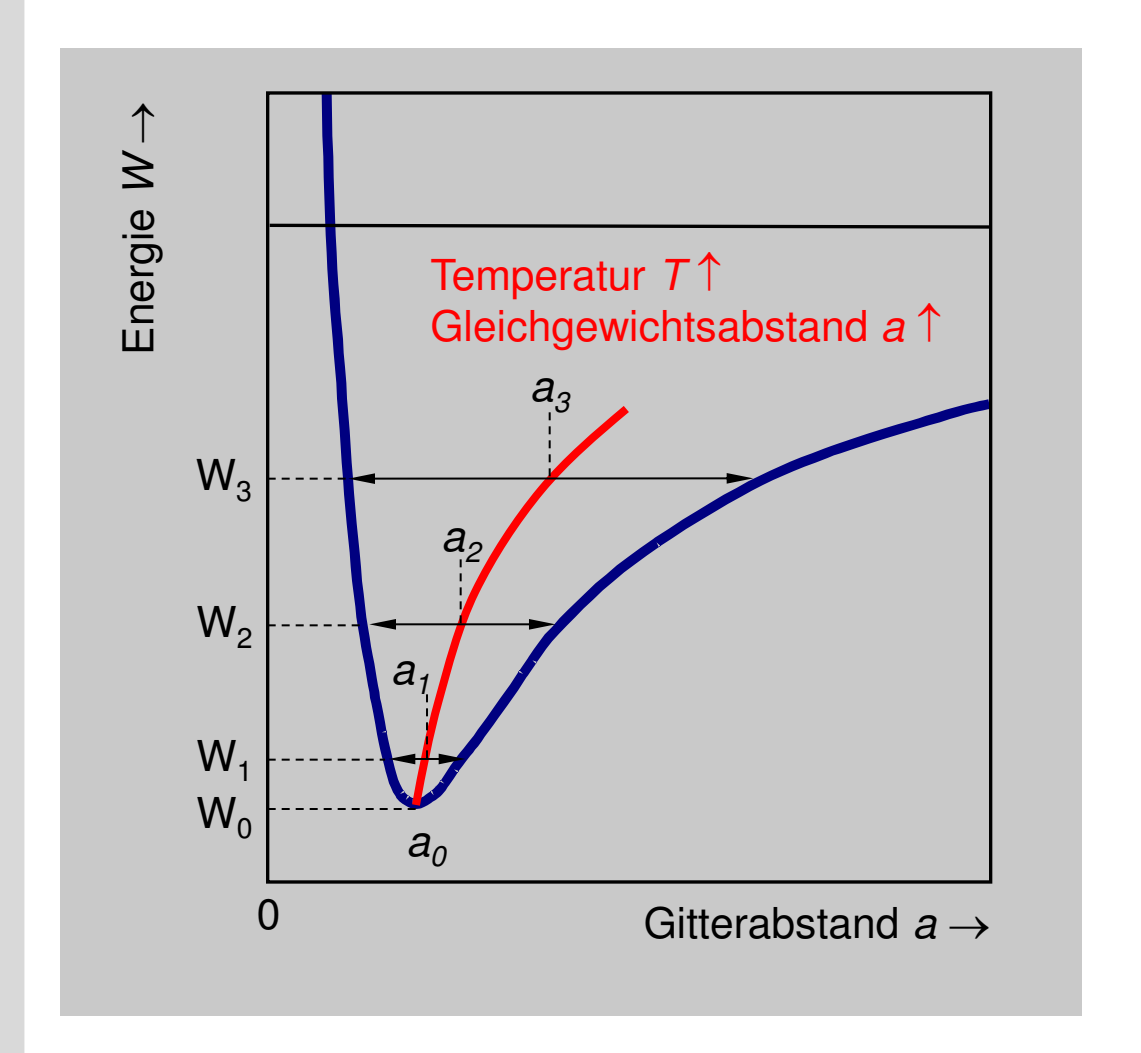


**Debye-Temperatur** 
$$\Theta_D = \frac{\hbar \omega_D}{k}$$

[Callister 1994]

## 1.7 Thermische und mechanische Aspekte Thermische Ausdehnung von Werkstoffen





Mit steigender Temperatur T nimmt das Gitter Schwingungsenergie auf  $(W_1, W_2, W_3)$ .

Aufgrund der Asymmetrie in der potentiellen Energie verändert sich die Gleichgewichtslage, um die die Atome schwingen.

⇒ Gitterkonstante *a* wird größer.

Beschreibung durch thermischen Ausdehnungskoeffizienten.

[Callister 1994]

### 1.7 Thermische und mechanische Aspekte Thermischer Ausdehnungskoeffizient und Grüneisensche Regel



### **Definitionen:** lineare thermische Ausdehnungskoeffizienten

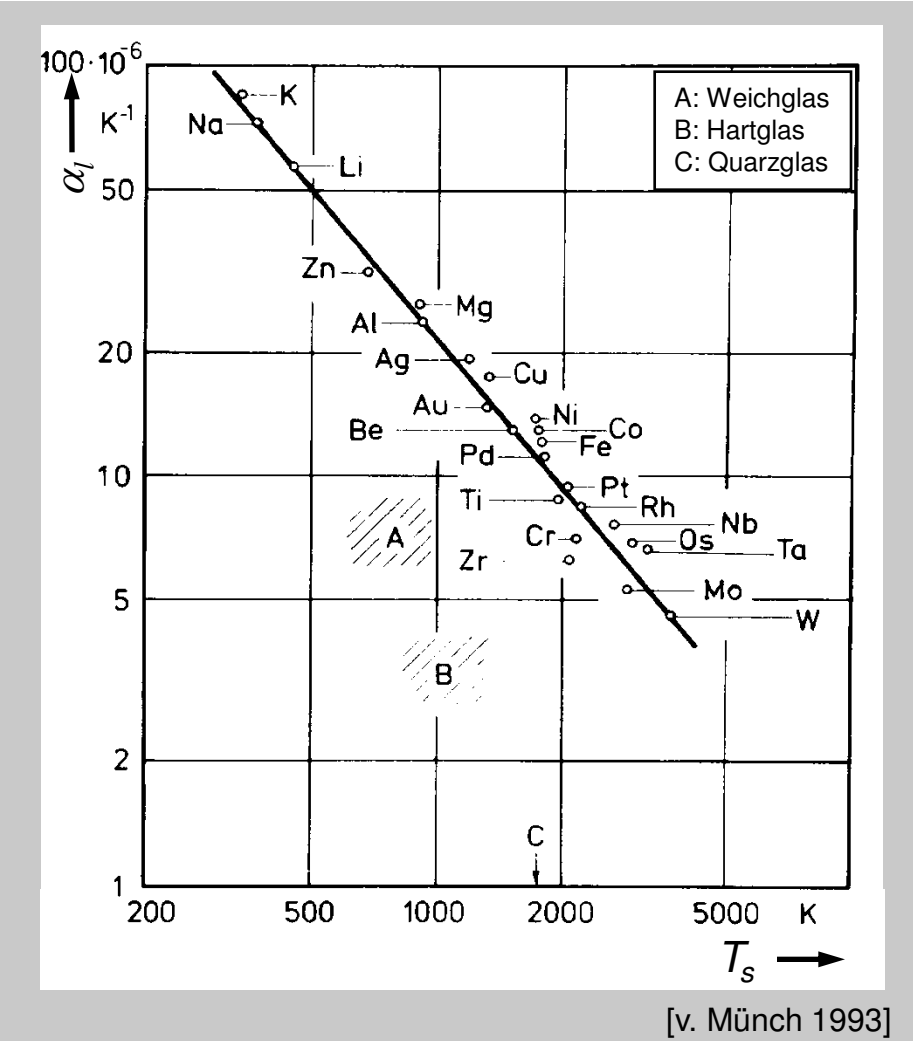
Volumenausdehnungskoeffizient 
$$\frac{\Delta V}{V_0} = \alpha_V \cdot \Delta T$$

Längenausdehnungskoeffizient

### Grüneisensche Regel

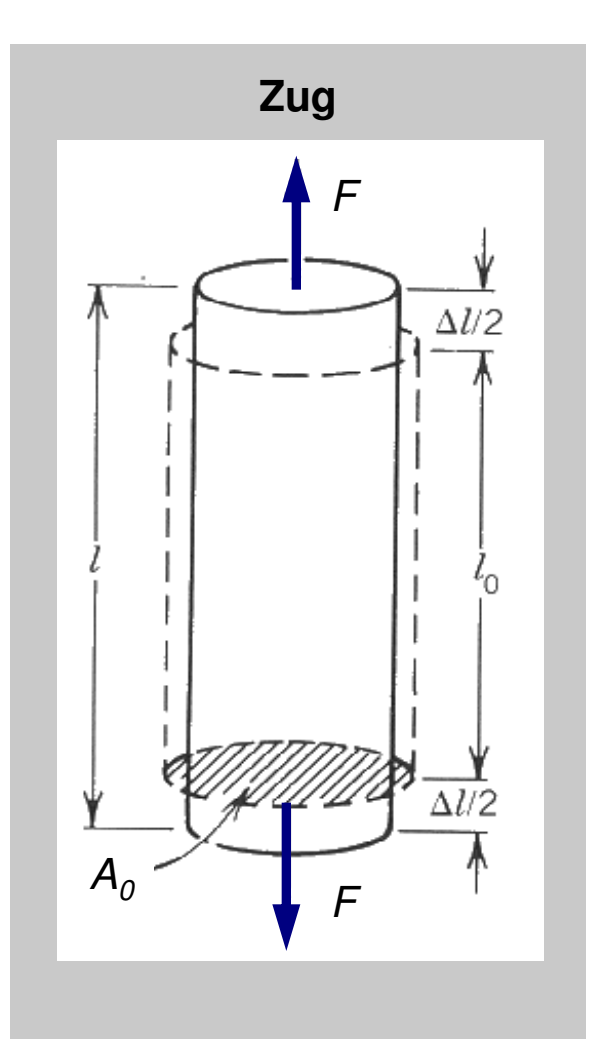
$$\alpha_l \sim \frac{1}{T_c}$$

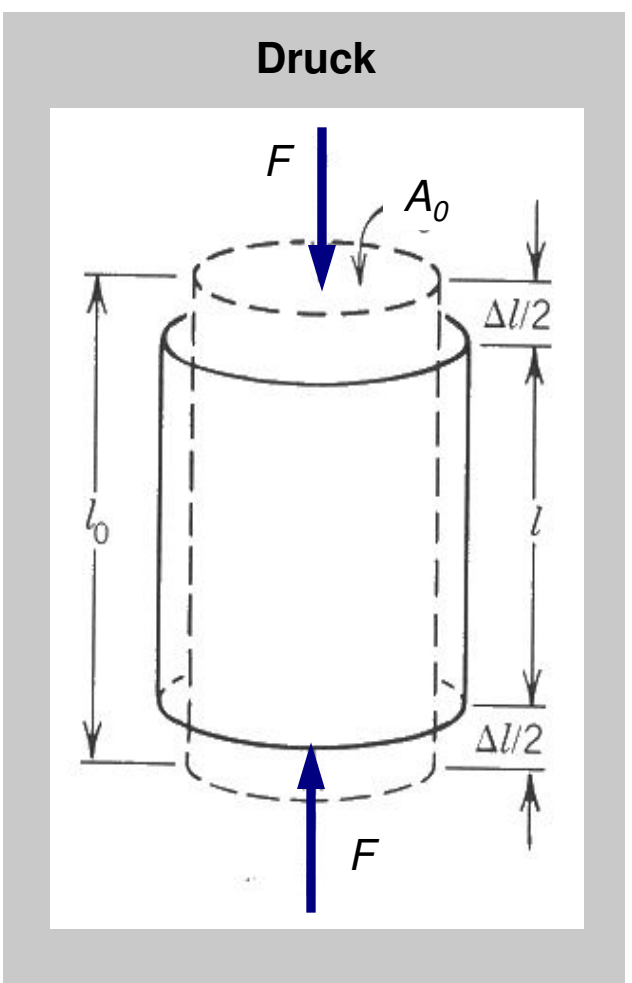
 $T_S$ : Schmelztemperatur

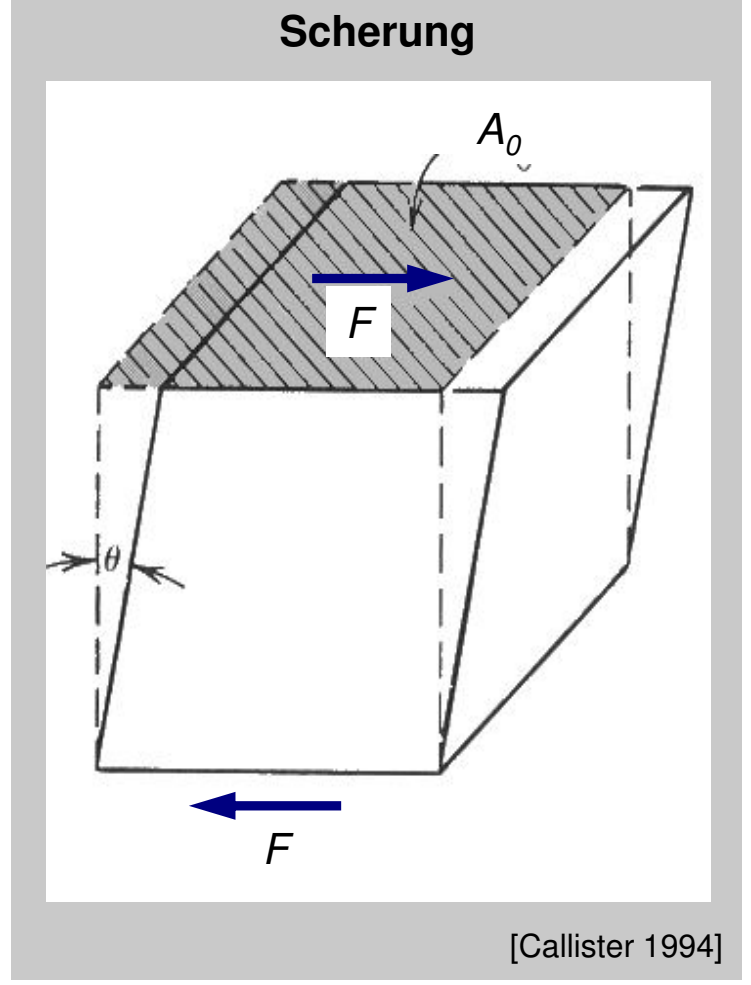


## 1.7 Thermische und mechanische Aspekte Arten mechanischer Beanspruchung (1)









## 1.7 Thermische und mechanische Aspekte Arten mechanischer Beanspruchung (2)



### Zug, Druck

mechanische Spannung

$$\sigma_M = \frac{F}{A_0}$$

Dehnung / Kompression

$$\varepsilon_{M} = \frac{\Delta I}{I_{0}}$$

Elastizitätmodul E

$$\sigma_{M} = E_{M} \cdot \varepsilon_{M}$$

Querkontraktionszahl (Poissonzahl)

$$v_{M} = -\frac{\Delta A/A_{0}}{2 \cdot \Delta I/I_{0}}$$

### **Scherung**

Scherspannung

$$\tau_{M} = \frac{F}{A_{0}}$$

Scherung

$$\gamma_M = \tan \theta$$

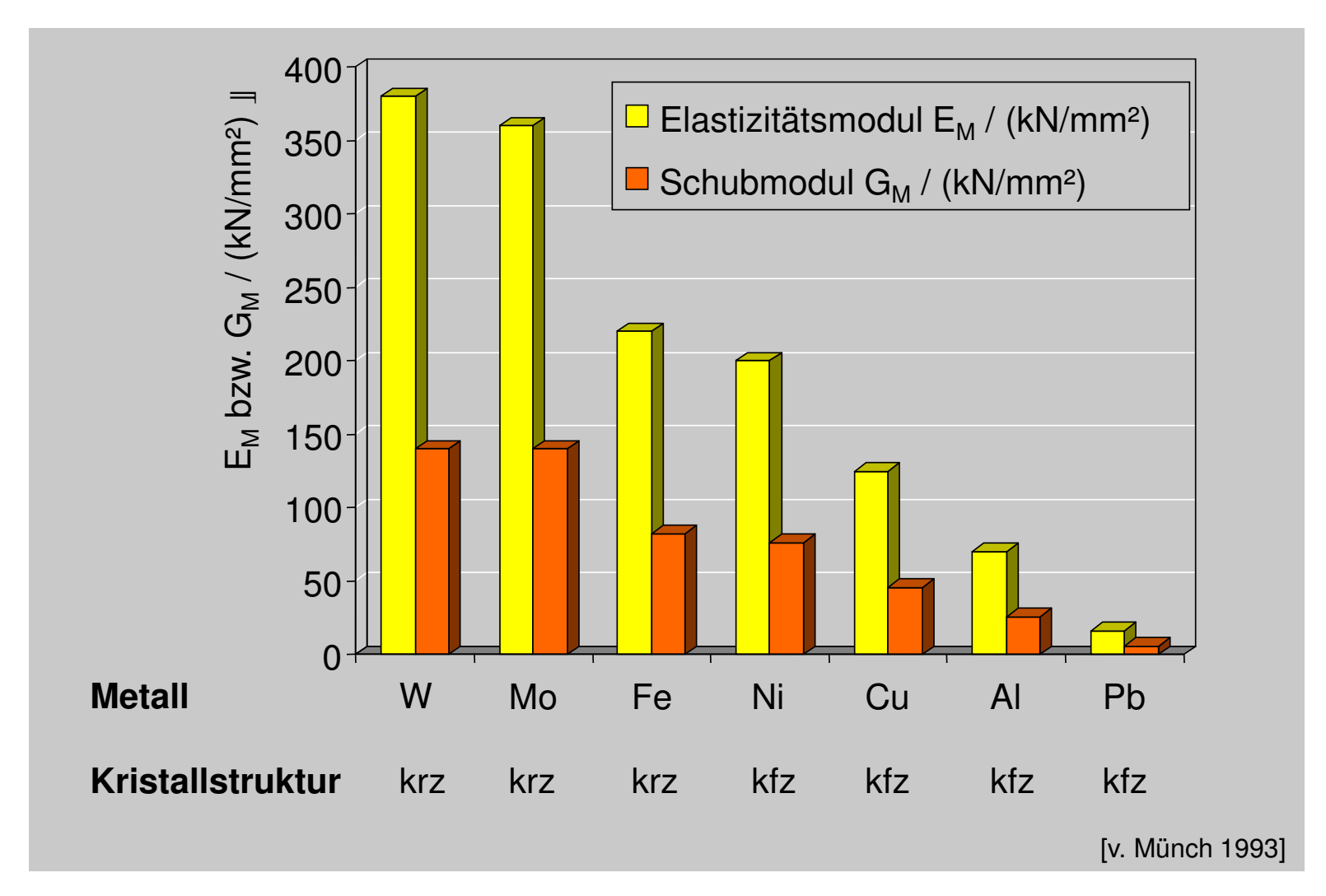
Schubmodul G

$$\tau_{M} = G_{M} \cdot \gamma_{M}$$

[Callister 1994]

## 1.7 Thermische und mechanische Aspekte Elastische Module isotroper, metallischer Werkstoffe

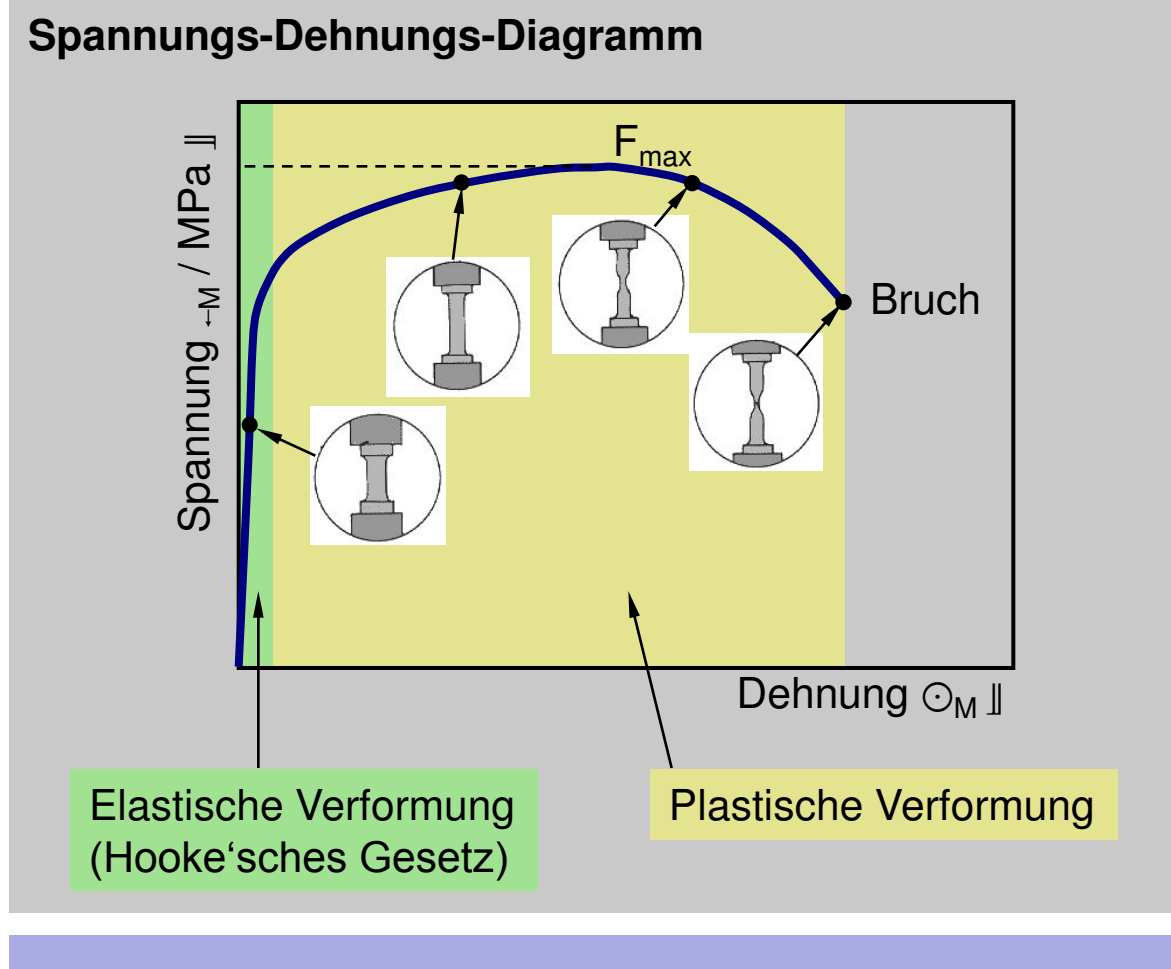




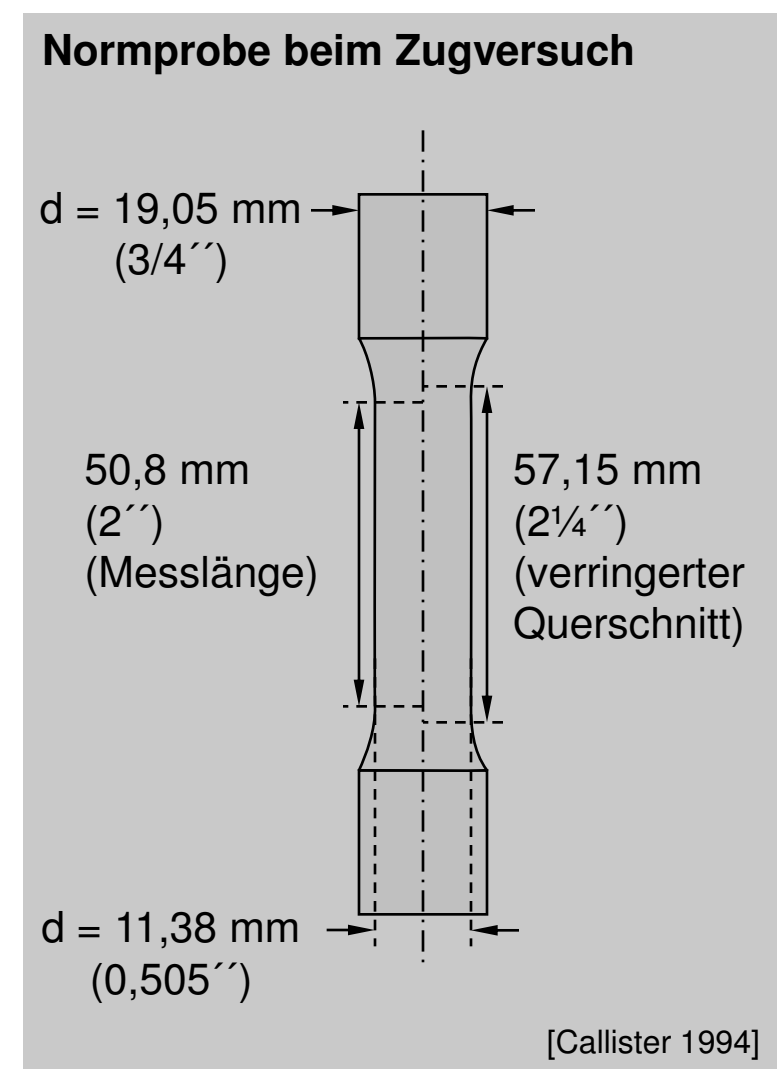


## 1.7 Thermische und mechanische Aspekte Spannungs-Dehnungs-Diagramm (1)





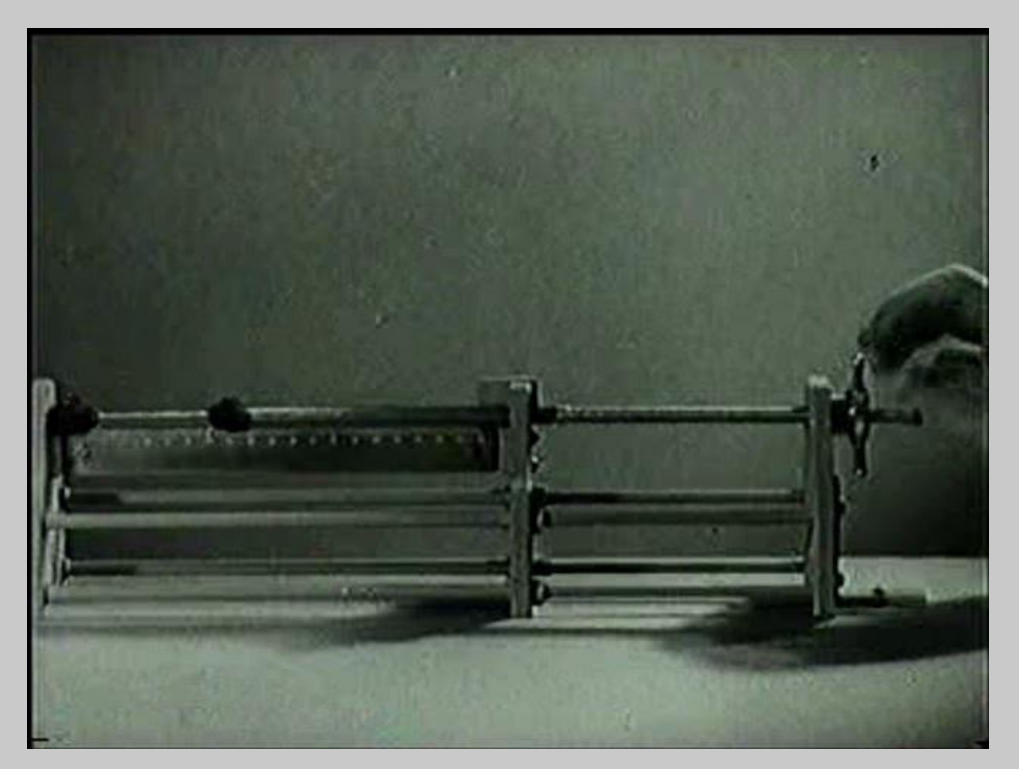
**Zugfestigkeit** 
$$\sigma_{MB} = F_{max}/A_0$$



## 1.7 Thermische und mechanische Aspekte Spannungs-Dehnungs-Diagramm (2)

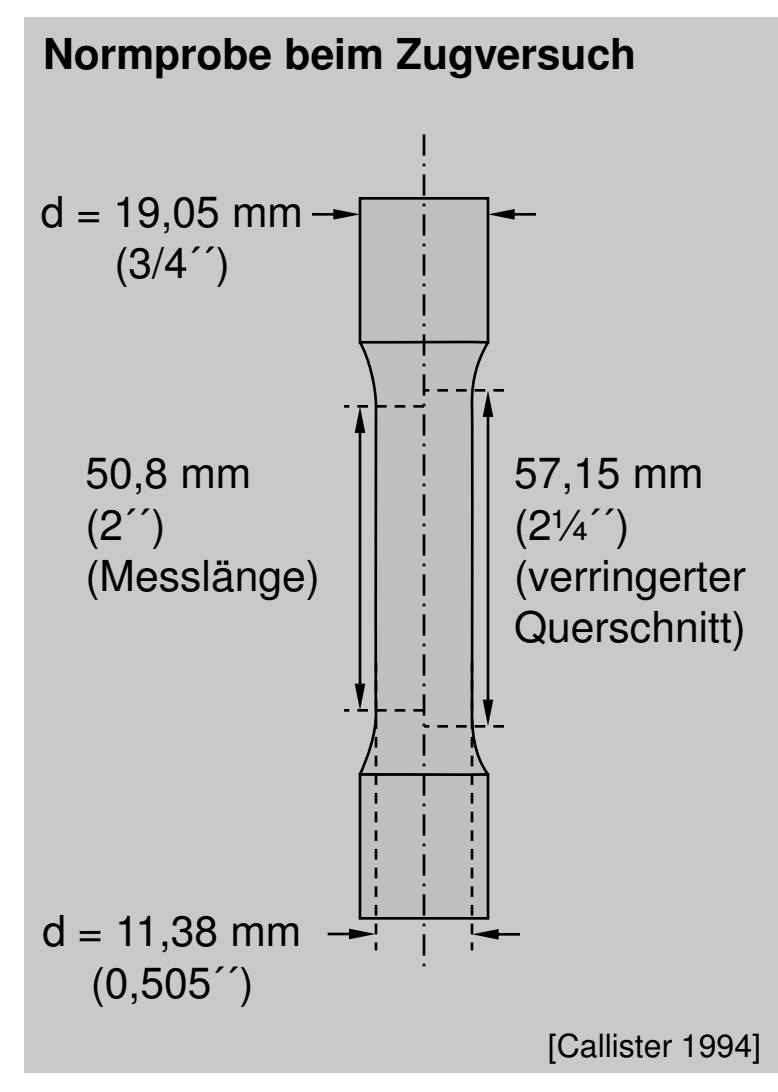


#### **Video: Zugversuch (Zinkstab)**



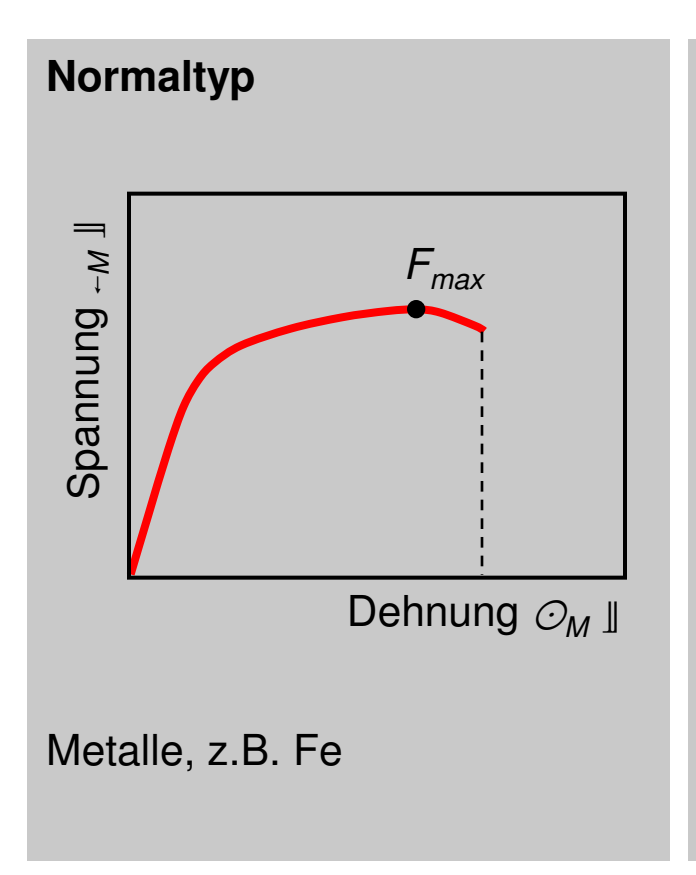
[http://www.techfak.uni-kiel.de/matwis/amat/]

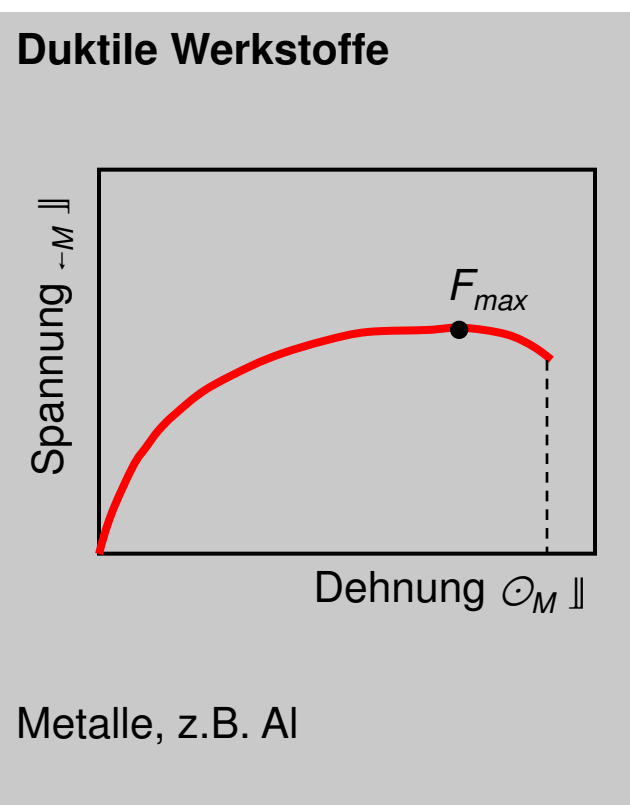
**Zugfestigkeit**  $\sigma_{MB} = F_{max}/A_0$ 

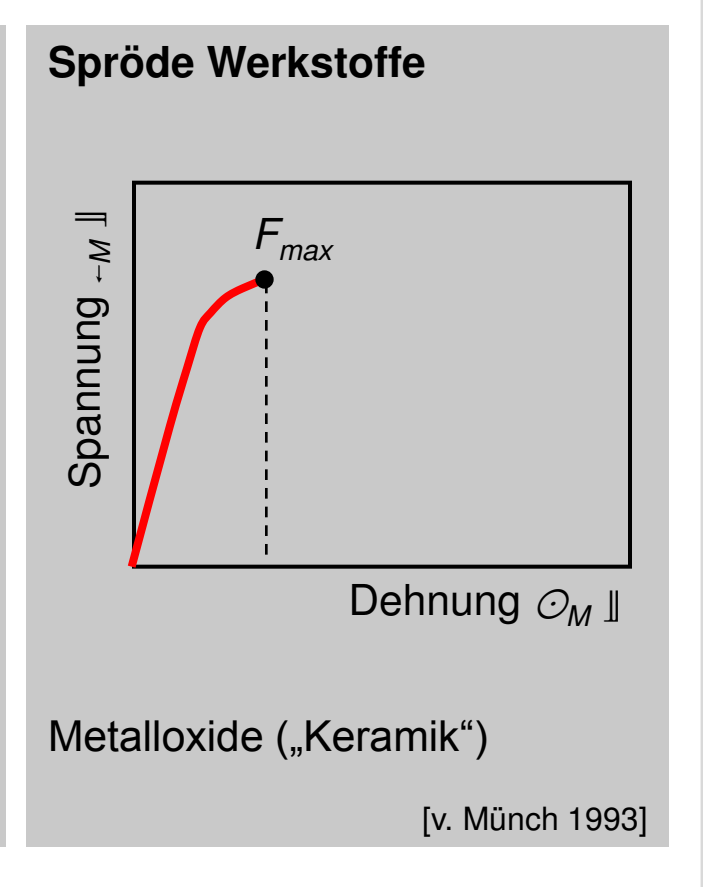


## 1.7 Thermische und mechanische Aspekte Verschiedene Typen von Spannungs-Dehnungs-Diagrammen





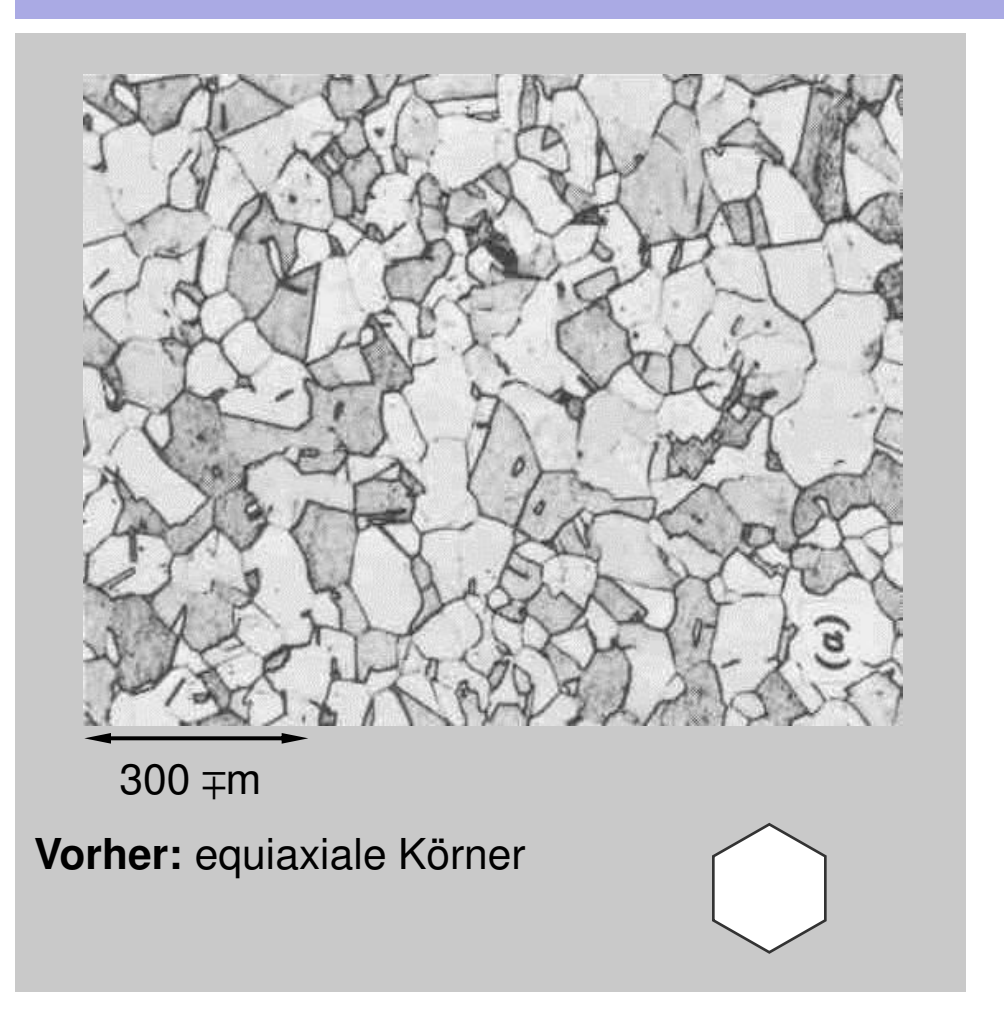


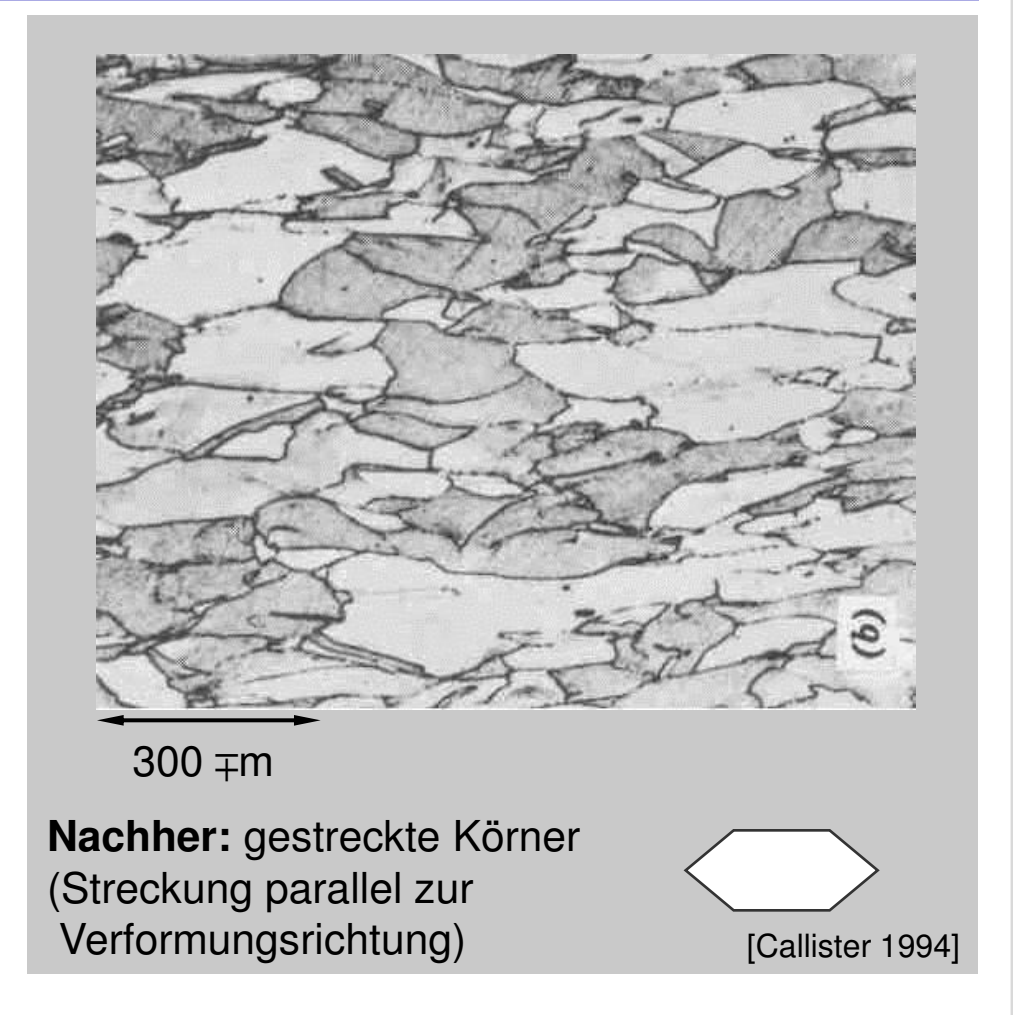


## 1.7 Thermische und mechanische Aspekte Veränderung des Gefüges durch plastische Verformung



### Lichtmikroskopie am Werkstoff Stahl





## 1.7 Thermische und mechanische Aspekte Anhang: Temperaturkoeffizienten



Der physikalische Temperaturkoeffizient einer Stoffeigenschaft *Y* ist definiert als normierte Ableitung nach der Temperatur.

$$TK_Y = \frac{1}{Y(T)} \cdot \frac{dY(T)}{dT}$$

$$[TK] = \% K^{-1}$$

#### Beispiele:

$$D = \text{konst.} \rightarrow TK_D = 0$$

$$R = A \cdot \exp\left(\frac{B}{T}\right) \rightarrow TK_R = -\frac{B}{T^2}$$

$$\sigma = e_0 \cdot n(T) \cdot \mu(T) \rightarrow TK_{\sigma} = TK_n + TK_{\mu}$$

Der lineare/ technische Temperaturkoeffizient ist eine lineare Näherung des physikalischen Temperaturkoeffizienten in einem bestimmten Intervall um die Temperatur  $T_0$ .

$$\alpha_{Y} = \frac{1}{Y(T_{0})} \cdot \frac{\Delta Y}{\Delta T} \qquad [\alpha] = \% \text{ K}^{-1}$$

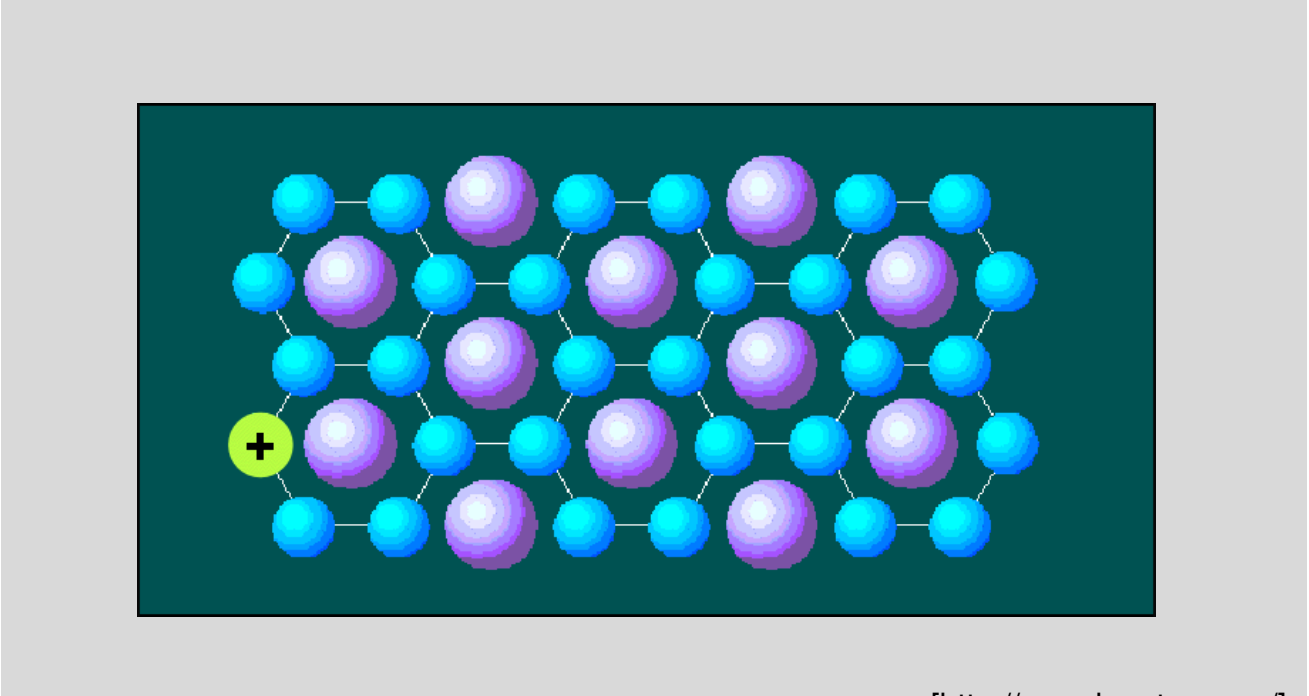
$$\Delta Y \qquad Y_{0}$$

Anwendung (Nennwerte  $T_N = T_0$  und  $Y_N = Y_0$ ):

$$Y(T) = Y_N \cdot (1 + \alpha_Y \cdot (T - T_N))$$

## **Kapitel 2 Leiterwerkstoffe und ihre Bauelemente**





[http://www.ionotec.com/]

## **Kapitel 2 Leiterwerkstoffe und ihre Bauelemente**



2.1	Einführung
2.2	Klassische Bandleiter
2.3	Halbleitende Metalloxide
2.4	Elektronische Hoppingleiter
25	Ionische Hoppingleiter

Supraleiter

2.6



## 2.1 Einführung Elektrische Leitfähigkeit von Werkstoffen



### Definition: Leitfähigkeit

In linearer, isotroper Materie ist das angelegte elektrisches Feld E proportional zur fließenden Stromdichte J (Ohmsches Gesetz).

$$\vec{J} = \sigma \cdot \vec{E}$$

 $\sigma$ : elektrische Leitfähigkeit

Für den spezifischen Widerstand gilt:  $\rho = \frac{1}{\sigma}$ 

#### Leitfähigkeit eines Materials

$$\sigma = \sum_{i} \sigma_{i} = e_{0} \cdot \sum_{i} |z_{i}| \cdot n_{i} \cdot \mu_{i}$$

 $e_0$ : Elementarladung

 $z_i$ : Ladungszahl

 $n_i$ : Konzentration

der Ladungsträgerart i

 $\mu_i$ : Beweglichkeit

(Elektronen, Ionen, etc.)

Die physikalische Deutung dieser Beziehung, die Querempfindlichkeit der Leitfähigkeit zu anderen physikalischen Größen (z.B. Temperatur) und die Anwendung in Bauelementen ist Gegenstand des folgenden Kapitels.

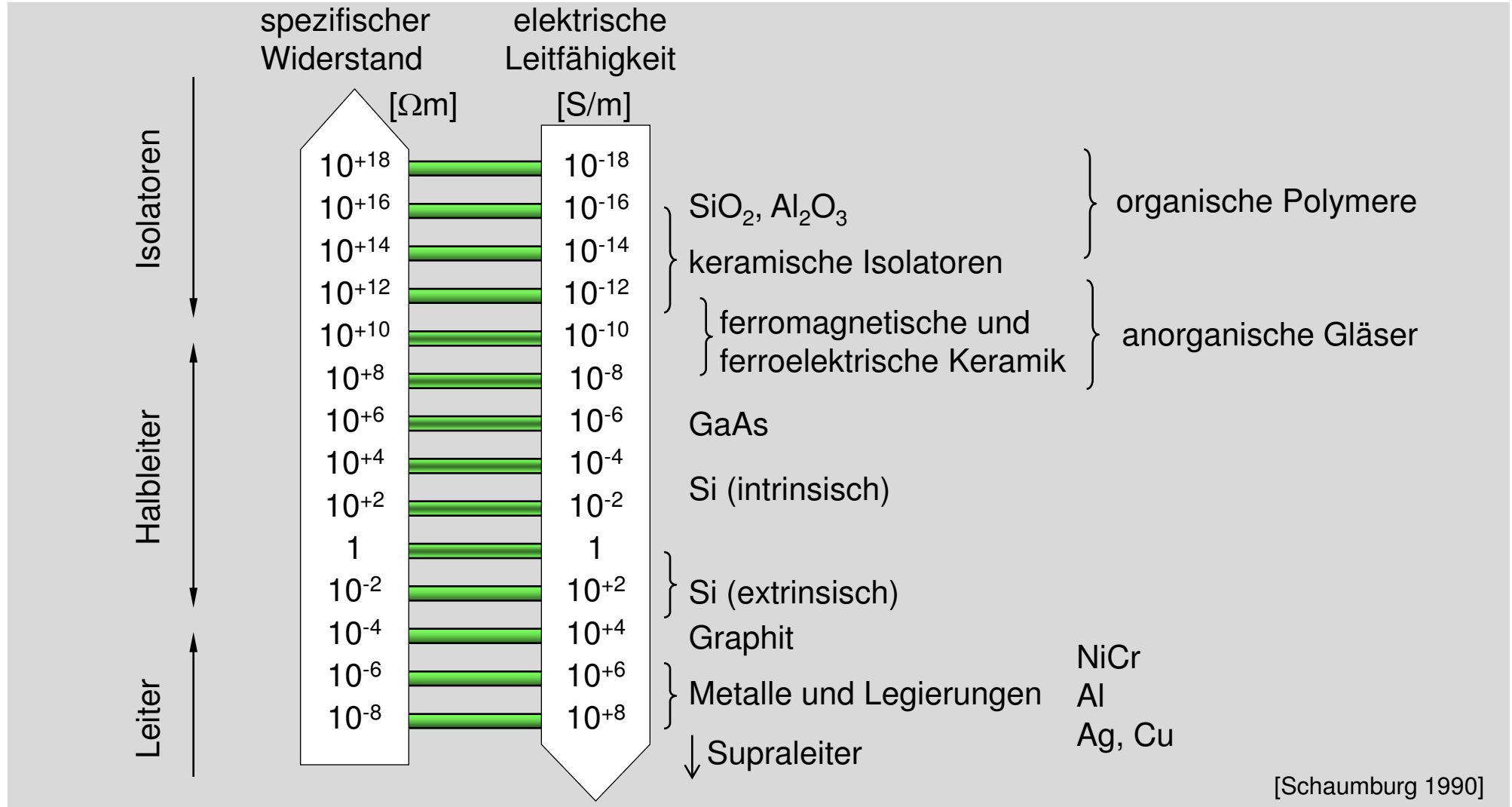
### 2.1 Einführung Modelle des Ladungstransports im Überblick



klassische Theorie	Bandleiter	Hoppingleiter	Supraleiter
Freies	Quasifreie	Lokalisierte	Elektronen in
Elektronengas	Elektronen/ Löcher	Ladungsträger	Cooper-Paaren
Geschwindigkeit gemäß Boltzmann- Verteilung (ideales Gas)	Besetzung gemäß Fermi-Verteilung (Quantentheorie)	Valenzaustausch, Beweglichkeit von Polaronen	Paarkopplung kompensiert Stöße am Atomgitter
Metalle (reine	Metalle, Halbleiter,	Halbleitende Metall-	Supraleitende Metalle,
Elektronenleiter)	Isolatoren	oxide, Ionenleiter	SL - Legierungen

### 2.2 Klassische Bandleiter Übersicht: Spezifischer Widerstand und Leitfähigkeit

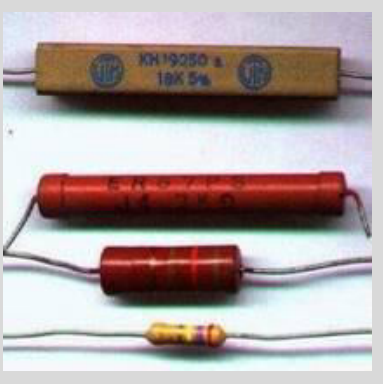




### 2.1 Einführung Anwendung von Leiterwerkstoffen in Bauelementen (1)



Widerstände, Leiter und Kontakte





Resistive Temperatursensoren, NTC-Thermistoren und Thermoelemente

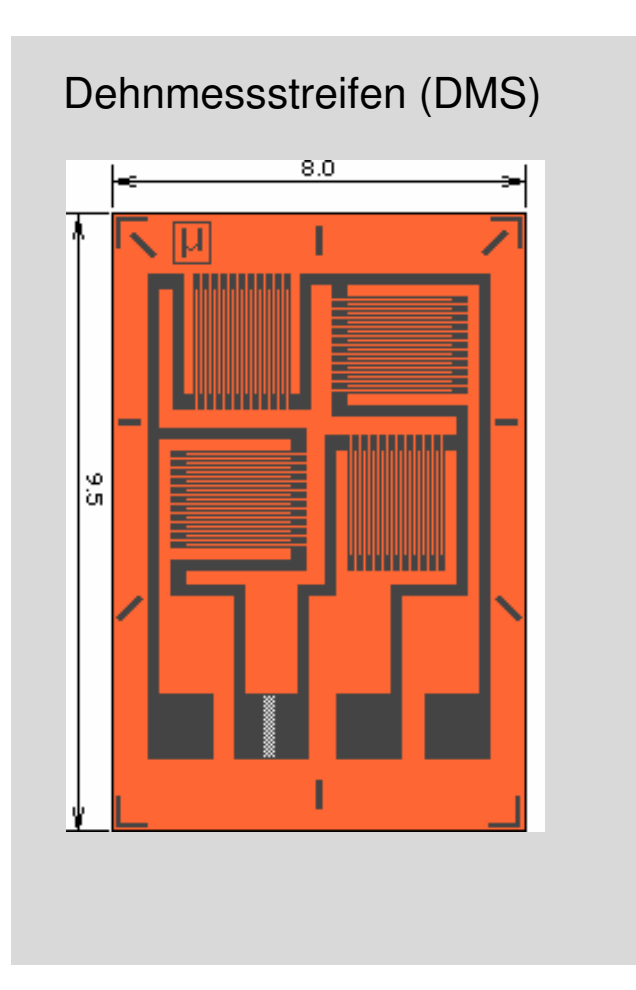


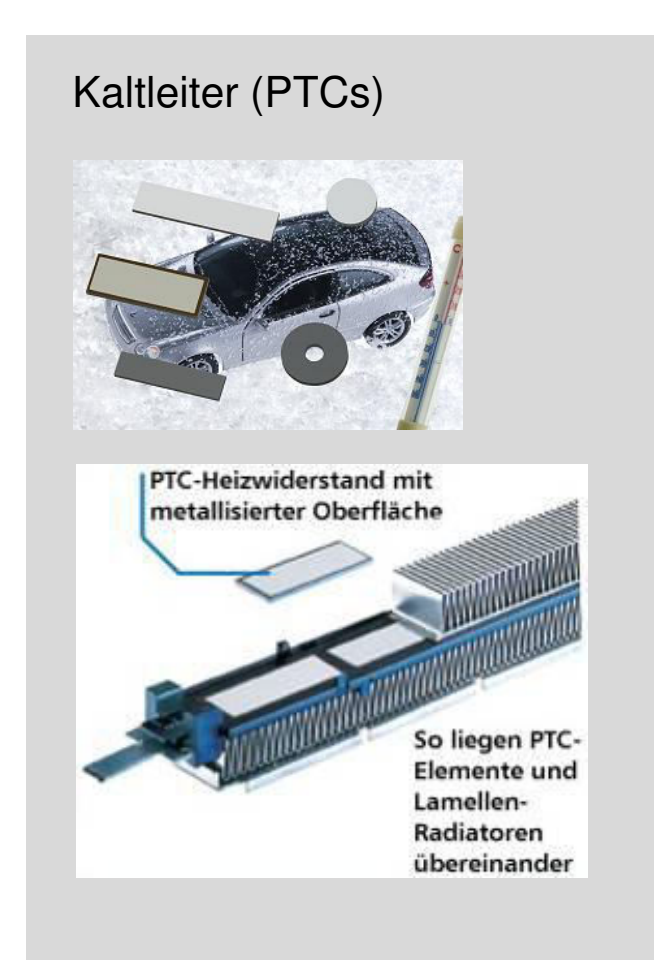


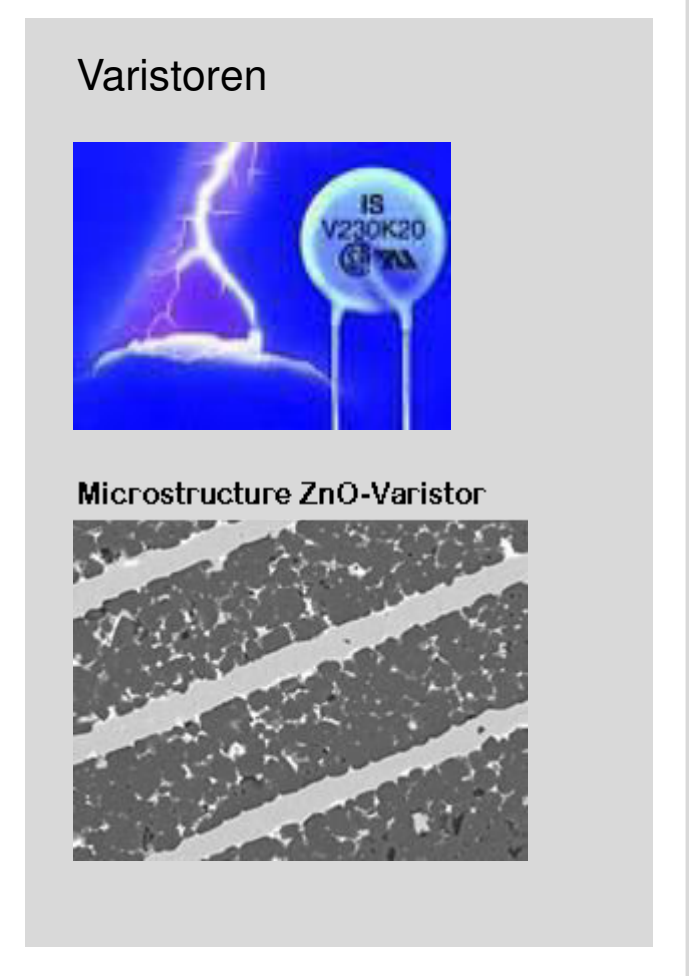


### 2.1 Einführung Anwendung von Leiterwerkstoffen in Bauelementen (2)







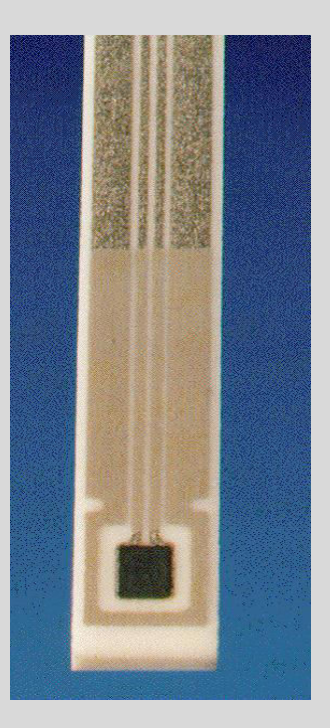


### 2.1 Einführung Anwendung von Leiterwerkstoffen in Bauelementen (3)



Lambdasonden und resistive Abgassensoren





Supraleiter für magnetische Anwendungen



# 2.2 Klassische Bandleiter Wegbereiter der klassischen Leitungstheorie





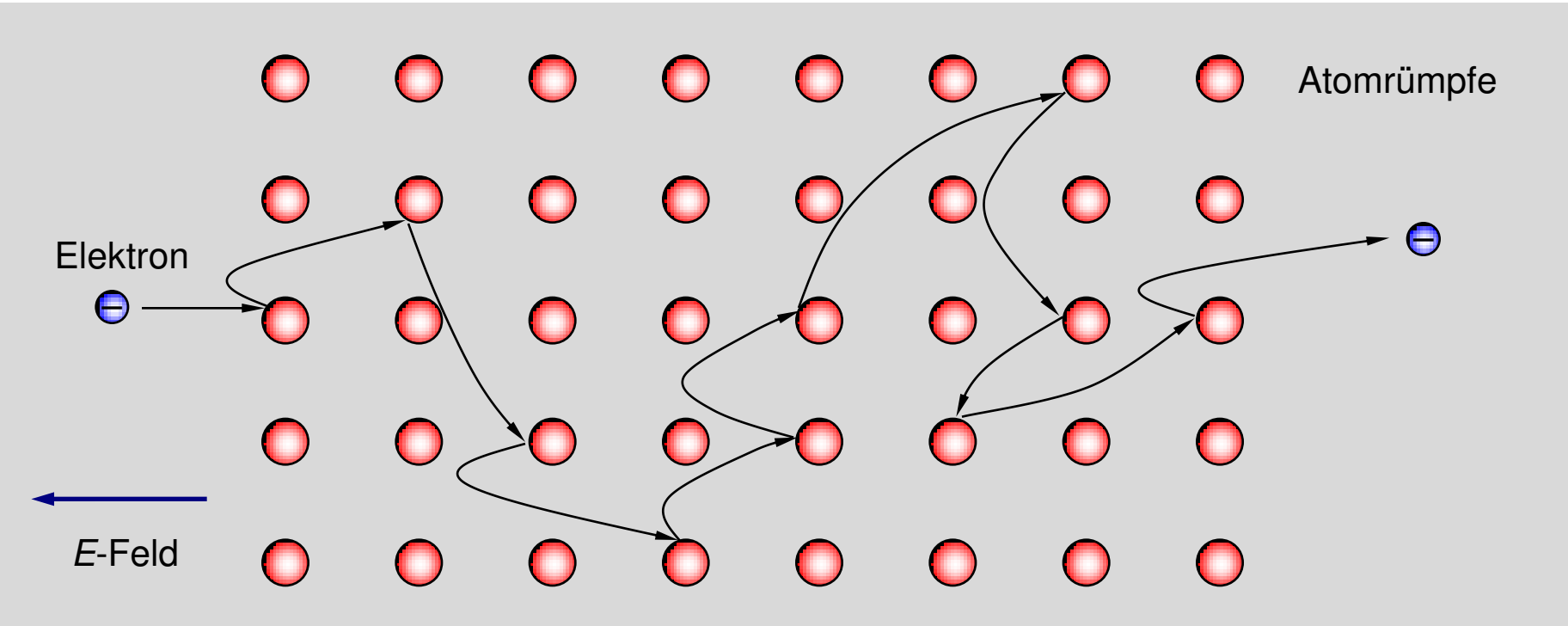
Paul Drude \*1863 †1906

Im Jahre 1900, drei Jahre nach der Entdeckung des Elektrons durch Thomson, legte Paul Drude den Grundstein für ein Verständnis der elektrischen Leitfähigkeit, der Wärmeleitfähigkeit sowie den optischen Eigenschaften von Metallen.

[http://www.pdi-berlin.de/drude.pdf]

### 2.2 Klassische Bandleiter Vorstellung der elektronischen Leitfähigkeit nach Drude





Die Elektronen werden durch das angelegte elektrische Feld beschleunigt. Beim Transport durch das Atomgitter werden die Elektronen an den Atomrümpfen gestreut. Die mittlere Zeit zwischen zwei Stößen ist die Stoßzeit. Zwischen den Stößen bewegen sich die Elektronen gemäß den klassischen mechanischen Bewegungsgleichungen auf parabolischen Bahnen. Die mittlere freie Weglänge ist in der Größenordnung des Gitterabstands.

#### 2.2 Klassische Bandleiter Gleichungen des Drude-Modells



 Beschleunigung des Elektrons zwischen zwei Stößen

$$a = \frac{e_0}{m} \cdot E$$

• Mittlere Geschwindigkeit *v* des Elektrons

$$\overline{v} = v_D = \frac{e_0 \cdot E}{m} \cdot \tau$$

Stromdichte

$$j = n \cdot e_0 \cdot v_D$$

· Ohmsches Gesetz

$$j = \frac{n \cdot e_0^2 \cdot \tau}{m} \cdot E = \sigma \cdot E$$

Beweglichkeit

Def: 
$$\mu = \frac{v_D}{E} = \frac{e_0 \cdot \tau}{m}$$

Ergänzung um Löcher (Defektelektronen)

$$\sigma = \sigma_e + \sigma_p = e_0 \cdot (n \cdot \mu_n + p \cdot \mu_p)$$

Allgemeine Leitfähigkeit:

$$\sigma_{\text{gesamt}} = \sum_{i} \sigma_{i} = e_{0} \cdot \sum_{i} |z_{i}| \cdot n_{i} \cdot \mu_{i}$$

 $e_0$ : Elementarladung; m: Elektronenmasse;  $v_m = v_D$ : Driftgeschwindigkeit; E: el. Feldstärke;  $\tau$ : mittlere Flugdauer zwischen Kollisionen; n, p: Ladungsträgerdichten;  $z_i$ : Ladungszahl

[Rudden 1995]

#### 2.2 Klassische Bandleiter Übersicht Eigenschaften von Metallen

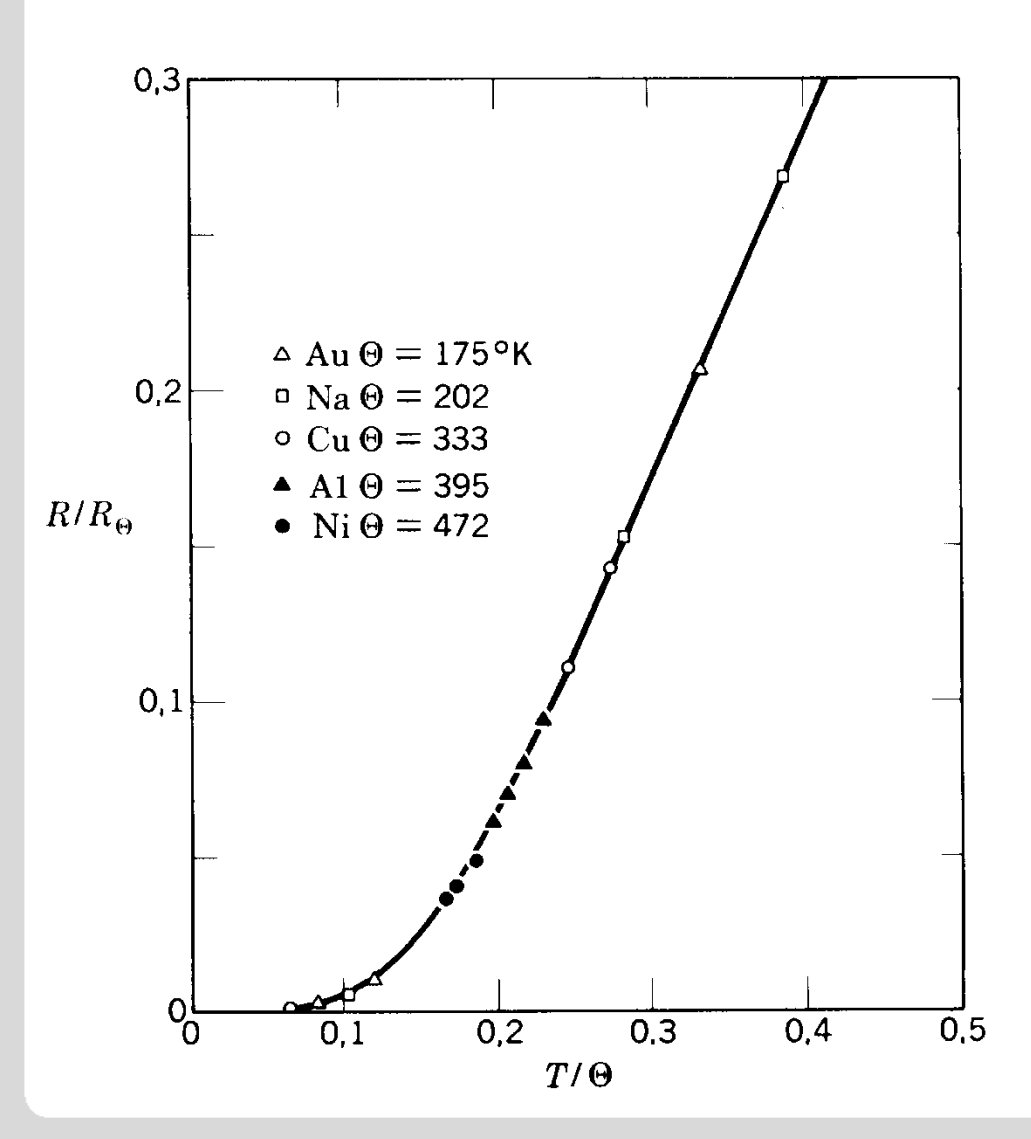


Metall	$ ho$ 10 <sup>-6</sup> $\Omega$ cm	$\mu^*$ cm <sup>2</sup> V <sup>-1</sup> s <sup>-1</sup>	τ* 10 <sup>-14</sup> s	<i>L</i> 10 <sup>-8</sup> V <sup>2</sup> K <sup>-2</sup>	
Ag	1,62	66	3,7	2,31	
Ay Cu	1,68	44	2,5	2,28	Werte bei
Au	2,22	48	2,7	2,38	Raumtemperatur
Al	2,73	13	0,7	2,22	'
Na	4,74	50	2,8	2,23	(+) Löcherleitung
W	5,39	9,2	0,5	2,39	* Berechnet aus ≁ mit
Zn	6,12	7,8 (+)	0,4	2,37	Elektronendichten, die
Cd	7,72	8,7 (+)	0,5	2,54	sich aus der Anzahl
Fe	9,71	3,8	0,2	2,39	der Valenzelektronen s
Pt	10,5	8,9	0,3	2,57	ergeben und effektiver Masse $m_n = m$
Sn	12,2	3,5	0,4	2,62	Wasse m <sub>n</sub> = m
Pb	20,8	2,0 (+)	0,3	2,49	
	spezifischer Widerstand	Ladungsträger- beweglichkeit	Stoßzeit	Lorenz-Zahl	[Arlt 1989]



#### 2.2 Klassische Bandleiter Regel nach Grüneisen für die Temperaturabhängigkeit der Leitfähigkeit





$$\rho \propto T \cdot G(\Theta_D/T)$$

$$G(x) = x^{-4} \cdot \int_0^x \frac{s^5}{(e^s - 1) \cdot (1 - e^{-s})} ds$$

Diese Funktion ergibt Proportionalität zu

$$\rho \propto T$$
 für  $T > \Theta_D$ 

$$\rho \propto T^5$$
 für  $T < \Theta_D$ 

$$X = \Theta_D / T$$

s = Variable

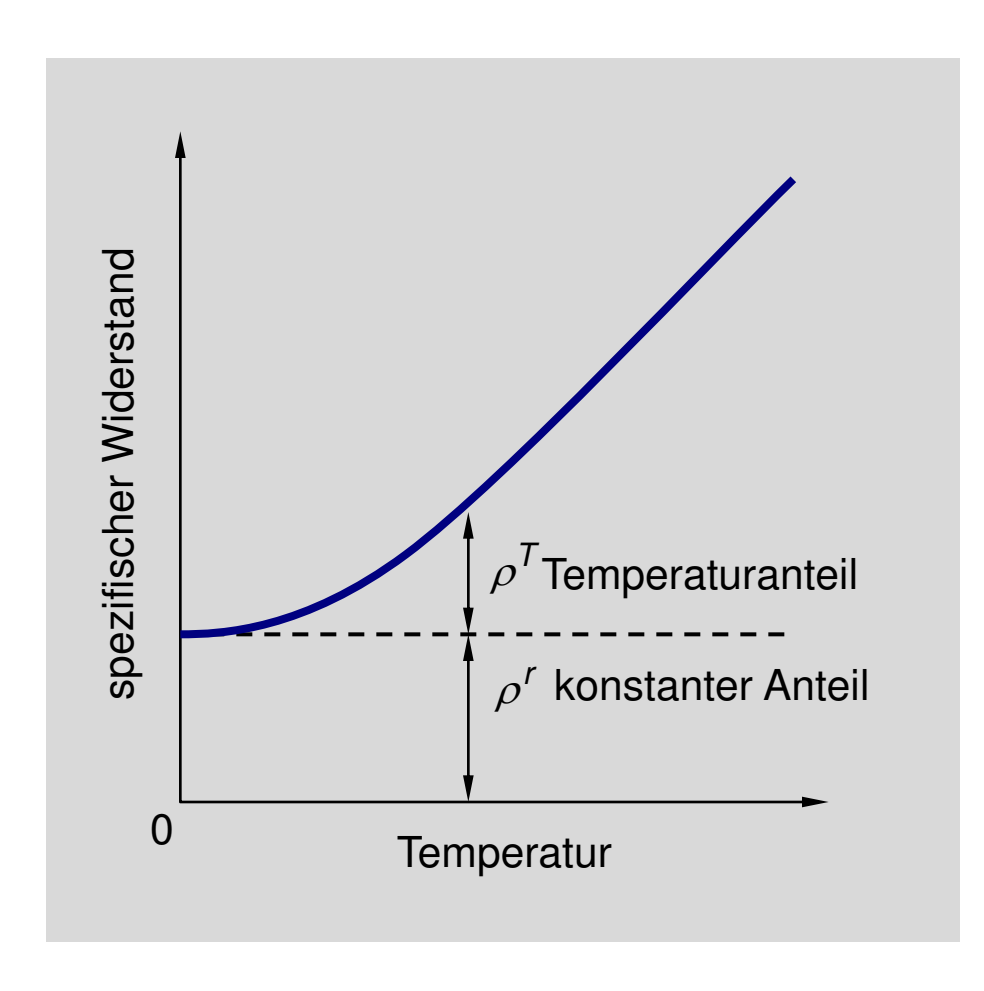
e = Exponentialfunktion

 $\Theta_D$  = Debye-Temperatur

Kapitel 2, Folie: 13, 30.04.2013

#### 2.2 Klassische Bandleiter Regel nach Matthiessen für die Temperaturabhängigkeit der Leitfähigkeit





Matthiessensche Regel

$$\rho = \rho^{T}(T) + \rho^{r}$$

Wärmebewegung des Gitters

"andere" Parameter

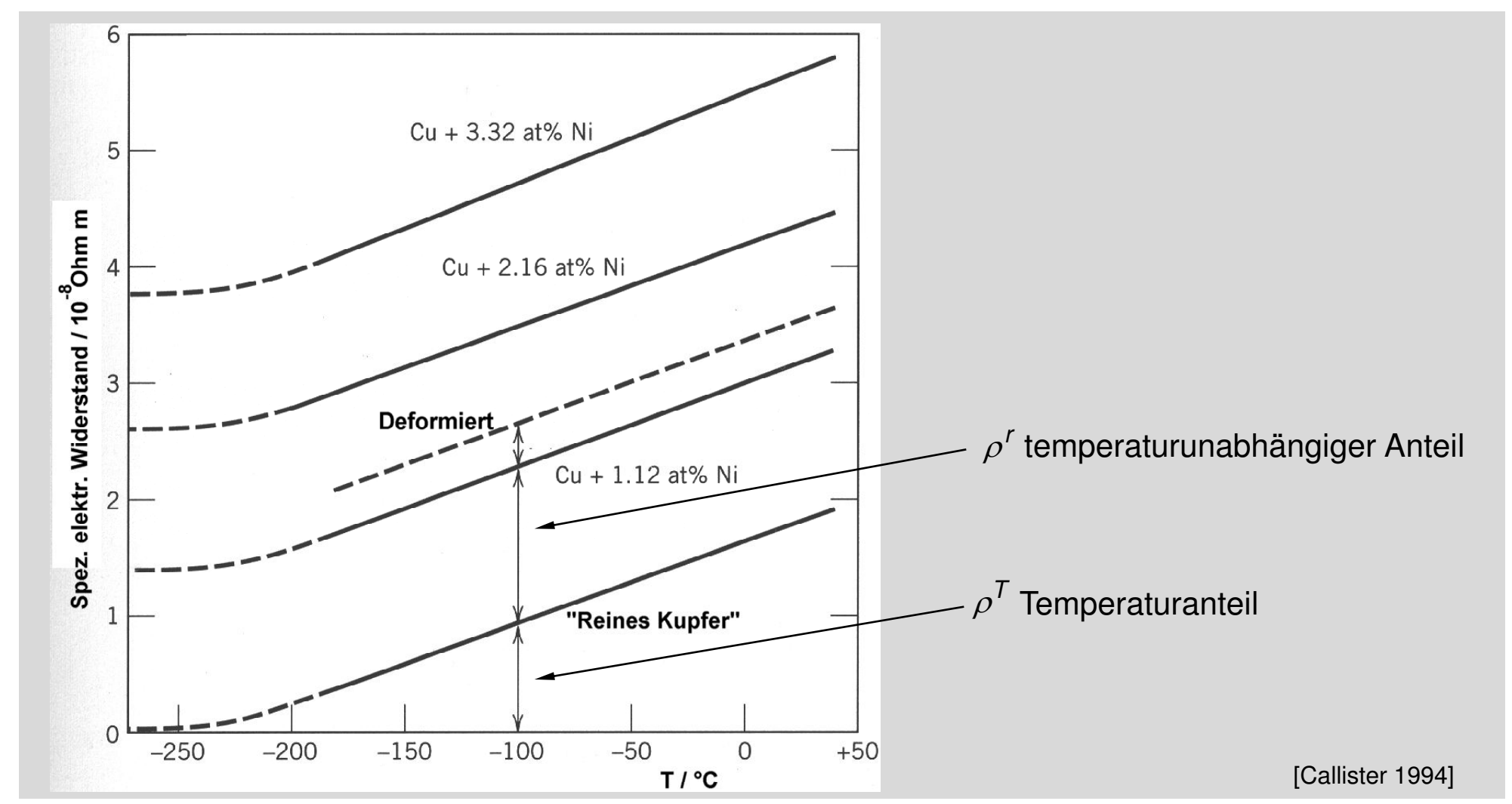
"andere" temperaturunabhängige Parameter

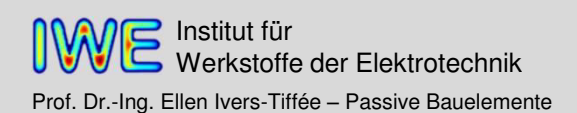
- Fremdatome
- Versetzungen
- andere Defekte im Gitter
   (Korngrenzen, Zweitphasen, ...)

[Schaumburg 1990, Tipler 1994]

#### 2.2 Klassische Bandleiter Leitfähigkeit von metallischen Werkstoffen bei tiefen Temperaturen

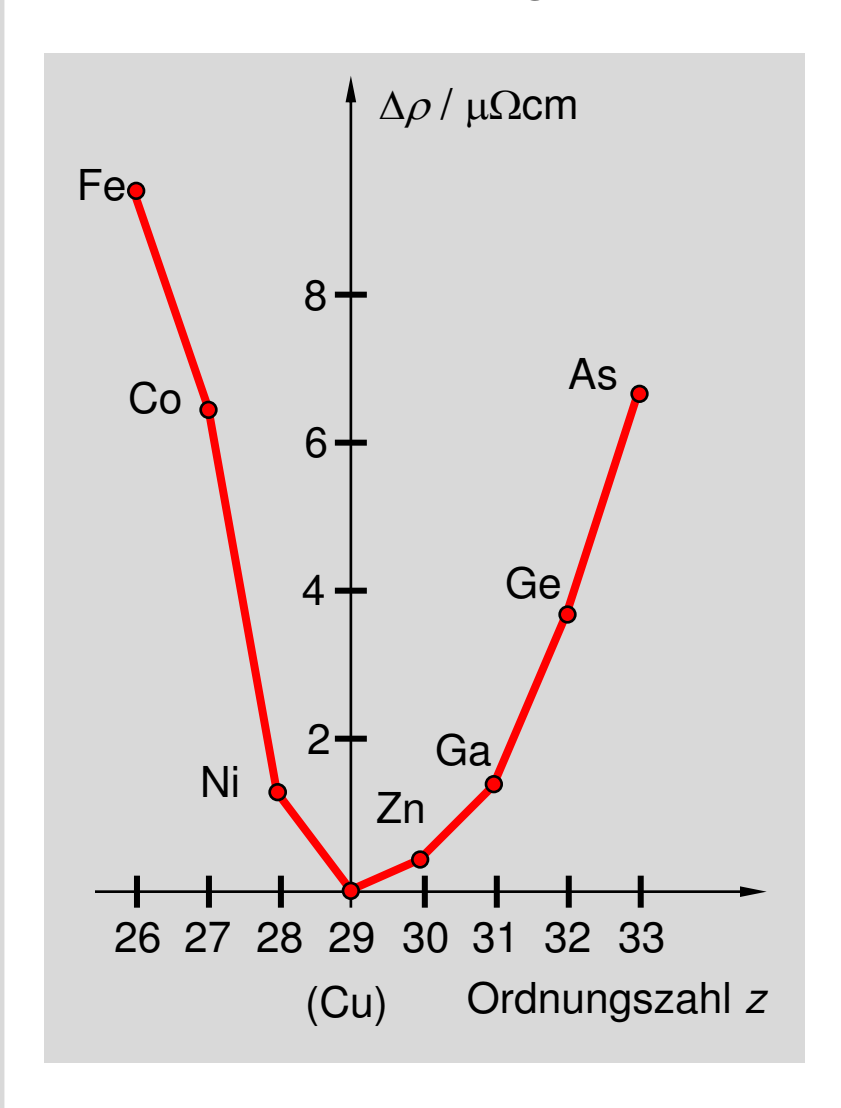


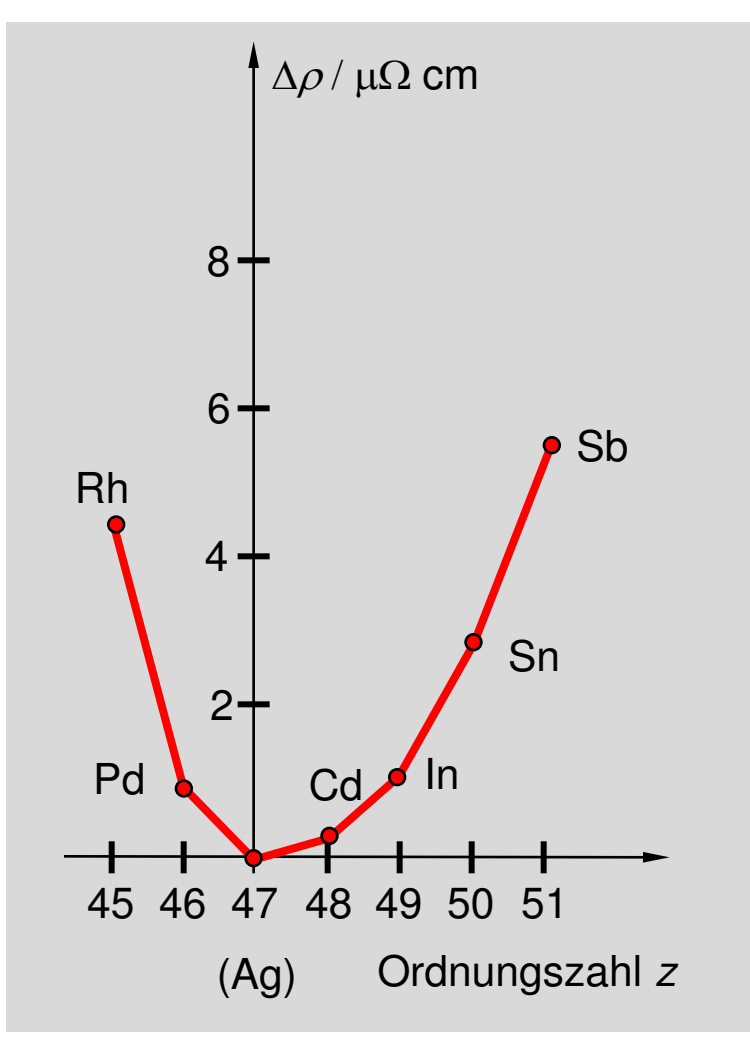




#### 2.2 Klassische Bandleiter Widerstandserhöhung durch den Einbau von Fremdatomen







#### **Faustregel**

Je größer die Differenz der Ordnungszahlen zwischen den Atomsorten ist (Wirtsgitter und Fremdstoffe), desto größer ist die Erhöhung des elektrischen Widerstands.

#### 2.2 Klassische Bandleiter Wiedemann-Franz-Gesetz und Lorenz-Zahl



Bekannt: gute elektrische Leiter sind auch gute Wärmeleiter

Empirischer Zusammenhang beschrieben durch:

Wiedemann-Franz-Gesetz

$$L = \frac{\lambda_W}{\sigma} \cdot \frac{1}{T}$$

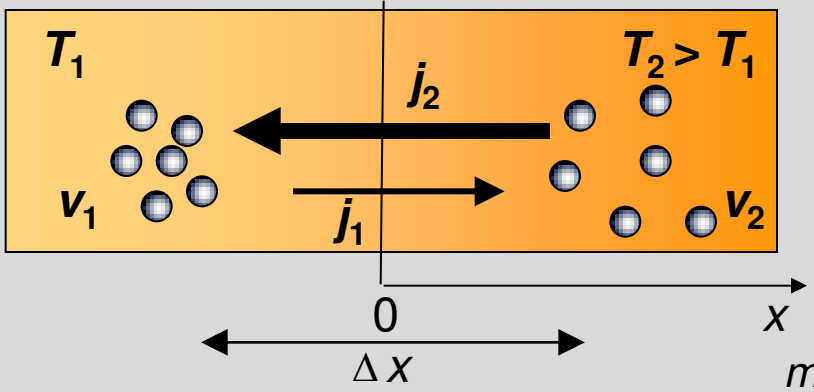
L: Lorenz-Zahl in [V<sup>2</sup>K<sup>-2</sup>]



#### 2.2 Klassische Bandleiter Ableitung der Lorenz-Zahl und der therm. Leitfähigkeit für Metallen



- **Drude-Theorie** implizite Annahme: Wärmeleitfähigkeit wird vermittelt durch Elektronen
- Kopplung von Wärme- und Ladungstransport in Metallen und Halbleitern: "Thermokraft"
- In nichtmetallischen Festkörpern Wärmetransport durch Phononen



Unterschied in thermischen Geschwindigkeiten führt zu Netto-Teilchenstromdichte von rechts nach links:

Unterschied in thermischen Geschwindig zu Netto-Teilchenstromdichte von rechts 
$$j_{n} = n(v_{1} - v_{2}) \approx -n \frac{dv}{dx} \Delta x = -n \frac{dv}{dT} \frac{dT}{dx} \Delta x$$

Thermische Geschwindigkeit (Abschätzung):

$$\frac{mv^2}{2} = \frac{3}{2}kT \Rightarrow v = \sqrt{\frac{3kT}{m}} \Rightarrow \frac{dv}{dT} = \frac{1}{2}\sqrt{\frac{3k}{mT}} \Rightarrow j_n = -n\frac{3k\tau}{2m}\frac{dT}{dx}$$

freie Weglänge:  $\Delta x = v \cdot \tau$ 

Wärmestromdichte: 
$$\Rightarrow q_W = \frac{3}{2}kT \cdot j_n = -\left(\frac{3}{2}\right)^2 \frac{n\tau}{m}k^2T\frac{dT}{dx} = -\lambda_W \cdot \frac{dT}{dx}$$
  $\lambda_W$ : Wärmeleitfähigkeit

Lorenz-Zahl: 
$$L = \left(\frac{3}{2}\right)^2 \cdot \frac{k^2}{e_0^2} = 1,67 \cdot 10^{-8} \text{ V}^2 \text{K}^{-2}$$
 Aus Quantentheorie:  $L = \frac{\pi^2}{3} \cdot \frac{k^2}{e_0^2} = 2,44 \cdot 10^{-8} \text{ V}^2 \text{K}^{-2}$ 

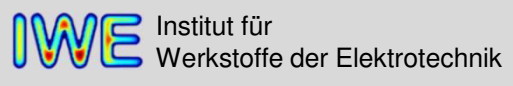
[Grosse 1979]

#### 2.2 Klassische Bandleiter Übersicht Metalle



Gruppe	Element	ρ	$TK_{\! ho}$	$\lambda_W$	Gruppe	Element	ρ	$TK_{ ho}$	λw
		[μΩcm]	[% / K]	[W/cmK]			[μΩcm]	[% / K]	[W/cmK]
1	Na	4,2		1,4	14	Sn	12	0,43	0,7
	K	6,2		0,9		Pb	21	0,35	0,4
11	Cu	1,7	0,43	4,0	8	Fe	9,7	0,65	0,7
	Ag	1,6	0,41	4,1		Co	6,2	0,60	0,7
	Au	2,2	0,40	3,1		Ni	6,8	0,69	0,9
2	Mg	4,5	0,41	1,4	5/6	Ta	13	0,38	0,5
	Ca	3,9	0,42			Cr	14	0,30	0,7
						Мо	5,2	0,40	1,4
						W	5,5	0,40	1,6
12	Zn	5,9	0,42	1,1	9 / 10	Rh	4,5	0,42	0,9
	Cd	6,8	0,42	1,0		Pd	9,8	0,38	0,7
	Hg	97	0,08	0,08		Pt	9,8	0,39	0,7
13	Al	2.7	0.43	2.3					

[von Münch 1993]



#### 2.2 Klassische Bandleiter Grenzen des Drude-Modells



Drudes Annahmen können in der Festkörperphysik als Äquivalent zu den Bohrschen Postulaten betrachtet werden. Allerdings gibt es einige Fälle, in denen sich das Modell als unzureichend erweist:

1. Die <u>mittlere freie Weglänge</u>  $\Delta x$  und der Gitterabstand  $\lambda$  liegen **nicht** in der gleichen Größenordnung.

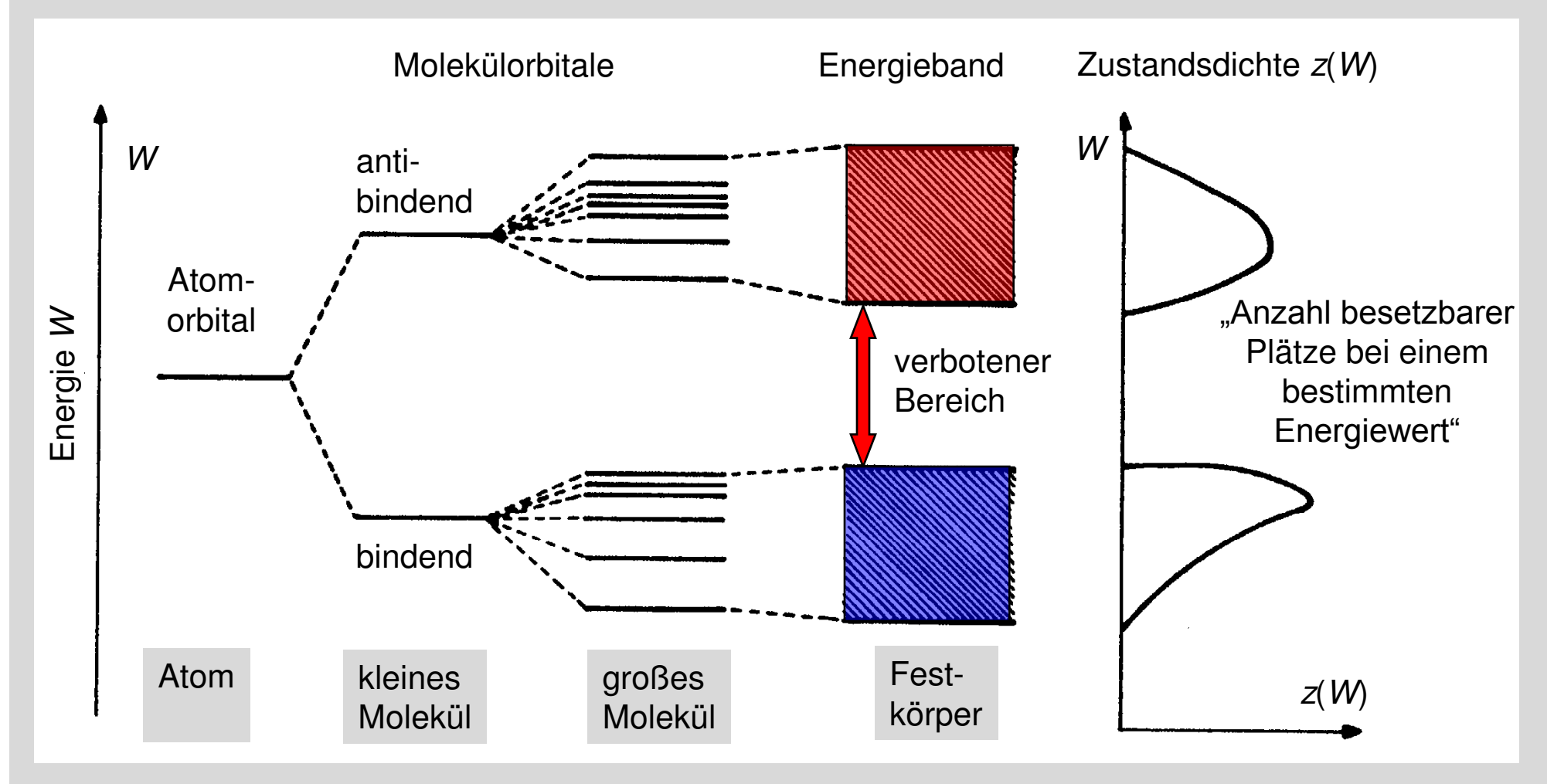
Bsp: 
$$\lambda$$
 (Kupfer, 300K) = 0.36 nm; aus  $\Delta x = v_D \cdot \tau$   $\sigma = \frac{n \cdot e_0^2 \cdot \tau}{m}$  folgt  $\Delta x$ (Kupfer) = 2,9 nm.

- 2. Die experimentellen Werte für die <u>spezifischen Wärmekapazitäten</u> sind **kleiner** als die theoretischen Werte. Wahrscheinlich ist die von Drude benutzte Elektronenkonzentration zu groß, d.h. nur ein Bruchteil der Elektronen im Elektronengas scheint zur spezifischen Wärmekapazität beizutragen.
- 3. In einer Vorstellungswelt nach Drude wird zwar intuitiv klar, dass bei erhöhter Temperaturmehr Stöße mit dem Gitter stattfinden und sich deshalb der beobachtete Widerstand erhöhen muss. Jedoch wird dieser Effekt nicht quantitativ modelliert, sondern findet sich lediglich implizit in der mittleren Flugzeit des Elektrons wieder.

[Rudden 1995]

#### 2.2 Klassische Bandleiter Entstehung von Energiebändern beim Übergang zum Festkörper (2)

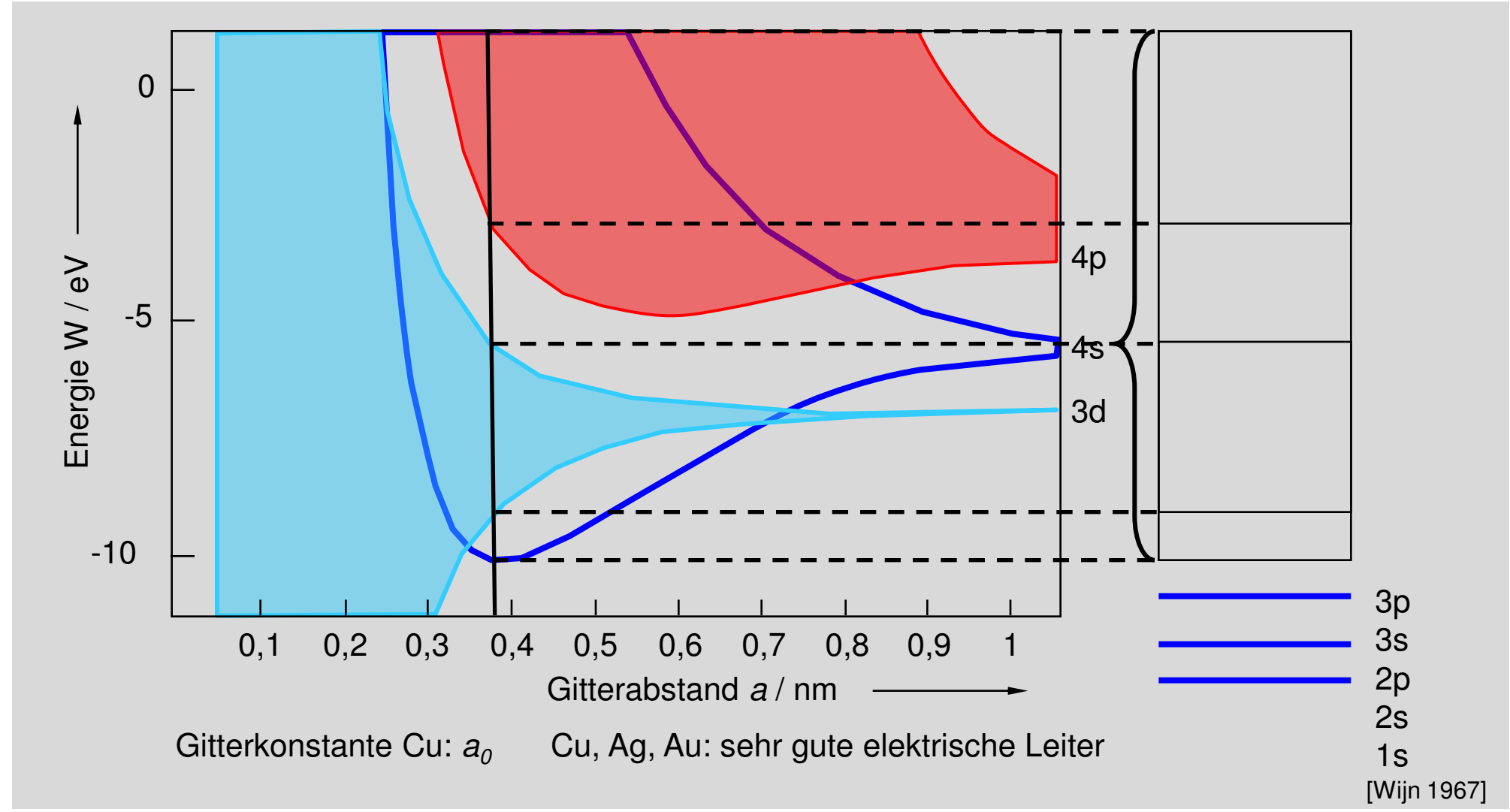




[Cox 1987]

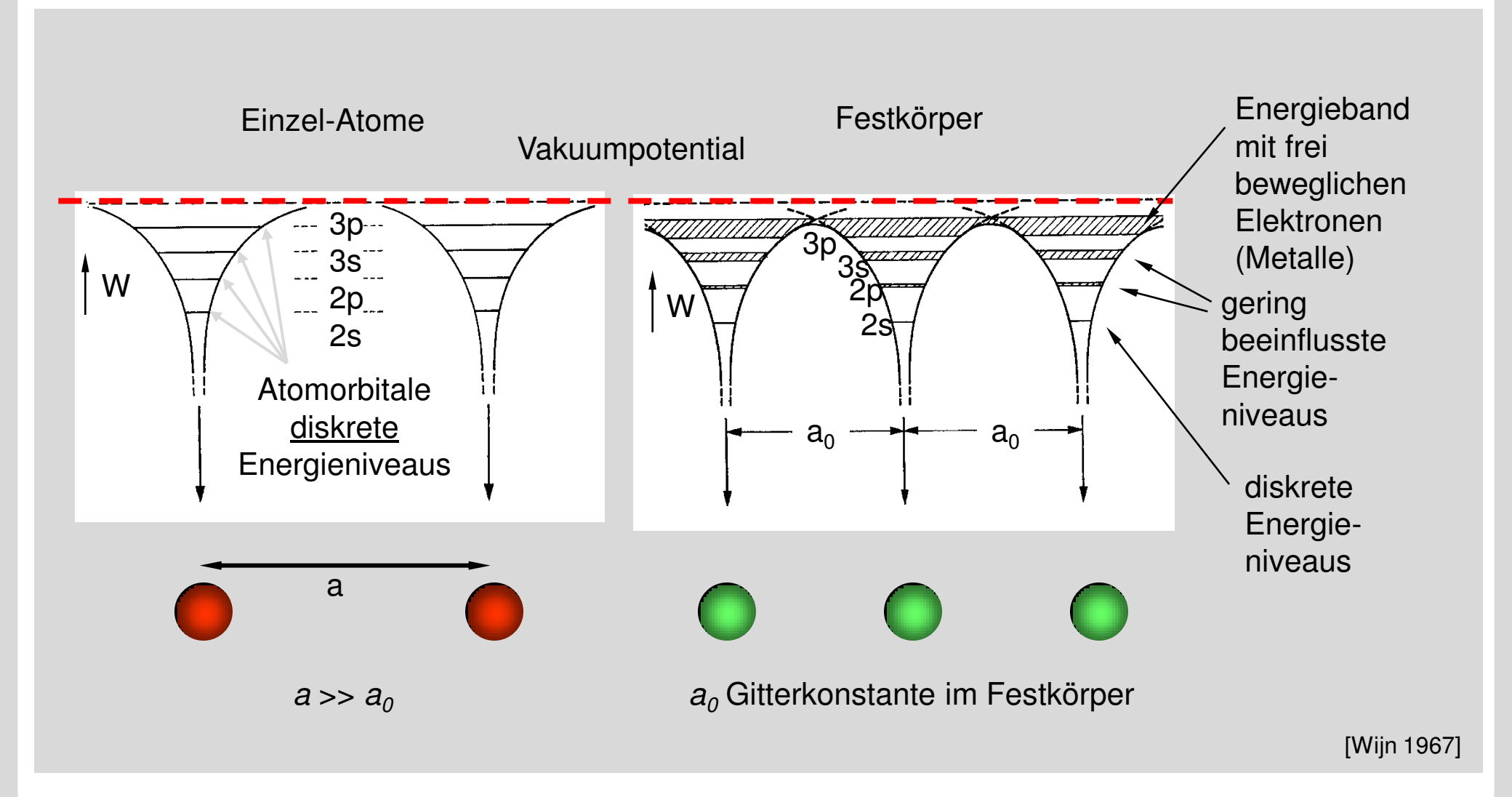
## 2.2 Klassische Bandleiter Bandschema von Kupfer (Cu)





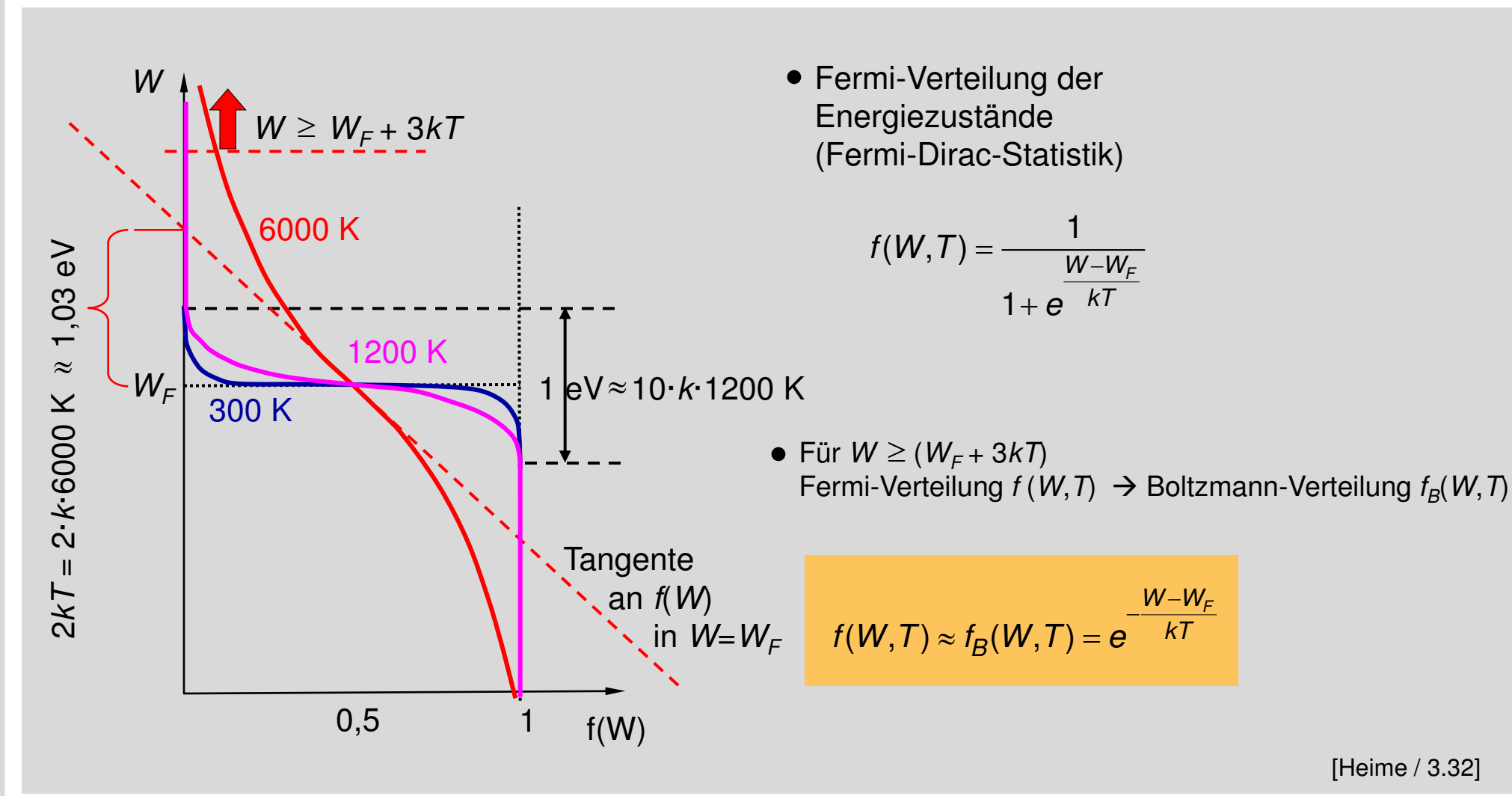
#### 2.2 Klassische Bandleiter Entstehung von Energiebändern beim Übergang zum Festkörper (1)





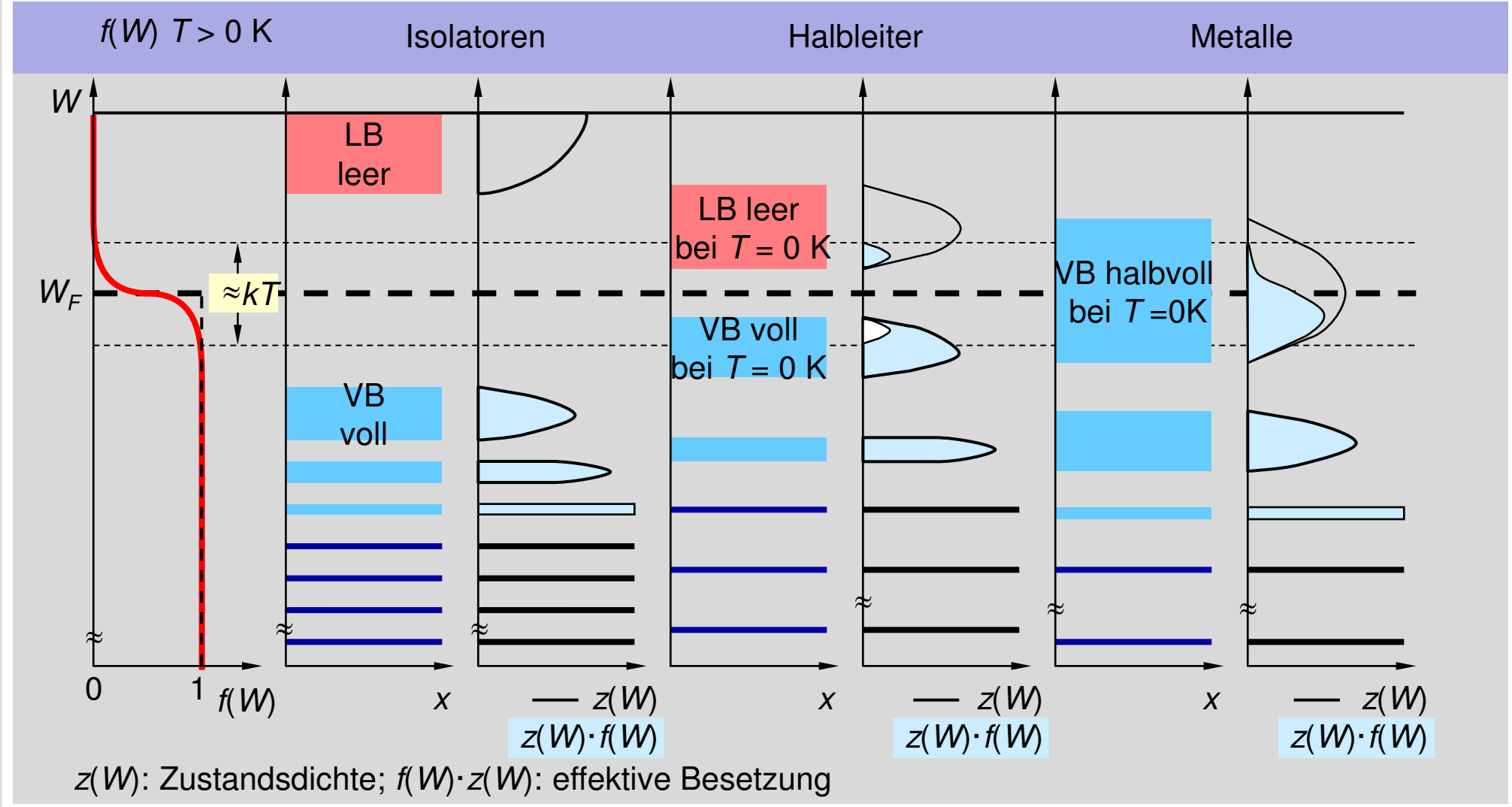
### 2.2 Klassische Bandleiter Besetzung gemäß Fermi- bzw. Boltzmann-Verteilung





# 2.2 Klassische Bandleiter Vergleich der Bandbesetzung bei Isolator, Halbleiter und Metall (1)

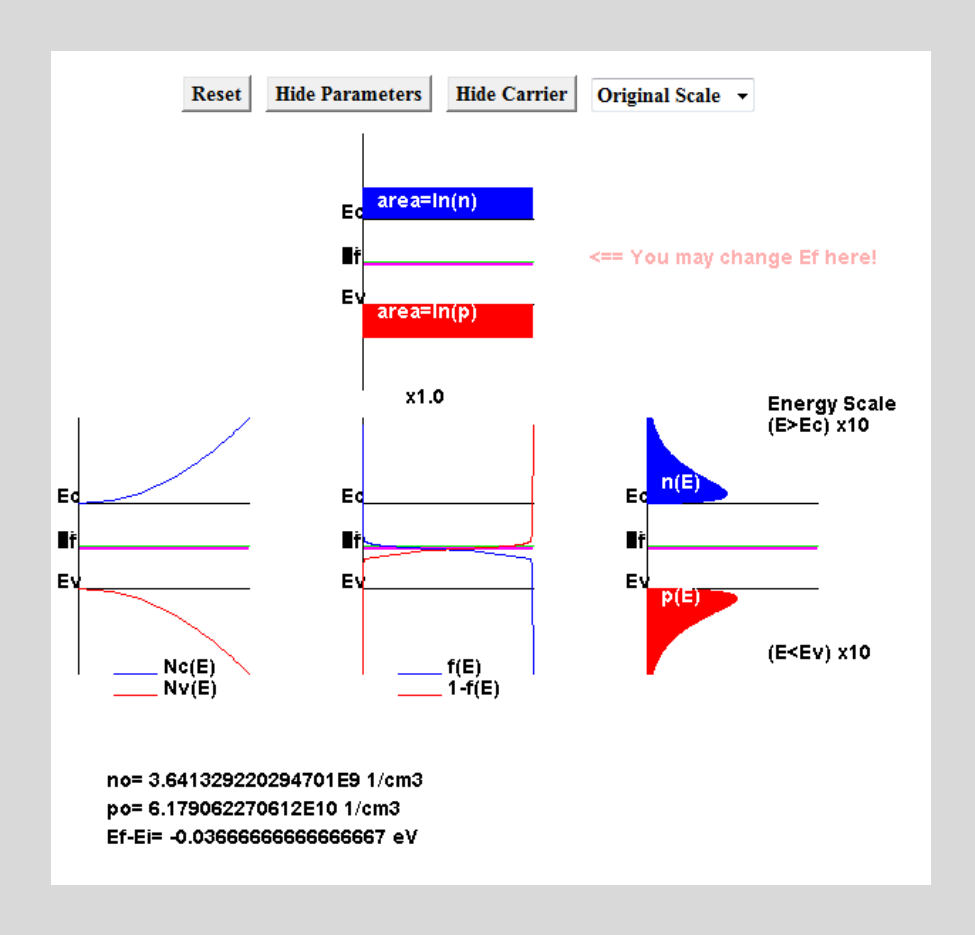






#### 2.2 Klassische Bandleiter Applet: Abhängigkeit von Fermi-Energie

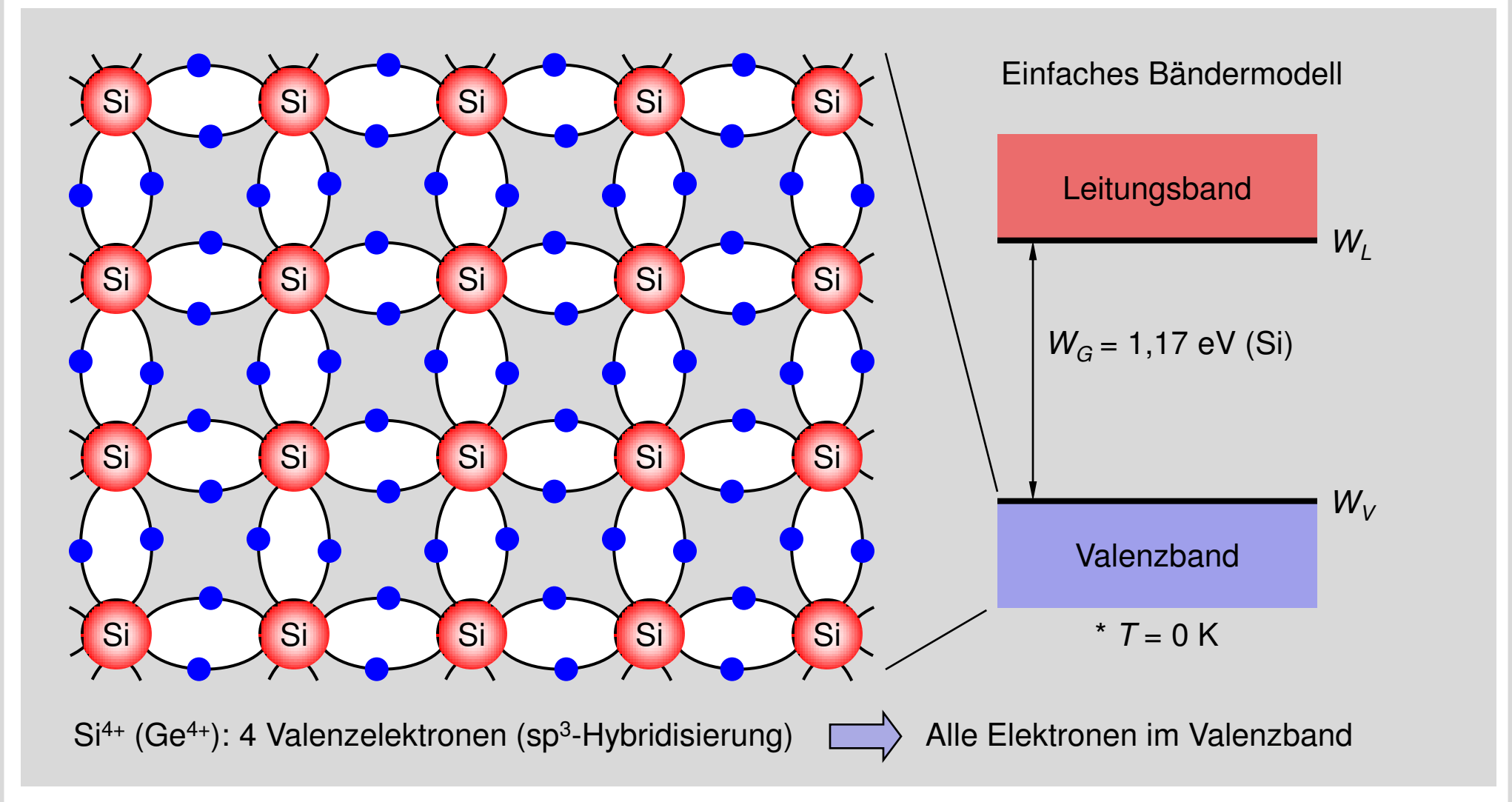




[http://www.acsu.buffalo.edu/~wie/applet/fermi/sfw/show.html]

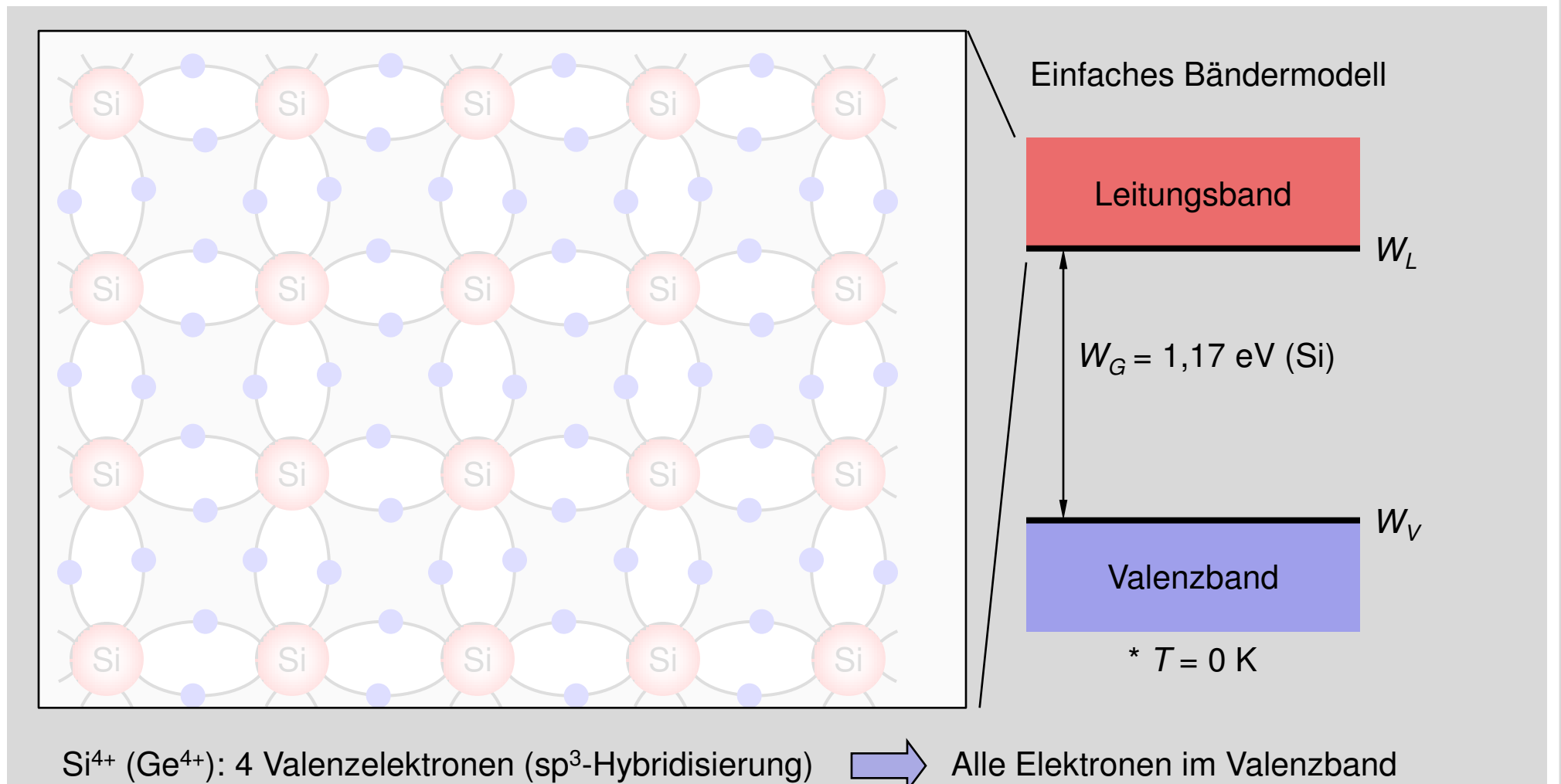
### 2.2 Klassische Bandleiter Halbleitereffekt am Beispiel von Silizium bei T = 0 K





## 2.2 Klassische Bandleiter Halbleitereffekt am Beispiel von Silizium bei T = 0 K

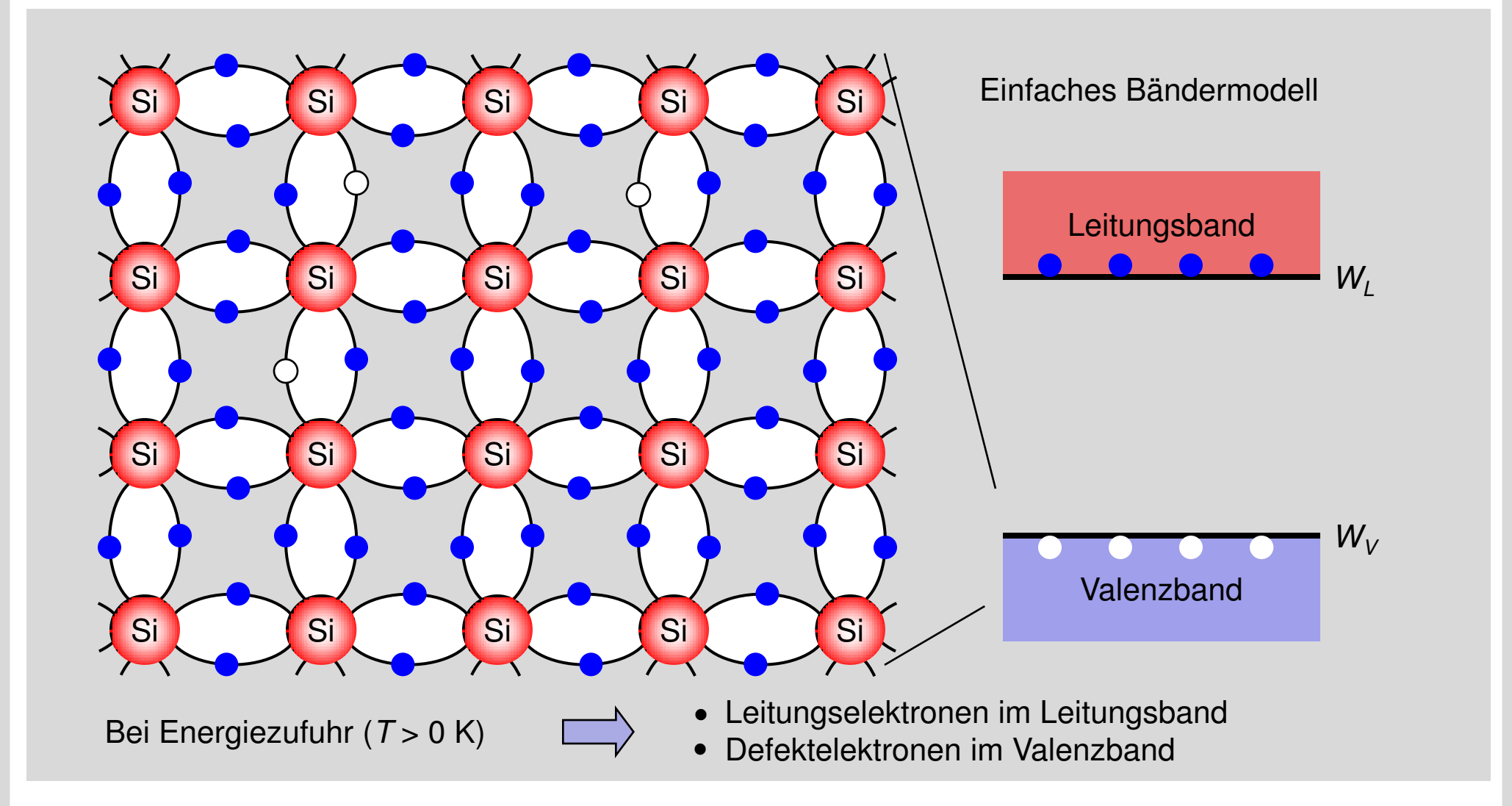






### 2.2 Klassische Bandleiter Halbleitereffekt am Beispiel von Silizium bei T > 0 K

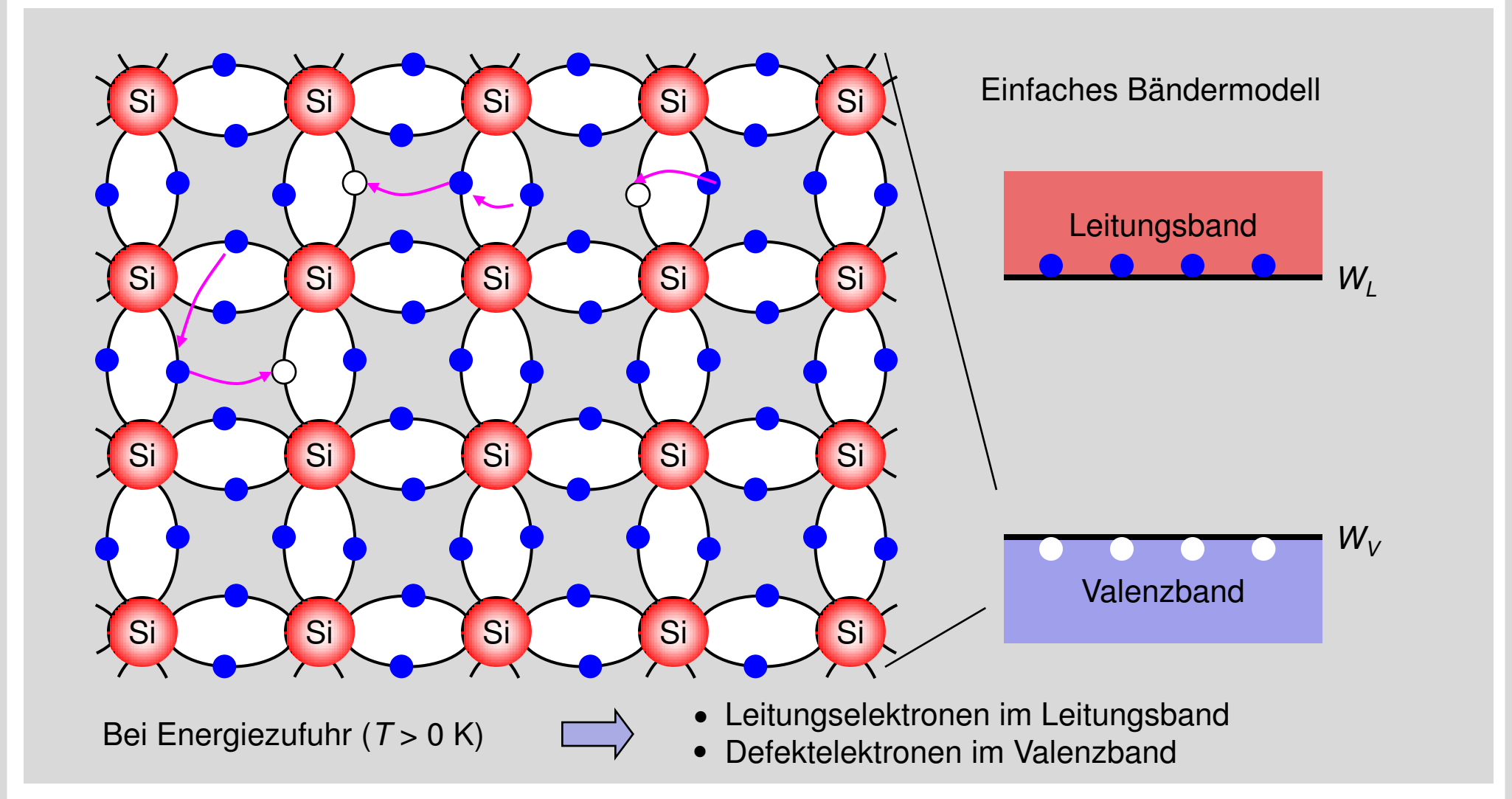






### 2.2 Klassische Bandleiter Halbleitereffekt am Beispiel von Silizium bei T > 0 K

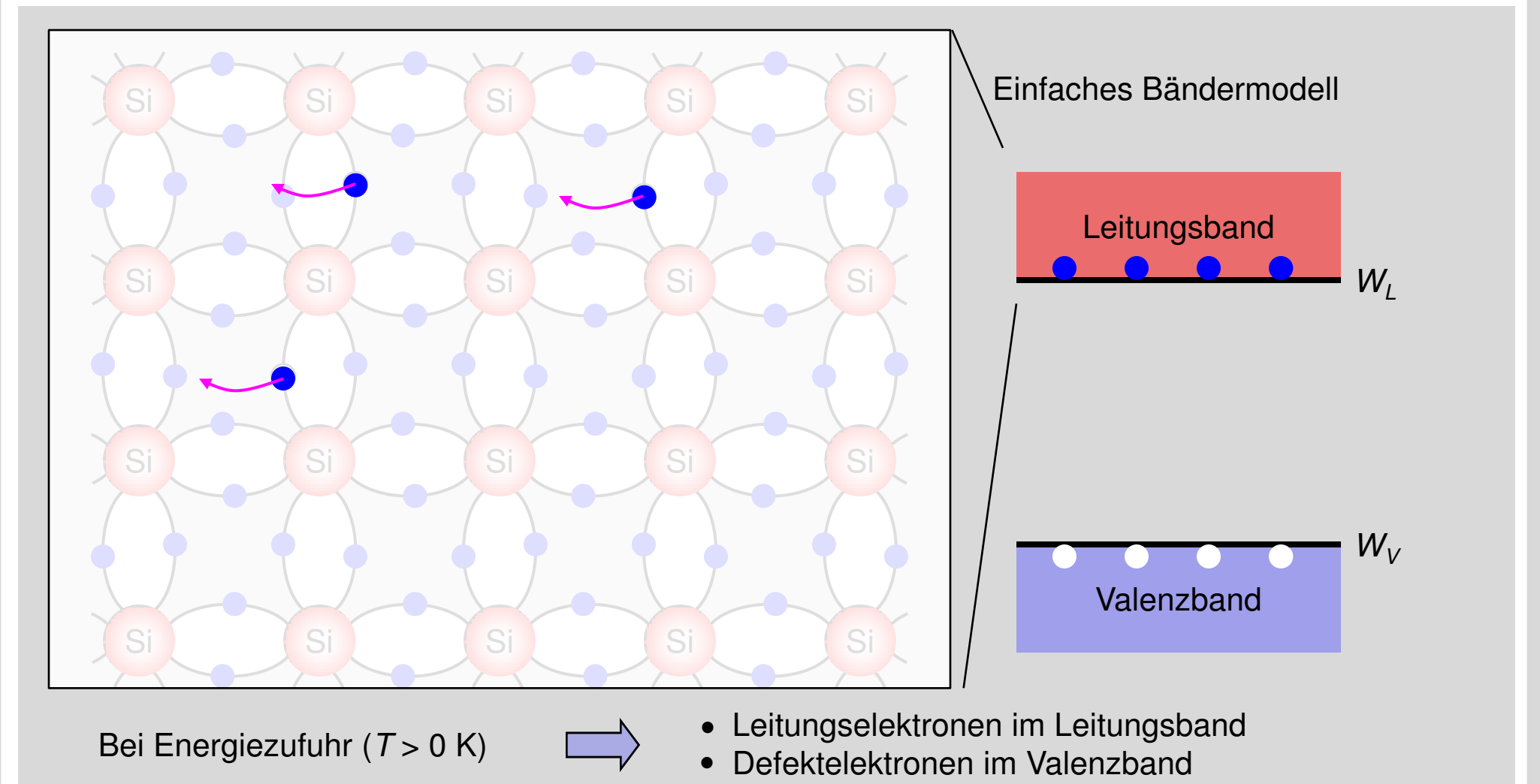






## 2.2 Klassische Bandleiter Halbleitereffekt am Beispiel von Silizium bei T > 0 K







### 2.2 Klassische Bandleiter Gleichungssatz für Eigenhalbleiter (1)



Elektronenkonzentration n im Leitungsband

$$n = N_L \cdot e^{\frac{-(W_L - W_{Fi})}{kT}}$$

Löcherkonzentration p im Valenzband

$$p = N_V \cdot e^{\frac{-(W_{Fi} - W_V)}{kT}}$$

Eigenleitungskonzentration n<sub>i</sub>

$$n_i = N_{eff} \cdot e^{\frac{-\Delta W_G}{2kT}}$$

Fermi-Niveau im intrinsischen Halbleiter

• effektive Zustandsdichte des LB

$$N_L = 2 \cdot \left(\frac{2\pi \cdot m_n \cdot kT}{h^2}\right)^{\frac{3}{2}}$$

effektive Zustandsdichte des VB

$$N_V = 2 \cdot \left(\frac{2\pi \cdot m_p \cdot kT}{h^2}\right)^{\frac{3}{2}}$$

mittlere effektive Zustandsdichte

$$N_{eff} = \sqrt{N_L \cdot N_V}$$

$$W_{Fi} = W_V + \frac{1}{2}\Delta W_G + \frac{3}{4}kT \cdot \ln \frac{m_p}{m_n} \quad \text{mit} \quad W_L = W_V + \Delta W_G$$

$$W_{Fi} = W_V + \frac{1}{2}\Delta W_G \text{ ,wenn } m_p = m_n$$

Prof. Dr.-Ing. Ellen Ivers-Tiffée – Passive Bauelemente

### 2.2 Klassische Bandleiter Gleichungssatz für Eigenhalbleiter (2)



• Eigenleitung durch thermisch angeregte Elektron-Loch-Paare (intrinsische Leitfähigkeit)

$$\sigma_i = n_i \cdot e_0 \cdot (\mu_n + \mu_p)$$

• Beweglichkeit der Elektronen und Löcher

$$\mu_p = \frac{e_0 \cdot \tau_p}{m_p}$$

$$\mu_n = \frac{e_0 \cdot \tau_n}{m_n}$$

• Einstein-Beziehung: Diffusionskoeffizient

$$D = \frac{kT}{e} \cdot \mu$$

• Temperaturabhängigkeit der Beweglichkeit

$$\mu_{n} \propto T^{-\beta_{n}}$$
  $\mu_{p} \propto T^{-\beta_{p}}$ 

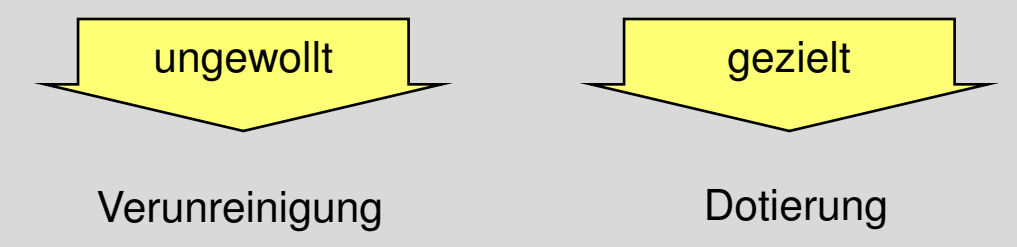
Mit der Temperatur nehmen die Gitterschwingungen (Phononen) zu, an denen die Ladungen gestreut werden, was die Beweglichkeit reduziert.

### 2.2 Klassische Bandleiter Einfluss von Dotierungen



Reale Kristalle haben stets Störungen

• Punktdefekte: Leerstellen, Fremdatome, Atome auf Zwischengitterplätzen



Reinheit von HL-Kristallen: 10<sup>10</sup>...10<sup>12</sup> / cm<sup>3</sup> (Stand der Technik)

 Versetzungen: Abstände der Gitteratome sind gestört, bevorzugte Anlagerung von Fremdatomen

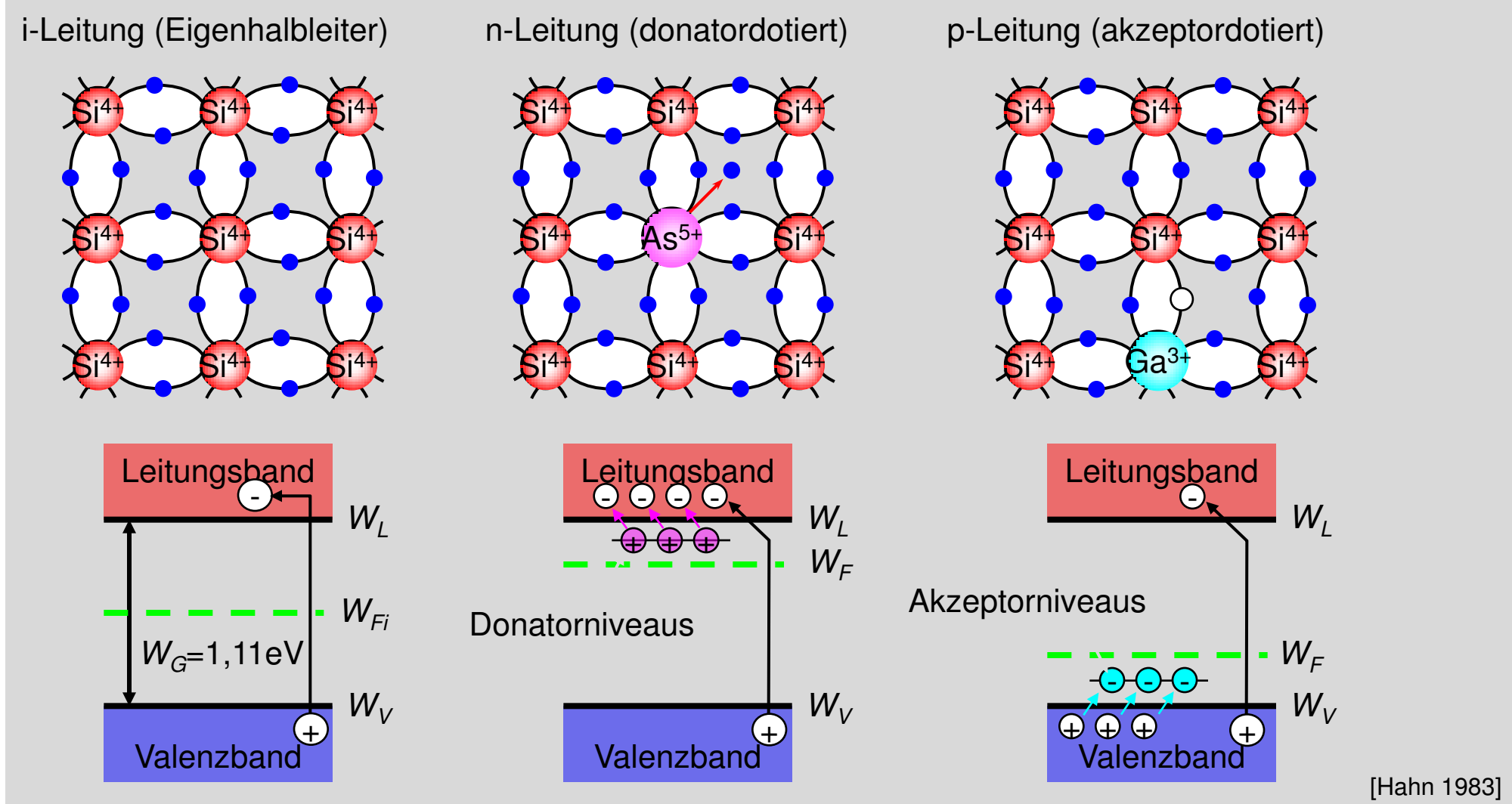
geforderte Versetzungsdichte im Wafer: 1 / cm<sup>2</sup>

technisch realisierbare versetzungsarme Kristalle: 103...104 / cm<sup>2</sup>



## 2.2 Klassische Bandleiter Gegenüberstellung von intrinsischer und Störstellenleitung





#### 2.2 Klassische Bandleiter **Donatoren und Akzeptoren**



Donatoren

Störstellen im Kristall, die Elektronen an das Leitungsband abgeben

n - Leitung

Ionisierungsenergie\*: 
$$\Delta W_D = \frac{m_n \cdot e_0^4}{2 \cdot (4\pi \cdot \varepsilon_r \cdot \varepsilon_0 \cdot \hbar)^2}$$
 in Si: 
$$P \quad \Delta W_D = 45 \text{ meV}$$
 Sb 
$$\Delta W_D = 39 \text{ meV}$$
 As 
$$\Delta W_D = 54 \text{ meV}$$

Akzeptoren

Störstellen im Kristall, die Elektronen aus dem Valenzband aufnehmen

p - Leitung

Ionisierungsenergie\*: 
$$\Delta W_A = \frac{m_p \cdot e_0^4}{2 \cdot (4\pi \cdot \varepsilon_r \cdot \varepsilon_0 \cdot \hbar)^2}$$
 in Si: B  $\Delta W_A = 45 \text{ meV}$ 
Al  $\Delta W_A = 67 \text{ meV}$ 

Ga  $\Delta W_A = 72 \text{ meV}$ 



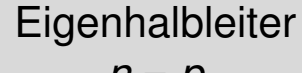
"flache" Störstellen und "tiefe" Störstellen (Haftstellen, traps) je nach tatsächlicher Ionisierungsenergie der Störstelle im Kristall

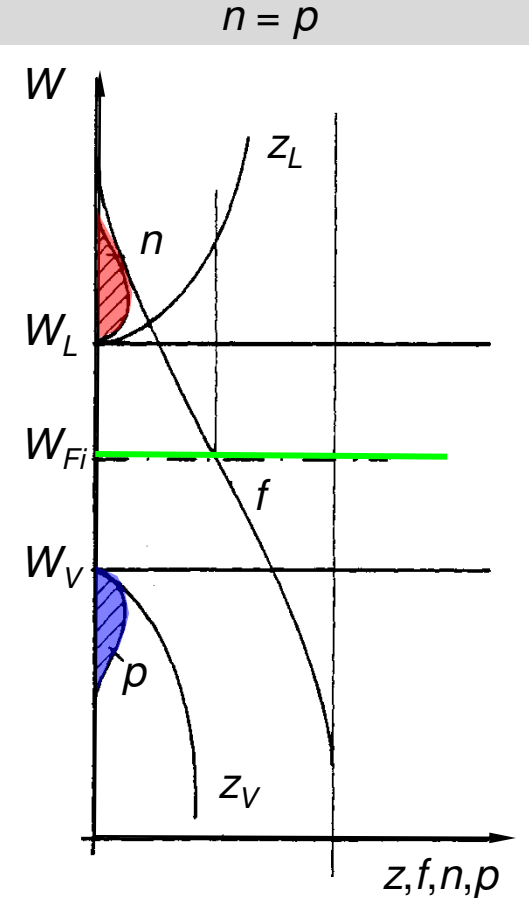
\* Berechnung nach dem Wasserstoffmodell H  $\rightarrow$  H<sup>+</sup> + e<sup>-</sup>  $\Longrightarrow$   $\Delta W_{lon} = \frac{m_e \cdot e_0^4}{2 \cdot (4\pi \cdot \varepsilon_0 \cdot \hbar)^2} = 13,6 \text{ eV}$ 

$$\Delta W_{lon} = \frac{m_e \cdot e_0^4}{2 \cdot (4\pi \cdot \varepsilon_0 \cdot \hbar)^2} = 13,6 \text{ eV}$$

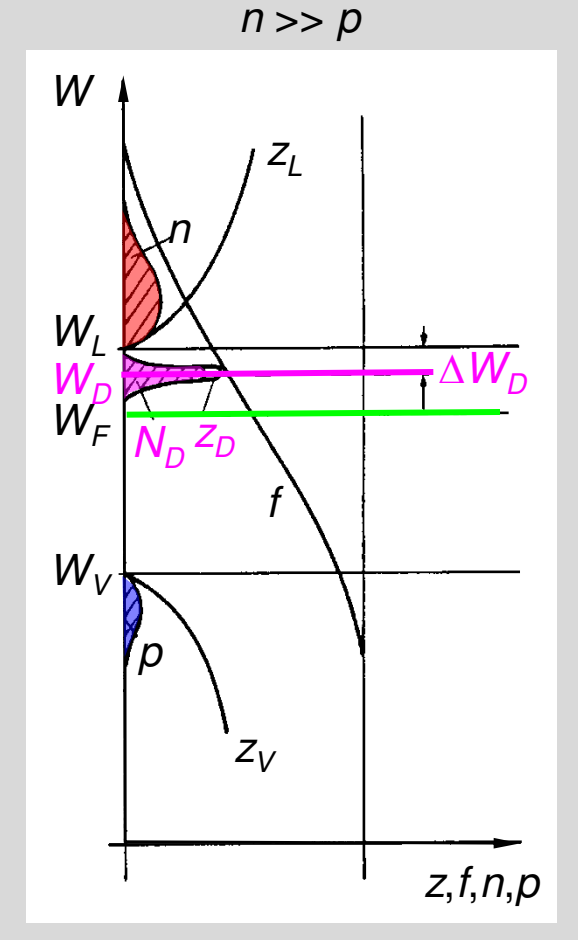
#### 2.2 Klassische Bandleiter Zustandsdichte (z), Elektronendichte (n) und Löcherdichte (p)



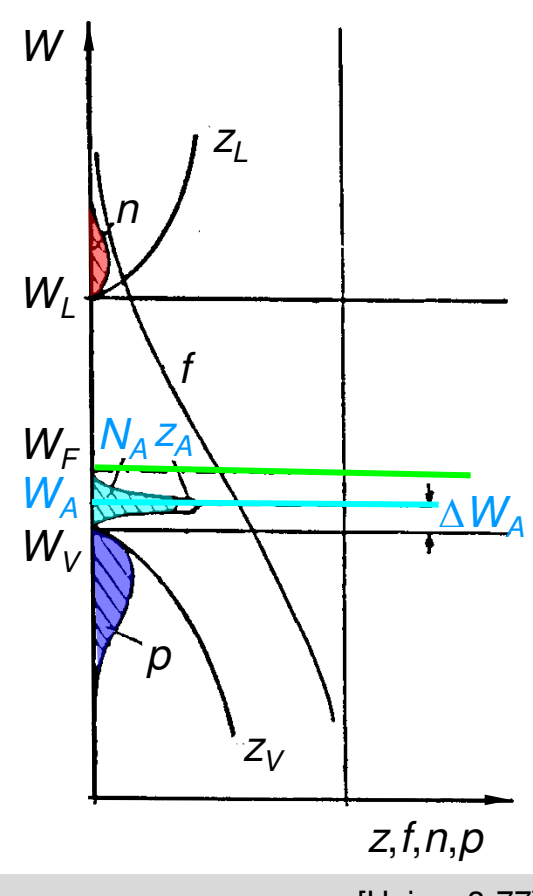




#### *n*-dotierter Halbleiter



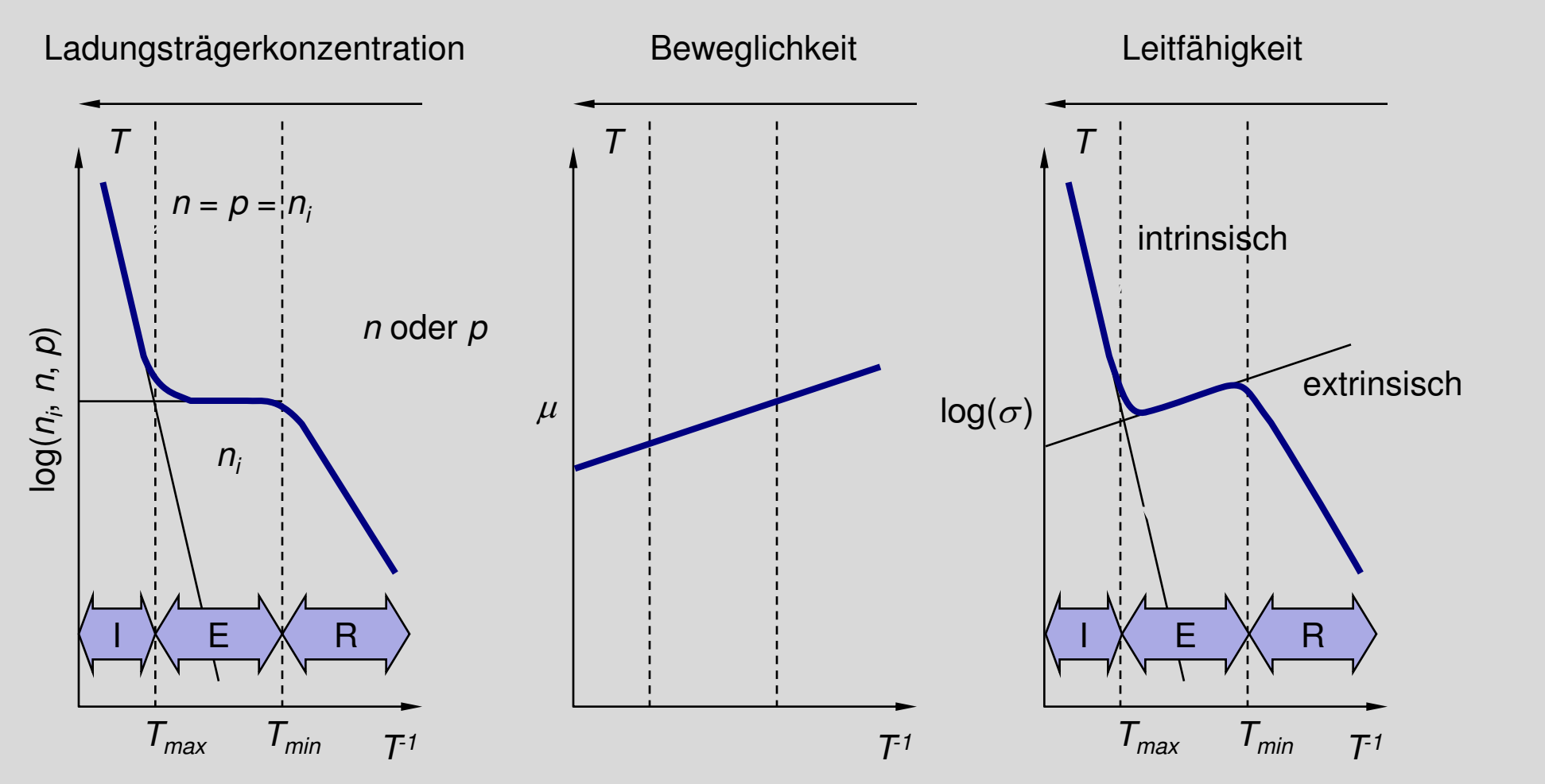
#### p-dotierter Halbleiter p >> n



[Heime 3-77]

# 2.2 Klassische Bandleiter Temperaturabhängigkeit beim Störstellenhalbleiter





I: intrinsischer Bereich, E: Störstellenerschöpfung, R: Störstellenreserve

# 2.2 Klassische Bandleiter Gleichungssatz für Störstellenhalbleiter (1)



• extrinsischer (dotierter) Halbleiter

Im extrinsischen Halbleiter erzeugen Dotieratome besetzbare Zustände in der Bandlücke 
$$W_G$$

Majoritäts- Minoritäts-Ladungsträger

Zustandsdichte 
$$z(W_D) = N(W_D)$$
 bzw.  $z(W_A) = N(W_A)$ 

$$N_D = N_D^0 + N_D^+$$
  $N_A = N_A^0 + N_A^-$ 

Im thermodynamischen Gleichgewicht ist der Halbleiter elektrisch neutral

$$n + N_A^- = p + N_D^+$$

Berechnung der Konzentrationen von p und n

Elektronenkonzentration

im Leitungsband (n)

Löcherkonzentration

im Valenzband (p)

$$n = \sqrt{N_D \cdot N_L} \cdot e^{\frac{-\Delta W_D}{2kT}}$$

$$p = \sqrt{N_A \cdot N_V} \cdot e^{\frac{-\Delta W_A}{2kT}}$$

#### 2.2 Klassische Bandleiter Gleichungssatz für Störstellenhalbleiter (2)



Elektronenkonzentration *n* im Leitungsband

$$n = \frac{1}{2} \left[ (N_D^+ - N_A^-) + \sqrt{(N_D^+ - N_A^-)^2 + 4n_i^2} \right]$$

$$\Rightarrow n \approx \begin{cases} \sqrt{N_D N_L} \cdot e^{\frac{-\Delta W_D}{2kT}} & \text{(Reserve)} \\ N_D & \text{(Erschöpfung)} \end{cases}$$

Löcherkonzentration p im Valenzband

$$p = \frac{1}{2} \left[ (N_A^- - N_D^+) + \sqrt{(N_A^- - N_D^+)^2 + 4n_i^2} \right]$$

$$\Rightarrow p \approx \begin{cases} \sqrt{N_A N_V} \cdot e^{\frac{-\Delta W_A}{2kT}} & \text{(Reserve)} \\ N_A & \text{(Erschöpfung)} \end{cases}$$

Donator- und Akzeptorkonzentrationen

$$N_D$$
,  $N_A$ 

Dichte der ionisierten Störstellen

$$N_D^+, N_A^-$$

Ionisierungsenergie  $\Delta W_D$  für Donatoren

$$\Delta W_D = \frac{m_n \cdot e_0^4}{2 \cdot (4\pi \cdot \varepsilon_r \cdot \varepsilon_0 \cdot \hbar)^2}$$

Ionisierungsenergie  $\Delta W_A$  für Akzeptoren

$$\Delta W_A = \frac{m_p \cdot e_0^4}{2 \cdot (4\pi \cdot \varepsilon_r \cdot \varepsilon_0 \cdot \hbar)^2}$$

#### 2.2 Klassische Bandleiter Übersicht: Leiter, Halbleiter und Isolatoren



Werkstoffe	Ladungsträger- konzentration	Ladungsträger- beweglichkeit	$\Delta W_g$	<i>T</i> = 0 K	T > 0 K
Metalle	n = const	μ <sub>n</sub> ~ T <sup>-a</sup>	0	Valenzband teilbesetzt	Valenzband nur teilbesetzt, daher sehr gute Leitfähigkeit
Halbleiter	$n \sim e^{-\frac{W_g}{2kT}}$	μ <sub>n</sub> ~ T <sup>-a</sup>	≤ 2 eV	Leitungsband leer	merkliche Leitfähigkeit
Isolatoren	$n \sim e^{-\frac{W_g}{2kT}}$	$\mu_n \sim T^{-a}$ oder $\mu_n \sim e^{-\frac{A}{T}}$	≥ 2 eV	Leitungsband leer	vernachlässigbare Leitfähigkeit

<sup>\*</sup> Bandabstand  $W_G$  100 kT bei 25 °C (kT = 0,025 eV bei 25 °C)

[von Münch 1993]

### 2.2 Klassische Bandleiter Bauelemente und Anwendungen klassischer Bandleiter



#### Übersicht der behandelten Anwendungen

- Leiter und Kontakte
- Widerstände
- Widerstandstemperatursensoren
- Thermoelemente
- Dehnmessstreifen

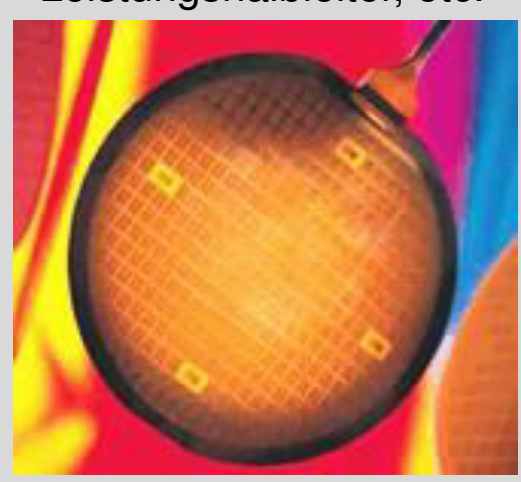
Metalle

• Ausblick: Leitfähige Polymere

#### Anwendungen klassischer Halbleiter

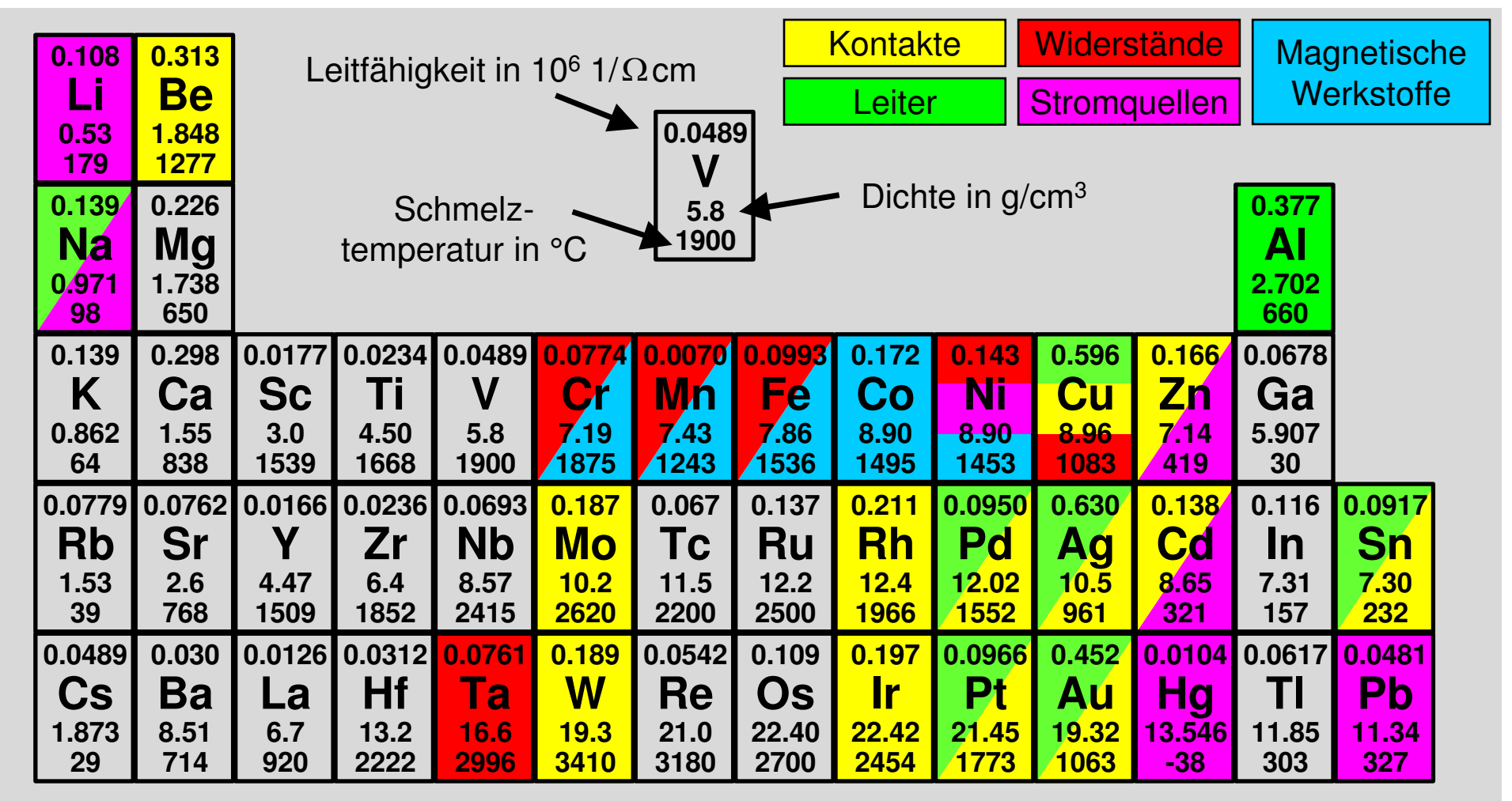
Kernfach: Halbleiterbauelemente (WS)

- Dioden, Transistoren
- Leistungshalbleiter, etc.



#### 2.2 Klassische Bandleiter Übersicht der Einsatzgebiete von Metallen in der Elektrotechnik

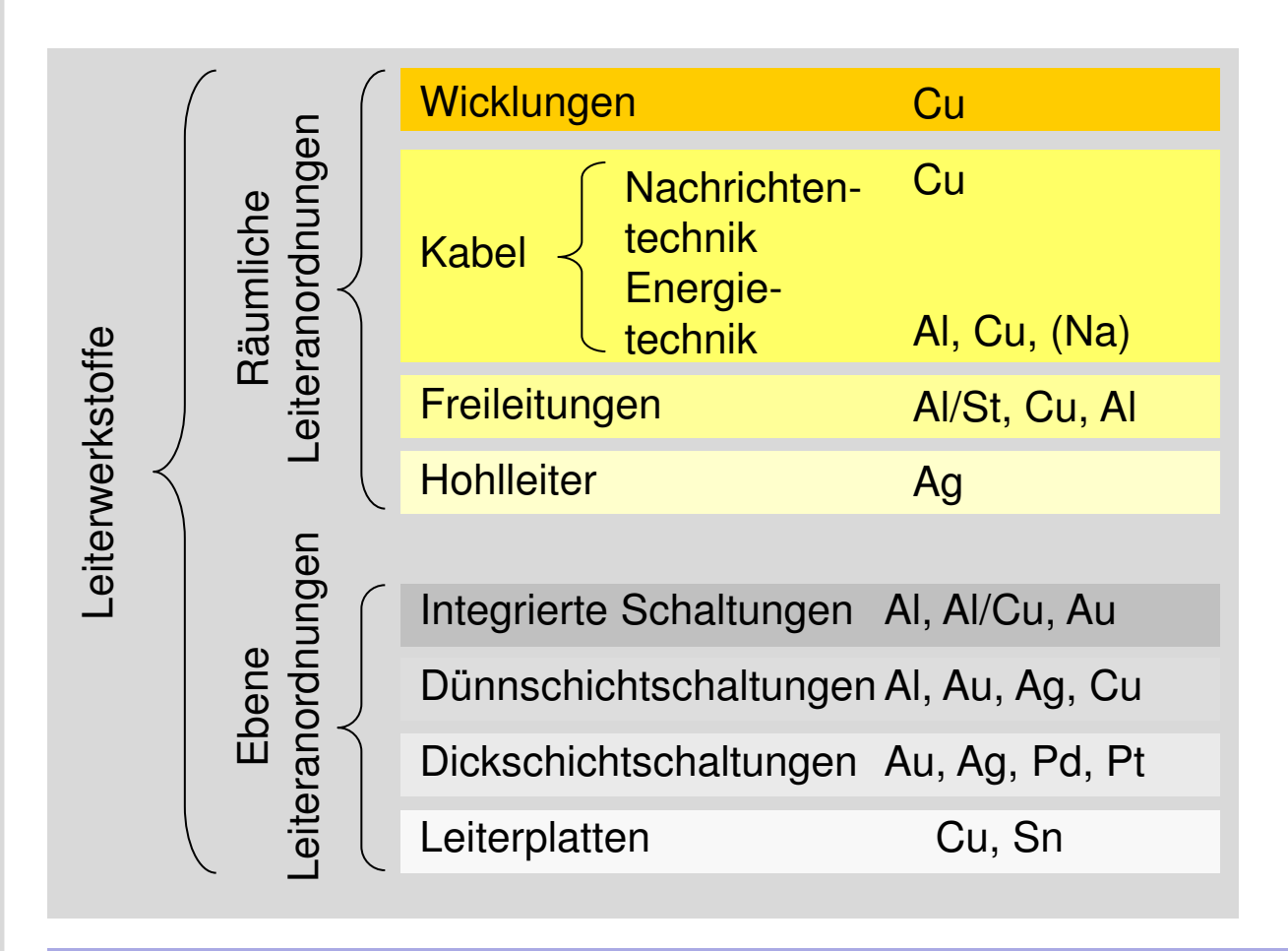


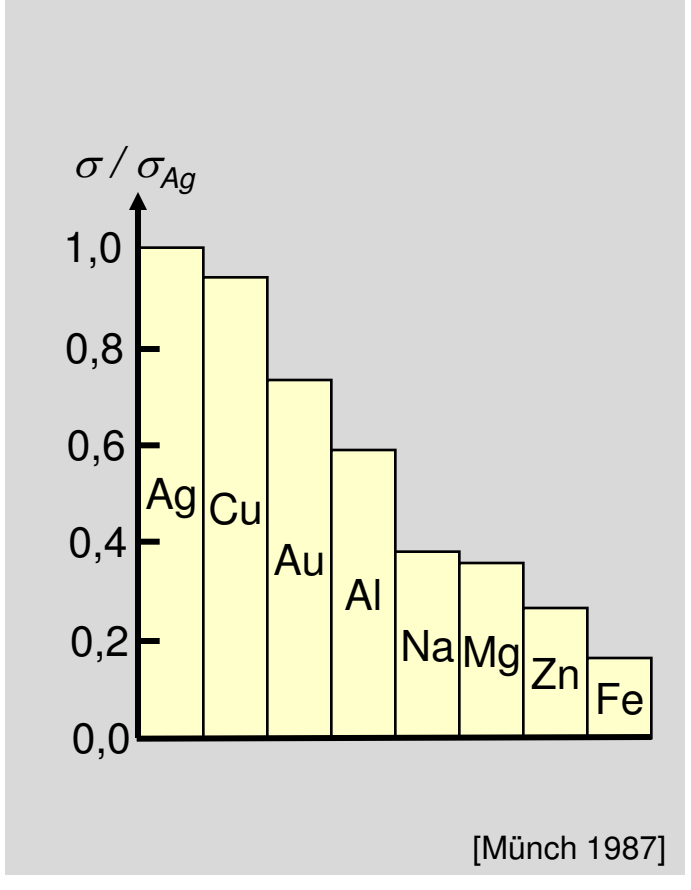


[Münch 1987]

### 2.2 Klassische Bandleiter Anwendungen metallischer Leiterwerkstoffe



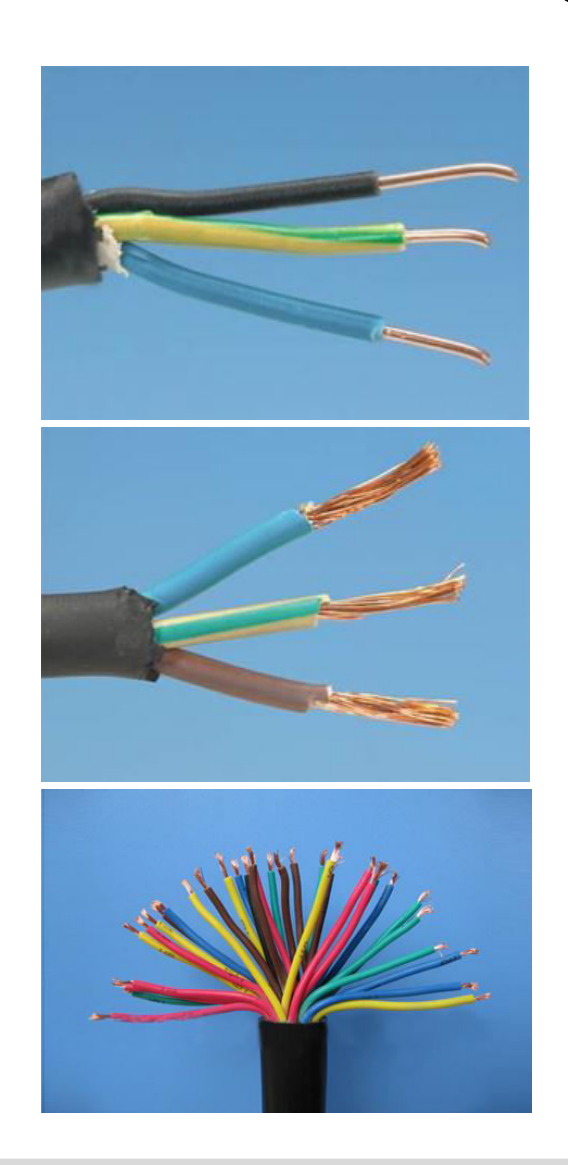




Auswahlkriterien: spezifische Leitfähigkeit , Gewicht, Festigkeit, Korrosionsbeständigkeit, Kosten

## 2.2 Klassische Bandleiter Räumliche Leiteranordnungen: Kupfer (Cu) Kabel



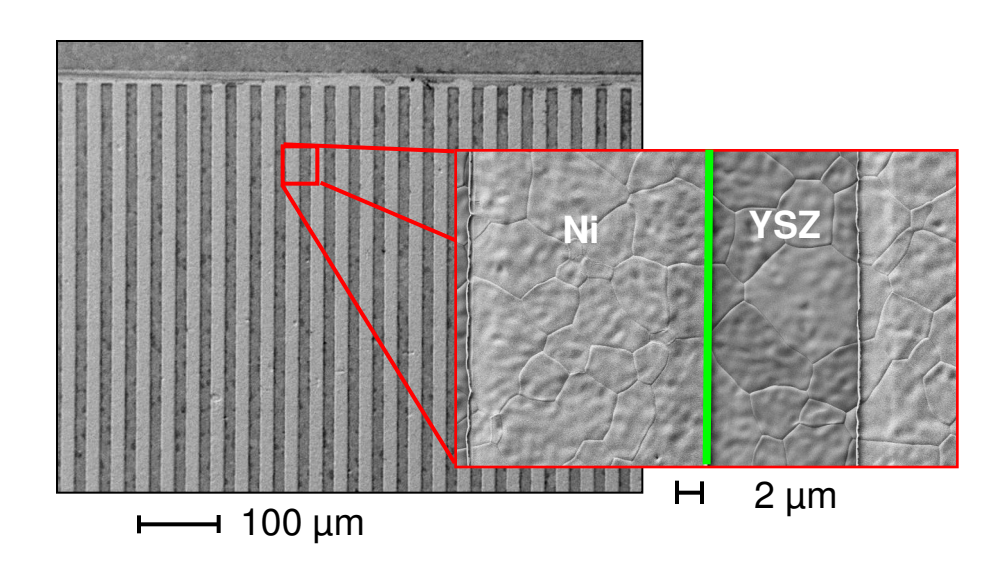




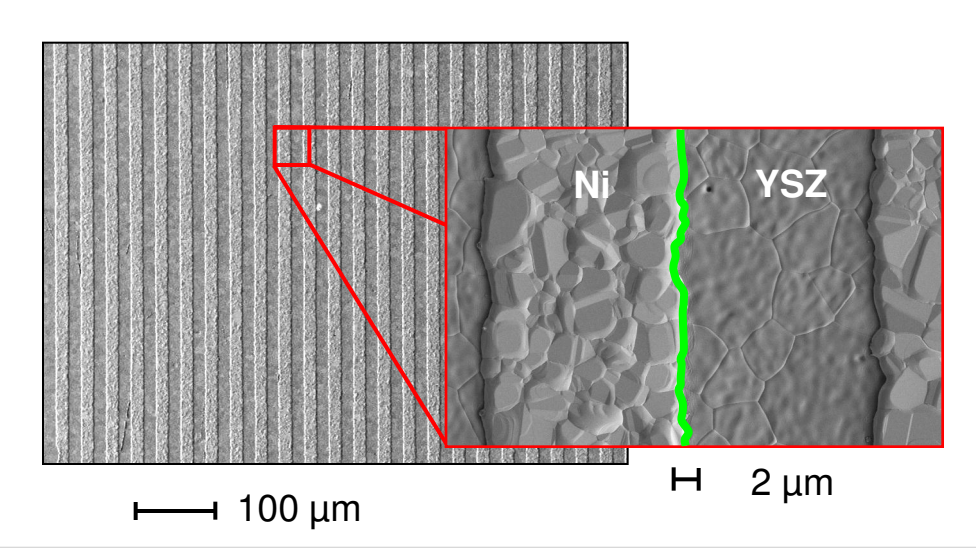
### 2.2 Klassische Bandleiter

### Ebene Leiteranordnung: Nickel (Ni) Dünnschicht auf polykrstallinem Substrat (YSZ)





Physical vapor deposition (PVD) mit Maskentechnik Schichtdicke etwa 700 nm Schichtbreite etwa 10 μm



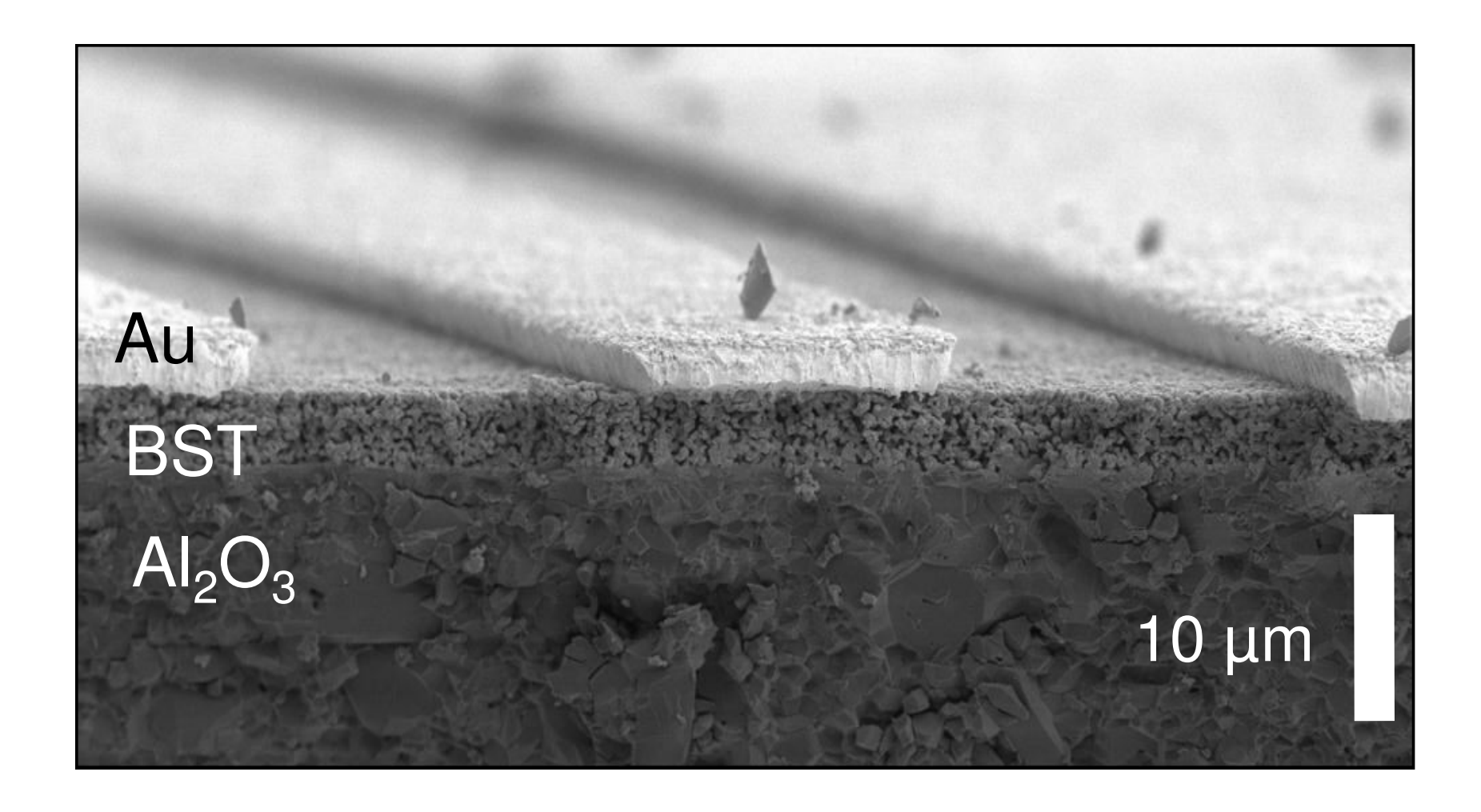
Veränderung der Ni-Schicht bei höheren Temperaturen (700 – 800 °C):

→ Kornwachstum durch Festkörperdiffusion

### 2.2 Klassische Bandleiter

## Ebene Leiteranordnung: koplanare Mikrowellenleiterstruktur (BST) als Dickschicht

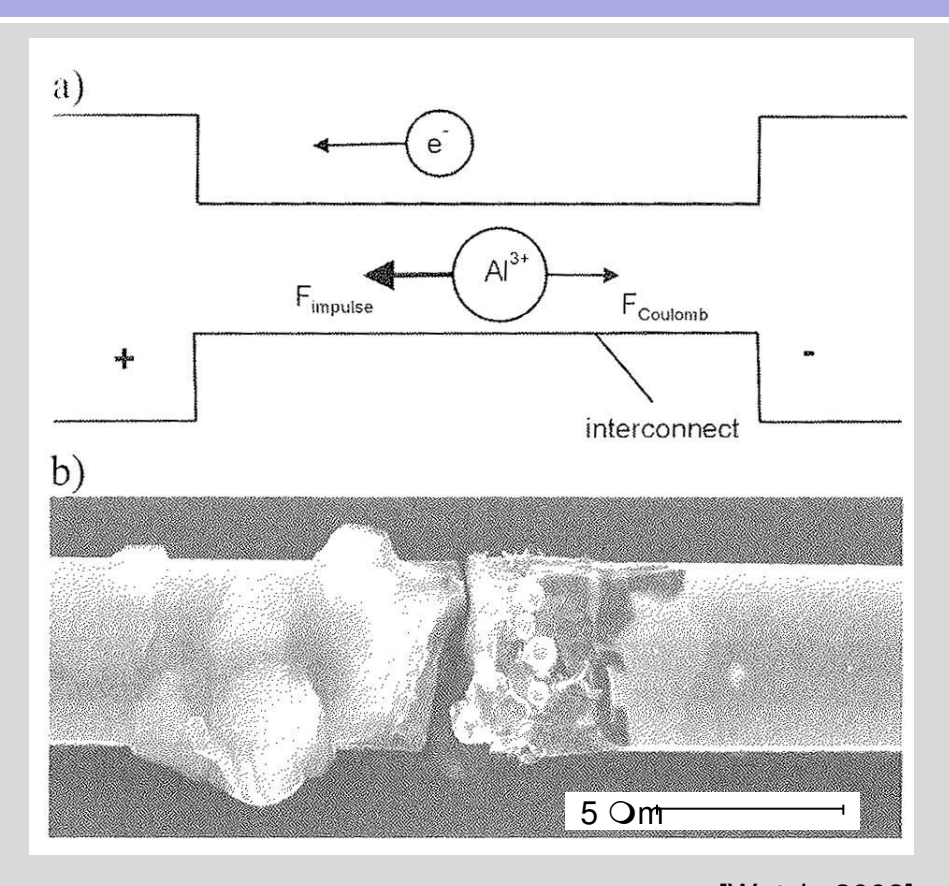




## 2.2 Klassische Bandleiter Ebene Leiteranordnungen: Elektromigration in Al



### **Elektromigration in Al**



[Wetzig 2003]

- a) Resultierende Kräfte auf die Metallionen  $F_{\text{Coulomb}}$  angelegtes Feld  $F_{\text{Impuls}}$  Stöße mit Elektronen
- b) REM-Aufnahme einer 100 % geschädigten Leiterbahn

#### **Ursache:**

Hohe thermische und mechanische Belastung der Leiterbahn (Dicke kleiner 100 nm) aufgrund hoher Stromdichten ( $j = 10^6 \, \text{Acm}^{-2}$ ) und Taktfrequenzen (GHz-Bereich)

# 2.2 Klassische Bandleiter Ebene Leiteranordnungen: Median Time-to-Failure (MTF)



### Lebensdauer von Leiterbahnen

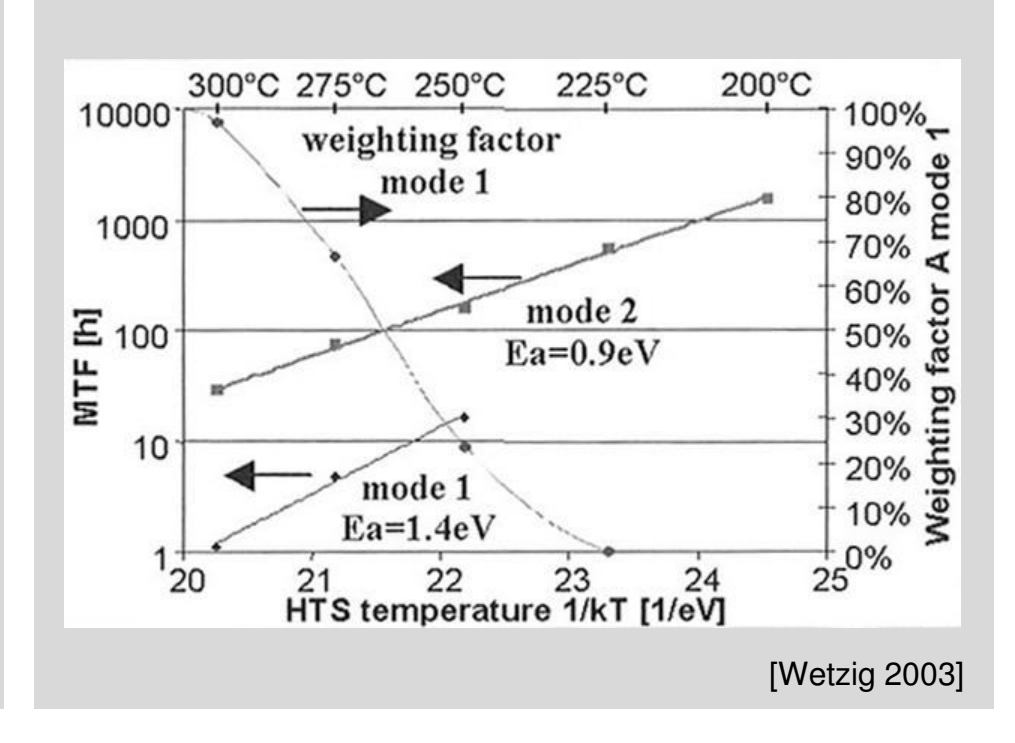
Blacksche Gleichung Empirisch ermittelte Berechnungsformel für die mittlere Ausfallzeit von Leiterbahnen

$$MTF = A \cdot j^{-n} \cdot e^{\frac{E_A}{kT}}$$

 $E_A$  Aktivierungsenergie  $\begin{cases} Materialzusammensetzung \\ Diffusionsmechanismen \end{cases}$ 

- *i* Stromdichte
- *n* Exponent  $(n \cong 2)$
- A Faktor, in dem mehrere physikalische Parameter zusammengefasst sind.

Bestimmung der Aktivierungsenergie und des Exponenten durch Beschleunigte Lebensdauertests.

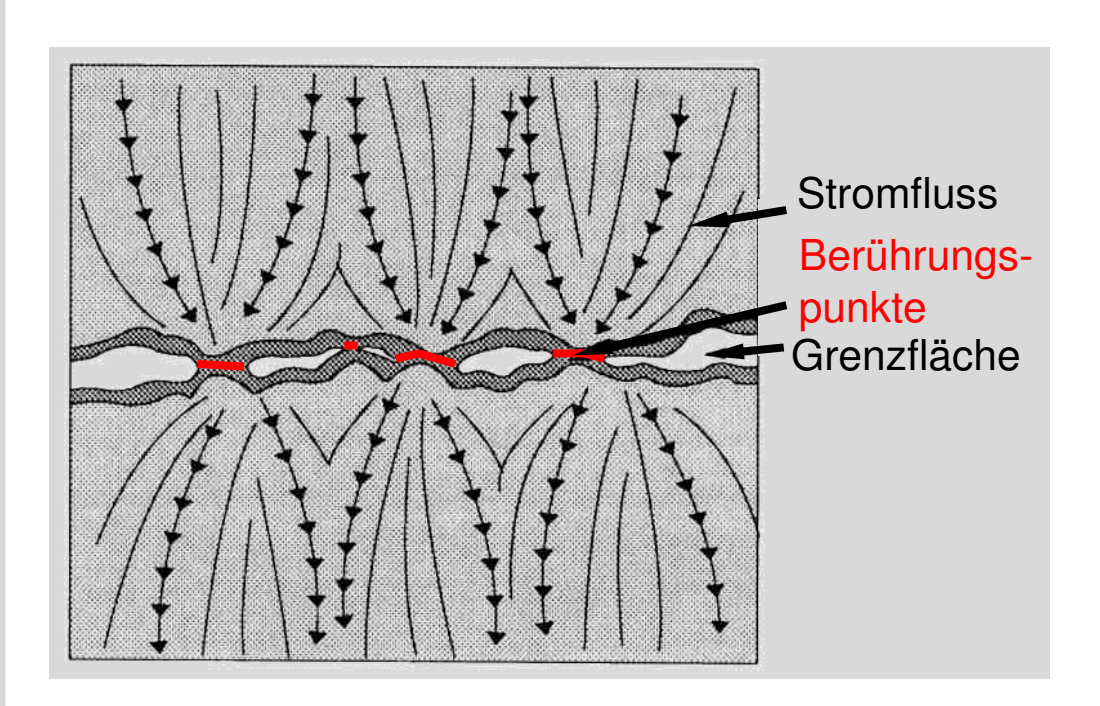


# 2.2 Klassische Bandleiter Metalle als Kontaktwerkstoffe (1)



Mikroskopischer Aufbau eines Metallkontaktes

Typische Temperatur- und Spannungswerte für Erweichen / Schmelzen von Kontaktwerkstoffen

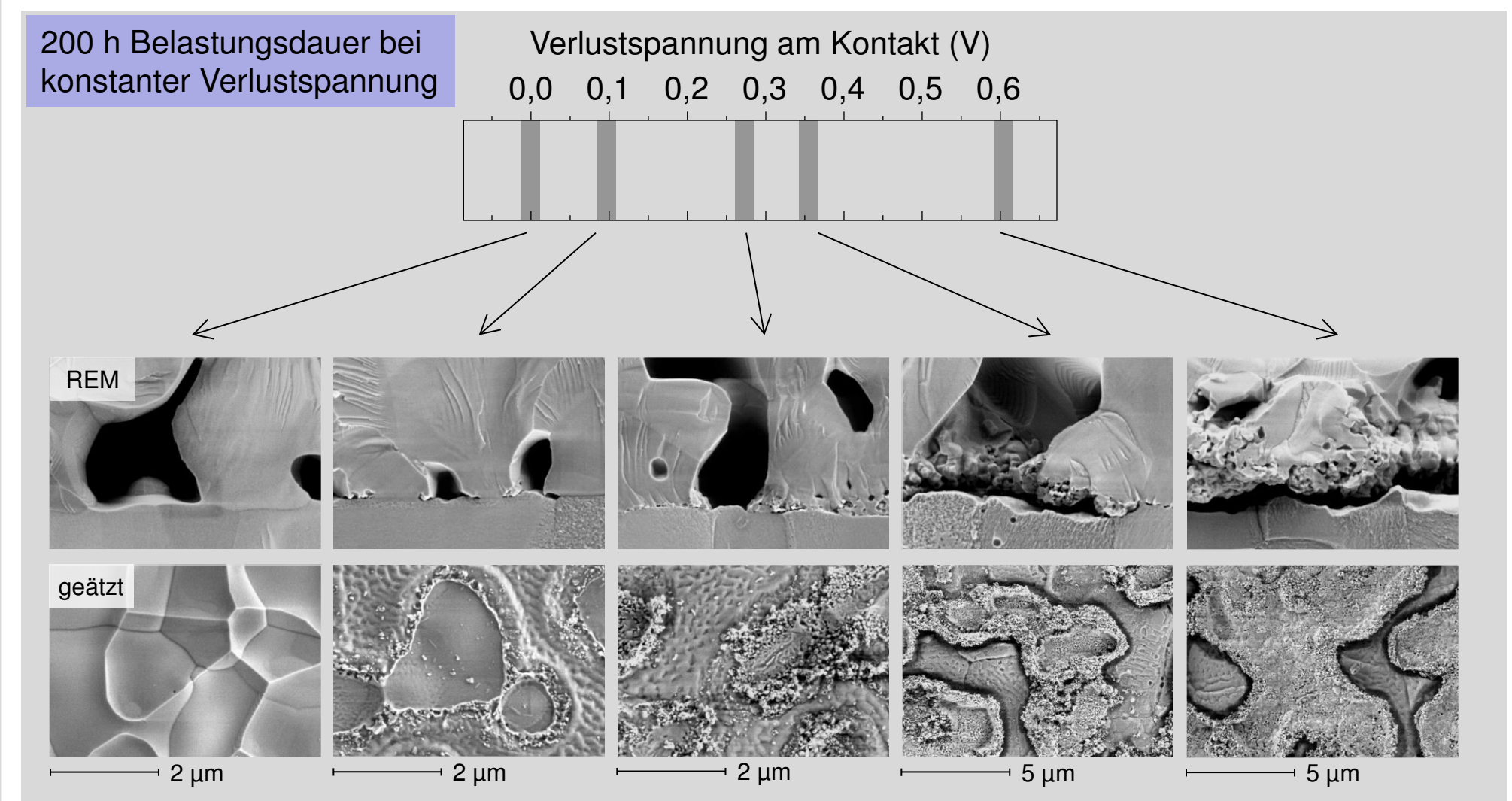


Metall	Erweichen		Schmelzen	
	°C	U/V	°C	U/V
Sn	100	0,07	232	0,13
Au	100	0,08	1063	0,43
Ag	150-200	0,09	968	0,37
Al	150	0,1	660	0,3
Cu	190	0,12	1083	0,43
Ni	520	0,22	1453	0,53
W	1000	0,6	3380	1,1

Anforderungen: geringer Übergangswiderstand, Beständigkeit gegen Materialwanderung ("Kleben") und "Abbrand" beim Schalten unter Last

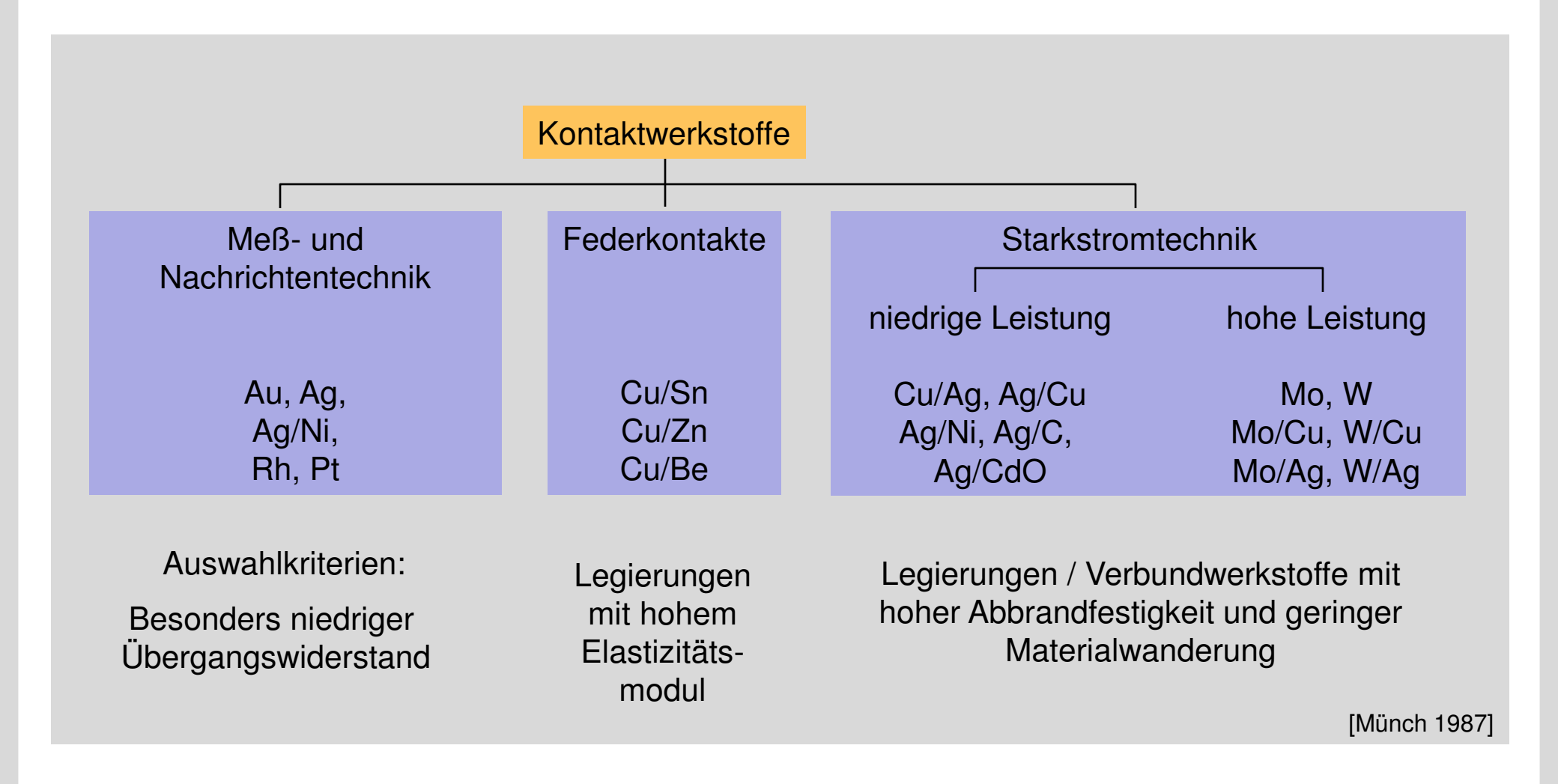
# 2.2 Klassische Bandleiter Mikrostruktureller Umbau an der Kontaktfläche unter Belastung





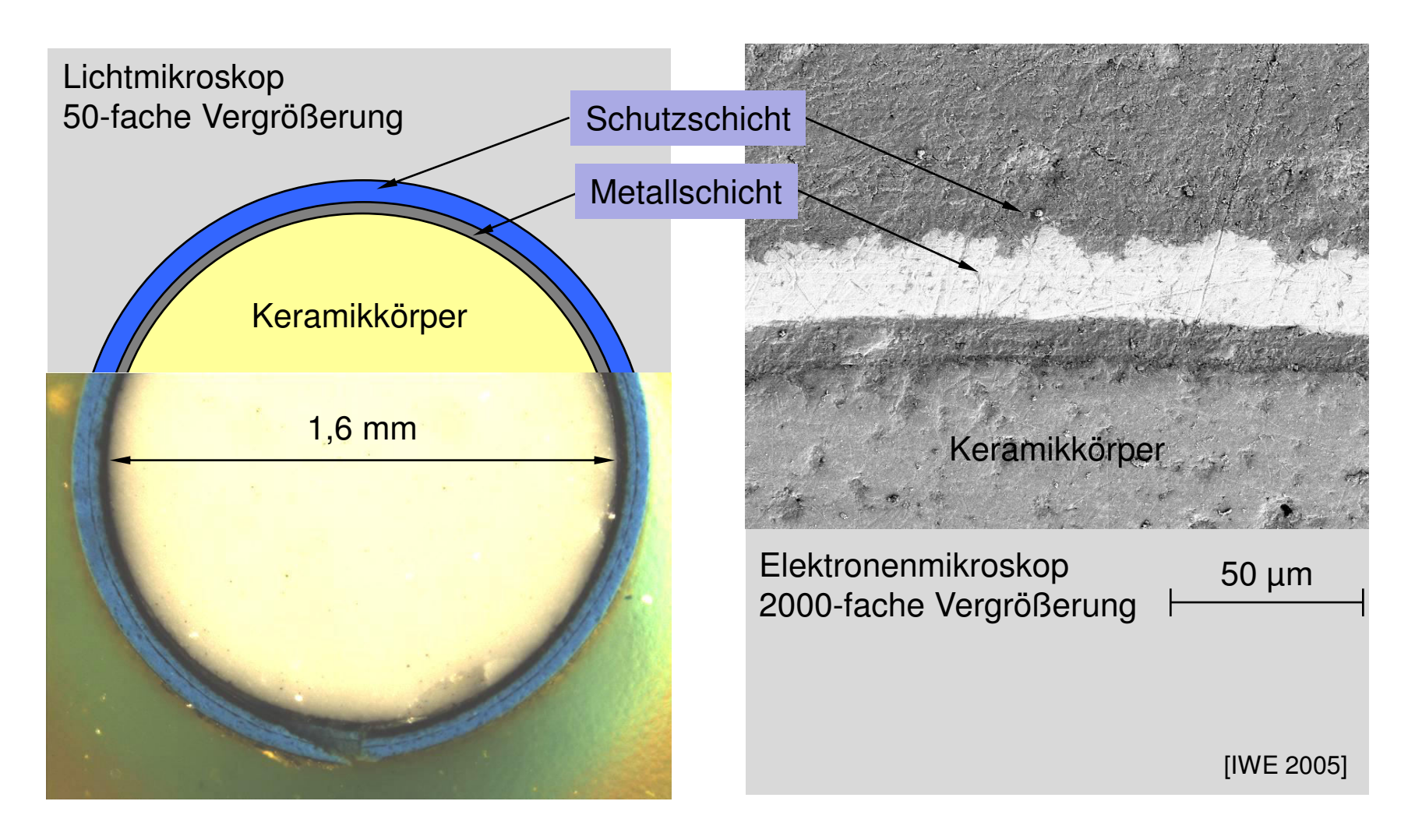
# 2.2 Klassische Bandleiter Metalle als Kontaktwerkstoffe (2)





# 2.2 Klassische Bandleiter Anwendung: Metallschichtwiderstand/ Kohleschichtwiderstand

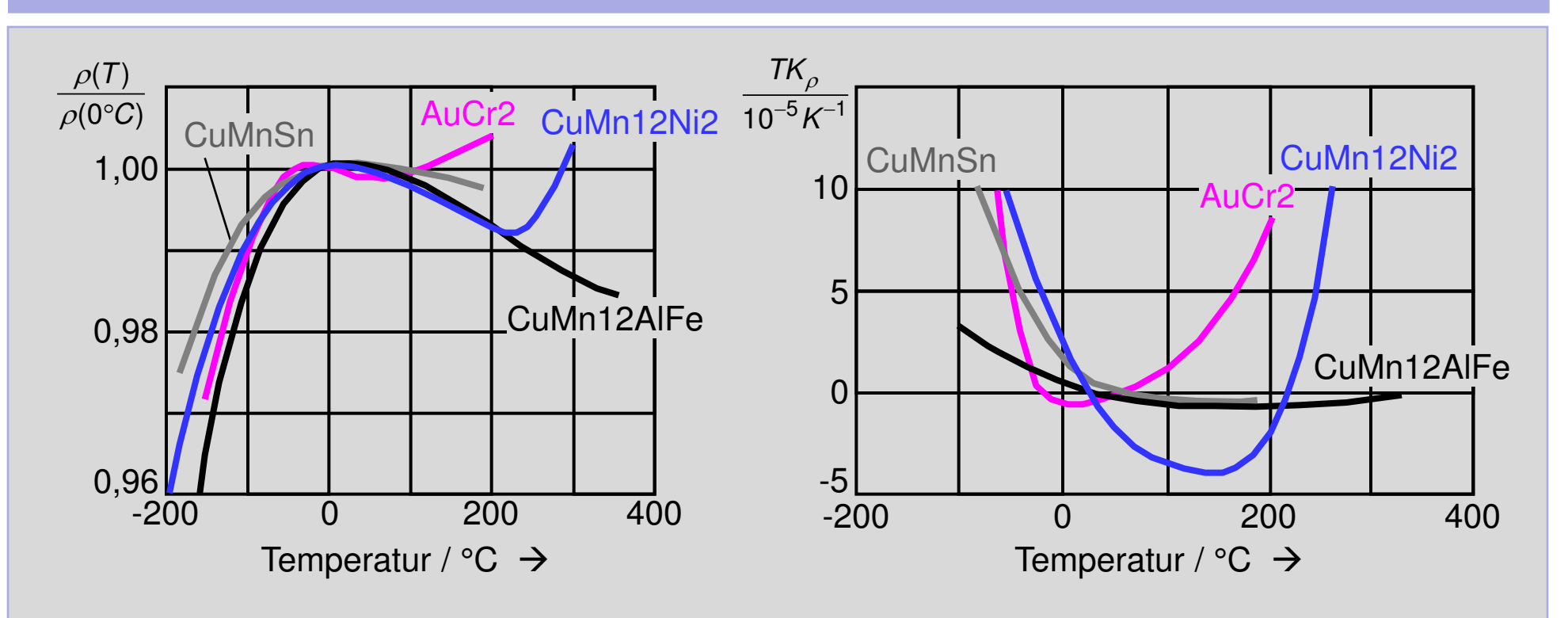




# 2.2 Klassische Bandleiter Werkstoffe für temperaturstabile Präzisionswiderstände (1)



### $\rho$ und $TK_{\rho}$ von Widerstandslegierungen (Präzisionswiderstände)



Temperaturabhängigkeit des spezifischen Widerstandes  $\rho(T)$  und des Temperaturkoeffizienten  $TK_{\rho}$  von einigen Legierungen

[Münch 1993]



# 2.2 Klassische Bandleiter Werkstoffe für temperaturstabile Präzisionswiderstände (2)



Werkstoff	Legi	erungsel	emente	Grenz-	$\rho$	$TK_{ ho}$	Thermospannung
	in Gewichts%		temperatur			gegen Kupfer *	
	Mn	Ni	Al	in °C	in μΩcm	in K <sup>-1</sup>	in μV/K
CuMn12Ni2	12	2	-	140	43	± 1·10 <sup>-5</sup>	- 0,4
CuNi20Mn10	10	20	-	300	49	± 2·10 <sup>-5</sup>	- 10
CuNi44	1	44	-	600	49	+ 4·10-4	- 40
						- 8·10 <sup>-4</sup>	
CuMn2Al	2	-	0,8	200	12	4·10-4	+ 0,1
CuNi30Mn	3	30	-	500	40	1.10-4	- 25
CuMn12NiAl	12	5	1,2	500	40	~ 10 <sup>-5</sup>	- 2

alle Werte gelten bei T = 20 °C

[Münch 1987]

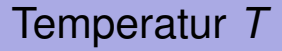
**Auswahlkriterien:** Hoher spez. Widerstand  $\rho$ , Langzeitstabilität, definiert einstellbarer und sehr niedriger Temperaturkoeffizient  $TK_{\rho}$ , geringe Thermospannung gegen Kupfer- Legierungen

<sup>\*</sup> Seebeck-Koeffizient

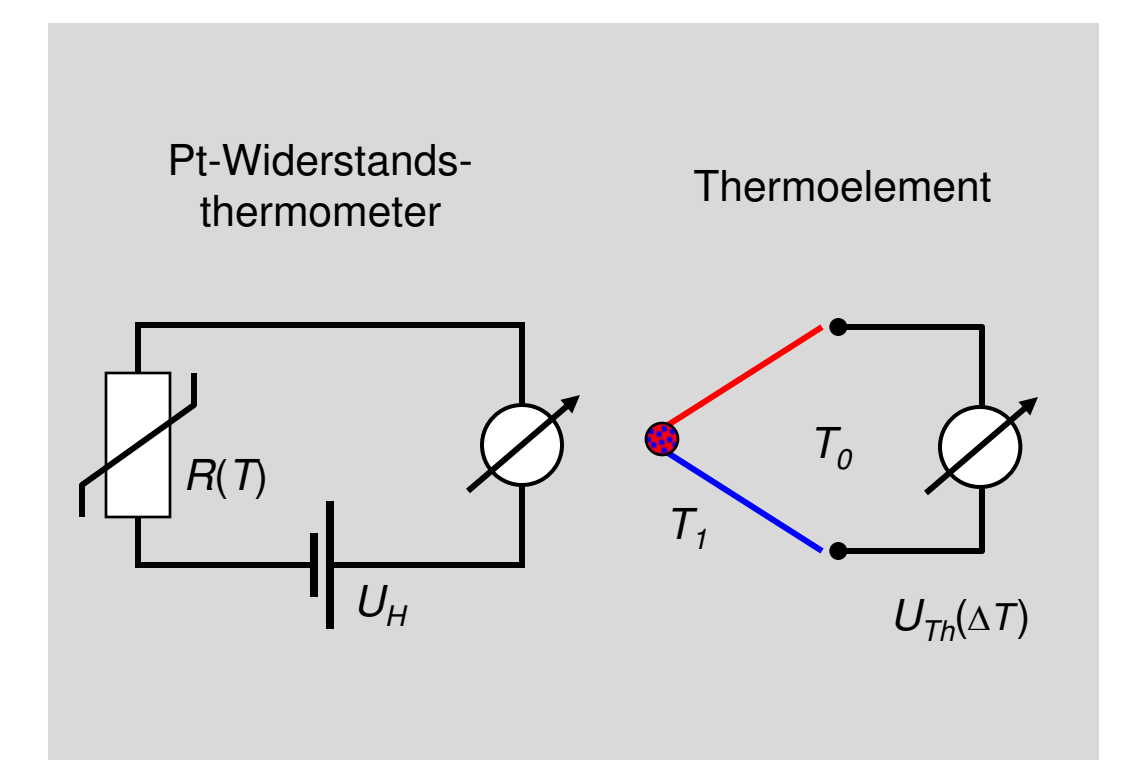
## 2.2 Klassische Bandleiter

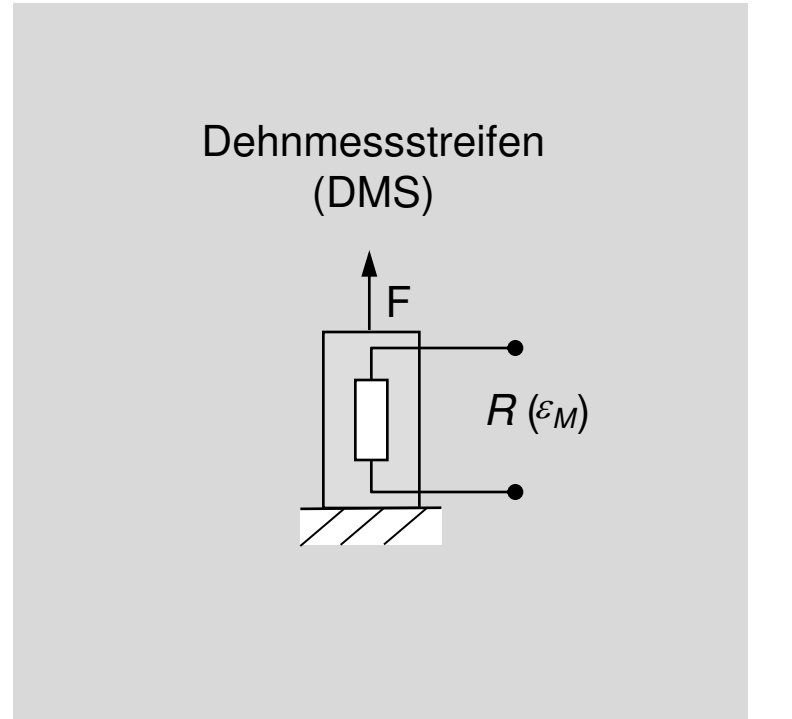
## Übersicht: Anwendung von Metallen in der Messtechnik





Kraft F, Dehnung  $\varepsilon_M$ 

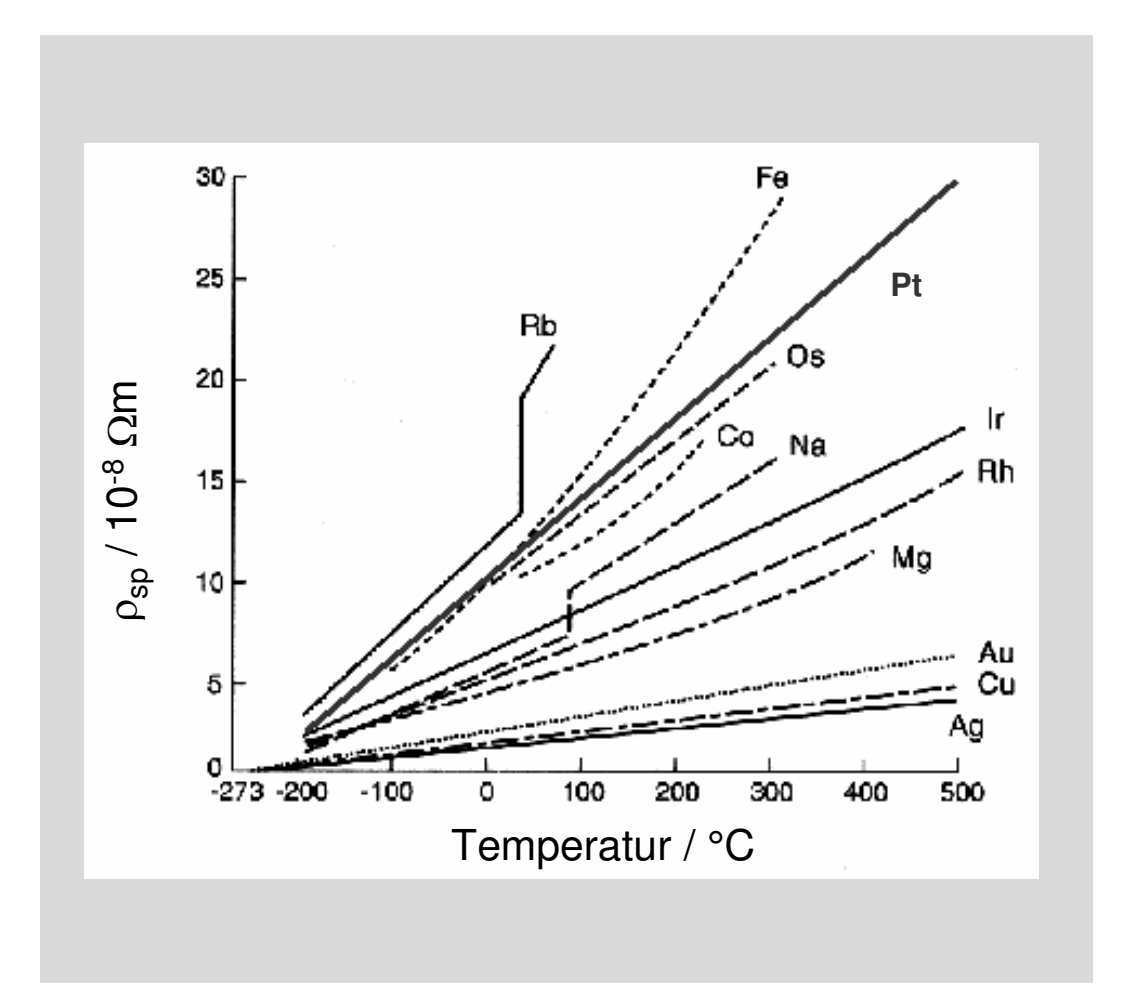




## 2.2 Klassische Bandleiter

### **Bauelement: resistive, metallische Temperatursensoren**





Metall	$ ho_{sp}$ [x10 <sup>-8</sup> $\Omega$ m]	<i>TK</i> [x10 <sup>-3</sup> K <sup>-1</sup> ]
Platin (Pt)	10,6	3,92
Kupfer (Cu)	1,67	4,33
Nickel (Ni)	6,84	6,75

 $\rho_{\mathit{sp}}$  = Spezifischer Widerstand

*TK* = Temperatur-Koeffizient

$$R(T) = R_0 \cdot \left(1 + A \cdot T + B \cdot T^2\right)$$

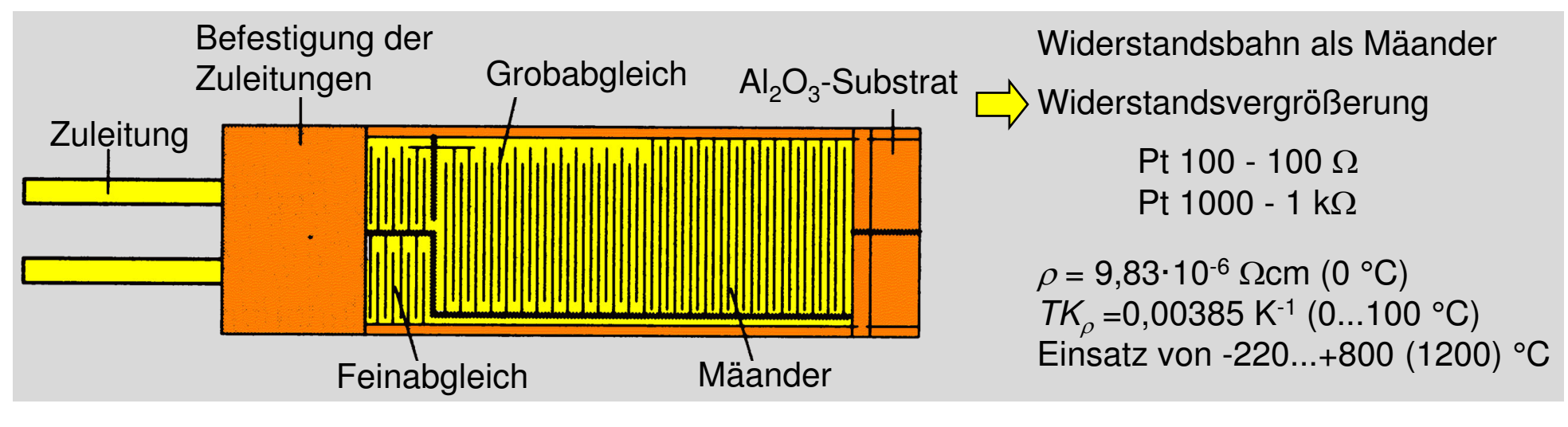
 $A = 3.90802 \ 10^{-3} \, ^{\circ}\text{C}^{-1}$ 

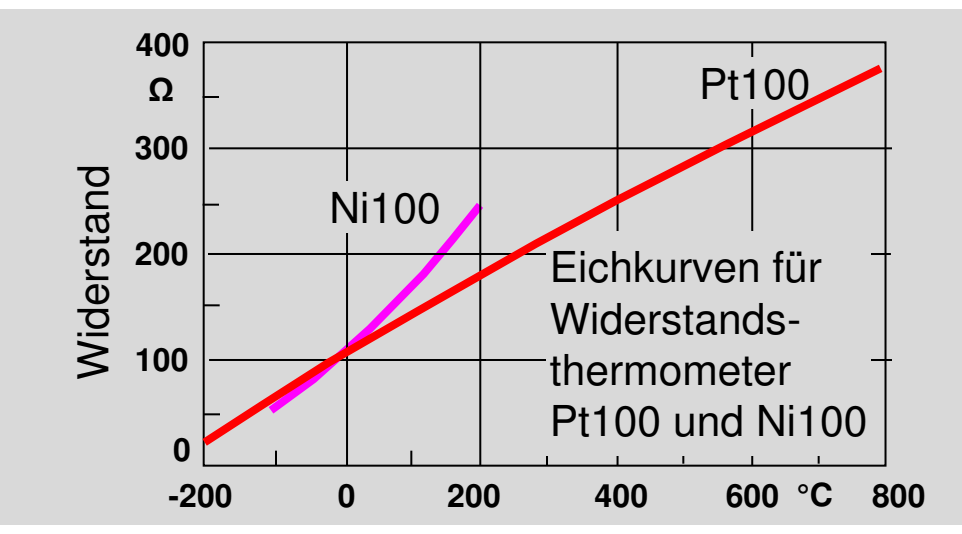
 $B = -5.802 \cdot 10^{-7} \circ \text{C}^{-2}$ 

 $0 < T / ^{\circ}C < 850$ 

# 2.2 Klassische Bandleiter Platin-Dünnschicht als resistiver Temperatursensor





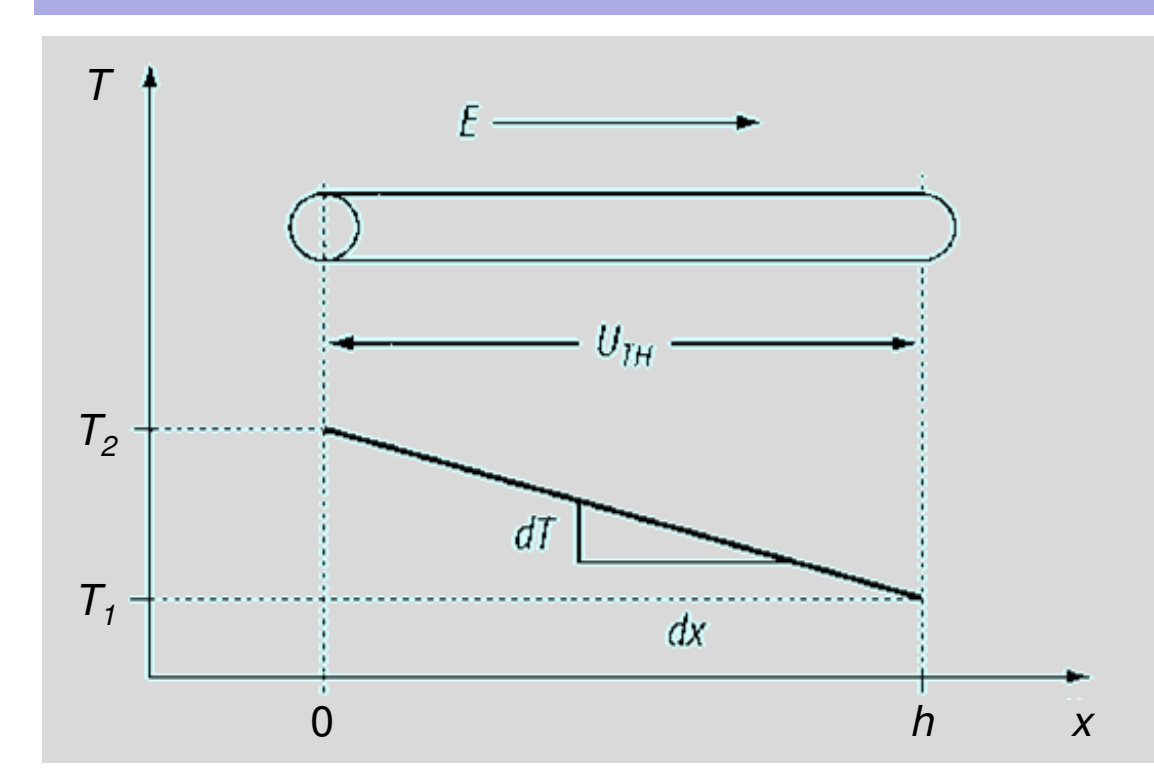


- + kostengünstig
- + einfache Trimmung
- Hysterese durch Wärmeausdehnung des Al<sub>2</sub>O<sub>3</sub>-Substrats bei Temperaturwechsel
- kann die Haftung Pt / Al<sub>2</sub>O<sub>3</sub> schlechter werden

## 2.2 Klassische Bandleiter Thermoelektrischer bzw. Seebeck-Effekt (1)



Im Jahr 1822 entdeckte T. J. Seebeck, dass sich zwischen den Enden eines Leiters, der einen Temperaturgradienten aufweist, eine elektrische Spannung proportional zur Temperaturdifferenz der beiden Enden aufbaut. Diese Spannung nannte er Thermospannung.



 $U_{Th}$ : Thermospannung

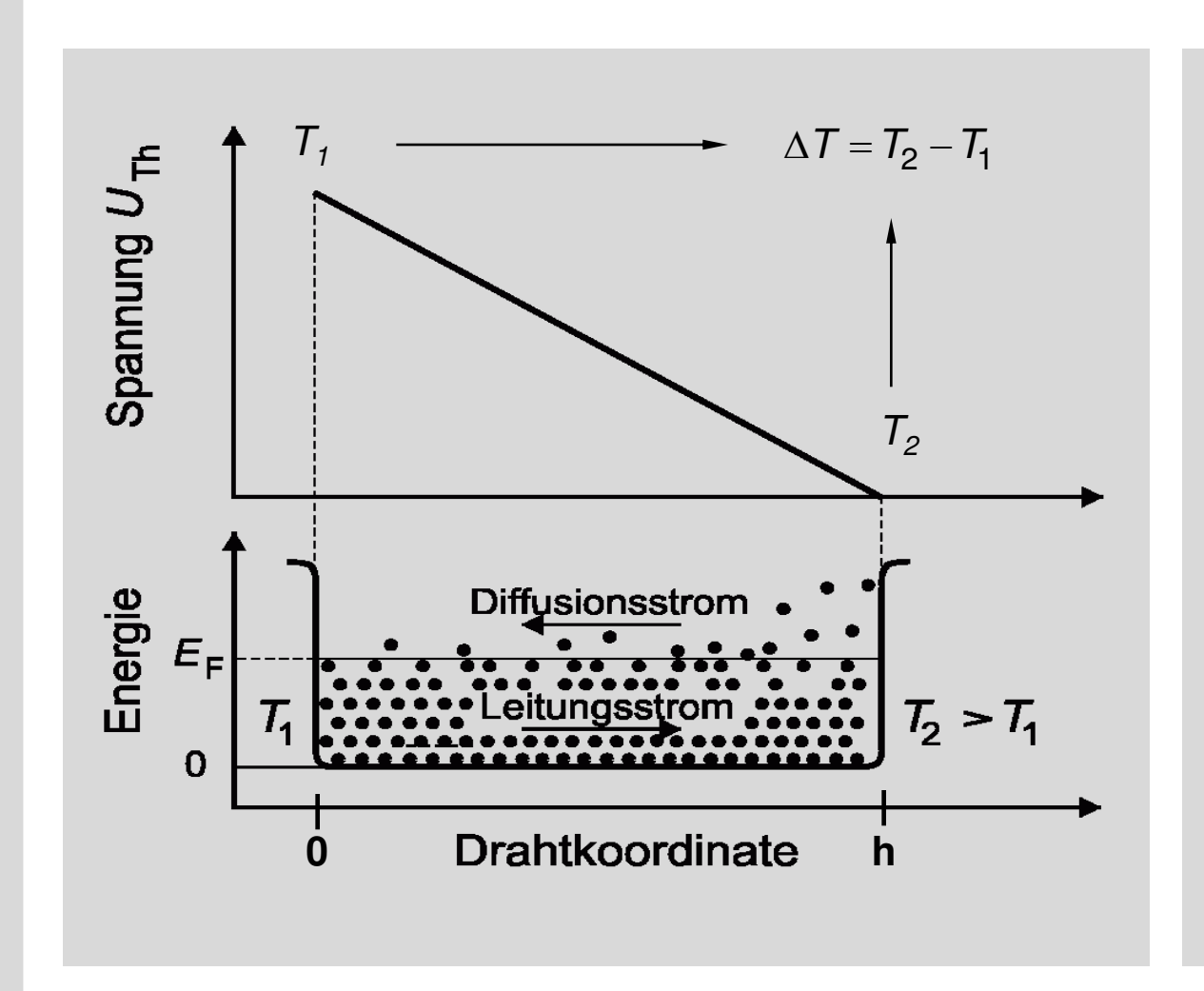
 $\Delta T$ : Temperaturdifferenz  $T_2 - T_1$ 

h: Länge des Leiters

Als Ursache der Thermospannung wird manchmal die Temperaturabhängigkeit der Kontaktspannung bzw. des Fermi-Niveaus angegeben. Tatsächlich ist der Effekt jedoch auf die Thermodiffusion von Ladungsträgern vom heißen zum kalten Ende des Leiters zurückzuführen (Ludwig-Soret-Effekt).

## 2.2 Klassische Bandleiter Thermoelektrischer bzw. Seebeck-Effekt (2)





$$J_{\text{Drift}} = -\sigma_{el} \cdot \nabla \Phi(x) \approx -\sigma_{el} \cdot \frac{U_{Th}}{h}$$
$$J_{\text{Diff}} = D_T \cdot \nabla T(x) \approx D_T \cdot \frac{\Delta T}{h}$$

### Im Gleichgewichtsfall ist

$$J_{\text{Diff}} + J_{\text{Drift}} = 0$$

$$\rightarrow U_{Th} = \frac{D_T}{\sigma_{el}} \cdot \Delta T = \eta \cdot \Delta T$$

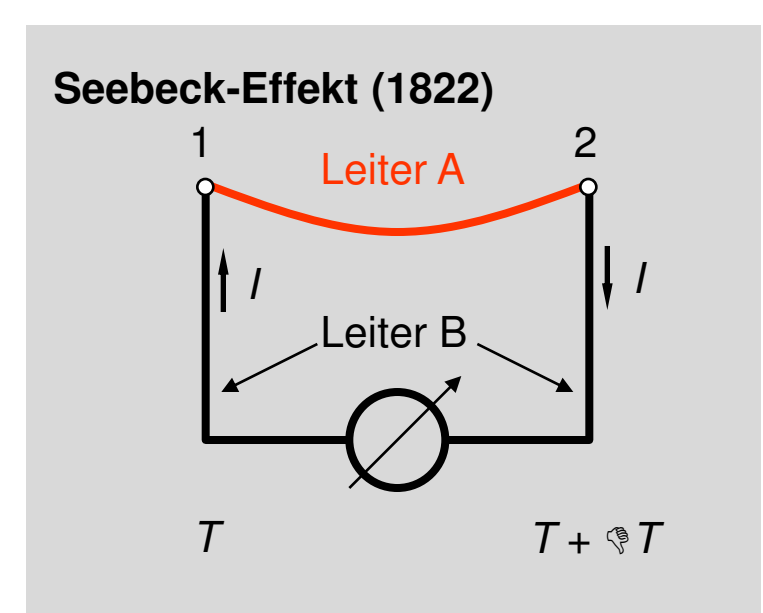
 $D_T$ : Thermodiffusionskoeffizient

 $\eta$ : Seebeck-Koeffizient

allgemein 
$$U_{Th} = \int_{T_1}^{T_2} \eta \cdot dT$$

# 2.2 Klassische Bandleiter Gegenüberstellung von Seebeck- und Peltier-Effekt

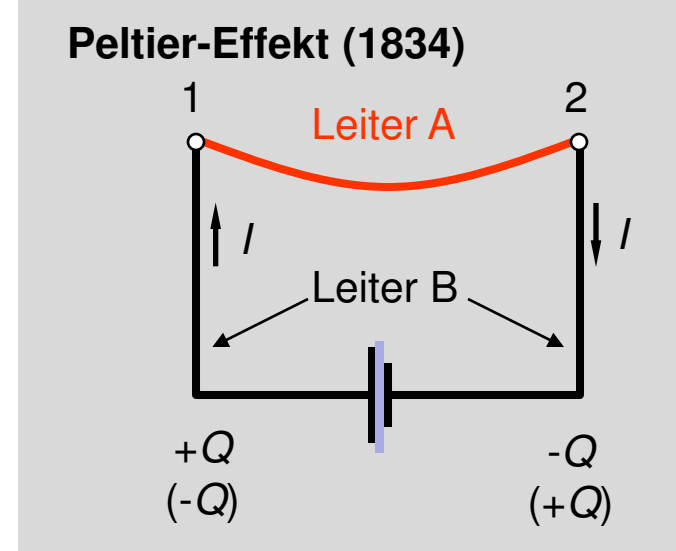




Potentialdifferenz und Stromfluss durch Temperaturunterschiede in den Punkten 1 und 2

$$U_{th} = \eta_{AB} * \Delta T$$

Seebeck-Koeffizient



Erwärmung bzw. Abkühlung (+Q, -Q) in den Punkte 1 und 2 durch aufgeprägten Stromfluss

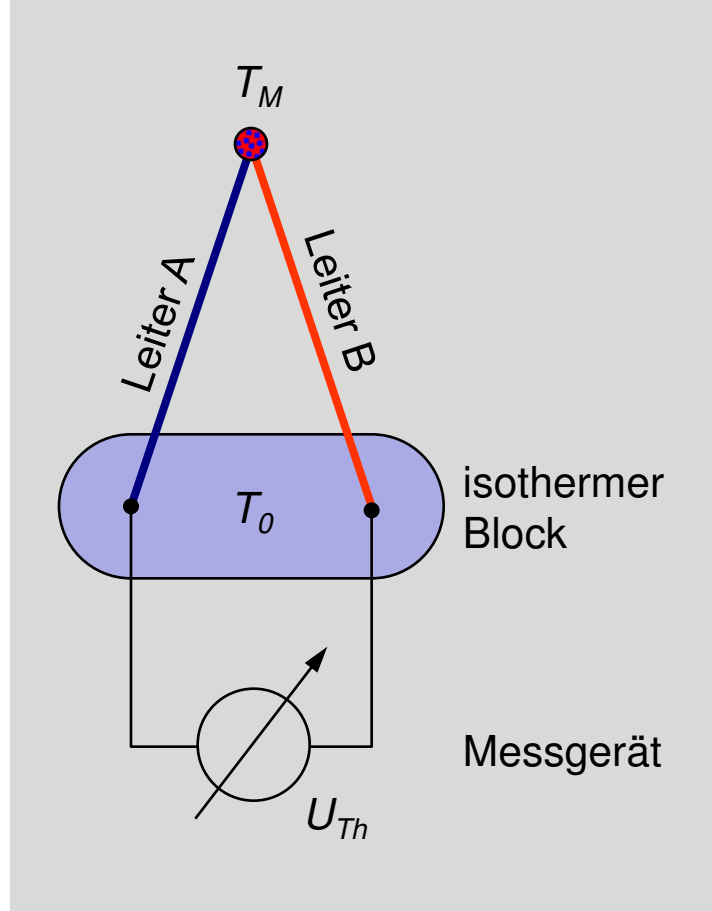
$$P_P = \pi_{AB} * I$$
Peltier-Koeffizient

[IWE]

# 2.2 Klassische Bandleiter Anwendung: Temperaturmessung mittels Thermoelement



### **Aufbau und Verschaltung**



 $T_M$ : Messtemperatur

 $T_0$ : Vergleichsstellentemperatur

Der isotherme Block liegt auf der Vergleichstemperatur  $T_0$ . In diesem Block werden die Leitungen des Thermoelements auf die Leiter des Messgeräts überführt. Zur Berechnung der Messtemperatur muss die Vergleichstemperatur bekannt sein (z.B. Eiswasser, zusätzlicher Sensor, o.ä.).

$$η_{AB} = η_{A} - η_{B}$$
Thermokraft (aus Spannungsreihe)
Indizes für Werkstoffe A, B
$$η_{Halbleiter} \approx 100...600 \mu V/K$$

$$η_{Metall} \approx 0...40 \mu V/K$$

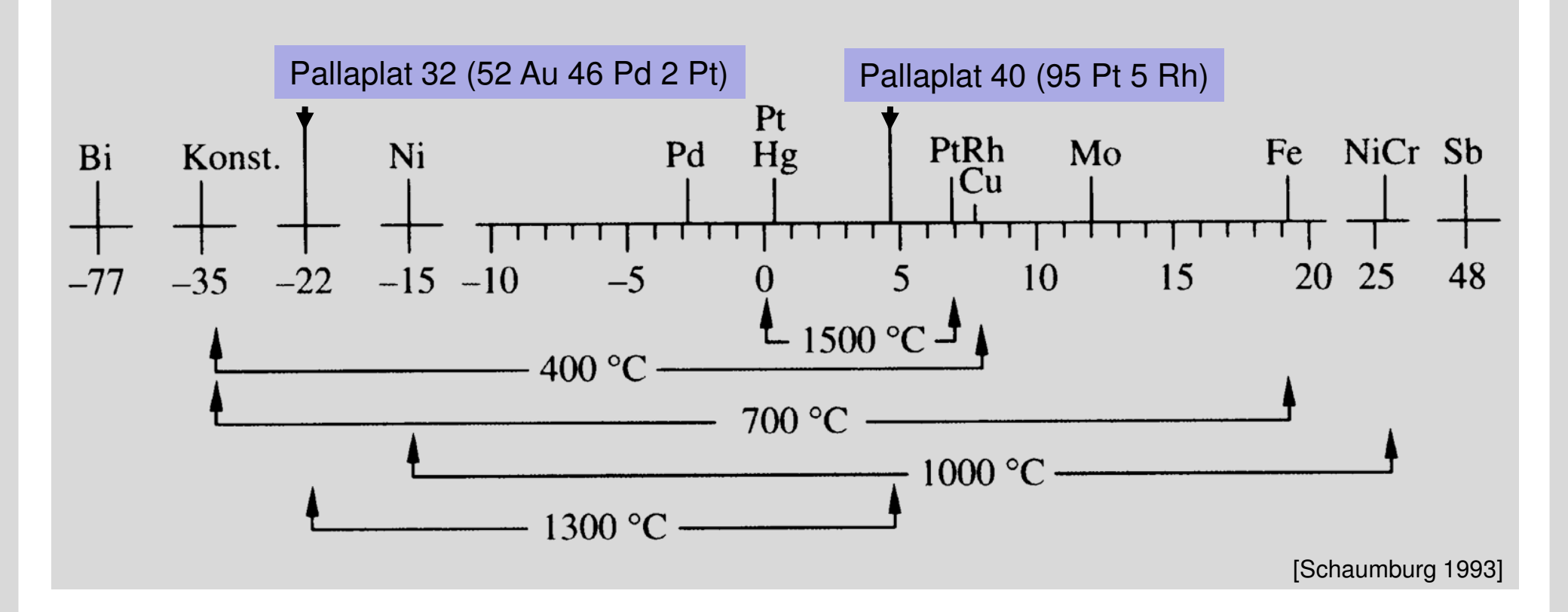
Als Thermopaare werden Metalle bevorzugt, da sie im Gegensatz zu Halbleitern als flexible Drähte hergestellt werden können.

[IWE]

## 2.2 Klassische Bandleiter Thermoelektrische Spannungsreihe



- Spannung in μV / K
- Bezugswerkstoff: Platin (Pt)
- maximal zulässige Betriebstemperaturen der Thermoelemente





# 2.2 Klassische Bandleiter Auswahlkriterien und gebräuchliche Thermopaare

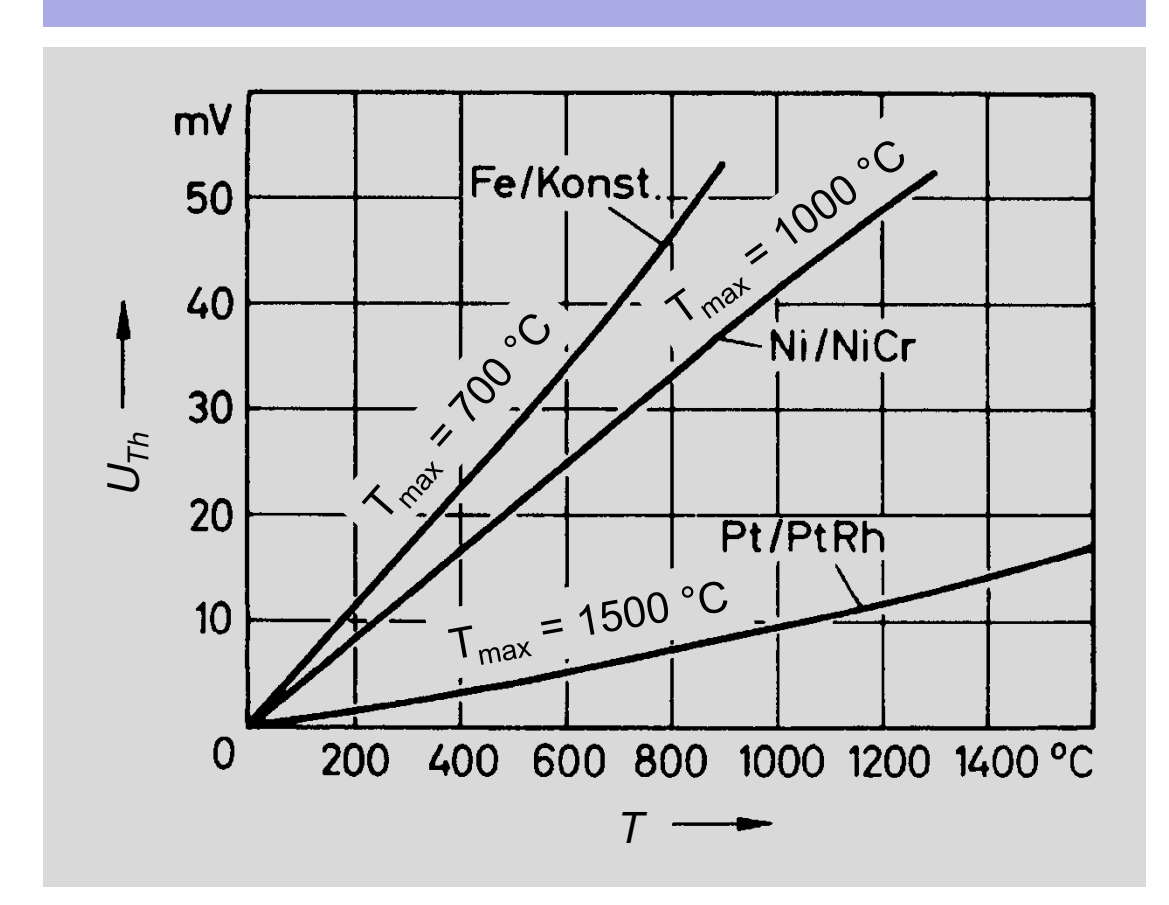


### **Auswahlkriterien**

- Hohe Thermospannung  $U_{Th}$  $\rightarrow \eta_{AB} = \eta_A - \eta_B \operatorname{groß}$
- Linearer Zusammenhang zwischen  $U_{Th}$  und T
- Hoher Schmelzpunkt
- Chemische Resistenz
   bei hohen Temperaturen

[Münch 1993]

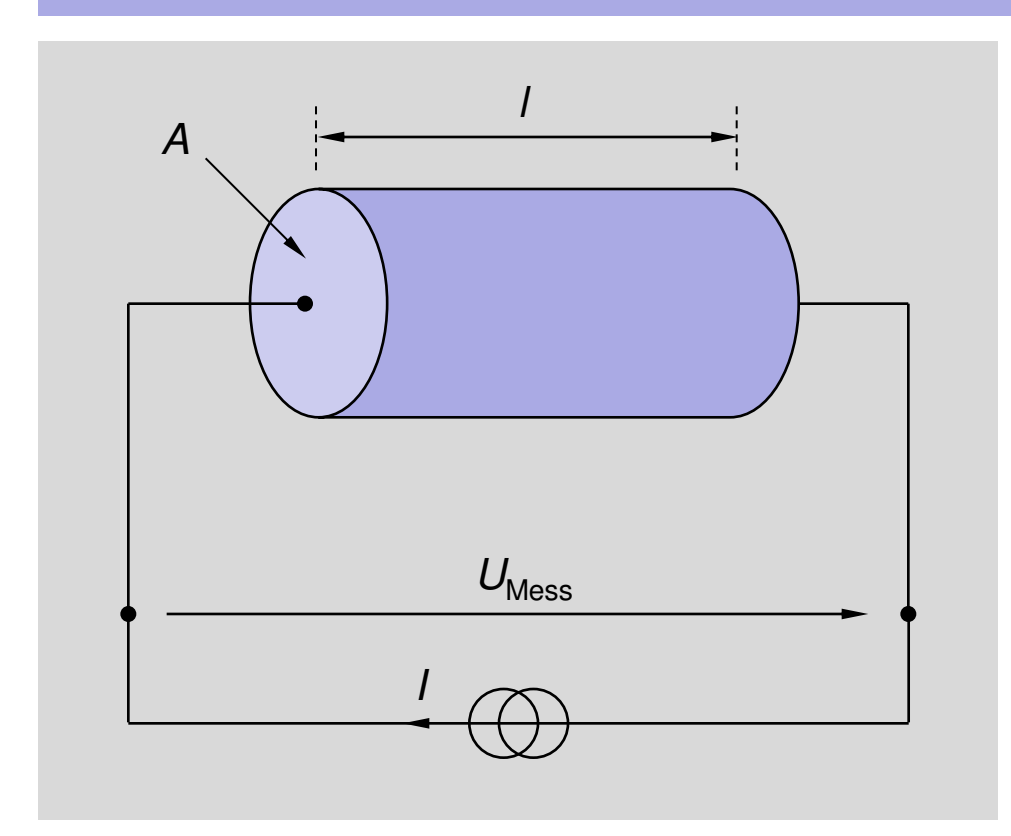
### Gebräuchliche Thermopaare



# 2.2 Klassische Bandleiter Piezoresistiver Effekt (1)



Piezoresistiver Effekt: Widerstandsänderung in Materialien durch Dehnung Einsatzgebiet: Dehnmessstreifen (DMS), Druckdose, etc.



Widerstand: 
$$R = \rho \cdot \frac{I}{A} = \frac{1}{e_0 n \mu} \cdot \frac{I}{A}$$

Bei Längsdehnung um ¶, wird gleichzeitig der Querschnitt des Leiters gestaucht. Des weiteren werden durch die Deformation zusätzliche Fehlstellen im Material erzeugt, welche die Beweglichkeit der Ladungsträger herabsetzen. Zur Berechnung der Widerstandsänderung ¶R wird das totale Differential herangezogen:

$$dR = \frac{\partial R}{\partial I}dI + \frac{\partial R}{\partial A}dA + \frac{\partial R}{\partial \rho}d\rho$$

## 2.2 Klassische Bandleiter Piezoresistiver Effekt (2)



Für die Differentiale ergibt sich:

$$\frac{\partial R}{\partial I} = \rho \cdot \frac{1}{A}$$

$$\frac{\partial R}{\partial A} = -\rho \frac{I}{A^2}$$

$$\frac{\partial R}{\partial \rho} = \frac{I}{A}$$

Einsetzen in das totale Differential ergibt:

$$dR = \rho \cdot \frac{1}{A}dI - \rho \cdot \frac{I}{A^2}dA + \frac{I}{A}d\rho$$

$$\Rightarrow \frac{dR}{R} = \frac{dI}{I} - \frac{dA}{A} + \frac{d\rho}{\rho}$$

Mit der Querkontraktionszahl

$$v = -\frac{1}{2} \cdot \frac{dA/A}{dI/I}$$
 mit  $0 \le v \le 0,5$ 

ergibt sich:

$$\frac{dR}{R} = (1 + 2\nu) \cdot \frac{dI}{I} + \frac{d\rho}{\rho}$$

Unter der Annahme, dass die Anzahl der freien Ladungsträger *n* bei Deformation gleich bleibt, gilt für die Widerstandsänderung:

$$\frac{\Delta R}{R} = (1 + 2\nu) \cdot \varepsilon_M - \frac{\Delta \mu}{\mu}$$

mit  $\varepsilon_M = \Delta I / I$  für die mechanische Dehnung.

# 2.2 Klassische Bandleiter Dehnmessstreifen (DMS)



### Definition: k-Faktor

Als Kenngröße von Dehnmessstreifen wird der *k*-Faktor wie folgt spezifiziert:

$$\frac{\Delta R}{R} = (1 + 2\nu) \cdot \varepsilon_M - \frac{\Delta \mu}{\mu} \equiv k \cdot \varepsilon$$
Geometrie-
Effekt
Werkstoff-
Effekt

Bei Metallen ist die Änderung der Beweglichkeit durch Deformation vernachlässigbar gegen die Geometrieänderung. Da  $\nu$  nicht größer als 0,5 werden kann, gilt für die meisten Metalle:

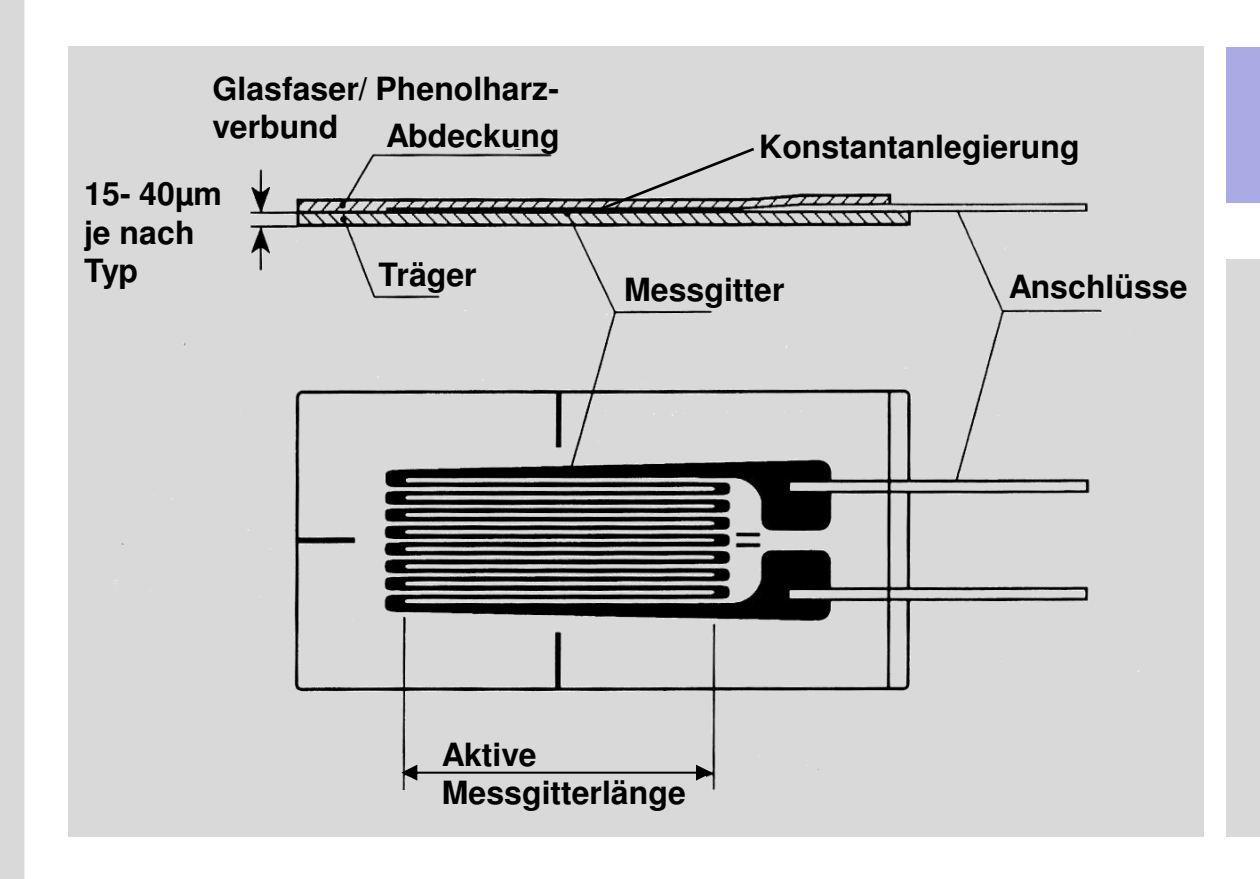
$$k \approx 2$$

Bei Halbleitern ist der Beweglichkeitsterm häufig dominant, die *k*-Faktoren können daher deutlich höher liegen.

$$k \approx 100...200$$

# 2.2 Klassische Bandleiter Bauteil: Metallfolien-Dehnmessstreifen (DMS)





### Kenngrößen von Metall-DMS

k = 2

 $R_0 \approx 350 \Omega$ 

Streckgrenze: 0.1 %

Temperaturbereich: -200 ...200 °C

Auflösung: 10<sup>-6</sup>

Kriechen: 0.01 % ... 0.05 % in 30 min

Hysterese: 0.01 %

Grenzfrequenz: 20 kHz

*TK*<sub>0</sub>: 5 ppm/K ... 100 ppm/K

[Tränkler 1998]

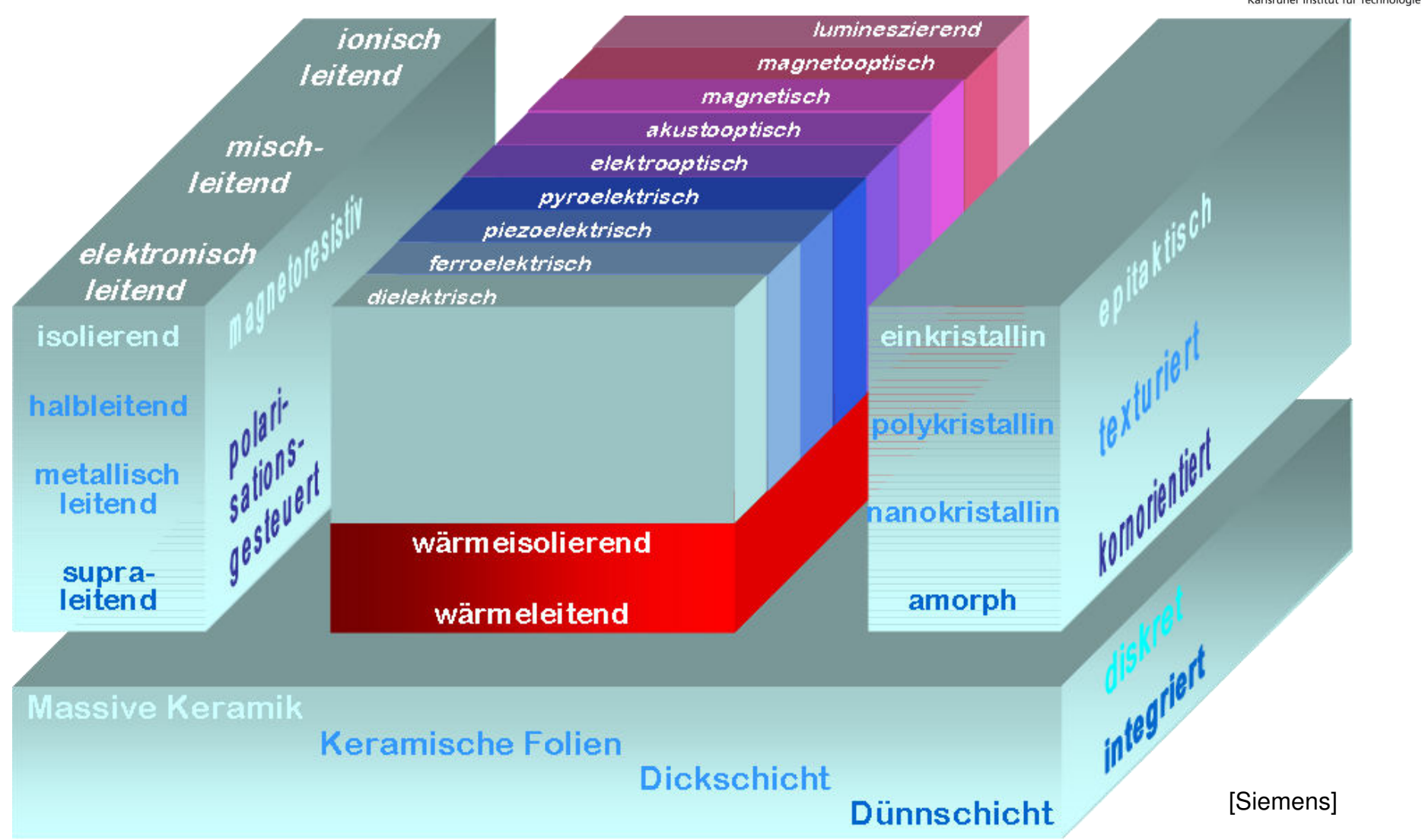
## Modellberatungsabend

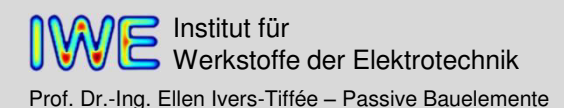


- Dienstag, 18. Juni 2013
   18:00 20:00 Uhr
   in der alten Mensa (großer Saal).
- Die Professoren und Modellberater stellen die Institute und Studienmodelle der Elektro- und Informationstechnik mit Exponaten, Informationsmaterial und im persönlichen Gespräch vor.
- Nutzen Sie die Gelegenheit, sich über den weiteren Verlauf Ihres Studiums zu informieren!

## 2.3 Halbleitende Metalloxide Überblick Funktionskeramik (Eigenschaften, Herstellungstechnologien)







### 2.3 Halbleitende Metalloxide



### Leitfähigkeit eines Materials

$$\sigma = e_0 \cdot \sum_i z_i \cdot n_i \cdot \mu_i$$

 $e_0$ : Elementarladung

 $z_i$ : Ladungszahl

 $n_i$ : Konzentration  $\rangle$  der Ladungsträgerart i

 $\mu_i$ : Beweglichkeit

Die Leitfähigkeit wird wesentlich von der Konzentration der Spezies  $n_i$  bestimmt.

### **Defektchemie**

Ziel ist die Berechnung der Konzentration der freien Ladungsträger (Punktdefekte), die zur elektrischen Leitung beitragen.

- Elektronen, Löcher
- Metallleerstellen
- Sauerstoffleerstellen

Die Konzentration der Defekte zeigt sich insbesondere abhängig von

- Temperatur
- Sauerstoffpartialdruck
- Dotierungen/ Verunreinigungen



 $\sigma = f(pO_2, T, Dotierung)$ 

## 2.3 Halbleitende Metalloxide Beispiele: Materialsysteme und Einsatzgebiete



ZnO	Zinkoxid	Varistor
ZNO	ZITIKOXIQ	varision

(SiC) Siliziumcarbid Hochtemperaturhalbleiter, Varistor

(GaN) Galliumnitrid Hochtemperaturhalbleiter

TiO<sub>2</sub> Titanoxid klassischer Sauerstoffsensor

SnO<sub>2</sub> Zinnoxid Taguchi-Sensor, elektronische Nase

RuO<sub>2</sub> Rutheniumoxid Dickschichtelektrode/ -kontakt

YBa<sub>2</sub>Cu<sub>3</sub>O<sub>7</sub> Yttrium-Barium-Kupferoxid Dickschichtelektrode/ -kontakt

In<sub>2</sub>O<sub>3</sub>-SnO<sub>2</sub> Indiumoxid-Zinnoxid transparente Leiter (Displays)

BaTiO<sub>3</sub> Bariumtitanat Kaltleiter (PTCs)

Sr(Fe,Ti)O<sub>3</sub> Strontium-Eisentitanat resistiver Sauerstoffsensor

(La,Sr)MnO<sub>3</sub> Lanthan-Strontiummanganat Elektrode für HT-Brennstoffzellen

## 2.3 Halbleitende Metalloxide Beschreibung der Eigenschaften mittels Defektchemie



Defektart	Reales Gitter Ideales Gitter	Defektgitter	Kröger-Vink-Notation
Frenkel-Defekt		V ⊖ Ag®	$Null \Longrightarrow Ag_i^{\bullet} + V_{Ag}^{/}$
Schottky-Defekt	Cl- Na+ Cl- Na+ Cl- Cl- Na+ Cl- Na+ Na+ Cl- Na+ Cl- Na+ Cl- Na+ Cl- Na+ Cl- Na+ Cl- Na+	V <sup>⊕</sup>	$Null \rightleftharpoons V_{Cl}^{\bullet} + V_{Na}^{/}$
Elektron-Loch-Paar	[Maier 2000] $ \begin{array}{c ccccccccccccccccccccccccccccccccccc$	⊖ ⊕	$Null \rightleftharpoons e^l + h^{ullet}$

## 2.3 Halbleitende Metalloxide Ladungsneutralität bei Festkörpern



Bei jedem defektchemischen Vorgang bleibt der Festkörper insgesamt elektrisch neutral, d.h. es werden genauso viele positive wie negative Ladungen generiert (Ladungserhaltungssatz).

### Ladungsneutralität

Die Summe der Konzentrationen positiver Spezies  $P_p$  ist gleich der Summe negativer Spezies  $N_n$ .

$$\sum_{p} z_{p} \left[ \mathsf{P}_{p} \right] \equiv \sum_{n} z_{n} \left[ \mathsf{N}_{n} \right]$$

z: Ladungszahl der Spezies

### **Beispiel**

$$\begin{bmatrix} \begin{bmatrix} Ag^{+} & Cl^{-} \end{bmatrix} & Ag^{+} & Cl^{-} \\ \begin{bmatrix} Cl^{-} & Ag^{+} \end{bmatrix} & Cl^{-} & Ag^{+} \\ Ag^{+} & Cl^{-} \end{bmatrix} & Ag^{+} & Cl^{-} \\ Ag^{+} & Cl^{-} & Ag^{+} \end{bmatrix} & \rightleftharpoons \begin{bmatrix} \begin{bmatrix} Cl^{-} & Ag^{+} \end{bmatrix} & Cl^{-} & Ag^{+} \\ \begin{bmatrix} Cl^{-} & Ag^{+} \end{bmatrix} & Cl^{-} & Ag^{+} \\ Ag^{+} & Cl^{-} \end{bmatrix} & Ag^{+} & Cl^{-}$$

## 2.3 Halbleitende Metalloxide Anwendung des Massenwirkungsgesetzes



**Gegeben:** Defektchemische Reaktion

$$\alpha A + \beta B \rightleftharpoons \gamma C + \delta D$$

A, B, C, D beteiligte Reaktanden  $\alpha$ ,  $\beta$ ,  $\gamma$ ,  $\delta$  stöchiometrische Koeffizienten

Die Reaktion ist im Gleichgewicht, wenn die Hin- und Rückreaktion mit der gleichen Rate abläuft. Im Gleichgewicht gilt das Massenwirkungsgesetz (MWG).

#### 1. Schritt

Alle Reaktionspartner auf eine Seite bringen

*Null* 
$$\rightleftharpoons \gamma C + \delta D - (\alpha A + \beta B)$$

#### 2. Schritt

Umschreiben der Reaktionsgleichung in Konzentrationen und Anwendung des MWG.

Arithmetik: Addition → Multiplikation

Subtraktion  $\rightarrow$  Division Koeffizient  $\rightarrow$  Potenz

$$\frac{\left[\mathsf{C}\right]^{\gamma} \cdot \left[\mathsf{D}\right]^{\delta}}{\left[\mathsf{A}\right]^{\alpha} \cdot \left[\mathsf{B}\right]^{\beta}} = K_{C}\left(T\right) = K_{0} \cdot \exp\left(-\frac{\Delta G_{0}}{kT}\right)$$

[A], [B], [C], [D]: Konzentrationen

 $\Delta G_0$ : freie Reaktionsenthalpie

 $K_0$ : Konstante T: Temperatur

## 2.3 Halbleitende Metalloxide Beispiel: Intrinsische Konzentration von Elektronen und Löchern



a) Reaktionsgleichung

Generation eines Elektron-Loch-Paares

$$Null \rightleftharpoons e^l + h^{\bullet}$$
  $e^l$  : Elektron  $h^{\bullet}$  : Loch

b) Massenwirkungsgesetz

$$\left[e^{\prime}\right] \cdot \left[h^{\bullet}\right] = K_{C}(T) = K_{0} \cdot \exp\left(-\frac{\Delta G_{0}}{kT}\right)$$

c) Ladungsneutralität

$$\lceil e' \rceil = \lceil h^{\bullet} \rceil$$

### ⇒ Intrinsische Konzentration

$$[e'] = [h^{\bullet}] = \sqrt{K_0} \cdot \exp\left(-\frac{\Delta G_0}{2 \cdot kT}\right)$$

### Analogie zu klassischen Halbleitern

$$n = p = N_{eff} \cdot \exp\left(-\frac{W_G}{2 \cdot kT}\right) \longrightarrow \begin{bmatrix} e' \end{bmatrix} = n$$
$$\begin{bmatrix} h^{\bullet} \end{bmatrix} = p$$
$$\sqrt{K_0} = N_{eff}$$
$$\Delta G_0 = W_G$$

## 2.3 Halbleitende Metalloxide Beispiel: Elektronenkonzentration bei Donatordotierung



### a) Reaktionsgleichung

Ionisierung eines Lanthan-Donators (La) auf dem A-Platz in Strontiumtitanat (SrTiO<sub>3</sub>)

$$La_{Sr}^{x} \rightleftharpoons La_{Sr}^{\cdot} + e^{l} \longrightarrow Null \rightleftharpoons La_{Sr}^{\cdot} + e^{l} - La_{Sr}^{x}$$

b) Massenwirkungsgesetz

$$\frac{\left[\mathsf{La}_{\mathsf{Sr}}^{\bullet}\right] \cdot \left[\mathsf{e}'\right]}{\left[\mathsf{La}_{\mathsf{Sr}}^{\mathsf{x}}\right]} = \mathcal{K}_{0} \cdot \mathsf{exp}\left(-\frac{\Delta \mathcal{G}_{0}}{kT}\right)$$

c) Ladungsneutralität

$$\left[ La_{Sr}^{\bullet} \right] \! = \! \left[ e^{/} \right]$$

In Störstellenreserve sind nur wenige Donatoren ionisiert:

$$N_D = \left[ La_{Sr}^x \right] + \left[ La_{Sr}^{\bullet} \right] \approx \left[ La_{Sr}^x \right]$$

⇒ Konzentrationen der Elektronen

$$\left[e^{\prime}\right] = \left[La_{Sr}^{\bullet}\right] = \sqrt{K_0 N_D} \cdot \exp\left(-\frac{\Delta G_0}{2 \cdot kT}\right)$$

### Analogie zu klassischen Halbleitern

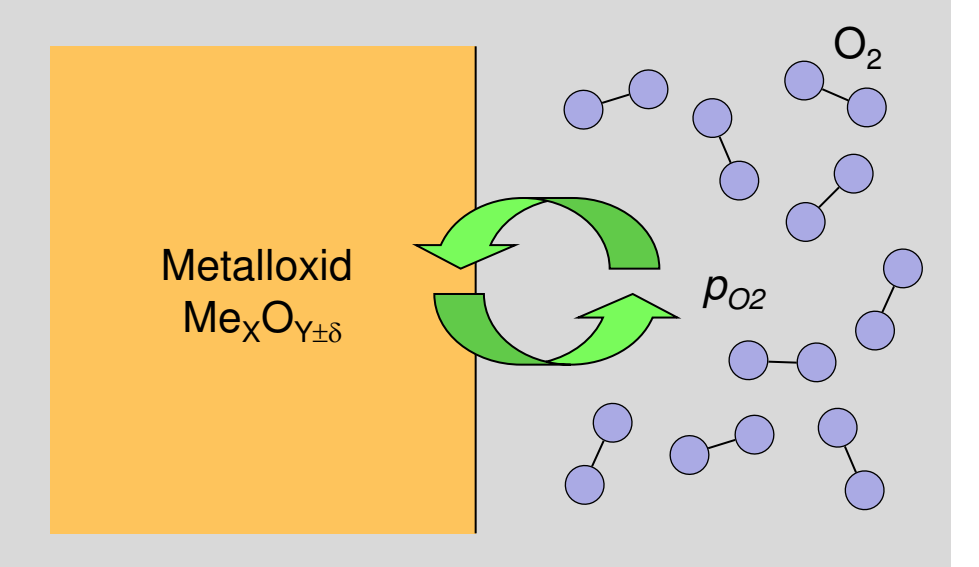
$$n = N_D^+ = \sqrt{N_L N_D} \cdot \exp\left(-\frac{\Delta W_D}{2 \cdot kT}\right)$$

Prof. Dr.-Ing. Ellen Ivers-Tiffée – Passive Bauelemente

### 2.3 Halbleitende Metalloxide Sauerstoffaustausch bei Metalloxiden



### Sauerstoffein- und -ausbau



 $p_{O2}$ : Sauerstoffpartialdruck (Anteil des Sauerstoffs am Gesamtdruck der Atmosphäre)

z.B. in Luft bei 20 °C gilt  $p_{O2} \approx 0,21$  atm

Je nach Sauerstoffpartialdruck (Konzentration) in der umgebenden Gasatmosphäre werden Sauerstoffatome in das Gitter ein- oder aus dem Gitter ausgebaut, bis das Gleichgewicht erreicht ist (MWG).

Je nach Situation entstehen entweder Sauerstoff- oder Metallleerstellen.

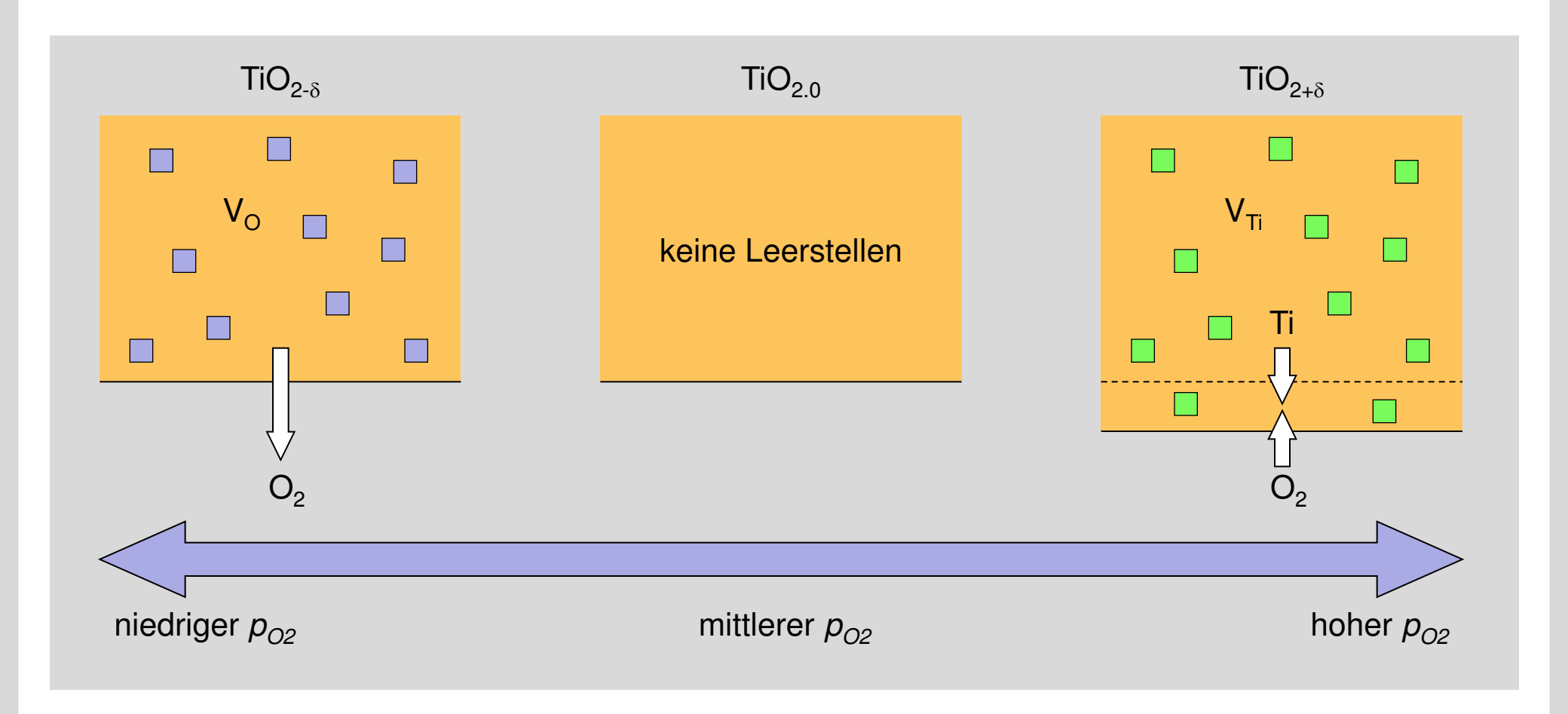
Welchen Einfluss dieser Austausch auf die elektronischen Eigenschaften des Festkörpers ausübt und inwiefern sich der Effekt in einer Anwendung nutzen lässt, wird im Folgenden untersucht.



Sauerstoffsensor?

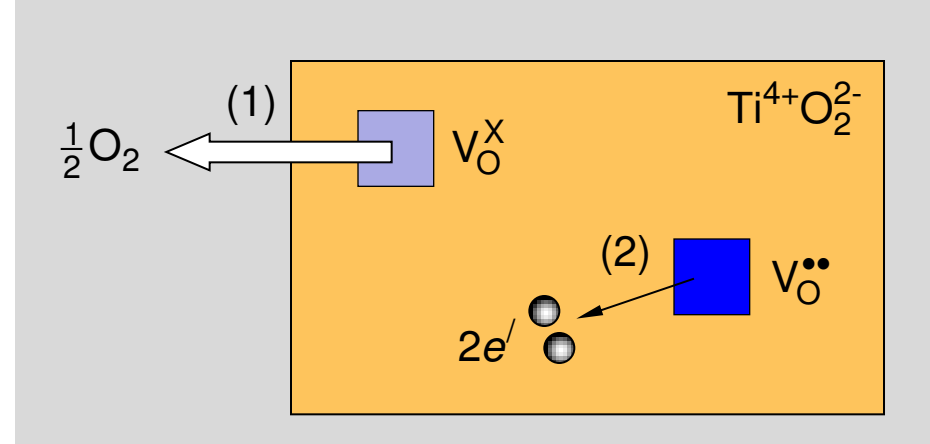
# 2.3 Halbleitende Metalloxide Sauerstoffaustausch am Beispiel von Titanoxid (TiO<sub>2</sub>)





# 2.3 Halbleitende Metalloxide Defektchemische Beschreibung des Sauerstoffausbaus





Sauerstoffausbau

(1) 
$$O_0^X \rightleftharpoons V_0^X + \frac{1}{2}O_2(g) \uparrow$$

Ionisierung der Störstellen (Donatoren)

(2) 
$$V_O \rightleftharpoons V_O^{\bullet \bullet} + 2e^{-1}$$

Gesamtreaktion (Summe)

$$O_{\mathsf{O}}^{\mathsf{X}} \rightleftharpoons \mathsf{V}_{\mathsf{O}}^{\bullet \bullet} + 2e^{\mathsf{I}} + \frac{1}{2}\mathsf{O}_{2}(g) \uparrow$$

Massenwirkungsgesetz

$$k(T) = \frac{\sqrt{p_{O_2}} \cdot [V_O^{\bullet \bullet}] \cdot [e^{-1}]^2}{[O_O^X]}$$

Elektroneutralität

$$n = [e^{\prime}] = 2 \cdot [V_{O}^{\bullet \bullet}]$$

Elektronenkonzentration (n-Leitung)

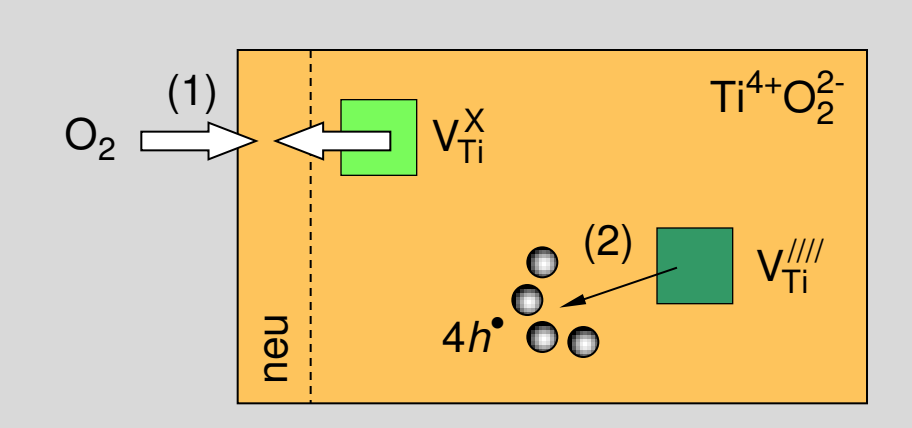
$$n = \left(2 \cdot [O_O^X] \cdot k(T)\right)^{1/3} \cdot p_{O_2}^{-1/6}$$

Elektrische Leitfähigkeit

$$\sigma_{el} \sim {p_{O_2}}^{-1/6}$$

# 2.3 Halbleitende Metalloxide Defektchemische Beschreibung des Sauerstoffeinbaus





Sauerstoffeinbau

(1) 
$$O_2(g) + Ti_{Ti}^X \rightleftharpoons V_{Ti}^X + (Ti_{Ti}^X + 2O_0^X)_{neu}$$

Ionisierung der Störstellen (Akzeptoren)

(2) 
$$V_{Ti}^X \rightleftharpoons V_{Ti}^{////} + 4h^{\bullet}$$

Gesamtreaktion (Summe)

$$O_2(g) \downarrow \rightleftharpoons V_{Ti}^{////} + 4h^{\bullet} + 2O_O^X$$

Massenwirkungsgesetz

$$k(T) = \frac{[V_{Ti}^{////}] \cdot [h^{\bullet}]^{4} \cdot [O_{O}^{X}]^{2}}{p_{O_{2}}}$$

Elektroneutralität

$$p = [h^{\bullet}] = 4 \cdot [V_{Ti}^{////}]$$

Löcherkonzentration (p-Leitung)

$$p = \left(\frac{4 \cdot k(T)}{[O_0^X]^2}\right)^{+1/5} \cdot p_{O_2}^{+1/5}$$

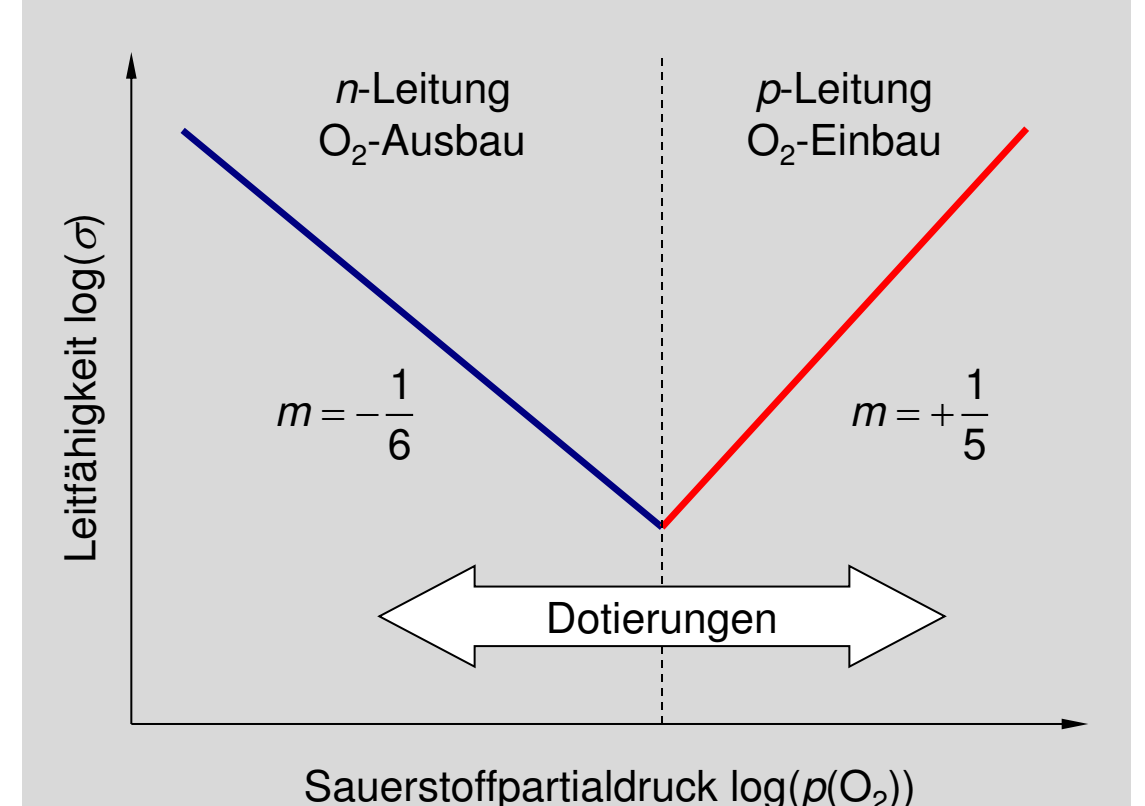
Elektrische Leitfähigkeit

$$\sigma_{el} \sim p_{O_2}^{+1/5}$$

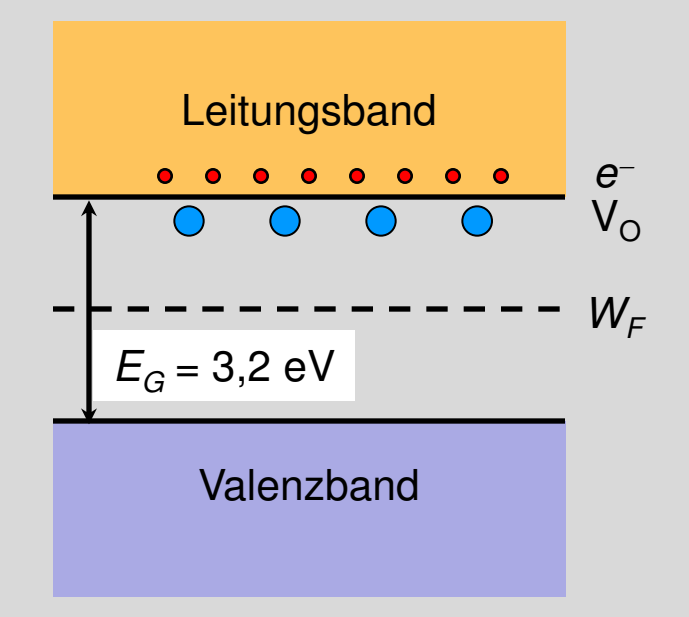
# 2.3 Halbleitende Metalloxide Leitfähigkeit über Sauerstoffpartialdruck und Bandschema von TiO2



Elektronische Leitfähigkeit in Abhängigkeit des Sauerstoffpartialdrucks (theoretischer Verlauf)



Bandschema von Titanoxid im Fall von Sauerstoff-Defizit  ${\rm TiO}_{2\mbox{-}\delta}$ 



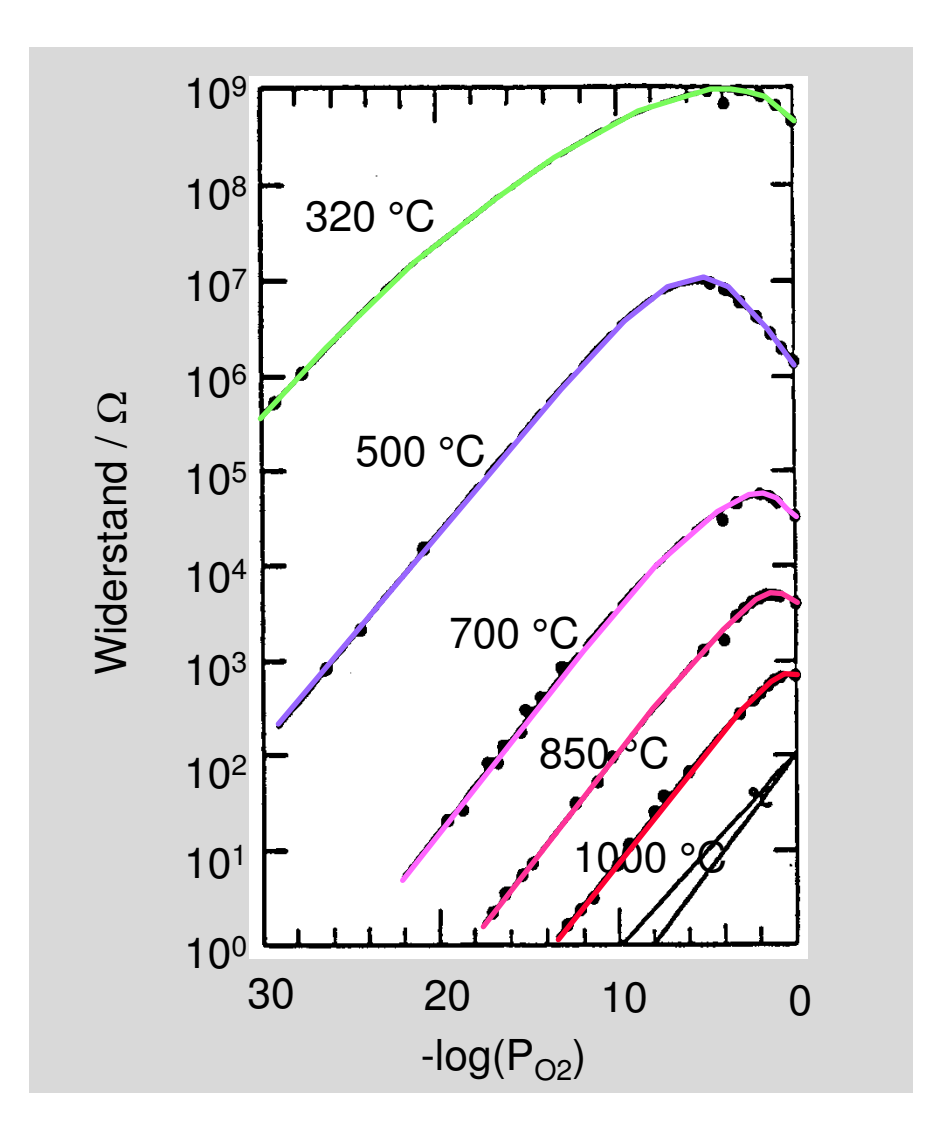
 $W_F$ : Fermienergie  $E_G$ : Bandabstand

V<sub>O</sub>: Sauerstoffleerstellen

e-: Elektronen im Leitungsband

# 2.3 Halbleitende Metalloxide Reale Widerstandskennlinien von TiO<sub>2</sub> und Temperaturabhängigkeit





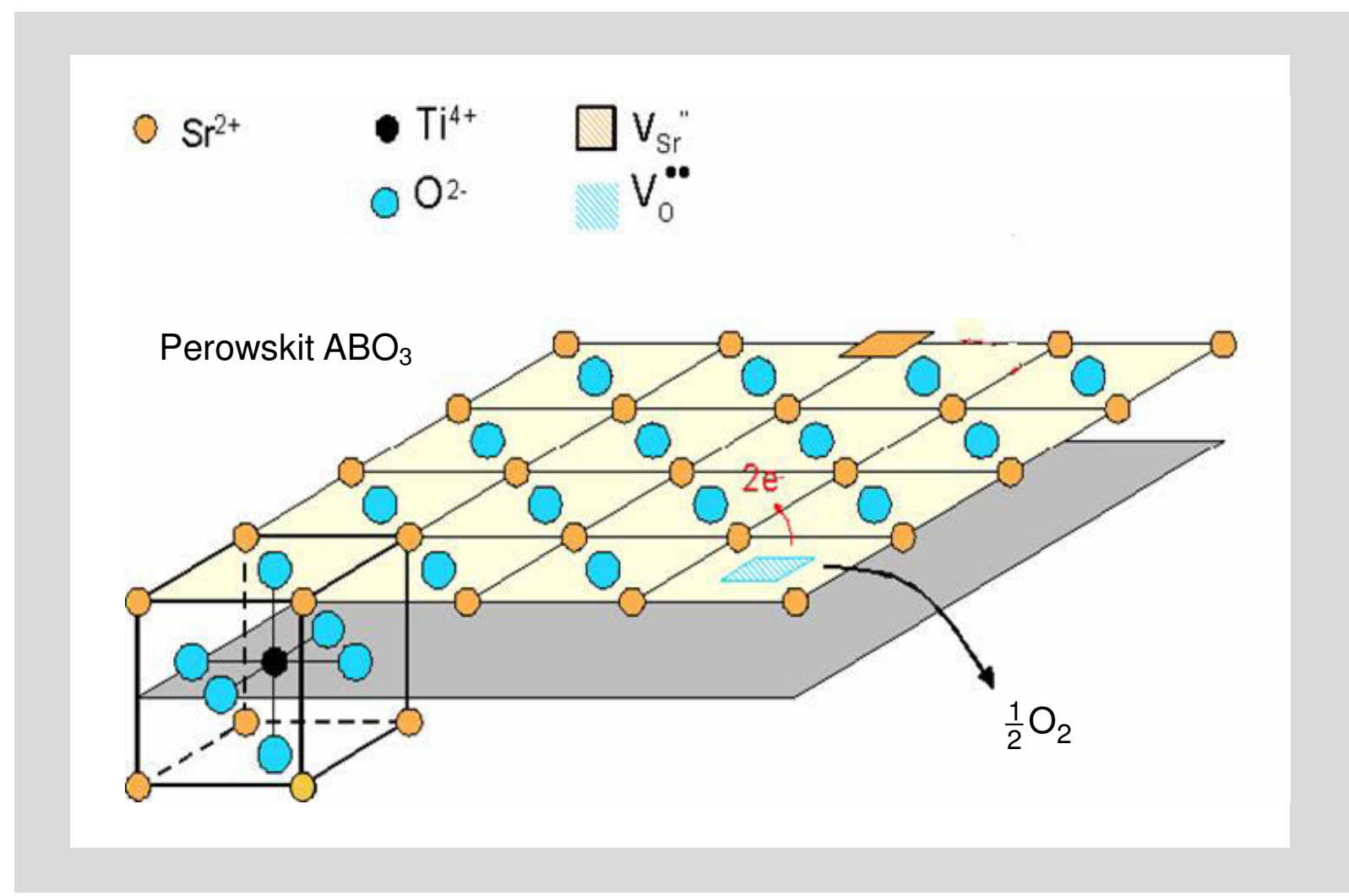
Kennlinien stark temperaturabhängig. Effekt prinzipiell als Sauerstoffsensor nutzbar, jedoch nicht TiO<sub>2</sub>.

#### **Alternatives Material**

Strontium-Eisentitanat Sr(Ti,Fe)O<sub>3</sub>

# 2.3 Halbleitende Metalloxide Sauerstoffausbau in Perowskit Strontiumtitanat (SrTiO<sub>3</sub>)





# 2.3 Halbleitende Metalloxide Defektkonzentrationen bei akzeptordotiertem Strontiumtitanat



### **Akzeptordotiertes Strontiumtitanat**

 $Sr(Ti,Fe)O_3$  (Eisen auf Titan-Platz)

Folgende Reaktionen laufen (thermisch aktiviert) bei konstantem  $p_{O2}$  ab:

Sauerstoffausbau

$$O_0^{\mathsf{X}} \rightleftharpoons V_0^{\bullet \bullet} + 2e^{\mathsf{I}} + \frac{1}{2}O_2(g) \uparrow$$

Generation von Elektron-Loch-Paaren

$$Null \rightleftharpoons e^l + h^{\bullet}$$

In akzeptordotiertem Strontiumtitanat dominiert p-Leitung. Bei dominanter Löcherleitung und großen  $p_{O2}$  vereinfacht sich die Ladungsbilanz zu:

$$[\text{Fe}_{\text{Ti}}^{/}] \approx p + 2 \cdot [V_{\text{O}}^{\bullet \bullet}]$$

### Massenwirkungsgesetz

$$\left[ V_{O}^{\bullet \bullet} \right] \cdot n^{2} \cdot \sqrt{p_{O_{2}}} = \left[ O_{O}^{x} \right] \cdot k_{1} \cdot \exp \left( -\frac{\Delta G}{kT} \right)$$

$$n \cdot p = k_{2} \cdot \exp \left( -\frac{E_{G}}{kT} \right)$$

Mit  $\sigma = e p \mu_p$  folgt:

$$\sigma \sim \exp\left(-\frac{E_G - \frac{1}{2}\Delta G}{kT}\right) \cdot p_{O_2}^{+1/4}$$

Prof. Dr.-Ing. Ellen Ivers-Tiffée – Passive Bauelemente

### 2.3 Halbleitende Metalloxide Weiterführende Veranstaltungen



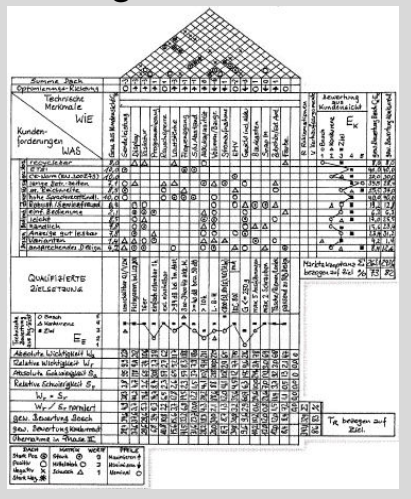
### Systematische Produktentwicklung in der Sensorik

Wintersemester 2 SWS (Master)

Dr.-Ing. J. Riegel (Fa. Bosch)

Prof. Dr.-Ing. E. Ivers-Tiffée

Dr.-Ing. W. Menesklou



#### Inhalt

- Lambda-Sonde
- alternativeAbgassensoren
- Produktentwicklung
- Design of Experiments
- Qualitätsmanagement
- praktischer Versuch

#### Sensoren

Wintersemester 2 SWS (Master)

Dr.-Ing. W. Menesklou



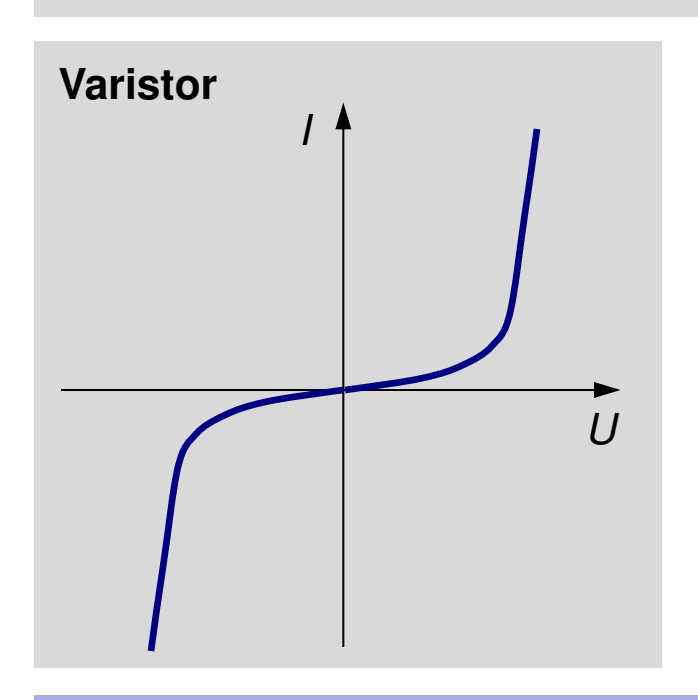
#### Inhalt

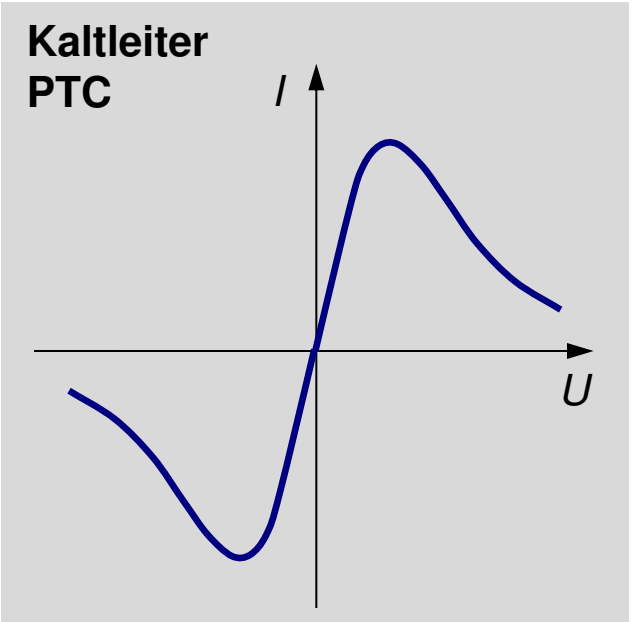
- Temperatursensoren
- Mech. Sensoren
- Chemische Sensoren
- Bio Sensoren
- Gassensoren
- Optische Sensoren
- · Magnet. Sensoren ...

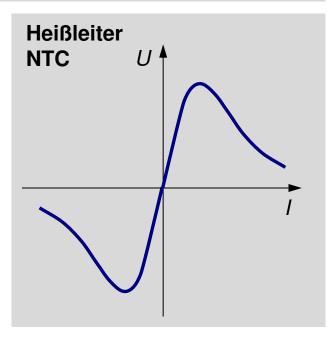
# 2.3 Halbleitende Metalloxide Weiteres Anwendungsgebiet: Nichtlineare Widerstände



**Definition:** Nichtlineare Widerstände weisen ein nichtlineares Verhalten in der U/I-Kennlinie auf.







Korngrenzeffekte in Metalloxiden

Widerstandsänderung durch Eigenerwärmung

### 2.3 Halbleitende Metalloxide Überblick nichtlineare Widerstände



Тур	Physikalischer Effekt	Werkstoff
Spannungsabhängiger Widerstand (Varistor)	Korngrenzphänomene in halbleitenden Metalloxiden	n-dotiertes ZnO
Kaltleiter (PTC)	Korngrenzphänomene in halbleitenden Ferroelektrika und Eigenerwärmung	n-dotiertes BaTiO <sub>3</sub> $\sigma \approx 10^210^3$ S/m
Heißleiter (NTC)	Hoppingleitung in Metalloxiden und Eigenerwärmung	Spinelle, z.B. $(Ni,Mn)_3O_4$ $\sigma \approx 10^{-2}$ S/m

### **Begriffe**

Thermistor: <u>thermally sensitive resistor</u>

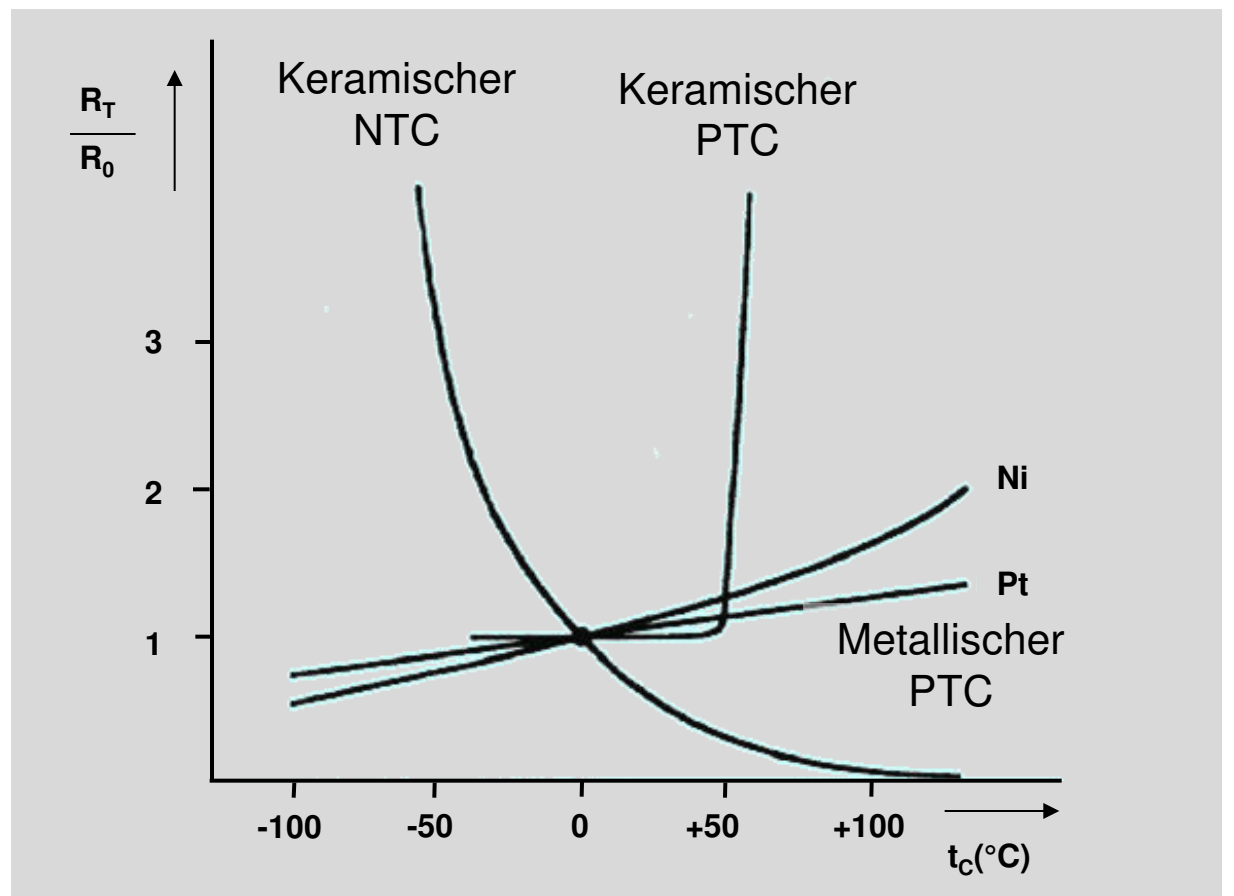
NTC: <u>n</u>egative <u>t</u>emperature <u>c</u>oefficient PTC: <u>p</u>ositive <u>t</u>emperature <u>c</u>oefficient

Varistor: <u>variable resistor</u>

[Schaumburg 1990]

### 2.3 Halbleitende Metalloxide Temperaturabhängige nichtlineare Widerstände: NTC und PTC



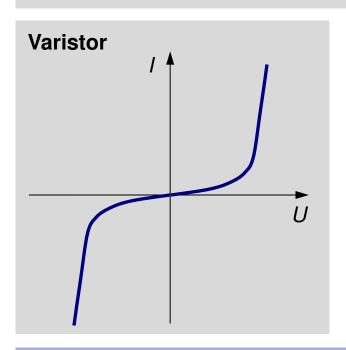


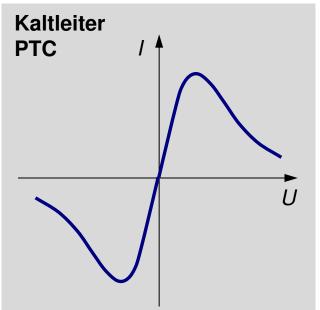
[Bonfig 1995]

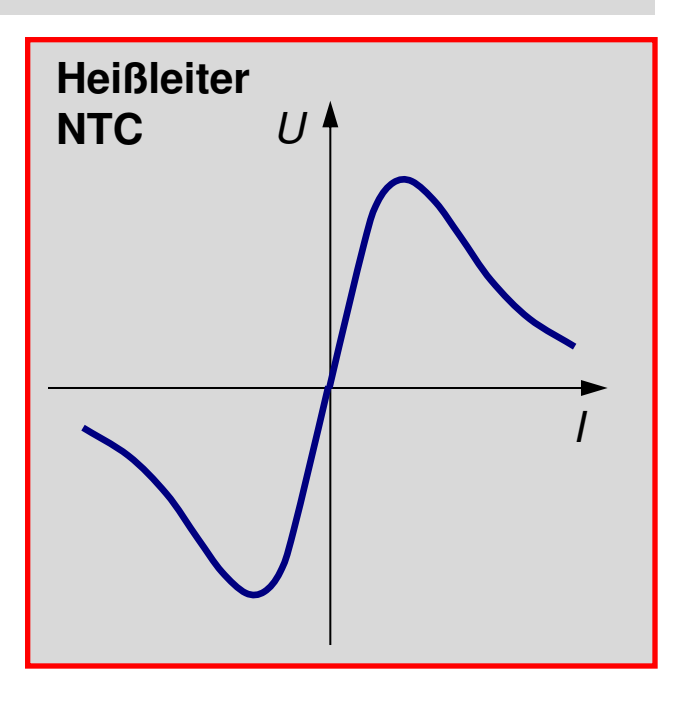
# 2.3 Halbleitende Metalloxide Weiteres Anwendungsgebiet: Nichtlineare Widerstände



**Definition:** Nichtlineare Widerstände weisen ein nichtlineares Verhalten in der U/I-Kennlinie auf.





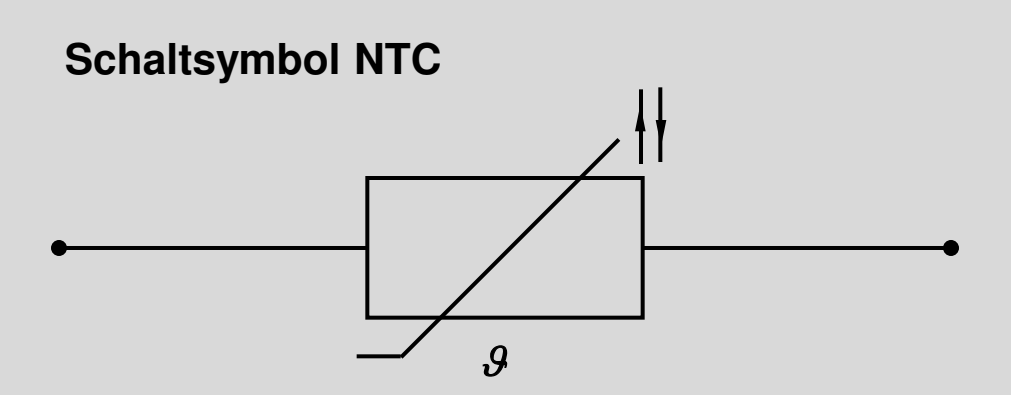


Korngrenzeffekte in Metalloxiden

Widerstandsänderung durch Eigenerwärmung

# 2.3 Halbleitende Metalloxide – Elektronische Hoppingleitung Bauelement: Keramischer Heißleiter (NTC)





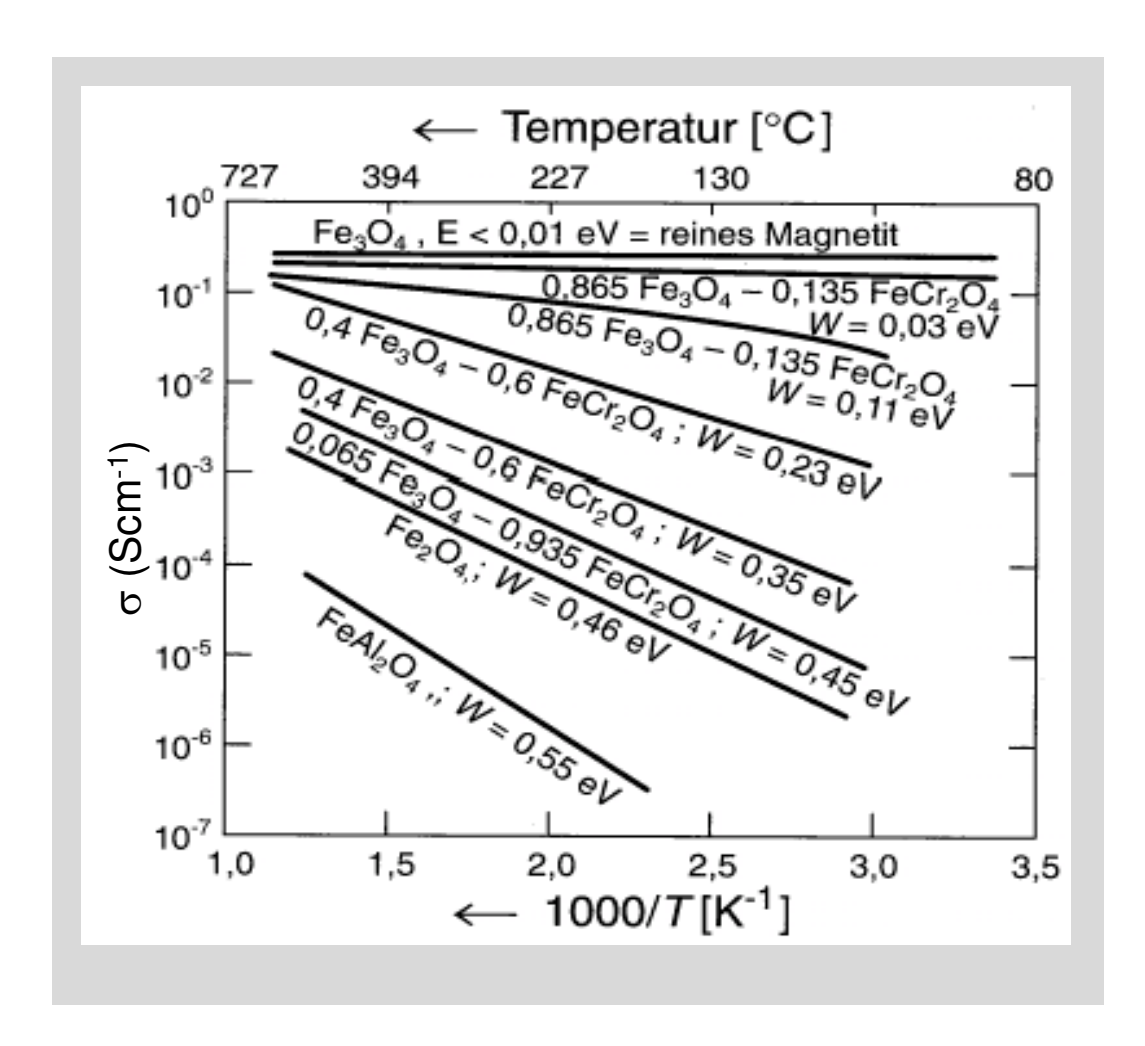


[www.shibako.co.kr]

Funktion basierend auf elektronischer Hoppingleitung

# 2.3 Halbleitende Metalloxide – Elektronische Hoppingleitung Temperaturabhängigkeit verschiedener Eisenoxide (NTC)





Allgemeine Beschreibung des elektrischen Widerstands eines NTC

$$R(T) = \frac{I}{en\mu(T) \cdot d^2} \approx A \cdot e^{\frac{B}{T}}$$

A,B Materialkonstanten

' Länge

*d*<sup>2</sup> Querschnitt

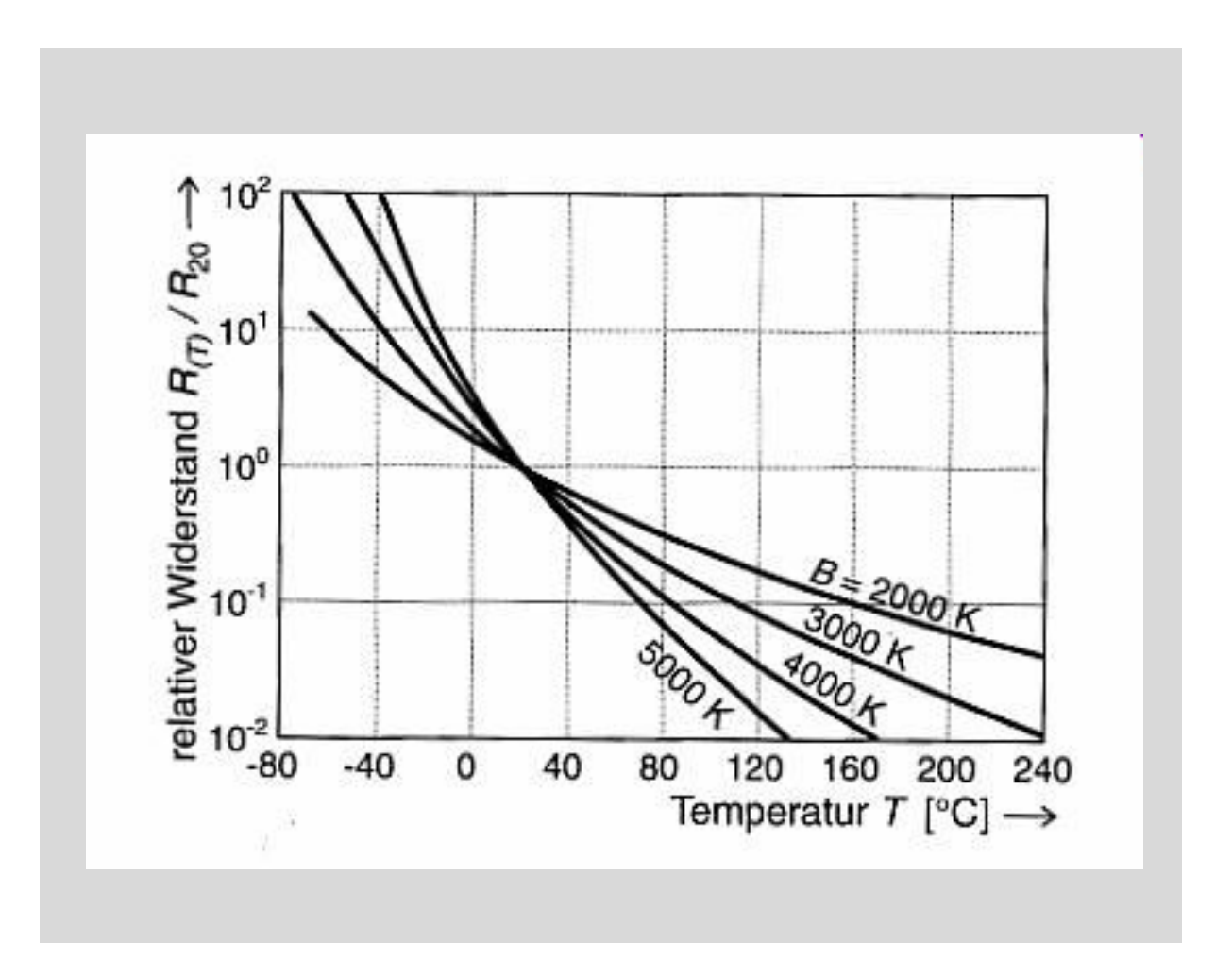
R elektrischer Widerstand

T Temperatur in K

[Weißmantel 1995 & Fasching 1994]

# 2.3 Halbleitende Metalloxide – Elektronische Hoppingleitung Normbezogene Widerstandskennlinie des NTCs





Formel bezogen auf Nennwiderstand  $R_N$ 

$$R(T) = R_N \cdot \exp\left[B \cdot \left(\frac{1}{T} - \frac{1}{T_N}\right)\right]$$

Temperaturkoeffizient:

$$\alpha = \frac{1}{R} \cdot \frac{dR}{dT} = -\frac{B}{T^2}$$

B Materialkonstante

R elektrischer Widerstand

 $R_N$  Widerstand bei  $T = T_N$ 

T Temperatur in K

 $T_N$  Bezugstemperatur

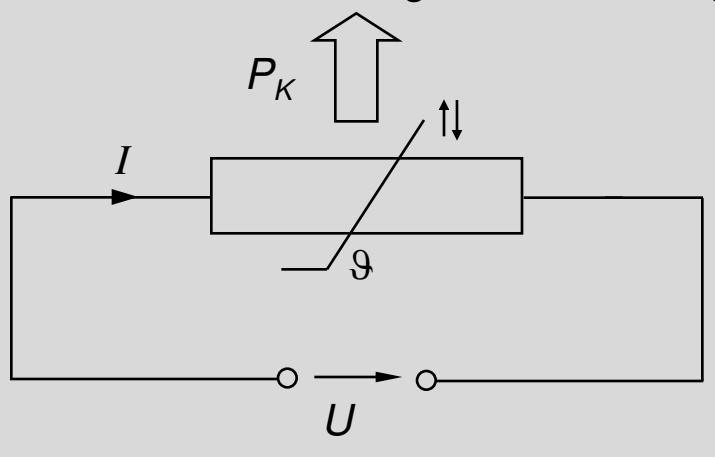
 $\alpha$  Temperaturkoeffizient

[Weißmantel 1995 & Fasching 1994]

# 2.3 Halbleitende Metalloxide – Elektronische Hoppingleitung Modellierung der U/I-Kennlinie eines NTCs mit Eigenerwärmung



Durch Konvektion abgeführte Leistung



Im thermischen Gleichgewicht ist  $P_{el} = P_K$ 

$$P_K = \alpha_K \cdot A_0 \cdot (T - T_U) = G_{th} \cdot (T - T_U)$$

$$U \cdot I = \frac{U^2}{R(T)} = I^2 \cdot R(T) = G_{th} \cdot (T - T_U)$$

gültig für T < 350 °C da Strahlungswärme unberücksichtigt

T: Temperatur des NTC

 $T_U$ : Umgebungstemperatur

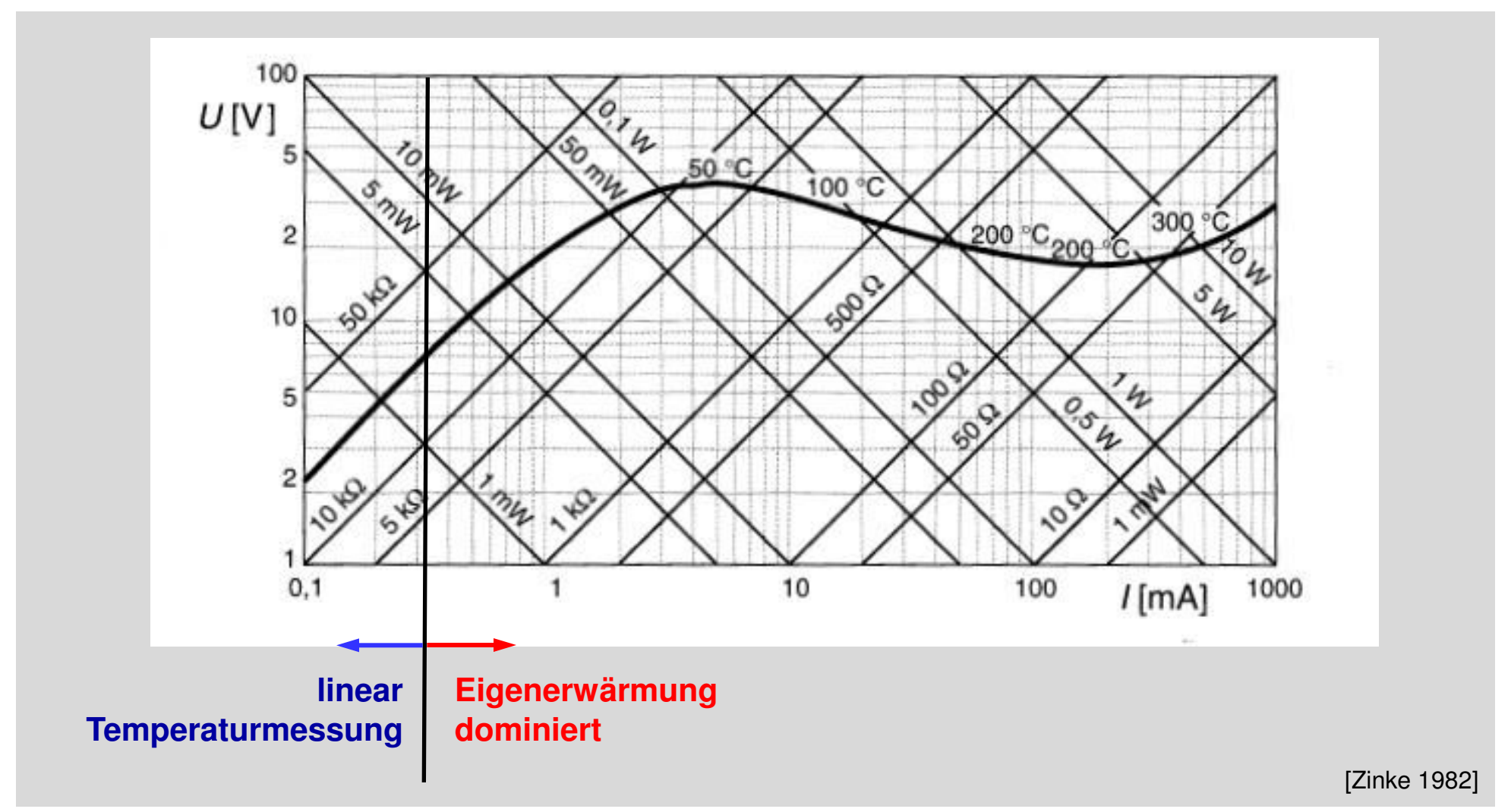
*G<sub>th</sub>*: Wärmeleitwert

 $\alpha_{\rm K}$  : Wärmeübergangszahl

A<sub>0</sub>: Oberfläche des NTC

# 2.3 Halbleitende Metalloxide – Elektronische Hoppingleitung Nichtlineare U/I-Kennlinie des NTCs aufgrund Eigenerwärmung

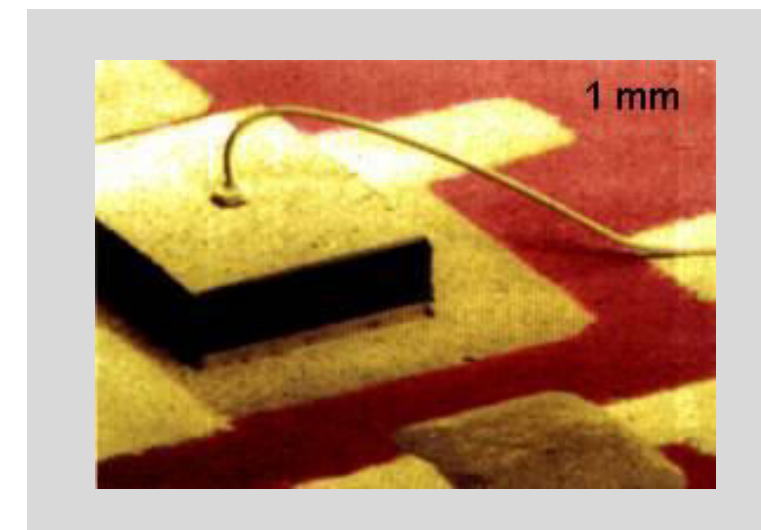


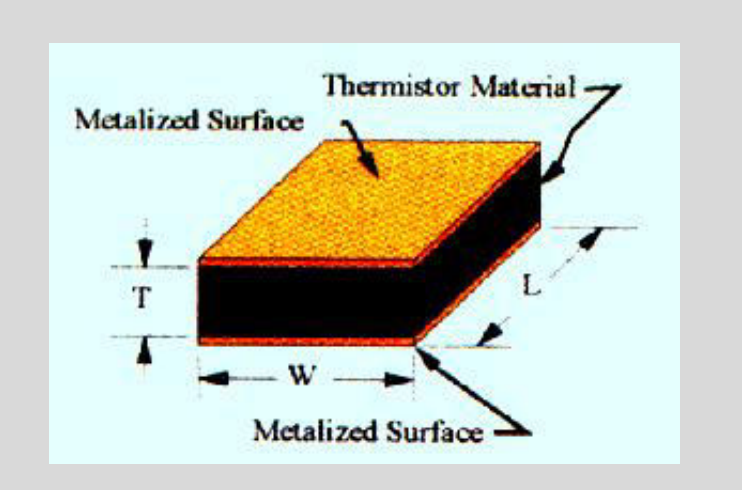




# 2.3 Halbleitende Metalloxide – Elektronische Hoppingleitung Heißleiter als Chip Thermistor







[BetaTherm]

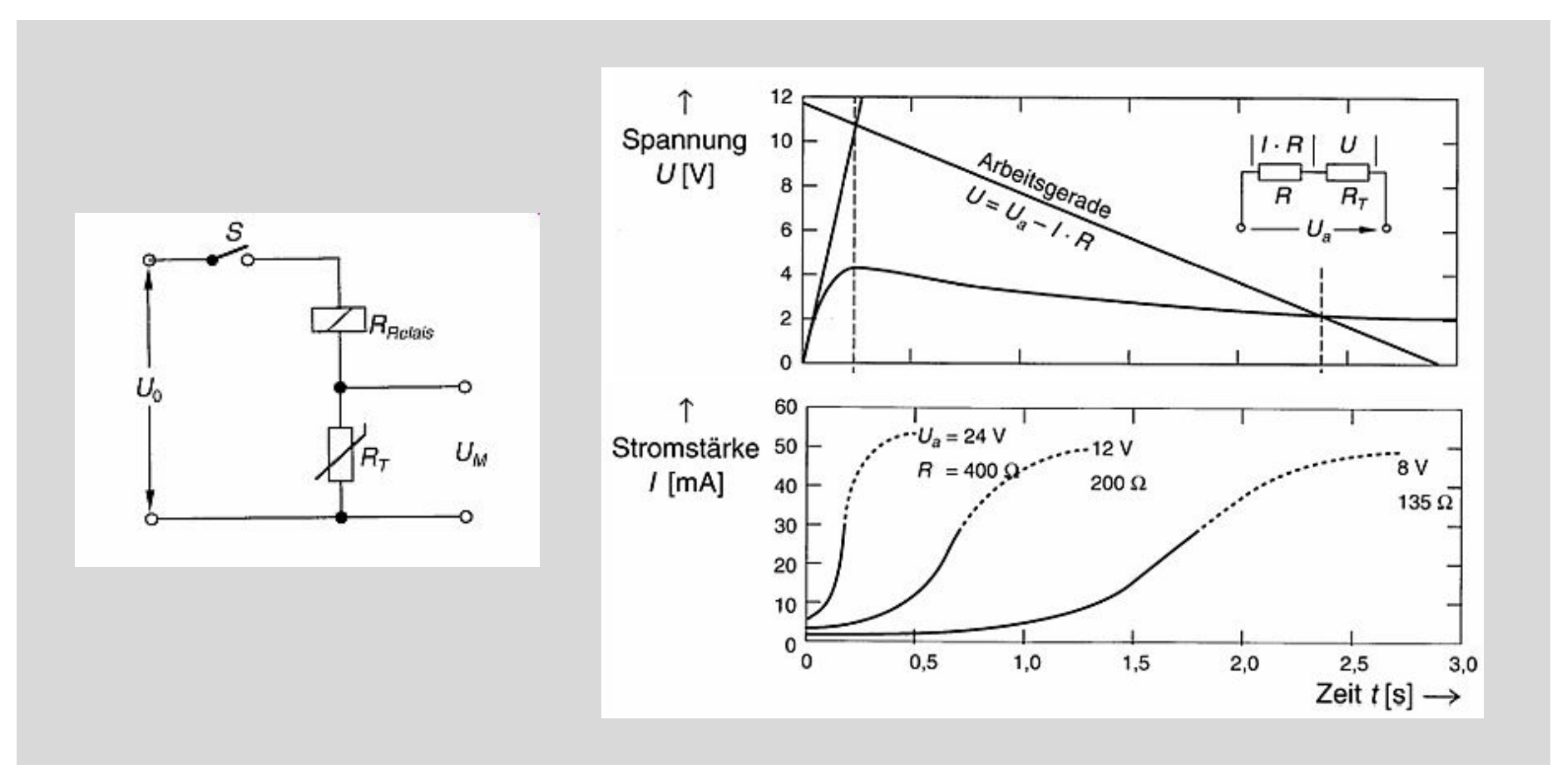
### **Chip Thermistor Features**

schnelle Antwortzeit (< 1 s in Flüssigkeiten)

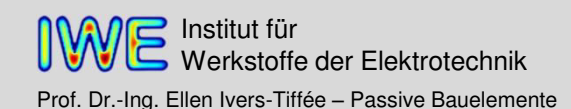
- 1%, 2%, 5%, 10% Genauigkeit
- 1 mW/K Verlustleistung (in Luft bei 25 °C)
- Nennwiderstand  $R_{25^{\circ}C}=100, 1000 \dots 1 M\Omega$
- Temperaturkoeffizienten  $\alpha_{25^{\circ}\text{C}}$ = 3,68 ;  $B_{0/50^{\circ}\text{C}}$ =3263
- Metallisierung: Ag, Au

# 2.3 Halbleitende Metalloxide – Elektronische Hoppingleitung Einschaltverzögerungsschaltung (sog. Anlassheißleiter)



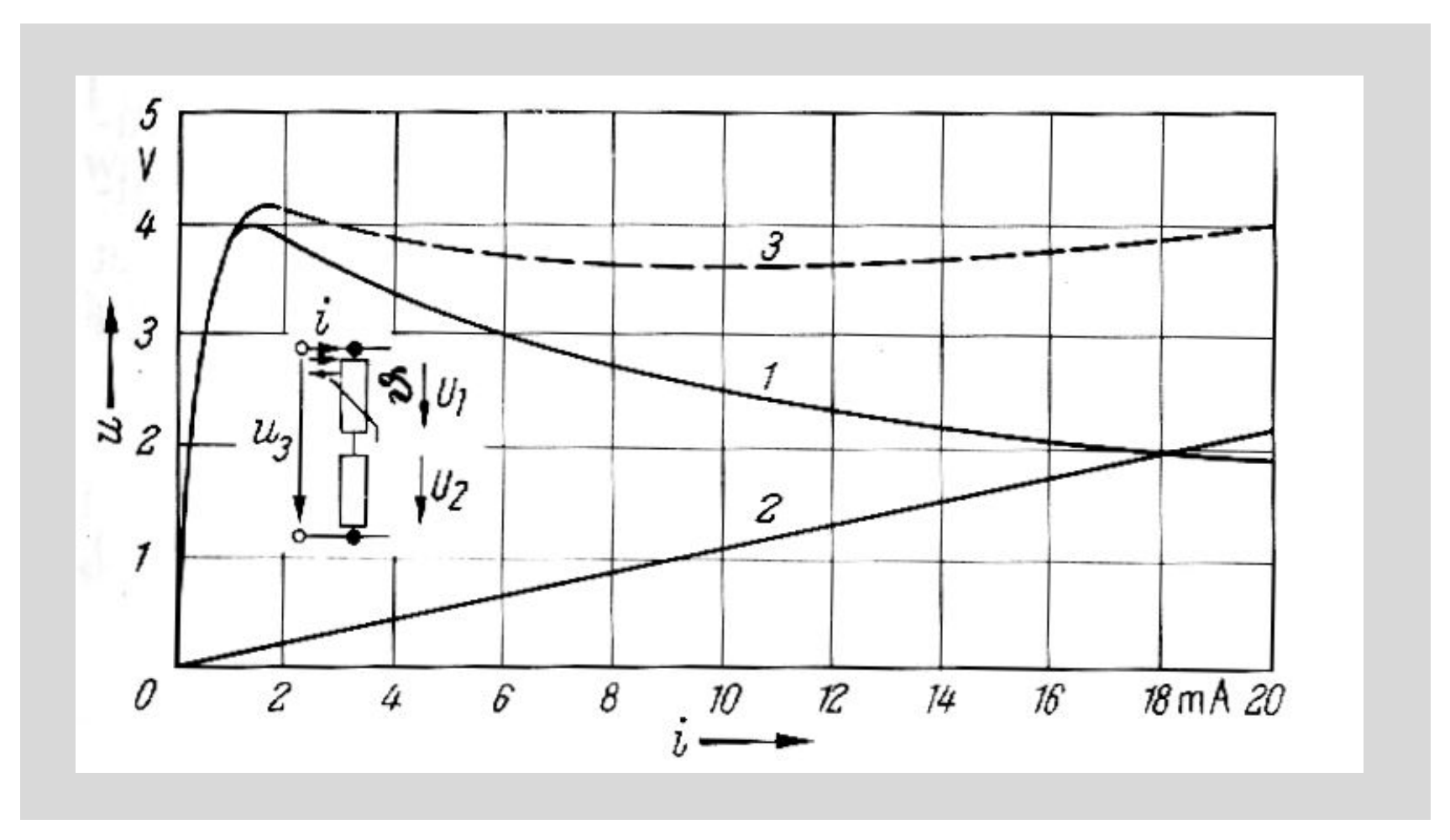


[Schaumburg 1994]



# 2.3 Halbleitende Metalloxide – Elektronische Hoppingleitung NTC zur Spannungsstabilisierung





[Zinke 1982]

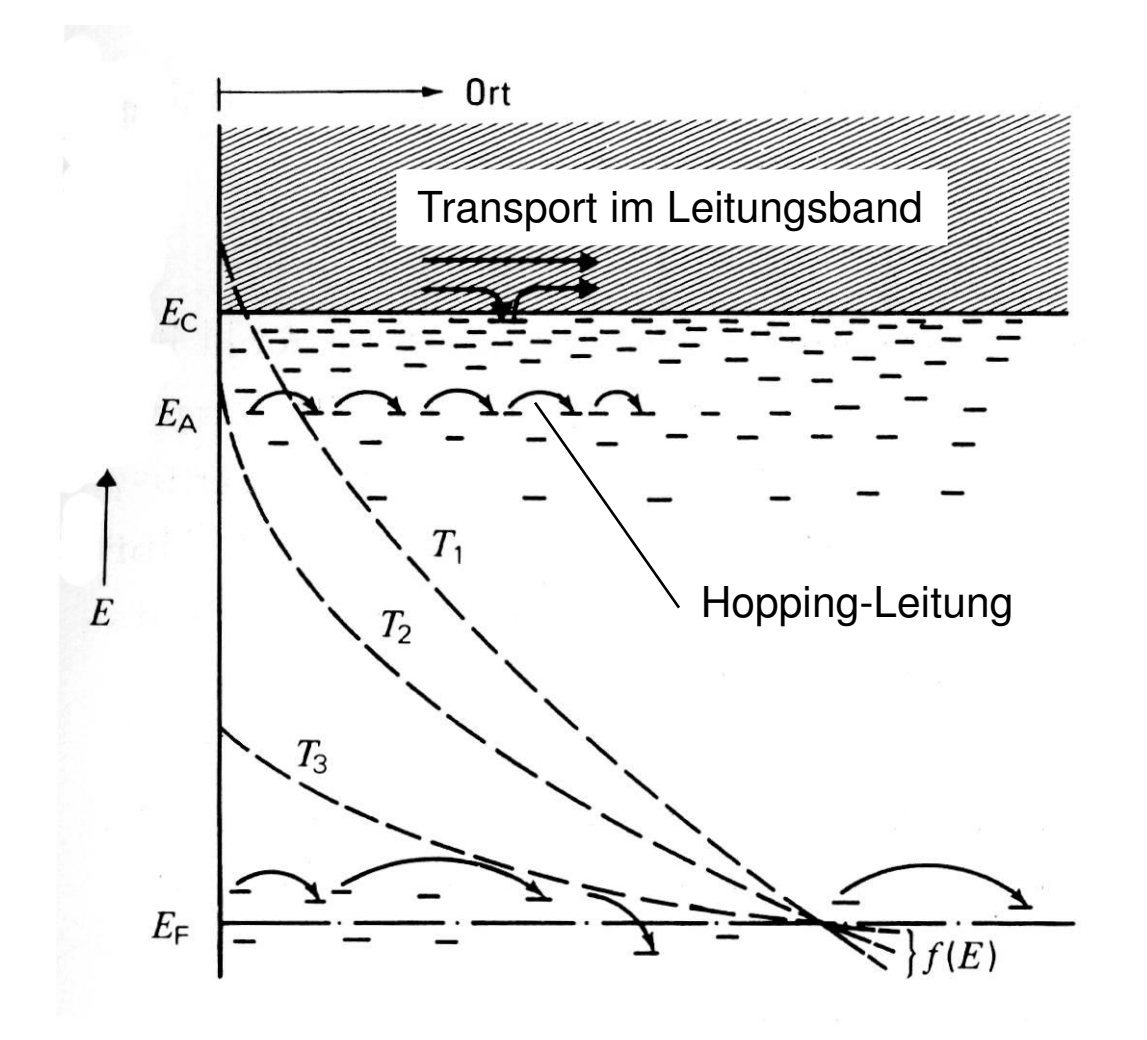
# 2.3 Halbleitende Metalloxide – Elektronische Hoppingleitung Das Prinzip der elektronischen Hoppingleitung



### Hoppingleitung

Reicht die thermische Energie der Ladungsträger nicht aus, um diese ins Leitungsband zu heben, so zeigt sich bei bestimmten Materialen trotzdem eine gewisse elektrische Leitfähigkeit – entgegen der Vorhersage des Bändermodells. Bei diesem Leitungsprozess, genannt Hoppingleitung, springen die Ladungsträger je nach räumlichem und energetischem Abstand der Haftstellen thermisch angeregt von einer Haftstelle zur anderen (Hopping).

[Heywang 1984]



# 2.3 Halbleitende Metalloxide – Elektronische Hoppingleitung Oxidationszahlen bzw. Wertigkeiten der Elemente



	1	2	3	4	5	6	7	8	9	10	11	12	13	14	15	16	17	18
	1 1,008																	2 4,003
1	H																	He
Ш	<u></u> (-1)		•															
	3 6,941	4 9,012											5 10,81	6 12,01	7 14,01	8 16,00	9 19,00	10 20,18
2	Li	Be											В	C	N	0	F	Ne
	1	<u>2</u>											<u>3</u>	<u>-4,4</u> (2)	<u>-3</u> (2,3,4,5)	<u>-2</u> (-1)	-1	
	11 22,99	12 24,31											13 26,98	14 28,09	15 30,97	16 32,06	17 35,45	18 39,95
3	Na	Mg											ΑI	Si	Р	S	CI	Ar
	1	<u>2</u>											<u>3</u>	<u>4</u>	<u>5</u>	<u>6</u>	<u>-1</u>	
H	19 39,10	20 40,08	21 44,96	22 47,87	23 50,94	24 52,00	25 54,94	26 55,85	27 58,93	28 58,69	29 63,55	30 65,41	3 31 69,72	(-4) 32 72,64	(-3,3) 33 74,92	(-2,2,4) 34 78,96	(1,3,5,7) 35 79,90	36 83,80
4	K	Ca	Sc	Ti	V	Cr	Mn	Fe	Co	Ni	Cu	Zn	Ga	Ge	As	Se	Br	Kr
-	1	<u>2</u>	<u>3</u>	<u>4</u>	5	3	2	3	2	<u>2</u>	<u>2</u>	<u>2</u>	3 3	4	3 3	4	-1	
	_			3	(0,2,3,4)	(0,2,6)	(-1,0,3,4,6,7)	(-2,0,2,6)	(-1,0,3)	(0,3)	(1)			_	(-3,5)	(-2,6)	(1,3,5,7)	(2)
	37 85,47	38 87,62	39 88,91	40 91,22	41 92,91	42 95,94	43 (98)	44 101,1	45 102,9	46 106,4	47 107,9	48 112,4	49 114,8	50 118,7	51 121,8	52 127,6	53 126,9	54 131,3
5	Rb	Sr	Υ	Zr	Nb	Мо	Tc	Ru	Rh	Pd	Ag	Cd	In	Sn	Sb	Te		Xe
	1	2	<u>3</u>	<u>4</u>	<u>5</u> (3)	<u>6</u> ('0,2,3,4,5)	<u>7</u>	3,4 (-2,0,2,6,8)	<u>1,3</u> (0,2,4,5)	<u>2</u> (0,4)	1 (2)	<u>2</u>	<u>3</u>	<u>2,4</u>	<u>3</u> (-3,5)	<u>4</u> (-2,6)	<u>-1</u> (1,5,7)	(2,4,6)
	55 132,9	56 137,3	57 - 71	72 178,5	73 180,9	74 183,8	75 186,2	76 190,2	77 192,2	78 195,1	79 197,0	80 200,6	81 204,4	82 207,2	83 209,0	84 (209)	85 (210)	86 (222)
6	Cs	Ba	La-Lu	Hf	Ta	W	Re	Os	lr	Pt	Au	Hg	TI	Pb	Bi	Ро	At	Rn
	1	2		<u>4</u>	<u>5</u>	<u>6</u>	<u>7</u>	<u>4</u>	<u>1,4</u>	<u>2,4</u>	<u>3</u>	<u>2</u>	1	<u>2</u>	<u>3</u>	<u>4</u>	<u>-1</u>	
Ш	07 (000)	00 (000)				(0,2,3,4,5)	(-1,2,4,6)	(-2,0,2,3,6,8)	(-1,0,2,3,6)	(0)	(1)	(1)	(3)	(4)	(5)	(2,6)	(1,3,5,7)	(2)
	87 (223)	88 (226)	89 - 103															
[/]	Fr	Ra	Ac-Lr															
	1	<u>2</u>																

	57 138,9	58 140,1	59 140,9	60 (145)	61 (145)	62 150,4	63 152,0	64 157,3	65 158,9	66 162,5	67 164,9	68 167,3	69 168,9	70 173,0	71 175,0
Lanthanoide	La	Ce	Pr	Nd	Pm	Sm	Eu	Gd	Tb	Dy	Но	Er	Tm	Yb	Lu
	<u>3</u>	<u>3</u>	<u>3</u>	<u>3</u>											
		(4)	(4)			(2)	(2)		(4)				(2)	(2)	
	89 (227)	90 232,0	91 231,0	92 238,0	93 (237)	94 (244)	95 (243)	96 (247)	97 (247)	98 (251)	99 (252)	100 (257)	101 (258)	102 (259)	103 (262)
Actinoide	Ac	Th	Pa	U	Np	Pu	Am	Cm	Bk	Cf	Es	Fm	Md	No	Lr
	<u>3</u>	<u>4</u>	<u>5</u>	<u>6</u>	<u>5</u>	<u>4</u>	<u>3</u>	<u>3</u>	<u>3</u>	<u>3</u>	<u>3</u>	<u>3</u>	<u>3</u>	<u>2</u>	<u>3</u>
			(4)	(3,4,5)	(3,4,6)	(3,5,6)	(4,5,6)	(4)	(4)	(4)				(3)	1

# 2.3 Halbleitende Metalloxide – Elektronische Hoppingleitung Valenzaustausch bei Elemente mit mehreren Wertigkeiten



Werkstoffe: Oxide der Metalle z.B. Mn, Fe, Co, Ni, Cu, Zn (Übergangsmetalle)

Bindungstyp: überwiegend oder teilweise heteropolare (Ionen-) Bindung

(Metalle: Kationen, Sauerstoff: Anion)

Halbleitende Eigenschaften entstehen durch Wertigkeitswechsel der Kationen im Oxid. Ladungstransport über Hopping-Mechanismus ("Durchreichen" der Wertigkeiten)

Elemente
Wertigkeiten

Ti	V	Cr	Mn	Fe	Co	Ni	Cu	Zn
	+2	+2	+2	+2	+2	+2	+2	+2
+3	+3	+3	+3	+3	+3	+3		
+4	+4	+4	+4	+4				
	+5							

Gitterstruktur:  $A^{2+} B^{3+}_{2} O^{2-}_{4}$  (Spinell)

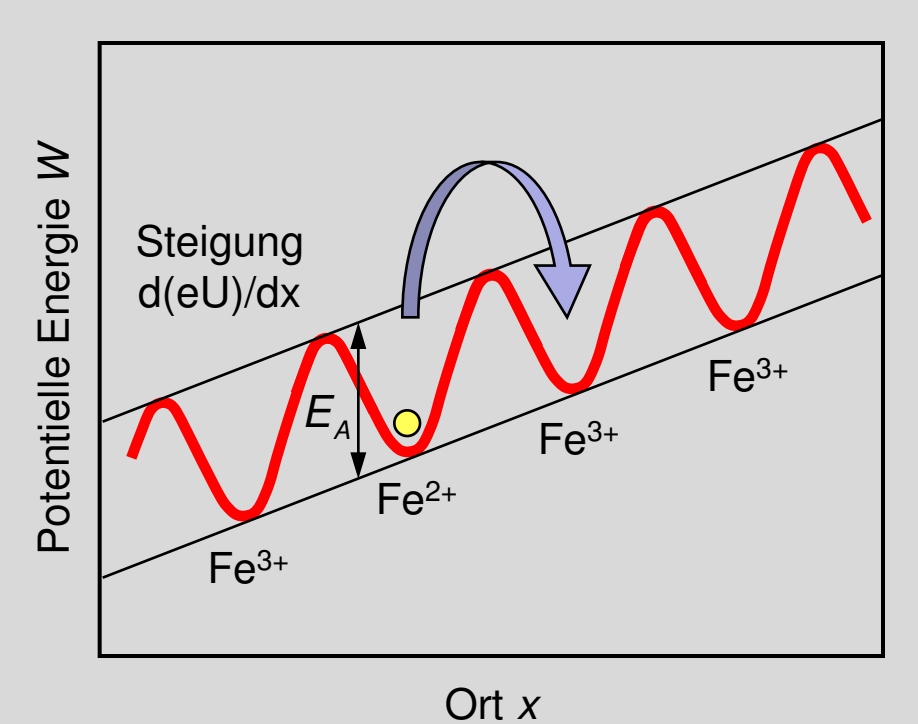
typischer Heißleiter: Ni<sup>2+</sup> Mn<sup>3+</sup><sub>2</sub> O<sup>2-</sup><sub>4</sub>

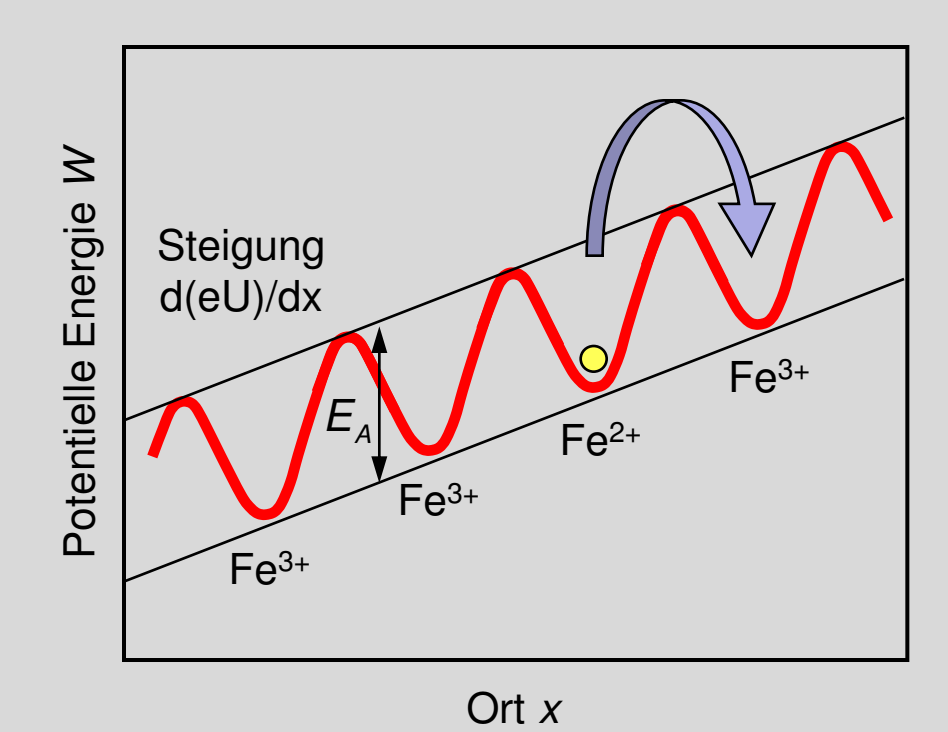
### 2.3 Halbleitende Metalloxide – Elektronische Hoppingleitung

### Das Prinzip der elektronischen Hoppingleitung: Platzwechselvorgänge von Elektronen



### Hopping von Elektronen am Beispiel Fe<sub>3</sub>O<sub>4</sub>





Beim Hopping muss die Energie  $E_A$  überwunden werden. Nehmen die Elektronen thermische Energie aus der Umgebung auf, so steigt die Wahrscheinlichkeit für den Platzwechsel.

# 2.3 Halbleitende Metalloxide – Elektronische Hoppingleitung Schwach ausgeprägte Orbital-Überlappung (schmale Bänder)

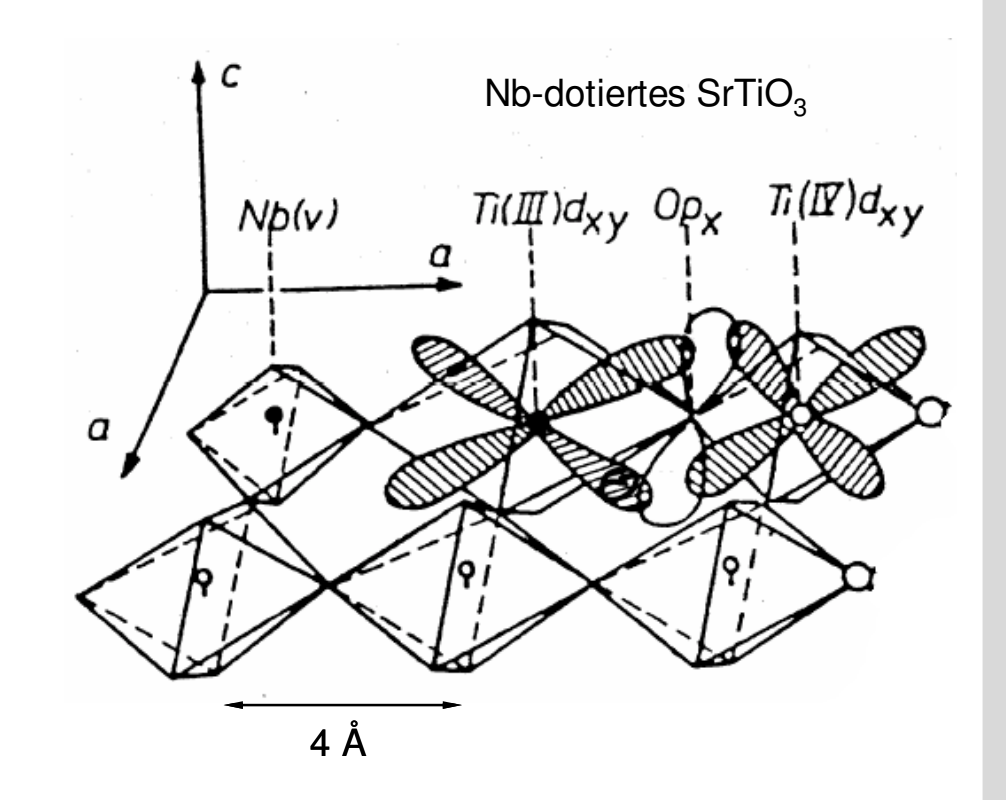


#### Lokalisierte Zustände

Phänomen der elektrischen Leitfähigkeit, bei der die Ladungsträger einer Probe nur in die lokalisierten Bandzustände angeregt werden.

Die Beweglichkeit der Elektronen ist reduziert, sie können nur noch von einem lokalisierten Zustand in einen benachbarten springen. Die Elektronen nehmen thermische Energie auf und tunneln zu benachbarten lokalisierten Zuständen.

Dieser Übergang setzt sich aus zwei Phasen zusammen: Während der ersten Phase muss das Elektron mindestens so viel Energie aufnehmen, um den Energieunterschied zwischen den beiden Zuständen überwinden zu können. In der zweiten Phase tunnelt es in den benachbarten Zustand. Die Wahrscheinlichkeit dafür wird durch den Überlapp der Wellenfunktionen der beiden Zustände bestimmt.

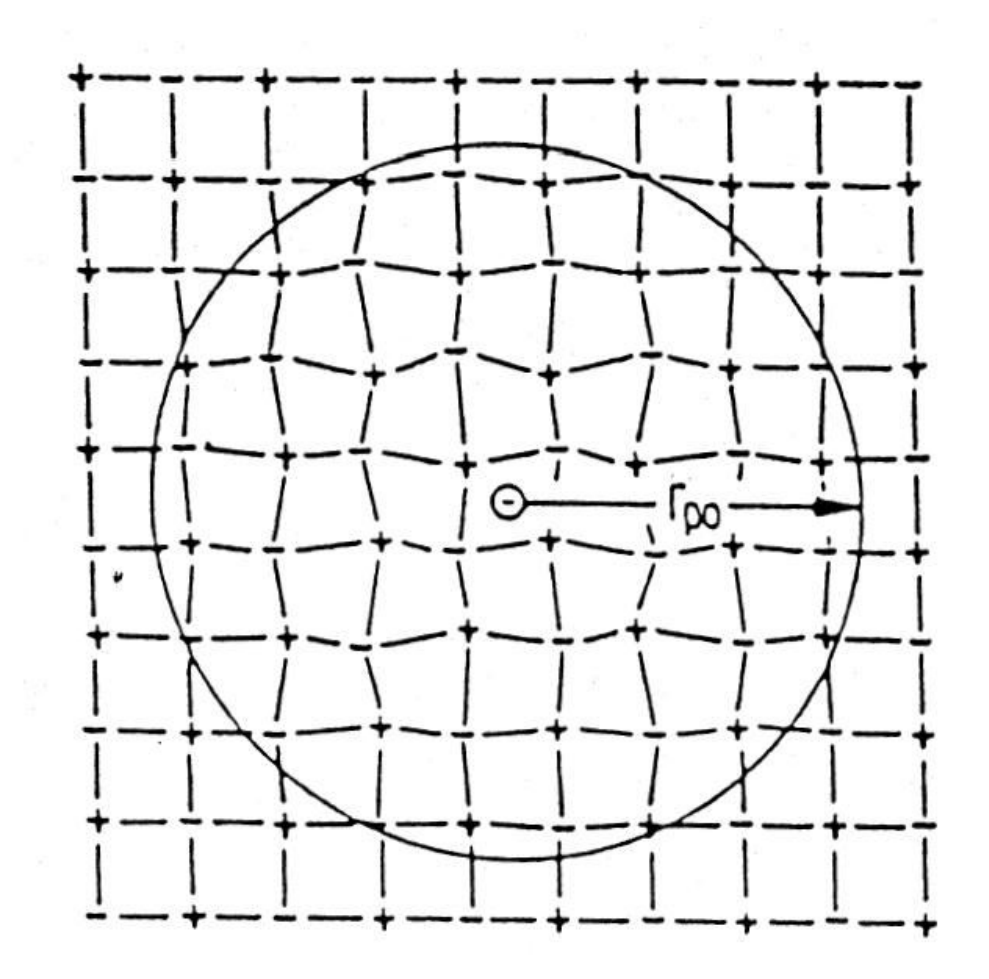


# 2.3 Halbleitende Metalloxide – Elektronische Hoppingleitung Beweglichkeit bei Hoppingleitung: Polaronen



Bei schwach ausgeprägter Orbital-Überlappung (schmale Bänder) treten die Elektronen in Wechselwirkung mit den Gitterschwingungen. Die Elektronen polarisieren ihre Umgebung und verzerren sie dabei. Den Zustand "Elektron + Verzerrungsfeld" nennt man Polaron. Dieser Zustand muss beim Transport aufgebrochen werden.

[Maier 2000]



# 2.3 Halbleitende Metalloxide – Elektronische Hoppingleitung Beweglichkeit der Ladungsträger bei Hopping



### Diffusionskonstante für Polaronen

$$D = (1 - c)a^2 v_0 \cdot \exp\left(-\frac{E_A}{kT}\right)$$

 $E_A$ : Aktivierungsenergie

1-c: Anteil der unbesetzten Plätze

a: Sprungabstand

 $v_0$ : Schwingfrequenz (Debye-Frequenz)

Einstein-Beziehung:  $\mu = \frac{q \cdot D}{k \cdot T}$ 

### Beweglichkeit

$$\mu = \frac{q(1-c)a^2 v_0}{kT} \exp\left(-\frac{E_A}{kT}\right)$$

*q*: Ladung

T: Temperatur (in Kelvin)

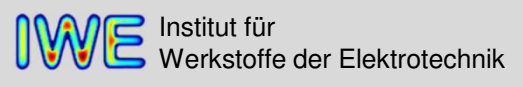
Ist die Konzentration *n* der ungesättigten Valenzen (= Punktdefekte) konstant, was bei vielen Hoppingleitern der Fall ist, so gilt:

$$\sigma(T) = ze_0 n \cdot \mu(T) \sim \frac{1}{T} \exp\left(-\frac{E_A}{kT}\right)$$

[Heywang 1984]



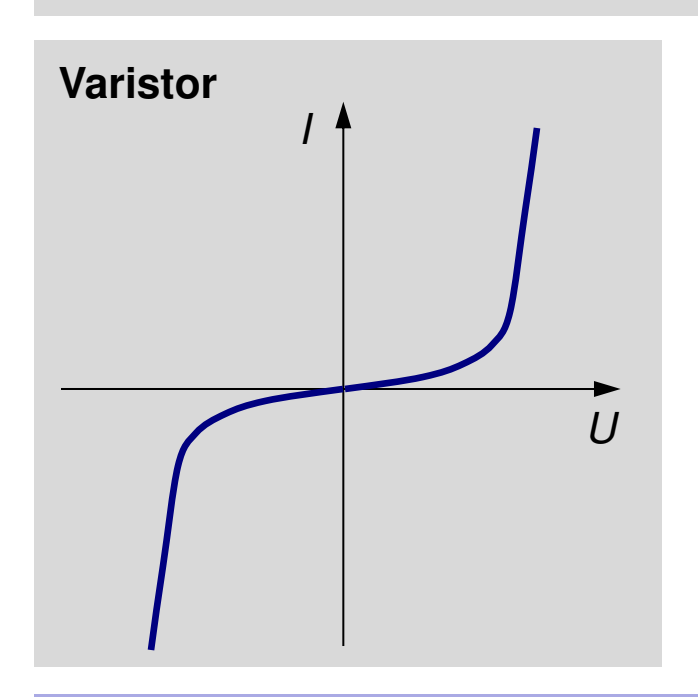
# Vorlesung 7

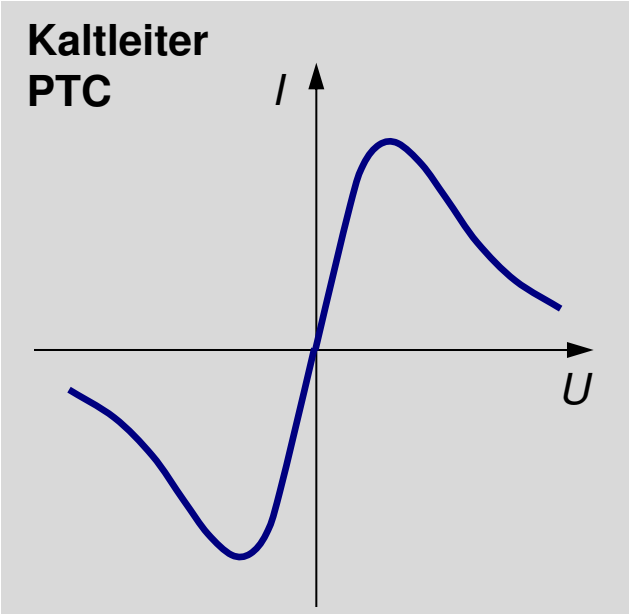


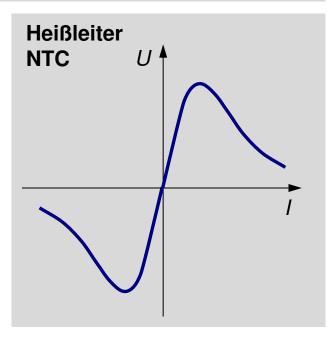
# 2.3 Halbleitende Metalloxide Weiteres Anwendungsgebiet: Nichtlineare Widerstände



**Definition:** Nichtlineare Widerstände weisen ein nichtlineares Verhalten in der U/I-Kennlinie auf.







Korngrenzeffekte in Metalloxiden

Widerstandsänderung durch Eigenerwärmung

### 2.3 Halbleitende Metalloxide Überblick nichtlineare Widerstände



Тур	Physikalischer Effekt	Werkstoff
Spannungsabhängiger Widerstand (Varistor)	Korngrenzphänomene in halbleitenden Metalloxiden	n-dotiertes ZnO
Kaltleiter (PTC)	Korngrenzphänomene in halbleitenden Ferroelektrika und Eigenerwärmung	n-dotiertes BaTiO <sub>3</sub> $\sigma \approx 10^210^3$ S/m
Heißleiter (NTC)	Hoppingleitung in Metalloxiden und Eigenerwärmung	Spinelle, z.B. $(Ni,Mn)_3O_4$ $\sigma \approx 10^{-2}$ S/m

### **Begriffe**

Thermistor: <u>thermally sensitive resistor</u>

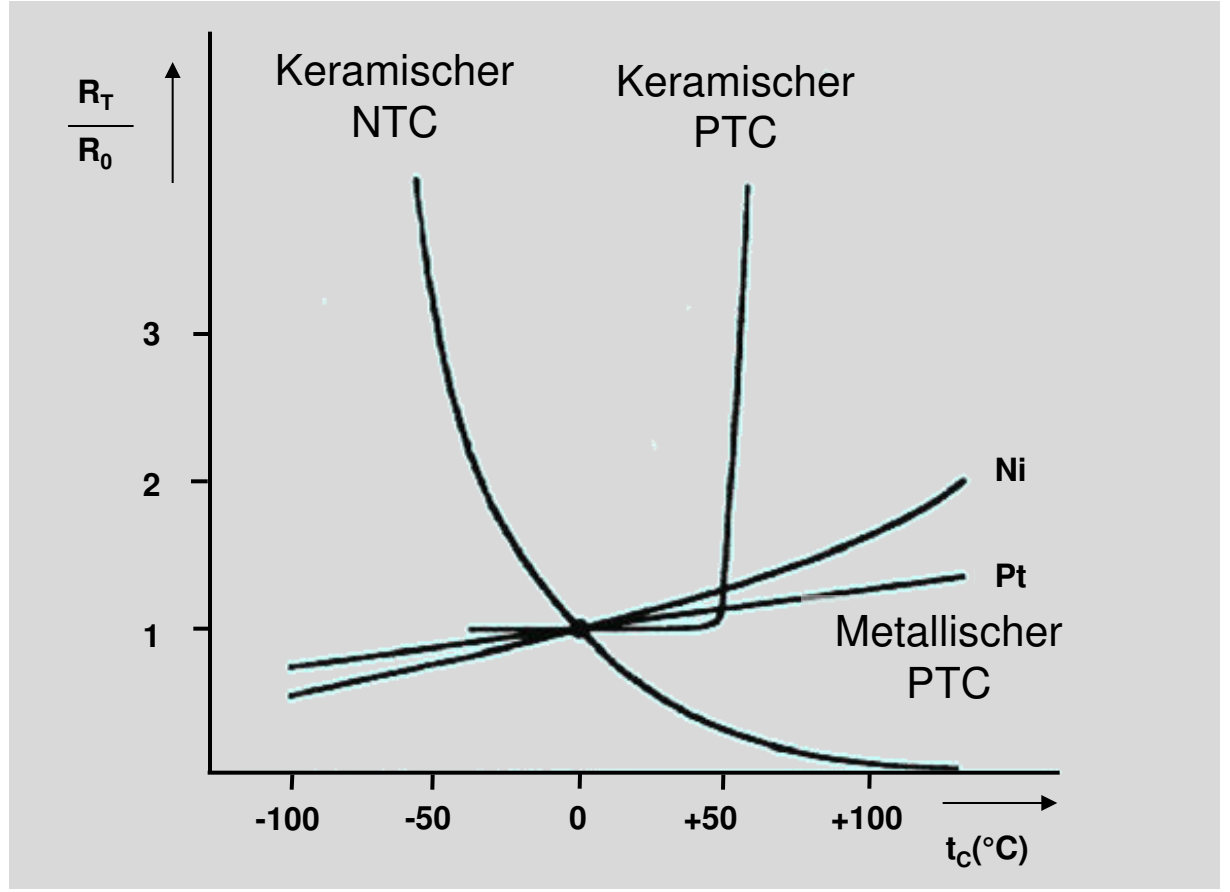
NTC: <u>n</u>egative <u>t</u>emperature <u>c</u>oefficient PTC: <u>p</u>ositive <u>t</u>emperature <u>c</u>oefficient

Varistor: <u>variable resistor</u>

[Schaumburg 1990]

### 2.3 Halbleitende Metalloxide Temperaturabhängige nichtlineare Widerstände: NTC und PTC



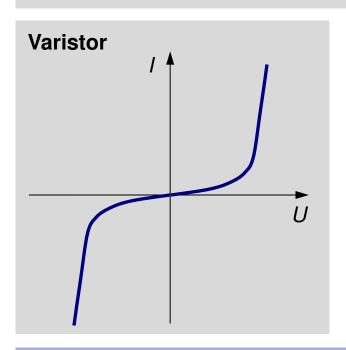


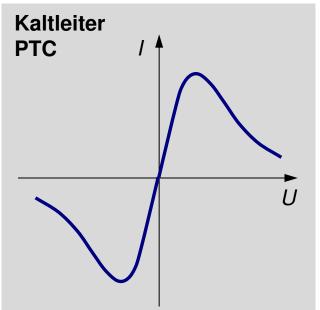
[Bonfig 1995]

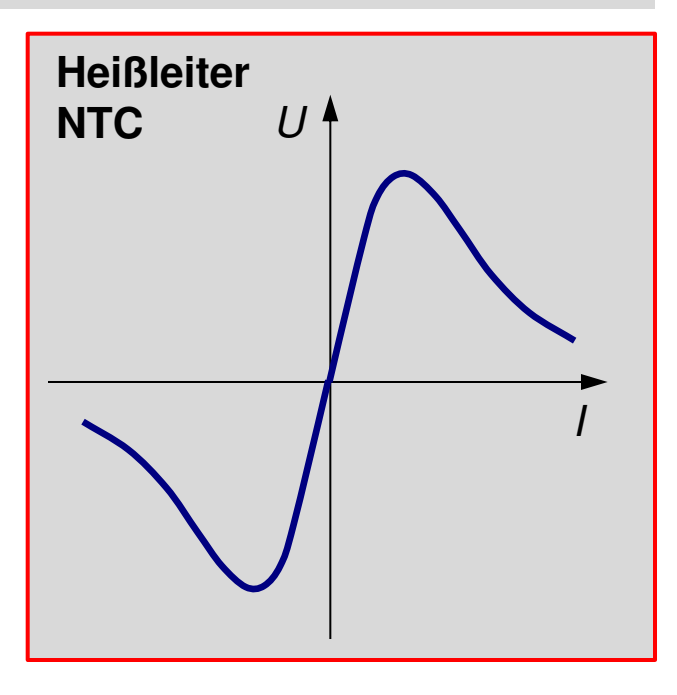
# 2.3 Halbleitende Metalloxide Weiteres Anwendungsgebiet: Nichtlineare Widerstände



**Definition:** Nichtlineare Widerstände weisen ein nichtlineares Verhalten in der U/I-Kennlinie auf.







Korngrenzeffekte in Metalloxiden

Widerstandsänderung durch Eigenerwärmung



# Physikalische Grundlagen des Heißleitereffekts

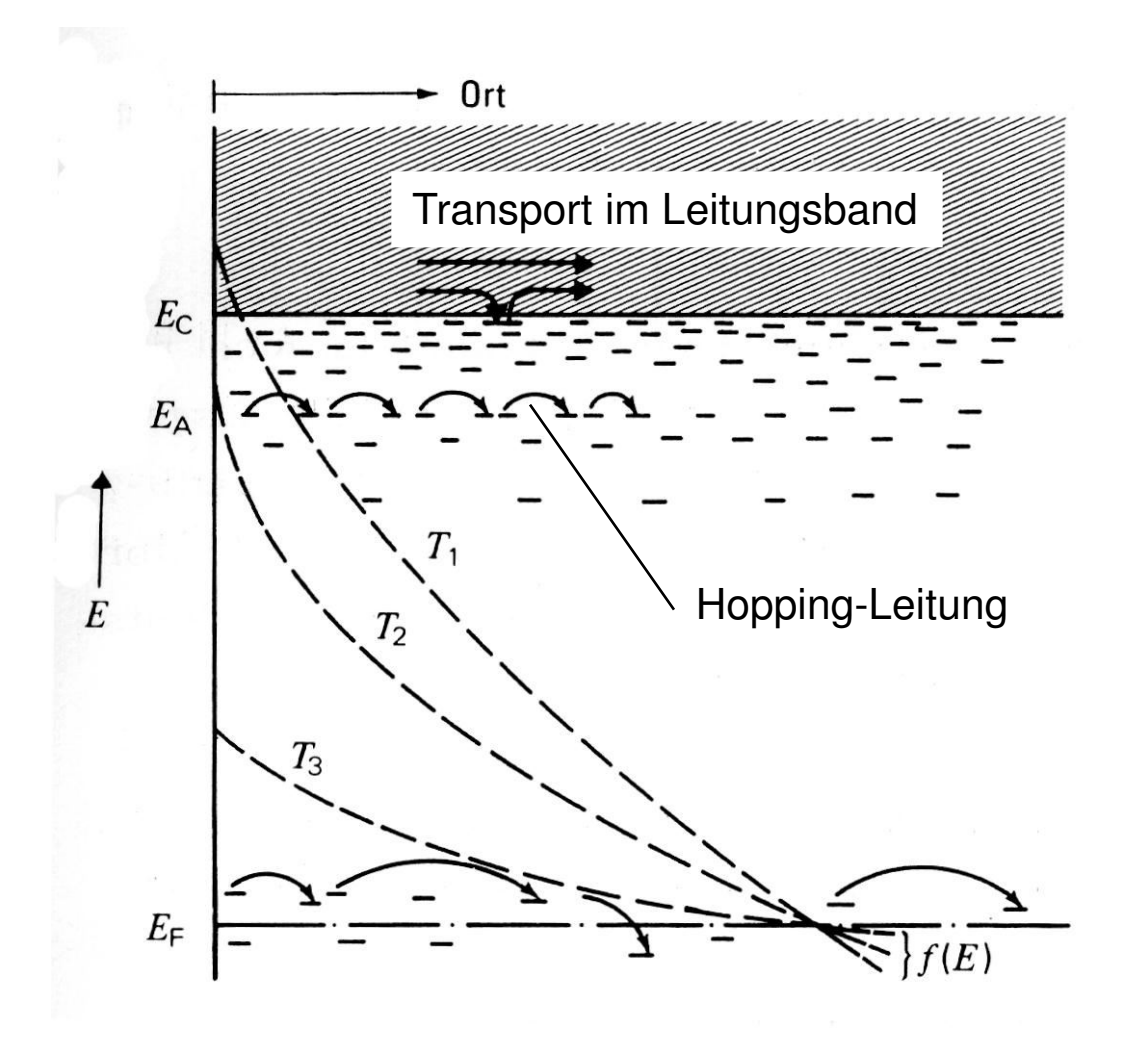
# 2.3 Halbleitende Metalloxide – Elektronische Hoppingleitung Das Prinzip der elektronischen Hoppingleitung



### Hoppingleitung

Reicht die thermische Energie der Ladungsträger nicht aus, um diese ins Leitungsband zu heben, so zeigt sich bei bestimmten Materialen trotzdem eine gewisse elektrische Leitfähigkeit – entgegen der Vorhersage des Bändermodells. Bei diesem Leitungsprozess, genannt Hoppingleitung, springen die Ladungsträger je nach räumlichem und energetischem Abstand der Haftstellen thermisch angeregt von einer Haftstelle zur anderen (Hopping).

[Heywang 1984]

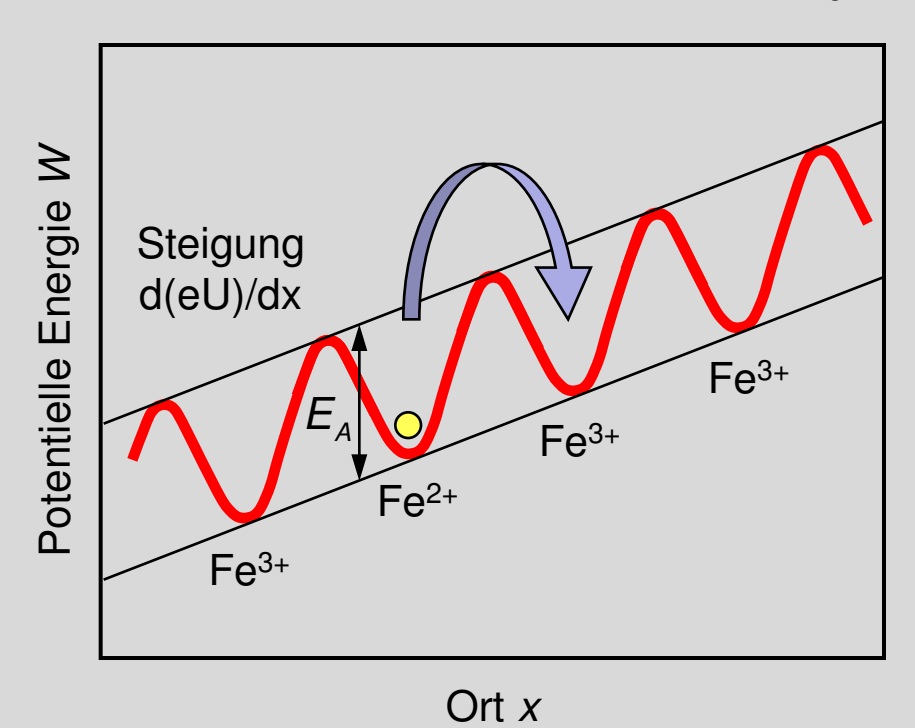


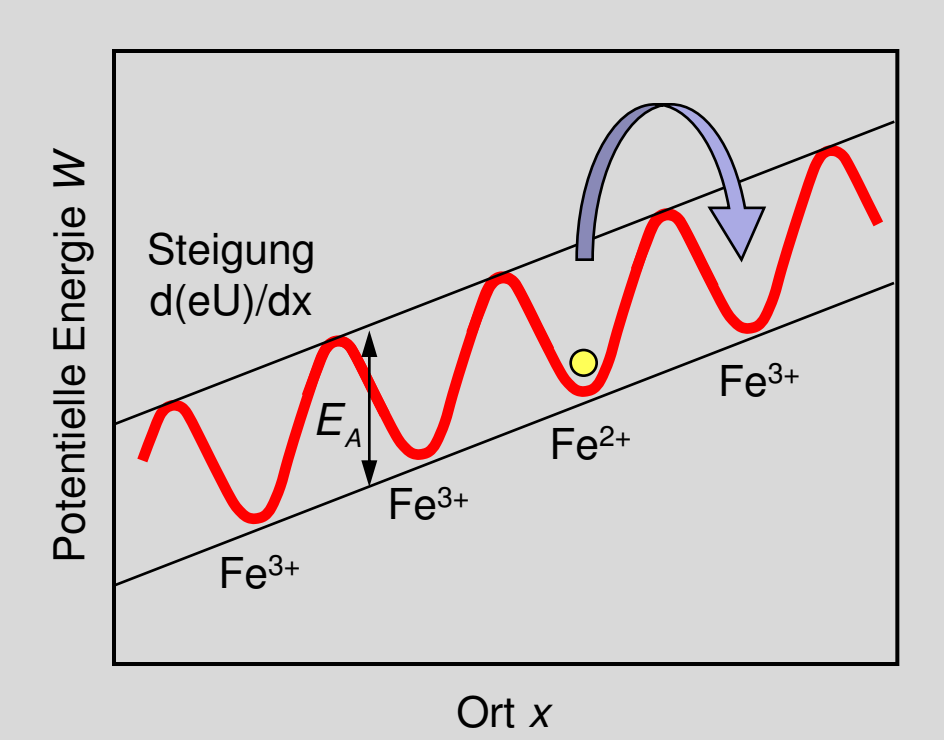
### 2.3 Halbleitende Metalloxide – Elektronische Hoppingleitung

### Das Prinzip der elektronischen Hoppingleitung: Platzwechselvorgänge von Elektronen



### Hopping von Elektronen am Beispiel Fe<sub>3</sub>O<sub>4</sub>





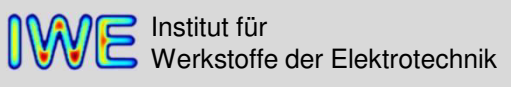
Beim Hopping muss die Energie  $E_A$  überwunden werden. Nehmen die Elektronen thermische Energie aus der Umgebung auf, so steigt die Wahrscheinlichkeit für den Platzwechsel.

# 2.3 Halbleitende Metalloxide – Elektronische Hoppingleitung Oxidationszahlen bzw. Wertigkeiten der Elemente



	1	2	3	4	5	6	7	8	9	10	11	12	13	14	15	16	17	18
	1 1,008																	2 4,003
1	H																	He
Ш	<u></u> (-1)		•															
	3 6,941	4 9,012											5 10,81	6 12,01	7 14,01	8 16,00	9 19,00	10 20,18
2	Li	Be											В	C	N	0	F	Ne
	1	<u>2</u>											<u>3</u>	<u>-4,4</u> (2)	<u>-3</u> (2,3,4,5)	<u>-2</u> (-1)	-1	
	11 22,99	12 24,31											13 26,98	14 28,09	15 30,97	16 32,06	17 35,45	18 39,95
3	Na	Mg											ΑI	Si	Р	S	CI	Ar
	1	<u>2</u>											<u>3</u>	<u>4</u>	<u>5</u>	<u>6</u>	<u>-1</u>	
H	19 39,10	20 40,08	21 44,96	22 47,87	23 50,94	24 52,00	25 54,94	26 55,85	27 58,93	28 58,69	29 63,55	30 65,41	3 31 69,72	(-4) 32 72,64	(-3,3) 33 74,92	(-2,2,4) 34 78,96	(1,3,5,7) 35 79,90	36 83,80
4	K	Ca	Sc	Ti	V	Cr	Mn	Fe	Co	Ni	Cu	Zn	Ga	Ge	As	Se	Br	Kr
-	1	<u>2</u>	<u>3</u>	<u>4</u>	5	3	2	3	2	<u>2</u>	<u>2</u>	<u>2</u>	3 3	4	3 3	4	-1	
	_			3	(0,2,3,4)	(0,2,6)	(-1,0,3,4,6,7)	(-2,0,2,6)	(-1,0,3)	(0,3)	(1)			_	(-3,5)	(-2,6)	(1,3,5,7)	(2)
	37 85,47	38 87,62	39 88,91	40 91,22	41 92,91	42 95,94	43 (98)	44 101,1	45 102,9	46 106,4	47 107,9	48 112,4	49 114,8	50 118,7	51 121,8	52 127,6	53 126,9	54 131,3
5	Rb	Sr	Υ	Zr	Nb	Мо	Tc	Ru	Rh	Pd	Ag	Cd	In	Sn	Sb	Te		Xe
	1	2	<u>3</u>	<u>4</u>	<u>5</u> (3)	<u>6</u> ('0,2,3,4,5)	<u>7</u>	3,4 (-2,0,2,6,8)	<u>1,3</u> (0,2,4,5)	<u>2</u> (0,4)	1 (2)	<u>2</u>	<u>3</u>	<u>2,4</u>	<u>3</u> (-3,5)	<u>4</u> (-2,6)	<u>-1</u> (1,5,7)	(2,4,6)
	55 132,9	56 137,3	57 - 71	72 178,5	73 180,9	74 183,8	75 186,2	76 190,2	77 192,2	78 195,1	79 197,0	80 200,6	81 204,4	82 207,2	83 209,0	84 (209)	85 (210)	86 (222)
6	Cs	Ba	La-Lu	Hf	Ta	W	Re	Os	lr	Pt	Au	Hg	TI	Pb	Bi	Ро	At	Rn
	1	2		<u>4</u>	<u>5</u>	<u>6</u>	<u>7</u>	<u>4</u>	<u>1,4</u>	<u>2,4</u>	<u>3</u>	<u>2</u>	1	<u>2</u>	<u>3</u>	<u>4</u>	<u>-1</u>	
Ш	07 (000)	00 (000)				(0,2,3,4,5)	(-1,2,4,6)	(-2,0,2,3,6,8)	(-1,0,2,3,6)	(0)	(1)	(1)	(3)	(4)	(5)	(2,6)	(1,3,5,7)	(2)
	87 (223)	88 (226)	89 - 103															
[/]	Fr	Ra	Ac-Lr															
	1	<u>2</u>																

	57 138,9	58 140,1	59 140,9	60 (145)	61 (145)	62 150,4	63 152,0	64 157,3	65 158,9	66 162,5	67 164,9	68 167,3	69 168,9	70 173,0	71 175,0
Lanthanoide	La	Ce	Pr	Nd	Pm	Sm	Eu	Gd	Tb	Dy	Но	Er	Tm	Yb	Lu
	<u>3</u>	<u>3</u>	<u>3</u>	<u>3</u>											
		(4)	(4)			(2)	(2)		(4)				(2)	(2)	
	89 (227)	90 232,0	91 231,0	92 238,0	93 (237)	94 (244)	95 (243)	96 (247)	97 (247)	98 (251)	99 (252)	100 (257)	101 (258)	102 (259)	103 (262)
Actinoide	Ac	Th	Pa	U	Np	Pu	Am	Cm	Bk	Cf	Es	Fm	Md	No	Lr
	<u>3</u>	<u>4</u>	<u>5</u>	<u>6</u>	<u>5</u>	<u>4</u>	<u>3</u>	<u>3</u>	<u>3</u>	<u>3</u>	<u>3</u>	<u>3</u>	<u>3</u>	<u>2</u>	<u>3</u>
			(4)	(3,4,5)	(3,4,6)	(3,5,6)	(4,5,6)	(4)	(4)	(4)				(3)	



# 2.3 Halbleitende Metalloxide – Elektronische Hoppingleitung Valenzaustausch bei Elemente mit mehreren Wertigkeiten



Werkstoffe: Oxide der Metalle z.B. Mn, Fe, Co, Ni, Cu, Zn (Übergangsmetalle)

Bindungstyp: überwiegend oder teilweise heteropolare (Ionen-) Bindung

(Metalle: Kationen, Sauerstoff: Anion)

Halbleitende Eigenschaften entstehen durch Wertigkeitswechsel der Kationen im Oxid. Ladungstransport über Hopping-Mechanismus ("Durchreichen" der Wertigkeiten)

Elemente
Wertigkeiten

Ti	V	Cr	Mn	Fe	Co	Ni	Cu	Zn
	+2	+2	+2	+2	+2	+2	+2	+2
+3	+3	+3	+3	+3	+3	+3		
+4	+4	+4	+4	+4				
	+5							

Gitterstruktur:  $A^{2+} B^{3+}_{2} O^{2-}_{4}$  (Spinell)

typischer Heißleiter: Ni<sup>2+</sup> Mn<sup>3+</sup><sub>2</sub> O<sup>2-</sup><sub>4</sub>

# 2.3 Halbleitende Metalloxide – Elektronische Hoppingleitung Beweglichkeit der Ladungsträger bei Hopping



### Diffusionskonstante für Polaronen

$$D = (1 - c)a^2 v_0 \cdot \exp\left(-\frac{E_A}{kT}\right)$$

 $E_A$ : Aktivierungsenergie

1-c: Anteil der unbesetzten Plätze

a: Sprungabstand

 $v_0$ : Schwingfrequenz (Debye-Frequenz)

Einstein-Beziehung:  $\mu = \frac{q \cdot D}{k \cdot T}$ 

### Beweglichkeit

$$\mu = \frac{q(1-c)a^2 v_0}{kT} \exp\left(-\frac{E_A}{kT}\right)$$

*q*: Ladung

T: Temperatur (in Kelvin)

Ist die Konzentration *n* der ungesättigten Valenzen (= Punktdefekte) konstant, was bei vielen Hoppingleitern der Fall ist, so gilt:

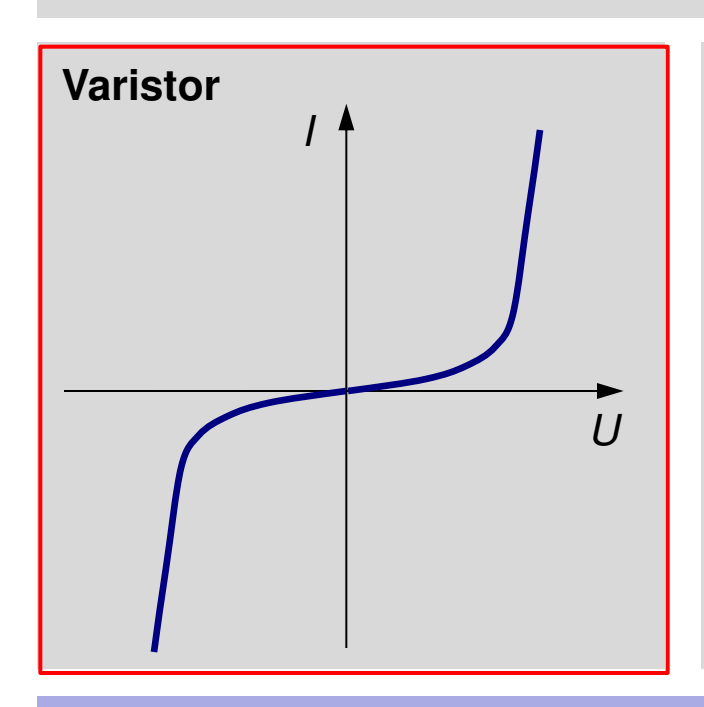
$$\sigma(T) = ze_0 n \cdot \mu(T) \sim \frac{1}{T} \exp\left(-\frac{E_A}{kT}\right)$$

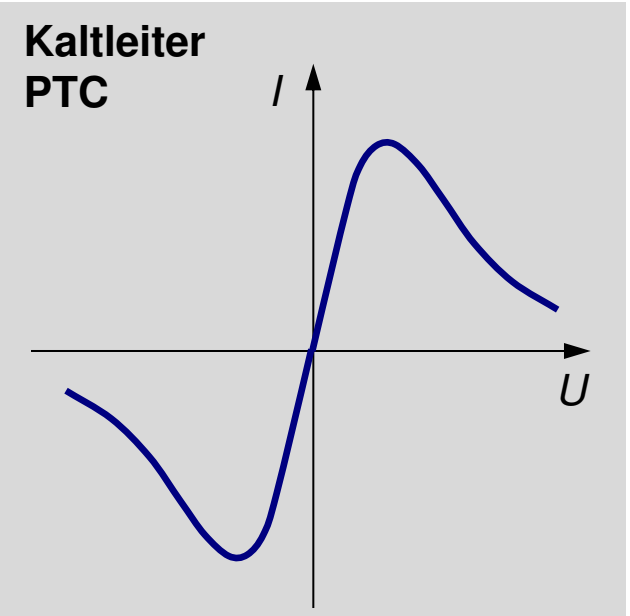
[Heywang 1984]

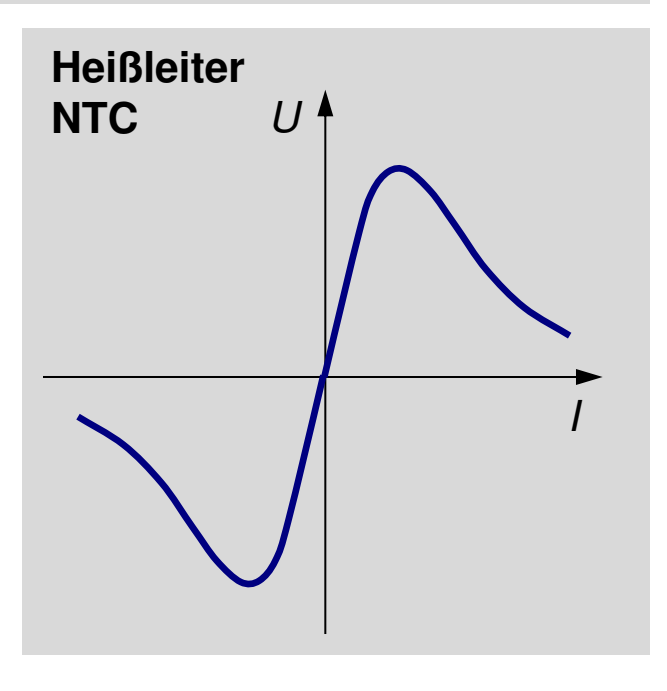
#### 2.3 Halbleitende Metalloxide Überblick nichtlineare Widerstände (1)



**Definition:** Nichtlineare Widerstände weisen ein nichtlineares Verhalten in der U/I-Kennlinie auf.





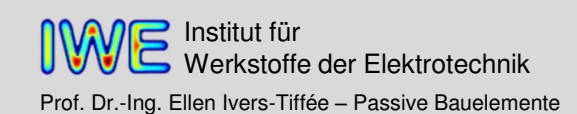


Korngrenzeffekte in Metalloxiden

Widerstandsänderung durch Eigenerwärmung



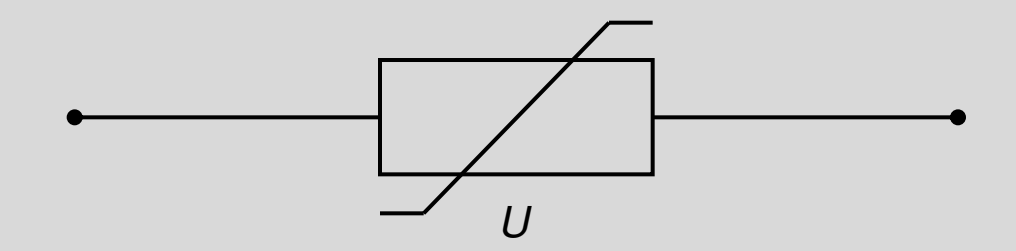
## Einsatzgebiete von Varistoren

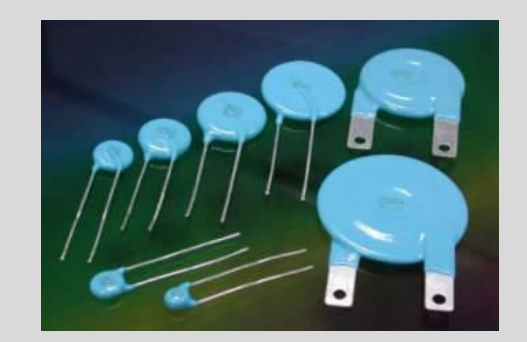


#### 2.3 Halbleitende Metalloxide Bauelement: Keramische Varistoren



#### **Schaltsymbol Varistor**

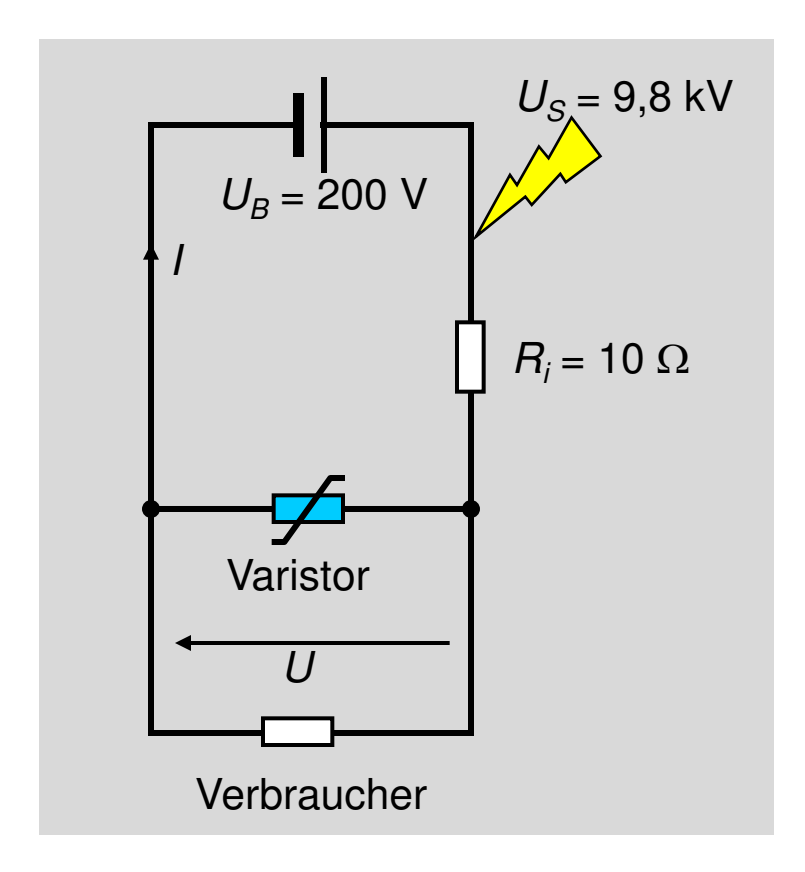




[www.staratech.com]

#### 2.3 Halbleitende Metalloxide Anwendung von Varistoren als Überspannungsschutz





ohne Varistor  $10^{4}$ 100 % Spannung  $U/V \rightarrow$ mit SiC-Varistor 25 % 10<sup>3</sup> mit ZnO-Varistor Betriebsspannung  $10^{2}$ 10-1 10<sup>1</sup> 10<sup>3</sup> Stromstärke I/A → [Heywang 1984]

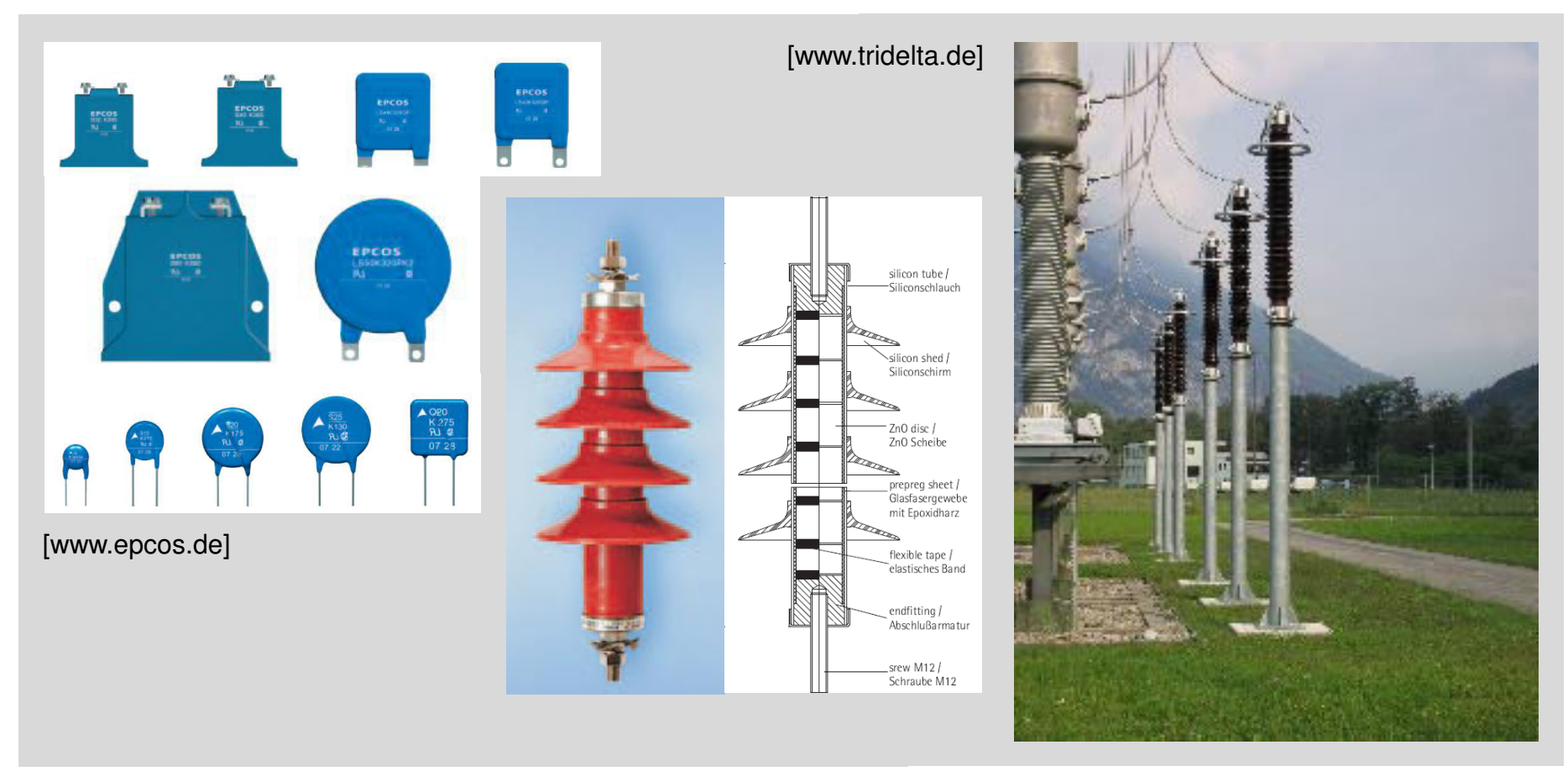
Durch eine Störspannung  $U_S(t)$  wird die Spannung U kurzzeitig erhöht.  $U(t) = U_S(t) + U_B - R_i \cdot I(t)$ 

Doppeltlogarithmische Darstellung U(I)

- bei normaler Betriebsspannung
- bei Überspannung  $U_S = 9.8 \text{ kV}$

## 2.3 Halbleitende Metalloxide Bauformen von Varistoren





Bauformen von ZnO-Varistoren

Varistoren als Hochspannungsableiter



#### 2.3 Halbleitende Metalloxide Nichtlineare Strom-Spannungs-Kennlinie eines Varistors



Varistor: Variable Resistor

Spannungsabhängiger Widerstand mit symmetrischer *I(U)*-Kennlinie

$$I = \pm I_0 \cdot \left| \frac{U}{U_0} \right|^{\alpha}$$

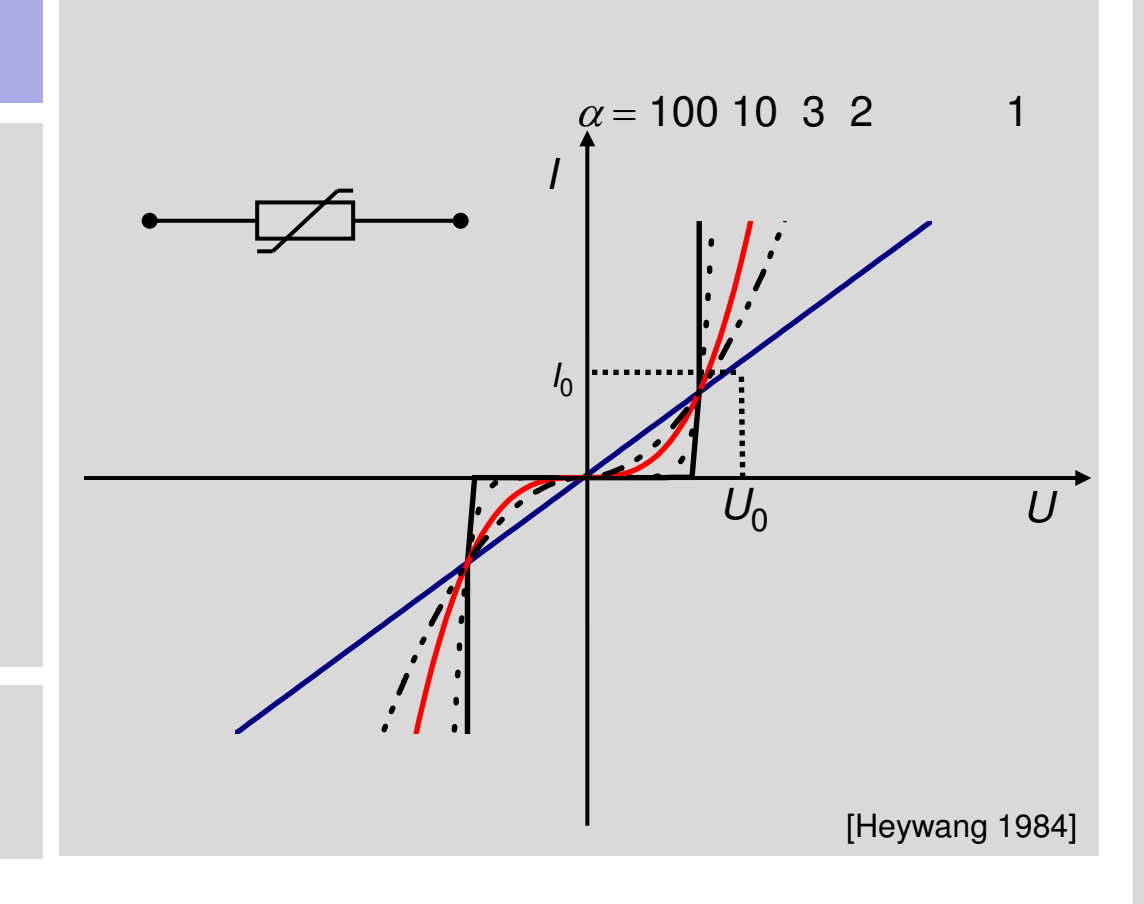
 $\alpha$ : Nichtlinearitätskoeffizient

 $I_0$ : Nennansprechstrom

U<sub>0</sub>: Nennansprechspannung

Nennwerte sind geometrieabhängig

typische  $\alpha$ -Werte: 5...70 Werkstoffe: SiC, ZnO

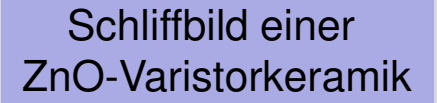


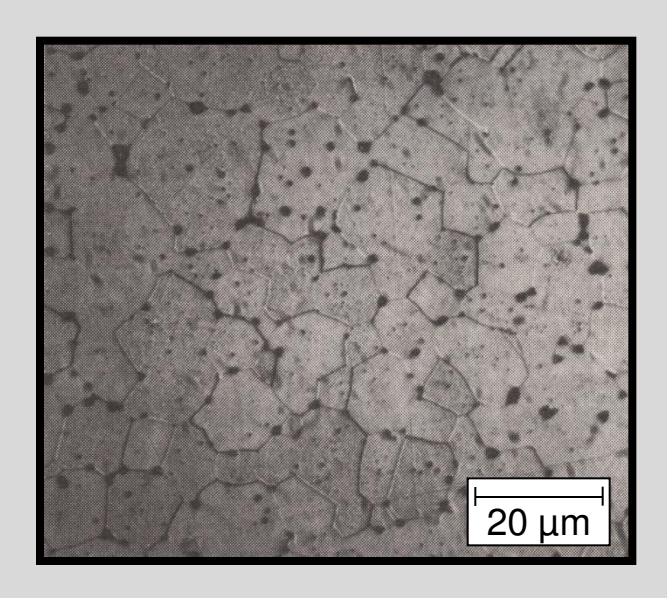


# Physikalische Grundlagen des Varistoreffekts

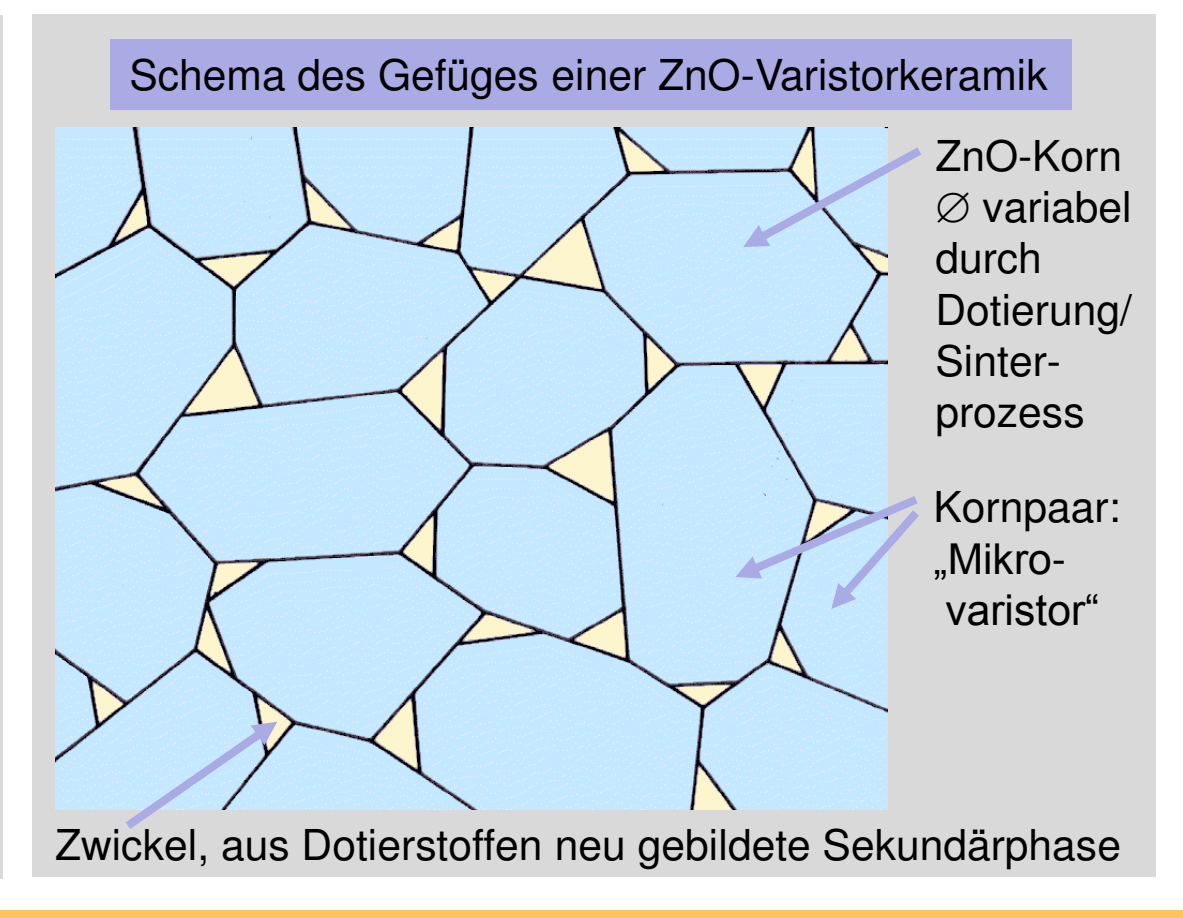
## 2.3 Halbleitende Metalloxide Varistor: polykristallines ZnO-Gefüge mit Sekundärphasen







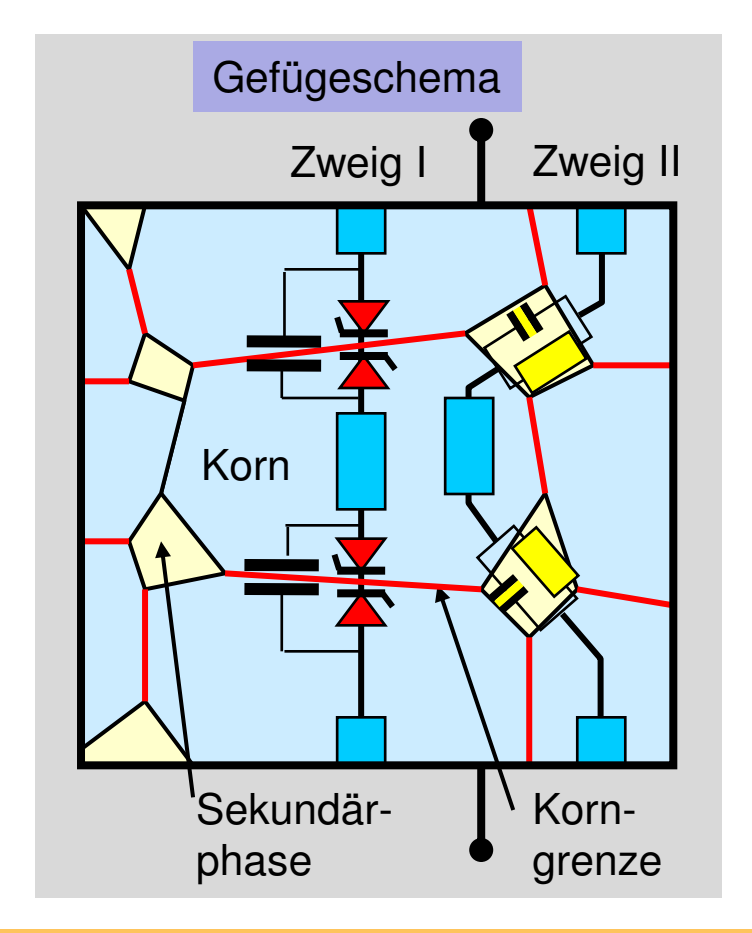
[Heywang 1984]

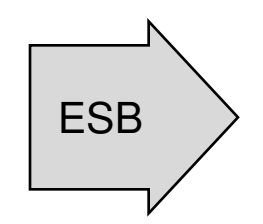


Polykristalline Keramik: Netzwerk aus parallel und seriell geschalteten "Mikrovaristoren" Varistor-Ansprechspannung: abhängig von der Korngröße und der Geometrie des Bauelements

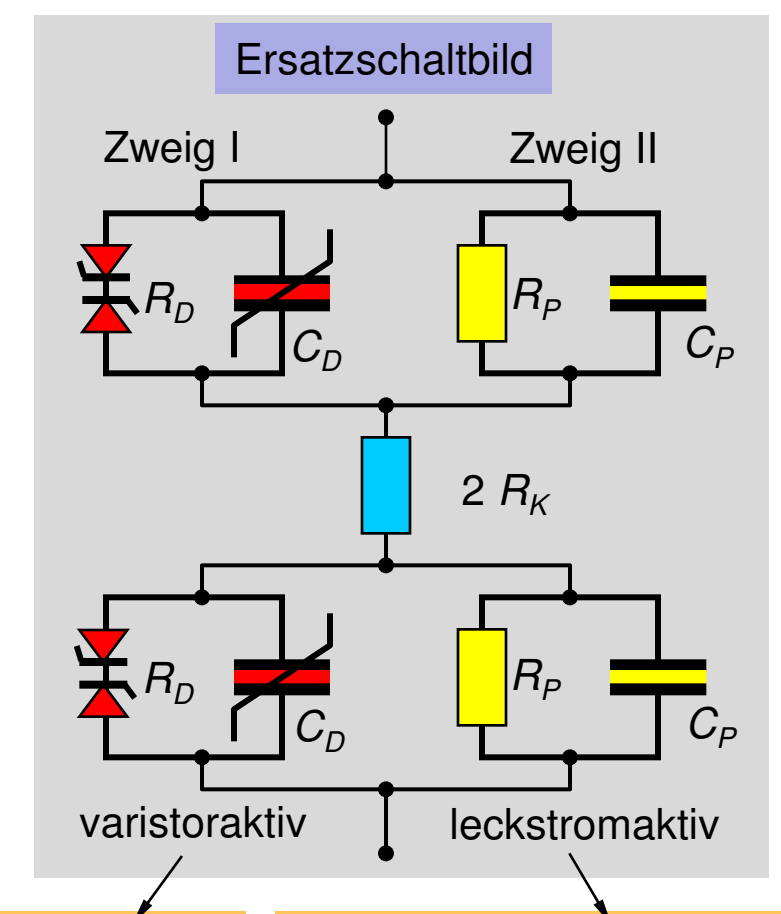
#### 2.3 Halbleitende Metalloxide Ersatzschaltbild für Varistoren







 $C_D \cong 240 \text{ nF/cm}^2$   $\rho_K \cong 1 \Omega \text{cm}$   $\rho_P \cong 80 \text{ k}\Omega \text{cm}$   $C_P \cong 90 \text{ nF/cm}^2$ [Einzinger 1982]



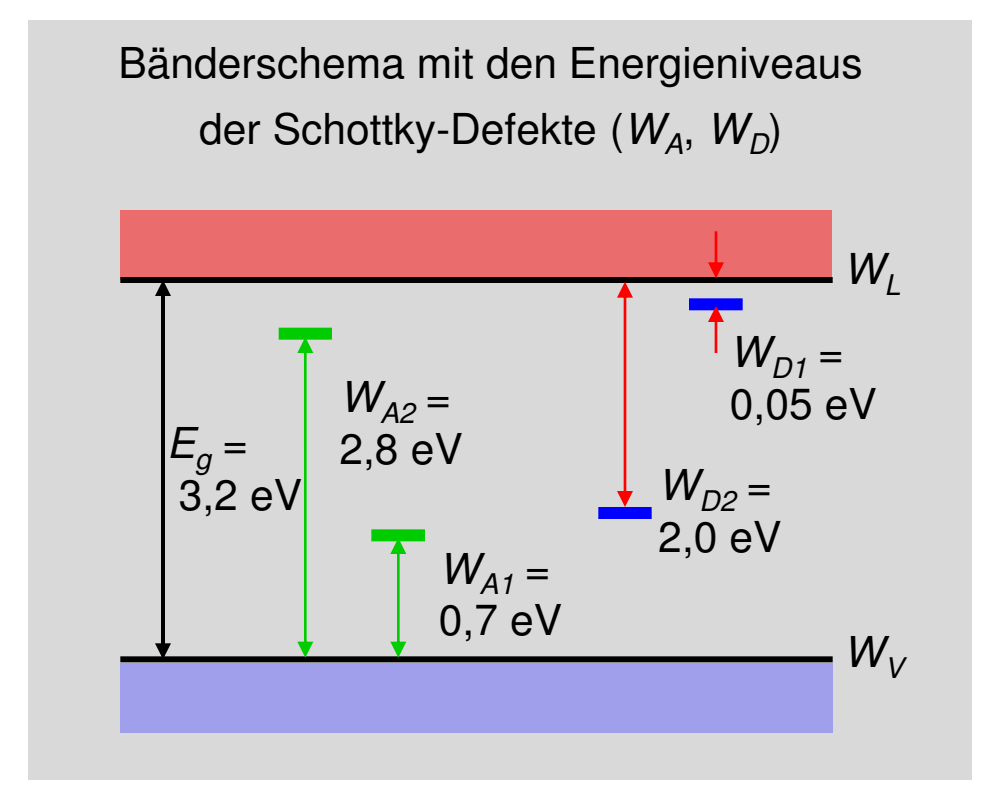
Reihenschaltung aus Korn-  $(R_K)$  und Sperrschicht-  $(R_D)$  Widerständen Parallelschaltung von  $R_D$  und  $C_D$ ;  $R_D$  und  $C_D$  spannungsabhängig

Leckstromaktive Bereiche  $R_P$ ,  $C_P$  parallel zu den varistoraktiven Korngrenzen

## 2.3 Halbleitende Metalloxide Fehlstellen und Bänderschema in ZnO-Varistoren



Punktdefekte in ZnO (2-dimensionale Darstellung) Elektroneutralitätsbedingung  $n + [V_{7n}] + 2[V_{7n}] = p + [V_{0}] + 2[V_{0}]$ 



V<sub>O</sub>•, V<sub>O</sub>••: ein- bzw. zweifach geladene O-Leerstelle

V<sub>Zn</sub>', V<sub>Zn</sub>'': ein- bzw. zweifach geladene Zn-Leerstelle

e´, (n): Elektronen (-konzentration)

h•, (p): Defektelektronen (-konzentration)

 $(W_{D1}, W_{D2})$  D: Donatoren  $(W_{A1}, W_{A2})$  A: Akzeptoren

[Heywang 1984]

## 2.3 Halbleitende Metalloxide Einstellung der Korngrenzeigenschaften

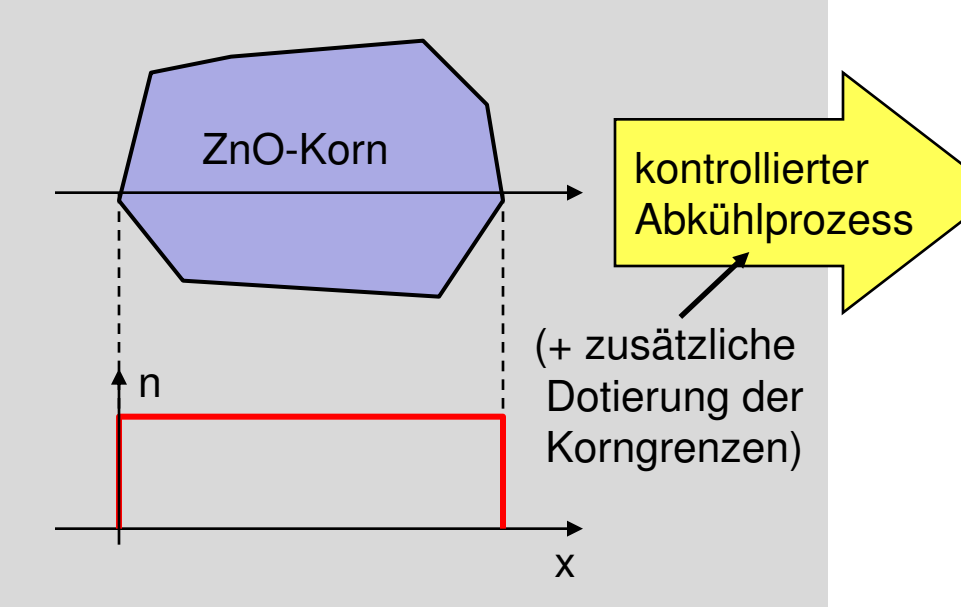


#### Herstellung (Sintertemperatur ≈ 1300 °C)

Hochtemperaturgleichgewicht:

Überschuss an Sauerstoffleerstellen

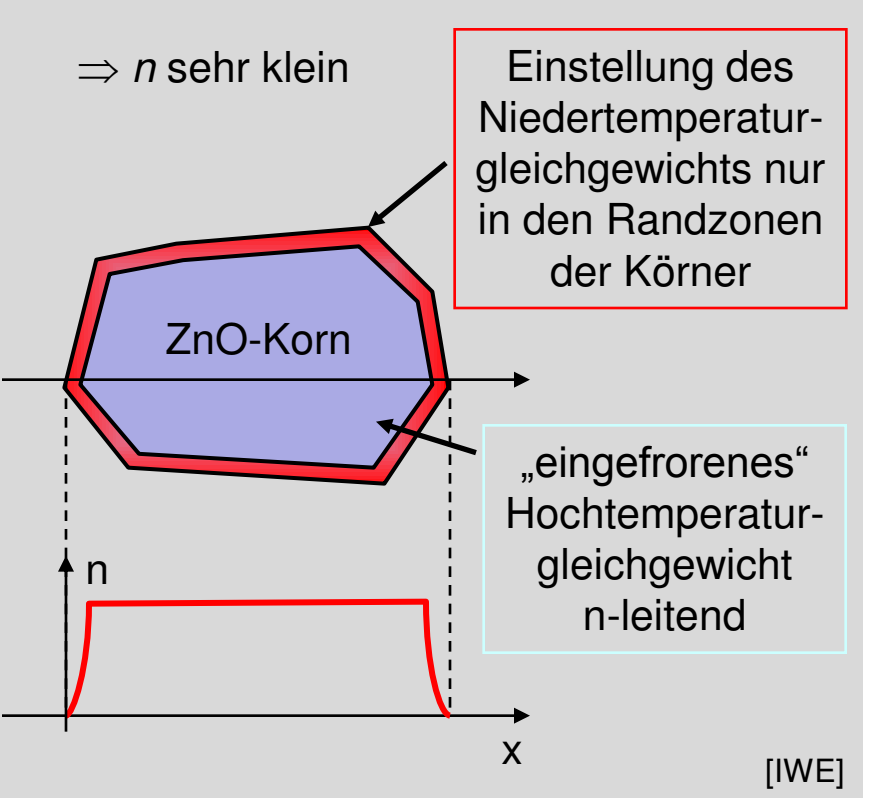
Ladungsträger:  $n = [V_O^{\bullet}] + 2 \cdot [V_O^{\bullet \bullet}]$ 



#### Betrieb (Betriebstemperatur < 100 °C)

→ Niedertemperaturgleichgewicht:

$$[V_{Zn}] + 2[V_{Zn}] \approx [V_{O}] + 2[V_{O}]$$



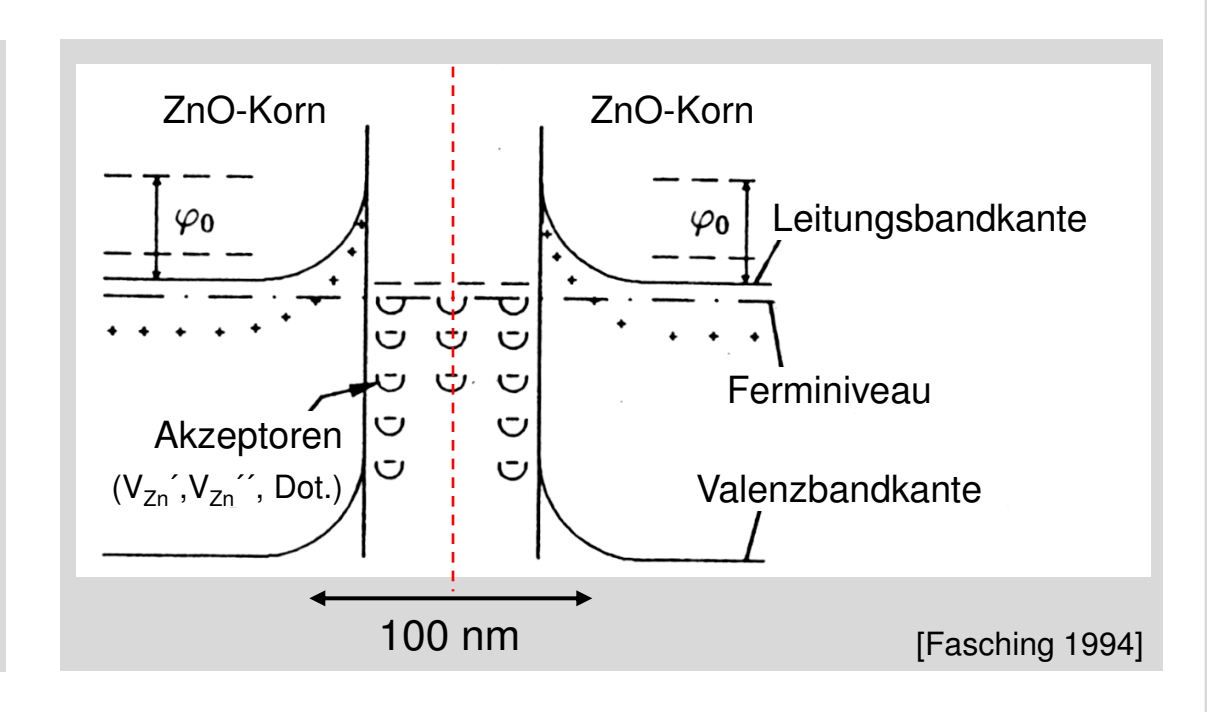
#### 2.3 Halbleitende Metalloxide Bändermodell für die Korngrenze eines ZnO-Varistors (1)



### Korngrenzen und Ladungsträgerkonzentrationen

# "Mikrovaristor" — 1 Kornpaar Korngrenze — Einzelsperrschicht Ladungsträgerkonzentration

#### Bänderschema im spannungslosen Zustand



## 2.3 Halbleitende Metalloxide Zusammenfassung des Varistoreffekts



- Varistoreffekt in dotierter ZnO-Keramik ist eine Eigenschaft der Korngrenzbereiche. ZnO-Körner selbst sind niederohmig.
- · Varistoreffekt ist ein Korngrenzeffekt.
- Varistoreffekt setzt bei einer Spannung von ca. 3,0 ± 0,5 V / Korngrenze ein.
- Korngrenzbereich bildet eine Potentialbarriere von 0,6 eV.
- Ansprechgeschwindigkeiten des nichtlinearen Stroms liegen bei einigen Nanosekunden
- Technisches Varistorsystem:
   ZnO + Bi<sub>2</sub>O<sub>3</sub> + MnO<sub>2</sub> + Co<sub>3</sub>O<sub>4</sub> + Sb<sub>2</sub>O<sub>3</sub> + Cr<sub>2</sub>O<sub>3</sub> + weitere Additive
   (bis zu 10 Komponenten sind üblich, Grund: Optimierung der Sekundäreigenschaften des jeweiligen Varistor-Typs)

[Einzinger 1982]



#### Multiple-Choice-Frage MC1: Nichtlineare Widerstände

#### Zinkoxid-Varistoren

- a) bestehen ausschließlich aus hochreinem, polykristallinen ZnO.
- b) werden als Überspannungsschutz im Hochspannungsbereich eingesetzt.
- c) haben eine Ansprechspannung, die auf der Änderung der Leitfähigkeit der Körner mit dem elektrischen Feld beruht.
- d) lassen eine Abschätzung ihrer Ansprechspannung anhand der Anzahl der Korngrenzen senkrecht zur Stromrichtung und der pro Korngrenze abfallenden Spannung zu.



#### Multiple-Choice-Frage MC1: Nichtlineare Widerstände

#### Zinkoxid-Varistoren



- a) bestehen ausschließlich aus hochreinem, polykristallinen ZnO.
- b) werden als Überspannungsschutz im Hochspannungsbereich eingesetzt.
- c) haben eine Ansprechspannung, die auf der Änderung der Leitfähigkeit der Körner mit dem elektrischen Feld beruht.
- d) lassen eine Abschätzung ihrer Ansprechspannung anhand der Anzahl der Korngrenzen senkrecht zur Stromrichtung und der pro Korngrenze abfallenden Spannung zu.
- dotierte ZnO-Keramik
- Technisches Varistorsystem:
   ZnO + Bi<sub>2</sub>O<sub>3</sub> + MnO<sub>2</sub> + Co<sub>3</sub>O<sub>4</sub> + Sb<sub>2</sub>O<sub>3</sub> + Cr<sub>2</sub>O<sub>3</sub> + weitere Additive
   (bis zu 10 Komponenten sind üblich, Grund: Optimierung der Sekundäreigenschaften des jeweiligen Varistor-Typs)





#### Multiple-Choice-Frage MC1: Nichtlineare Widerstände

#### Zinkoxid-Varistoren



a) bestehen ausschließlich aus hochreinem, polykristallinen ZnO.



- b) werden als Überspannungsschutz im Hochspannungsbereich eingesetzt.
- c) haben eine Ansprechspannung, die auf der Änderung der Leitfähigkeit der Körner mit dem elektrischen Feld beruht.
- d) lassen eine Abschätzung ihrer Ansprechspannung anhand der Anzahl der Korngrenzen senkrecht zur Stromrichtung und der pro Korngrenze abfallenden Spannung zu.



#### Multiple-Choice-Frage MC1: Nichtlineare Widerstände

#### Zinkoxid-Varistoren

- 🗶 a) bestehen ausschließlich aus hochreinem, polykristallinen ZnO.
- ✓ b) werden als Überspannungsschutz im Hochspannungsbereich eingesetzt.
- c) haben eine Ansprechspannung, die auf der Änderung der Leitfähigkeit der Körner mit dem elektrischen Feld beruht.
  - d) lassen eine Abschätzung ihrer Ansprechspannung anhand der Anzahl der Korngrenzen senkrecht zur Stromrichtung und der pro Korngrenze abfallenden Spannung zu.
  - Varistoreffekt in dotierter ZnO-Keramik ist eine Eigenschaft der Korngrenzbereiche.
     ZnO-Körner selbst sind niederohmig.
  - · Varistoreffekt ist ein Korngrenzeffekt.
  - Korngrenzbereich bildet eine Potentialbarriere von 0,6 eV.

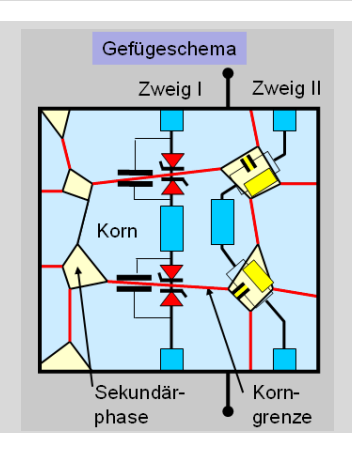




#### Multiple-Choice-Frage MC1: Nichtlineare Widerstände

#### Zinkoxid-Varistoren

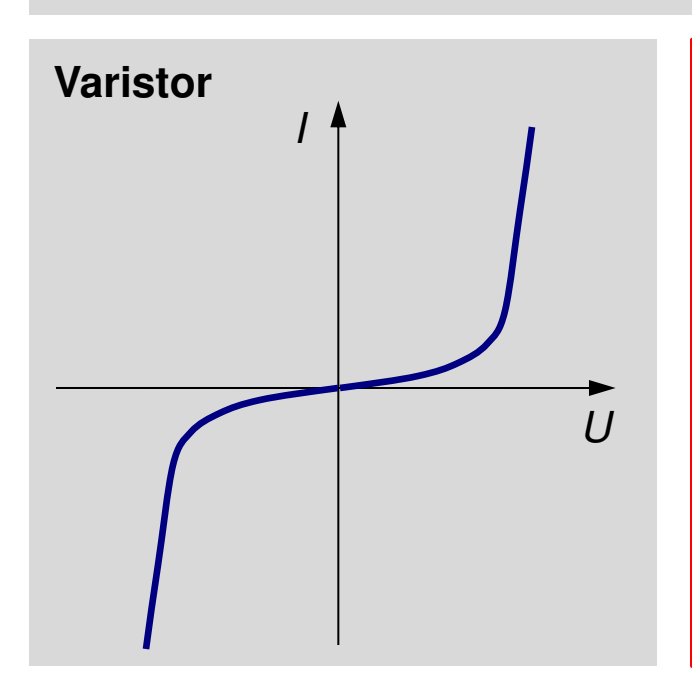
- 🗶 a) bestehen ausschließlich aus hochreinem, polykristallinen ZnO.
- √ b) werden als Überspannungsschutz im Hochspannungsbereich eingesetzt.
- c) haben eine Ansprechspannung, die auf der Änderung der Leitfähigkeit der Körner mit dem elektrischen Feld beruht.
- d) lassen eine Abschätzung ihrer Ansprechspannung anhand der Anzahl der Korngrenzen senkrecht zur Stromrichtung und der pro Korngrenze abfallenden Spannung zu.
  - Varistoreffekt setzt bei einer Spannung von ca. 3,0 ± 0,5 V / Korngrenze ein.

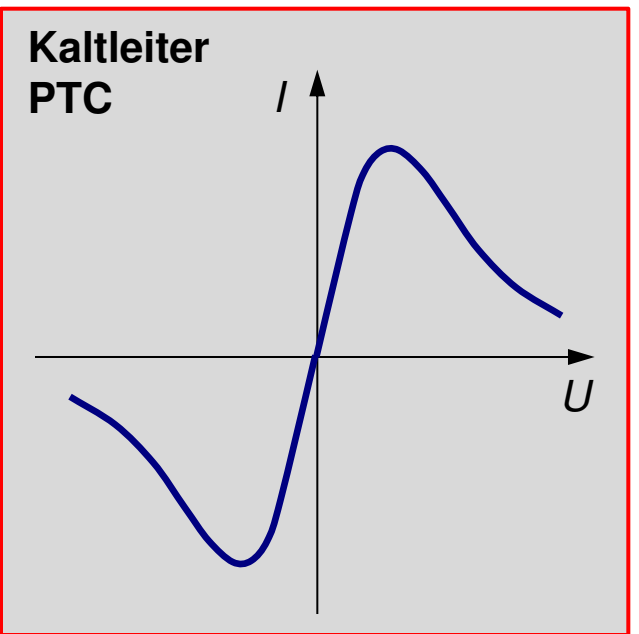


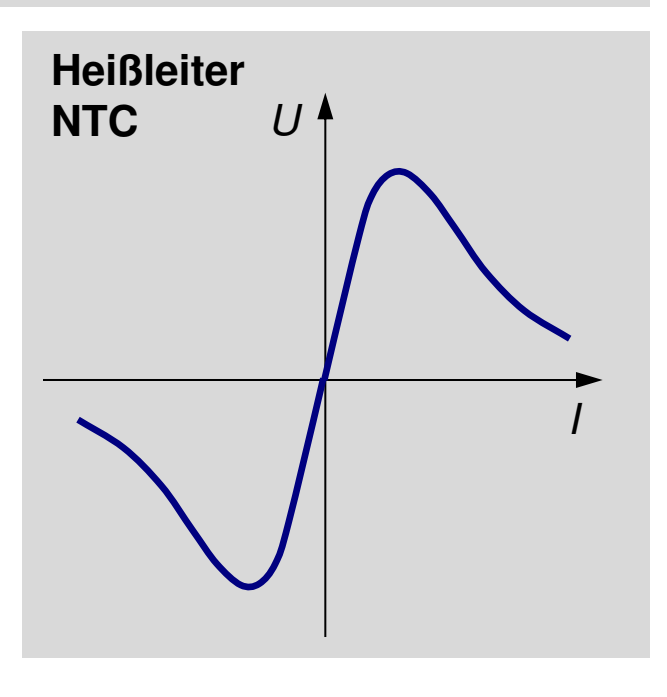
#### 2.3 Halbleitende Metalloxide Überblick nichtlineare Widerstände (1)



**Definition:** Nichtlineare Widerstände weisen ein nichtlineares Verhalten in der U/I-Kennlinie auf.





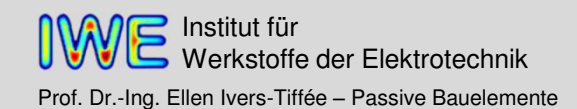


Korngrenzeffekte in Metalloxiden

Widerstandsänderung durch Eigenerwärmung

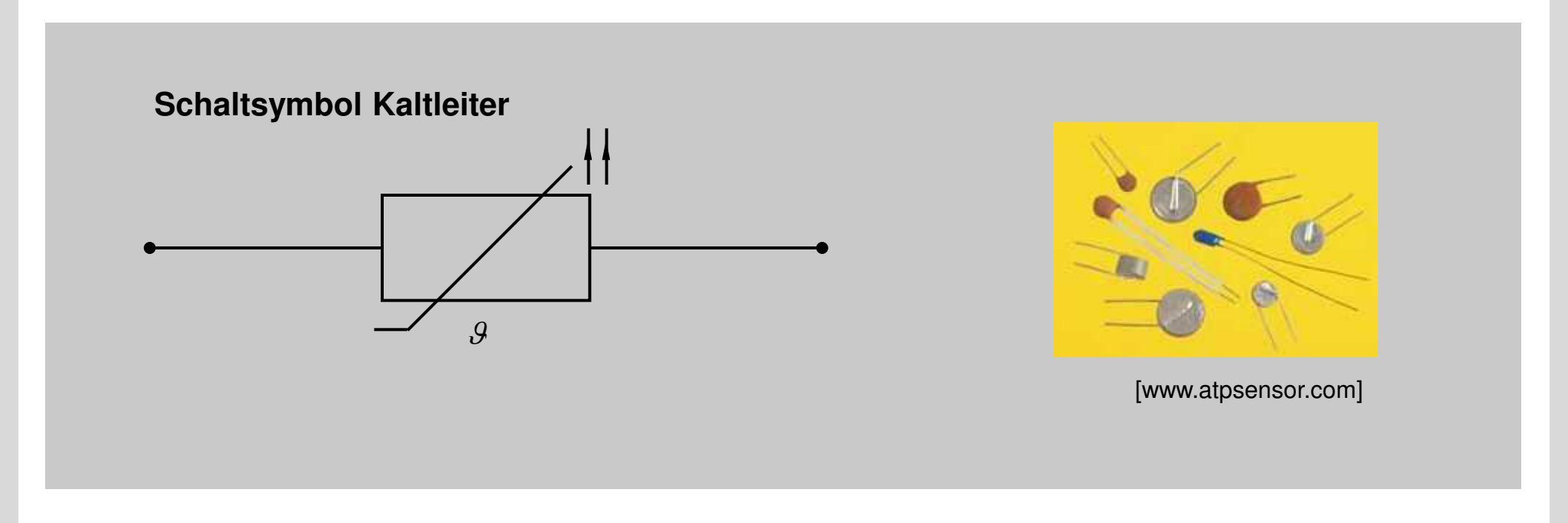


## Einsatzgebiete von Kaltleitern



#### 2.3 Halbleitende Metalloxide Bauelement: Keramischer Kaltleiter (PTC)



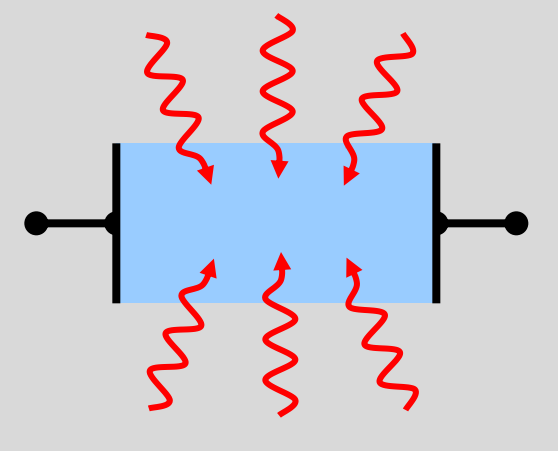


#### 2.3 Halbleitende Metalloxide Anwendungen von Kaltleitern



#### Sensoren

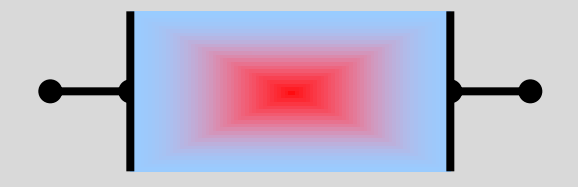
Wärme aus der Umgebung



- elektrischesThermometer
- Übertemperaturschutz

#### Regler

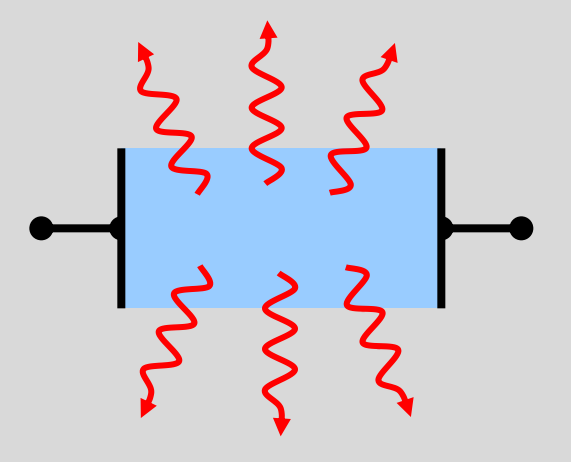
Eigenerwärmung



- Stromstabilisierung
- Schaltverzögerung
- Füllstandsüberwachung
- Strömungsmessung

#### Heizer

Wärmeabgabe

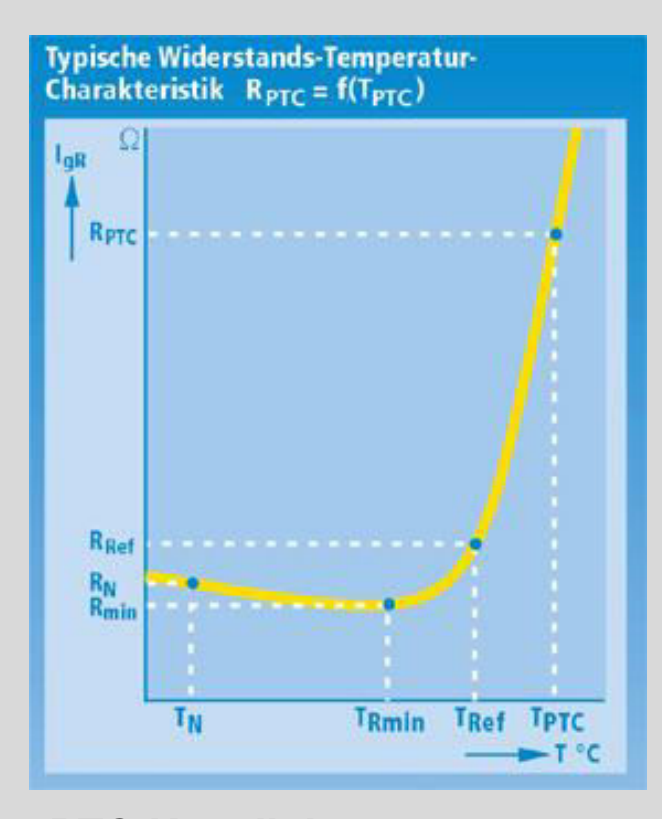


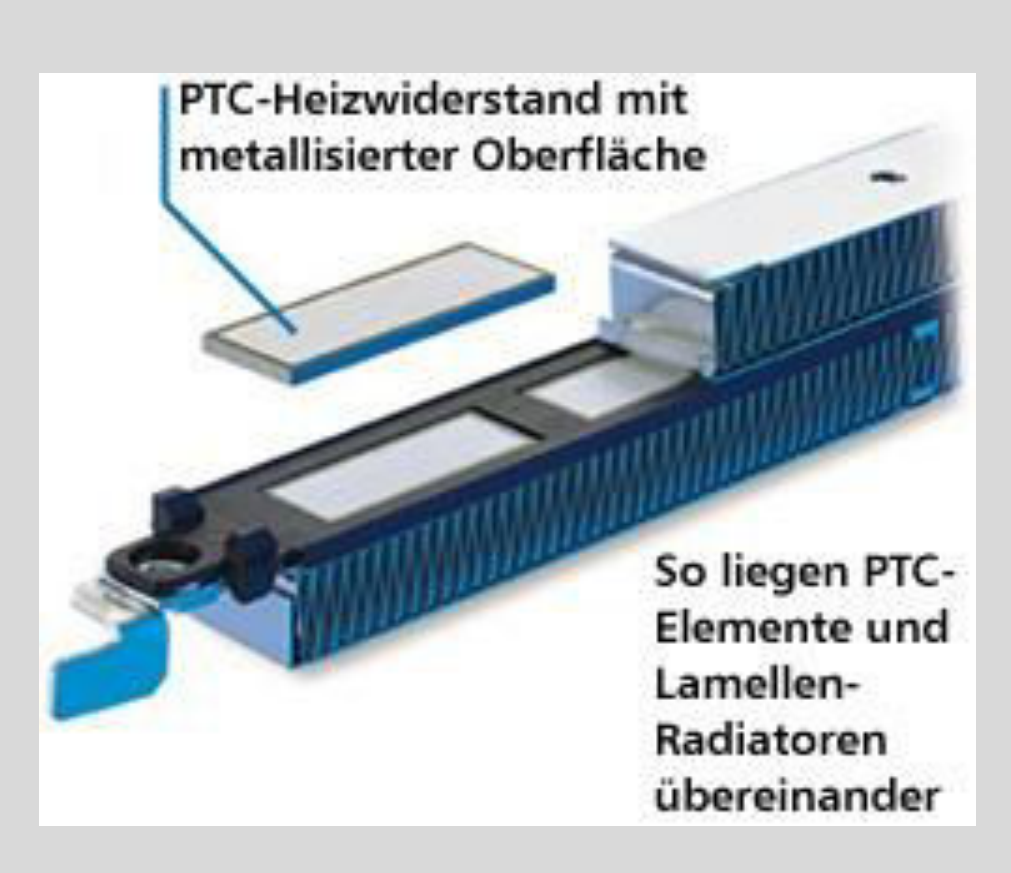
 Heizelemente selbstregelnd

[Schaumburg 1994]

#### 2.3 Halbleitende Metalloxide Selbstregelnde Heizelemente im Automobil







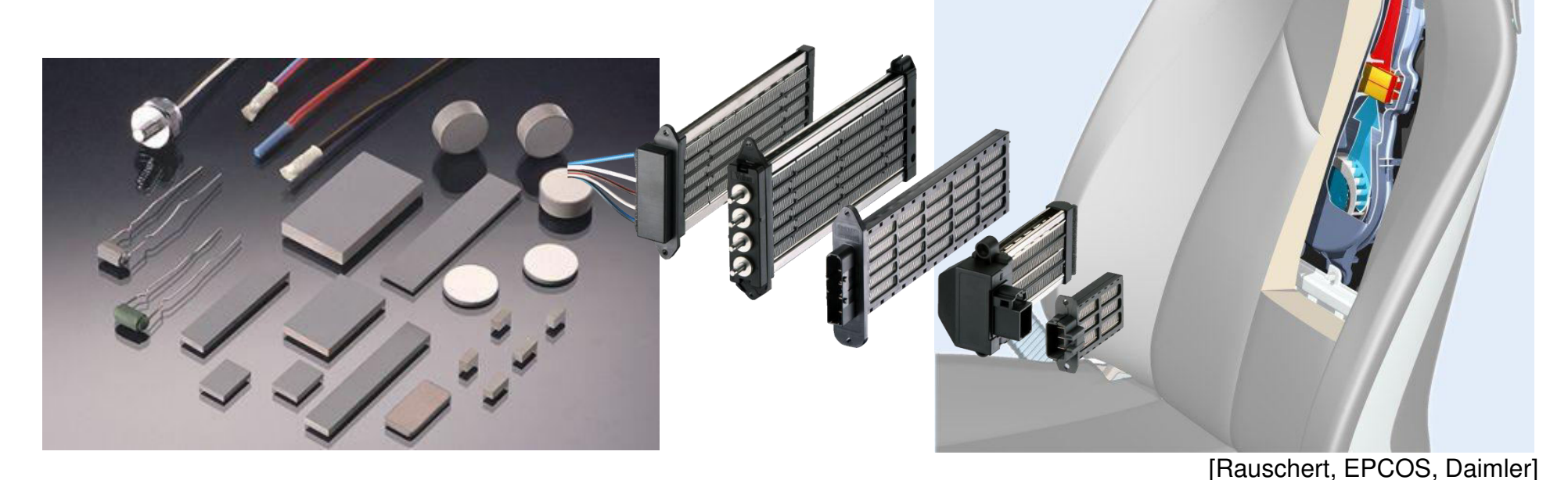
**PTC-Kennlinie** 

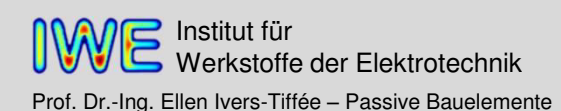
[Catem]

## 2.3 Halbleitende Metalloxide PTC-Anwendungen und Bauformen



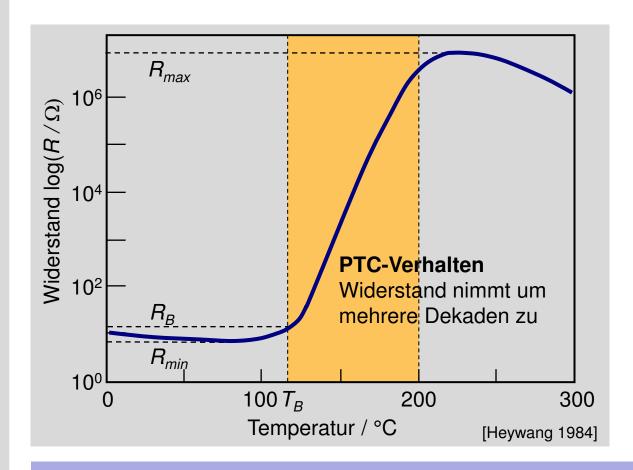
- Heizelemente
- Einschaltstrombegrenzer
- Thermistoren f
   ür Motorstart-Anwendungen
- Thermistoren für Überlastschutz
- Grenztemperatur-Sensoren
- Schaltanwendungen
- Telekom-Anwendungen
- Thermisches Management in LED-Schaltkreisen





#### 2.3 Halbleitende Metalloxide Temperaturabhängigkeit des Widerstands eines Kaltleiters





R<sub>min</sub>, R<sub>max</sub>
Extremwerte des PTC-Sprungs
mit Vorzeichenwechsel im
Temperaturkoeffizienten

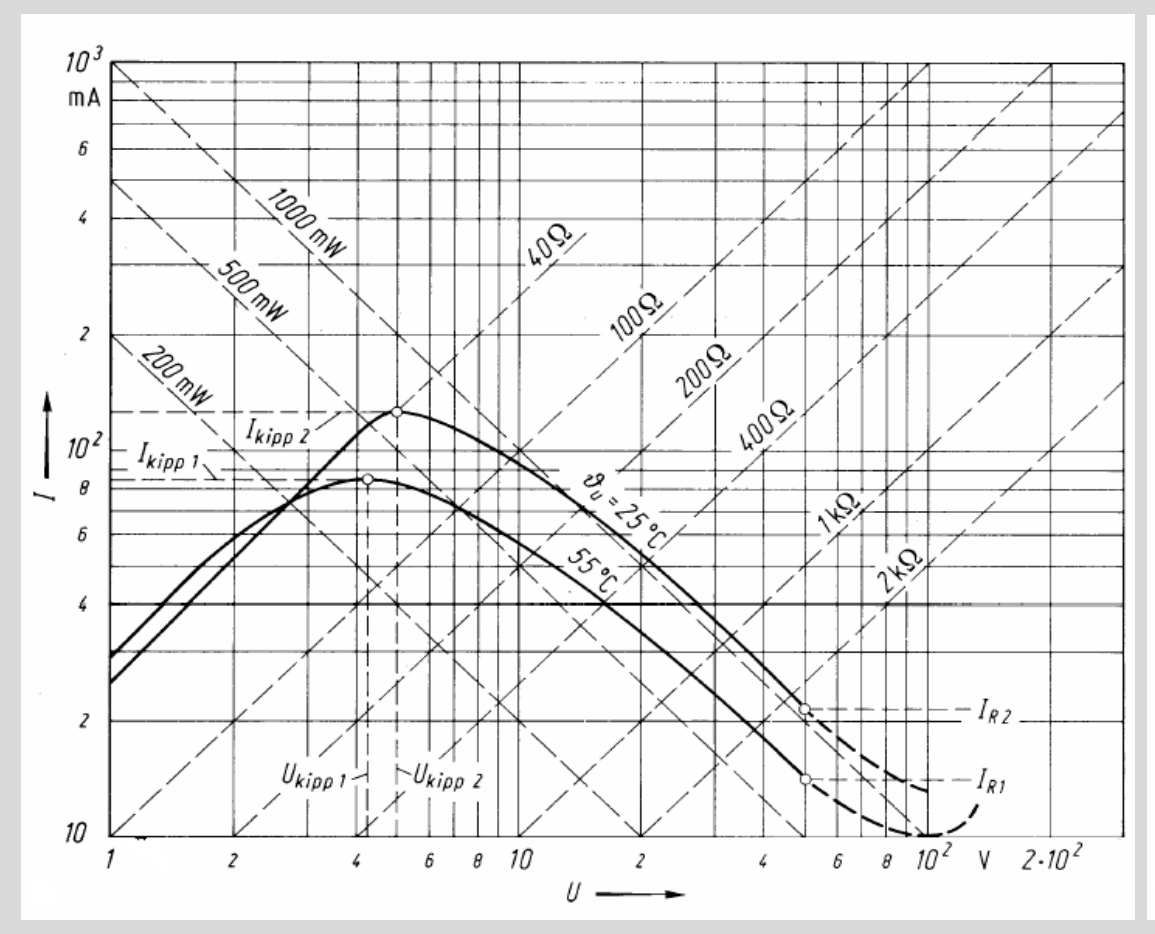
R<sub>max</sub>/R<sub>min</sub> nutzbarer Widerstandshub Maximalverhältnis 10<sup>7</sup>

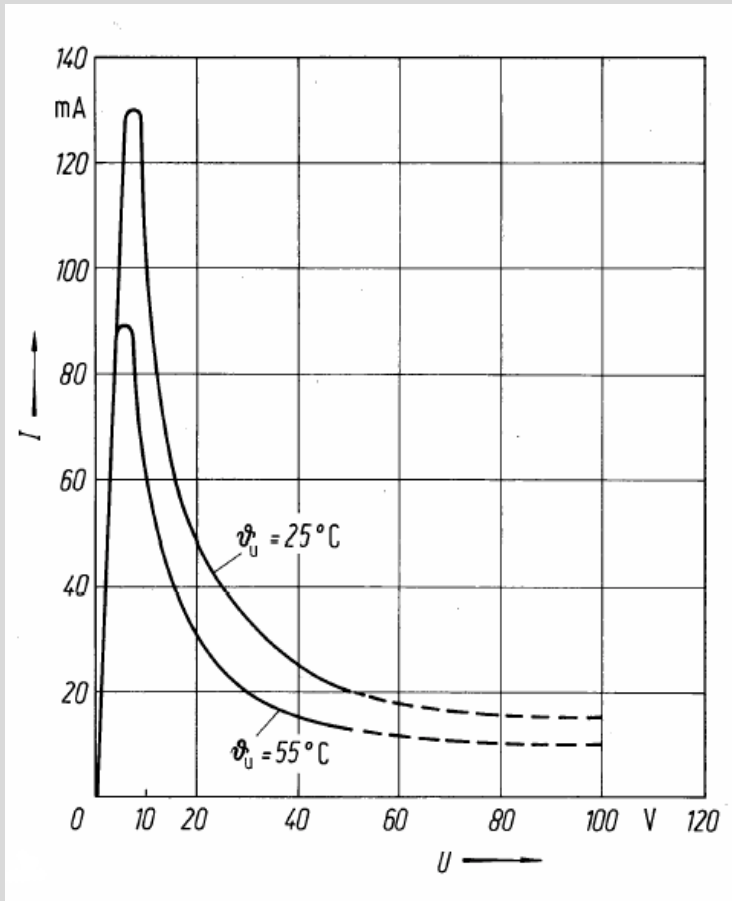
 $T_B$ Bezugs- oder Nenntemperatur
des Bauelements bei der  $R_B = 2 R_{min}$   $T_B$ -Werte von -30...+250 °C

 $TK_R$ : Temperaturkoeffizient des Widerstandes  $TK_R = \frac{1}{R} \cdot \frac{dR}{dT}$ ,  $TK_R$ -Werte von 5...70 % K<sup>-1</sup>

#### 2.3 Halbleitende Metalloxide Nichtlineare U/I-Kennlinie des PTCs aufgrund Eigenerwärmung







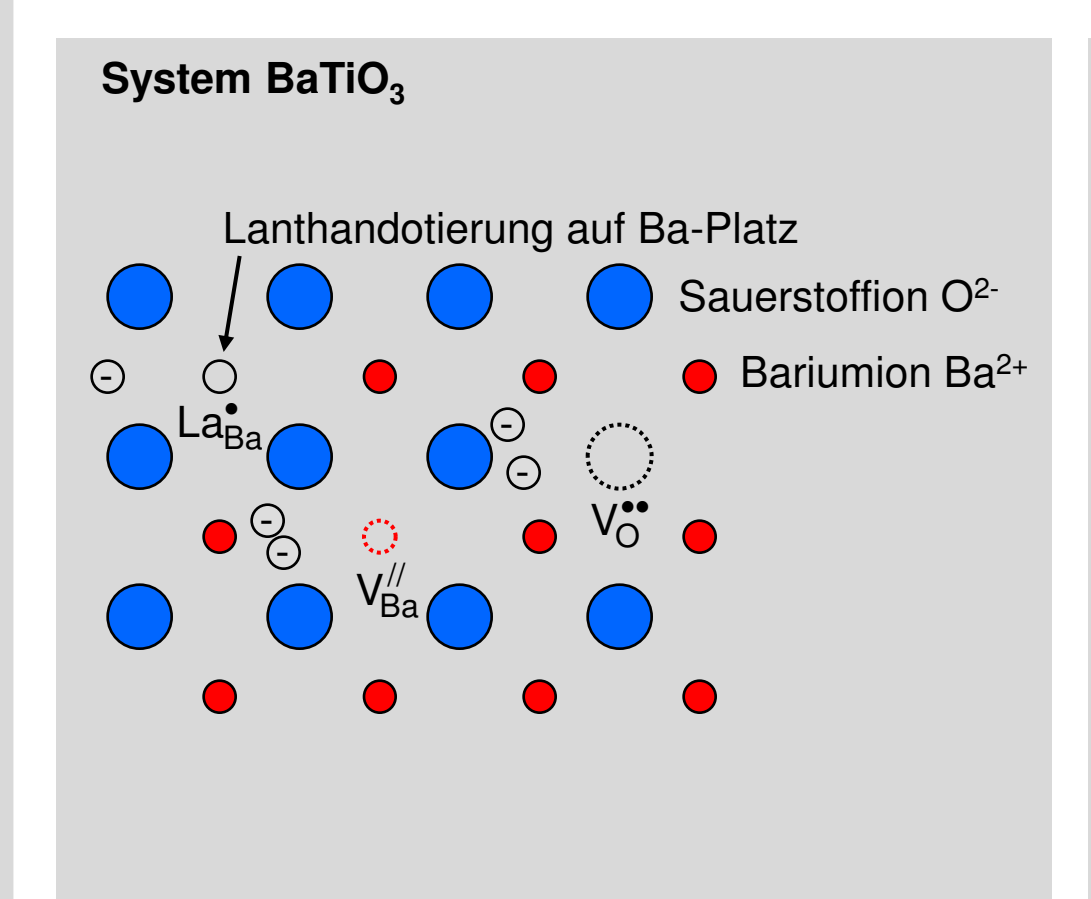
[Zinke 1982]



# Physikalische Grundlagen des Kaltleitereffekts

## 2.3 Halbleitende Metalloxide Defektchemische Grundlagen von n-dotiertem Bariumtitanat (BaTiO<sub>3</sub>)





Entstehung der Bariumleerstellen:

$$Ba_{Ba}^{x} + O_{O}^{x} \rightleftharpoons V_{Ba}^{//} + V_{O}^{\bullet \bullet} + BaO \uparrow$$

Entstehung der Sauerstoffleerstellen:

$$O_0^{\mathsf{X}} \rightleftharpoons V_0^{\bullet \bullet} + 2\mathrm{e}^{/} + \frac{1}{2}O_2(\mathrm{g}) \uparrow$$

n-Dotierung am Beispiel Lanthan:

$$La_{La}^{x} \rightleftharpoons La_{Ba}^{\bullet} + e^{/}$$

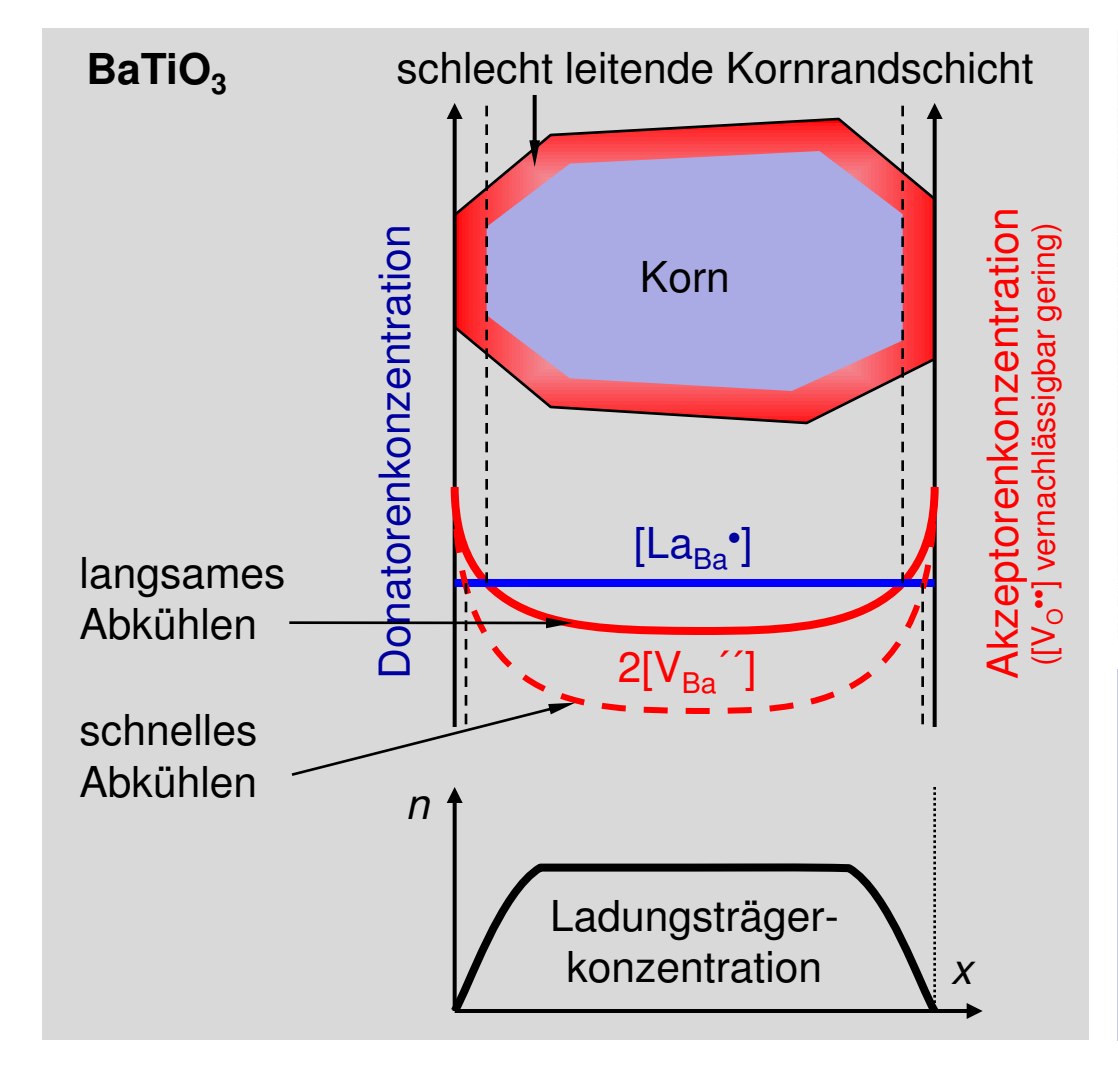
Elektroneutralität:

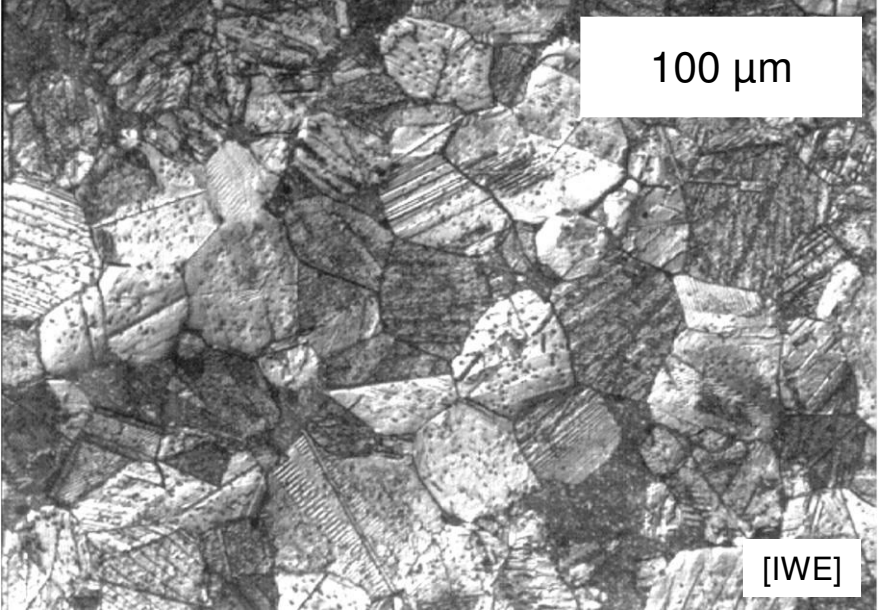
$$[e']+2[V''_{Ba}]\approx 2[V''_{O}]+[La^{\bullet}_{Ba}]$$

(intrinsische) Akzeptoren (intrinsische) (extrinsische)
Donatoren

#### 2.3 Halbleitende Metalloxide Elektrische Eigenschaften der Korngrenzen in Bariumtitanat







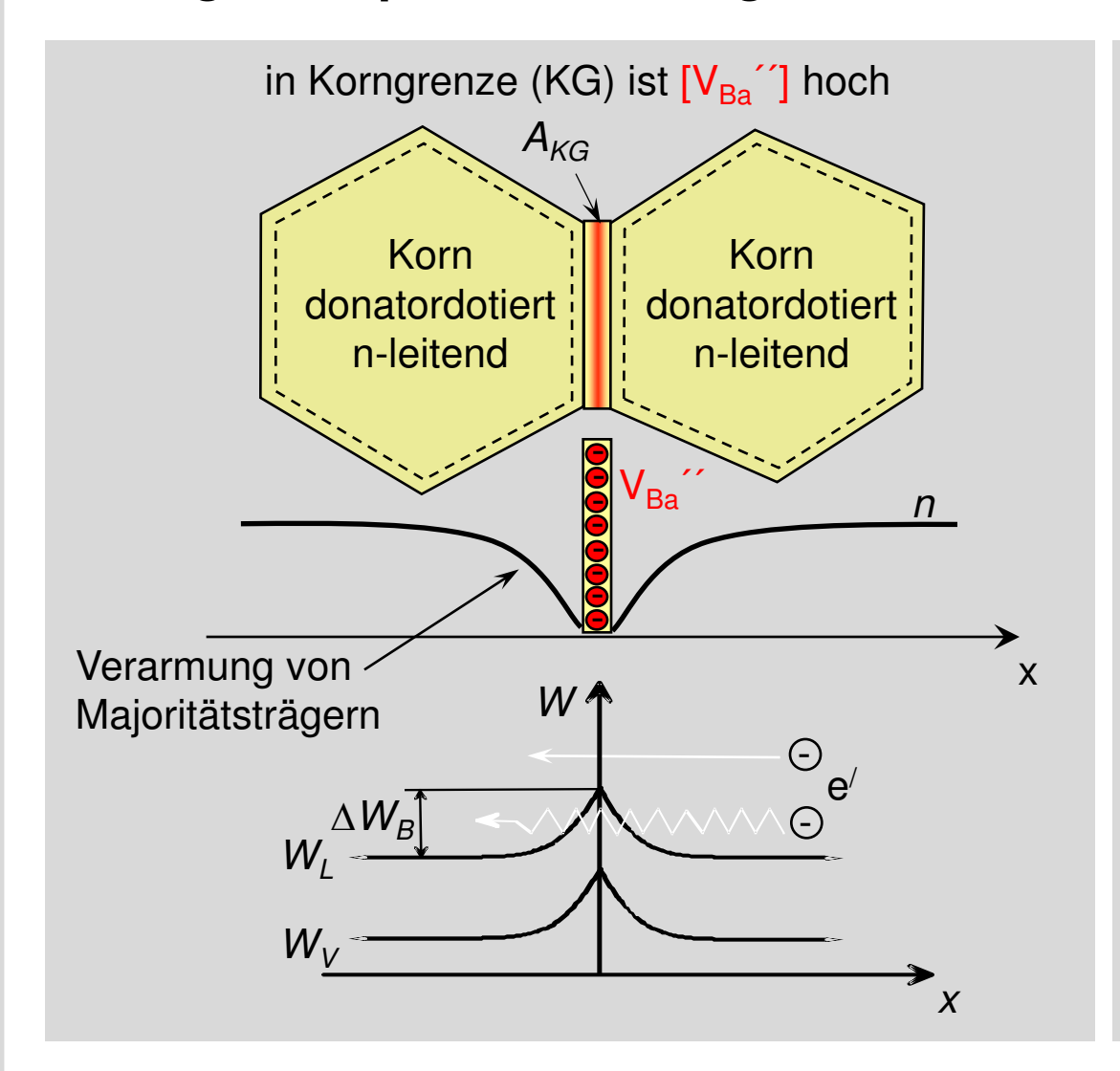
Bariumleerstellenkonzentration und Profil werden von der Abkühlrate bestimmt.

schnelles Abkühlen ⇒ dünnere isolierende Kornrandschicht



## 2.3 Halbleitende Metalloxide Ladungstransport über Korngrenze





Höhe des Potentials der Schottky-Barriere  $\Delta W_B$  an der Korngrenze

$$\Delta W_B = \frac{e_0 [A_{KG}]^2}{8n\varepsilon_0 \varepsilon_r}$$

 $[A_{KG}]$ : Oberflächenladung an der Korngrenze  $(V_{Ba})$ 

Leitfähigkeit (Tunnelstrom)

$$\sigma \sim \exp\left(-\frac{\Delta W_B}{k \cdot T}\right)$$

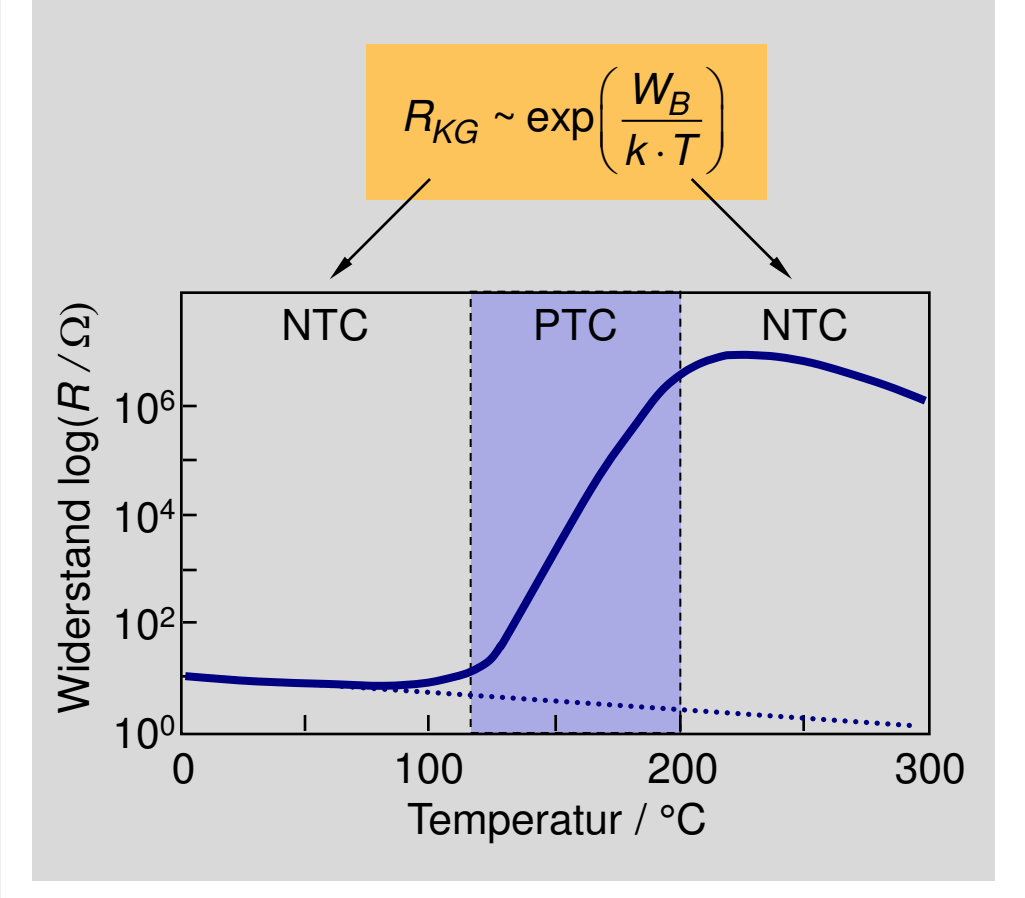
Widerstand der Korngrenzen

$$R_{KG} \sim \exp\left(\frac{\Delta W_B}{k \cdot T}\right)$$

#### 2.3 Halbleitende Metalloxide Phasenwechsel im Temperaturbereich des PTC-Verhaltens

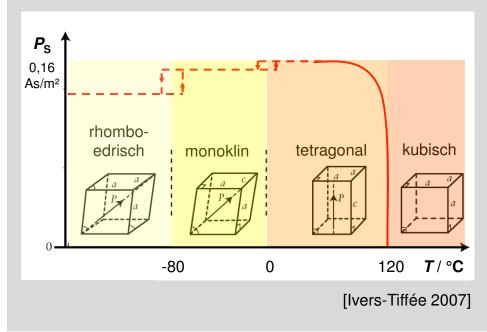


Temperaturfunktion des Korngrenzwiderstands kann die Widerstandszunahme nicht erklären.



Von Bariumtitanat ist bekannt, dass in dem Temperaturbereich, wo das PTC-Verhalten vorherrscht, ein Phasenwechsel im Gitter des Perowskitkristalls stattfindet.

 $\Rightarrow$  spontane Polarisation  $P_s$  als f(T)



#### 2.3 Halbleitende Metalloxide

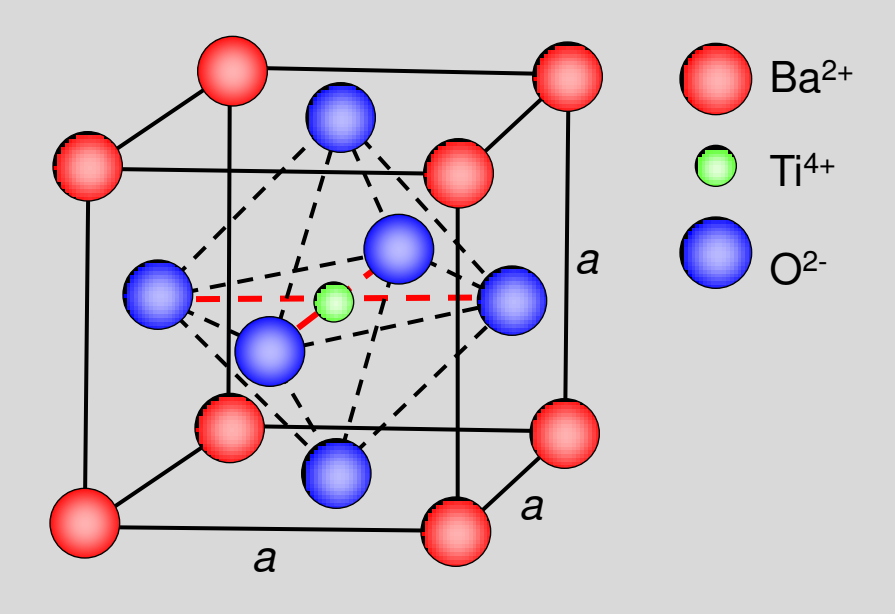
#### Vorgriff auf Ferroelektrika: Spontane Entstehung von Polarisationsladungen



 $T > T_C$ : • kubisches Gitter

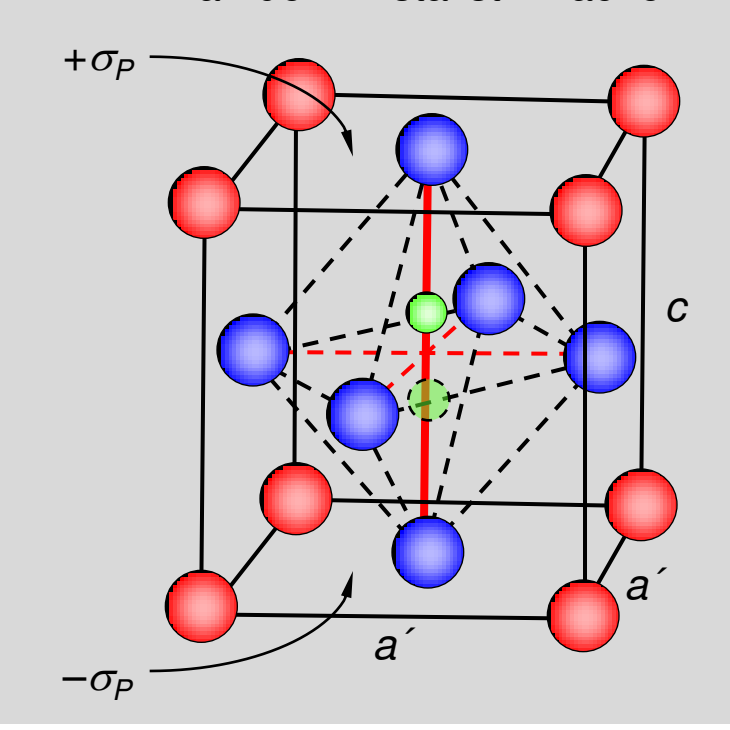
paraelektrischer Zustand

*T<sub>C</sub>*: Phasenumwandlungstemperatur bzw. Curie-Punkt



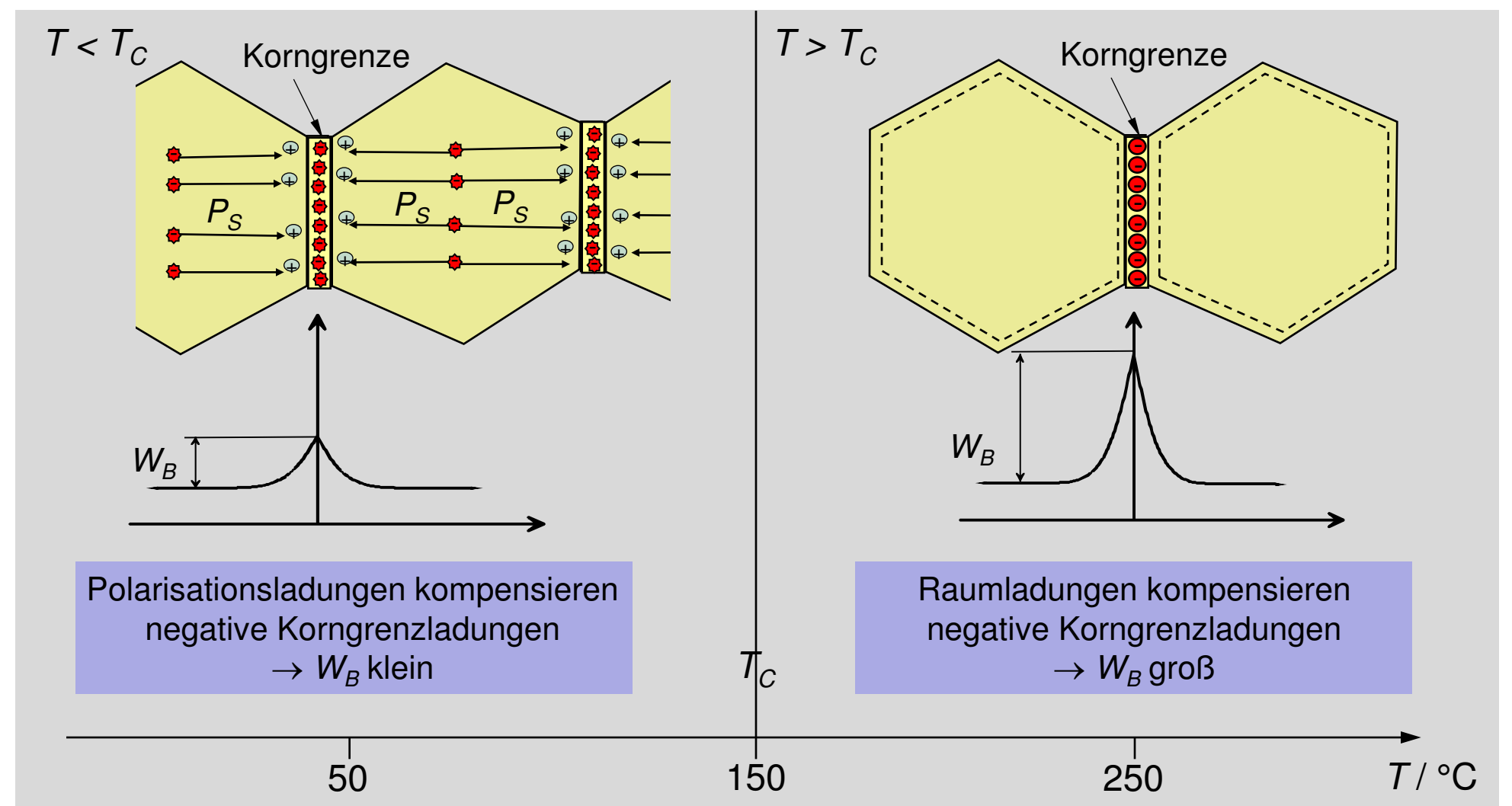
 $T < T_C$ : • tetragonales Gitter

- · ferroelektrischer Zustand
- spontane Ladungsverschiebung
- permanente Flächenladungen  $\sigma_P$  an den Kristallstirnflächen



#### 2.3 Halbleitende Metalloxide Kompensation der Potentialbarriere durch spontane Polarisation

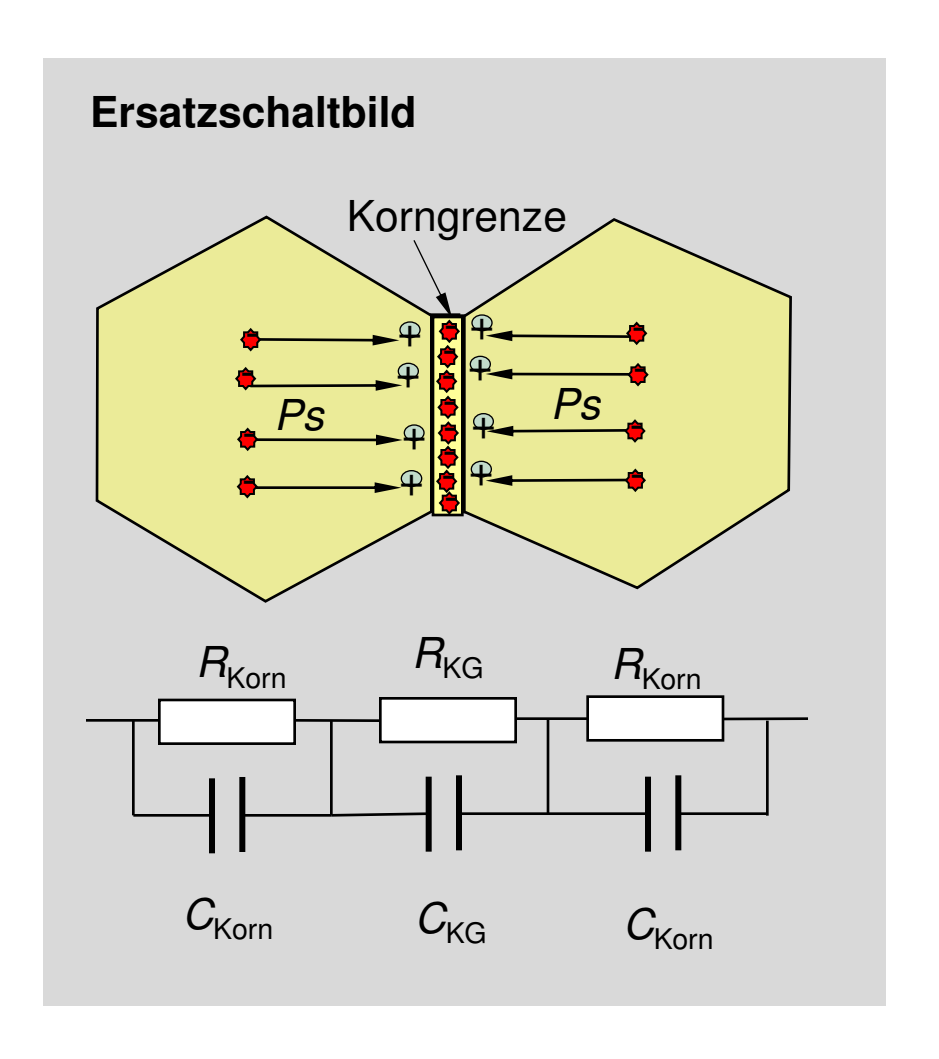






#### 2.3 Halbleitende Metalloxide Elektrisches Ersatzschaltbild und Zusammenfassung





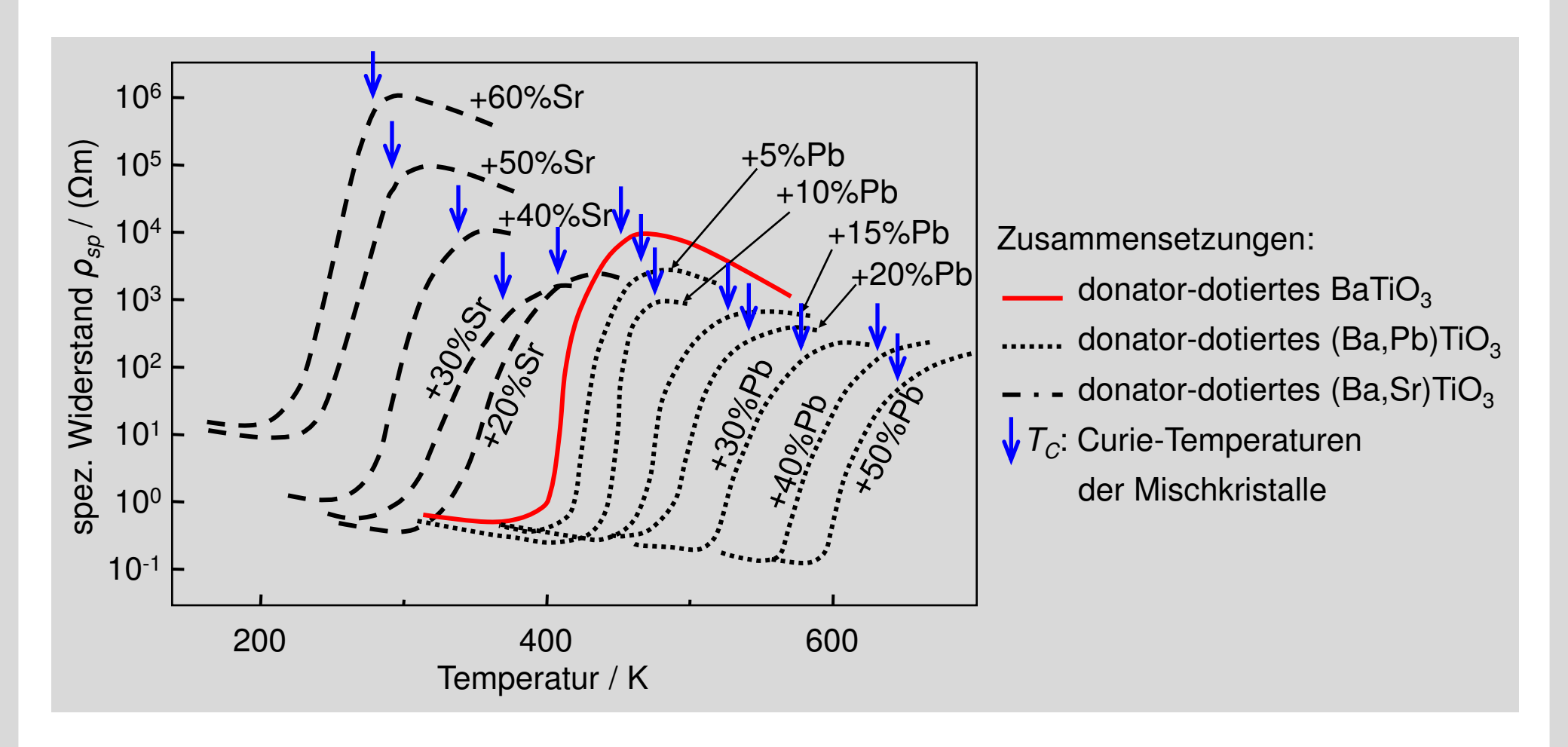
#### Zusammenfassung

Keramische Kaltleiter bestehen aus polykristallinen ferroelektrischen n-leitenden Metalloxiden, wie z.B. n-dotiertes BaTiO<sub>3</sub>.

Der PTC-Effekt beruht auf dem Zusammenspiel der Korngrenzsperrschicht (doppelte Schottky-Barriere,  $V_{Ba}$ ') und dem Phasenübergang ferroelektrisch/paraelektrisch des Kristalls bei  $T = T_C$ .

## 2.3 Halbleitende Metalloxide Verschiebung der Phasenumwandlungstemperatur durch Dotierung







Multiple-Choice-Frage MC2: Nichtlineare Widerstände

#### **PTC-Widerstände**

- a) weisen in weiten Temperaturbereichen einen negativen Temperaturkoeffizienten des Widerstandes auf.
- b) können aus Bariumtitanat-Einkristallen bestehen.
- c) sind als Heizelemente hervorragend geeignet, da oberhalb der Bezugstemperatur der Widerstand stark ansteigt und die Leistung begrenzt.



Multiple-Choice-Frage MC2: Nichtlineare Widerstände

#### **PTC-Widerstände**



- a) weisen in weiten Temperaturbereichen einen negativen Temperaturkoeffizienten des Widerstandes auf.
- b) können aus Bariumtitanat-Einkristallen bestehen.
- c) sind als Heizelemente hervorragend geeignet, da oberhalb der Bezugstemperatur der Widerstand stark ansteigt und die Leistung begrenzt.



#### Multiple-Choice-Frage MC2: Nichtlineare Widerstände

#### **PTC-Widerstände**



a) weisen in weiten Temperaturbereichen einen negativen Temperaturkoeffizienten des Widerstandes auf.



- b) können aus Bariumtitanat-Einkristallen bestehen.
- c) sind als Heizelemente hervorragend geeignet, da oberhalb der Bezugstemperatur der Widerstand stark ansteigt und die Leistung begrenzt.



### Multiple-Choice-Frage MC2: Nichtlineare Widerstände

#### **PTC-Widerstände**



a) weisen in weiten Temperaturbereichen einen negativen Temperaturkoeffizienten des Widerstandes auf.



b) können aus Bariumtitanat-Einkristallen bestehen.



c) sind als Heizelemente hervorragend geeignet, da oberhalb der Bezugstemperatur der Widerstand stark ansteigt und die Leistung begrenzt.



## Vorlesung 8



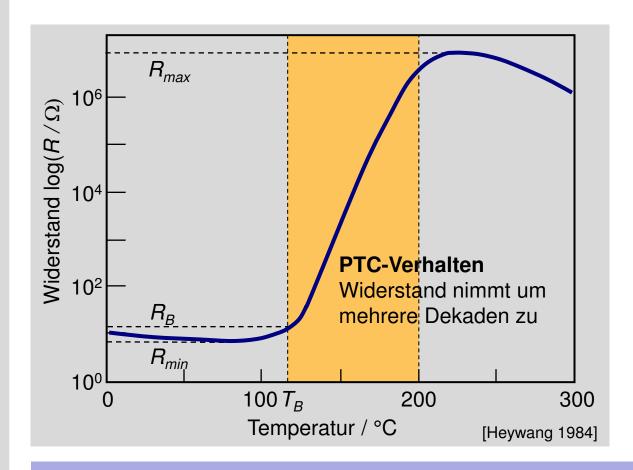


# Physikalische Grundlagen des Kaltleitereffekts



## 2.3 Halbleitende Metalloxide Temperaturabhängigkeit des Widerstands eines Kaltleiters





R<sub>min</sub>, R<sub>max</sub>
Extremwerte des PTC-Sprungs
mit Vorzeichenwechsel im
Temperaturkoeffizienten

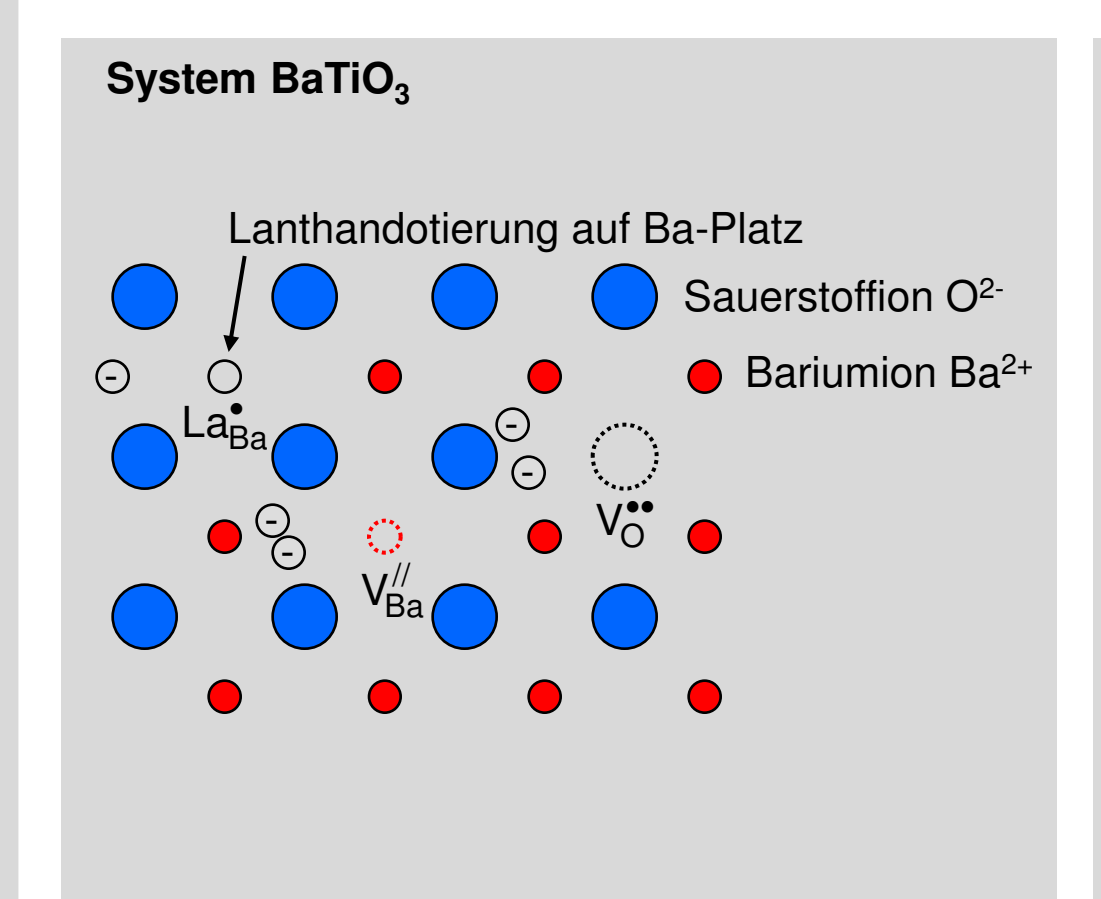
R<sub>max</sub>/R<sub>min</sub> nutzbarer Widerstandshub Maximalverhältnis 10<sup>7</sup>

 $T_B$ Bezugs- oder Nenntemperatur
des Bauelements bei der  $R_B = 2 R_{min}$   $T_B$ -Werte von -30...+250 °C

 $TK_R$ : Temperaturkoeffizient des Widerstandes  $TK_R = \frac{1}{R} \cdot \frac{dR}{dT}$ ,  $TK_R$ -Werte von 5...70 % K<sup>-1</sup>

## 2.3 Halbleitende Metalloxide Defektchemische Grundlagen von n-dotiertem Bariumtitanat (BaTiO<sub>3</sub>)





Entstehung der Bariumleerstellen:

$$Ba_{Ba}^{x} + O_{O}^{x} \rightleftharpoons V_{Ba}^{//} + V_{O}^{\bullet \bullet} + BaO \uparrow$$

Entstehung der Sauerstoffleerstellen:

$$O_0^{\mathsf{X}} \rightleftharpoons V_0^{\bullet \bullet} + 2\mathrm{e}^{/} + \frac{1}{2}O_2(\mathrm{g}) \uparrow$$

n-Dotierung am Beispiel Lanthan:

$$La_{La}^{x} \rightleftharpoons La_{Ba}^{\bullet} + e^{/}$$

Elektroneutralität:

$$[e'] + 2[V''_{Ba}] \approx 2[V''_{O}] + [La^{\bullet}_{Ba}]$$

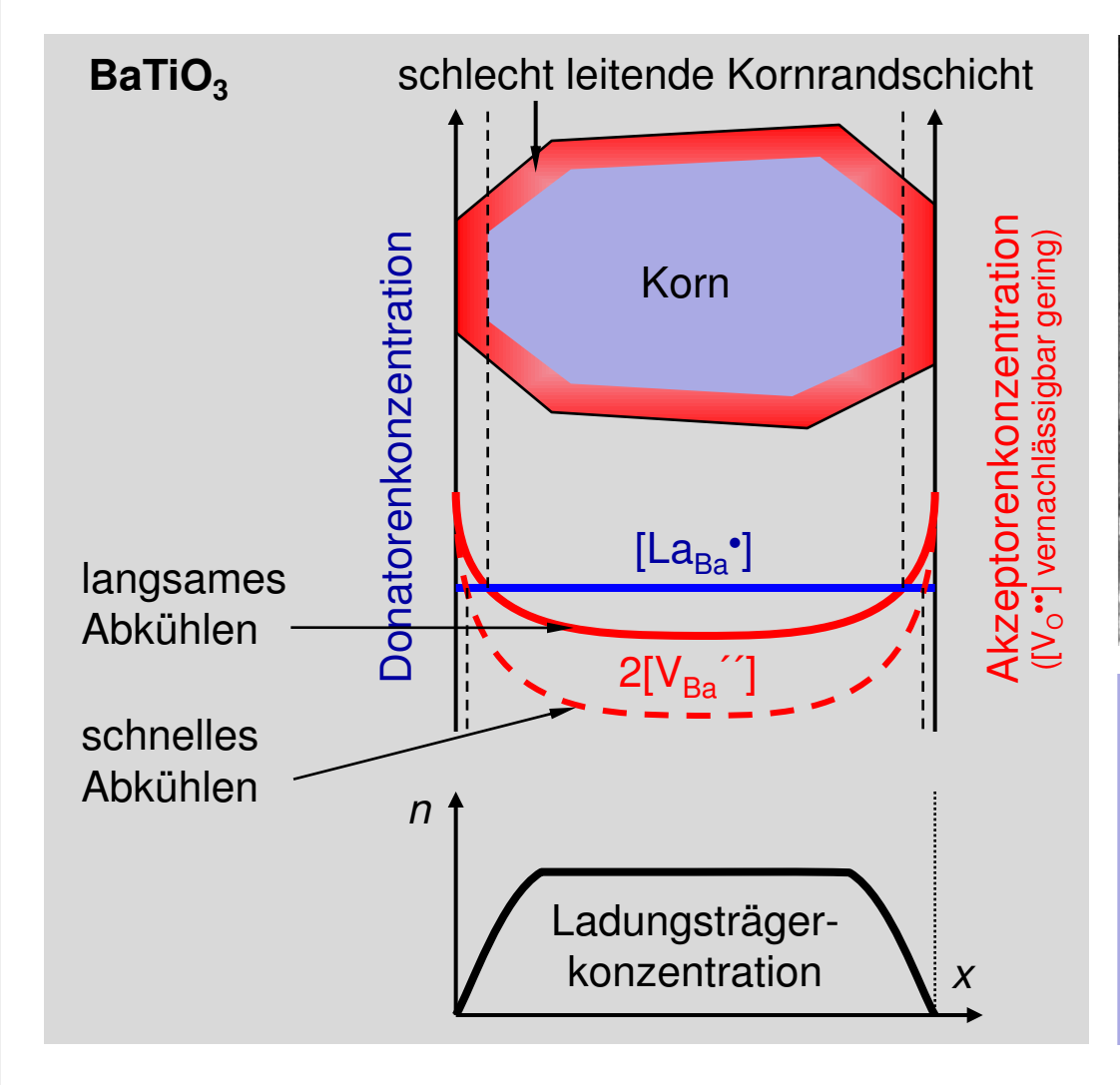
(intrinsische)
Akzeptoren

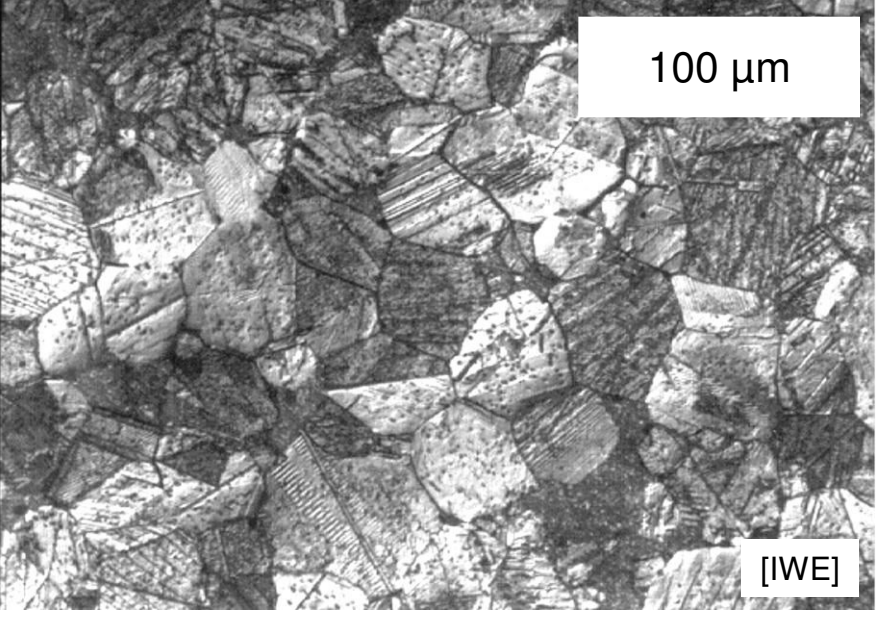
(intrinsische) (extrinsische)

Donatoren

## 2.3 Halbleitende Metalloxide Elektrische Eigenschaften der Korngrenzen in Bariumtitanat





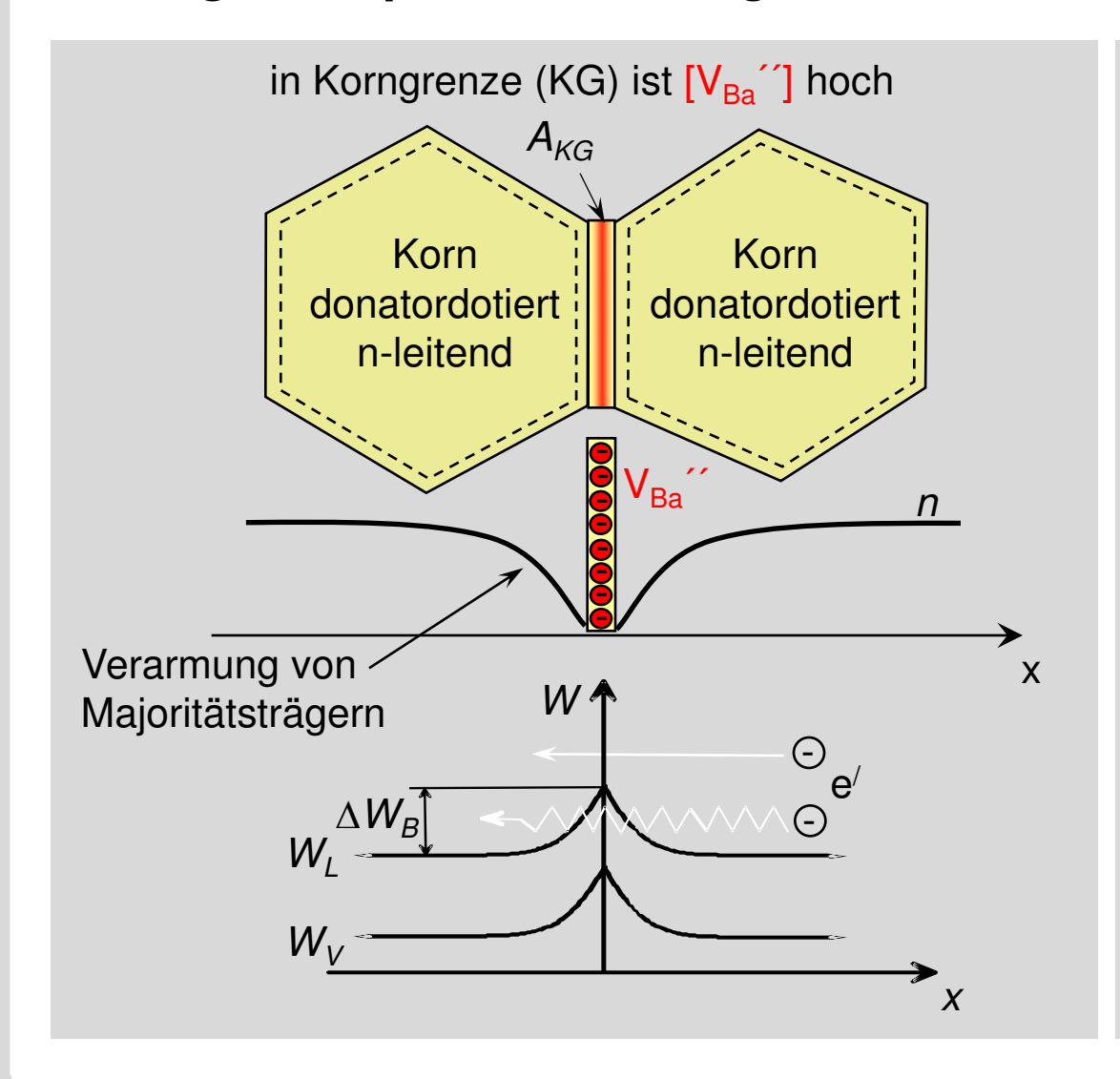


Bariumleerstellenkonzentration und Profil werden von der Abkühlrate bestimmt.

schnelles Abkühlen ⇒ dünnere isolierende Kornrandschicht

## 2.3 Halbleitende Metalloxide Ladungstransport über Korngrenze





Höhe des Potentials der Schottky-Barriere  $\Delta W_B$  an der Korngrenze

$$\Delta W_B = \frac{e_0 [A_{KG}]^2}{8n\varepsilon_0 \varepsilon_r}$$

 $[A_{KG}]$ : Oberflächenladung an der Korngrenze  $(V_{Ba})$ 

Leitfähigkeit (Tunnelstrom)

$$\sigma \sim \exp\left(-\frac{\Delta W_B}{k \cdot T}\right)$$

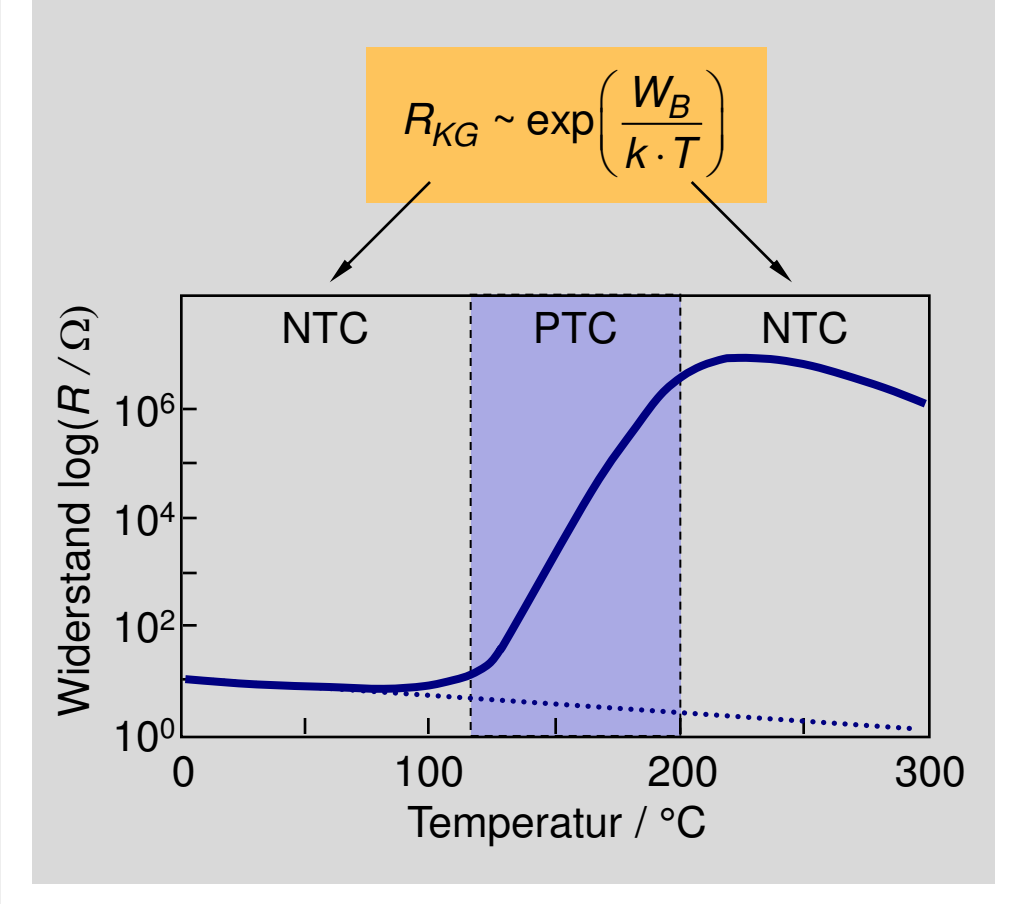
Widerstand der Korngrenzen

$$R_{KG} \sim \exp\left(\frac{\Delta W_B}{k \cdot T}\right)$$

## 2.3 Halbleitende Metalloxide Phasenwechsel im Temperaturbereich des PTC-Verhaltens

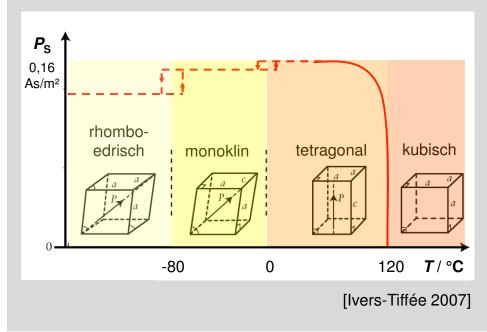


Temperaturfunktion des Korngrenzwiderstands kann die Widerstandszunahme nicht erklären.



Von Bariumtitanat ist bekannt, dass in dem Temperaturbereich, wo das PTC-Verhalten vorherrscht, ein Phasenwechsel im Gitter des Perowskitkristalls stattfindet.

 $\Rightarrow$  spontane Polarisation  $P_s$  als f(T)



### 2.3 Halbleitende Metalloxide

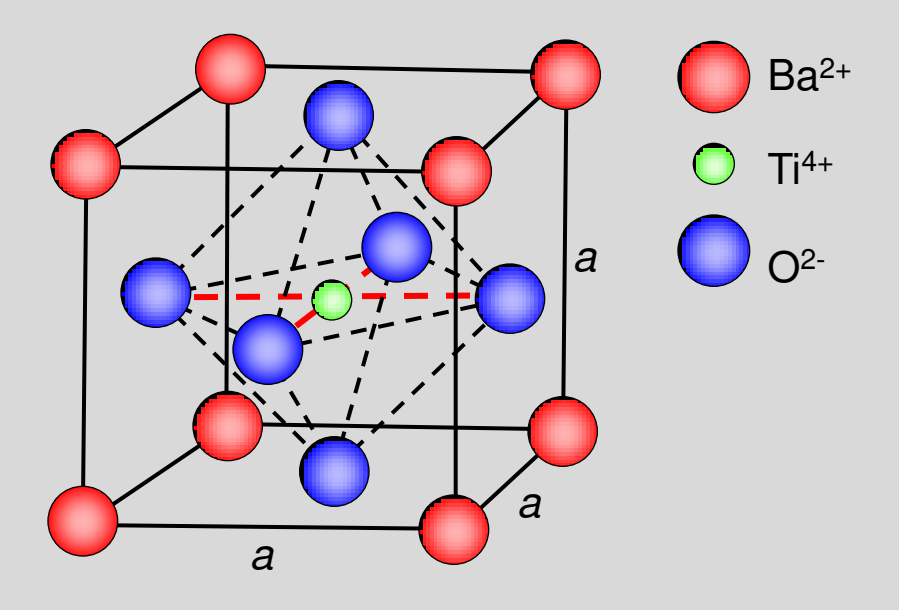
### Vorgriff auf Ferroelektrika: Spontane Entstehung von Polarisationsladungen



 $T > T_C$ : • kubisches Gitter

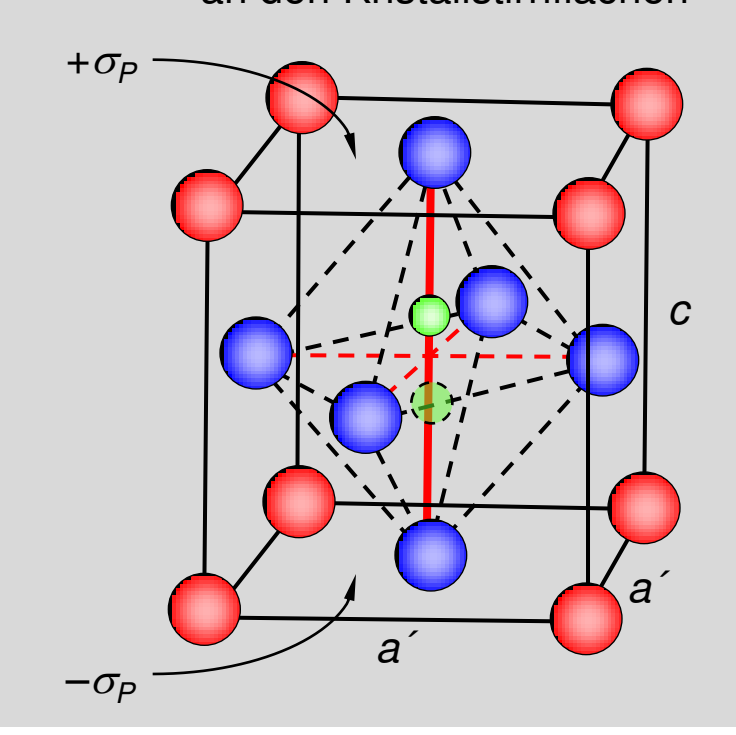
paraelektrischer Zustand

*T<sub>C</sub>*: Phasenumwandlungstemperatur bzw. Curie-Punkt



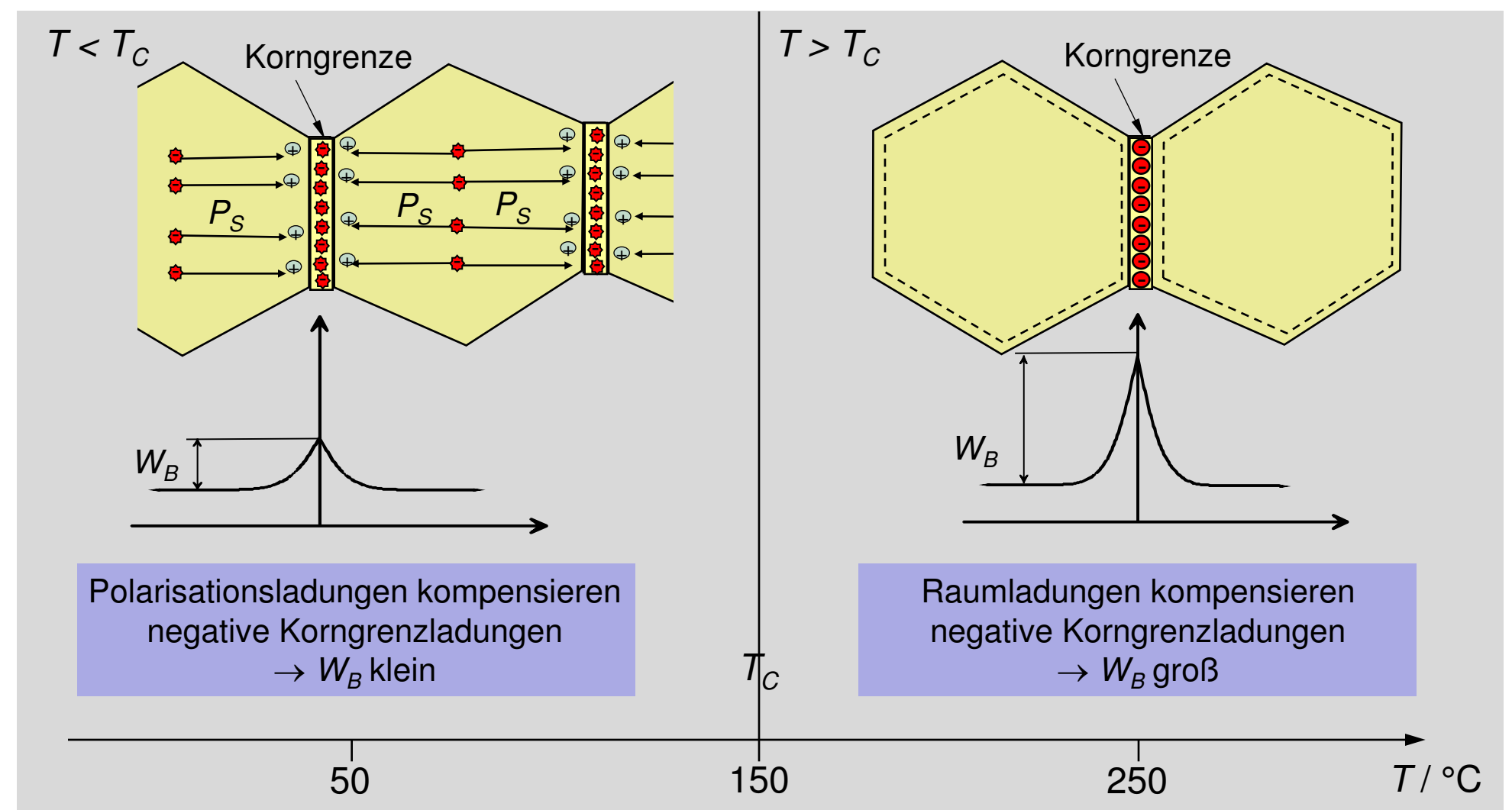
 $T < T_C$ : • tetragonales Gitter

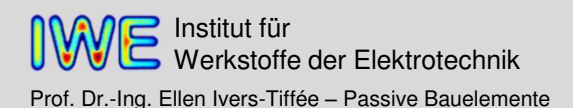
- · ferroelektrischer Zustand
- spontane Ladungsverschiebung
- permanente Flächenladungen  $\sigma_P$  an den Kristallstirnflächen



## 2.3 Halbleitende Metalloxide Kompensation der Potentialbarriere durch spontane Polarisation

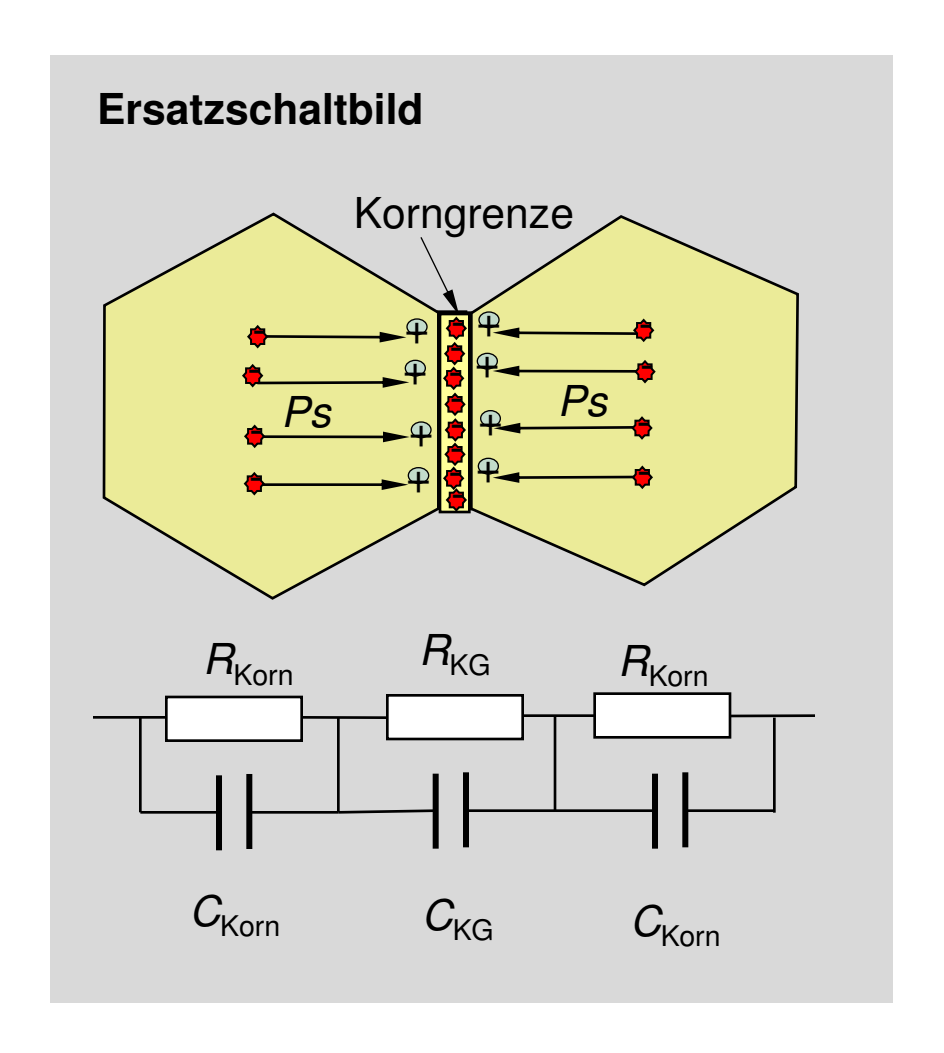






## 2.3 Halbleitende Metalloxide Elektrisches Ersatzschaltbild und Zusammenfassung





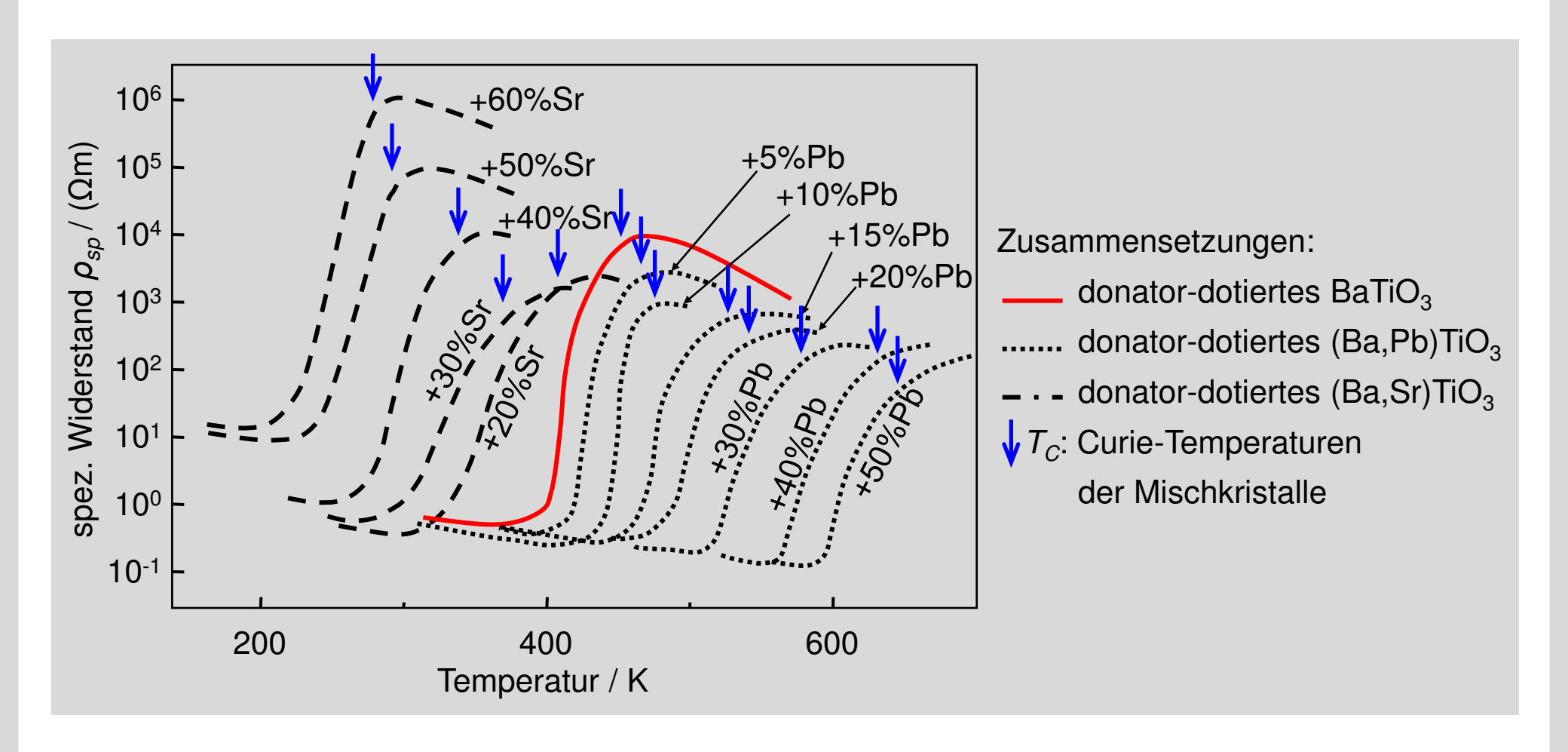
#### Zusammenfassung

Keramische Kaltleiter bestehen aus polykristallinen ferroelektrischen n-leitenden Metalloxiden, wie z.B. n-dotiertes BaTiO<sub>3</sub>.

Der PTC-Effekt beruht auf dem Zusammenspiel der Korngrenzsperrschicht (doppelte Schottky-Barriere,  $V_{Ba}$ ') und dem Phasenübergang ferroelektrisch/paraelektrisch des Kristalls bei  $T = T_C$ .

## 2.3 Halbleitende Metalloxide Verschiebung der Phasenumwandlungstemperatur durch Dotierung







Multiple-Choice-Frage MC2: Nichtlineare Widerstände

#### **PTC-Widerstände**

- a) weisen in weiten Temperaturbereichen einen negativen Temperaturkoeffizienten des Widerstandes auf.
- b) können aus Bariumtitanat-Einkristallen bestehen.
- c) sind als Heizelemente hervorragend geeignet, da oberhalb der Bezugstemperatur der Widerstand stark ansteigt und die Leistung begrenzt.



#### Multiple-Choice-Frage MC2: Nichtlineare Widerstände

#### **PTC-Widerstände**



- a) weisen in weiten Temperaturbereichen einen negativen Temperaturkoeffizienten des Widerstandes auf.
- b) können aus Bariumtitanat-Einkristallen bestehen.
- c) sind als Heizelemente hervorragend geeignet, da oberhalb der Bezugstemperatur der Widerstand stark ansteigt und die Leistung begrenzt.



#### Multiple-Choice-Frage MC2: Nichtlineare Widerstände

#### **PTC-Widerstände**



a) weisen in weiten Temperaturbereichen einen negativen Temperaturkoeffizienten des Widerstandes auf.



- b) können aus Bariumtitanat-Einkristallen bestehen.
- c) sind als Heizelemente hervorragend geeignet, da oberhalb der Bezugstemperatur der Widerstand stark ansteigt und die Leistung begrenzt.



#### Multiple-Choice-Frage MC2: Nichtlineare Widerstände

#### **PTC-Widerstände**



a) weisen in weiten Temperaturbereichen einen negativen Temperaturkoeffizienten des Widerstandes auf.



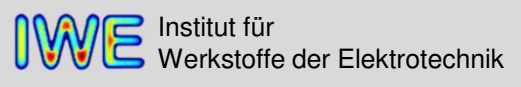
b) können aus Bariumtitanat-Einkristallen bestehen.



c) sind als Heizelemente hervorragend geeignet, da oberhalb der Bezugstemperatur der Widerstand stark ansteigt und die Leistung begrenzt.



## Vorlesungsumfrage





## Ionenleitung



## 2.5 Ionenleiter Elektronische und ionische Leitfähigkeitsanteile



Die elektrische Leitfähigkeit  $\sigma$  eines Werkstoffes setzt sich additiv aus den Leitfähigkeitsanteilen aller beweglichen Ladungsträger k zusammen.

$$\sigma_{total} = \sum_{k} |z_{k}| \cdot e_{0} \cdot [A_{k}] \cdot \mu_{k} = e_{0} \cdot n \cdot \mu_{n} + e_{0} \cdot p \cdot \mu_{p} + \sum_{ion} |z_{ion}| \cdot e_{0} \cdot [V_{ion}] \cdot \mu_{ion}$$
Elektronen Löcher

 $\sigma$ : Elektrische Leitfähigkeit

 $[A_k]$ : Konzentration der Ladungsträger k

 $|z_k|$ : Ladungszahl des Ladungsträgers k

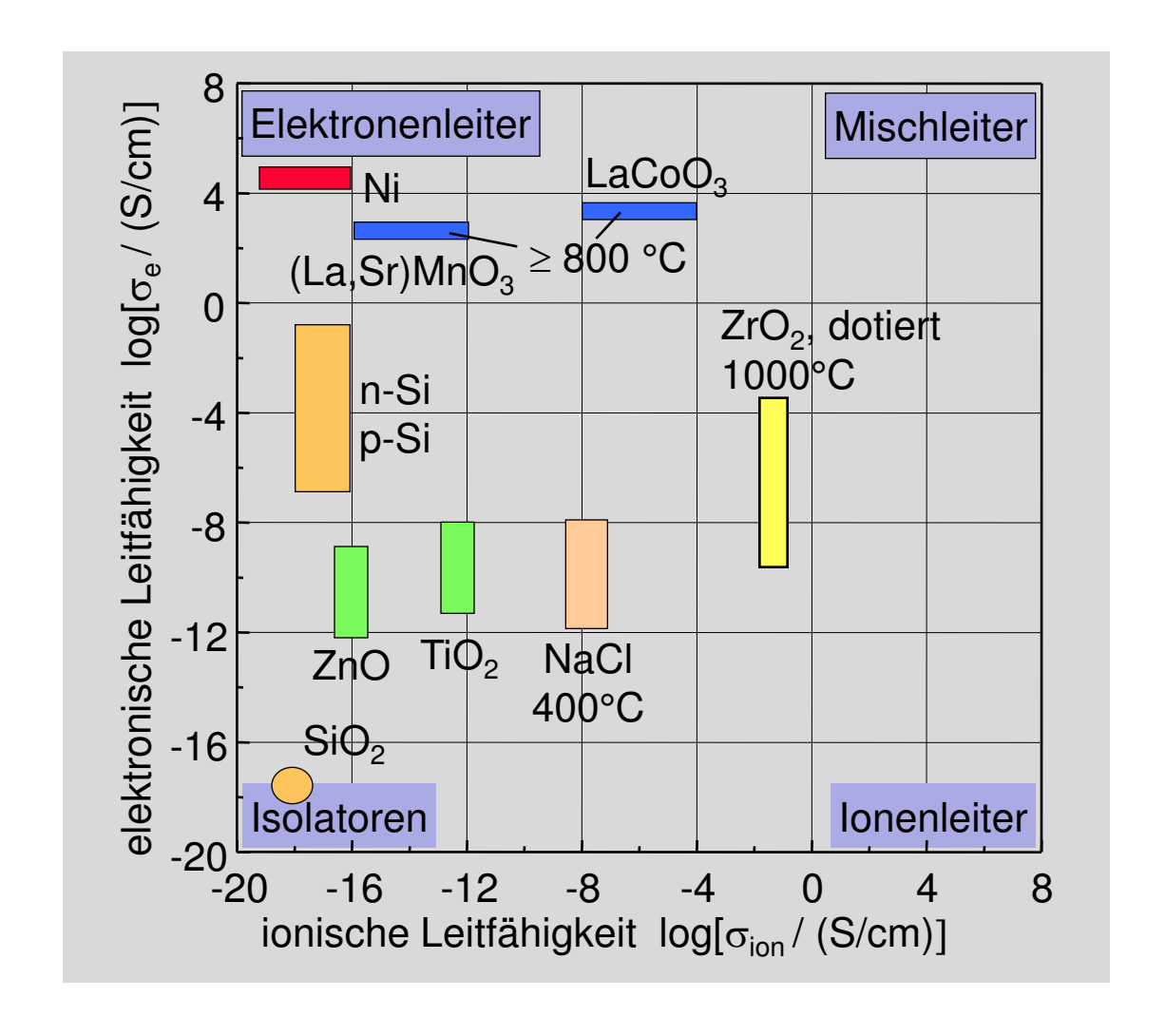
 $\mu_k$ : Beweglichkeit des Ladungsträgers k

 $\sigma_{ion}$  bewegliche Ionen (Leerstellen)

In vielen Werkstoffen (z.B. in Ionenkristallen und Oxiden) trägt ein Teil der vorhandenen Ionen zur Leitfähigkeit bei. Die Anzahl der beweglichen Ionen entspricht der Anzahl der Defekte (Leerstellen) im Kristallgitter, da die Bewegung der Ionen über die Leerstellen erfolgt.

## 2.5 Ionenleiter Elektronen-, Ionen- und Mischleiter







## 2.5 Ionenleiter Beispiel: Natriumchlorid (NaCl)



#### Beweglichkeit der Ladungsträger

$$\mu_{ion}(T) \sim \frac{1}{T} \exp\left(-\frac{E_A}{kT}\right)$$

#### Ladungsträgerkonzentration

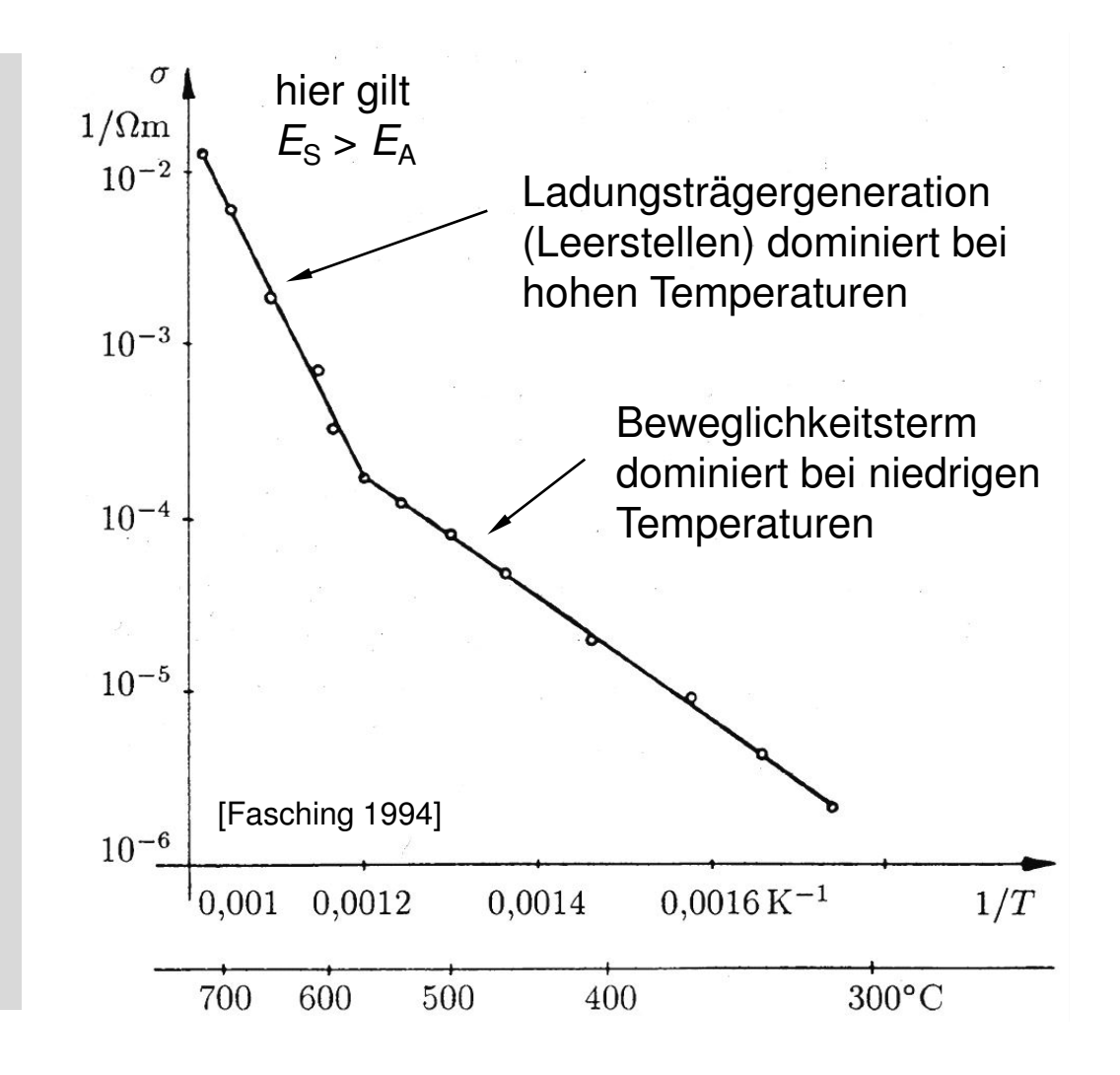
$$[A_{ion}(T)] \sim \exp\left(-\frac{E_S}{kT}\right)$$

#### Leitfähigkeit

$$\sigma(T) = z_{ion} \cdot e_0 \cdot [A_{ion}(T)] \cdot \mu_{ion}(T)$$

 $E_A$ : Aktivierungsenergie

E<sub>S</sub>: Schottky-Fehlordnungsenergie

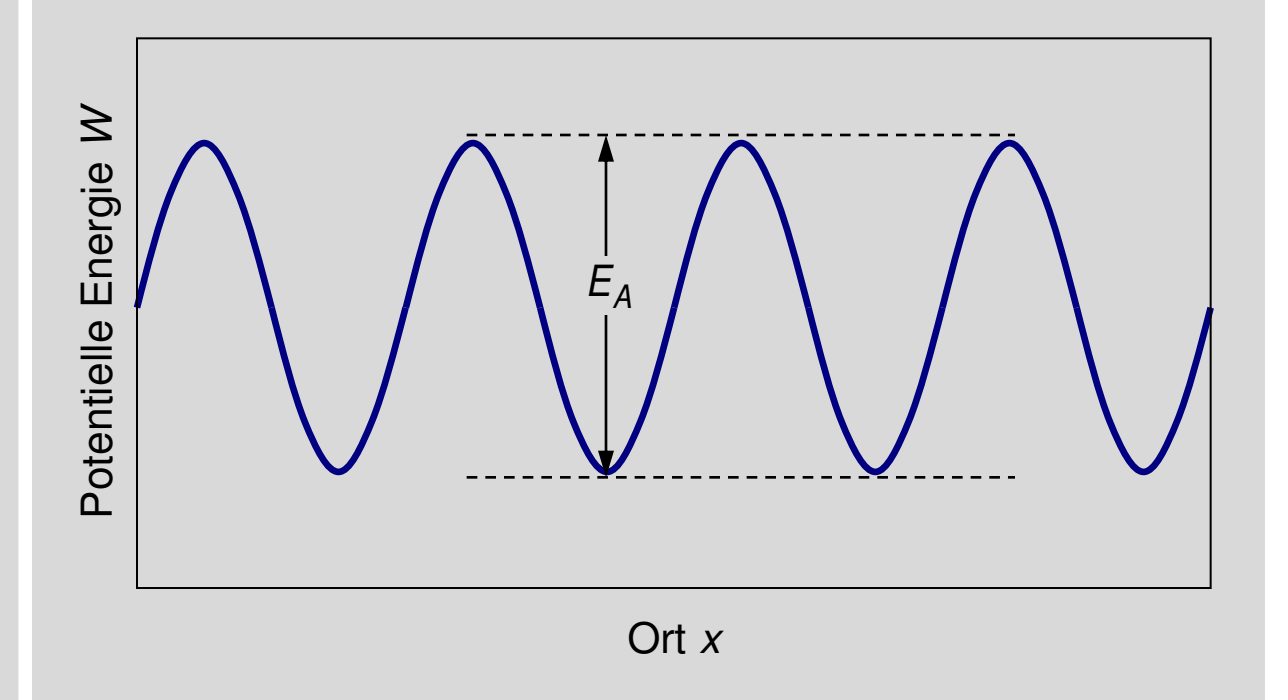


## 2.5 Ionenleiter Beweglichkeit von Ionen bzw. Leerstellen im Gitter



### **Beispiel**

Potentielle Energie von Kationenleerstellen V<sub>K</sub> im Kristallgitter der Struktur K+A-



Diffusionskonstante bei Platzwechsel (Hopping)

$$D_V = D_0 \cdot \exp\left(-\frac{E_A}{k \cdot T}\right)$$

Einstein-Beziehung

$$\mu = \frac{e \cdot D}{k \cdot T}$$

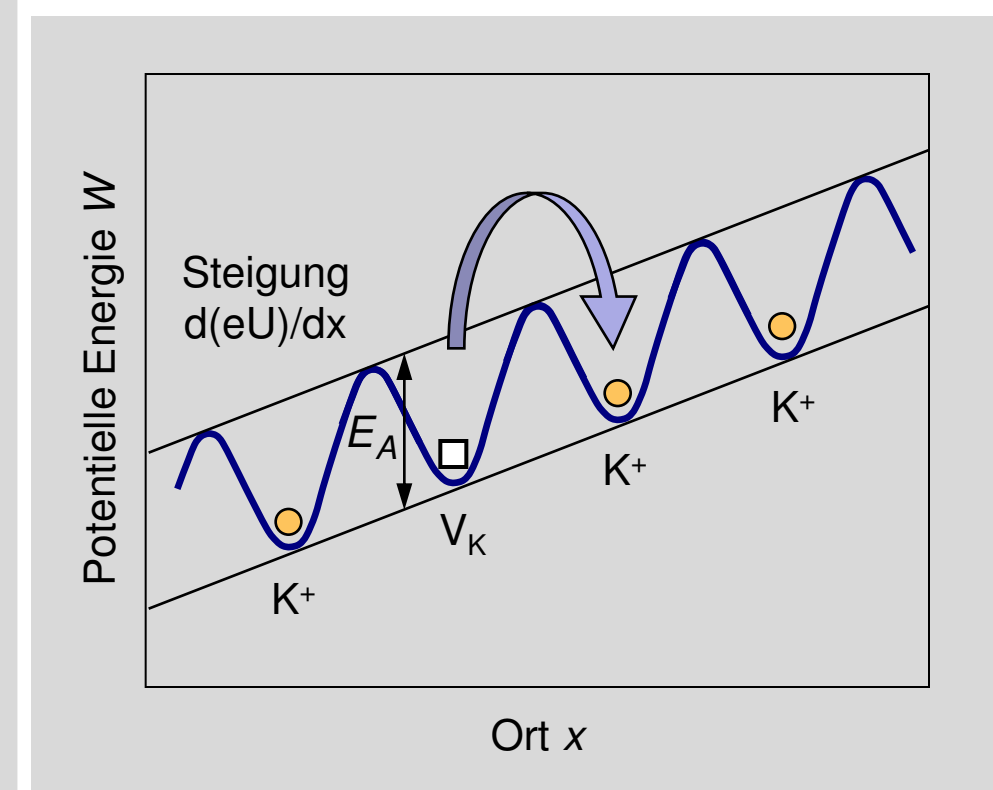
Beweglichkeit

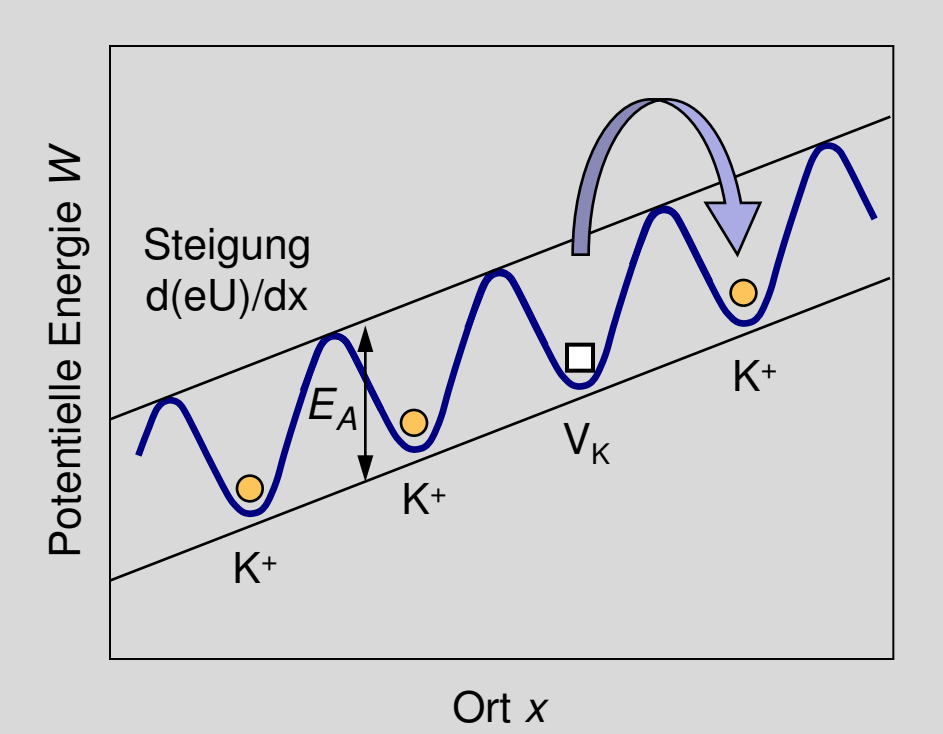
$$\mu_V = \frac{e \cdot D_0}{k \cdot T} \cdot \exp\left(-\frac{E_A}{k \cdot T}\right)$$

## 2.5 Ionenleiter Transport von Ionen/Leerstellen bei angelegter Spannung



### Transport von Kationenleerstellen V<sub>K</sub> bei angelegter Spannung U



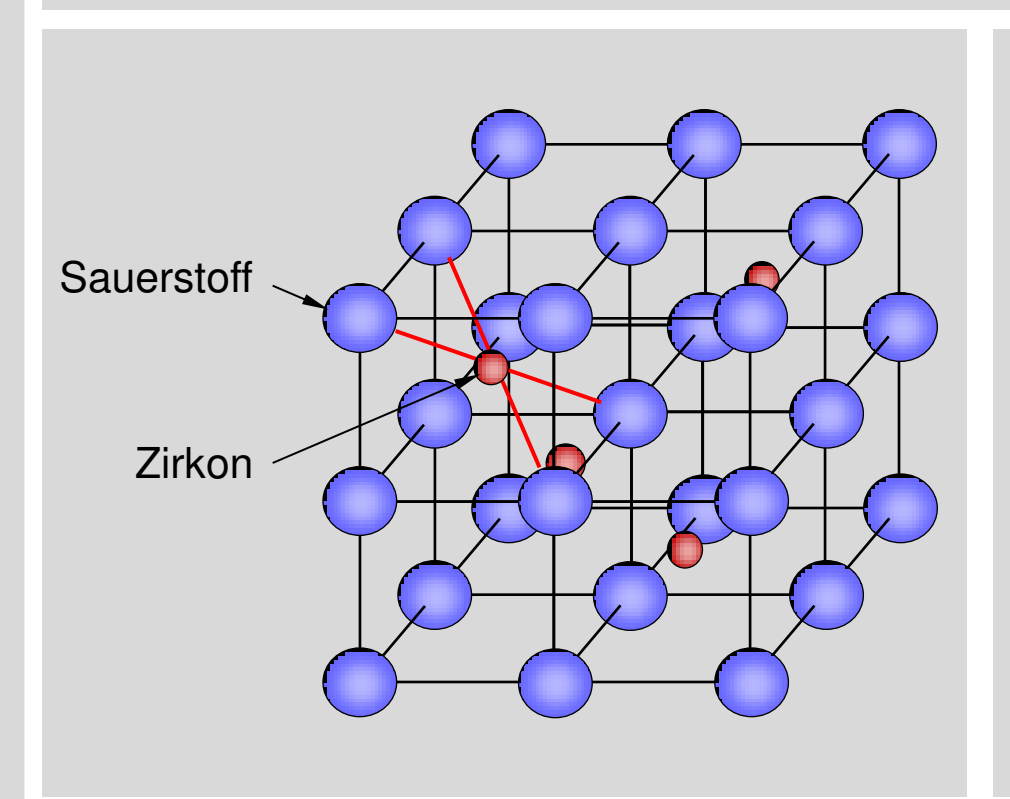


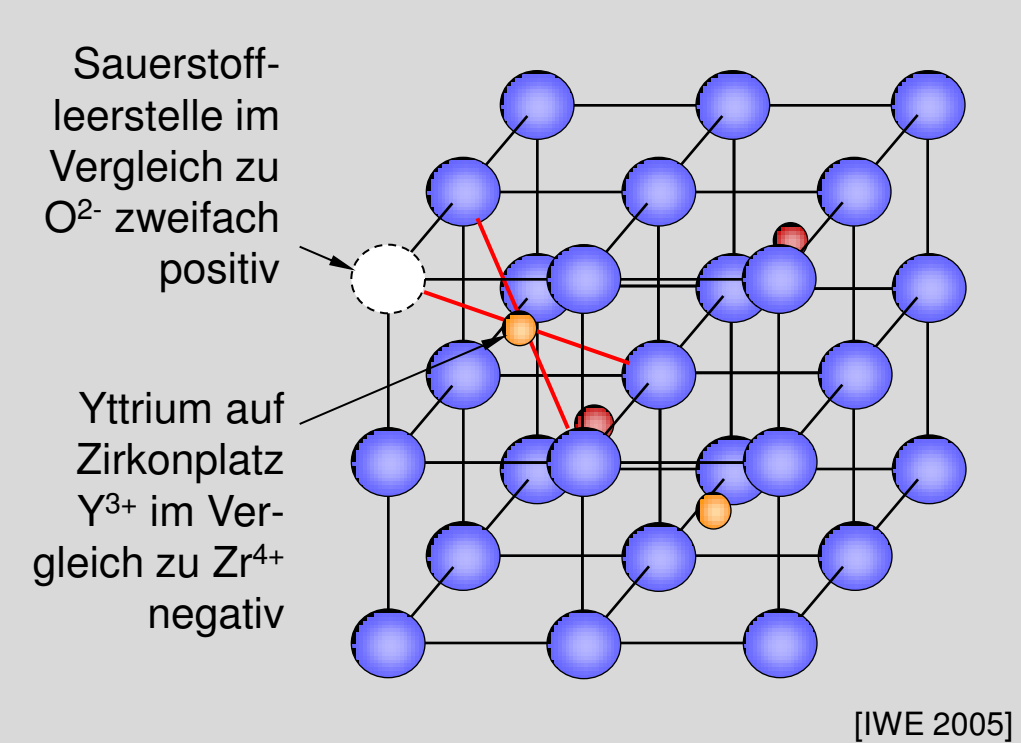
### 2.5 Ionenleiter

### **Beispiel: Yttrium-dotiertes Zirkonoxid (YSZ)**



Einbaugleichung für Yttriumoxid  $(Y_2O_3)$  in das Zirkonoxidgitter  $(ZrO_2)$ :  $Y_2O_3 \rightarrow 2Y_{Zr}^{\prime} + 3O_O^x + V_O^*$ 

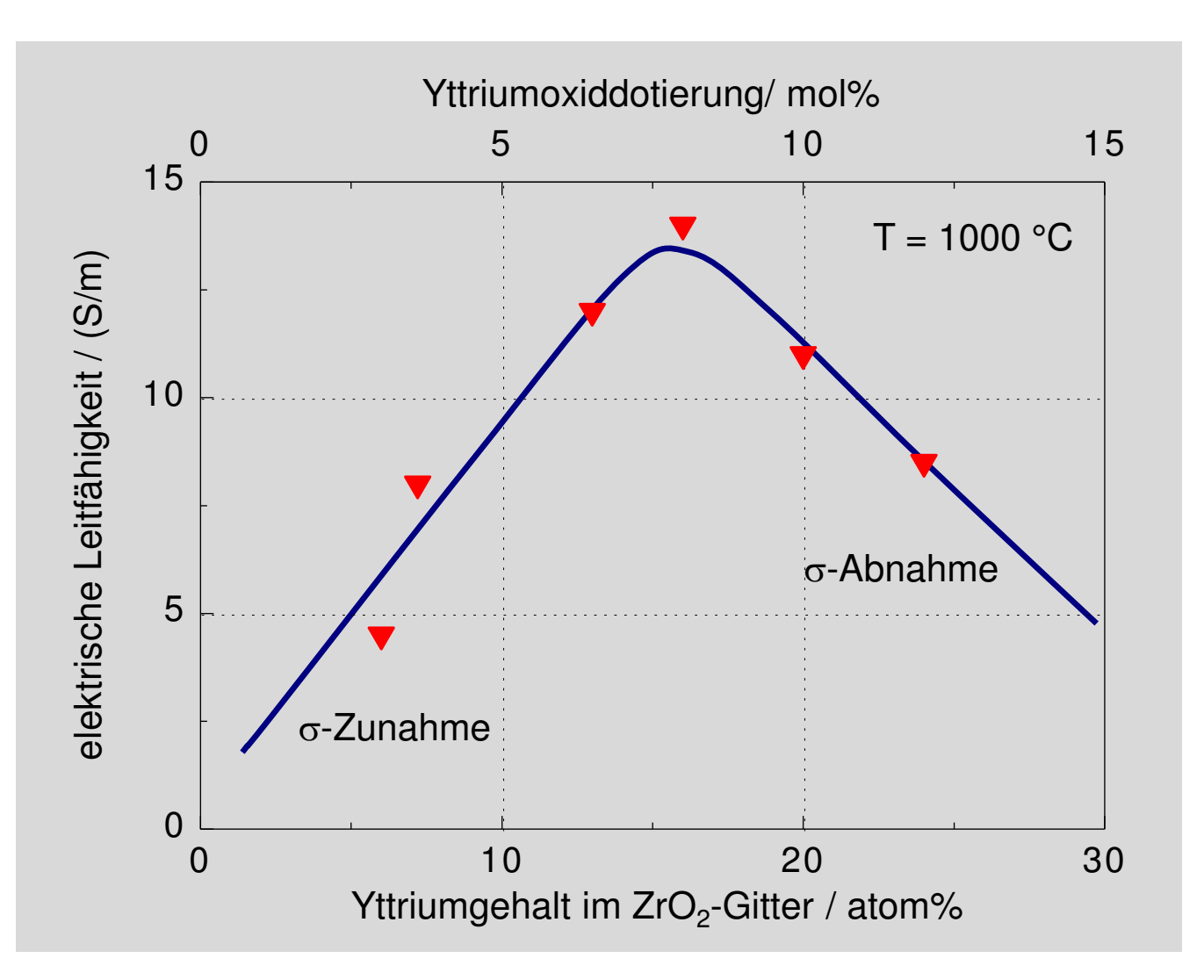




Durch Dotierung mit Y können Sauerstoffleerstellen im Zirkonoxidgitter gezielt erzeugt werden.

## 2.5 Ionenleiter Leitfähigkeit in Abhängigkeit von der Yttrium Dotierung





#### σ-Zunahme

Ansteigende Konzentration beweglicher Ladungsträger (Bildung von Sauerstoffleerstellen).

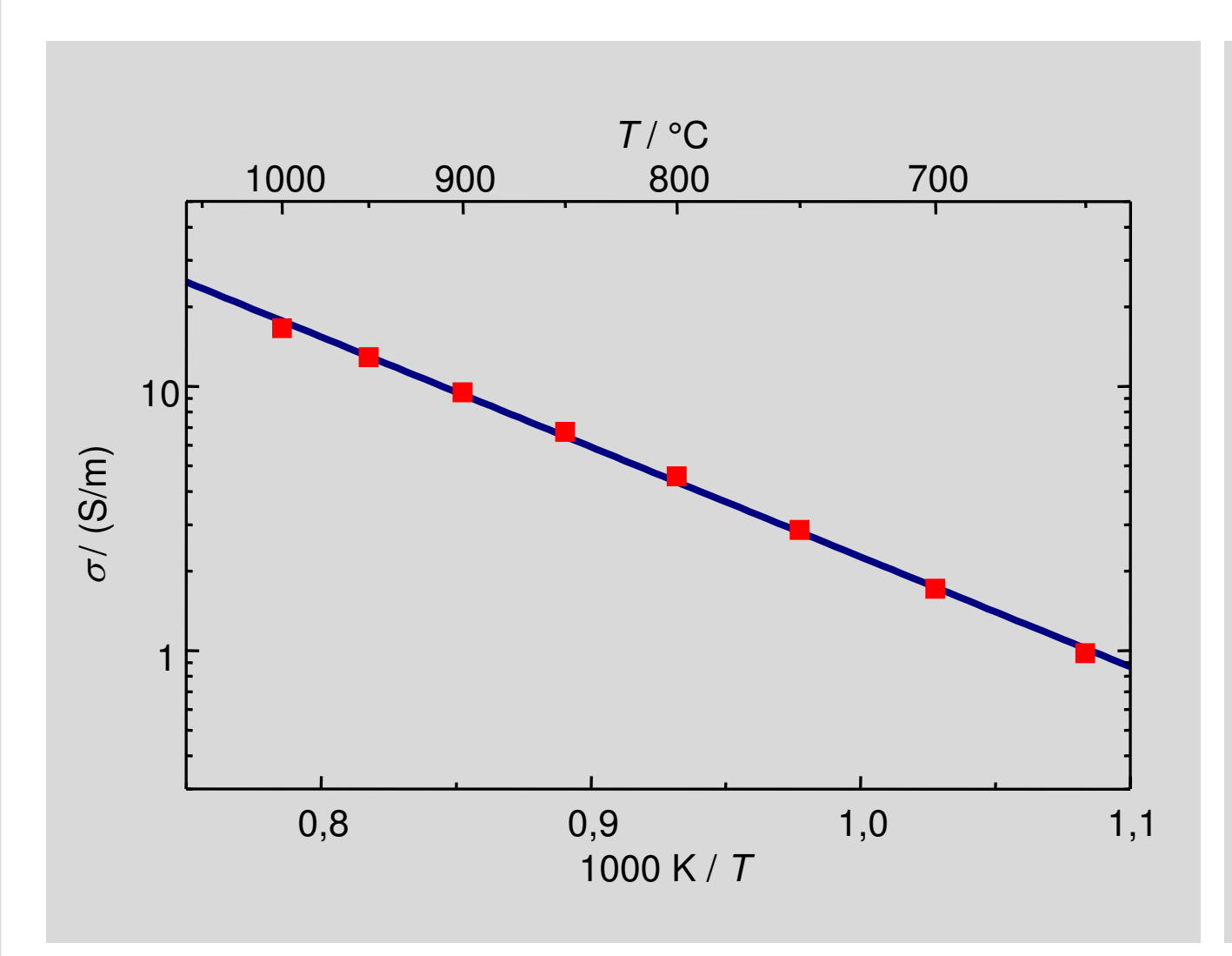
#### σ-Abnahme

Verlust an Beweglichkeit durch Bildung so genannter Leerstellencluster.

[IWE 2005]

## 2.5 Ionenleiter Leitfähigkeit in Abhängigkeit von der Temperatur





#### **Zahlenwerte**

$$\sigma_{lon}(T) = \frac{A}{T} \cdot \exp\left(-\frac{E_A}{kT}\right)$$

[IWE 2005]

## 2.5 Ionenleiter Elektrolyte



**Definition:** Werkstoffe mit dominierendem ionischen Leitfähigkeitsanteil heißen Elektrolyte.

Überführungszahl:

$$t_{ion} = \frac{\sigma_{ion}}{\sigma_{total}}$$

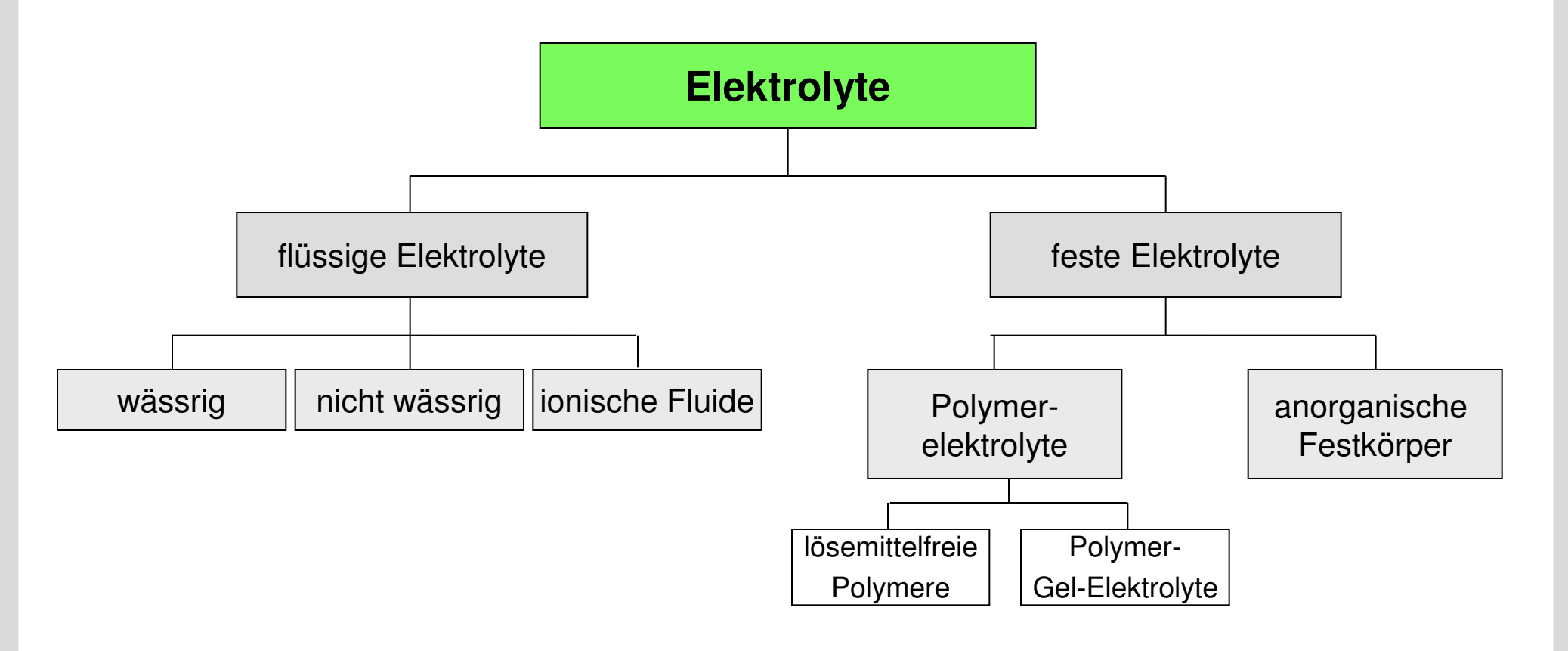
 $t_{ion} = 1 \rightarrow idealer Elektrolyt$  (nicht existent)

$$1-t_{ion} = 10^{-10} \dots 0.05 \rightarrow \text{reale Elektrolyte}$$

Elektrolyt	Werkstoffbeispiel	lon	$\sigma_{ion}$ / S/m	T/°C	Anwendung
Li-Polymerelektrolyte	Li <sub>1,3</sub> Al <sub>0,3</sub> Ti <sub>1,7</sub> (PO <sub>4</sub> ) <sub>3</sub>	Li+	0.01	25	Li-Polymer-Batterien
Polymerelektrolyte	Nafiontm	H+	8.3	25	Polymerelektrolyt-Brennstoffzellen
β'-Aluminiumoxid	β'- Al <sub>2</sub> O <sub>3</sub>	Na+	38	300	Na/S-, NaNiCI-Batterien
Karbonatschmelze	(Li/Na/K) <sub>2</sub> CO <sub>3</sub>	CO <sub>3</sub> <sup>2-</sup>	35	650	Schmelzkarbonat-Brennstoffzellen
dot. Zirkondioxid	Zr <sub>0.85</sub> Y <sub>0.15</sub> O <sub>1.93</sub>	O <sup>2-</sup>	10	900	λ-Sonde, Festoxid-Brennstoffzellen

## 2.5 Ionenleiter Elektrolyte



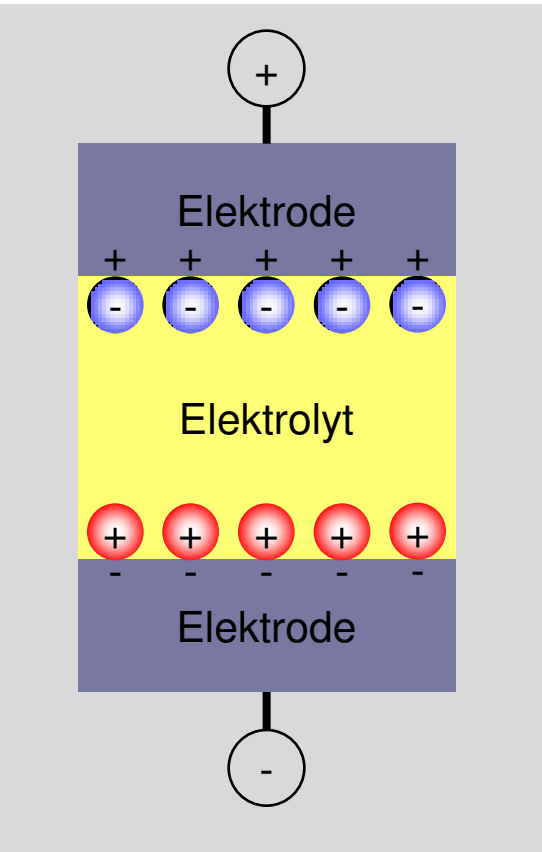


[Siemens AG, CT PS 4, Wa, 01/2004]



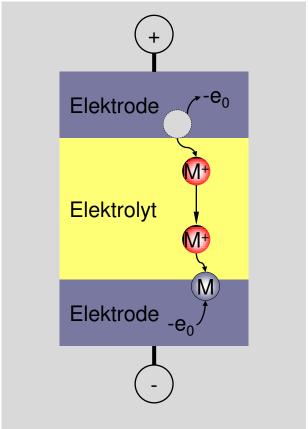
## 2.5 Ionenleiter Elektrodentypen





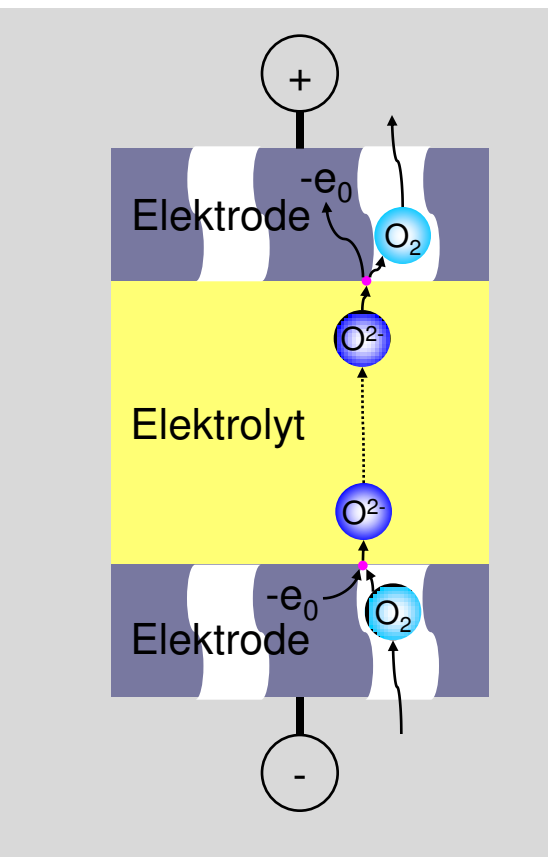


Anwendung: Doppelschichtkondensatoren



#### Metallionenelektroden

Anwendung: Batterien und Akkumulatoren

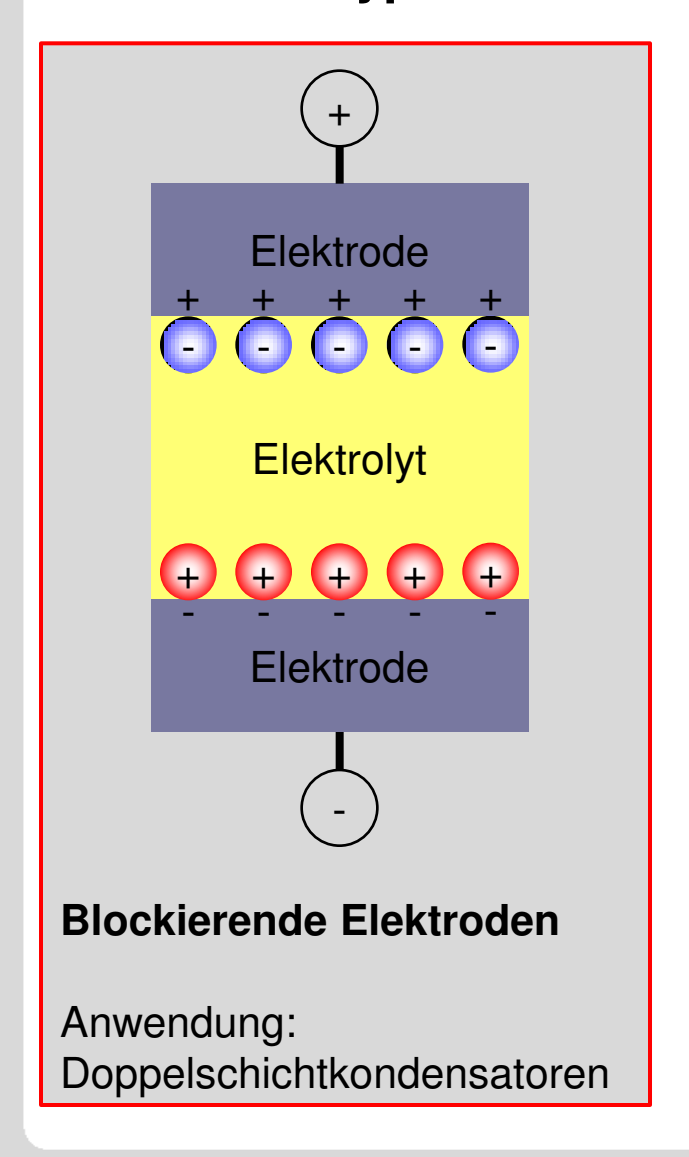


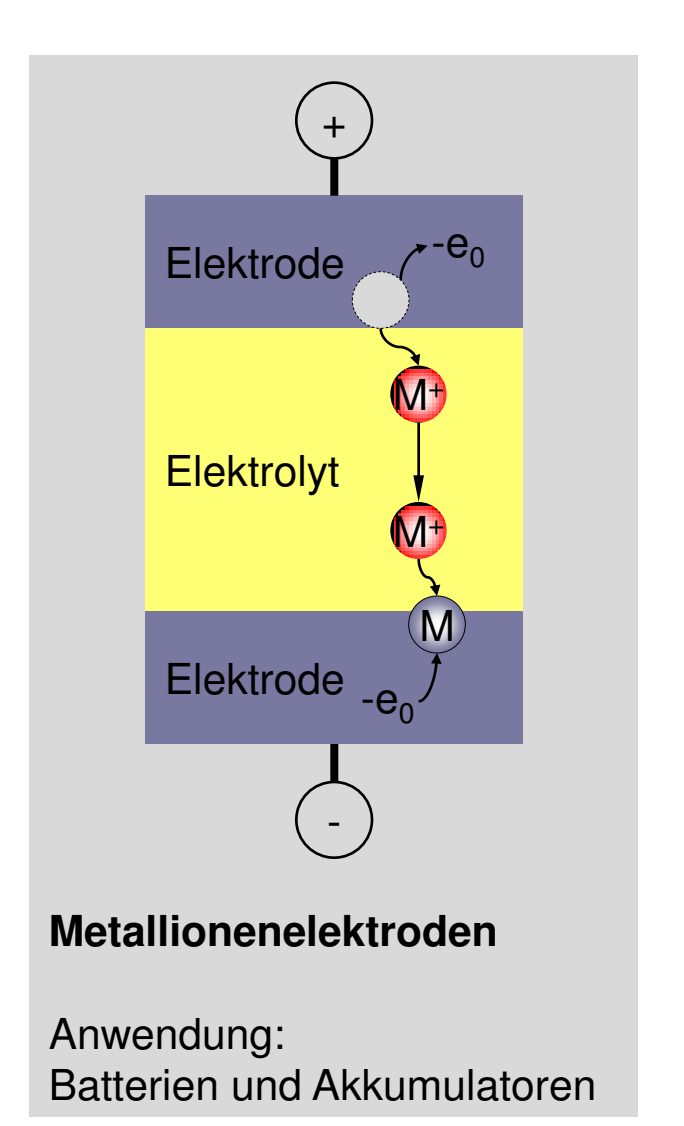
#### Gasdiffusionselektroden

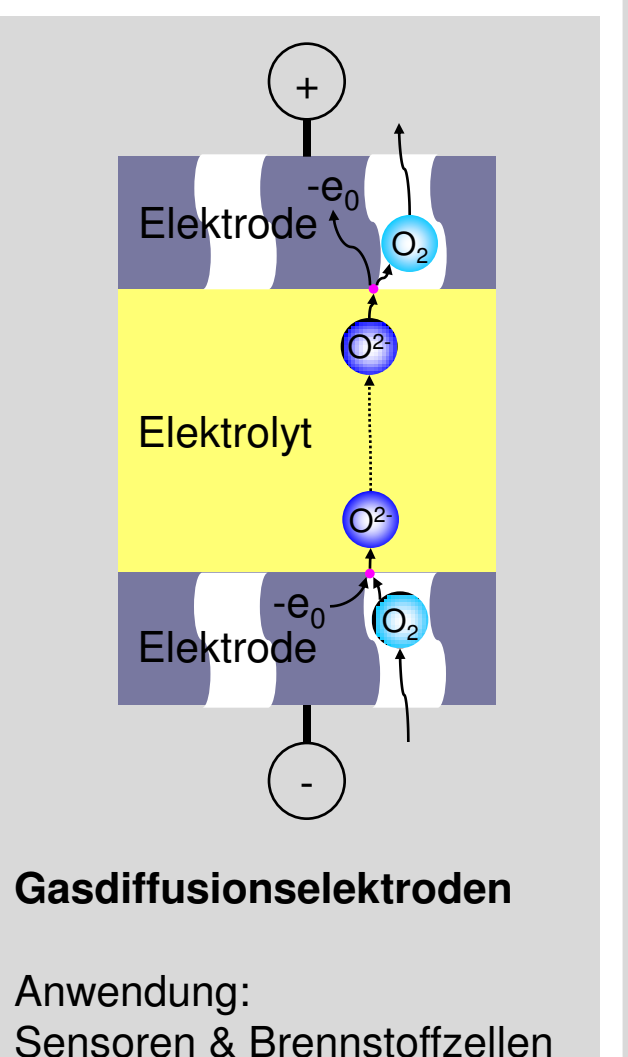
Anwendung: Sensoren & Brennstoffzellen

## 2.5 Ionenleiter Elektrodentypen





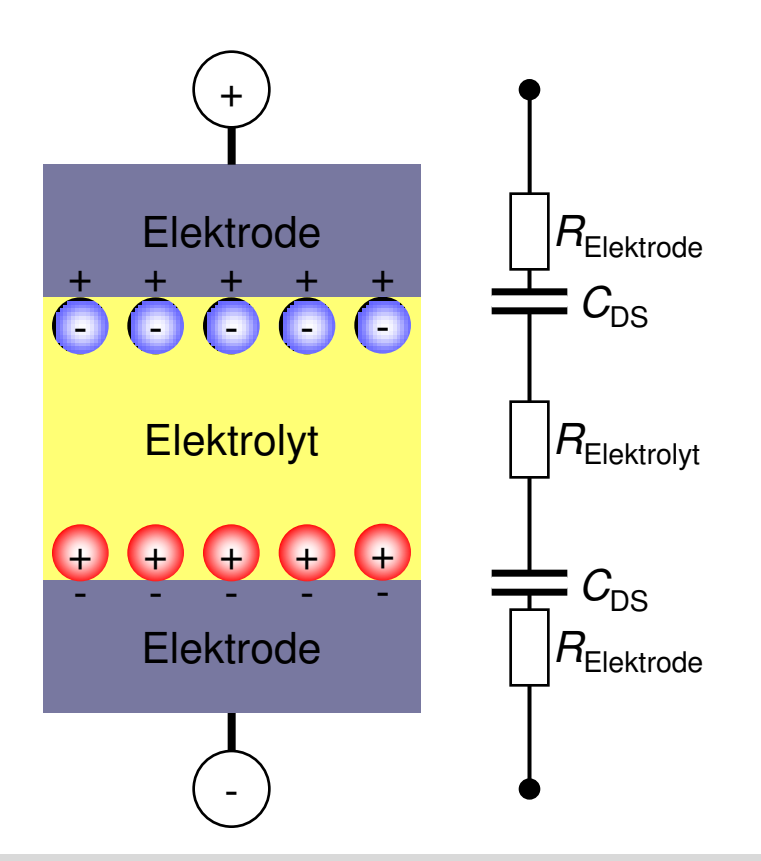




### 2.5 Ionenleiter

### Elektrodentypen: Blockierende Elektroden



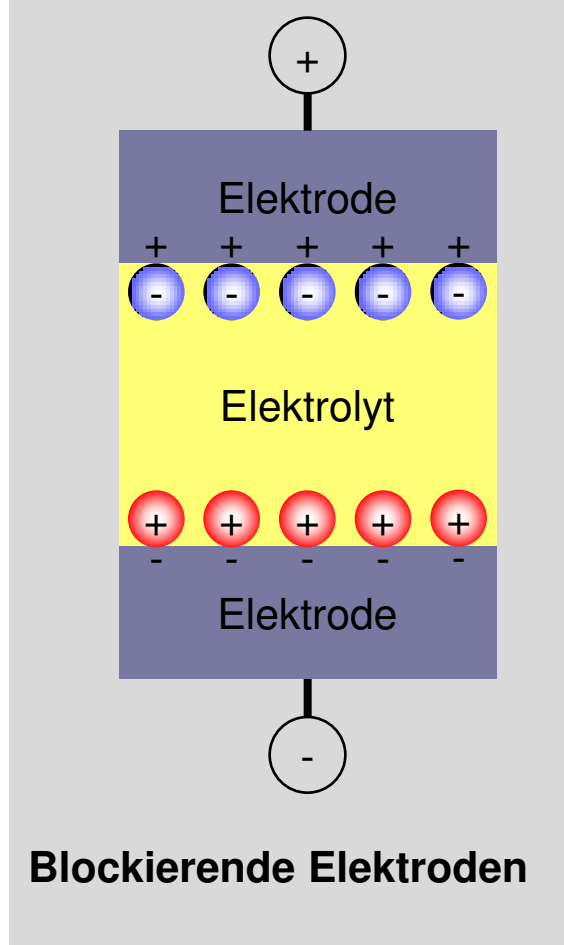


- Ladungsträgertransport in Elektrolyt und Elektroden
- keine Ladungstransferreaktion an der Grenzfläche Elektrode / Elektrolyt
  - ⇒ kein Stromfluss (dc)
- Raumladungszonen an den Grenzflächen Elektrode / Elektrolyt
  - ⇒ Doppelschichtkapazität
- Einsatz in Doppelschichtkondensatoren

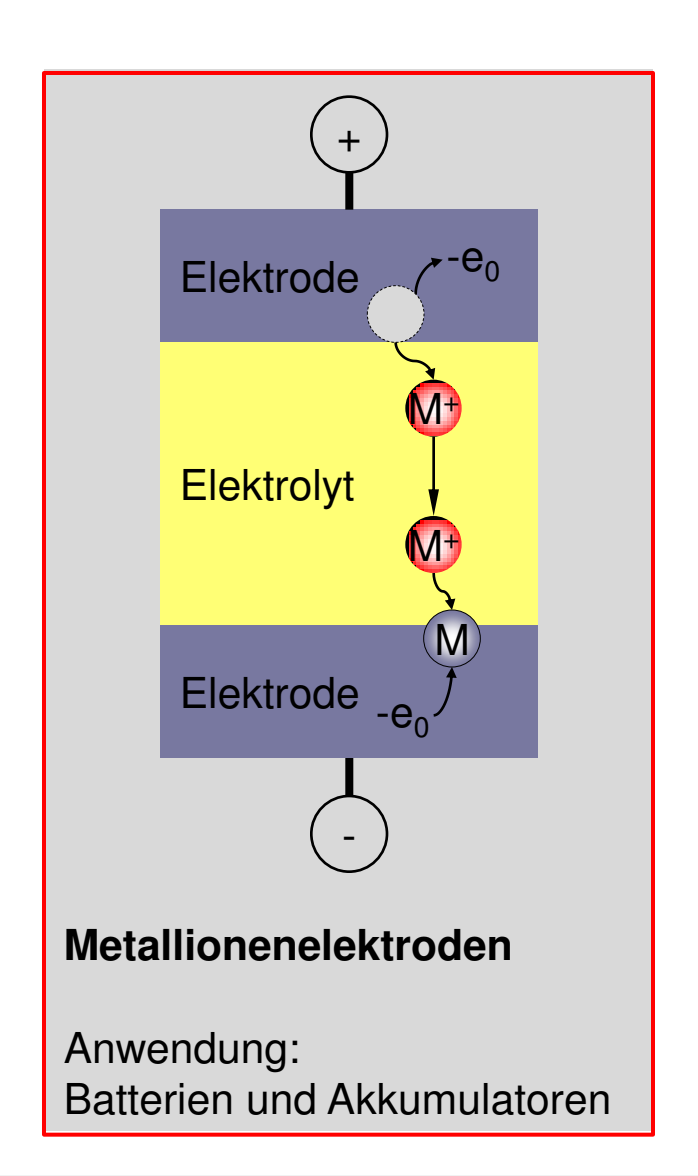
Blockierende Elektroden verhindern den Ladungstransport über die Grenzfläche Elektrode/Elektrolyt. Innerhalb eines zulässigen Betriebsbereichs läuft keine Ladungstransferreaktion ab. Eine angelegte Spannung fällt vollständig über den Raumladungszonen an der Grenzfläche Elektrode/Elektrolyt ab.

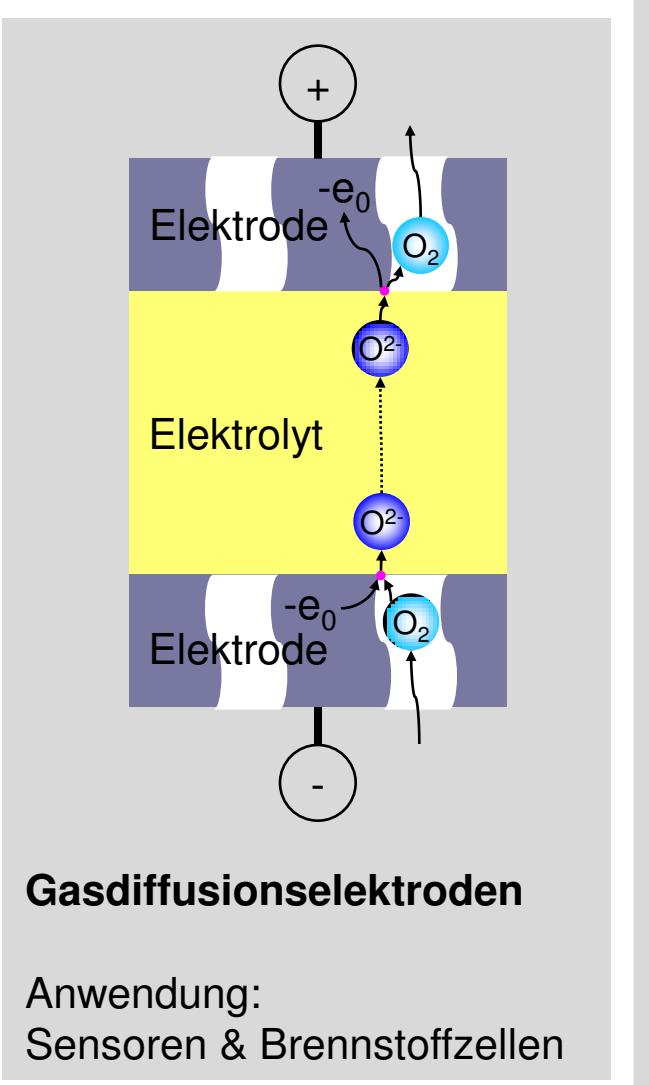
## 2.5 Ionenleiter Elektrodentypen





Anwendung: Doppelschichtkondensatoren

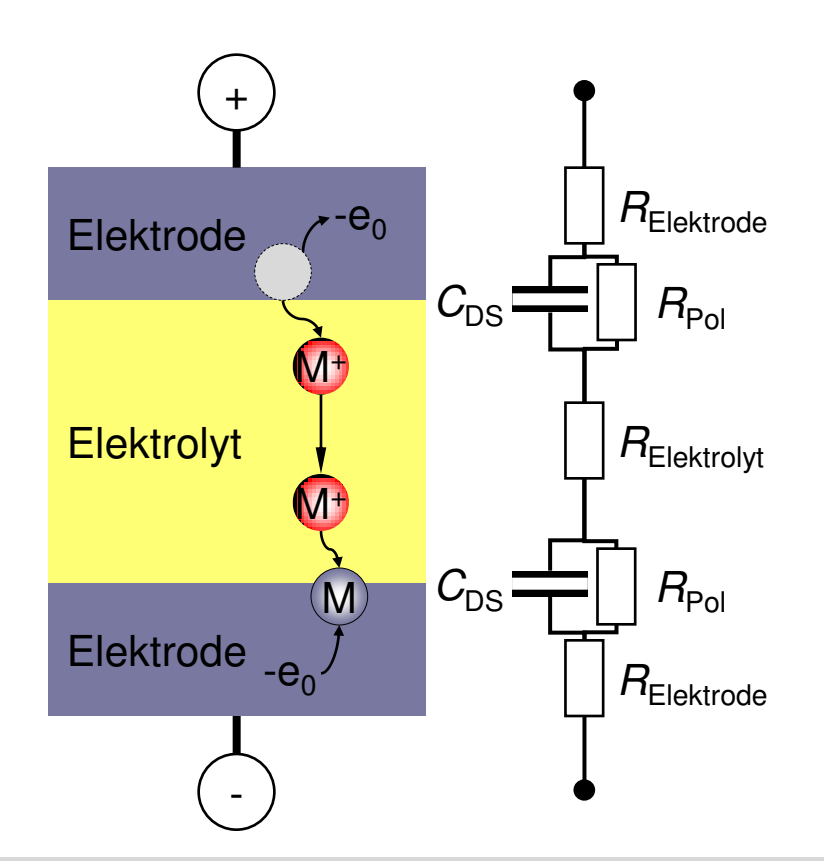




### 2.5 Ionenleiter

### Elektrodentypen: Metallionenelektroden

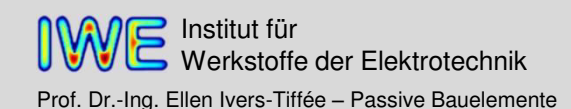




- Ladungsträgertransport in Elektrolyt und Elektroden
- (verlustbehaftete) Ladungstransferreaktion an der Grenzfläche Elektrode/Elektrolyt
  - $\Rightarrow$  Polarisationswiderstand  $R_{Pol}$
  - ⇒ Stromfluss (dc) möglich
  - (reversible) elektrochemische Umsetzung von Elektrode (und Elektrolyt)
- Einsatz in Batterien und Akkumulatoren

In einer Metallionenelektrode ist das Elektrodenmaterial (und z.T. auch der Elektrolyt) an der Ladungstransferreaktion beteiligt.

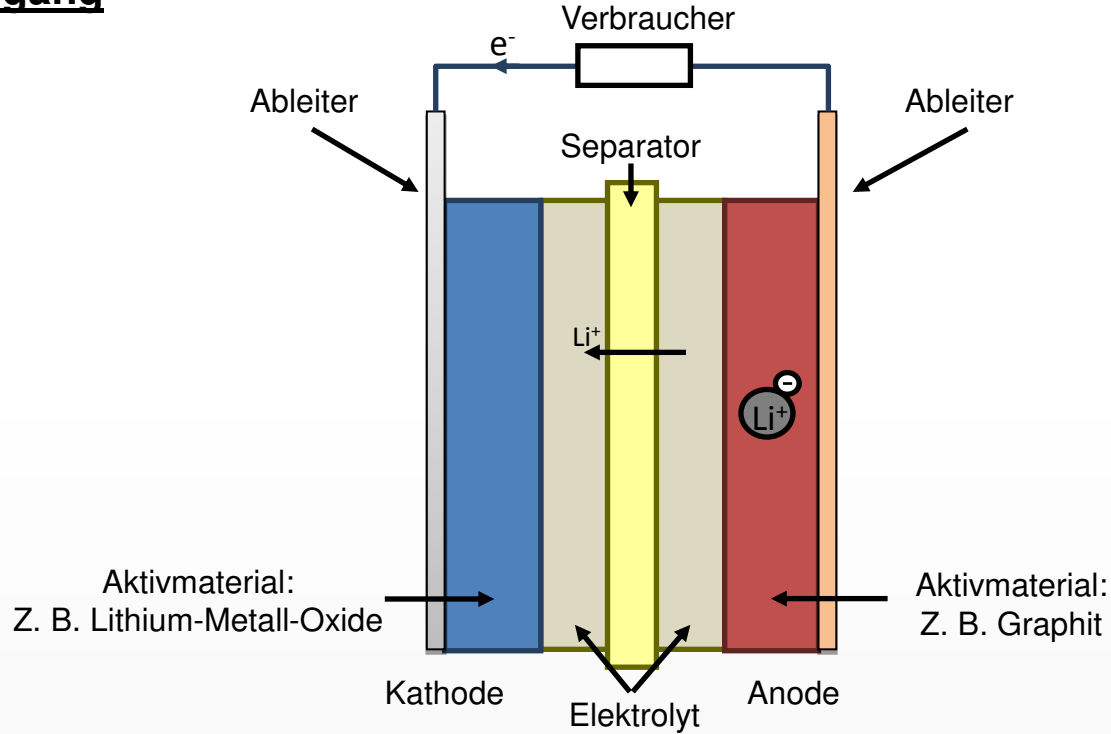
Bei Anlegen einer Spannung fließt ein Strom, bis die Elektrode vollständig umgesetzt ist.



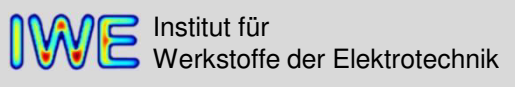


## Funktionsprinzip einer Lithium-Ionen Batterie

### **Entladevorgang**

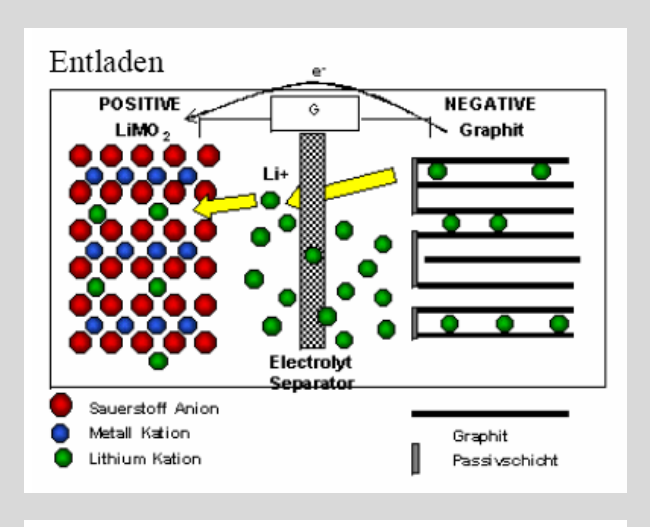


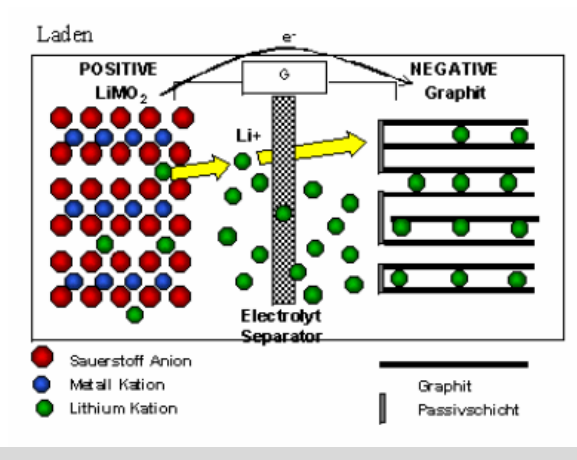
Quelle: Michael Schönleber – Elektrisches Verhalten von Lithium-Ionen Batterien



### 2.5 Ionenleiter Das Lithium-Ionen-System







#### Zellreaktion

#### Positive:

$$LiCoO_2 \rightleftharpoons Li_{1-x}CoO_2 + x Li^+ + x e^-$$
  
(0 \le x \le 0,6)

#### **Negative:**

$$x \operatorname{Li}^+ + \operatorname{C}_6(\operatorname{Graphit}) + x \operatorname{e}^- \rightleftharpoons \operatorname{Li}_x \operatorname{C}_6$$
  
(0 \le x \le 1)

#### Gesamtreaktion:

$$LiCoO_2 + 0.6 C_6 \rightleftharpoons Li_{0.4}CoO_2 + 0.6 LiC_6$$

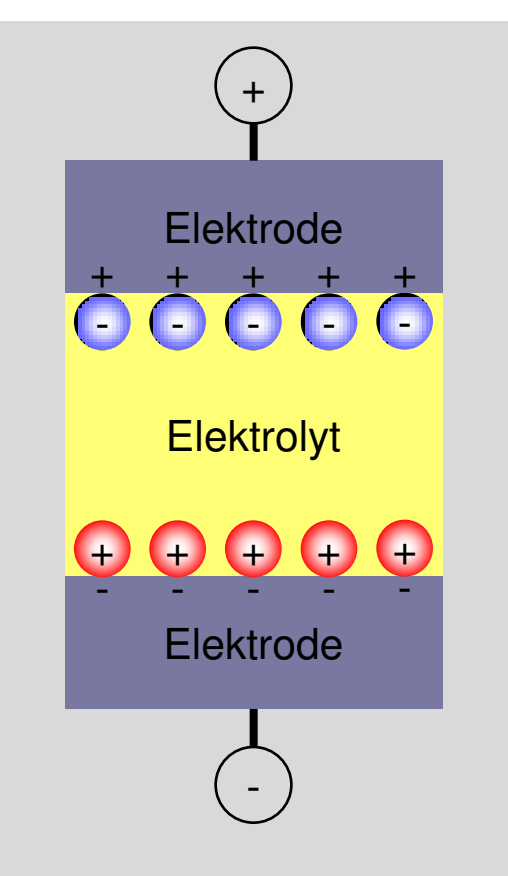
Kein metallisches Lithium in der Zelle.

Der Elektrolyt nimmt nicht an der Reaktion teil und dient als reines Transportmedium für Lithium-Ionen.

⇒ weniger Elektrolyt erforderlich

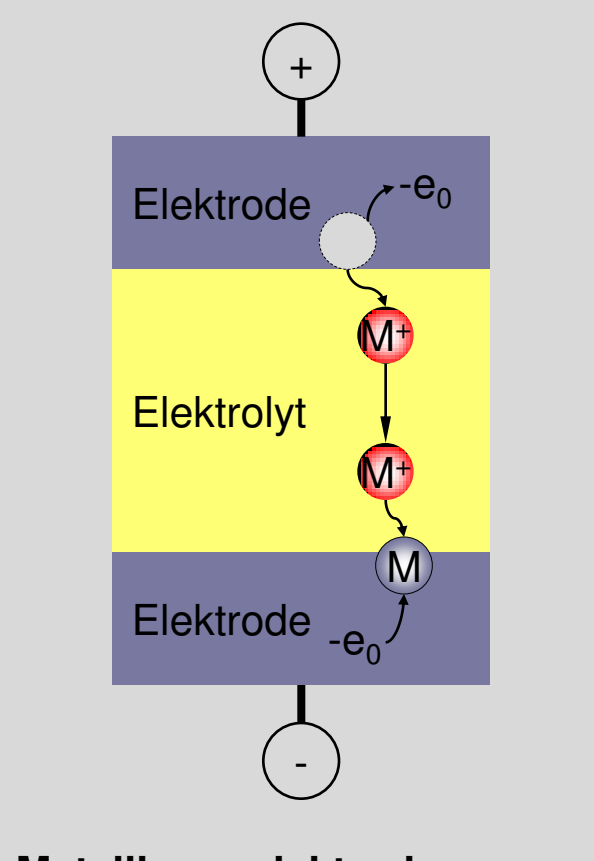
### 2.5 Ionenleiter Elektrodentypen





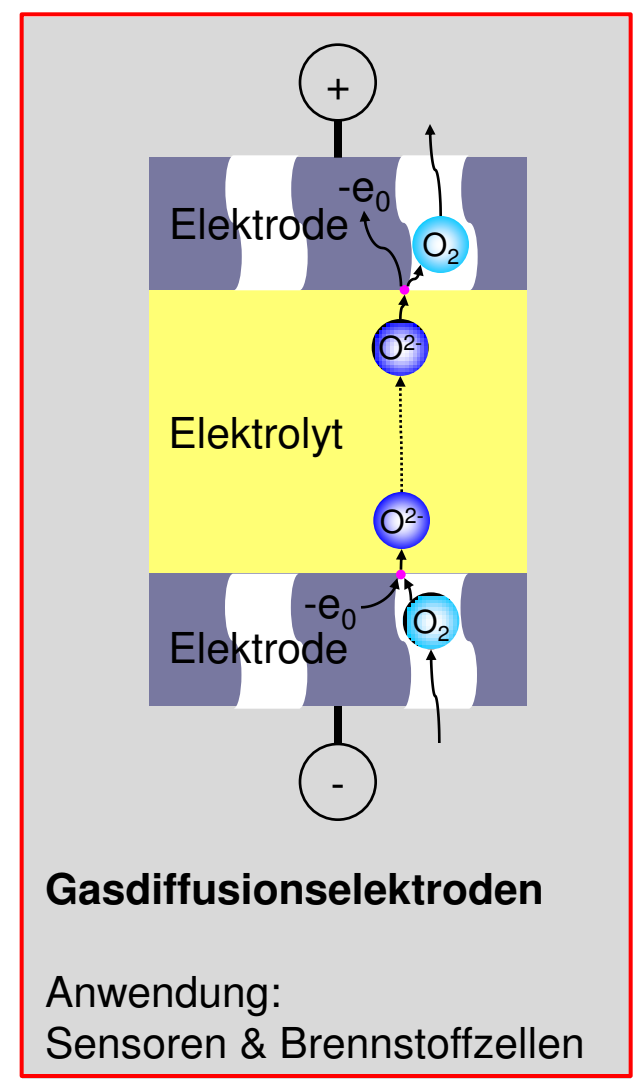
#### **Blockierende Elektroden**

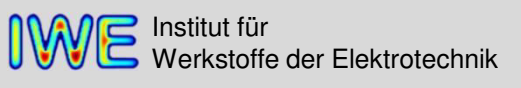
Anwendung: Doppelschichtkondensatoren



#### Metallionenelektroden

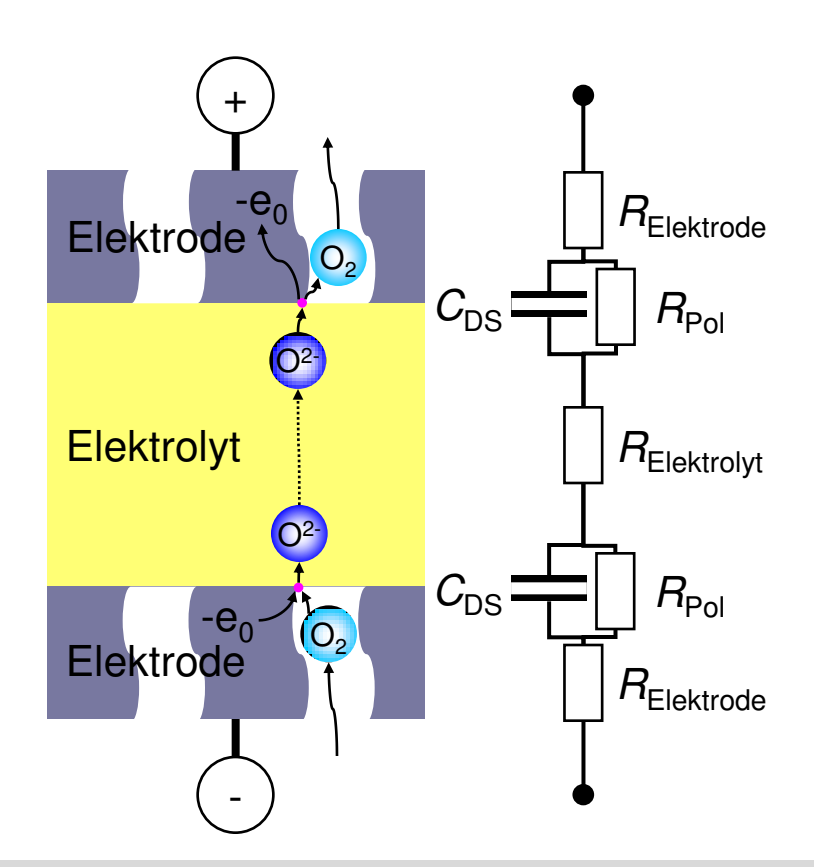
Anwendung: Batterien und Akkumulatoren





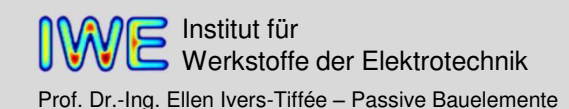
#### Elektrodentypen: Gasdiffusionselektroden





- Ladungsträgertransport in Elektrolyt und Elektroden
- (verlustbehaftete) Ladungstransferreaktion an der Dreiphasengrenze Gasraum/Elektrode/Elektrolyt
  - $\Rightarrow$  Polarisationswiderstand  $R_{Pol}$
  - ⇒ Stromfluss (dc) möglich
  - ⇒ poröse, katalytisch aktive Elektrode
- Einsatz in Sensoren und Brennstoffzellen

In einer Gasdiffusionselektrode fungiert das Elektrodenmaterial als elektronischer Leiter und Katalysator, ist aber an der Ladungstransferreaktion nicht beteiligt. Elektrode (und Elektrolyt) verändern sich bei Stromfluss nicht.



### 2.5 Ionenleiter Von der potentiometrischen Lambda-Sonde zur Brennstoffzelle



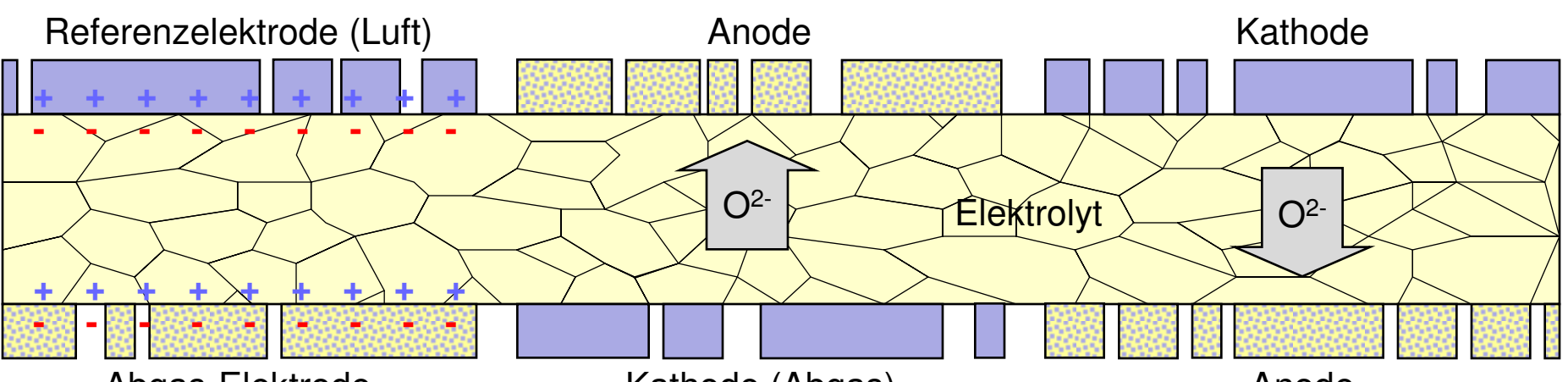
$$\frac{1}{2} O_2 + 2 e^{-} \Leftrightarrow O^{2-}$$

$$O^{2-} \rightarrow \frac{1}{2} O_2 + 2 e^{-}$$

$$\frac{1}{2} O_2 + 2 e^{-} \rightarrow O^{2-}$$

$$\frac{1}{2} O_2 + 2 e^{-} \rightarrow O^{2-}$$

$$O^{2-} + H_2 \rightarrow H_2O + 2 e^{-}$$
  
 $O^{2-} + CO \rightarrow CO_2 + 2 e^{-}$ 



Abgas-Elektrode

Anode

$$U_{\text{Nernst}} = \frac{RT}{4F} \cdot \ln \left( \frac{p_{\text{O}_2}^{\text{Luft}}}{p_{\text{O}_2}^{\text{Abgas}}} \right)$$

potentiometrischer Sensor

$$I_{\text{Pump}} = \frac{4F}{RT} \cdot D_{O_2} \cdot A \cdot p_{O_2}^{\text{Abgas}}$$

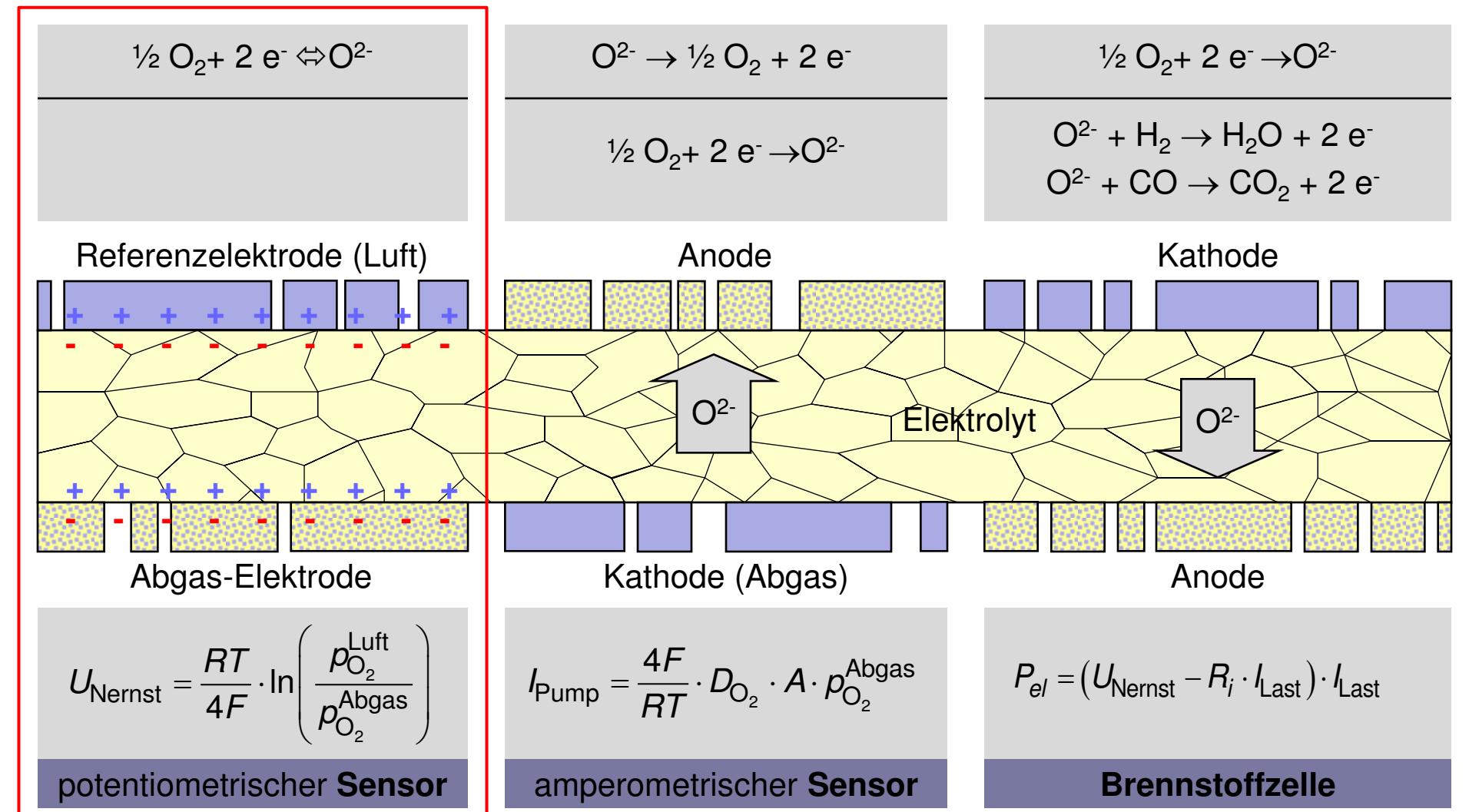
amperometrischer Sensor

$$P_{el} = (U_{Nernst} - R_i \cdot I_{Last}) \cdot I_{Last}$$

Brennstoffzelle



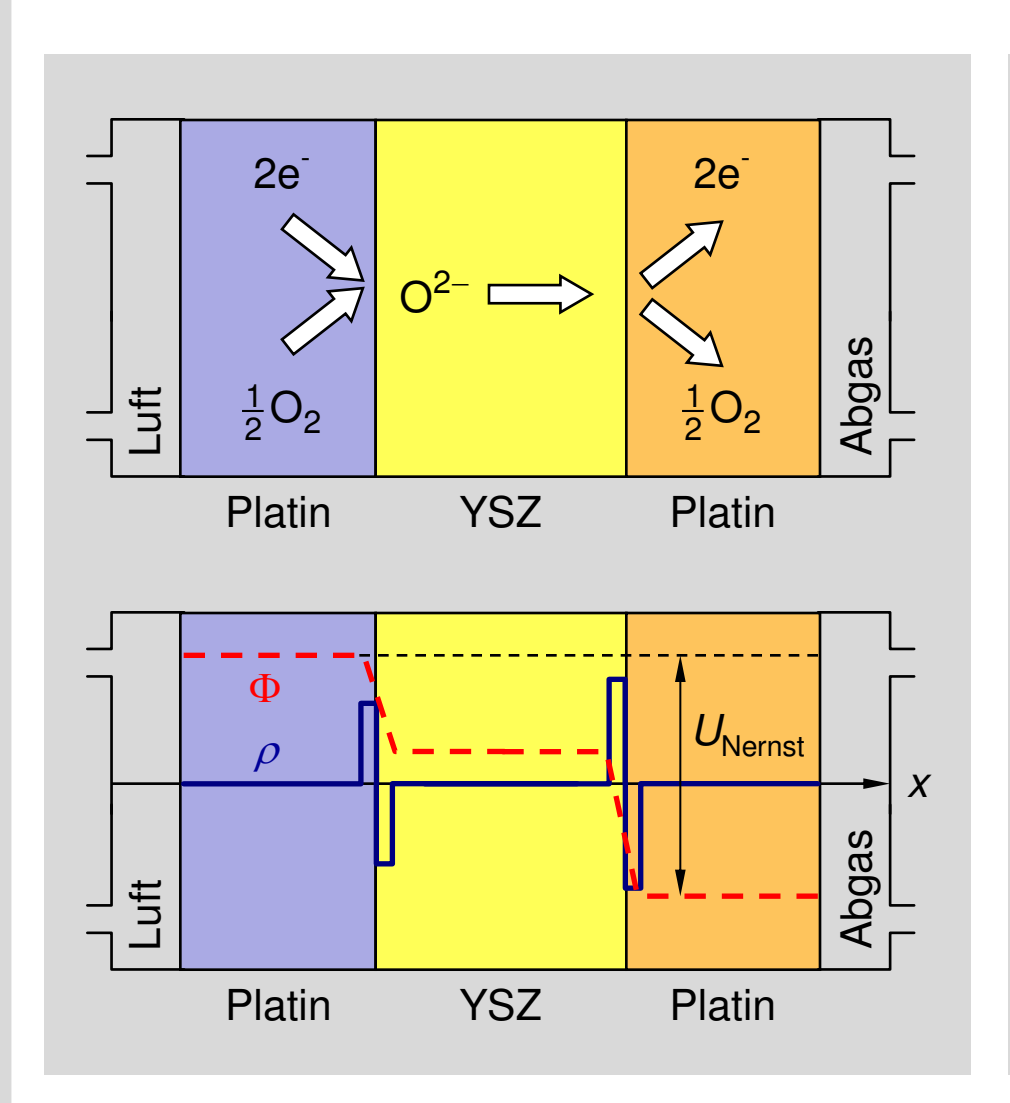
### Von der potentiometrischen Lambda-Sonde zur Brennstoffzelle





### 2.5 Ionenleiter Aufbau und Prinzip der potentiometrischen $\lambda$ -Sonde (2)





Im Gleichgewichtszustand muss sich das elektrochemische Potential auf beiden Seiten angleichen (Gibbs'sche Thermodynamik).

elektrochemisches Potential:  $\tilde{\mu} = \mu + nF\Phi$ 

$$\begin{split} \tilde{\mu}_{\mathrm{O}_{2}}^{\mathrm{Luft}} &= \mu_{o}^{p} + RT \cdot \ln \left( p_{\mathrm{O}_{2}}^{\mathrm{Luft}} \right) + nF\Phi_{1} \\ \tilde{\mu}_{\mathrm{O}_{2}}^{\mathrm{Abgas}} &= \mu_{o}^{p} + RT \cdot \ln \left( p_{\mathrm{O}_{2}}^{\mathrm{Abgas}} \right) + nF\Phi_{2} \end{split}$$

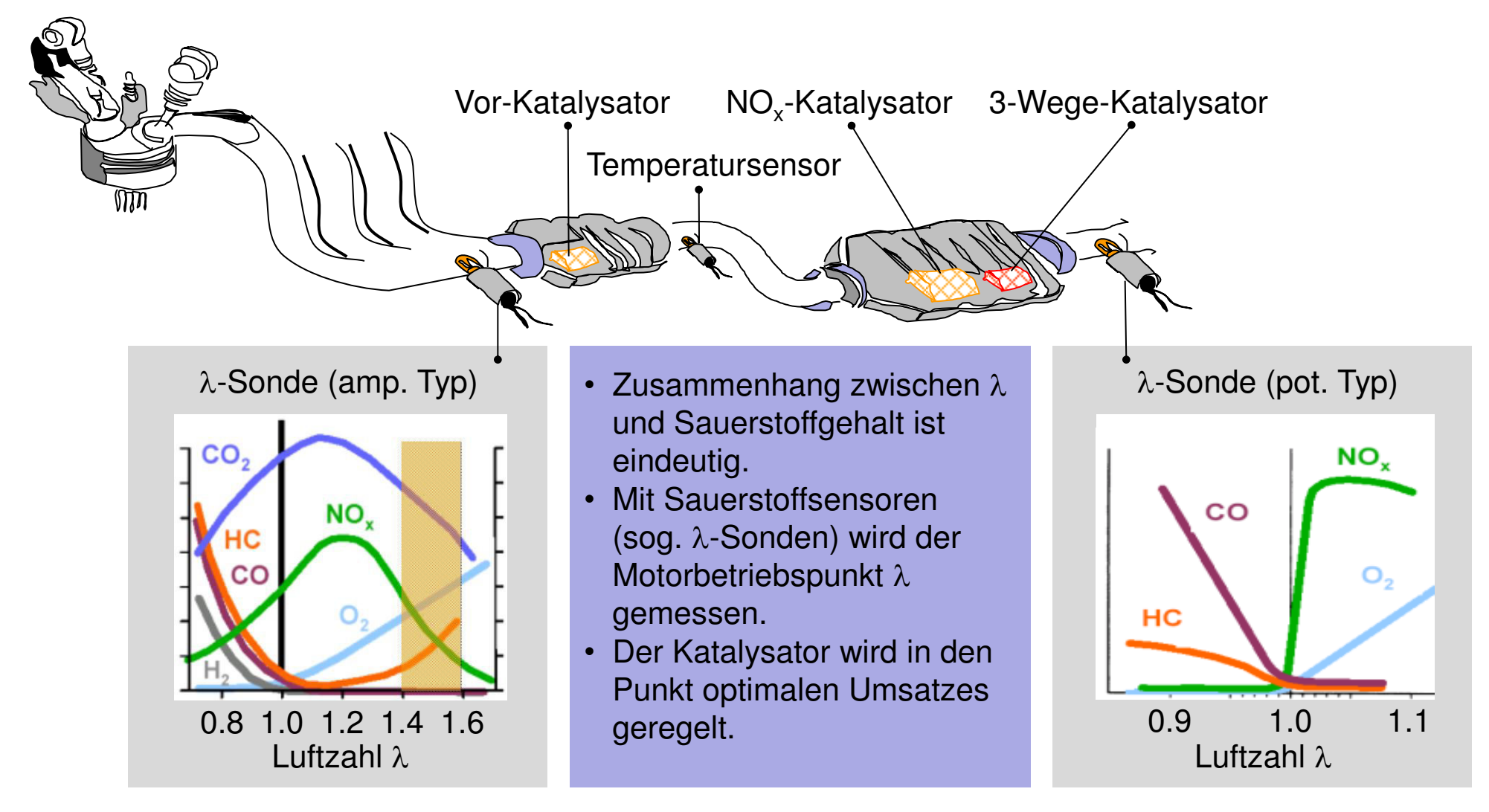
Gleichgewichtsbedingung:  $\tilde{\mu}_{O_2}^{Luft} = \tilde{\mu}_{O_2}^{Abgas}$ 

Für jedes Sauerstoffmolekül  $O_2$  werden vier Elektronen verschoben, d.h. n = 4.

$$U_{\text{Nernst}} = \Phi_2 - \Phi_1 = \frac{RT}{4F} \cdot \ln \left( \frac{p_{O_2}^{\text{Luft}}}{p_{O_2}^{\text{Abgas}}} \right)$$

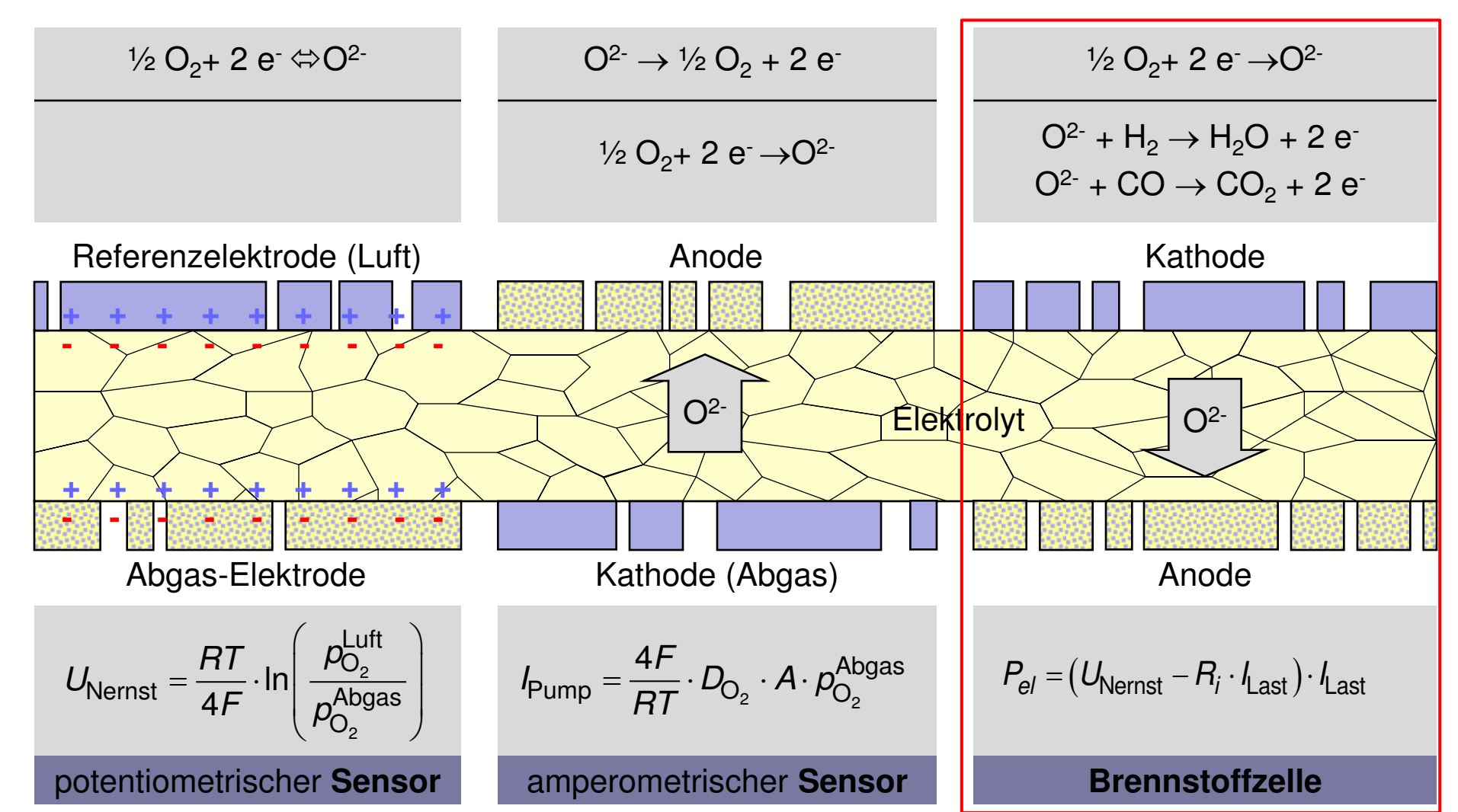
### 2.5 Ionenleiter Abgasreinigungskonzept moderner Benzinmotoren





### Karlsruher Institut für Technologi

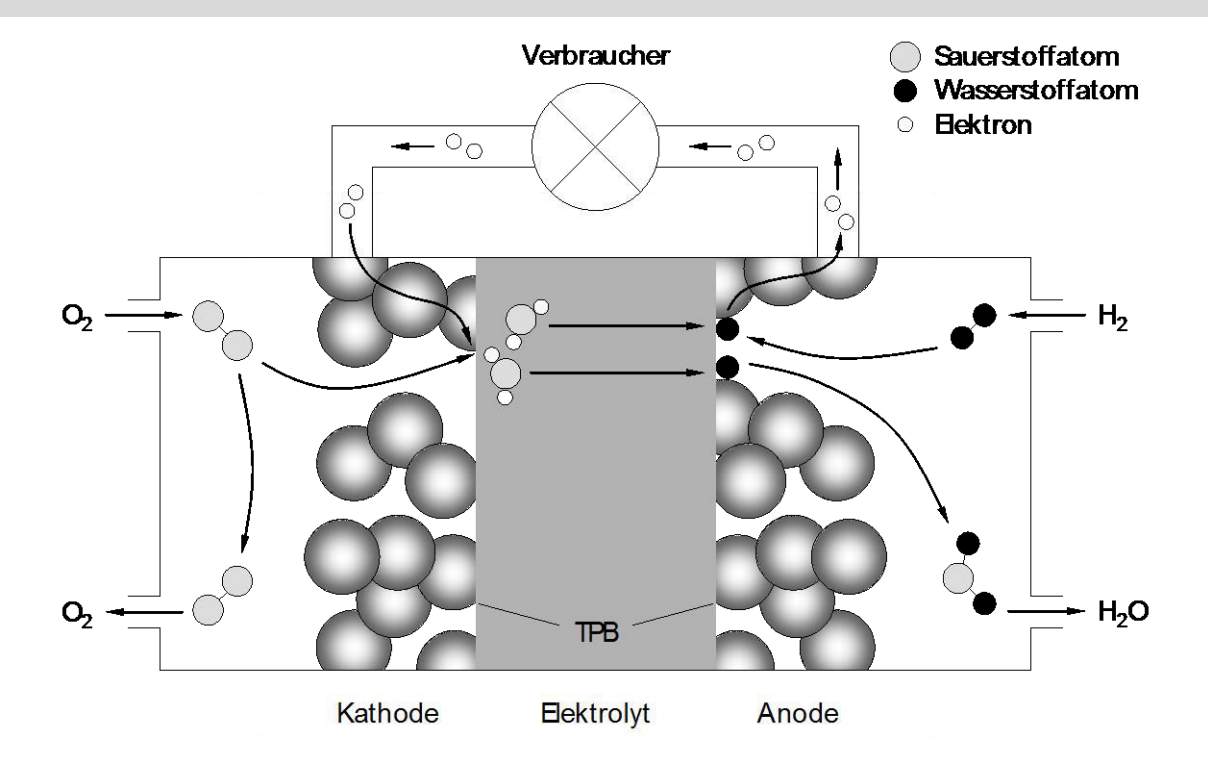
#### Von der potentiometrischen Lambda-Sonde zur Brennstoffzelle



#### Ausblick: Erzeugung elektrischer Energie durch Brennstoffzellen



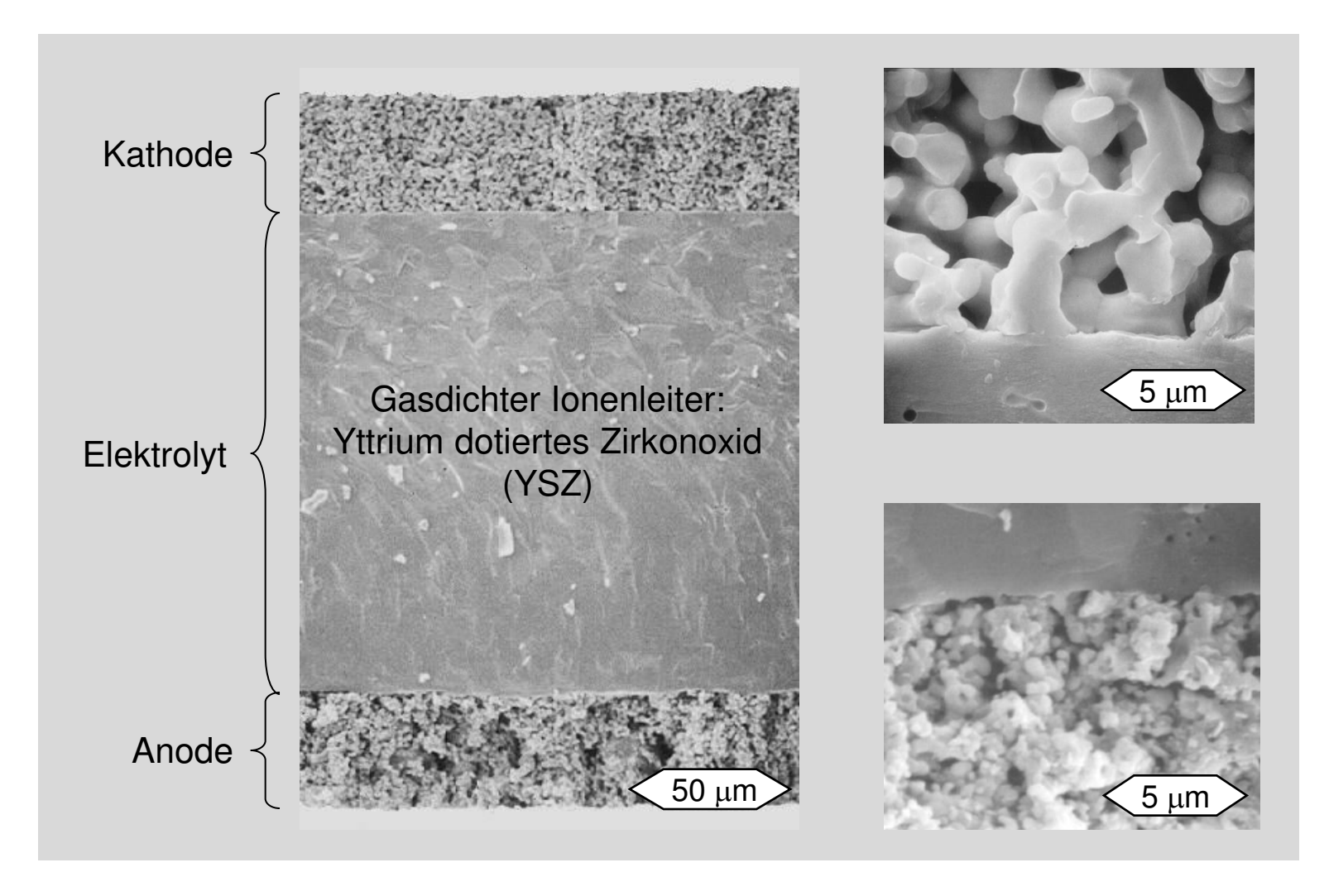
Beispiel: Hochtemperatur-Festkörperelektrolyt-Brennstoffzelle, engl. Solid Oxide Fuel Cell (SOFC)



In Brennstoffzellen wird die chemische Energie des Brennstoffes direkt in elektrische Nutzenergie umgewandelt. Daraus resultiert ein hoher theoretischer Nettowirkungsgrad.

#### 2.5 Ionenleiter Aufbau und Mikrostruktur einer SOFC-Einzelzelle





#### 2.5 Ionenleiter Stationäres SOFC-Heizgerät für Haushalt (1 kW)





#### **Sulzer Hexis**

• Brennstoffzelle SOFC

• Betriebstemperatur 900 °C

• Brenngas Erdgas

Elektrische Leistung1 kW max.

• Thermische Leistung 2,5 kW max. Brennstoffzelle

Thermische Leistung
 Zusatzbrenner

• Elektrischer Wirkungsgrad 25 ... 30 % (Ziel > 30 %)

12, 16, 22 kW

•Gesamtwirkungsgrad etwa 85 %

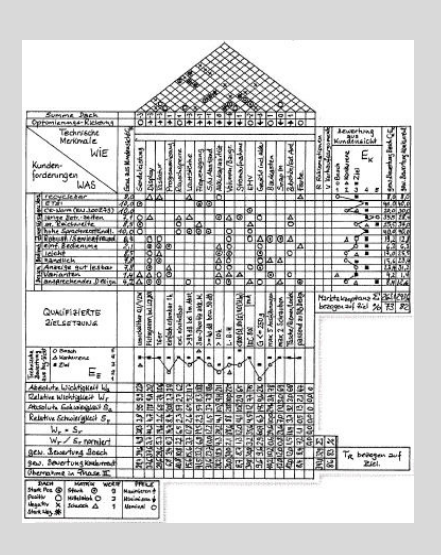
### 2.5 Ionenleiter Weiterführende Veranstaltungen



### Systematische Produktentwicklung in der Sensorik

Wintersemester 2 SWS

Dr.-Ing. J. Riegel (Fa. Bosch) Prof. Dr.-Ing. E. Ivers-Tiffée



#### Inhalt

- Lambda-Sonde
- alternativeAbgassensoren
- Produktentwicklung
- Design of Experiments
- Qualitätsmanagement
- praktischer Versuch

#### Sensoren

Wintersemester 2 SWS

Dr.-Ing. W. Menesklou



#### Inhalt

- Mech. Sensoren
- Temperatursensoren
- Chemische Sensoren
- Optische Sensoren
- Magnet. Sensoren
- Gassensoren

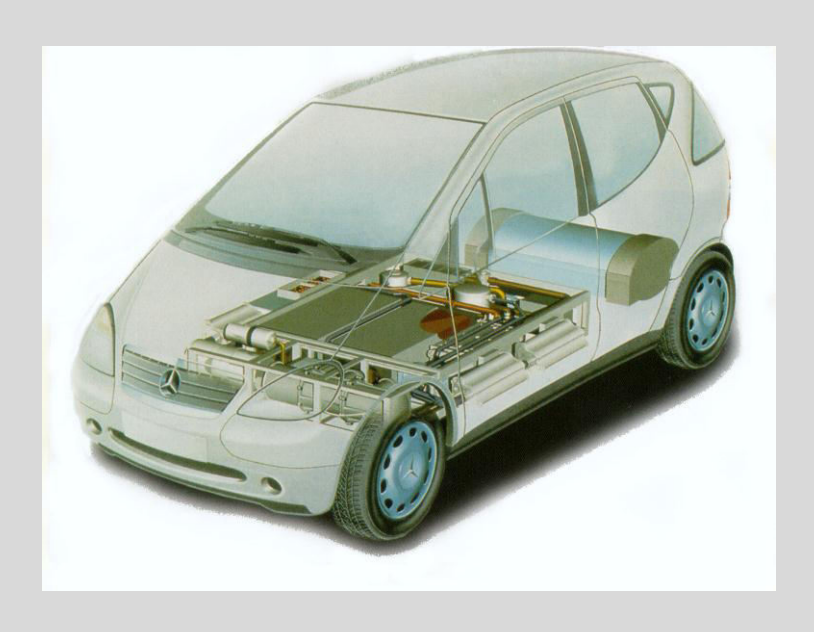
### 2.5 Ionenleiter Weiterführende Veranstaltungen



#### **Batterien und Brennstoffzellen**

Wintersemester 2 SWS

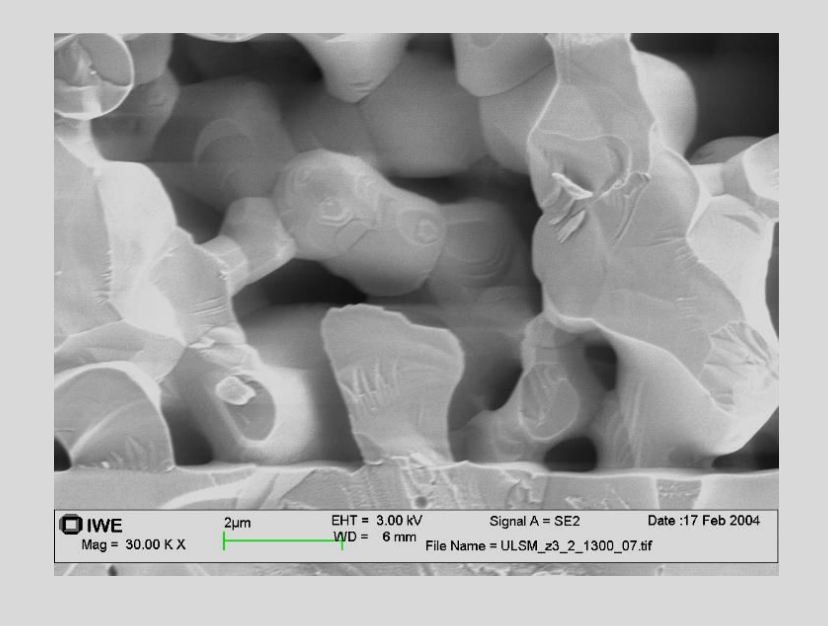
Prof. Dr.-Ing. E. Ivers-Tiffée



#### **Batterie- und Brennstoffzellensysteme**

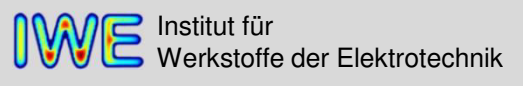
Sommersemester 2 SWS

Dr.-Ing. A. Weber





## Vorlesung 9



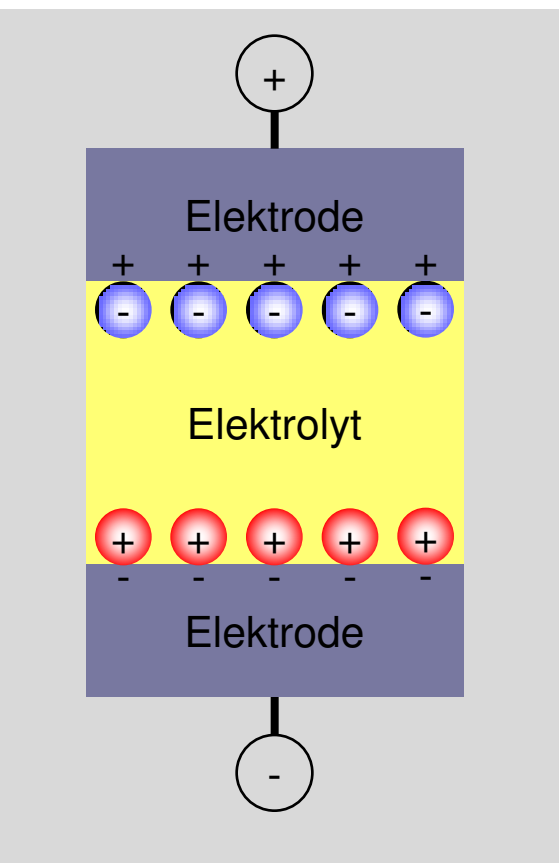


### Ionenleiter



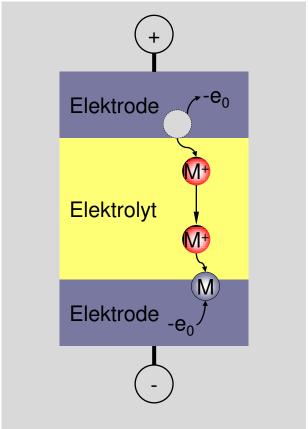
### 2.5 Ionenleiter Elektrodentypen





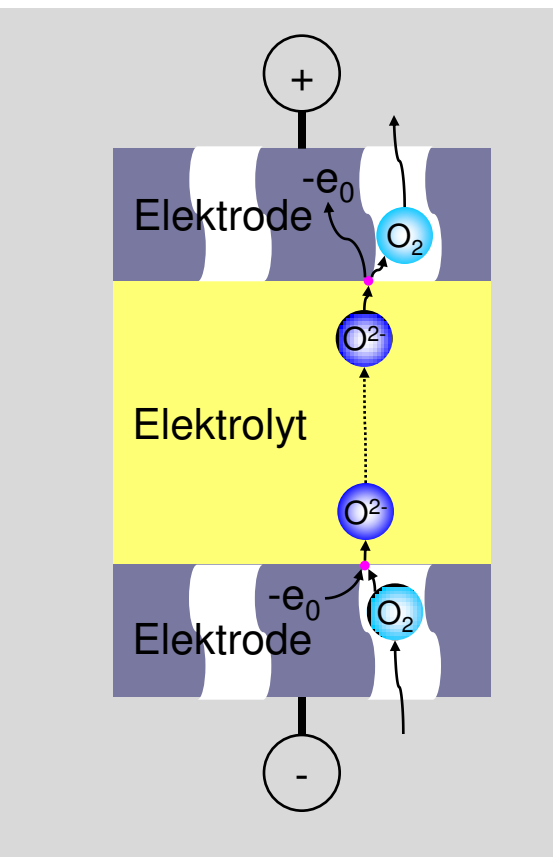
#### **Blockierende Elektroden**

Anwendung: Doppelschichtkondensatoren



#### Metallionenelektroden

Anwendung: Batterien und Akkumulatoren

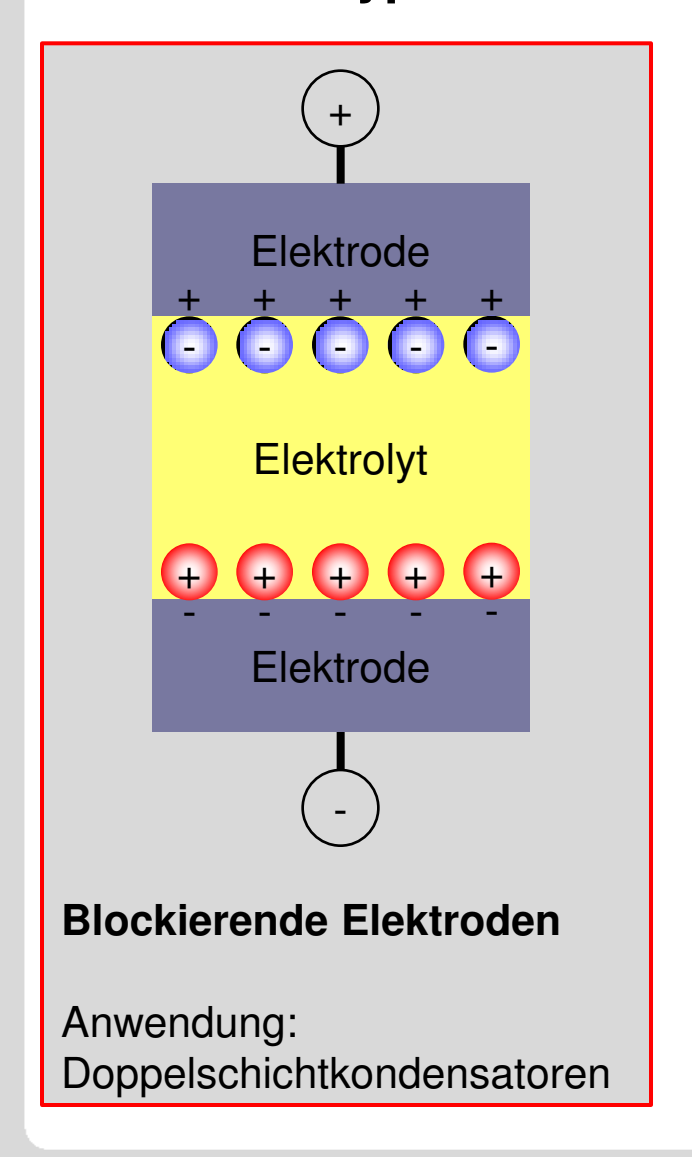


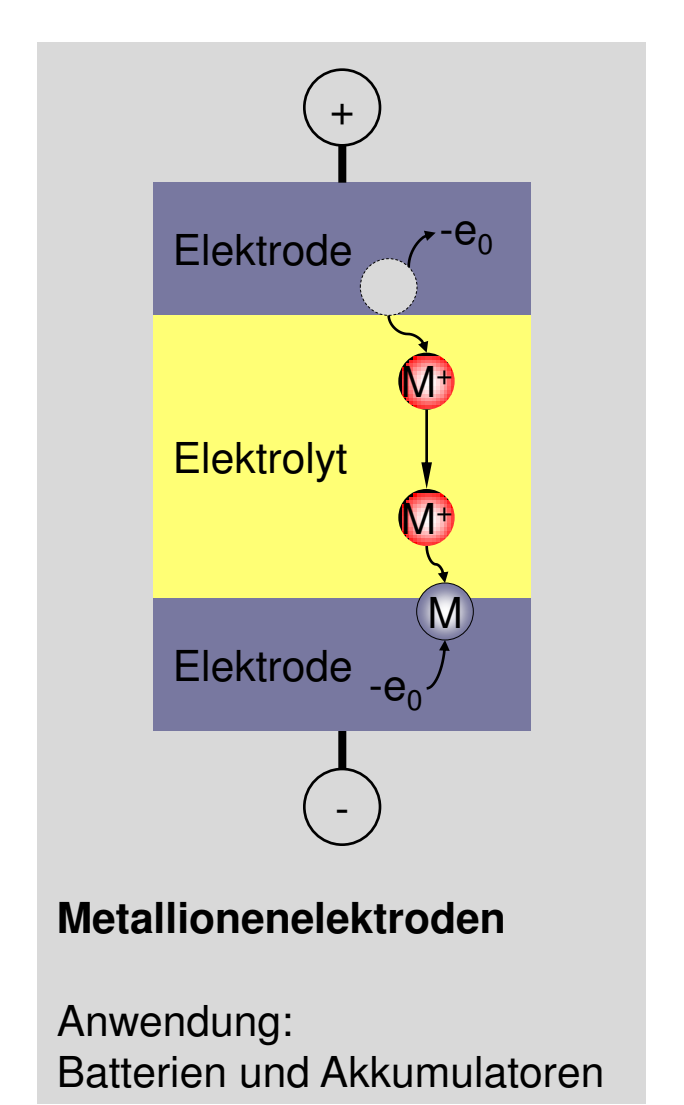
#### Gasdiffusionselektroden

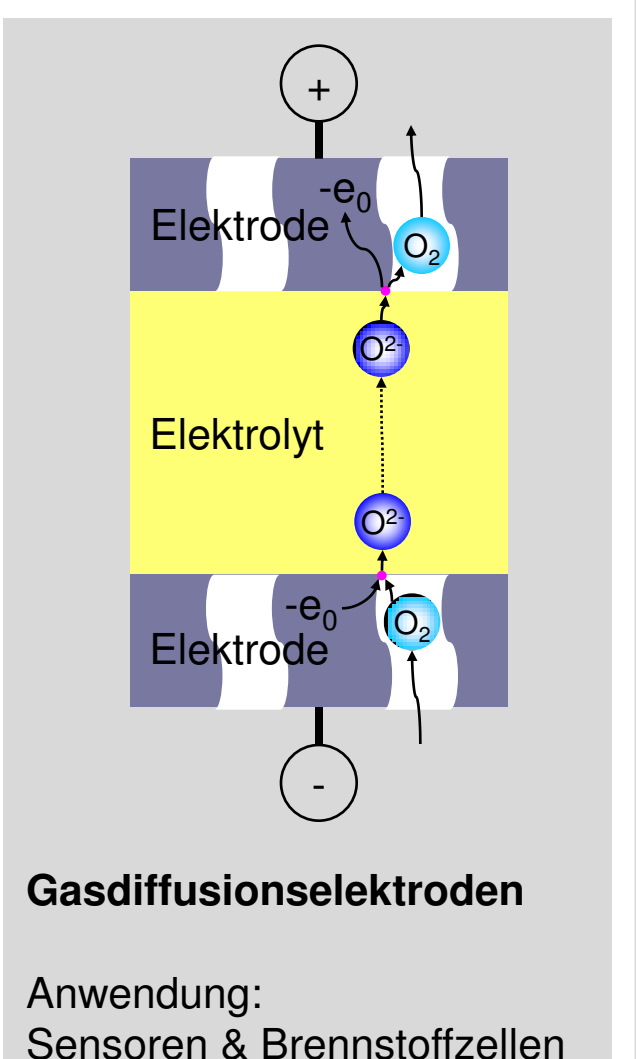
Anwendung: Sensoren & Brennstoffzellen

### 2.5 Ionenleiter Elektrodentypen



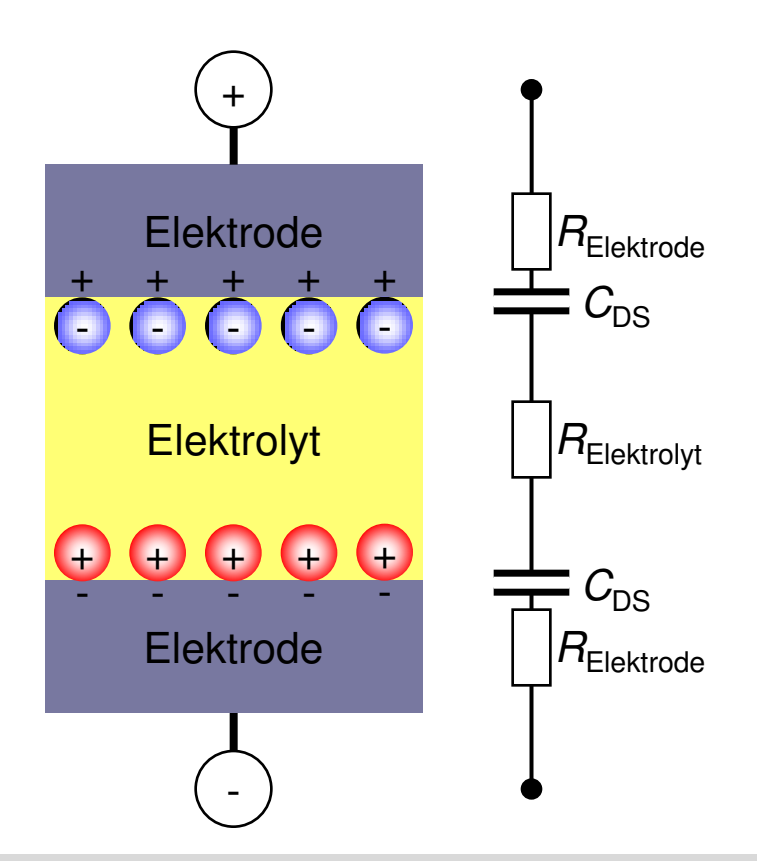






#### Elektrodentypen: Blockierende Elektroden



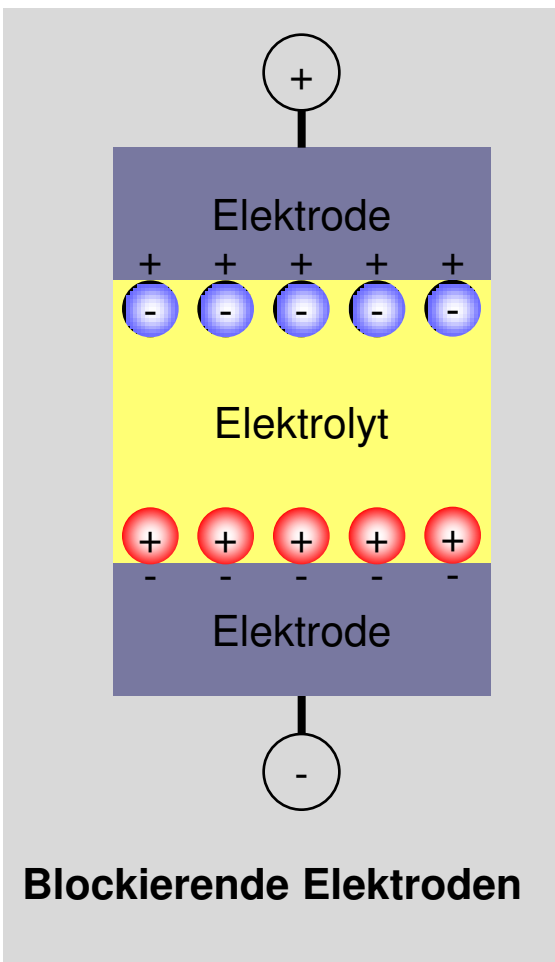


- Ladungsträgertransport in Elektrolyt und Elektroden
- keine Ladungstransferreaktion an der Grenzfläche Elektrode / Elektrolyt
  - ⇒ kein Stromfluss (dc)
- Raumladungszonen an den Grenzflächen Elektrode / Elektrolyt
  - ⇒ Doppelschichtkapazität
- Einsatz in Doppelschichtkondensatoren

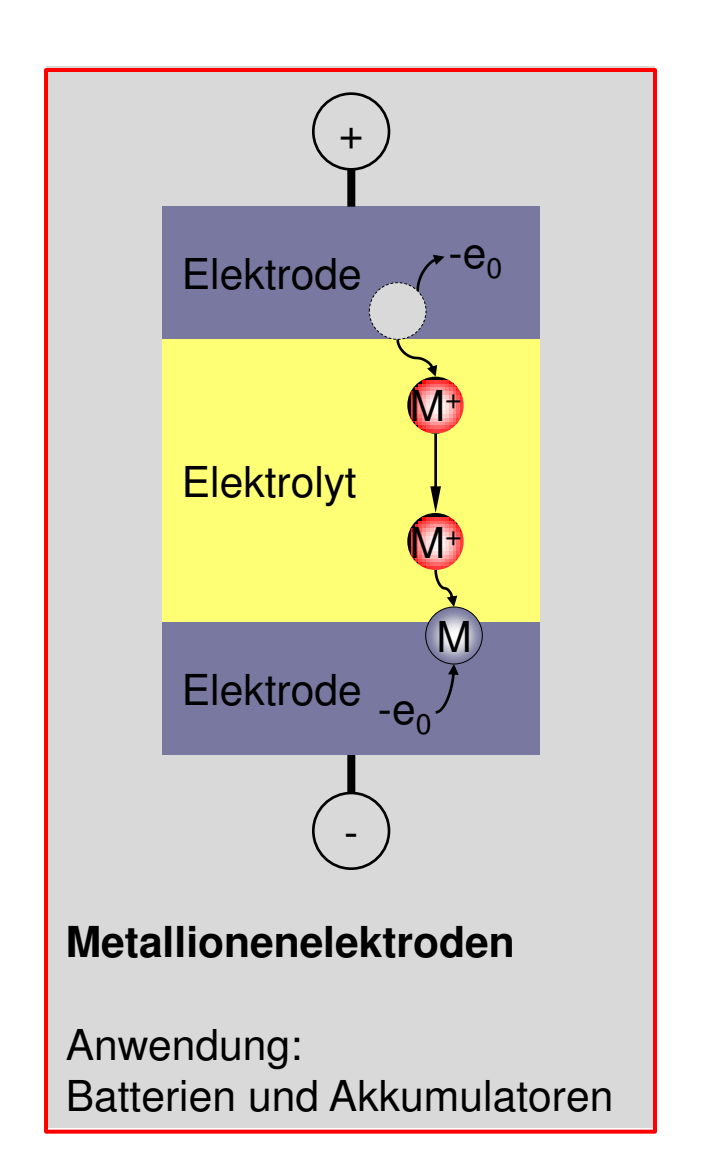
Blockierende Elektroden verhindern den Ladungstransport über die Grenzfläche Elektrode/Elektrolyt. Innerhalb eines zulässigen Betriebsbereichs läuft keine Ladungstransferreaktion ab. Eine angelegte Spannung fällt vollständig über den Raumladungszonen an der Grenzfläche Elektrode/Elektrolyt ab.

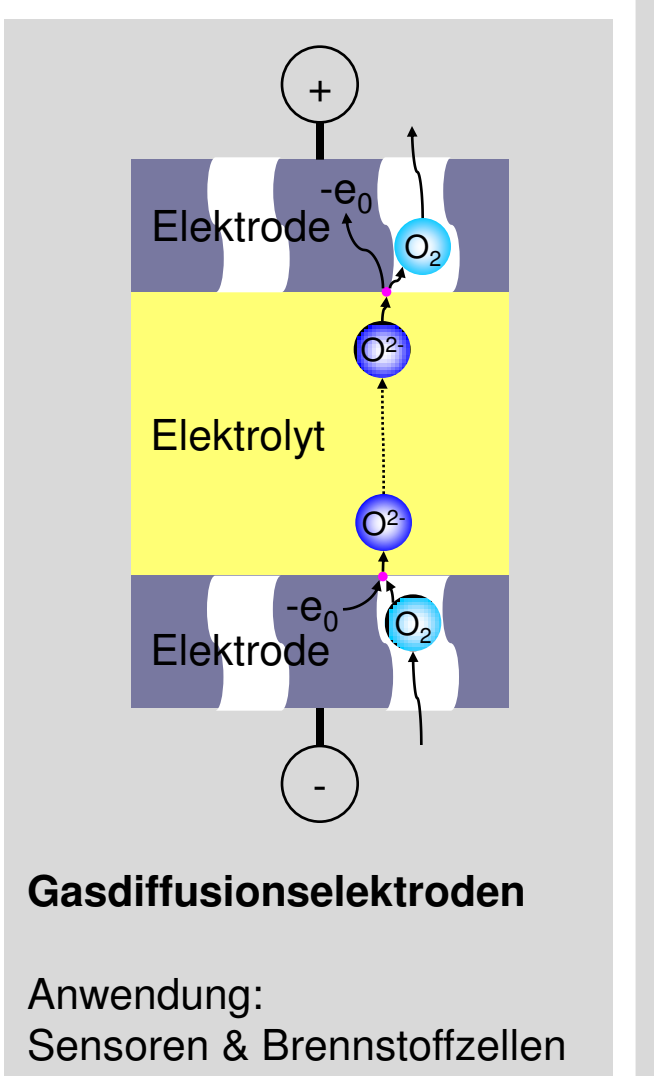
### 2.5 Ionenleiter Elektrodentypen





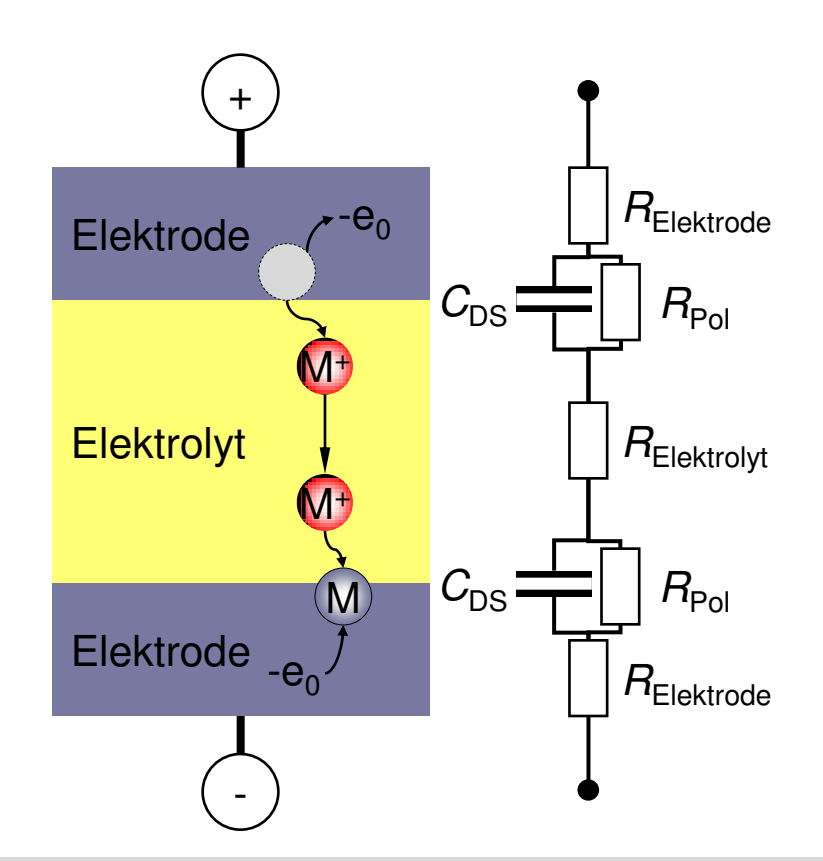
Anwendung: Doppelschichtkondensatoren





#### Elektrodentypen: Metallionenelektroden

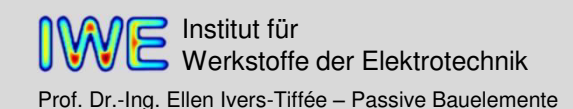




- Ladungsträgertransport in Elektrolyt und Elektroden
- (verlustbehaftete) Ladungstransferreaktion an der Grenzfläche Elektrode/Elektrolyt
  - $\Rightarrow$  Polarisationswiderstand  $R_{Pol}$
  - ⇒ Stromfluss (dc) möglich
  - ⇒ (reversible) elektrochemische Umsetzung von Elektrode (und Elektrolyt)
- Einsatz in Batterien und Akkumulatoren

In einer Metallionenelektrode ist das Elektrodenmaterial (und z.T. auch der Elektrolyt) an der Ladungstransferreaktion beteiligt.

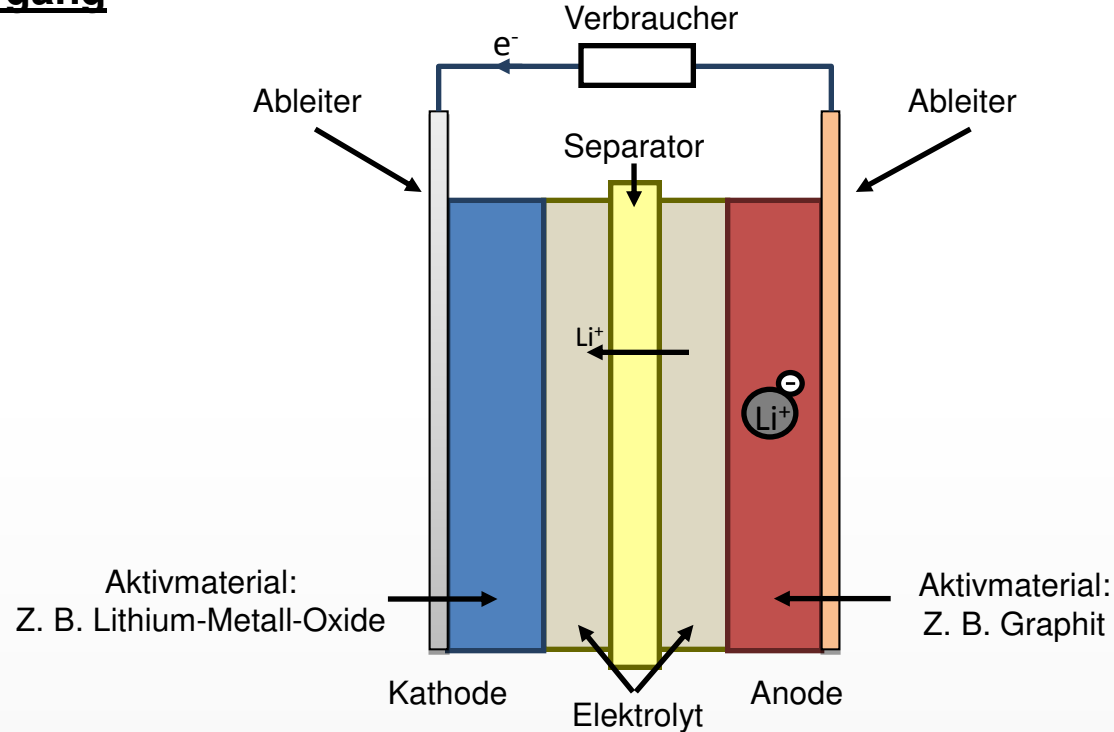
Bei Anlegen einer Spannung fließt ein Strom, bis die Elektrode vollständig umgesetzt ist.



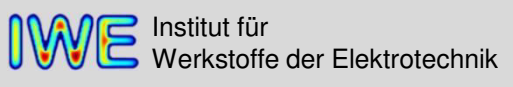


#### Funktionsprinzip einer Lithium-Ionen Batterie

#### **Entladevorgang**

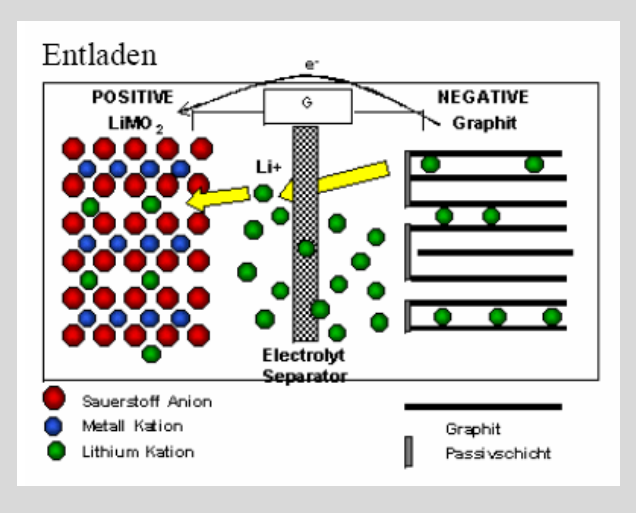


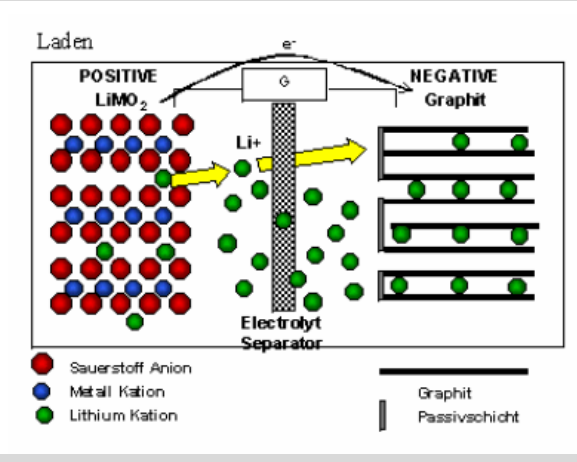
Quelle: Michael Schönleber - Elektrisches Verhalten von Lithium-Ionen Batterien



### 2.5 Ionenleiter Das Lithium-Ionen-System







#### Zellreaktion

#### Positive:

$$LiCoO_2 \rightleftharpoons Li_{1-x}CoO_2 + x Li^+ + x e^-$$
  
(0 \le x \le 0,6)

#### **Negative:**

$$x \operatorname{Li}^+ + \operatorname{C}_6(\operatorname{Graphit}) + x \operatorname{e}^- \rightleftharpoons \operatorname{Li}_x \operatorname{C}_6$$
  
(0 \le x \le 1)

#### Gesamtreaktion:

$$LiCoO_2 + 0.6 C_6 \rightleftharpoons Li_{0.4}CoO_2 + 0.6 LiC_6$$

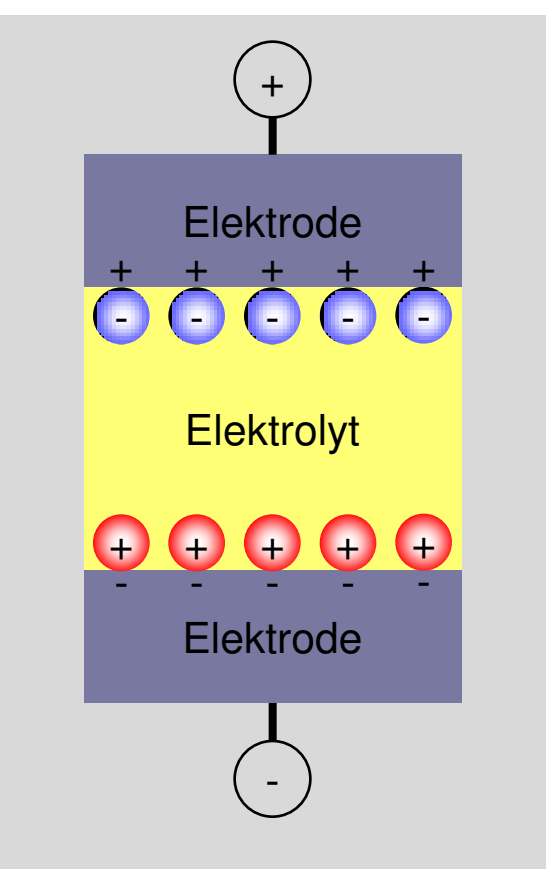
Kein metallisches Lithium in der Zelle.

Der Elektrolyt nimmt nicht an der Reaktion teil und dient als reines Transportmedium für Lithium-Ionen.

⇒ weniger Elektrolyt erforderlich

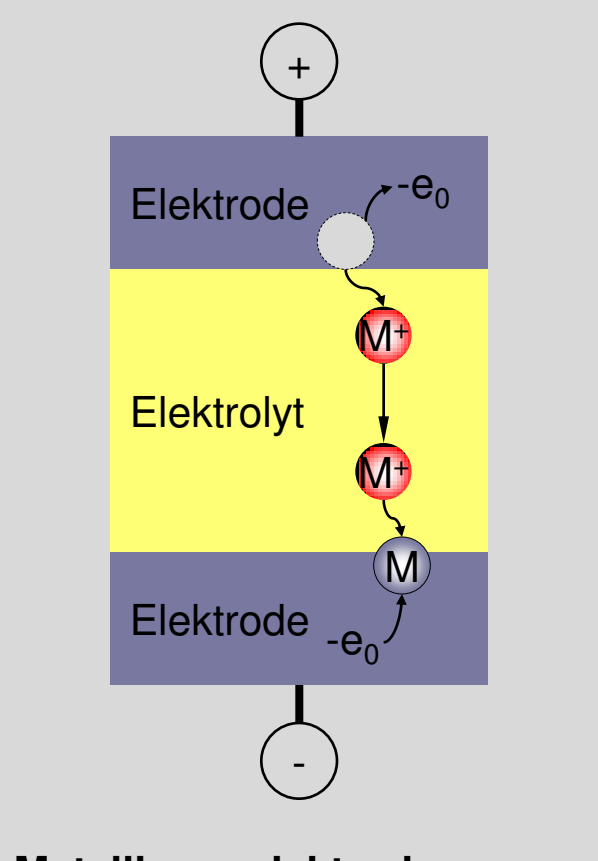
### 2.5 Ionenleiter Elektrodentypen





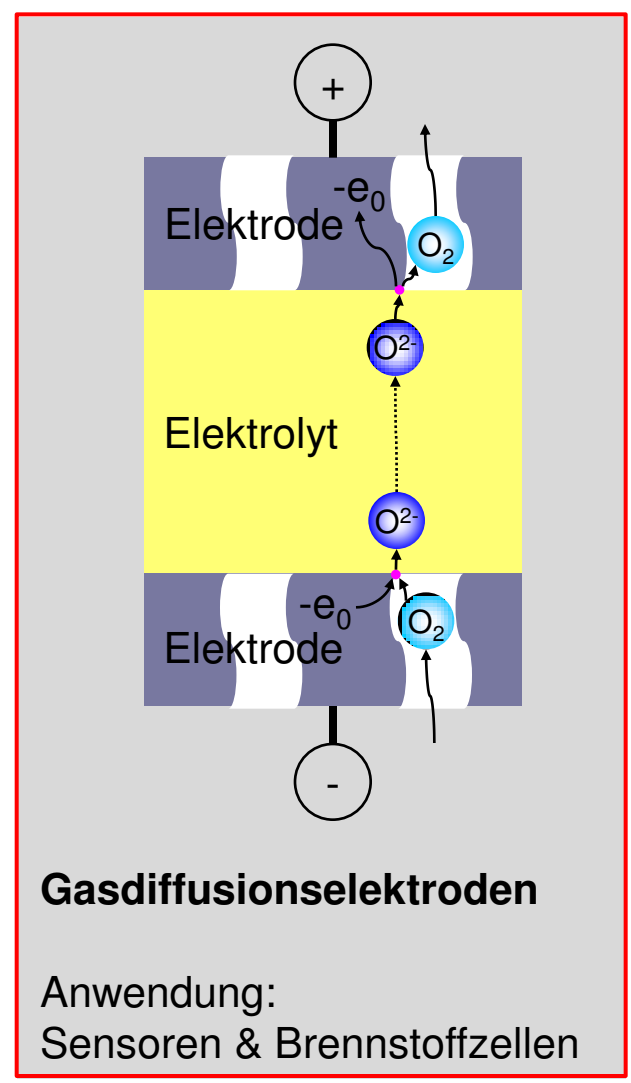
#### **Blockierende Elektroden**

Anwendung: Doppelschichtkondensatoren



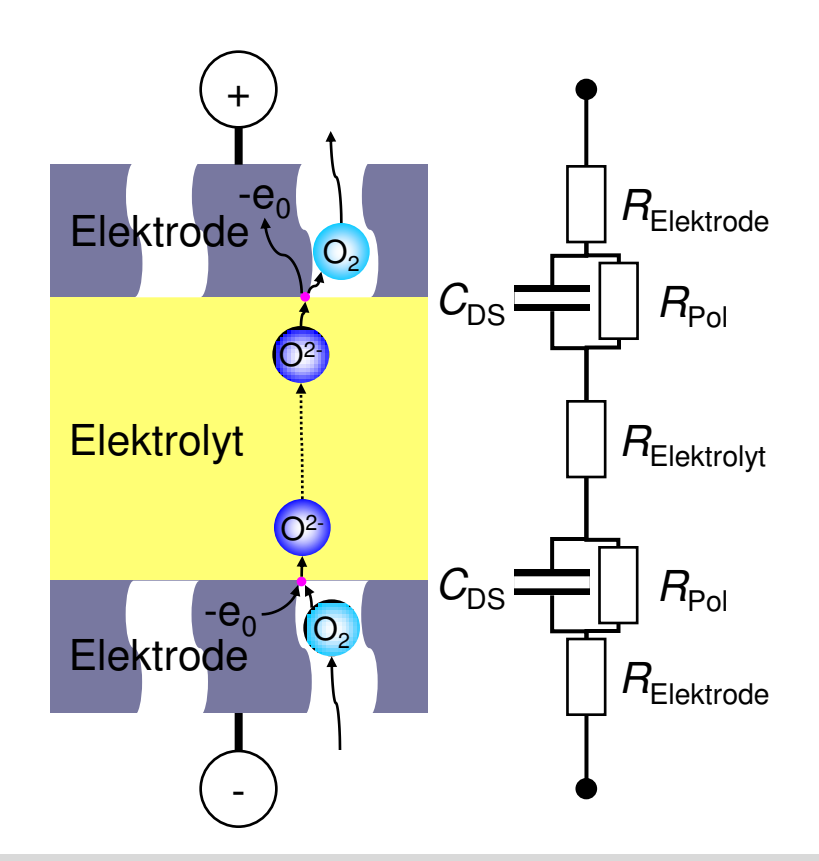
#### Metallionenelektroden

Anwendung: Batterien und Akkumulatoren



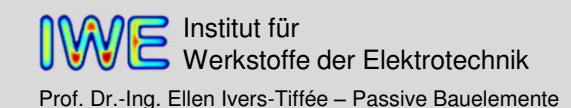
#### Elektrodentypen: Gasdiffusionselektroden





- Ladungsträgertransport in Elektrolyt und Elektroden
- (verlustbehaftete) Ladungstransferreaktion an der Dreiphasengrenze
   Gasraum/Elektrode/Elektrolyt
  - $\Rightarrow$  Polarisationswiderstand  $R_{Pol}$
  - ⇒ Stromfluss (dc) möglich
  - ⇒ poröse, katalytisch aktive Elektrode
- Einsatz in Sensoren und Brennstoffzellen

In einer Gasdiffusionselektrode fungiert das Elektrodenmaterial als elektronischer Leiter und Katalysator, ist aber an der Ladungstransferreaktion nicht beteiligt. Elektrode (und Elektrolyt) verändern sich bei Stromfluss nicht.



### 2.5 Ionenleiter Von der potentiometrischen Lambda-Sonde zur Brennstoffzelle



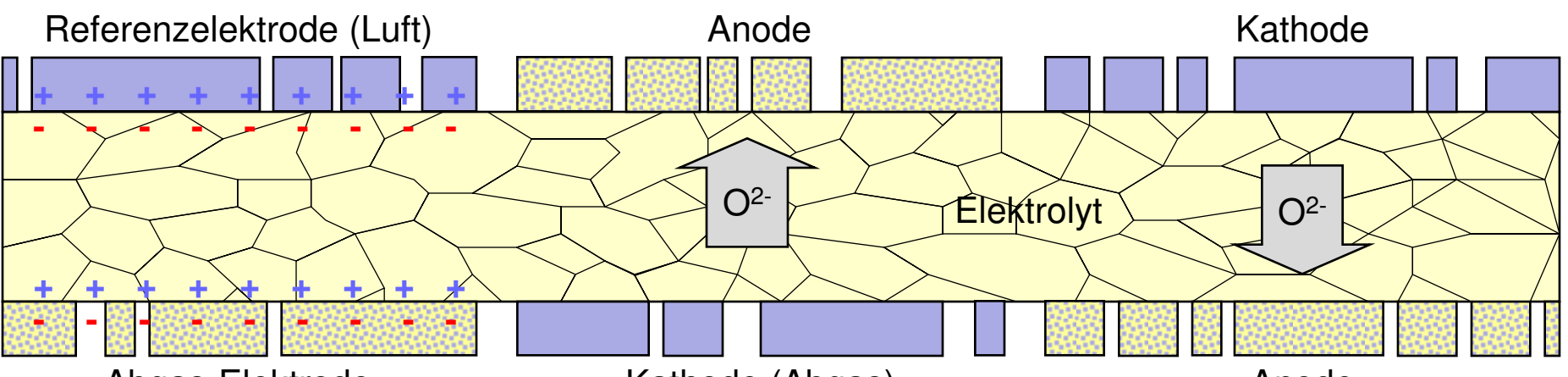
$$\frac{1}{2} O_2 + 2 e^{-} \Leftrightarrow O^{2-}$$

$$O^{2-} \rightarrow \frac{1}{2} O_2 + 2 e^{-}$$

$$\frac{1}{2} O_2 + 2 e^{-} \rightarrow O^{2-}$$

$$\frac{1}{2} O_2 + 2 e^{-} \rightarrow O^{2-}$$

$$O^{2-} + H_2 \rightarrow H_2O + 2 e^{-}$$
  
 $O^{2-} + CO \rightarrow CO_2 + 2 e^{-}$ 



Abgas-Elektrode

Anode

$$U_{\text{Nernst}} = \frac{RT}{4F} \cdot \ln \left( \frac{p_{\text{O}_2}^{\text{Luft}}}{p_{\text{O}_2}^{\text{Abgas}}} \right)$$

potentiometrischer Sensor

$$I_{\text{Pump}} = \frac{4F}{RT} \cdot D_{O_2} \cdot A \cdot p_{O_2}^{\text{Abgas}}$$

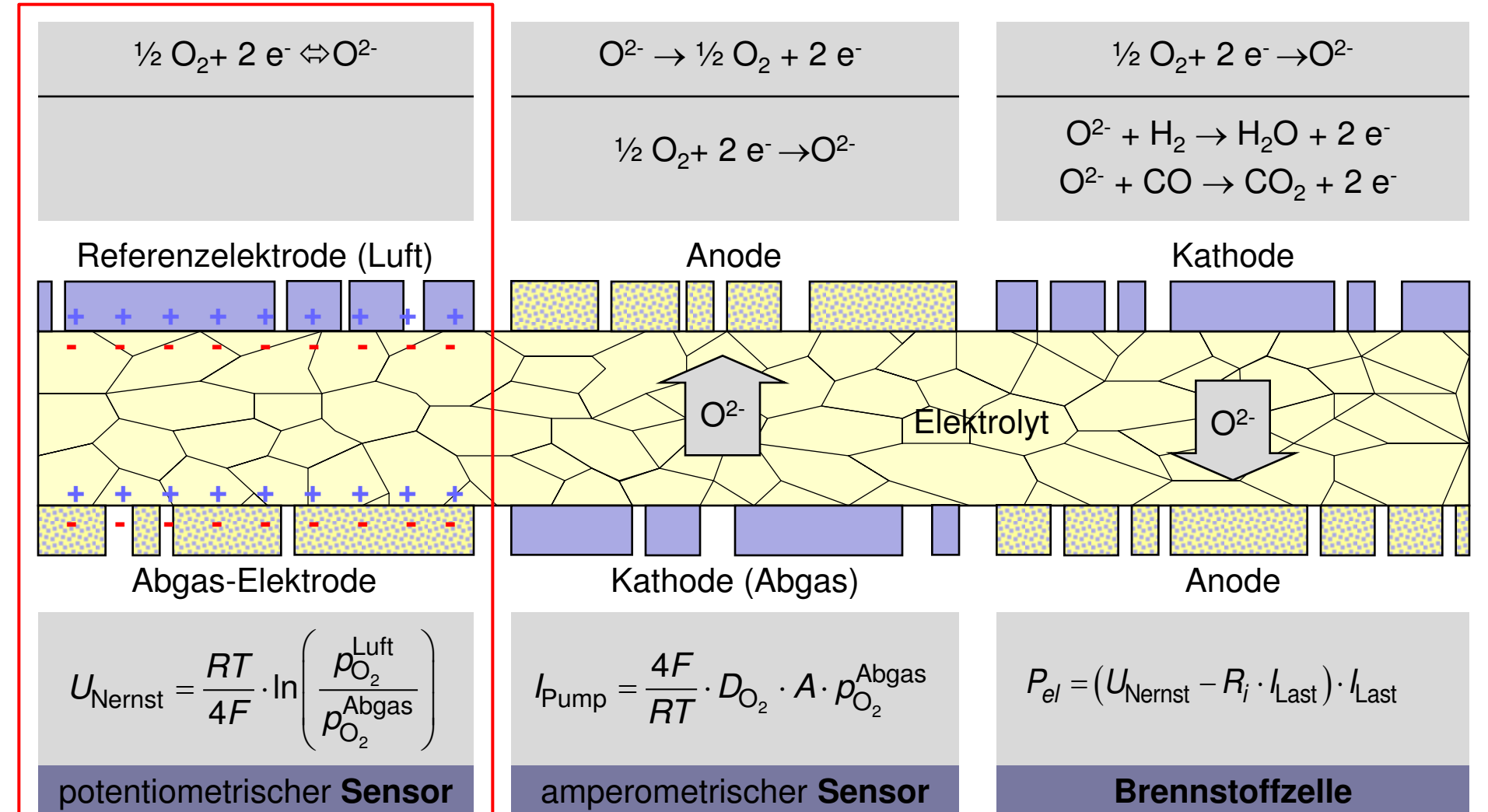
amperometrischer Sensor

$$P_{el} = (U_{Nernst} - R_i \cdot I_{Last}) \cdot I_{Last}$$

Brennstoffzelle



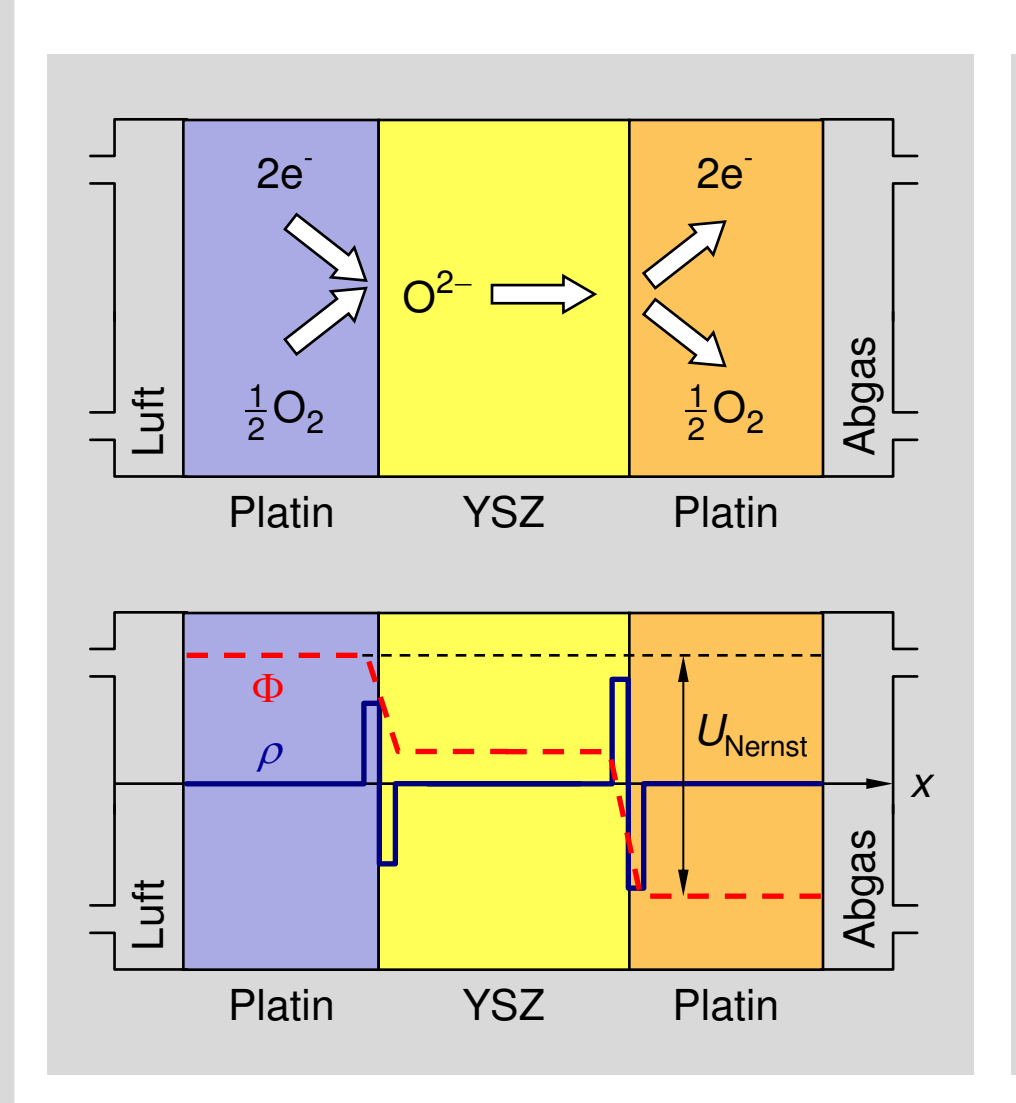






### 2.5 Ionenleiter Aufbau und Prinzip der potentiometrischen λ-Sonde (2)





Im Gleichgewichtszustand muss sich das elektrochemische Potential auf beiden Seiten angleichen (Gibbs'sche Thermodynamik).

elektrochemisches Potential:  $\tilde{\mu} = \mu + nF\Phi$ 

$$\begin{split} \tilde{\mu}_{O_2}^{\text{Luft}} &= \mu_o^p + RT \cdot \ln \left( p_{O_2}^{\text{Luft}} \right) + nF\Phi_1 \\ \tilde{\mu}_{O_2}^{\text{Abgas}} &= \mu_o^p + RT \cdot \ln \left( p_{O_2}^{\text{Abgas}} \right) + nF\Phi_2 \end{split}$$

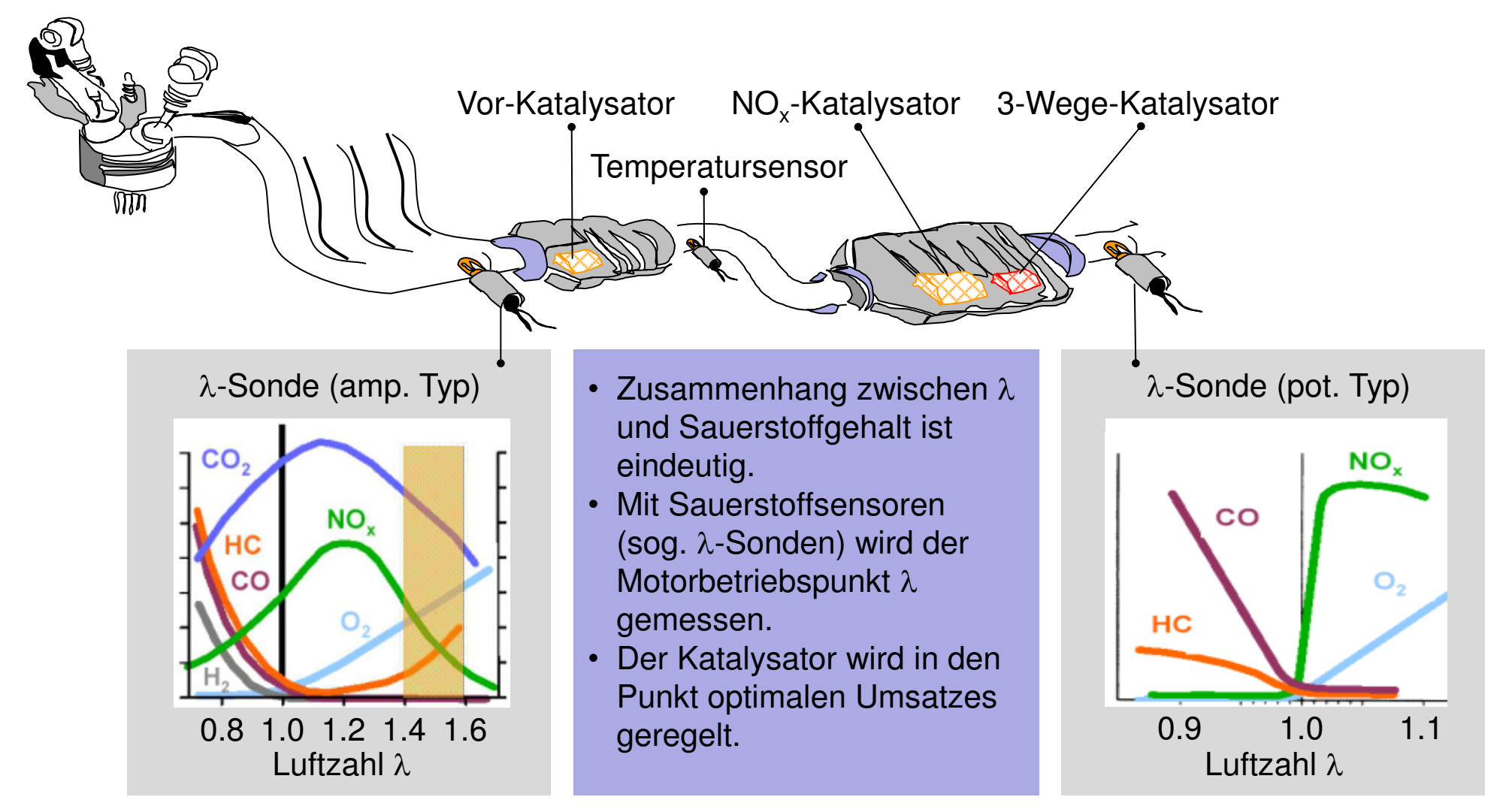
Gleichgewichtsbedingung:  $\tilde{\mu}_{O_2}^{Luft} = \tilde{\mu}_{O_2}^{Abgas}$ 

Für jedes Sauerstoffmolekül  $O_2$  werden vier Elektronen verschoben, d.h. n = 4.

$$U_{\text{Nernst}} = \Phi_2 - \Phi_1 = \frac{RT}{4F} \cdot \ln \left( \frac{p_{\text{O}_2}^{\text{Luft}}}{p_{\text{O}_2}^{\text{Abgas}}} \right)$$

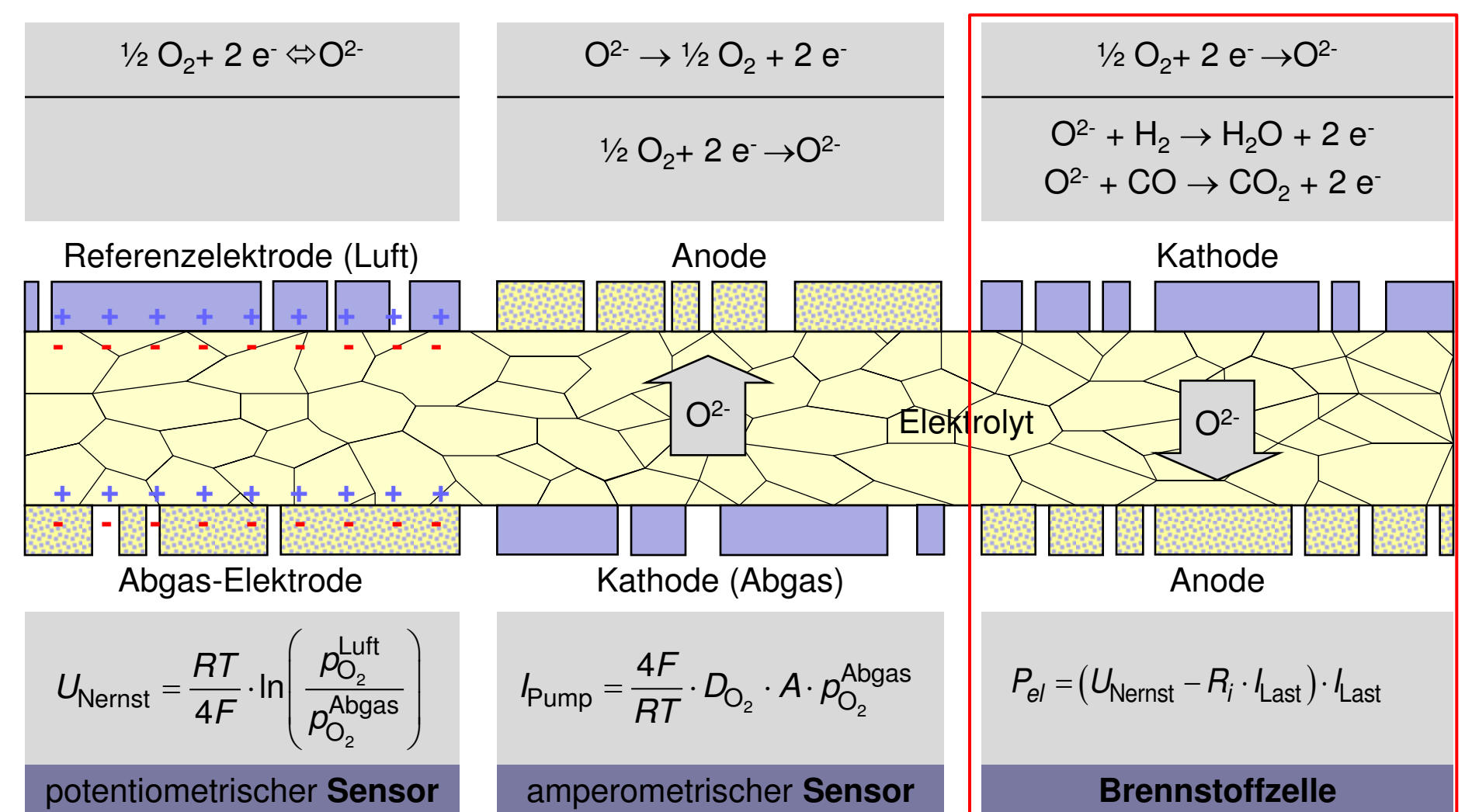
### 2.5 Ionenleiter Abgasreinigungskonzept moderner Benzinmotoren

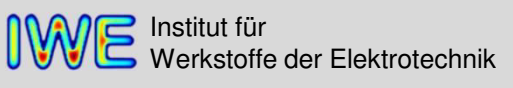






#### Von der potentiometrischen Lambda-Sonde zur Brennstoffzelle

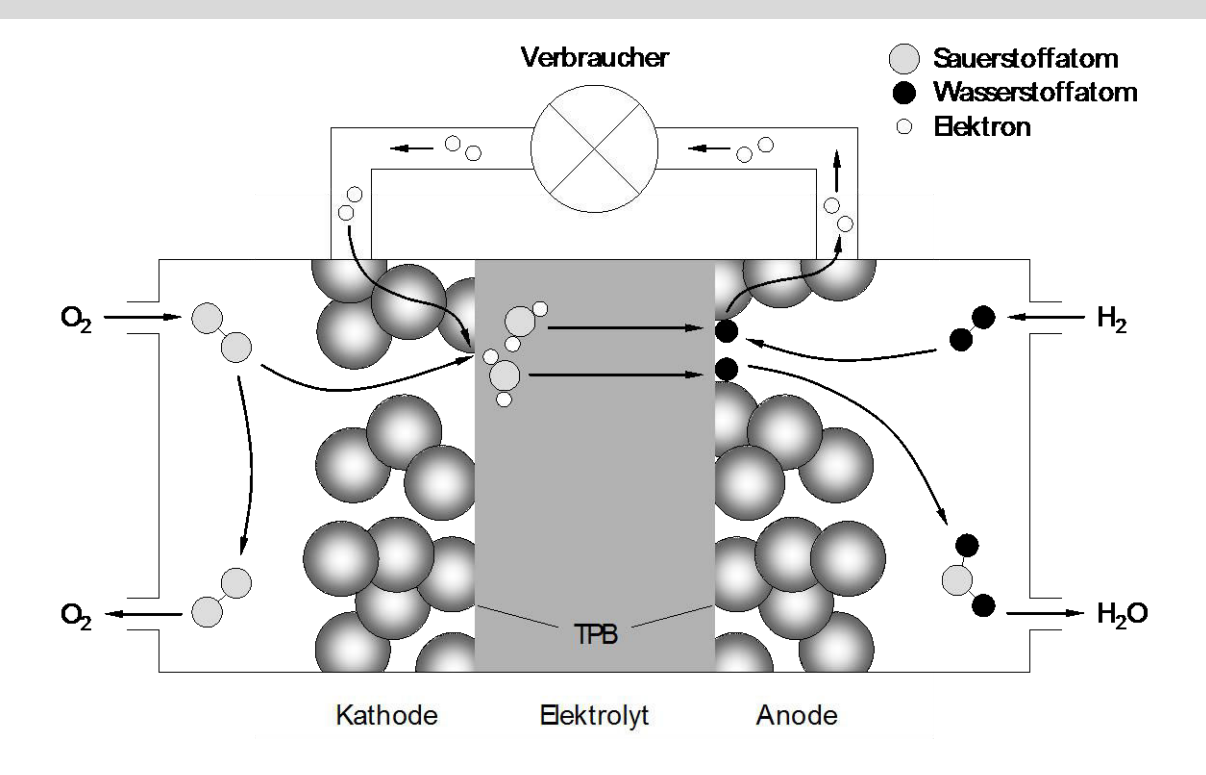




#### Ausblick: Erzeugung elektrischer Energie durch Brennstoffzellen



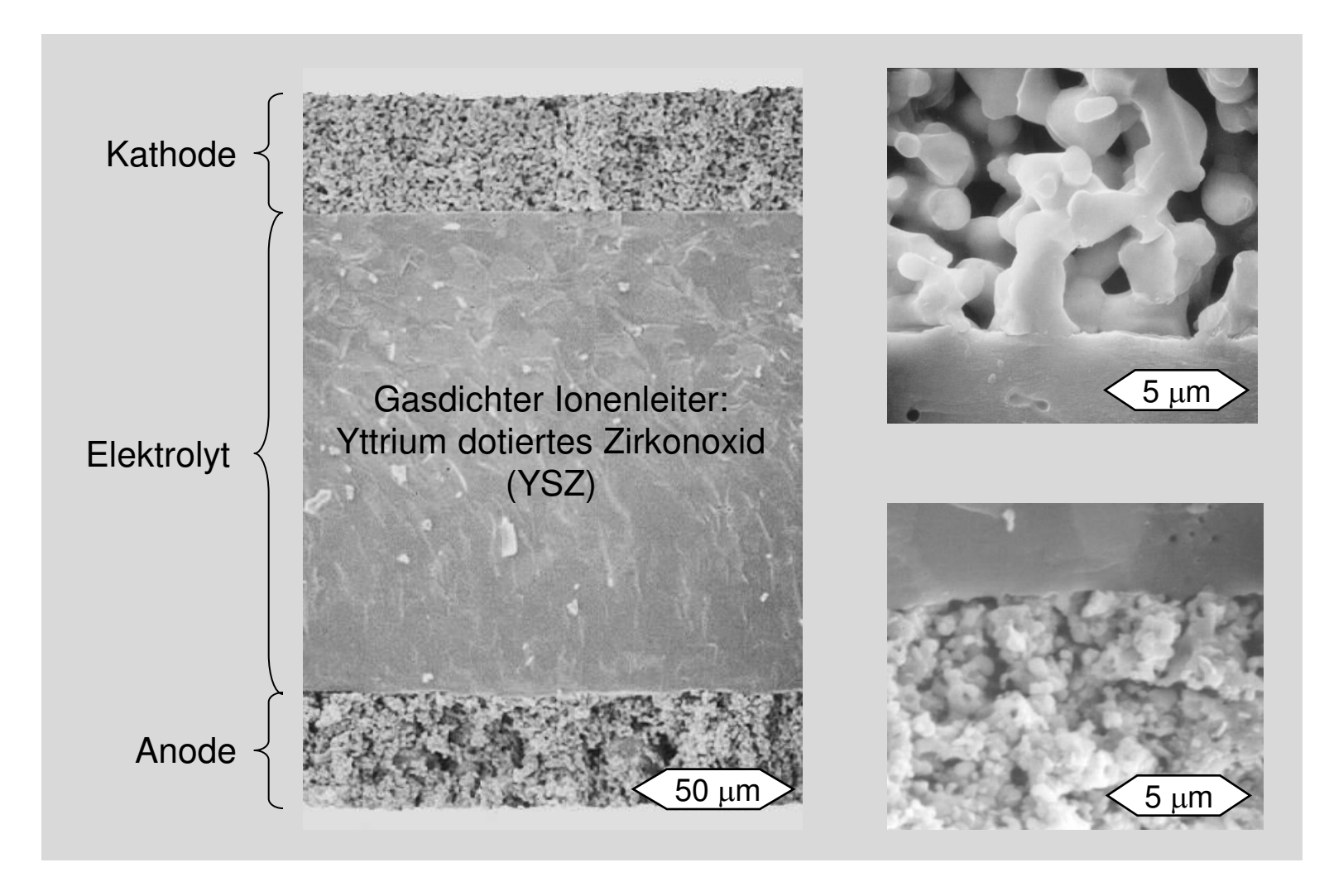
Beispiel: Hochtemperatur-Festkörperelektrolyt-Brennstoffzelle, engl. Solid Oxide Fuel Cell (SOFC)



In Brennstoffzellen wird die chemische Energie des Brennstoffes direkt in elektrische Nutzenergie umgewandelt. Daraus resultiert ein hoher theoretischer Nettowirkungsgrad.

#### 2.5 Ionenleiter Aufbau und Mikrostruktur einer SOFC-Einzelzelle





#### 2.5 Ionenleiter Stationäres SOFC-Heizgerät für Haushalt (1 kW)





#### **Sulzer Hexis**

• Brennstoffzelle SOFC

• Betriebstemperatur 900 °C

• Brenngas Erdgas

Elektrische Leistung1 kW max.

•Thermische Leistung 2,5 kW max.

Brennstoffzelle

•Thermische Leistung 12, 16, 22 kW

Zusatzbrenner

• Elektrischer Wirkungsgrad 25 ... 30 % (Ziel > 30 %)

•Gesamtwirkungsgrad etwa 85 %

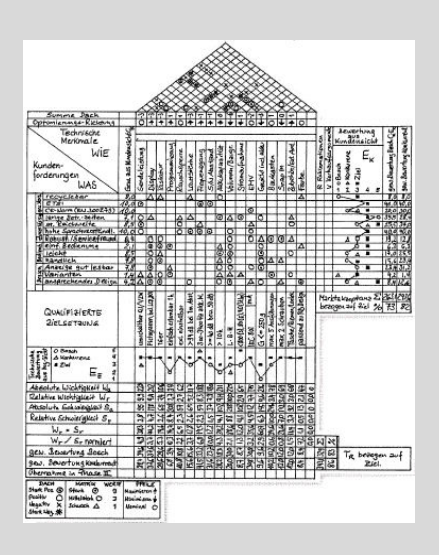
### 2.5 Ionenleiter Weiterführende Veranstaltungen



### Systematische Produktentwicklung in der Sensorik

Wintersemester 2 SWS

Dr.-Ing. J. Riegel (Fa. Bosch) Prof. Dr.-Ing. E. Ivers-Tiffée



#### Inhalt

- Lambda-Sonde
- alternativeAbgassensoren
- Produktentwicklung
- Design of Experiments
- Qualitätsmanagement
- praktischer Versuch

#### Sensoren

Wintersemester 2 SWS

Dr.-Ing. W. Menesklou



#### Inhalt

- Mech. Sensoren
- Temperatursensoren
- Chemische Sensoren
- Optische Sensoren
- Magnet. Sensoren
- Gassensoren

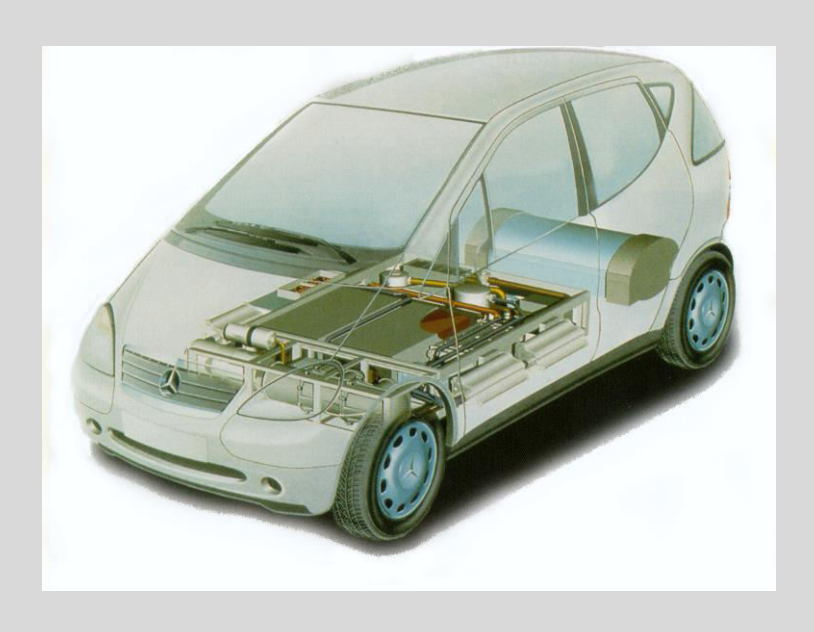
### 2.5 Ionenleiter Weiterführende Veranstaltungen



#### **Batterien und Brennstoffzellen**

Wintersemester 2 SWS

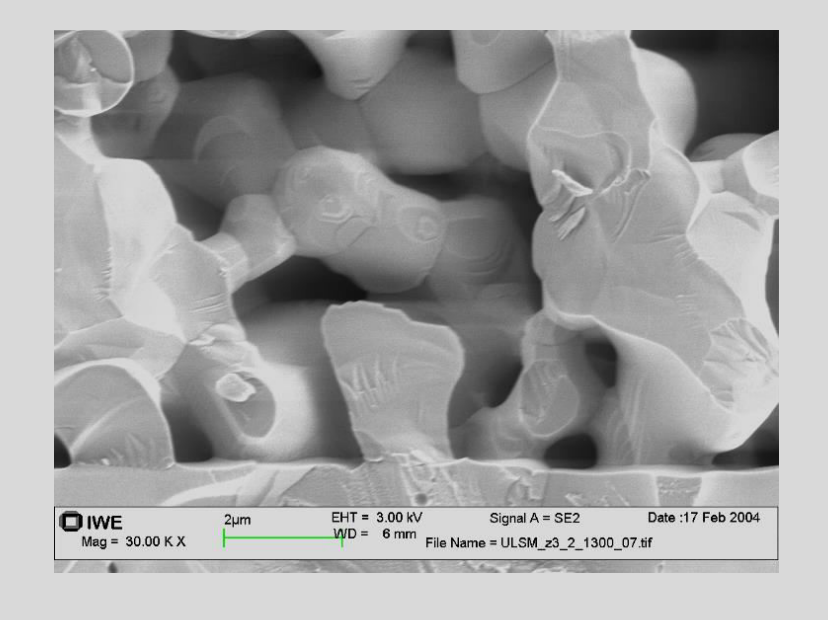
Prof. Dr.-Ing. E. Ivers-Tiffée



#### **Batterie- und Brennstoffzellensysteme**

Sommersemester 2 SWS

Dr.-Ing. A. Weber



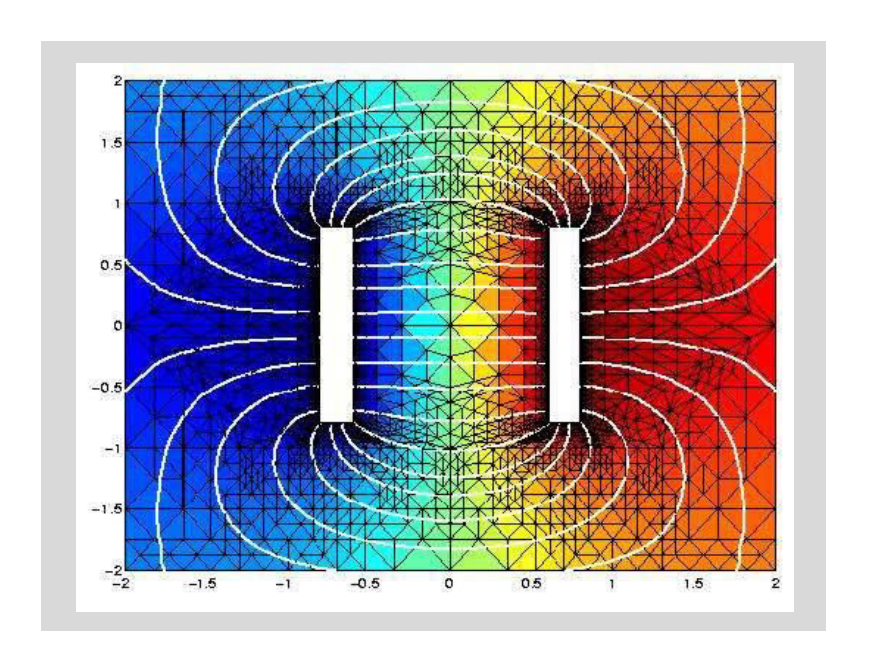


# Das **Kapitel 2: Supraleiter** wird nach dem Kapitel zu Dielektrika behandelt.



### **Kapitel 3:**

# Dielektrische Werkstoffe und Ihre Bauelemente







### Kapitel 3:

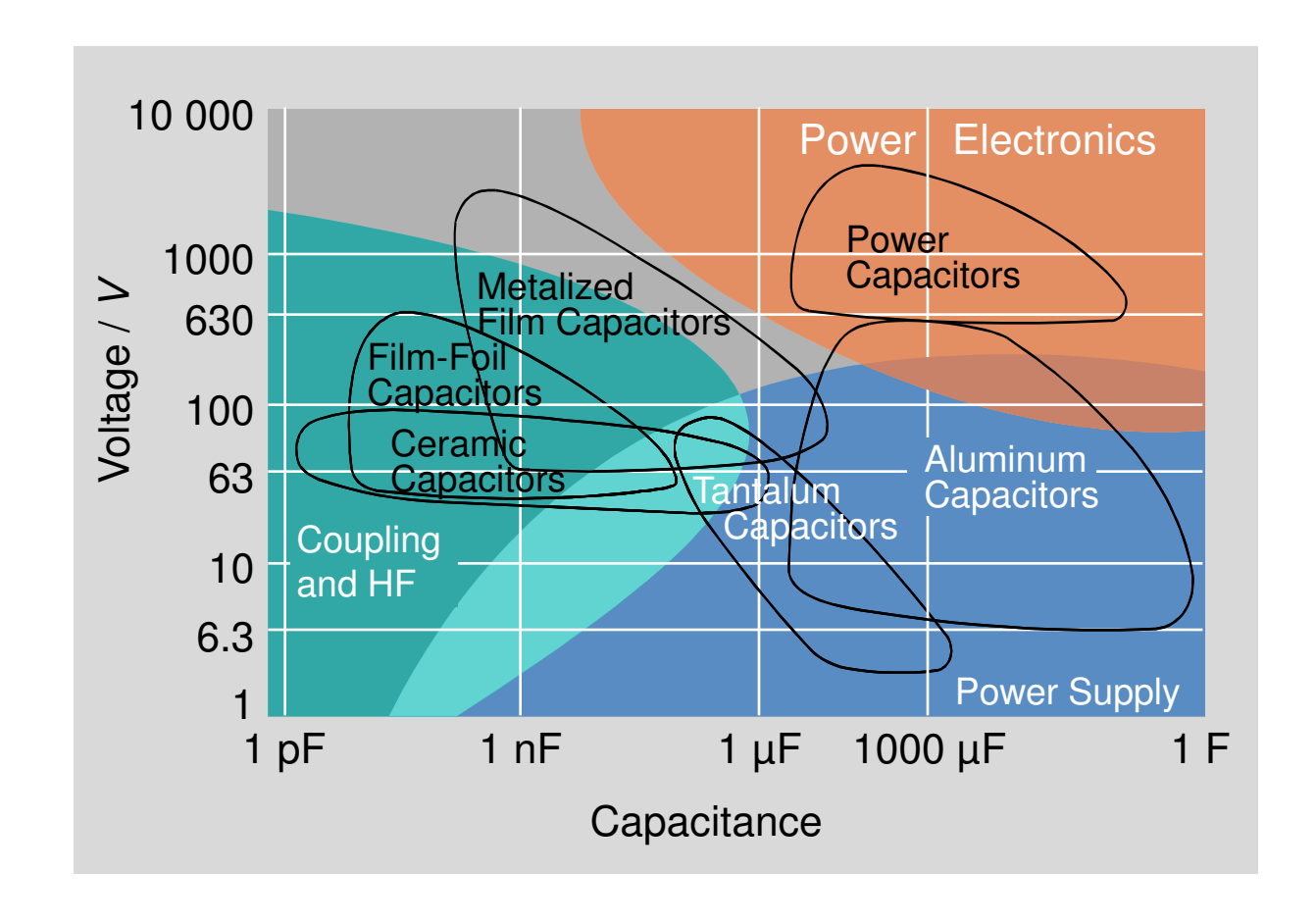
# Dielektrische Werkstoffe und Ihre Bauelemente

3.1	Einführung
3.2	Polarisationsmechanismen
3.3	Verhalten von Dielektrika im Wechselfeld
3.4	Piezoelektrische Werkstoffe
3.5	Ferroelektrische Werkstoffe
3.6	Pyroelektrische Werkstoffe
3.7	Kondensatoren



### 3.1 Einführung Einsatzbereich Kondensatoren





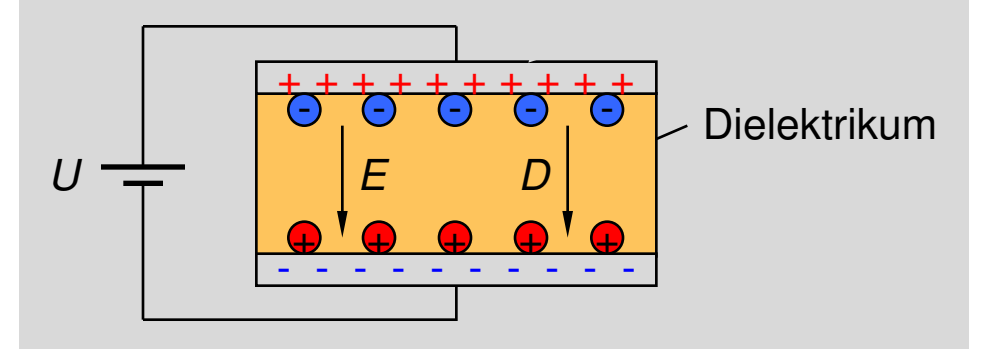


### 3.1 Einführung Dielektrisches Verhalten von Werkstoffen



#### Feldstärke und Verschiebungsdichte

Die Verschiebungsdichte *D* ist die Ladung pro Fläche, die nach Anlegen eines elektrischen Felds *E* auf die Platten verschoben wird.



#### Dielektrizitätszahl

In linearer, isotroper Materie ist die angelegte Feldstärke *E* proportional zur elektrischen Verschiebungsdichte *D*.

$$\vec{D} = \varepsilon_0 \cdot \varepsilon_r \cdot \vec{E}$$

 $\varepsilon_r$ : relative Dielektrizitätszahl des Werkstoffs

 $\varepsilon_0$ : elektrische Feldkonstante

Die physikalische Deutung dieser Beziehung, die Behandlung nichtlinearer Materie sowie die Querempfindlichkeit der Dielektrizitätszahl zu anderen physikalischen Größen (z.B. Temperatur, Frequenz) und die Anwendung in Bauelementen ist Gegenstand des folgenden Kapitels.

### 3.1 Einführung Polarisationsmechanismen im Überblick



#### **Grundtypen der Polarisation**

#### Elektronenpolarisation

Auslenkung von Atomhülle gegen Atomkern

#### Ionenpolarisation

Auslenkung von Kationen gegen Anionen im Kristallgitter

#### Orientierungspolarisation

Ausrichtung permanent vorhandener Dipole

#### Raumladungspolarisation

Ladungsverschiebung in polykristallinen und Kompositwerkstoffen

#### Spezielle Dielektrika

#### Piezoelektrizität

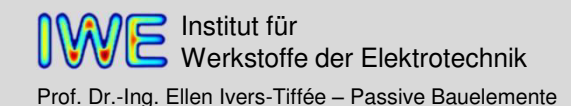
Polarisation wird durch mechanische Dehnung induziert und umgekehrt.

#### **Pyroelektrizität**

Spontane Polarisation unabhängig vom elektrischen Feld

#### **Ferroelektrizität**

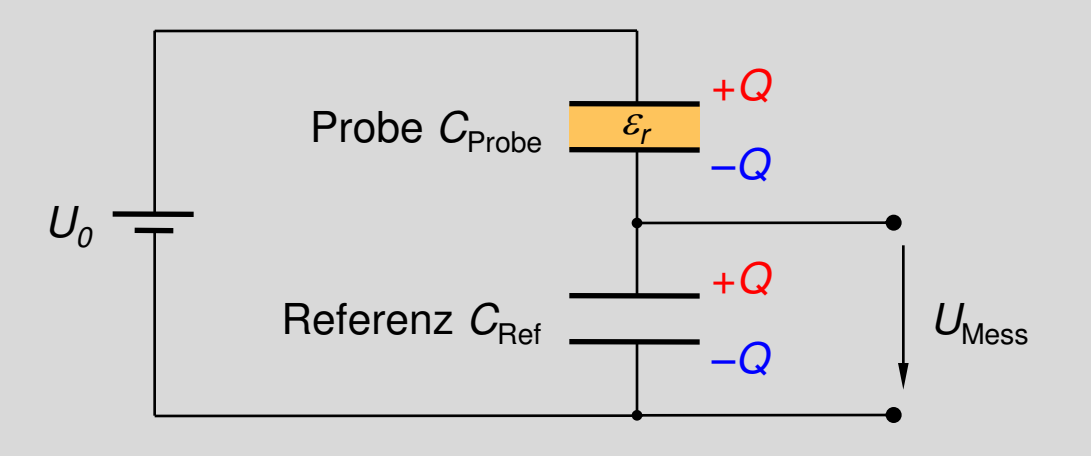
Spontane Polarisation durch elektrisches Feld beeinflussbar



### 3.1 Einführung Messung der Dielektrizitätszahl



#### Sawyer-Tower Schaltung



Probe: Plattenkondensator mit dünnem Dielektrikum

$$C_{\text{Probe}} = \frac{Q}{U} = \frac{D \cdot A}{E \cdot d} = \varepsilon_0 \cdot \varepsilon_r \cdot \frac{A}{d}$$

Aufgrund der Serienschaltung ist die Ladung Q auf Referenz- und Probekondensator gleich groß.

$$Q = C_{Ref} \cdot U_{Mess}$$

$$Q = C_{\text{Probe}} \cdot (U_0 - U_{\text{Mess}})$$

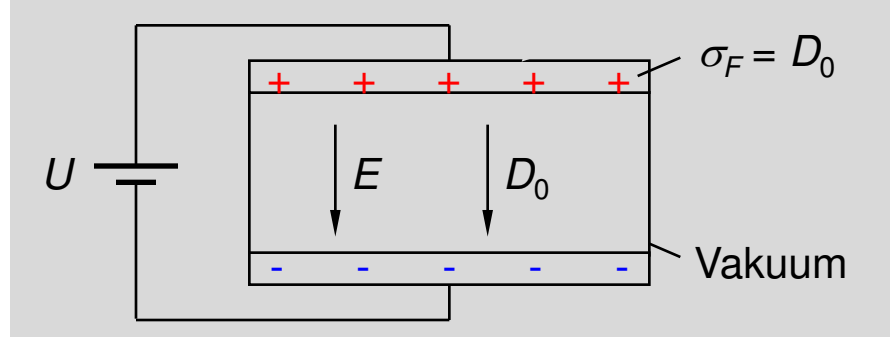
Damit gilt für die relative Dielektrizitätszahl des Dielektrikums:

$$\varepsilon_r = \frac{d}{\varepsilon_0 \cdot A} \cdot C_{\text{Ref}} \cdot \frac{U_{\text{Mess}}}{U_0 - U_{\text{Mess}}}$$

### 3.2 Polarisationsmechanismen Plattenkondensator bei konstantem elektrischen Feld



#### Verschiebungsdichte im Vakuum



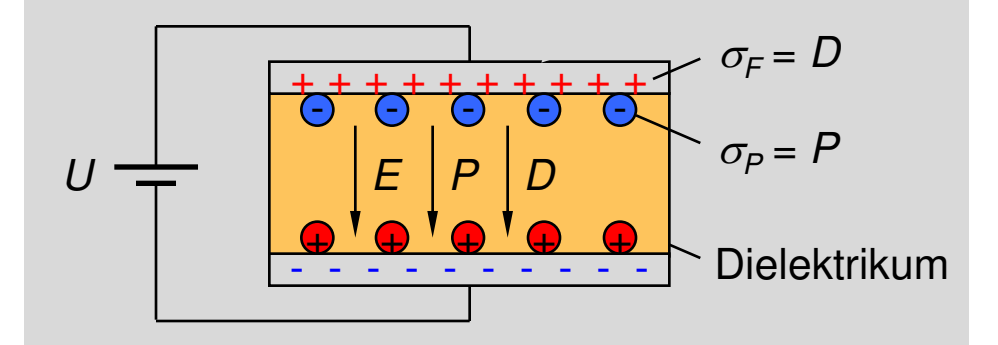
 $D_0$ : Vakuumverschiebungsdichte

 $\sigma_F$ : freie, flächenbezogene Ladung auf den

Kondensatorplatten

[Ivers-Tiffée 2007]

#### Verschiebungsdichte im Dielektrikum



P: Polarisation

 $\sigma_P$ : gebundene, flächenbezogene

Polarisationsladung auf der Außenseite

des Dielektrikums

$$\vec{D}_0 = \varepsilon_0 \cdot \vec{E}$$

elektrische Feldkonstante  $\varepsilon_0 = 8,85 \cdot 10^{-12} \, \text{As/Vm}$ 

$$\vec{D} = \varepsilon_0 \cdot \vec{E} + \vec{P}$$

$$P = \text{fkt} (E, T, \sigma_M, ...)$$

### 3.2 Polarisationsmechanismen Dielektrizitätszahl und Suszeptibilität in linearer Materie



Verschiebungsdichte in Materie (allg.)

$$D = \varepsilon_0 \cdot E + P$$

In linearer Materie sind Feldstärke und Polarisation proportional

$$P = \varepsilon_0 \cdot \chi_e \cdot E$$

 $\chi_e$ : elektrische Suszeptibilität

Daher gilt 
$$D = \varepsilon_0 \cdot (1 + \chi_e) \cdot E$$

Definition: relative Dielektrizitätszahl

$$\varepsilon_r = 1 + \chi_e$$



$$\vec{D} = \varepsilon_0 \cdot \varepsilon_r \cdot \vec{E}$$

 $\vec{D} = \varepsilon_0 \cdot \varepsilon_r \cdot \vec{E}$  in linearer Materie

Beiträge zur elektrischen Suszeptibilität

$$\chi_e = \chi_{el} + \chi_{ion} + \chi_{or} + \chi_{RL}$$
unpolare/ polare Dielektrika

 $\chi_{el}$ : Elektronenpolarisation

 $\chi_{ion}$ : lonenpolarisation

 $\chi_{or}$ : Orientierungspolarisation

 $\chi_{RL}$ : Raumladungspolarisation

[Ivers-Tiffée 2007]

# 3.2 Polarisationsmechanismen Grundtypen der dielektrischen Polarisation



#### Grundtypen

#### Elektronenpolarisation

Auslenkung von Atomkern und -hülle (induzierte Dipole)

#### Ionenpolarisation

Auslenkung von Kationen und Anionen (induzierte Dipole)

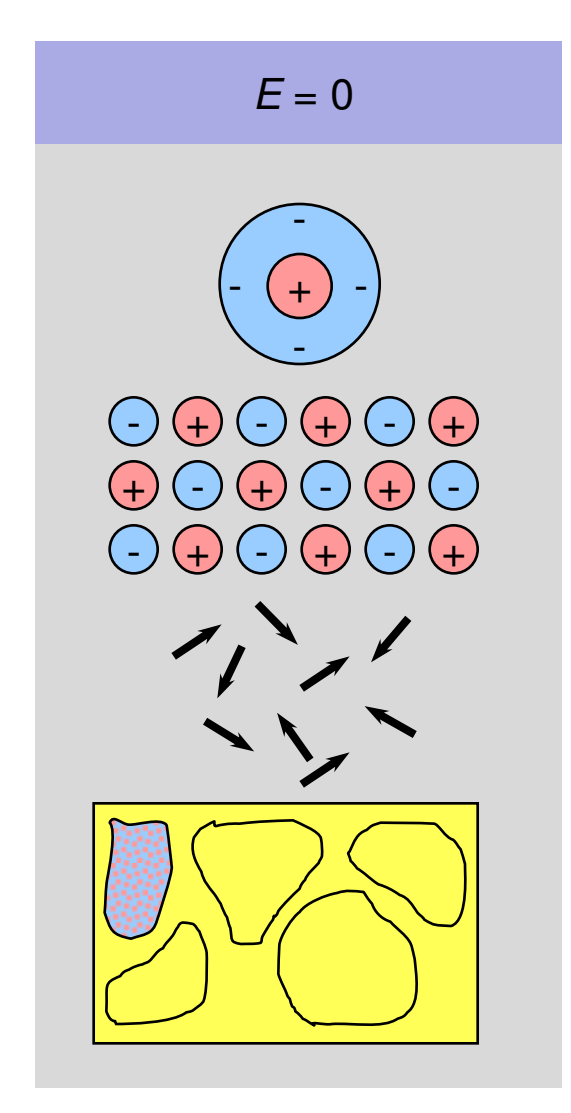
#### Orientierungspolarisation

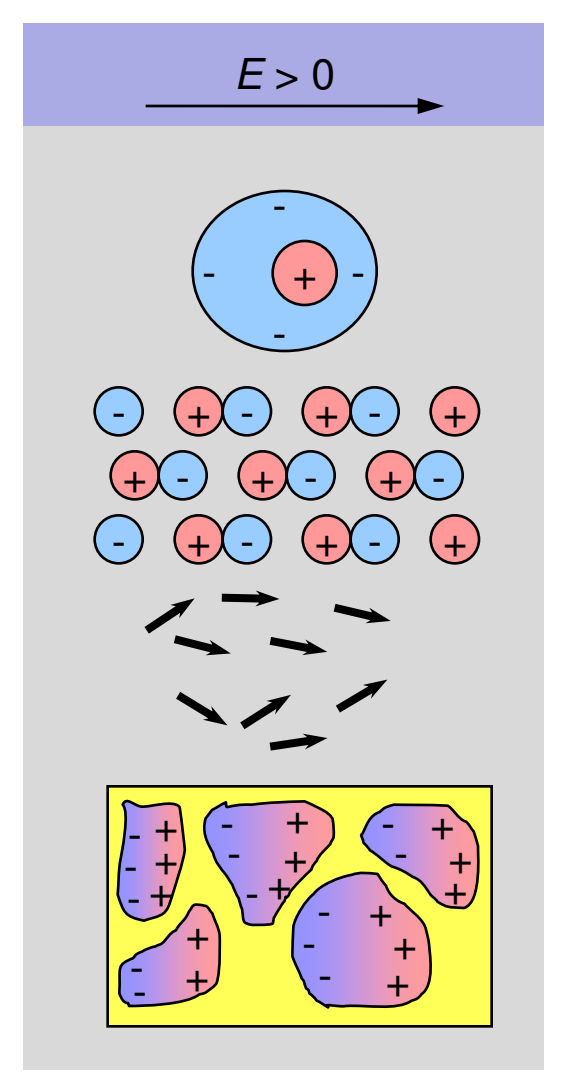
Ausrichtung permanent vorhandener Dipole

#### Raumladungspolarisation

Ansammlung freier Ladungsträgern an isolierenden Korngrenzen

[Schaumburg 1994]





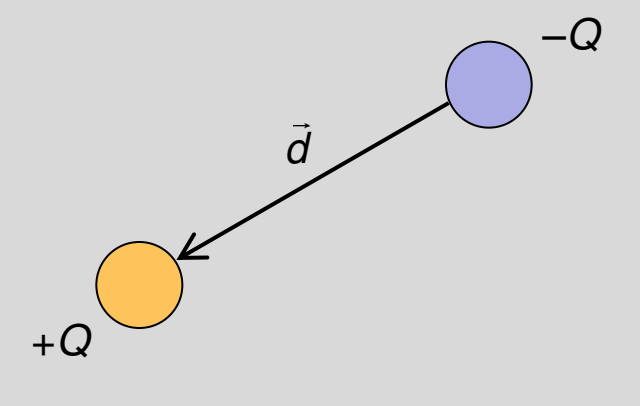
### 3.2 Polarisationsmechanismen Dipolmoment, Polarisation und Polarisierbarkeit



#### Elektrisches Dipolmoment p

Das Moment eines elektrischen Dipols *p* ist definiert als Produkt aus Ladung und Abstand, um den die Ladungen *Q* verschoben sind.

$$\vec{p} = |Q| \cdot \vec{d}$$
  $[p] = \text{As m}$ 



#### Polarisation P

Die Polarisation *P* ist definiert als Summe der Dipolmomente pro Volumen.

$$\vec{P} = \frac{1}{V} \sum_{i=1}^{N} \vec{p}_i = \frac{N}{V} \cdot \vec{p} = n \cdot \vec{p}$$
 [P] = As m<sup>-2</sup>

p: mittleres Dipolmoment pro Volumen V

n: Konzentration der Dipole

#### Polarisierbarkeit $\alpha$

In einfachen Fällen ist das Dipolmoment proportional zur Feldstärke, die am Ort des Dipols wirkt.

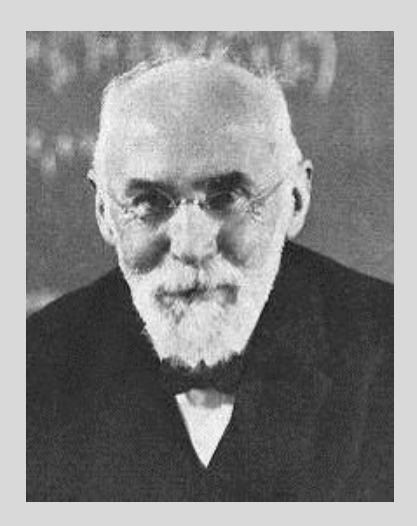
$$\vec{p} = \alpha \cdot \vec{E}$$
 [ $\alpha$ ] = As m<sup>2</sup> V<sup>-1</sup>

# 3.2 Polarisationsmechanismen Konzept der lokalen Feldstärke (1)

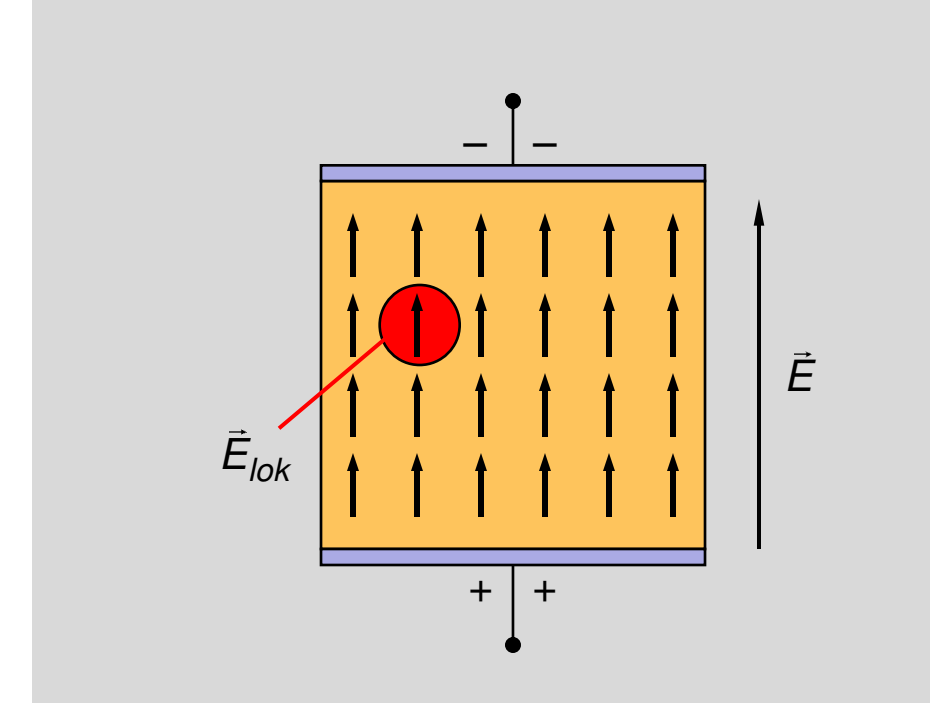


#### Lokale Feldstärke

Nach Lorentz ist die lokale Feldstärke das elektrische Feld, welches innerhalb der Materie wirkt und diese auf atomarer Ebene polarisiert.



Hendrik Antoon Lorentz
\* 1853 † 1928



 $E_{lok}$ : lokale elektrische Feldstärke

E: makroskopische/ äußere Feldstärke

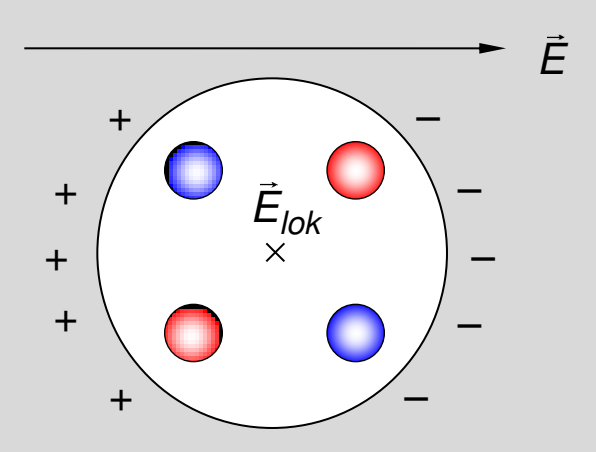
# 3.2 Polarisationsmechanismen Konzept der lokalen Feldstärke (2)



Betrachtet wird ein Raum, der durch Herausschneiden einer Kugel um einen beliebigen Punkt im Festkörper entsteht. In diesem Punkt setzt sich die lokale Feldstärke aus drei Teilfeldern zusammen:

- makroskopisches, äußeres Feld E
- elektrisches Fernfeld  $E_{\text{fern}}$  der induzierten Dipole im Dielektrikum (dargestellt als Polarisation auf der Kugeloberfläche)
- elektrisches Nahfeld  $E_{\rm nah}$  der Atome/ Ionen, die sich im Kugelhohlraum befinden

$$\vec{E}_{lok} = \vec{E} + \vec{E}_{fern} + \vec{E}_{nah}$$



Lorentz berechnet für die lokale Feldstärke (im Fall von kubisch symmetrischen Gittern):

$$\vec{E}_{lok} = \vec{E} + \frac{\vec{P}}{3\varepsilon_0}$$

[Fasching 1994]

### 3.2 Polarisationsmechanismen Zusammenhang zwischen Polarisierbarkeit und Suszeptibilität



#### Clausius-Mossotti-Beziehung

Für die Polarisation des Festkörpers gilt:

$$P = n\alpha \cdot E_{lok} = n\alpha \cdot \left(E + \frac{P}{3\varepsilon_0}\right)$$

lokales Feld nach Lorentz einsetzen

nach 
$$P$$
 auflösen ergibt  $P = n\alpha \cdot \left(1 - \frac{n\alpha}{3\varepsilon_0}\right)^{-1} \cdot E$ 

Koeffizientenvergleich mit  $P = \varepsilon_0 \cdot (\varepsilon_r - 1) \cdot E$  ergibt die Clausius-Mossotti-Beziehung

$$\frac{n\alpha}{3\varepsilon_0} = \frac{\varepsilon_r - 1}{\varepsilon_r + 2}$$
 bzw.  $\frac{n\alpha}{3\varepsilon_0} = \frac{\chi_e}{\chi_e + 3}$ 

Für kleine Suszeptibilitäten ( $\chi_e \ll 3$ ) gilt:

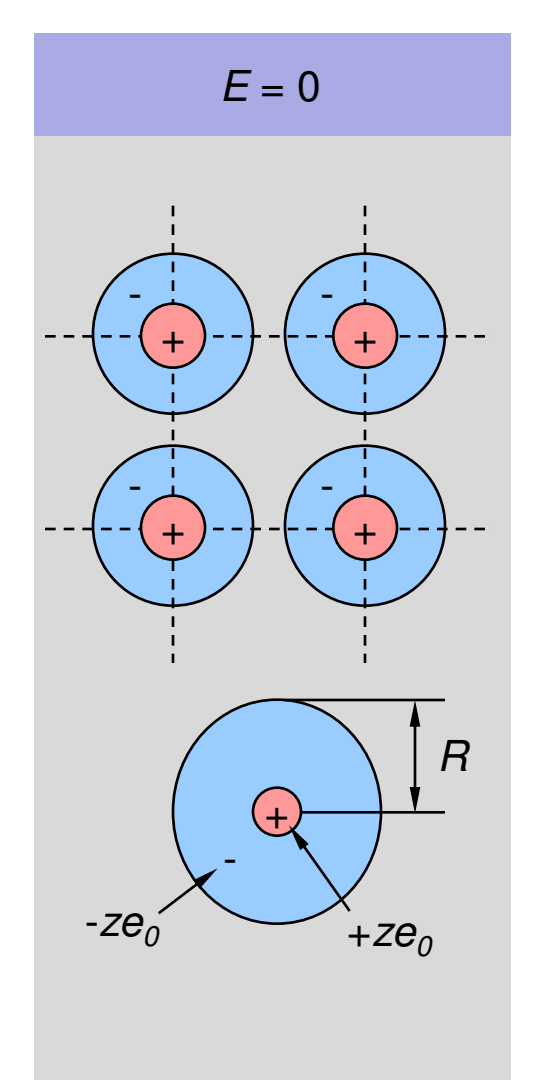
$$\chi_e = \varepsilon_r - 1 = \frac{n}{\varepsilon_0} \cdot \alpha$$

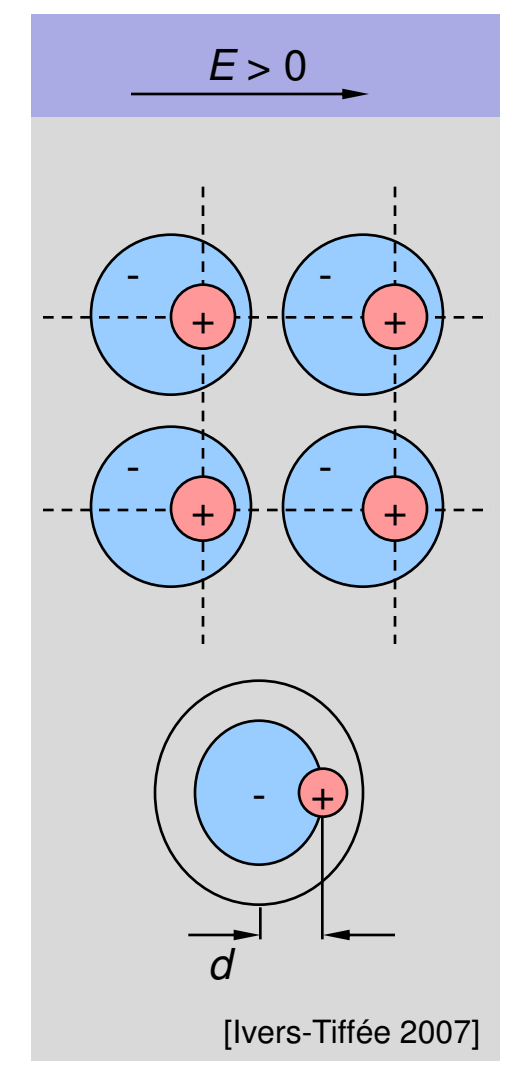


Ottaviano Mossotti \* 1791 † 1863

### 3.2 Polarisationsmechanismen Elektronenpolarisation







Das elektrische Feld E verursacht entgegengesetzt gerichtete Kräfte auf Atomkern ( $+ze_0$ ) und -Hülle ( $-ze_0$ )

⇒ Ladungsverschiebung um *d* 

#### **Induziertes Dipolmoment**

$$p = z \cdot e_0 \cdot d = 4\pi \varepsilon_0 \cdot R^3 \cdot E = \alpha_{el} \cdot E$$

Polarisierbarkeit  $\alpha_{el}$  des Einzelatoms

#### Elektronische Suszeptibilität

$$\chi_{el} \approx \frac{n \cdot \alpha_{el}}{\varepsilon_0} = 4\pi \cdot n \cdot R^3$$
 bzw.

$$\chi_{el} = \sum_{i} 4\pi \cdot n_{i} \cdot R_{i}^{3}$$

n<sub>i</sub>: Dichte der Atom-/ Molekülsorte i

### 3.2 Polarisationsmechanismen Elektronenpolarisation bei Gasen



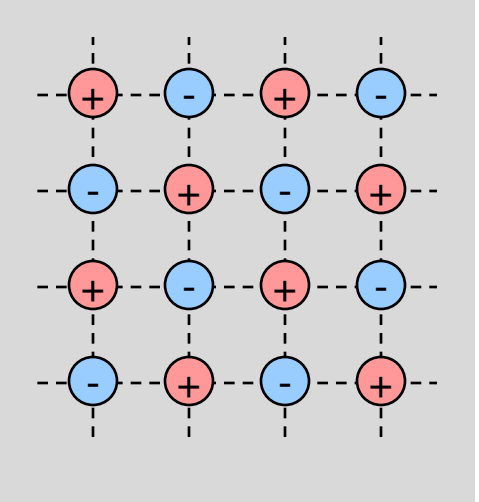
Edelgase (1 bar, 20 °C)	$\chi_e \cdot 10^{-5}$	Molekülgase (1 bar, 20 °C)	$\chi_{e}\cdot 10^{-5}$
Helium (He) Neon (Ne) Argon (Ar) Krypton (Kr) Xenon (Xe)	6,88 13 55 77 124 [Ivers-Tiffée 2007]	Wasserstoff (H <sub>2</sub> ) Sauerstoff (O <sub>2</sub> ) Stickstoff (N <sub>2</sub> ) Kohlendioxid (CO <sub>2</sub> ) Schwefelhexafluorid (SF <sub>6</sub> )	26 52 58 98 205

Die Polarisierbarkeit eines Einzelatoms ist nur von dessen Radius abhängig.

### 3.2 Polarisationsmechanismen lonenpolarisation

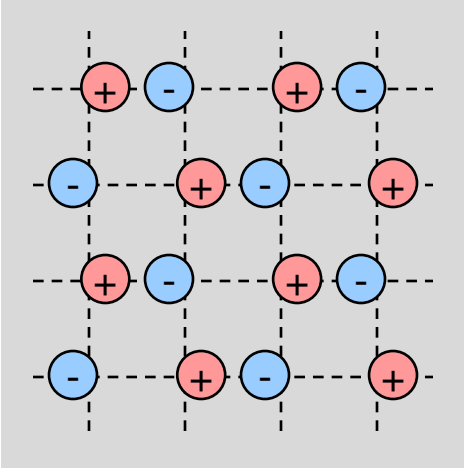


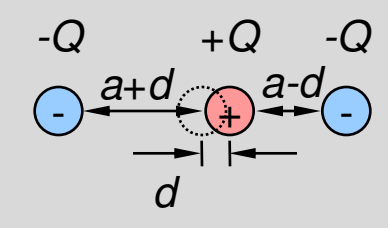
$$E = 0$$



[Ivers-Tiffée 2007]







In einem Ionenkristall lenkt das elektrische Feld *E* Kationen (+*Q*) und Anionen (-*Q*) in entgegengesetzte Richtung aus. Im Gleichgewicht ist elektrische Kraft gleich Rückstellkraft (Ladungsverschiebung um *d*).

$$Q \cdot E = k \cdot d$$

Konstante *k* abhängig von Kristallstruktur, Gitterabstand, Bindungsenergie, etc.

#### **Induziertes Dipolmoment**

$$p = \frac{Q}{2} \cdot (a + d - (a - d)) = \frac{Q^2}{k} \cdot E = \alpha_{ion} \cdot E$$

#### Ionische Suszeptibilität

$$\chi_{ion} \approx \frac{nQ^2}{\varepsilon_0 k} \text{ bzw. } \chi_{ion} \approx \sum_i \frac{n_i Q_i^2}{\varepsilon_0 k_i}$$

 $(n_i$ : Dichte der Atom-/ Molekülsorte i)

# 3.2 Polarisationsmechanismen Vergleich ionischer und elektronischer Polarisation

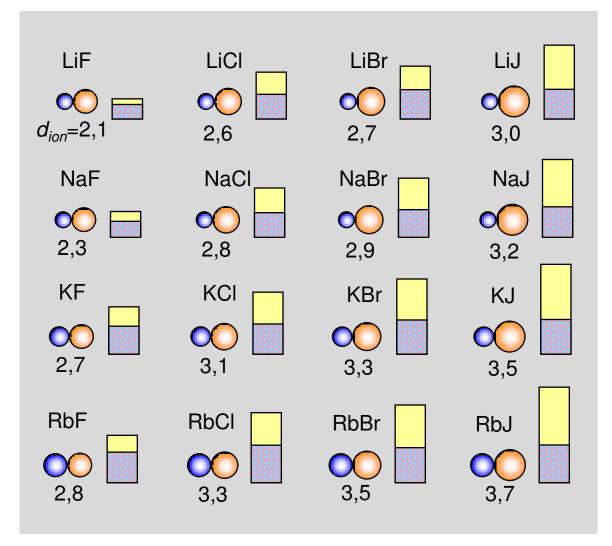


### Alkali-Halogenide (I/VII-Verbindungen)

- Kation (positiv)
- Anion (negativ)
  - $\left.\begin{array}{c} \alpha_{\it el} \\ \alpha_{\it ion} \end{array}\right\}$  Polarisierbarkeit

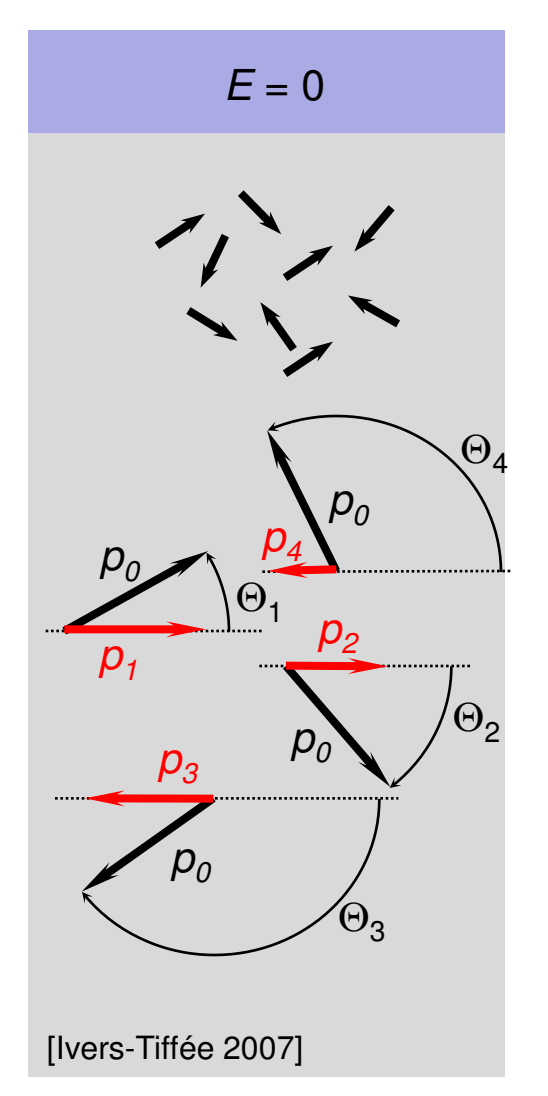
 $d_{ion}$ : Ionenabstand in 10<sup>-10</sup> m

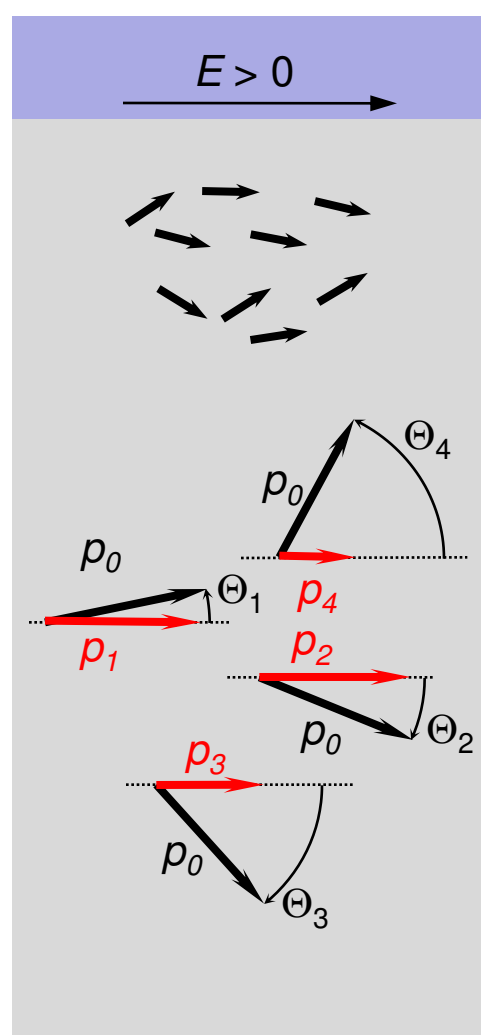
[Ivers-Tiffée 2007]



### 3.2 Polarisationsmechanismen Orientierungspolarisation







Bei polaren Dielektrika werden permanente Dipole im elektrischen Feld *E* ausgerichtet.

#### **Dipolmoment in Feldrichtung**

$$p_i = p_0 \cdot \cos \Theta_i$$
 ( $p_0$ : molekularer Dipol)

#### **Polarisation**

$$P = \frac{1}{V} \sum_{i=1}^{N} p_i$$
 (N: Anzahl der Dipole)

#### Mittlere Polarisierbarkeit

$$\alpha_{or} \approx \frac{p_0^2}{3kT}$$
 Herleitung siehe folgende Folien

#### Suszeptibilität

$$\chi_{or} \approx \frac{n \cdot p_0^2}{3kT \cdot \varepsilon_0}$$
 (n: Dichte der Dipole)

### 3.2 Polarisationsmechanismen Exkurs: Herleitung der Orientierungspolarisation (1)

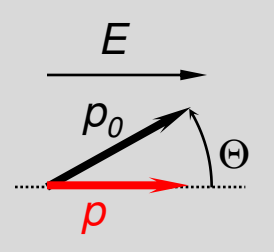


#### **Polarisation**

$$P = \frac{1}{V} \sum_{i=1}^{N} p_i = \frac{N}{V} \cdot \overline{p} = n \cdot p_0 \cdot \overline{\cos \Theta}$$

 $\overline{p}$ : Mittleres Dipolmoment

n: Dipoldichte, Dipole pro Volumen



#### **Potentielle Energie eines Dipols**

$$W_P = \int M \cdot d\Theta = \int p_0 \cdot E \cdot \sin(\Theta) \cdot d\Theta$$
$$= -p_0 \cdot E \cdot \cos(\Theta)$$

M: Drehmoment

Die thermische Bewegung der Dipole wirkt der Ausrichtung durch das elektrische Feld *E* entgegen ⇒ mit steigender Temperatur werden die Dipole weniger stark ausgerichtet.

#### Boltzmannverteilung

$$f(\Theta) = \exp\left(-\frac{W_P}{kT}\right) = \exp\left(\frac{p_0 E}{kT}\cos(\Theta)\right)$$

Für E = 0 sind die molekularen Dipole in allen Raumrichtungen  $\Theta$  gleichverteilt.

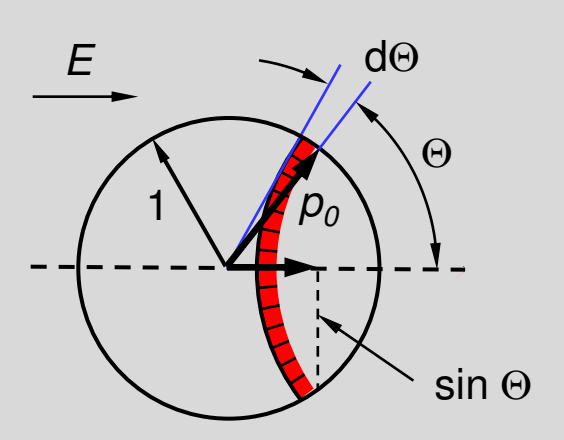
$$f(\Theta) = 1$$

Die Polarisation errechnet sich aus der Mittelwertbildung über alle Raumwinkel anhand der Verteilung  $f(\Theta)$ .

Prof. Dr.-Ing. Ellen Ivers-Tiffée – Passive Bauelemente

### 3.2 Polarisationsmechanismen Exkurs: Herleitung der Orientierungspolarisation (2)





#### **Polarisation**

$$P = \int_{0}^{\pi} p_0 \cdot \cos(\Theta) \cdot n(\Theta) \cdot d\Theta$$

Dipolmoment in Anzahldichte Feldrichtung der Dipole

$$n(\Theta) \cdot d\Theta \sim f(\Theta) \cdot 2\pi \cdot \sin(\Theta) \cdot d\Theta$$

$$\rightarrow P = c \cdot 2\pi p_0 \cdot \int_0^{\pi} \sin(\Theta) \cdot \cos(\Theta) \cdot f(\Theta) \cdot d\Theta$$

**Randbedingung** 
$$n = \int_{0}^{\pi} n(\Theta)d\Theta$$

$$\rightarrow c = \frac{n}{\int_{0}^{\pi} 2\pi \cdot \sin(\Theta) \cdot f(\Theta) \cdot d\Theta}$$

#### **Substitutionen**

$$x = \cos(\Theta) \to dx = -\sin(\Theta)d\Theta$$
$$\beta = \frac{p_0 E}{kT}$$

### 3.2 Polarisationsmechanismen Exkurs: Herleitung der Orientierungspolarisation (3)



$$P = np_0 \cdot \frac{\int_{1}^{-1} x \cdot \exp(\beta x) \cdot dx}{\int_{1}^{-1} \exp(\beta x) \cdot dx}$$
$$= n \cdot p_0 \cdot \left[ \coth(\beta) - \frac{1}{\beta} \right] \equiv n \cdot p_0 \cdot L(\beta)$$

#### Langevin-Funktion $L(\beta)$

für  $\beta \ll 1$  gilt näherungsweise  $L(\beta) \approx \frac{\beta}{3}$ 

In technisch relevanten Fällen ist die Näherung erfüllt, da  $p_0E \ll kT$  gilt.

Polarisation, Polarisierbarkeit und elektrische Suszeptibilität bei Orientierungspolarisation:

$$P \approx n \cdot \frac{p_0^2}{3kT} \cdot E$$

$$\alpha_{or} \approx \frac{p_0^2}{3kT}$$

$$\chi_{or} \approx \frac{n \cdot p_0^2}{3kT \cdot \varepsilon_0}$$

### 3.2 Polarisationsmechanismen Atomare Dipolmomente einiger Moleküle mit Orientierungspolarisation



Molekül	Dipolmoment p <sub>0</sub> / 10 <sup>-28</sup> As⋅cm		
Kohlenmonoxid (CO)	0,3		
Schwefelwasserstoff (H <sub>2</sub> S)	3,2		
Chlorwasserstoff (HCI)	3,8		
Ammoniak (NH <sub>3</sub> )	4,9		
Schwefeldioxid (SO <sub>2</sub> )	5,4		
Ethanol (C <sub>2</sub> H <sub>5</sub> OH)	5,6		
Wasser H <sub>2</sub> O	6,2		
Einheit des Dipolmoment: 3,33·10 <sup>-28</sup> As·cm = 1 Debye			







# Vorlesung 10



# 3.2 Polarisationsmechanismen Grundtypen der dielektrischen Polarisation



#### Grundtypen

#### Elektronenpolarisation

Auslenkung von Atomkern und -hülle (induzierte Dipole)

#### Ionenpolarisation

Auslenkung von Kationen und Anionen (induzierte Dipole)

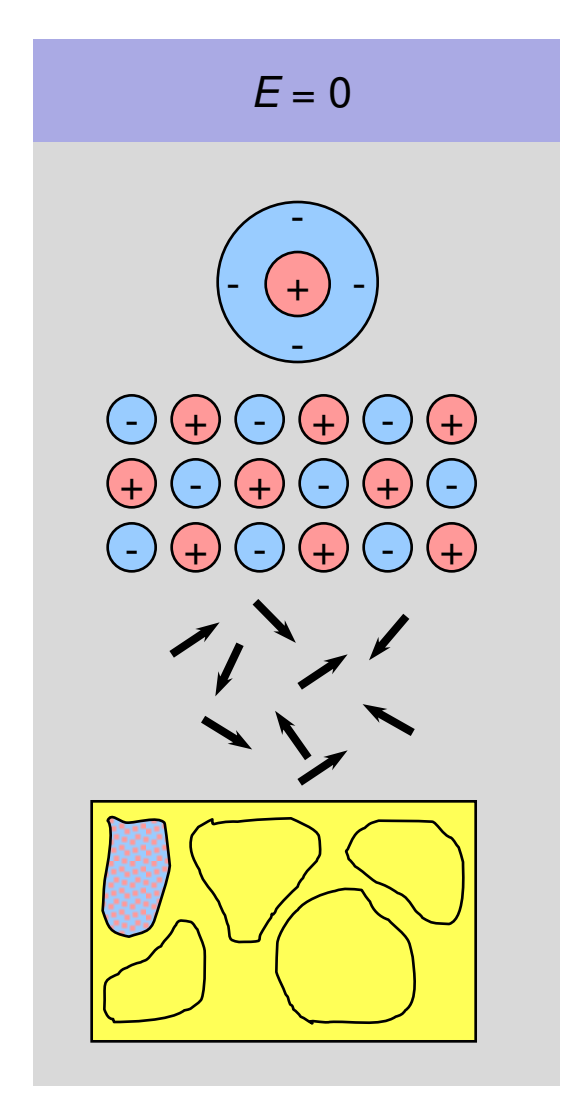
#### Orientierungspolarisation

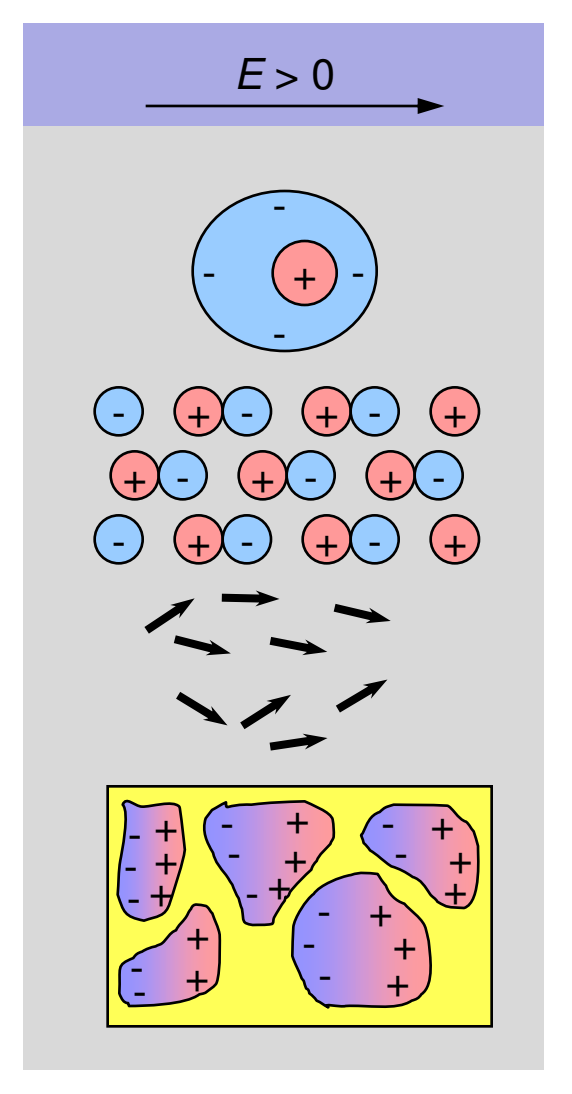
Ausrichtung permanent vorhandener Dipole

#### Raumladungspolarisation

Ansammlung freier Ladungsträgern an isolierenden Korngrenzen

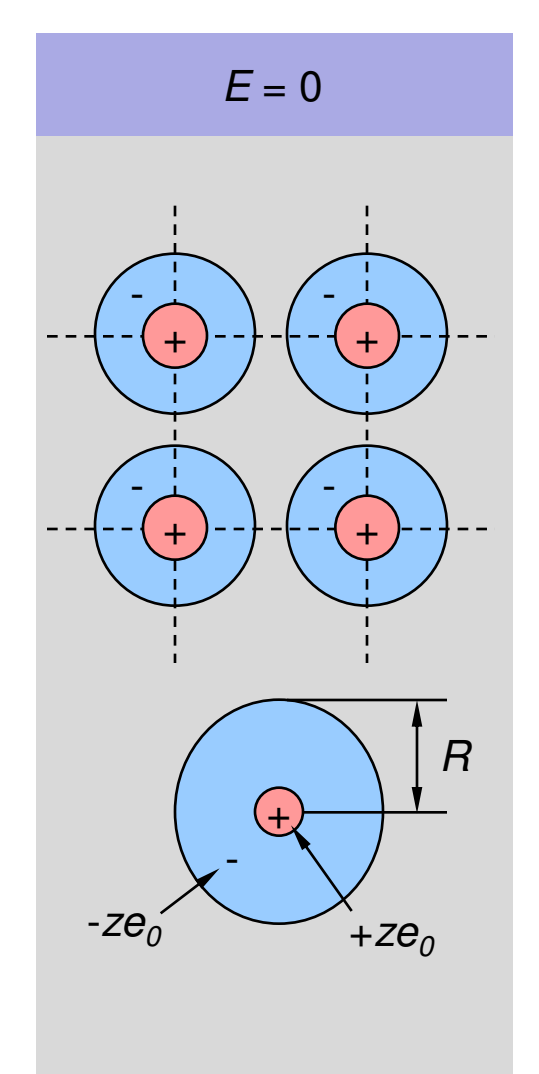
[Schaumburg 1994]

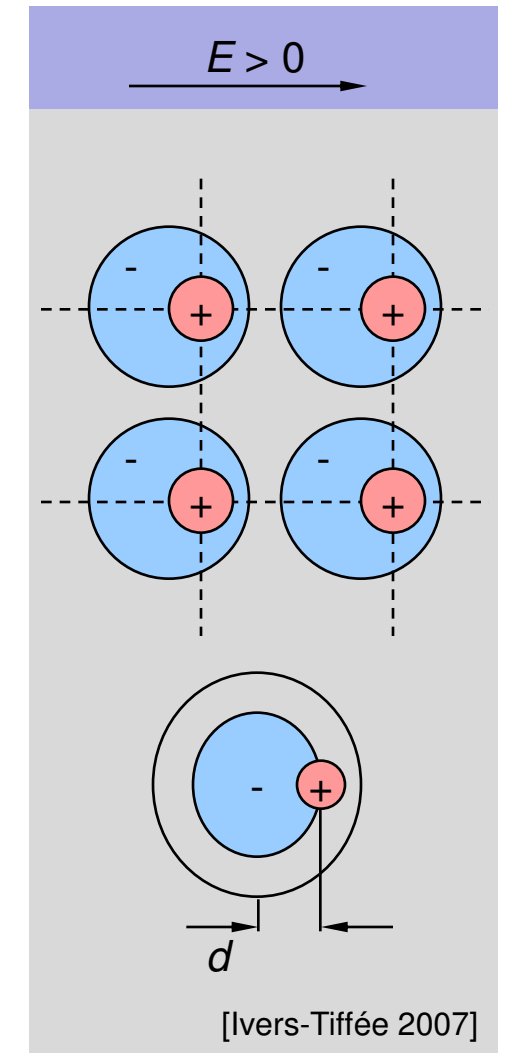




### 3.2 Polarisationsmechanismen Elektronenpolarisation







Das elektrische Feld E verursacht entgegengesetzt gerichtete Kräfte auf Atomkern ( $+ze_0$ ) und -Hülle ( $-ze_0$ )

⇒ Ladungsverschiebung um *d* 

#### **Induziertes Dipolmoment**

$$p = z \cdot e_0 \cdot d = 4\pi\varepsilon_0 \cdot R^3 \cdot E = \alpha_{el} \cdot E$$

Polarisierbarkeit  $\alpha_{el}$  des Einzelatoms

#### Elektronische Suszeptibilität

$$\chi_{el} \approx \frac{n \cdot \alpha_{el}}{\varepsilon_0} = 4\pi \cdot n \cdot R^3$$
 bzw.

$$\chi_{el} = \sum_{i} 4\pi \cdot n_{i} \cdot R_{i}^{3}$$

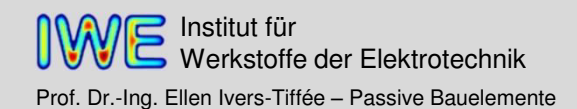
n<sub>i</sub>: Dichte der Atom-/ Molekülsorte i

### 3.2 Polarisationsmechanismen Elektronenpolarisation bei Gasen



Edelgase (1 bar, 20 °C)	$\chi_e \cdot 10^{-5}$	Molekülgase (1 bar, 20 °C)	$\chi_{e}\cdot 10^{-5}$
Helium (He) Neon (Ne) Argon (Ar) Krypton (Kr) Xenon (Xe)	6,88 13 55 77 124 [Ivers-Tiffée 2007]	Wasserstoff (H <sub>2</sub> ) Sauerstoff (O <sub>2</sub> ) Stickstoff (N <sub>2</sub> ) Kohlendioxid (CO <sub>2</sub> ) Schwefelhexafluorid (SF <sub>6</sub> )	26 52 58 98 205

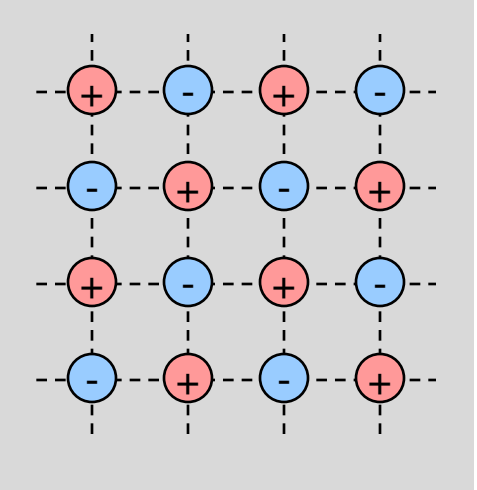
Die Polarisierbarkeit eines Einzelatoms ist nur von dessen Radius abhängig.



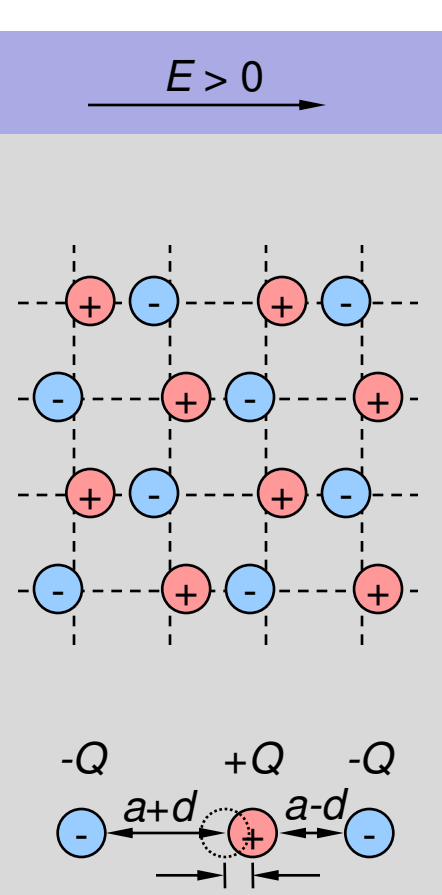
### 3.2 Polarisationsmechanismen Ionenpolarisation



$$E = 0$$



[Ivers-Tiffée 2007]



In einem Ionenkristall lenkt das elektrische Feld E Kationen (+Q) und Anionen (-Q) in entgegengesetzte Richtung aus. Im Gleichgewicht ist elektrische Kraft gleich Rückstellkraft (Ladungsverschiebung um *d*).

$$Q \cdot E = k \cdot d$$

Konstante *k* abhängig von Kristallstruktur, Gitterabstand, Bindungsenergie, etc.

#### **Induziertes Dipolmoment**

$$p = \frac{Q}{2} \cdot (a + d - (a - d)) = \frac{Q^2}{k} \cdot E = \alpha_{ion} \cdot E$$

#### Ionische Suszeptibilität

$$\chi_{ion} \approx \frac{nQ^2}{\varepsilon_0 k} \text{ bzw. } \chi_{ion} \approx \sum_i \frac{n_i Q_i^2}{\varepsilon_0 k_i}$$

(n<sub>i</sub>: Dichte der Atom-/ Molekülsorte i)

# 3.2 Polarisationsmechanismen Vergleich ionischer und elektronischer Polarisation

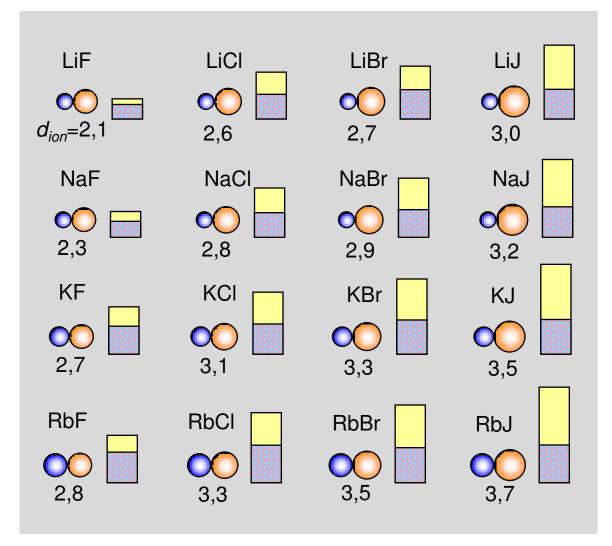


### Alkali-Halogenide (I/VII-Verbindungen)

- Kation (positiv)
- Anion (negativ)
- $\left.\begin{array}{c} \alpha_{el} \\ \alpha_{ion} \end{array}\right\}$  Polarisierbarkeit

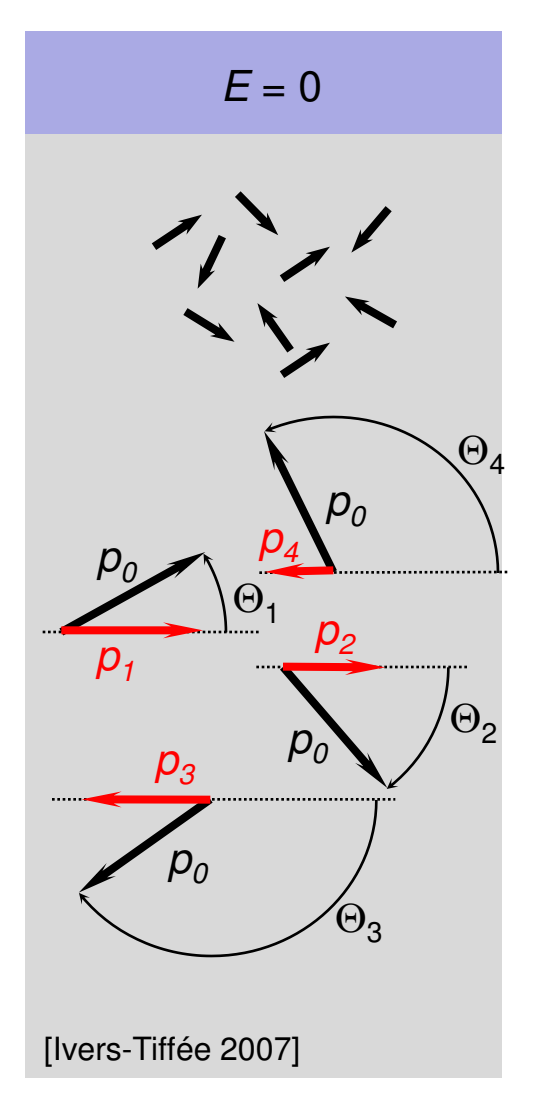
 $d_{ion}$ : Ionenabstand in 10<sup>-10</sup> m

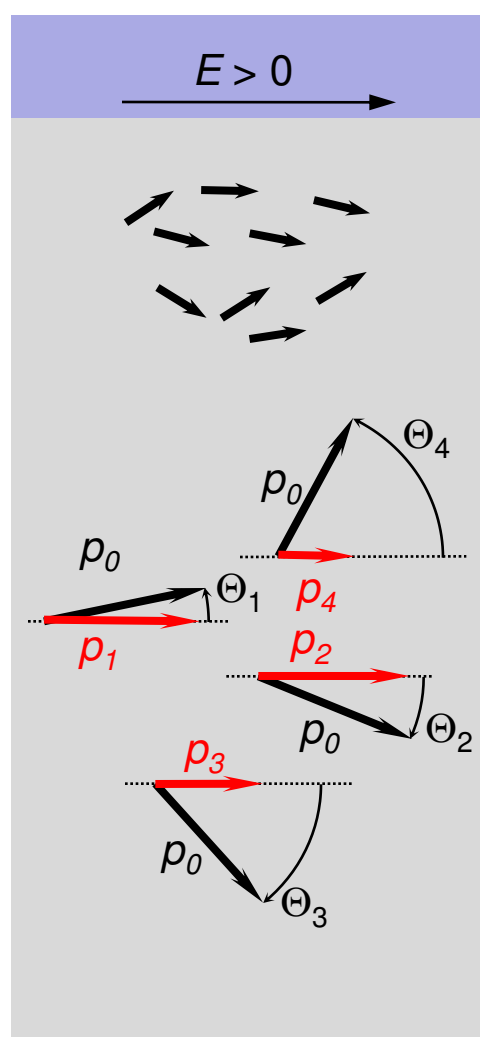
[Ivers-Tiffée 2007]



# 3.2 Polarisationsmechanismen Orientierungspolarisation







Bei polaren Dielektrika werden permanente Dipole im elektrischen Feld *E* ausgerichtet.

#### **Dipolmoment in Feldrichtung**

$$p_i = p_0 \cdot \cos \Theta_i$$
 ( $p_0$ : molekularer Dipol)

#### **Polarisation**

$$P = \frac{1}{V} \sum_{i=1}^{N} p_i$$
 (N: Anzahl der Dipole)

#### Mittlere Polarisierbarkeit

$$\alpha_{or} \approx \frac{p_0^2}{3kT}$$
 Herleitung siehe folgende Folien

#### Suszeptibilität

$$\chi_{or} \approx \frac{n \cdot p_0^2}{3kT \cdot \varepsilon_0}$$
 (n: Dichte der Dipole)

# 3.2 Polarisationsmechanismen Raumladungspolarisation



Raumladungspolarisation tritt in polykristallinen oder Verbundwerkstoffen (Komposite) auf. Voraussetzung sind leitfähige Körner und (dünne) isolierende Korngrenzen.

Bsp. BaTiO<sub>3</sub>

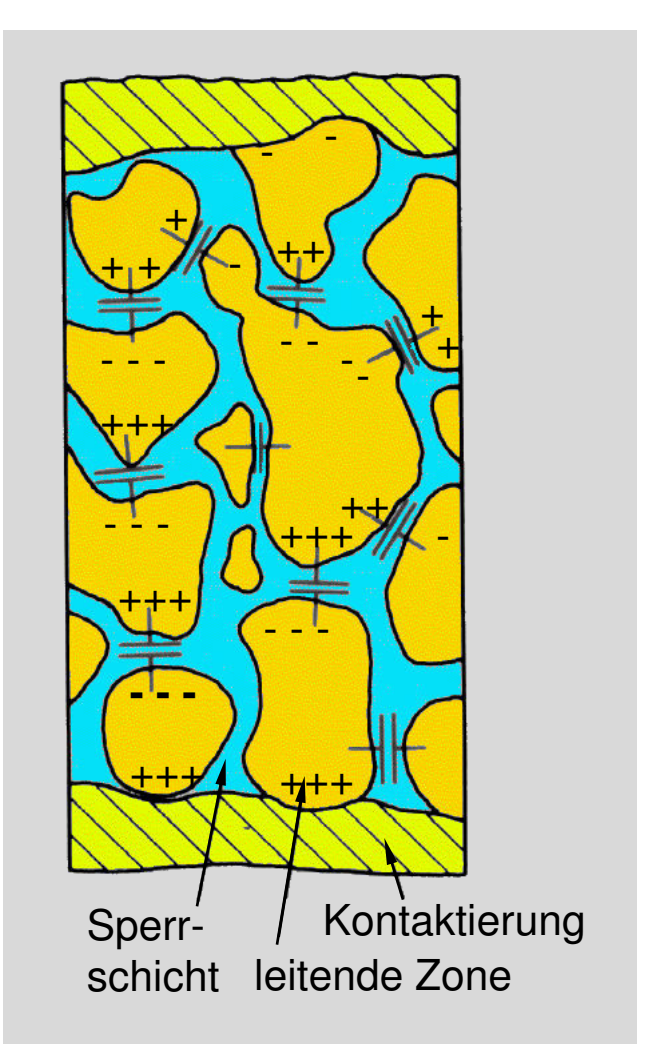
Kapazität 
$$C = \varepsilon_r \cdot \varepsilon_0 \cdot \frac{A}{d}$$

Mikrokondensatoren: Große Fläche *A*, dünnes Dielektrikum *d* (in der Größenordnung der Korngrenzdicke)



Raumladungs-Polarisation  $\varepsilon_{\it eff}$  bis zu  $10^5$  höchste Kapazitätswerte pro Volumen

[Hering 1994]





### Dielektrika: Temperaturabhängigkeit

# 3.2 Polarisationsmechanismen Temperaturabhängigkeit der Polarisation (1)



Temperaturkoeffizient  $TK_{\varepsilon}$  der Dielektrizitätszahl

$$TK_{\varepsilon} = \frac{1}{\varepsilon_{r}} \cdot \frac{d\varepsilon_{r}}{dT} = \frac{(\varepsilon_{r} - 1) \cdot (\varepsilon_{r} + 2)}{3\varepsilon_{r}} (TK_{n} + TK_{\alpha})$$

 $TK_n$ : Thermische Ausdehnung dielektrischer Werkstoffe Volumenausdehnungskoeffizient  $\gamma = 1...6 \cdot 10^{-5} \text{ K}^{-1}$ 

 $TK_{\alpha}$ : Temperaturabhängigkeit der Polarisierbarkeit  $\alpha$ :

$$TK_{\alpha_{el}} \cong 0$$

Für reine Elektronenpolarisation negative Werte für  $TK_{\varepsilon}$  (-200...-20)

$$TK_{\alpha_{ion}} \cong 10^{-4}....10^{-3} K^{-1}$$

Für starke Ionenpolarisation meist positive Werte für  $TK_{\varepsilon}$  (-100...1600)

Für (unpolare) Werkstoffe mit Elektronen- und Ionenpolarisation kann  $TK_{\varepsilon}$  >, = oder <0 sein.

# 3.2 Polarisationsmechanismen Temperaturabhängigkeit der Polarisation (2)



Temperaturkoeffizient  $TK_a$  der Polarisierbarkeit  $a_{Or}$ 

$$\alpha_{Or} = \frac{p^2}{3kT} \sim \frac{1}{T}$$

$$TK_{\alpha_{Or}} = \frac{1}{\alpha_{Or}} \cdot \frac{d\alpha_{Or}}{dT} = -\frac{1}{T}$$

Für Orientierungspolarisation meist große negative Werte für  $TK_{\varepsilon}$ .

Für polare Werkstoffe ( $\alpha_{el}$  +  $\alpha_{ion}$  +  $\alpha_{Or}$ ) meist hohe negative  $TK_{\varepsilon}$ .

[Arlt 1989]

# 3.2 Polarisationsmechanismen Polarisationsmechanismen im Überblick

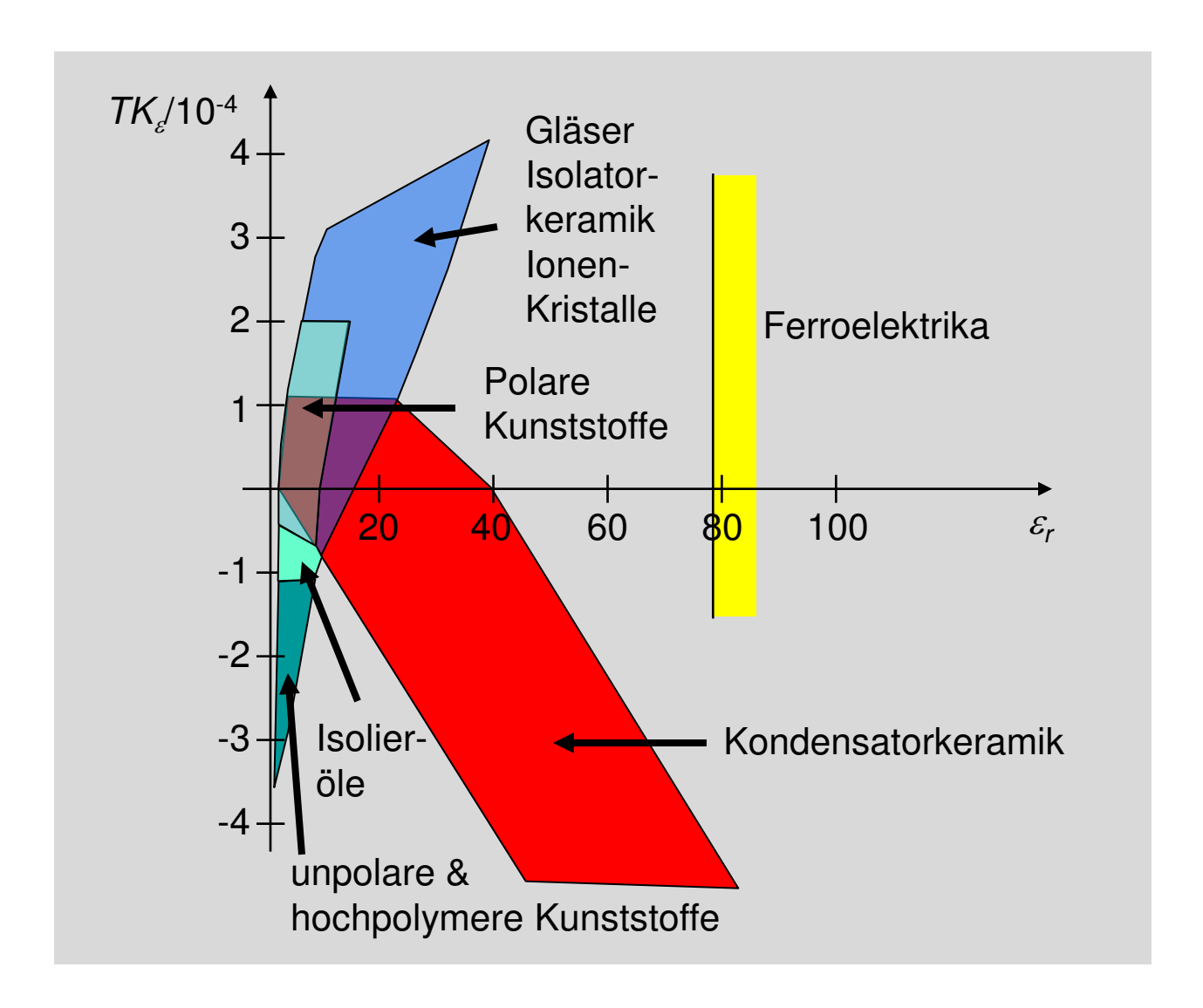


Polarisations- mechanismus	Dipoltyp	Energie im Feld	Polarisier- barkeit $\alpha$	Temperatur- abhängigkeit	Resonanz bzw. Relaxation
Elektronen- polarisation	induziert	$-\frac{1}{2}\vec{p}\vec{E}$	$4\pi \varepsilon_0 R^3$	$TK_{lpha_e}\cong 0$	Resonanz im UV
lonen- polarisation	induziert	$-\frac{1}{2}\vec{p}\vec{E}$	$\frac{Q^2}{k}$	$TK_{\alpha_{ion}} \cong 10^{-4} \cdot K^{-1}$	Resonanz im IR
Orientierungs- polarisation	permanent	− <b>p</b> Ē	$\frac{\rho^2}{3kT}$	$TK_{\alpha_{or}} = -T^{-1}$	Relaxation im MW

[Arlt 1989]

### 3.2 Polarisationsmechanismen Dielektrizitätszahlen und TKs von Dielektrika in der Elektrotechnik





[Arlt 1989]



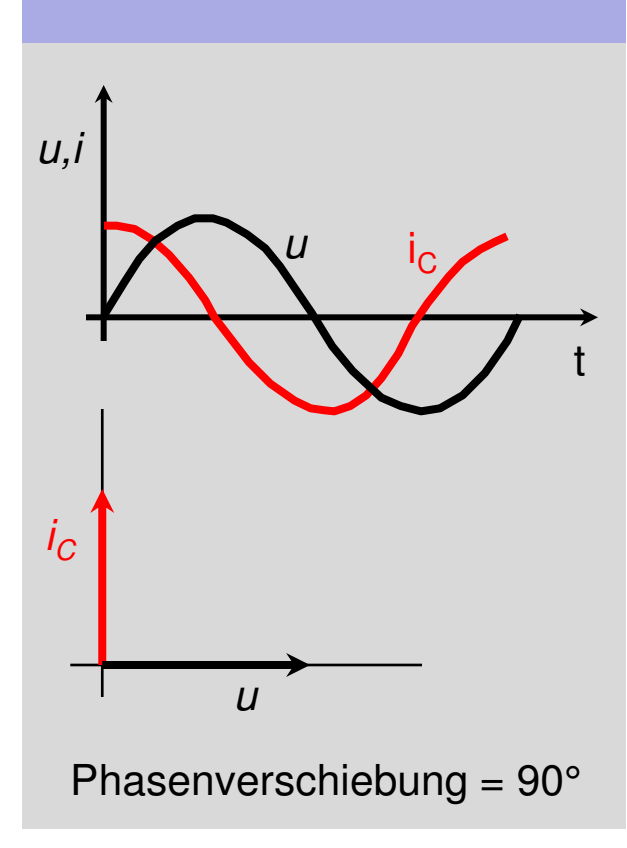
### Dielektrische Verluste



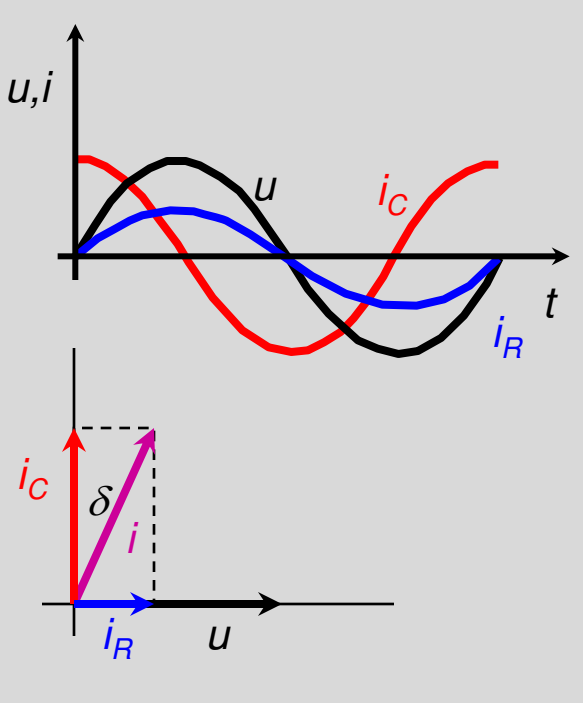
## 3.3 Verhalten von Dielektrika im Wechselfeld Dielektrische Verluste im Kondensator (1)



#### ideale Kondensatoren



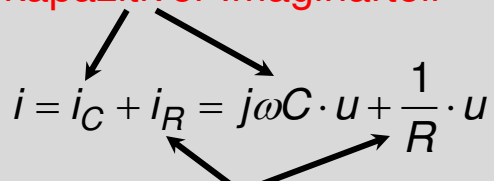
#### reale Kondensatoren



Phasenverschiebung < 90°

#### Wechselstrom im Kondensator

#### kapazitiver Imaginärteil



ohmscher Realteil

Verlustfaktor tan  $\delta$ 

$$\tan \delta = \frac{|i_R|}{|i_C|} = \frac{1}{\omega RC}$$

Güte Q

$$Q = \frac{1}{\tan \delta} = \omega RC$$

[Schaumburg 1994]

### 3.3 Verhalten von Dielektrika im Wechselfeld **Dielektrische Verluste im Kondensator (2)**



Relaxationsverluste durch örtlich gebundene Ladungsträger (Dipole)

komplexe Dielektrizitätszahl

$$\underline{\varepsilon}_r(\omega) = \varepsilon_r'(\omega) - j\varepsilon_r''(\omega)$$

Ohmsche Verluste durch bewegliche Ladungsträger (Elektronen, Ionen) elektrische Leitfähigkeit

 $\sigma$ 

$$i(t) = \frac{dD(t)}{dt} + \sigma \cdot E(t)$$

$$D = \underline{\varepsilon}_{r}(\omega) \cdot \varepsilon_{0} \cdot E \quad \text{mit} \quad E = E_{0} \cdot e^{j\omega t}$$

$$i = j\omega \cdot \varepsilon_{0} \cdot \underline{\varepsilon}_{r}(\omega) \cdot E_{0} \cdot e^{j\omega t} + \sigma \cdot E_{0} \cdot e^{j\omega t}$$

$$i = \omega \cdot \varepsilon_{0} \cdot \left(\varepsilon_{r}''(\omega) + \frac{\sigma}{\omega \varepsilon_{0}}\right) \cdot E_{0} \cdot e^{j\omega t} + j\omega \cdot \varepsilon_{0} \cdot \varepsilon_{r}'(\omega) \cdot E_{0} \cdot e^{j\omega t}$$

 $\tan \delta = \frac{|i_R|}{|i_C|} = \frac{\varepsilon_r''}{\varepsilon_r'} + \frac{\sigma}{\omega \varepsilon_0 \varepsilon_r'}$  für technische Frequenzen < 10<sup>12</sup> Hz Verlustfaktor:

### 3.3 Verhalten von Dielektrika im Wechselfeld Frequenzabhängigkeit der Elektronen-/lonenpolarisation



Gleichung für Bewegung der Elektronenhülle im harmonischen Wechselfeld E

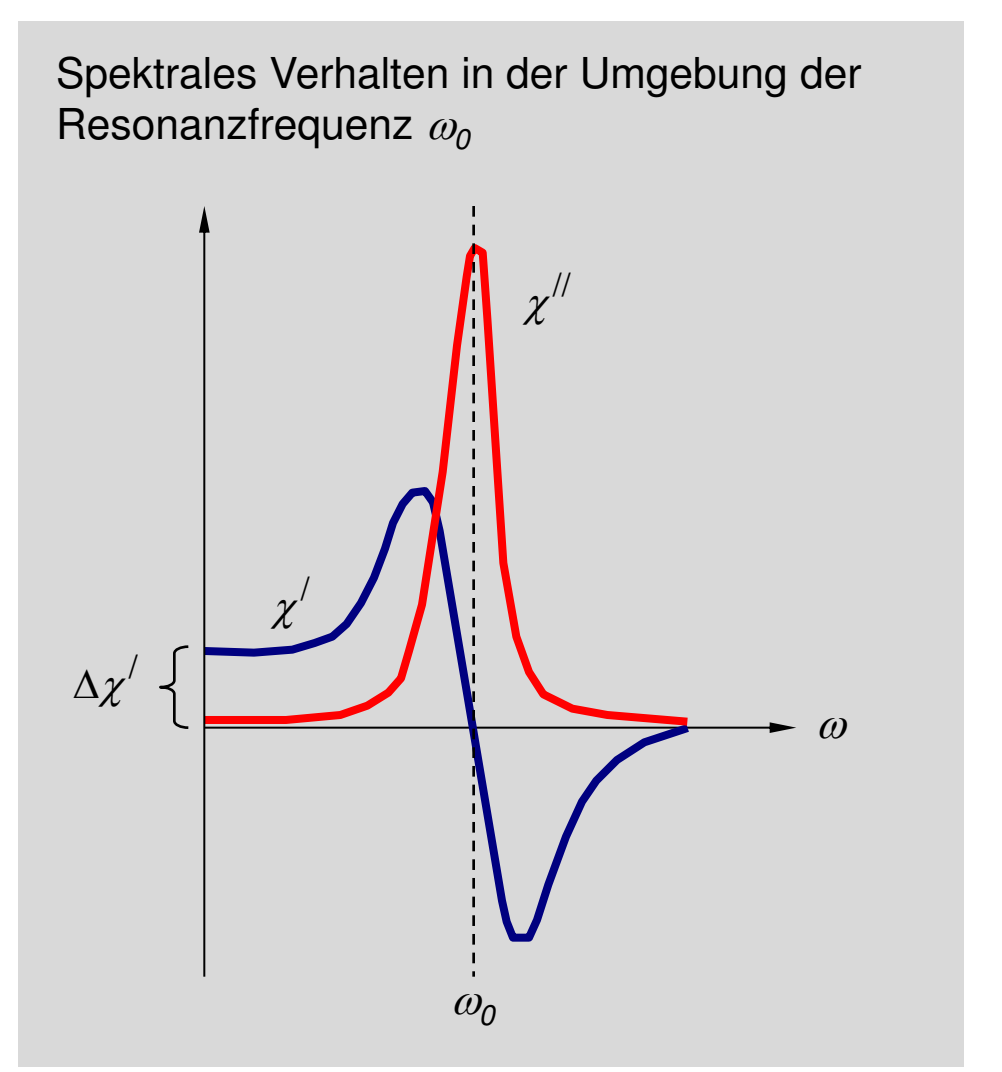
$$z \cdot m_e \cdot \ddot{x} + r \cdot \dot{x} + k \cdot x = z \cdot e_0 \cdot E(\omega t)$$

z·m<sub>e</sub>: Masse der Elektronenhülle

r: Reibungsbeiwert k: Coulomb-Kraftkonstante  $k = \frac{(ze_0)^2}{4\pi\varepsilon_0 R^3}$ 

längere Rechnung ergibt [...]

$$\chi'(\omega) = \frac{nze_0^2}{\varepsilon_0 m_e} \cdot \frac{\omega_0^2 - \omega^2}{\left(\omega_0^2 - \omega^2\right)^2 + \left(r\omega/zm_e\right)^2}$$
$$\chi''(\omega) = \frac{nze_0^2}{\varepsilon_0 m_e} \cdot \frac{\gamma\omega}{\left(\omega_0^2 - \omega^2\right)^2 + \left(r\omega/zm_e\right)^2}$$



### 3.3 Verhalten von Dielektrika im Wechselfeld Frequenzabhängigkeit der Orientierungs-/ Raumladungspolarisation



Gleichung für die Polarisation im harmonischen Wechselfeld *E* 

$$\tau_0 \cdot \dot{P} + P = \varepsilon_0 \cdot \Delta \chi' \cdot E(\omega t)$$

 $\tau_0$ : Relaxationszeit/Zeitkonstante

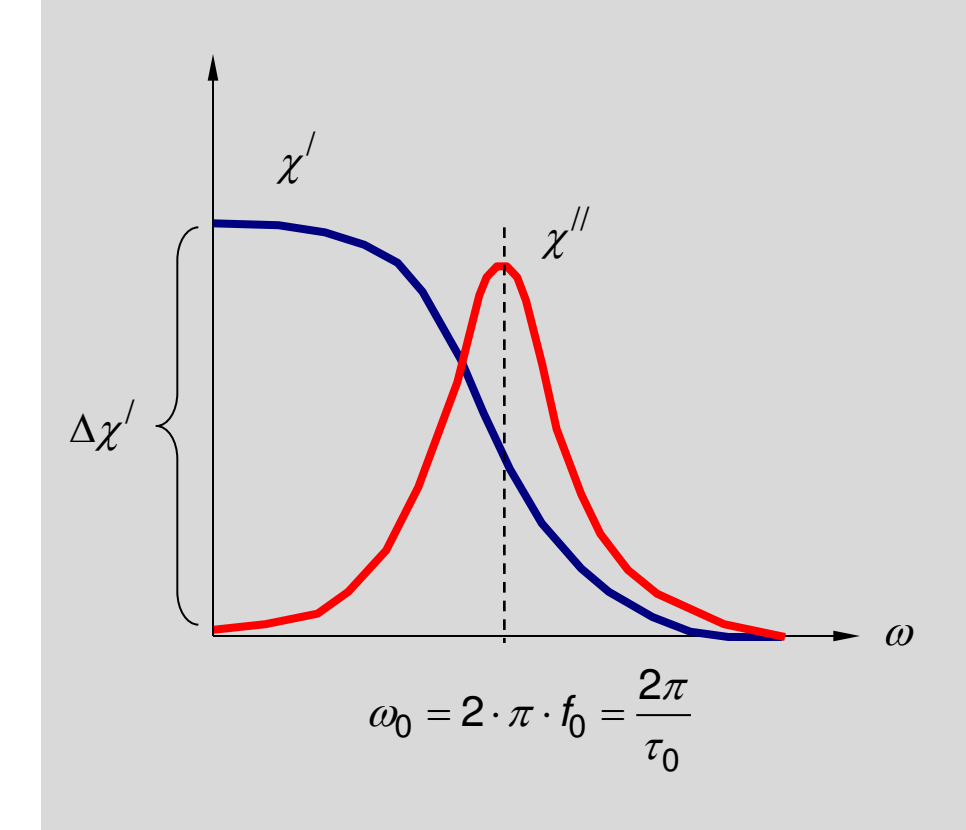
P: Polarisation

längere Rechnung ergibt [...]

$$\chi'(\omega) = \frac{\Delta \chi'}{1 + \tau_0^2 \omega^2}$$

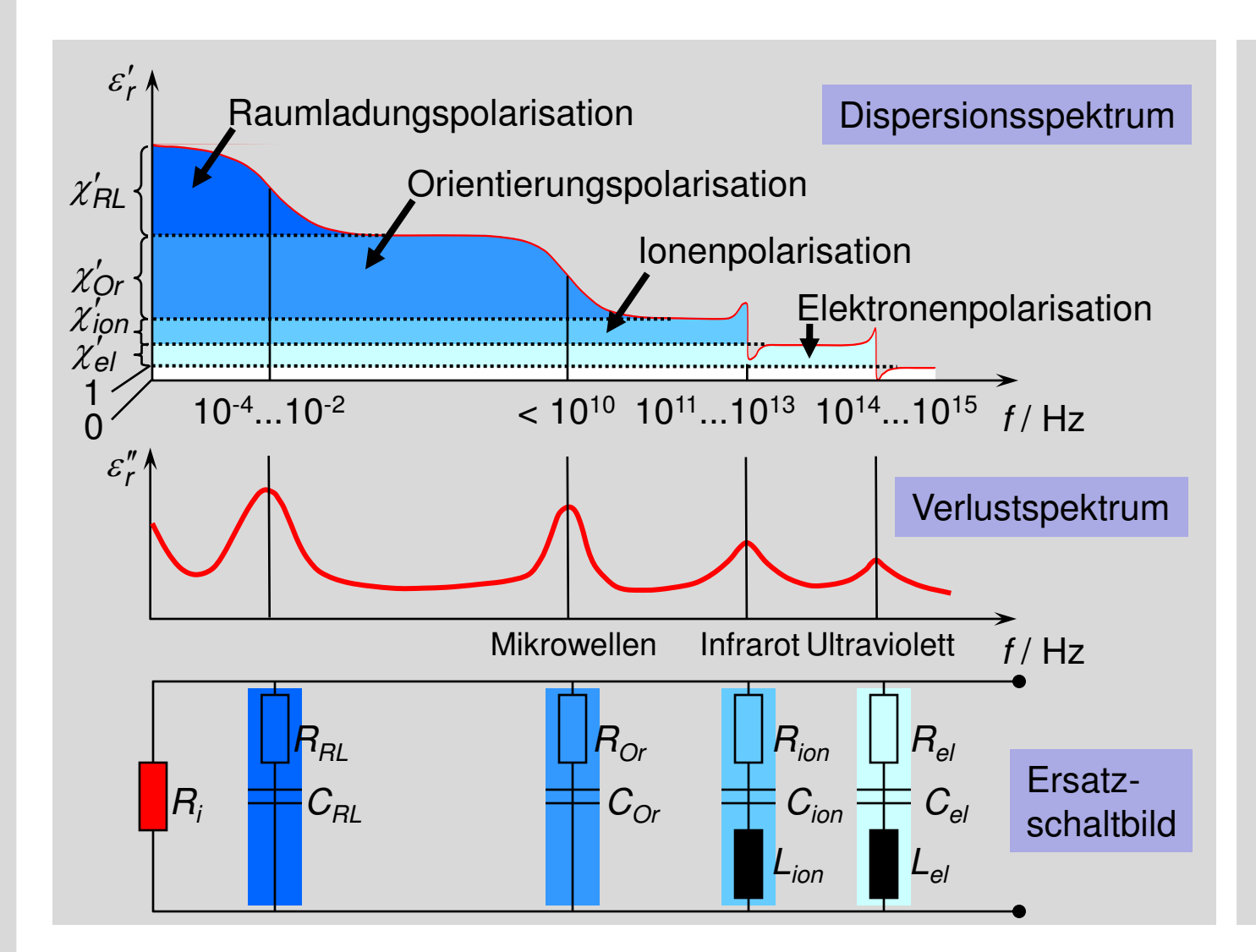
$$\chi^{\prime\prime}(\omega) = \frac{\Delta \chi^{\prime} \cdot \omega \tau_0}{1 + \tau_0^2 \omega^2}$$

Spektrales Verhalten in der Umgebung der Relaxationsfrequenz  $\omega_0$ 



## 3.3 Verhalten von Dielektrika im Wechselfeld Vollständiges Dispersions- und Verlustspektrum





#### Relaxation

Raumladungspolarisation Orientierungspolarisation

#### Resonanz

Ionenpolarisation Elektronenpolarisation

[Schaumburg 1994]

### 3.3 Verhalten von Dielektrika im Wechselfeld Dielektrizitätszahlen und dielektrische Verlustfaktoren



	Dielektrizitätszahl $arepsilon_r$	Verlustfaktor tan $\delta \cdot 10^3$	
Kunstharze Unpolare Kunststoffe Polare Kunststoffe	410 22,5 2,56	200500 < 0,5 120	Kunststoffe organische Werkstoffe
Technische Gläser Silikatkeramik NDK-Kondensatorkeramik HDK-Kondensatorkeramik	3,512 46,5 6200 20010 <sup>4</sup>	0,510 120 < 0,6 220	Keramik / Glas anorganische Werkstoffe

[Münch 1993]

NDK: Niedrige Dielektrizitätskonstante / HDK: Hohe Dielektrizitätskonstante

 $\varepsilon_r = f(T, f, E, mech. Kraft, Raumrichtung)$ 





### Piezoelektrische Werkstoffe

## 3.4 Piezoelektrische Werkstoffe Piezoelektrika, Pyroelektrika und Ferroelektrika



#### **Spezielle Dielektrika**

Kristallklassen ohne Symmetriezentrum

#### Piezoelektrika

Polarisation induziert durch mechanische Dehnung z.B. Quarz (SiO<sub>2</sub>)

#### **Pyroelektrika**

spontane Polarisation (unabhängig vom elektrischen Feld) z.B. Turmalin

#### **Ferroelektrika**

spontane Polarisation (durch äußeres Feld beeinflussbar) Auftreten von Domänen

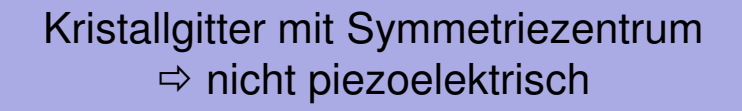
z.B. Bariumtitanat (BaTiO<sub>3</sub>)

z.B. Bleizirkonat-Titanat (Pb(Ti,Zr)O<sub>3</sub>)

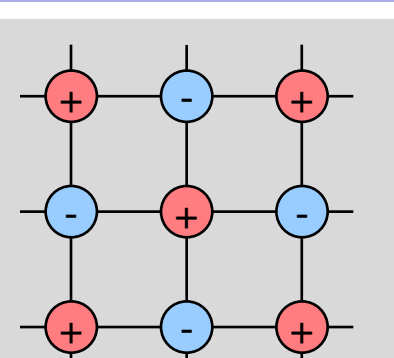


## 3.4 Piezoelektrische Werkstoffe Zur Ursache des piezoelektrischen Effekts

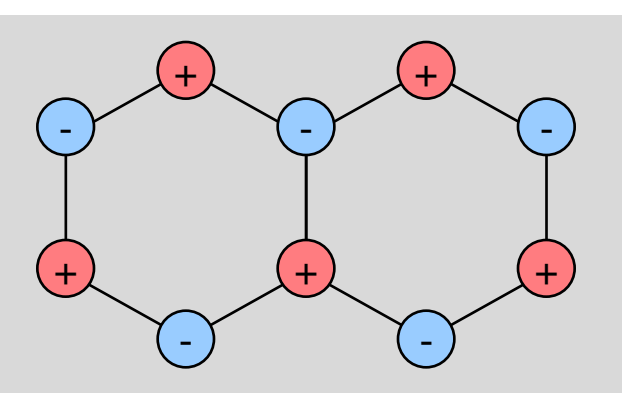




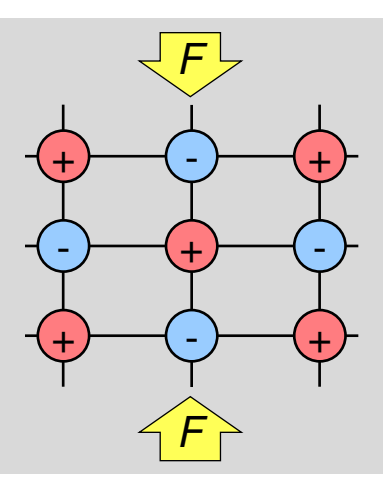
Kristallgitter ohne Symmetriezentrum



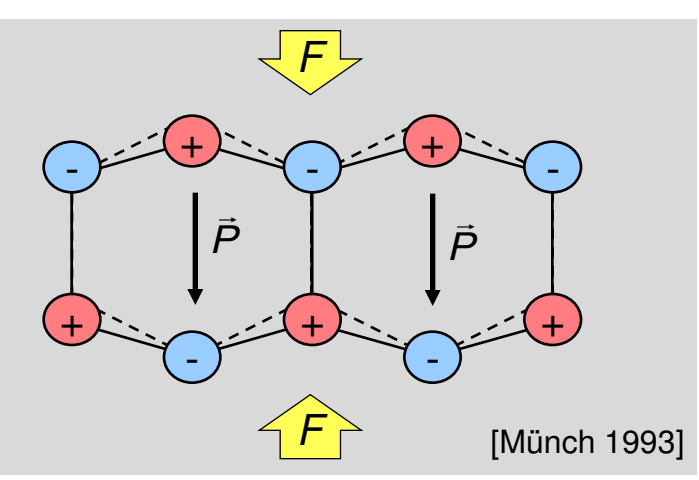
unbelastet F = 0



⇒ piezoelektrisch

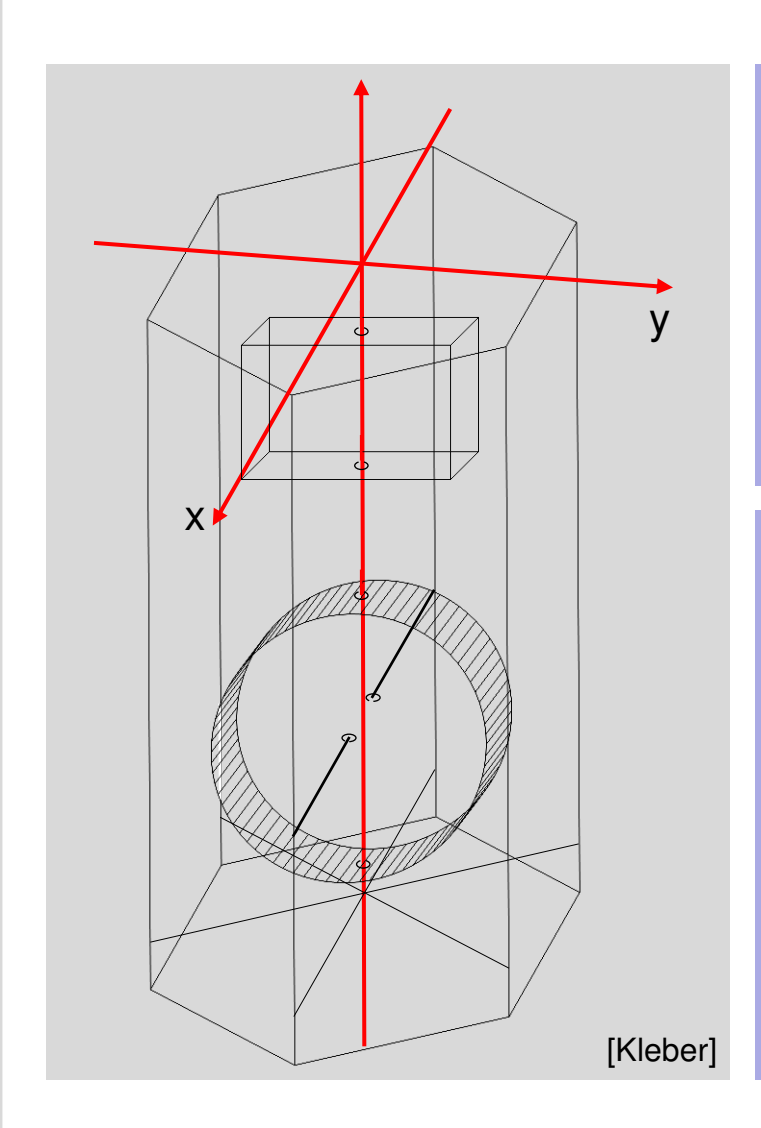


belastet  $F \neq 0$ 

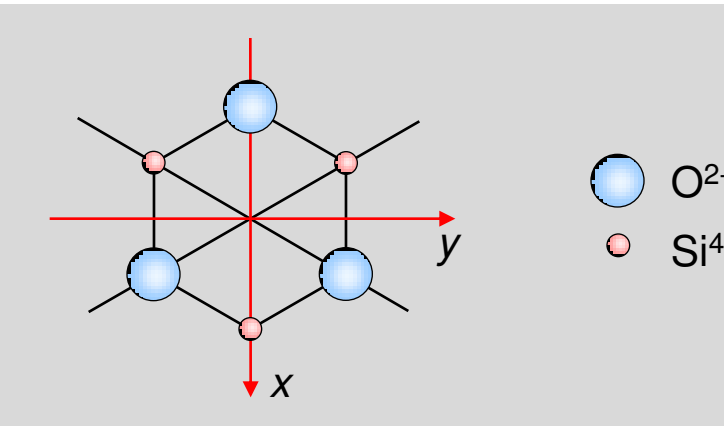


## 3.4 Piezoelektrische Werkstoffe Piezoeffekt am Beispiel des Quarzkristalls (SiO<sub>2</sub>)

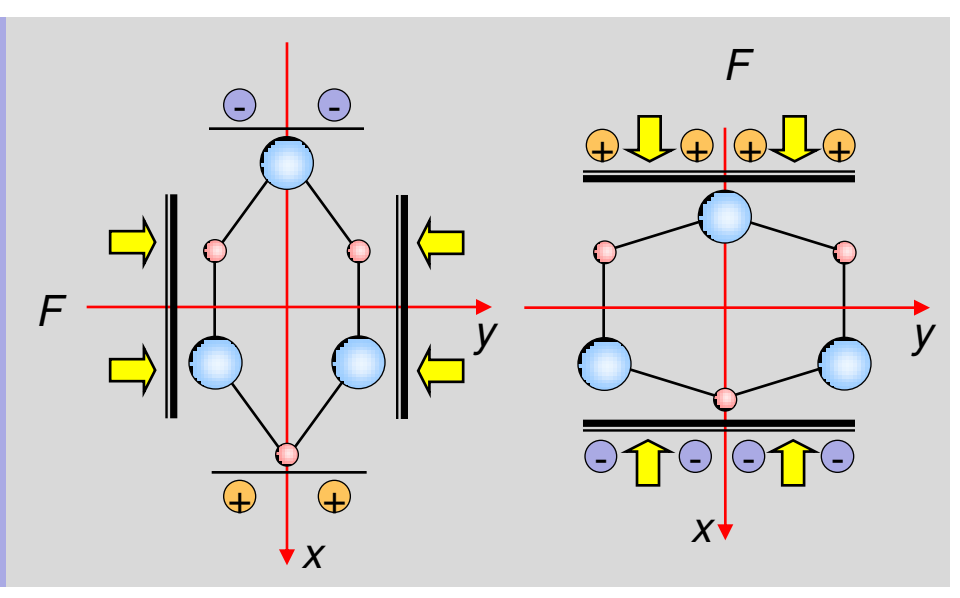




unbelastet F = 0

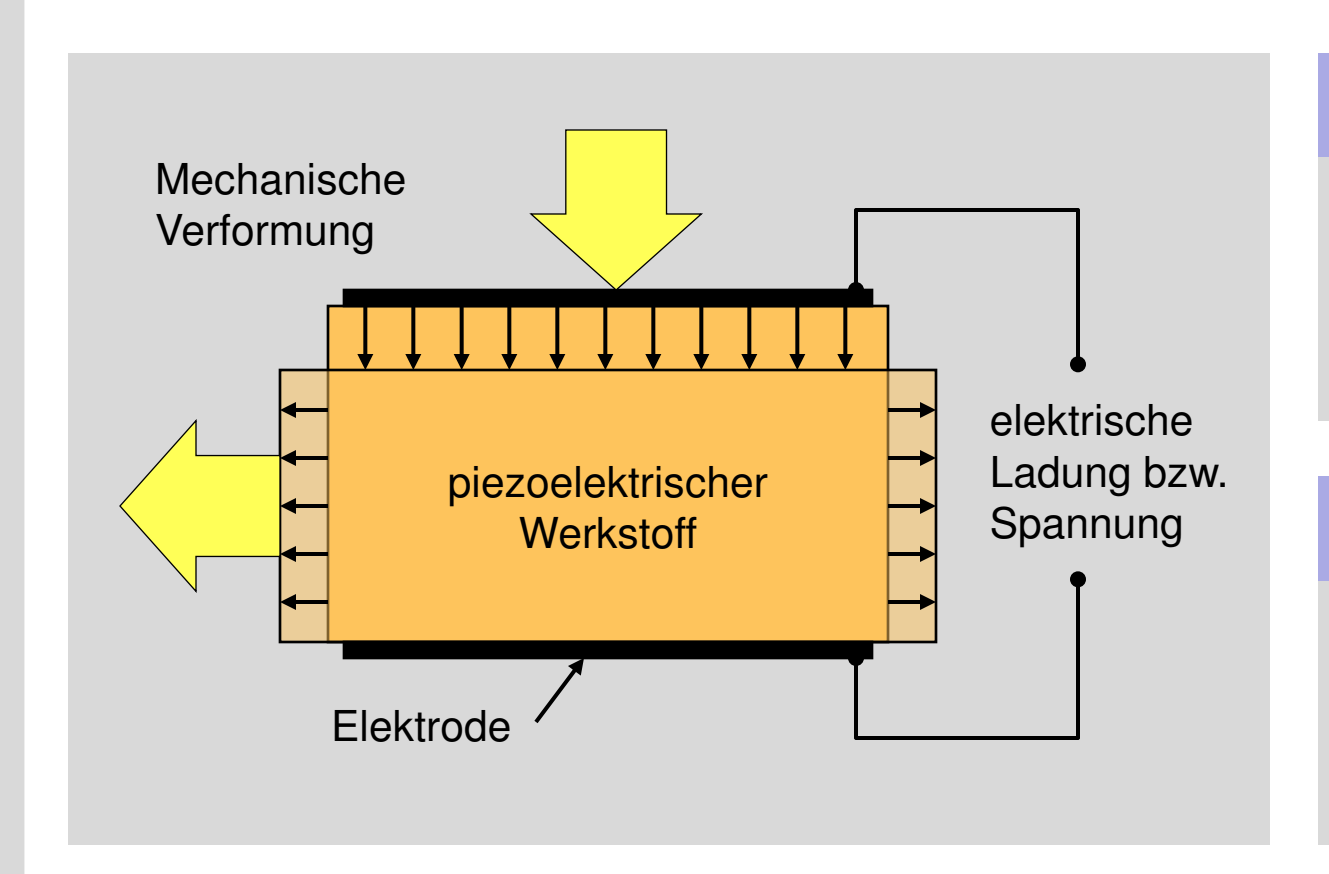


belastet  $F \neq 0$ 



### 3.4 Piezoelektrische Werkstoffe Direkter und indirekter piezoelektrischer Effekt





#### **Direkter Piezoeffekt**

Mechanische Anregung



Ladung / elektr. Spannung

#### **Indirekter Piezoeffekt**

Elektrische Anregung



Dehnung / mechan. Spannung

### 3.4 Piezoelektrische Werkstoffe Piezoelektrische Gleichungen



(1) 
$$\varepsilon_M = s^E \cdot \sigma_M + d \cdot E$$

(2) 
$$D = d \cdot \sigma_M + \varepsilon_0 \cdot \varepsilon_r^T \cdot E$$

(3) 
$$\varepsilon_M = s^D \cdot \sigma_M + g \cdot D$$

(4) 
$$E = -g \cdot \sigma_M + \frac{D}{\varepsilon_0 \cdot \varepsilon_r^T}$$

 $\varepsilon_{M}$ : mechanische Dehnung

 $\sigma_{\!\scriptscriptstyle M}$ : mechanische Spannung [N/m²]

 $s^E$ : Elastizitätsmodul bei konstantem E (E = 0 Kurzschluss)

 $s^D$ : Elastizitätsmodul bei konstantem D(D = 0, Leerlauf)

 $\varepsilon_r^T$ : Dielektrizitätszahl bei konstantem  $\sigma_M$  ( $\sigma_M = 0$ , ungeklemmt)

d: piezoelektrische Ladungskonstante [m/V]

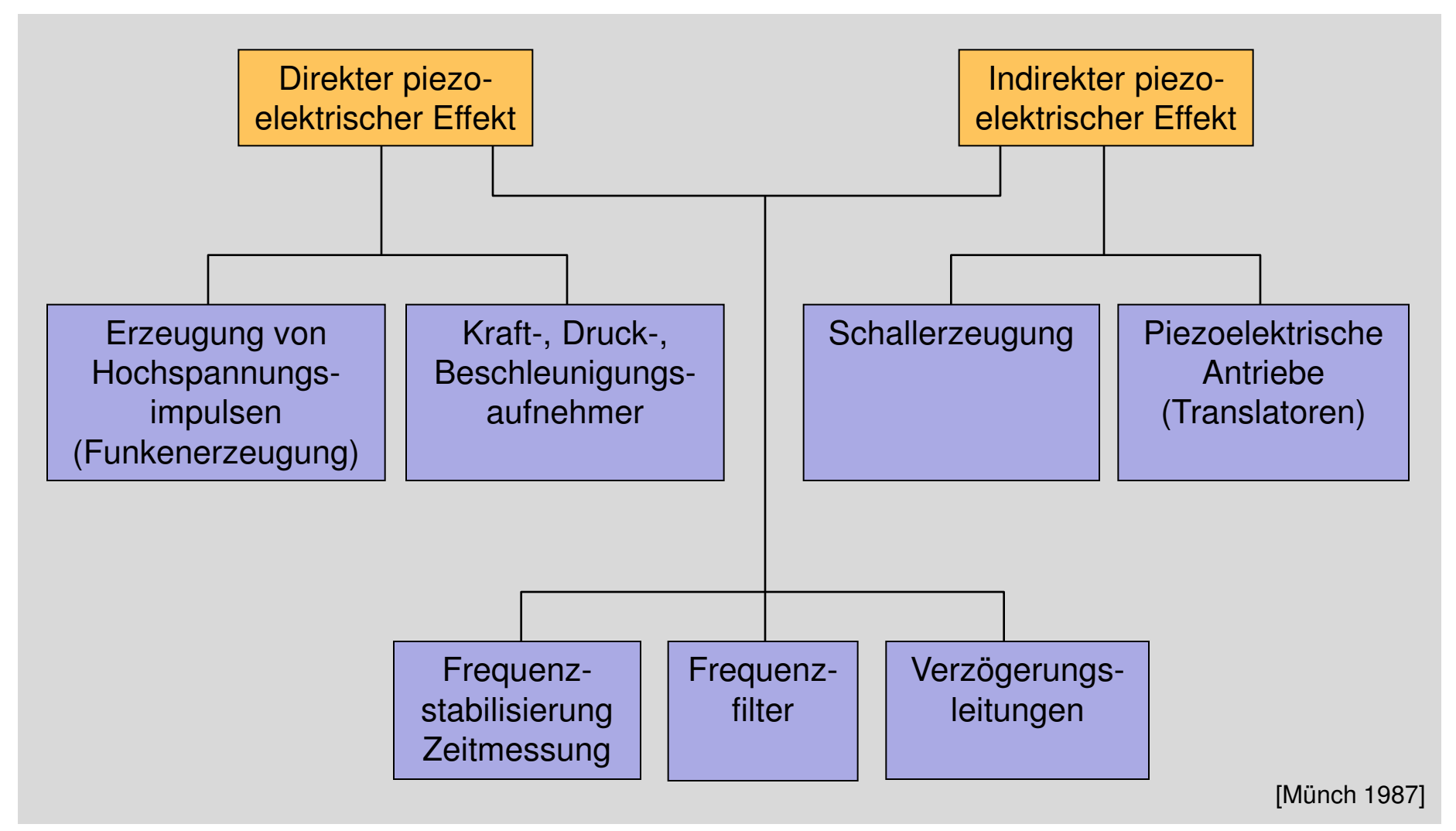
g: piezoelektrische Spannungskonstante [Vm/N]

#### Piezoelektrischer Kopplungsfaktor k (eine Art Gütemaß)

$$k^2 = \frac{\text{abgegebene mechanische Energie}}{\text{aufgenommene elektrische Energie}} = \frac{d^2}{s^E \cdot \varepsilon_r^T \cdot \varepsilon_0} = \frac{g^2 \cdot \varepsilon_r^T \cdot \varepsilon_0}{s^E}$$

### 3.4 Piezoelektrische Werkstoffe Anwendungen des piezoelektrischen Effekts



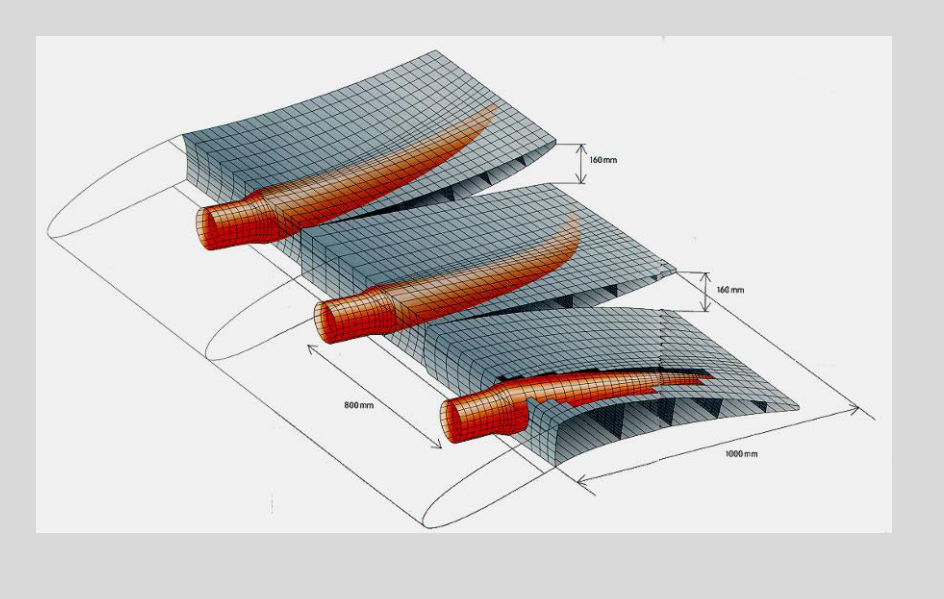


## 3.4 Piezoelektrische Werkstoffe Weiterführende Veranstaltung



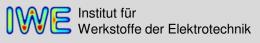
#### Sensorsysteme (Integrierte Sensor-Aktor-Systeme)

Sommersemester 2 SWS, Mittwoch 14:00 -15:30 Uhr W. Wersing (Siemens AG)





# Vorlesung 11





### Pyroelektrische Werkstoffe



### 3.6 Pyroelektrische Werkstoffe Pyroelektrischer Effekt und Pyrokoeffizient



#### Phänomen

Bei gleichmäßiger Erwärmung eines Kristalls werden an dessen polaren Stirnflächen elektrische Ladungen influenziert.

Der Effekt ist zurückzuführen auf die Änderung der remanenten Polarisation  $P_r$  mit der Temperatur *T*.

Ab  $T > T_C$  verschwindet der Effekt

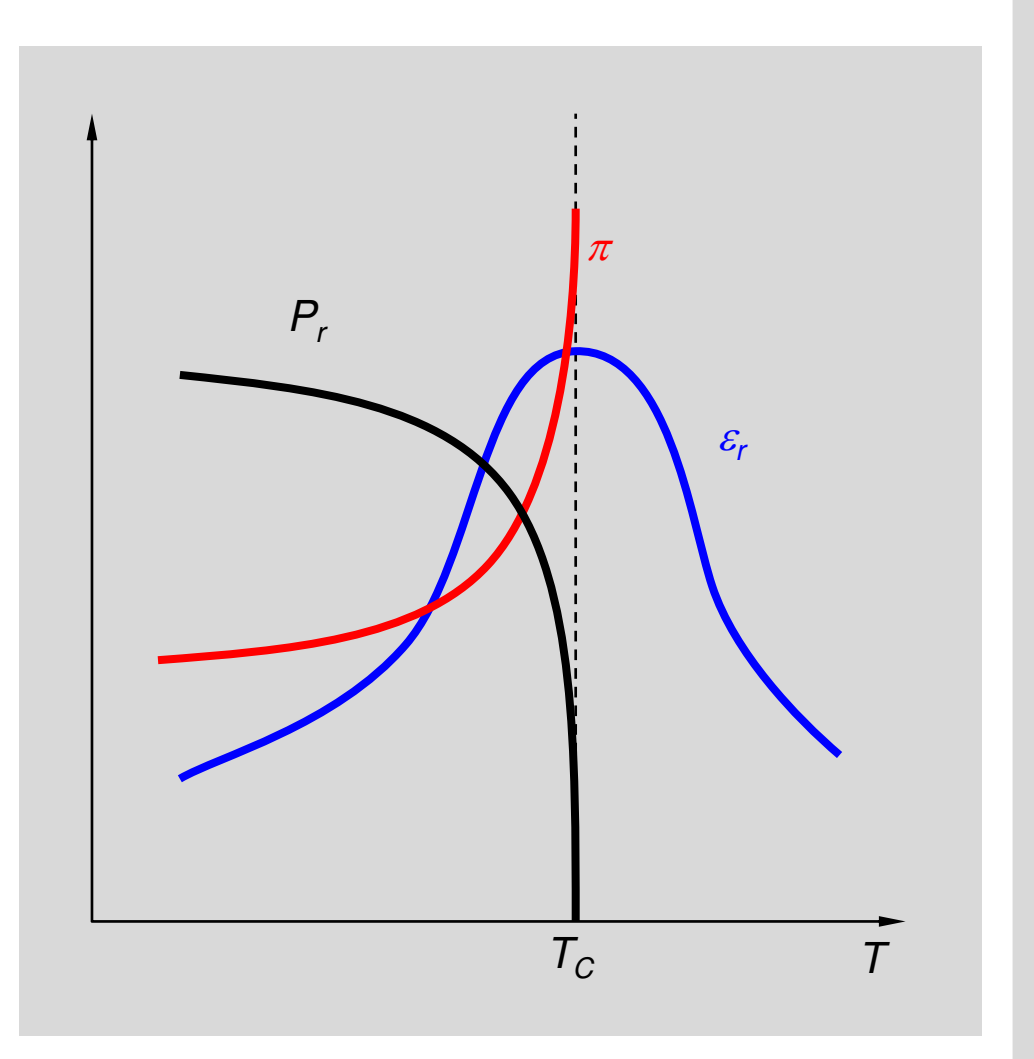
#### **Definition**

Pyrokoeffizient 
$$\pi_P = \frac{dP_r}{dT}$$
  $[\pi_P] = \text{As m}^{-2} \text{ K}^{-1}$ 

$$[\pi_P]$$
 = As m<sup>-2</sup> K<sup>-1</sup>

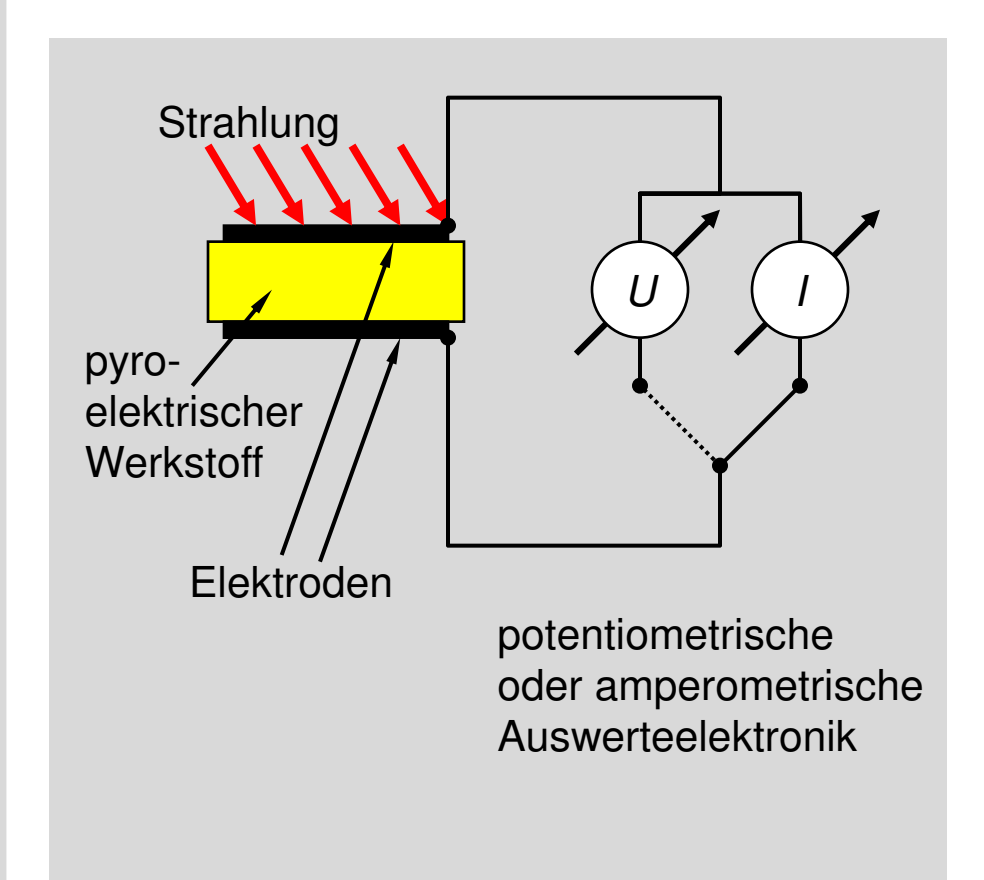
 $P_r$ : remanente Polarisation

T: Temperatur



## 3.6 Pyroelektrische Werkstoffe Anwendung: Pyroelektrischer Detektor/Infrarotdetektor





#### **Potentiometrische Auswertung**

I = 0, d.h. keine Änderung der Plattenladung/ Gesamtpolarisation.

$$\Delta U = \pi_P \cdot \frac{A \cdot \Delta T}{C}$$

#### **Amperometrische Auswertung**

U = 0, Stromimpuls/Stromintegration

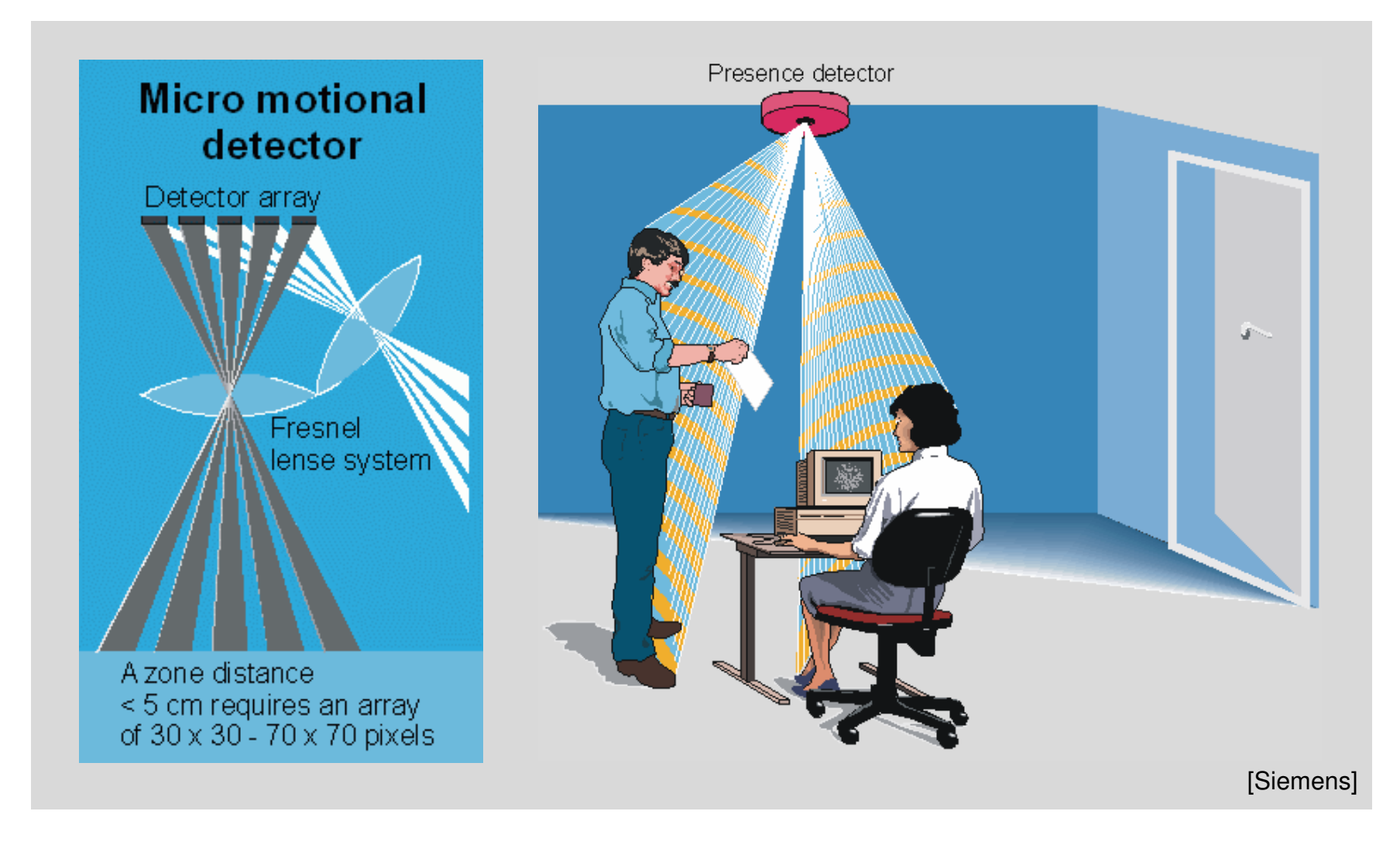
$$\Delta Q = \pi_P \cdot A \cdot \Delta T$$

A: Elektrodenfläche

C: Kapazität

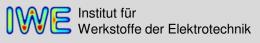
## 3.6 Pyroelektrische Werkstoffe Low-Cost Pyroelektrischer Sensor (Bewegungsmelder)





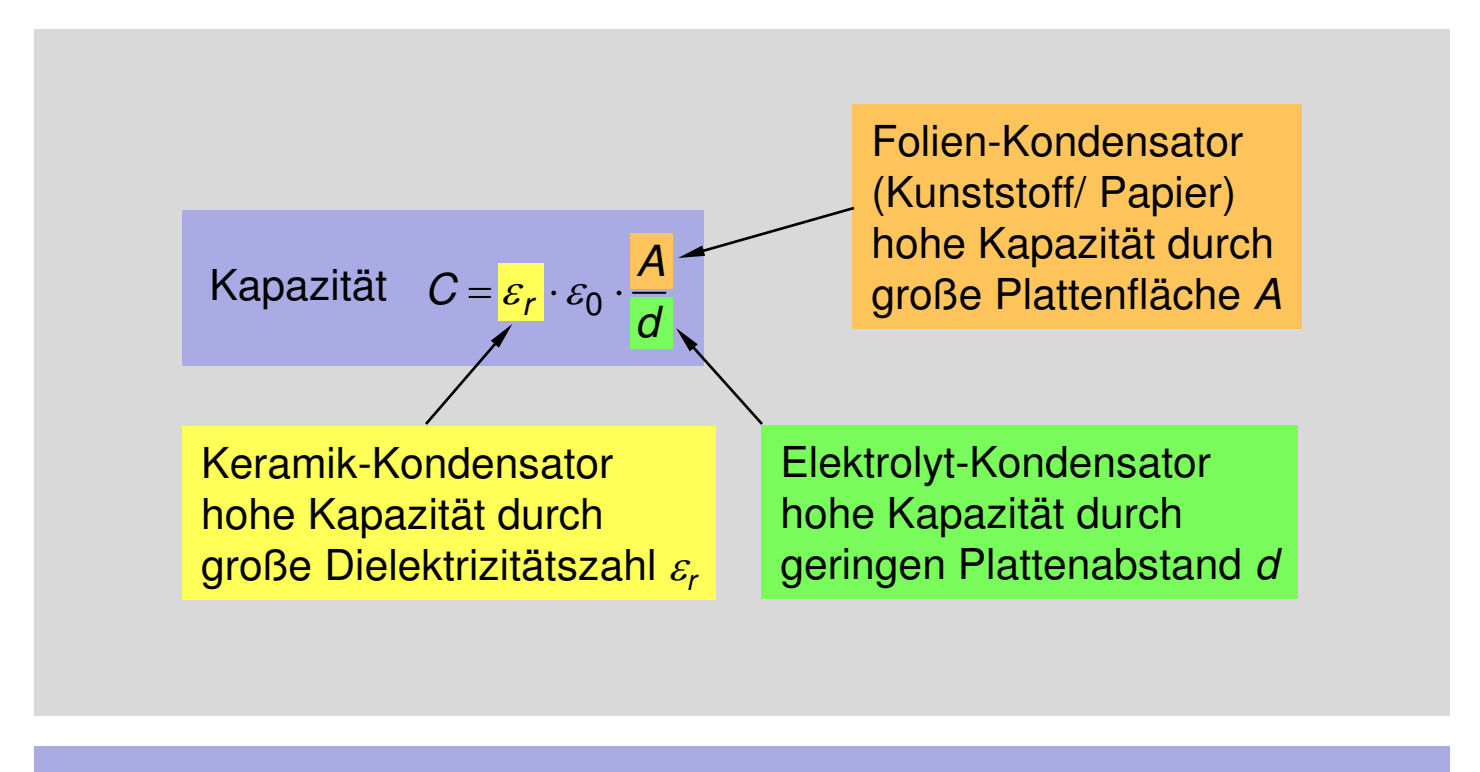


### Kondensatoren



### 3.7 Kondensatoren Kondensatorfamilien im Überblick





Reale Kapazitäten (je nach Stoffklasse und Bauform) mit C = 1 pF...1 F

### 3.7 Kondensatoren Auswahlkriterien für die Anwendung in Schaltungen



#### **Auswahlkriterien**

- Kapazität *C* (1 pF bis 1 F)
- Nennspannung (1,5 V ... > 1 kV)
- Betriebstemperatur (typisch -55 ... 125 °C)
- Verlustfaktor (typ. Angabe bei 25 °C, 1 kHz)
- Temperaturkoeffizient der Kapazität
- Bauform und Volumen

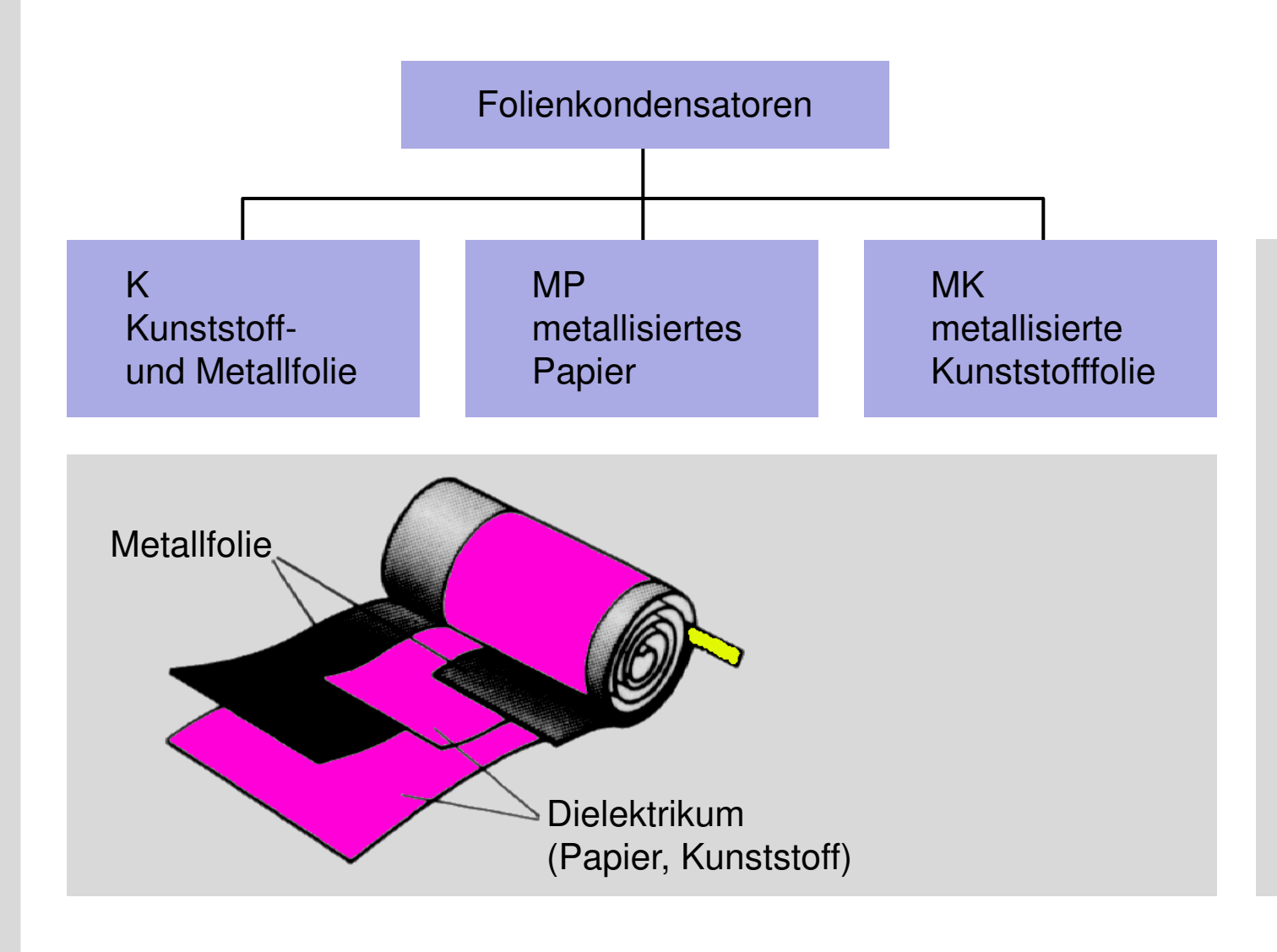
#### **Detaillierte Charakterisierung**

- Toleranz  $C \pm \Delta C$
- Temperaturverlauf *C*(*T*)
- Frequenzverlauf  $C(\omega)$
- Spannungsabhängigkeit C(U)
- Leckstrom bei Gleichspannung (RC-Zeit)
- selbstheilende Eigenschaften
- Lebensdauererwartung

[Waser]

### 3.7 Kondensatoren Folienkondensatoren im Überblick





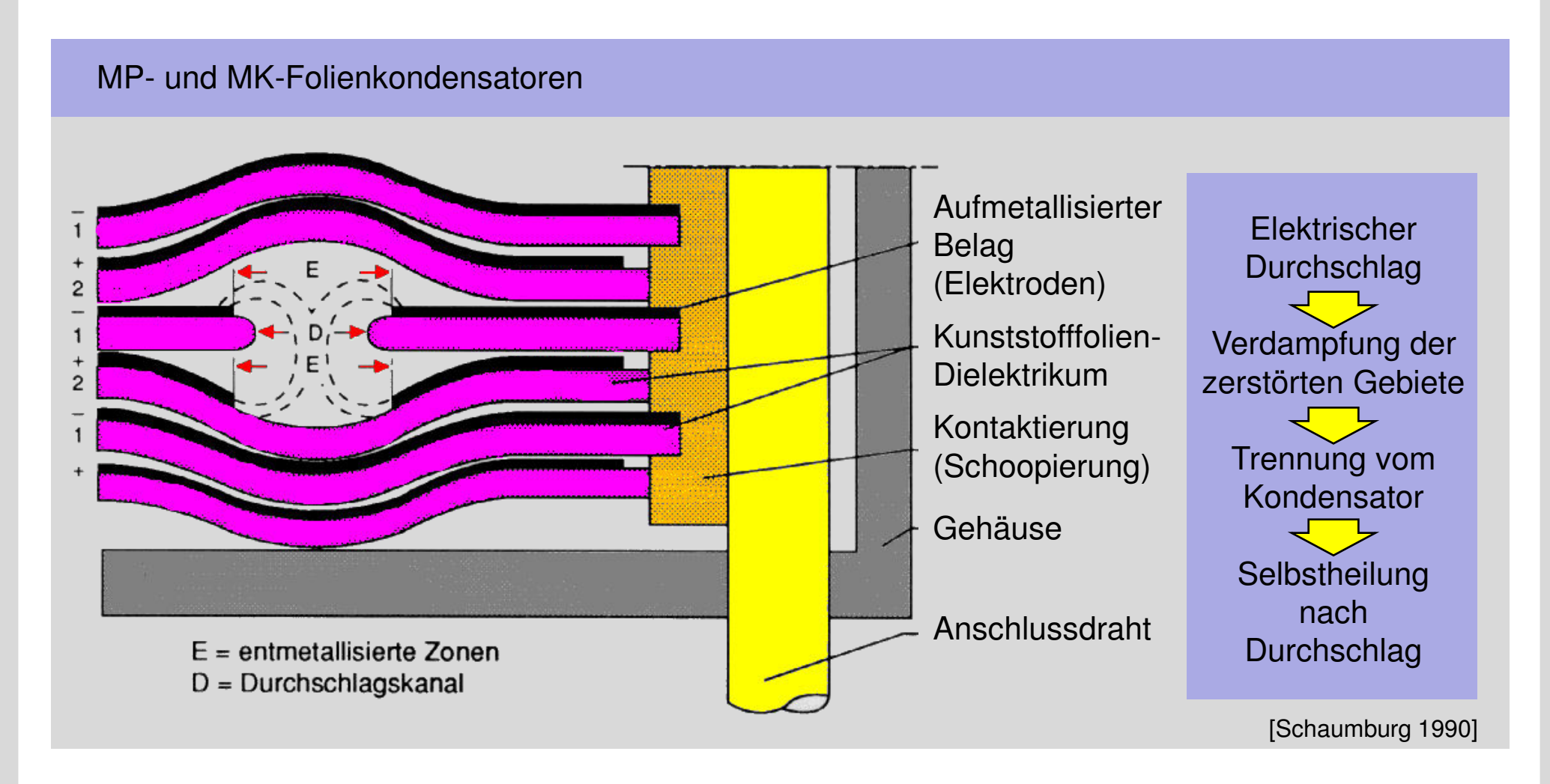


[Hering 1994]



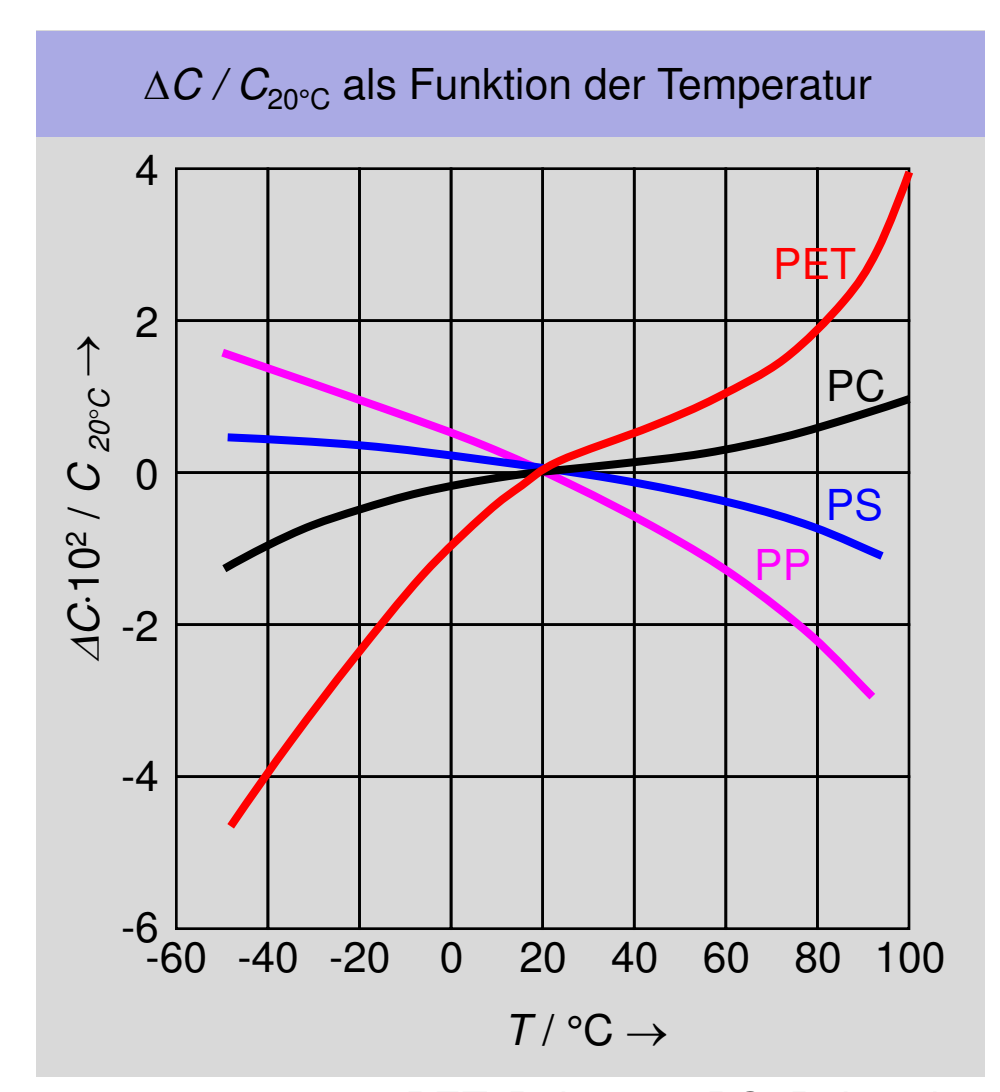
### 3.7 Kondensatoren Selbstheilung bei Folienkondensatoren

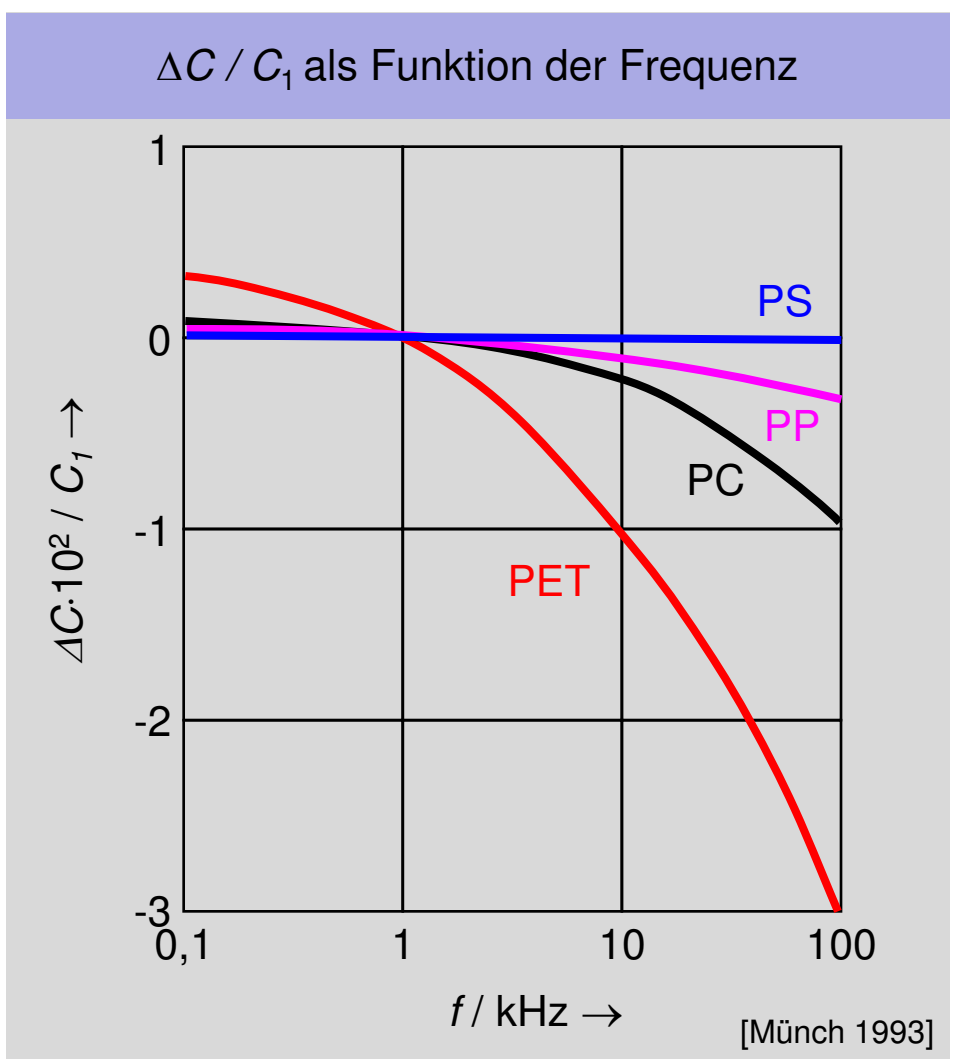




## 3.7 Kondensatoren Temperatur- und Frequenzabhängigkeit bei Folienkondensatoren





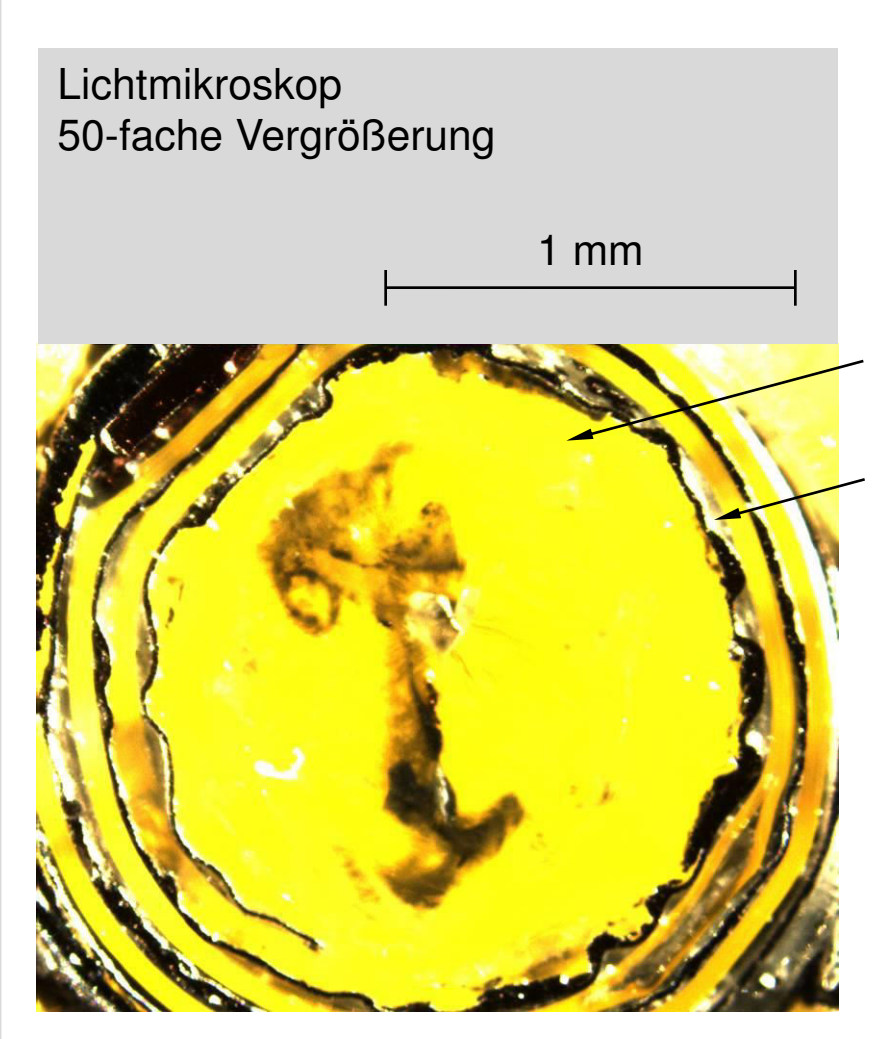


PET: Polyester, PC: Polycarbonat, PS: Polystyrol, PP: Polypropylen



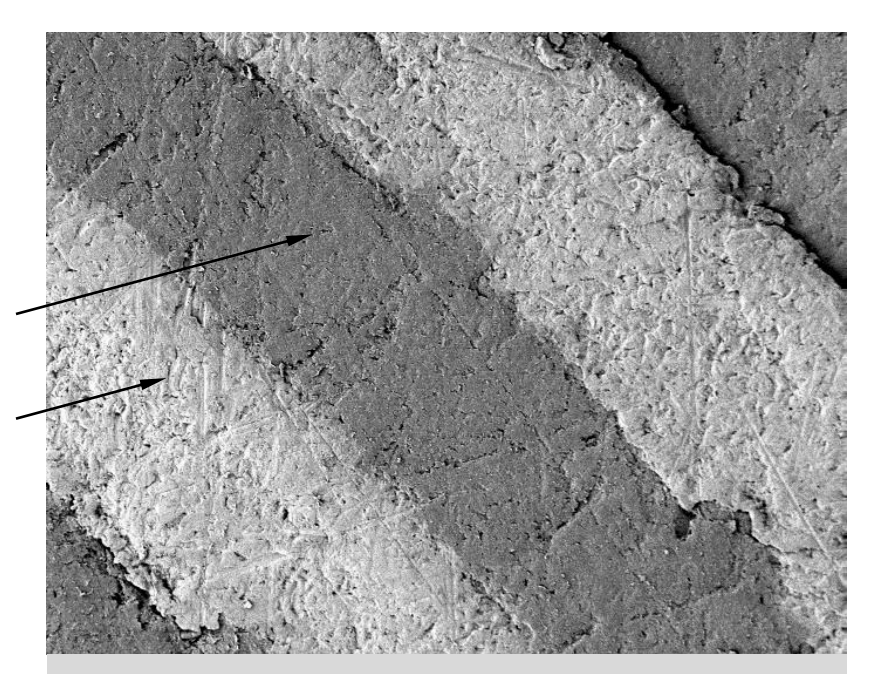
### 3.7 Kondensatoren Realer Metall-Kunststoff-Folienkondensator (MKS)





Einbettmasse

beidseitig metallisierte Kunststofffolie (Dielektrikum)

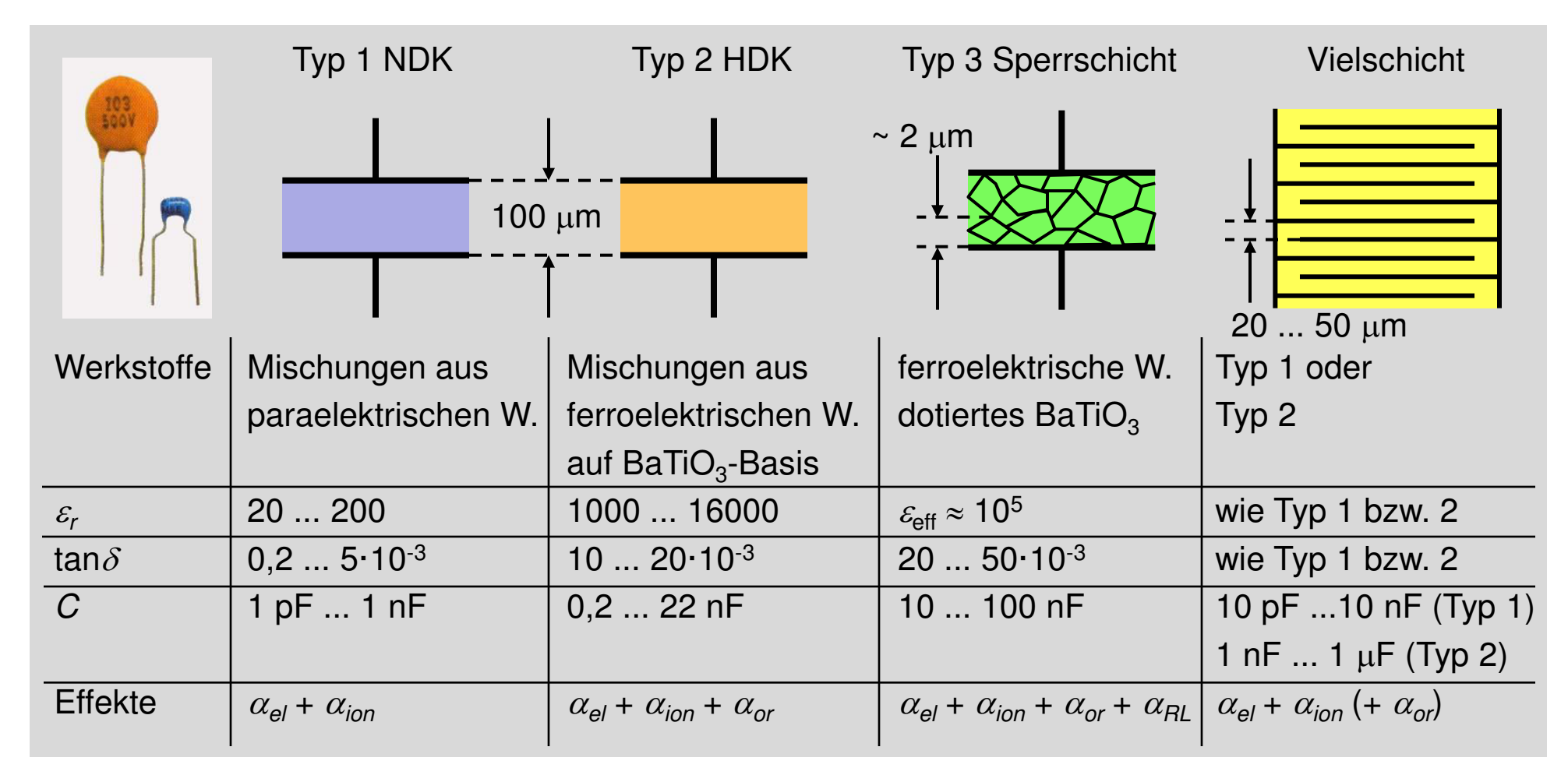


 $100 \ \mu m$ 

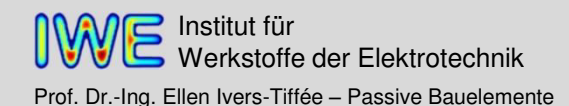
Elektronenmikroskop 1000-fache Vergrößerung

### 3.7 Kondensatoren Keramikkondensatoren im Überblick



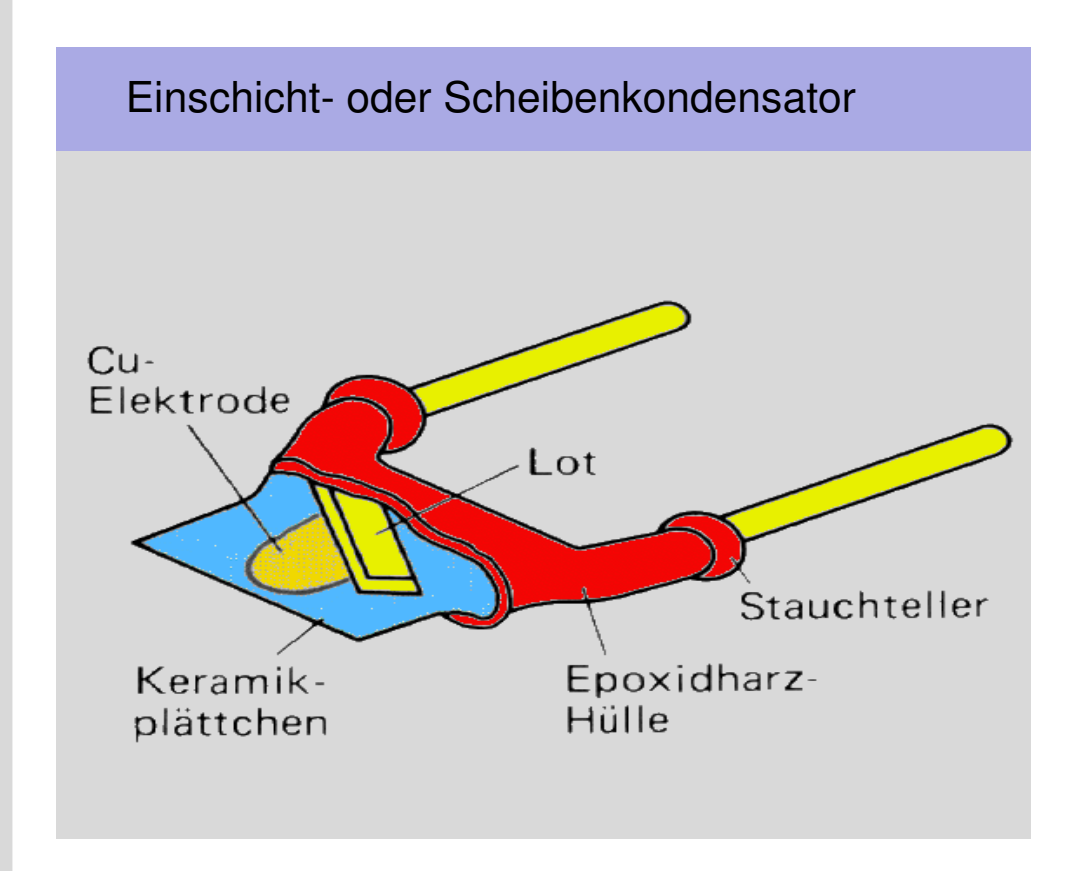


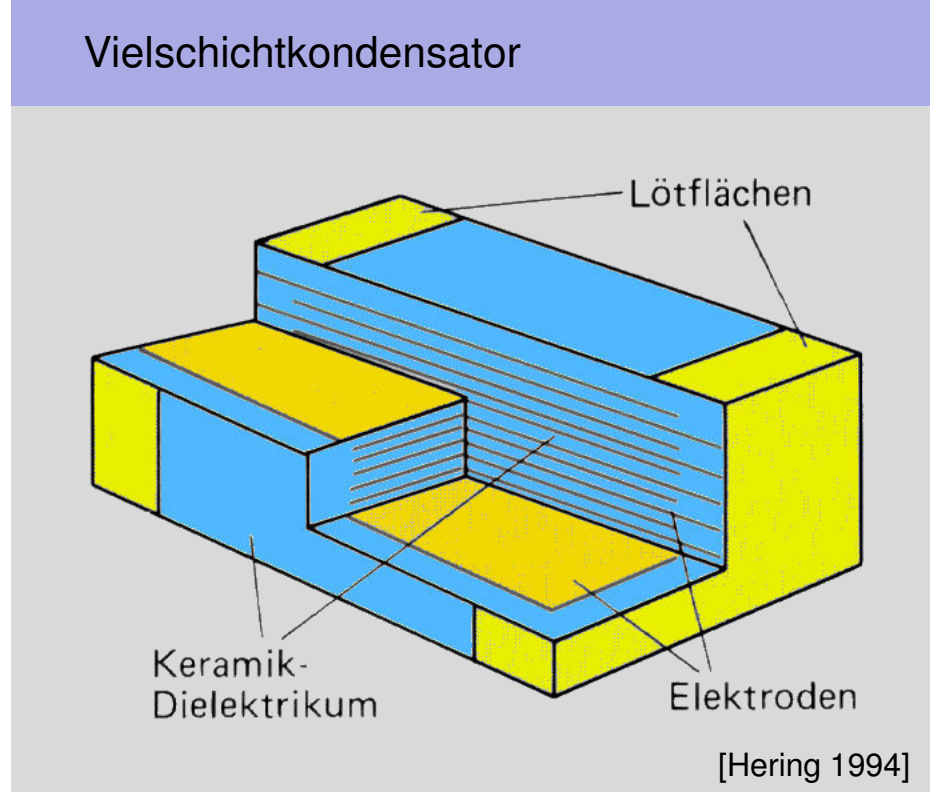
NDK/ HDK: niedrige/hohe Dielektrizitätskonstante



### 3.7 Kondensatoren Aufbau keramischer Ein- und Vielschichtkondensatoren

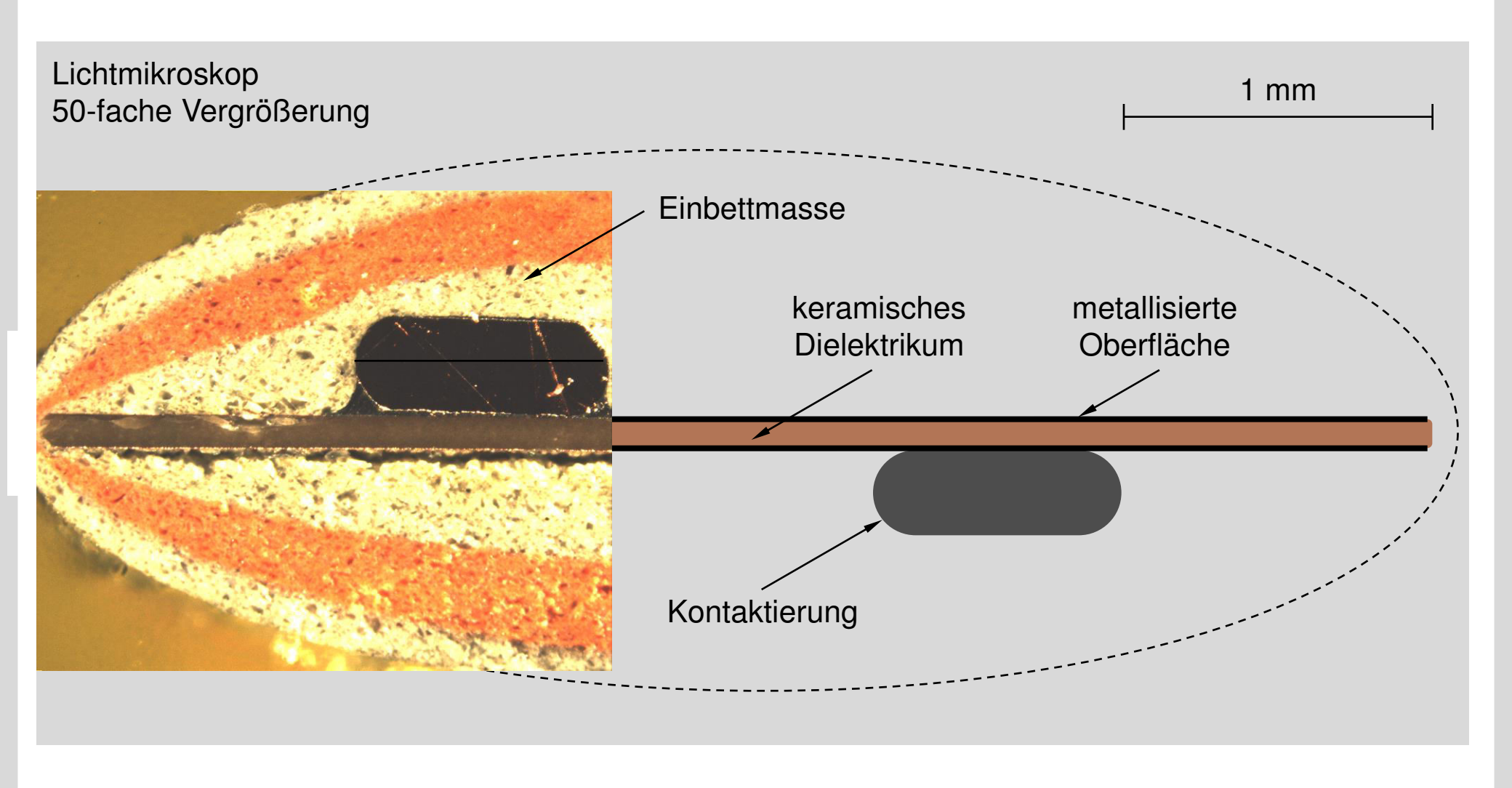






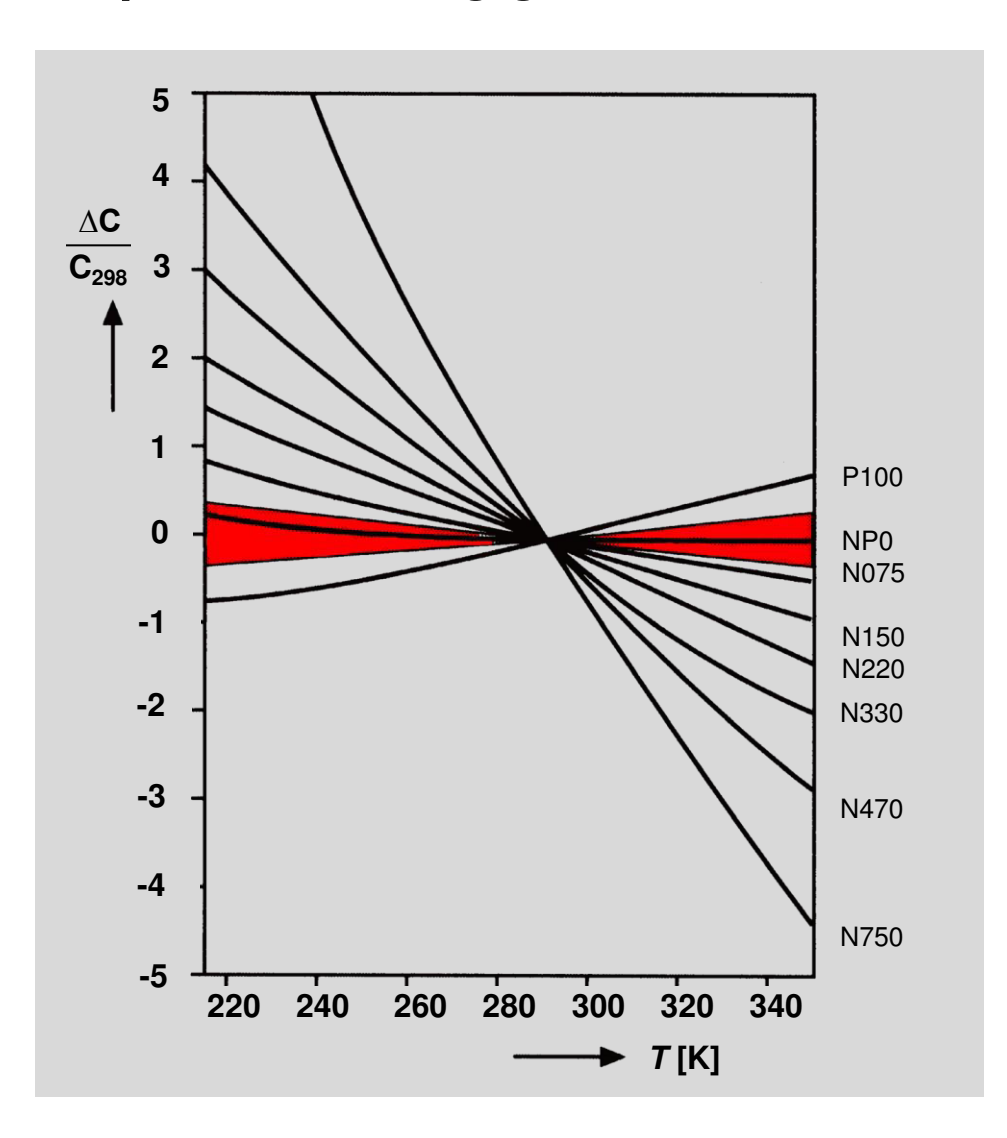
## 3.7 Kondensatoren Realer keramischer Einschichtkondensator (Typ 1 und 2)





## 3.7 Kondensatoren Temperaturabhängigkeit von Keramikkondensatoren Typ 1



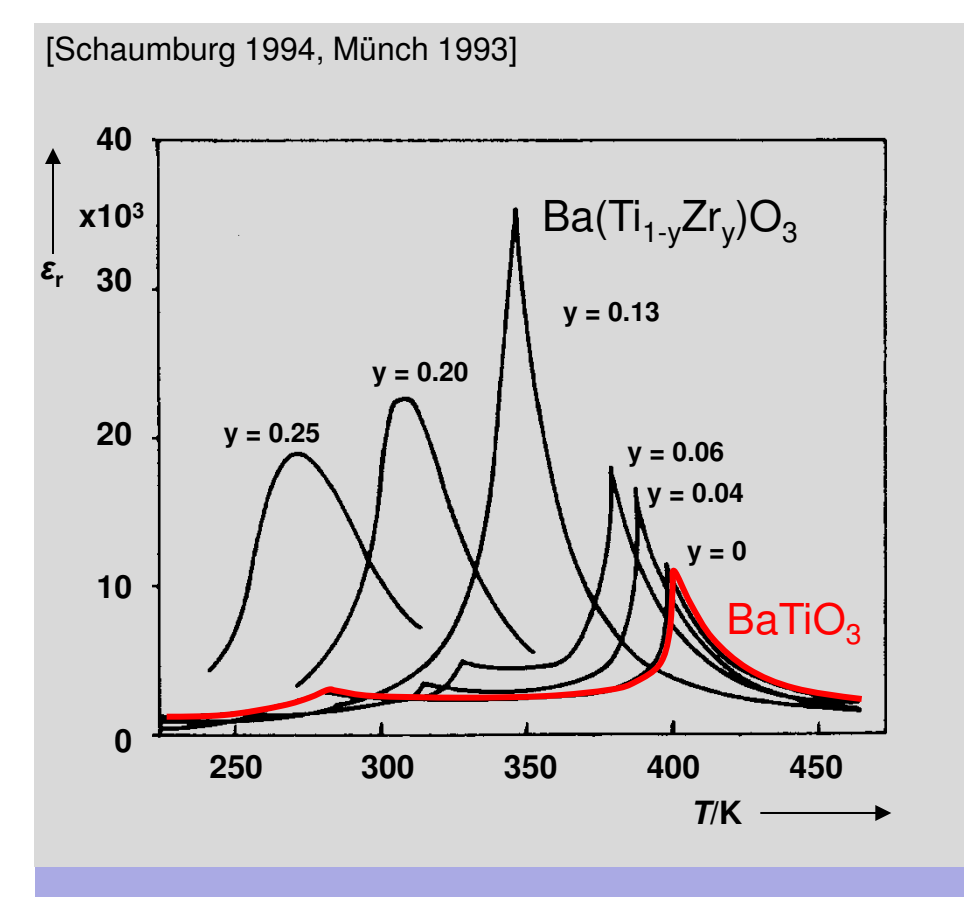


Werkstoffe mit einem definierten, linearen Temperaturkoeffizienten (positiv, negativ oder null)

 $TK_{\varepsilon}$  von  $TiO_{2} \approx -1000$  ppm/K = N1000  $TK_{\varepsilon}$  von  $Ba_{2}Ti_{9}O_{20} \approx 0$  ppm/K = NP0 (COG)\*  $TK_{\varepsilon}$  von MgTiO<sub>3</sub>  $\approx +100$  ppm/K = P100 \* EIA-Standard [Schaumburg 1994]

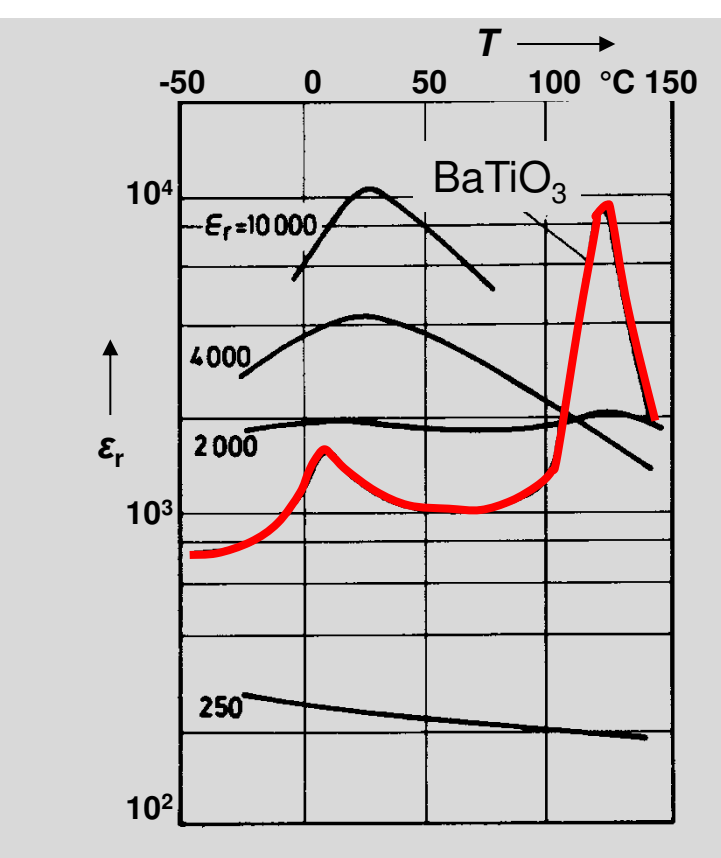
## 3.7 Kondensatoren Temperaturabhängigkeit von Keramikkondensatoren Typ 2





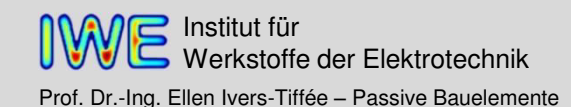
#### $\varepsilon_r$ in Mischkristallen

Verschiebung von  $\varepsilon_{\text{max}}$  durch Bildung von Mischkristallen z.B. Ba  $(\text{Ti}_{1-y}\text{Zr}_y)\text{O}_3$ 



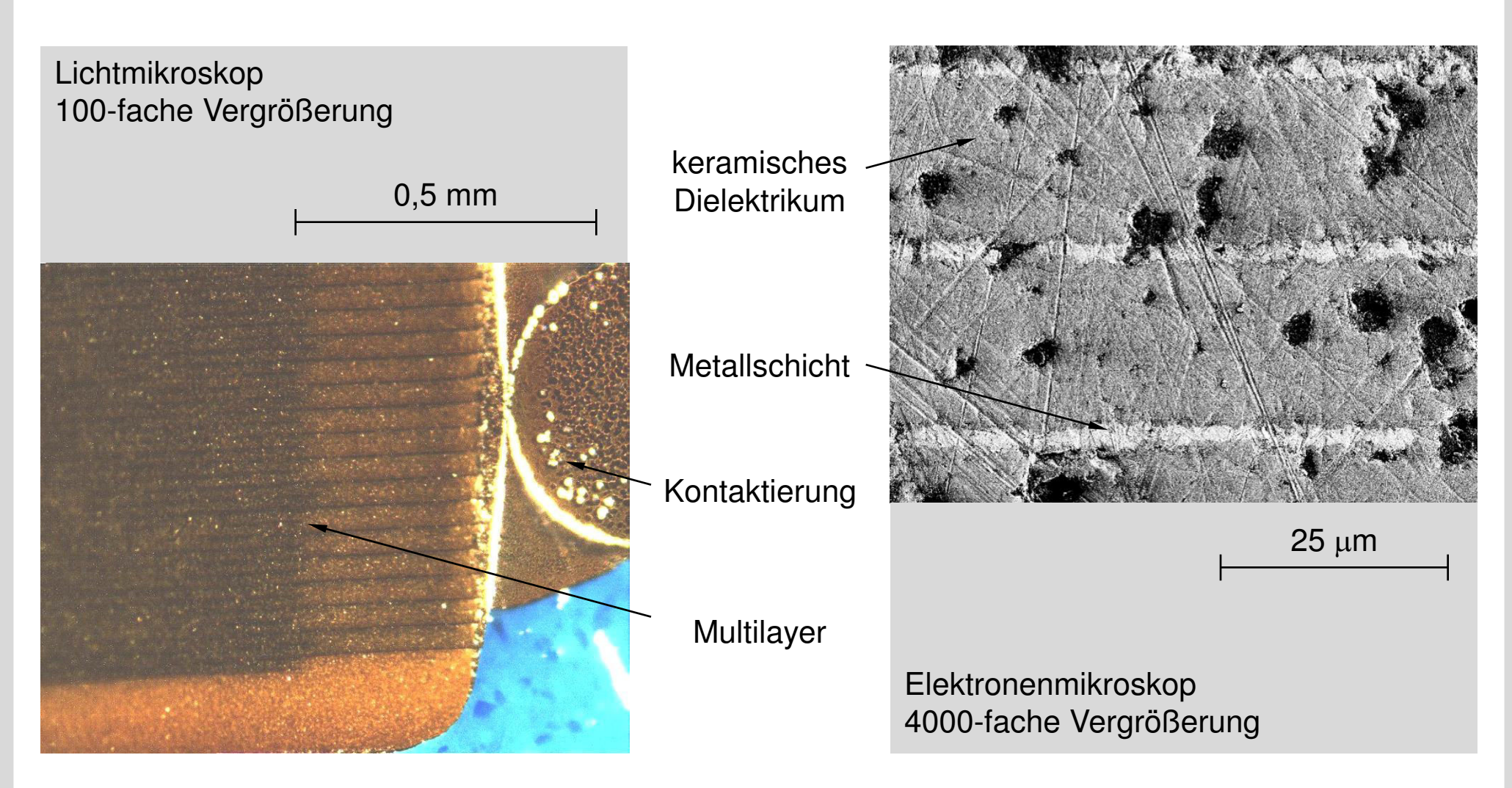
#### $\varepsilon_{\rm r}$ in Mischungen

Geringere Temperaturabhängigkeit von  $\varepsilon_{\rm r}$  durch Mischungen verschiedener Werkstoffe



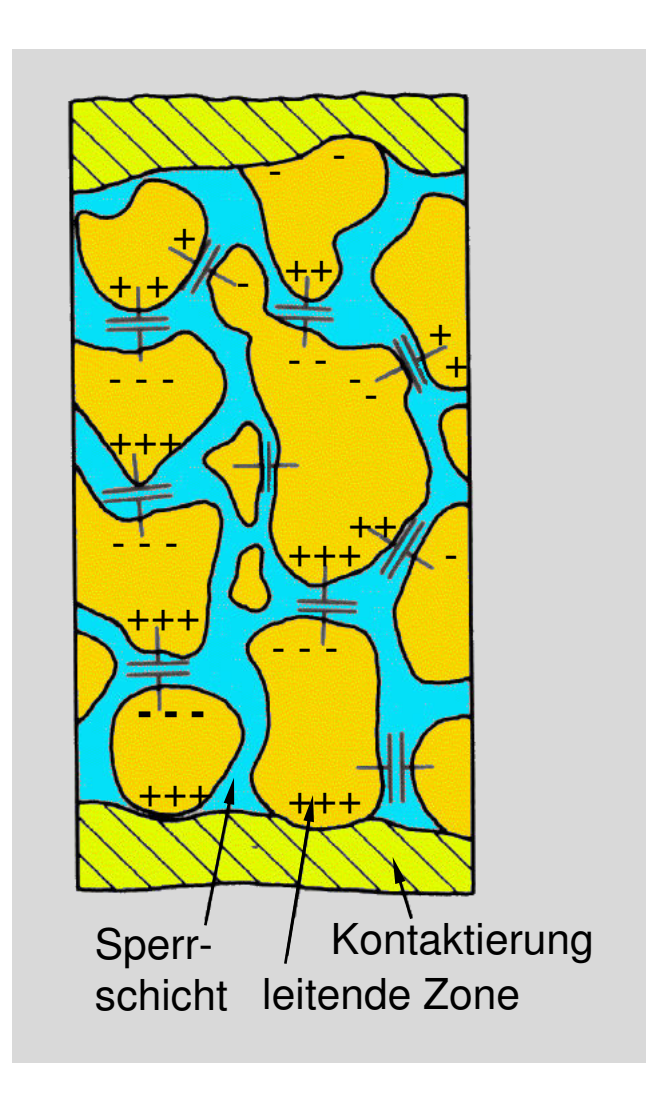
### 3.7 Kondensatoren Realer keramischer Vielschichtkondensator





## 3.7 Kondensatoren Aufbau keramischer Sperrschichtkondensatoren





Werkstoff: dotiertes BaTiO<sub>3</sub>
Ausbildung von Miniatur-Kondensatoren
durch leitfähige Körner
(n-leitend, z.B. mit Sb<sup>3+</sup>-Dotierung)
und isolierende Sperrschichten (Korngrenzen)
(p-leitend, z.B. mit Cu<sup>2+</sup> oder Fe<sup>3+</sup>-Dotierung)

Dicke des Dielektrikums entspricht der Dicke der isolierenden Korngrenzen.



Raumladungs-Polarisation  $\varepsilon_{\rm eff}$  bis zu  $10^5$  höchste Kapazitätswerte pro Volumen

[Hering 1994]

### 3.7 Kondensatoren

### Motivation von Niob als neues Basismaterial für Elektrolytkondensatoren



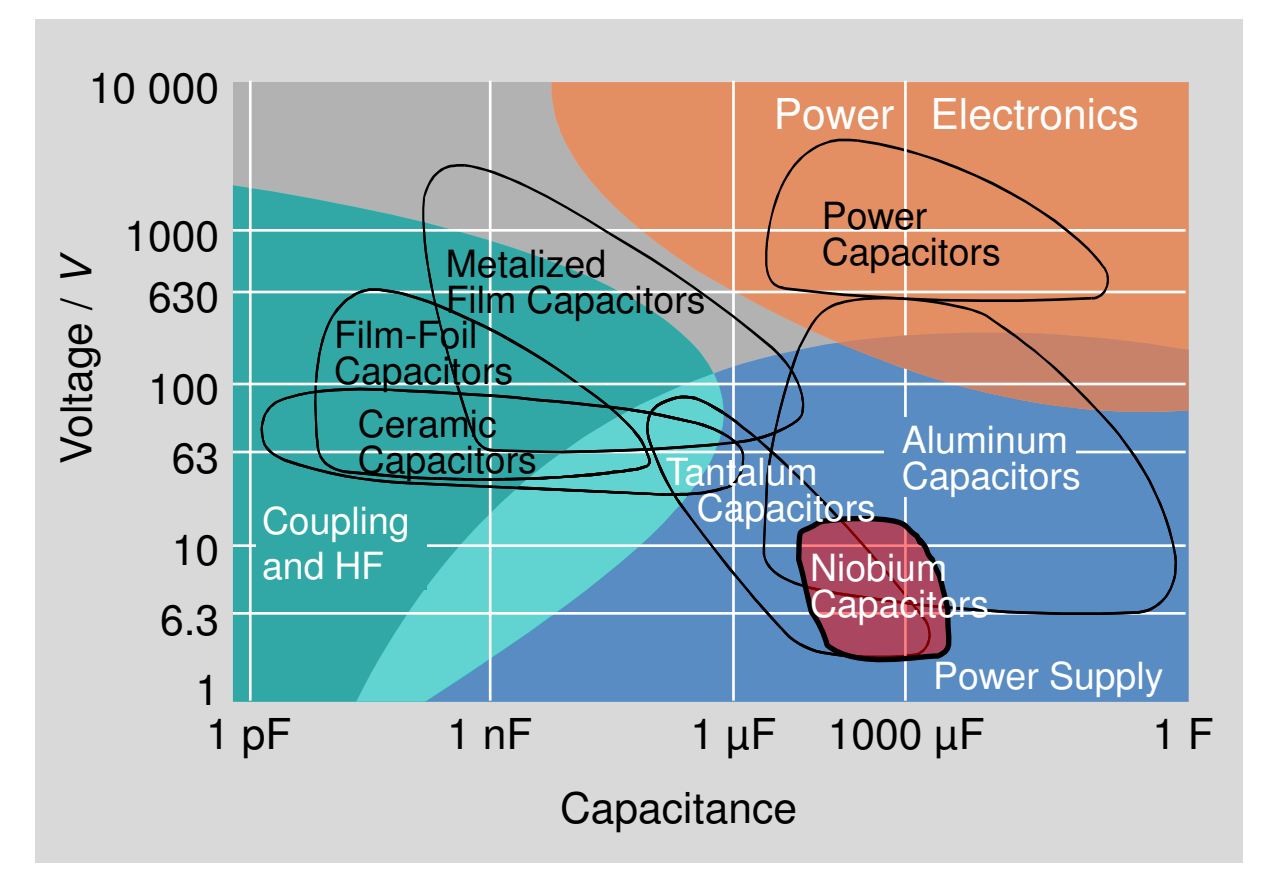


Höhere Dielektrizitätszahl

	Nb <sub>2</sub> O <sub>5</sub>	Ta <sub>2</sub> O <sub>5</sub>
$\mathcal{E}_r$	28	22

- Ähnliche chem. Eigenschaften
- Größere Verfügbarkeit von Niob
  - ⇒ niedrigere Rohmaterialpreise

[V. Fischer, IWE, EPCOS]

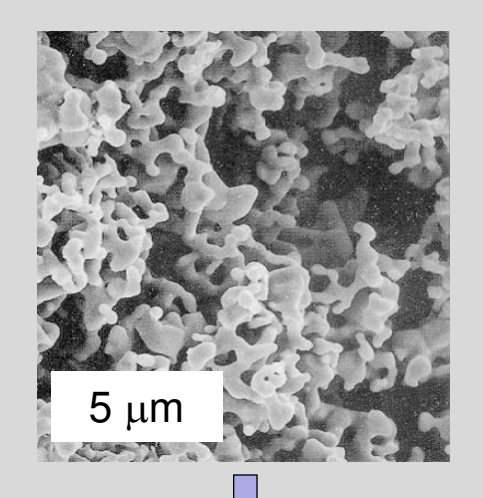


⇒ Niob-Elkos als neue hochkapazitive SMD-Bauelemente

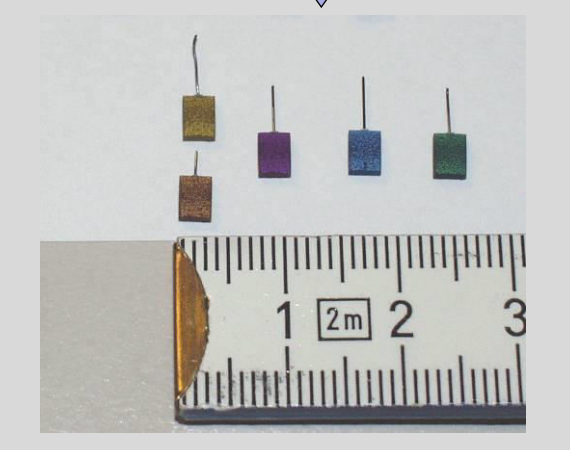
### 3.7 Kondensatoren Herstellung von Niob-Elektrolytkondensatoren (1)



Niob-Metallpulver (fein, nanoskalig)



**Pressen und Sintern** 

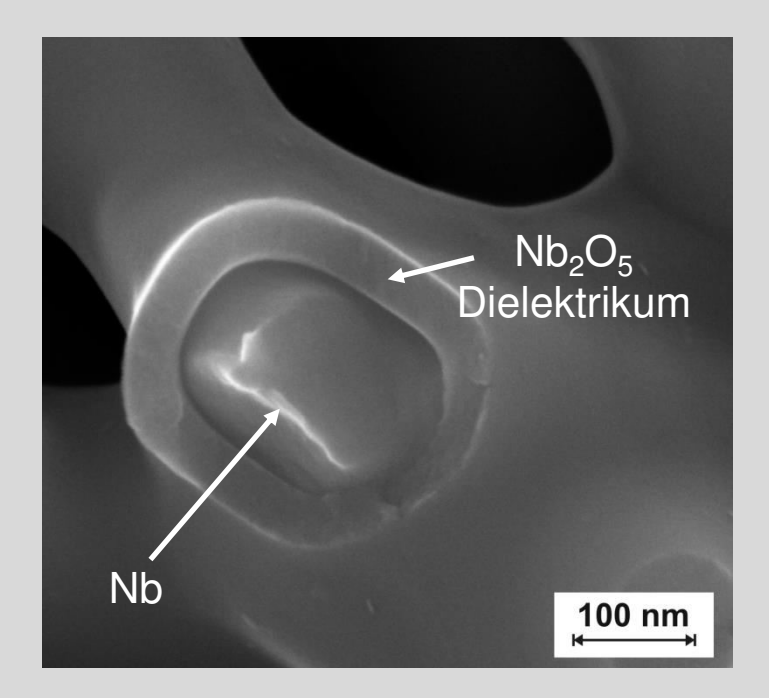


Formierung 1

(Oxidation von Niob zu Niobpentoxid)

**Tempern** (Temperaturbehandlung)

Formierung 2



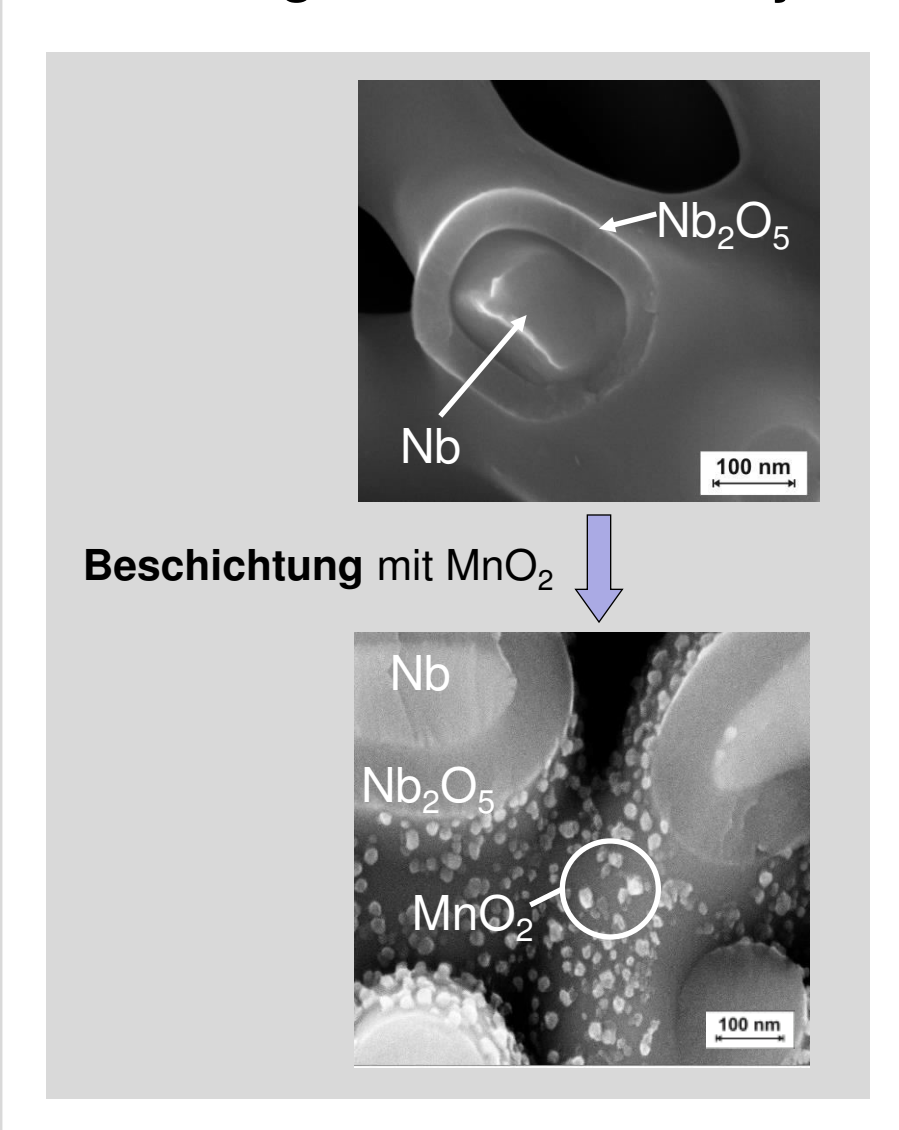
[V. Fischer, IWE, EPCOS]

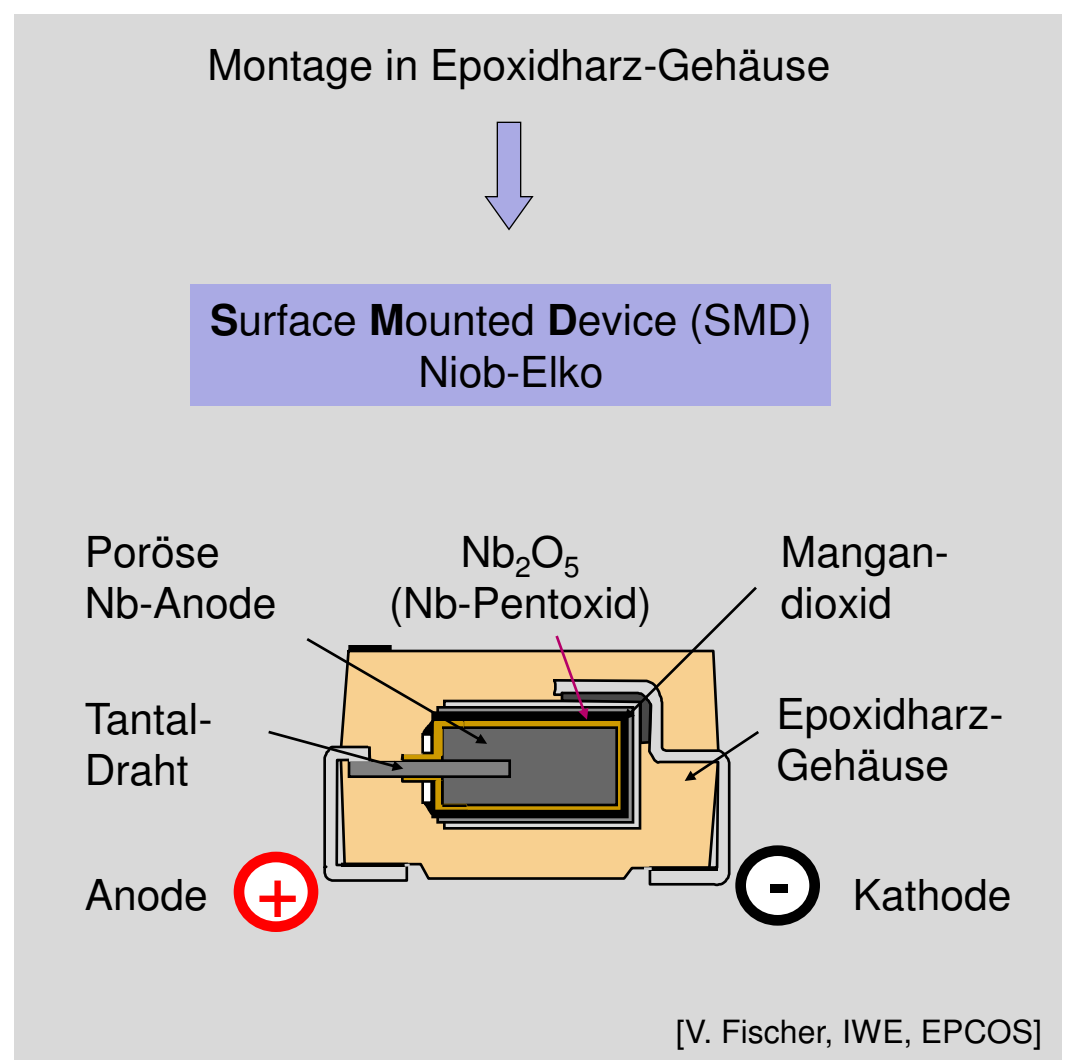
Poröse Niob-

Sinteranoden

### 3.7 Kondensatoren Herstellung von Niob-Elektrolytkondensatoren (2)

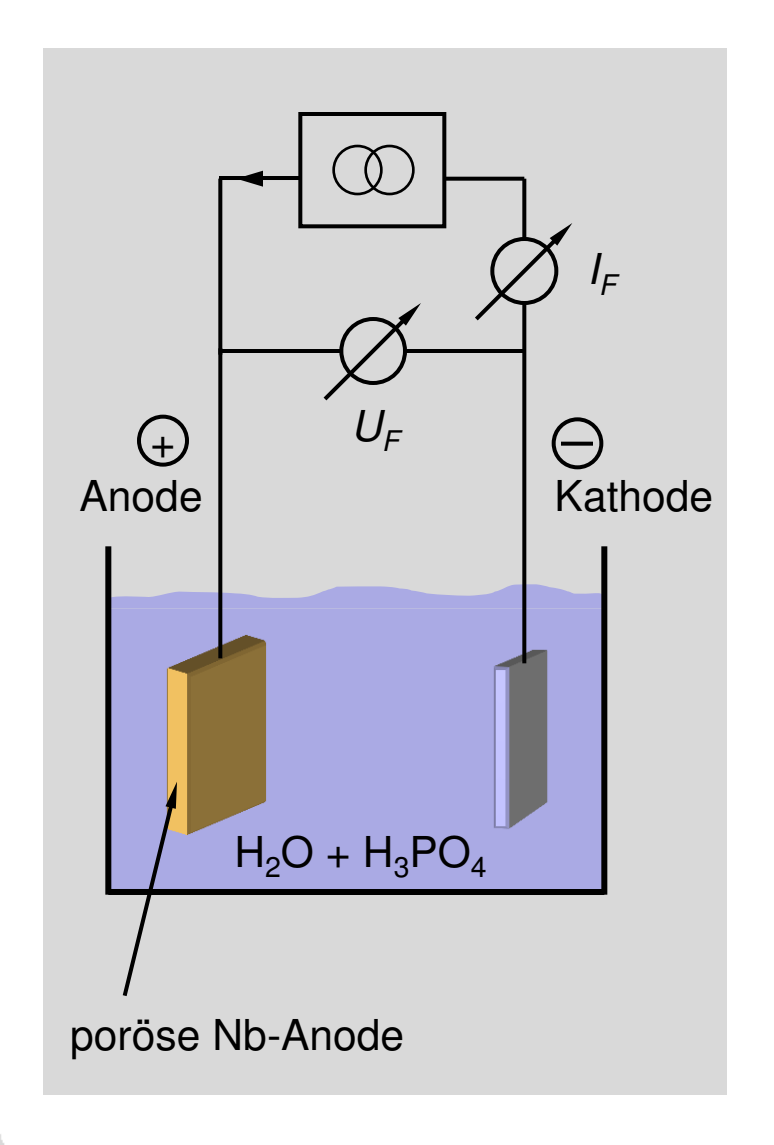


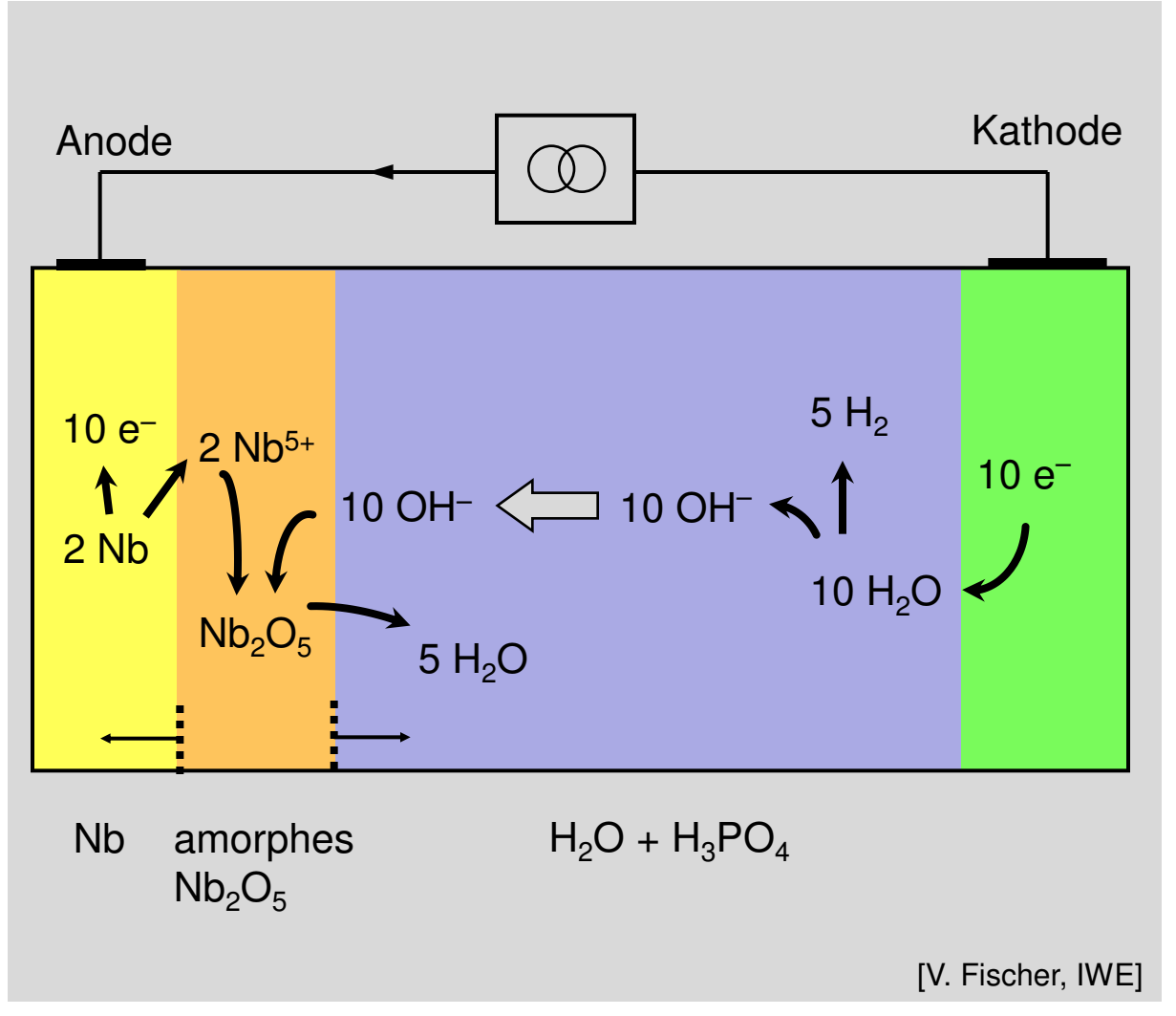




## 3.7 Kondensatoren Elektrochemische Oxidation von Niob zu Niobpentoxid (1)







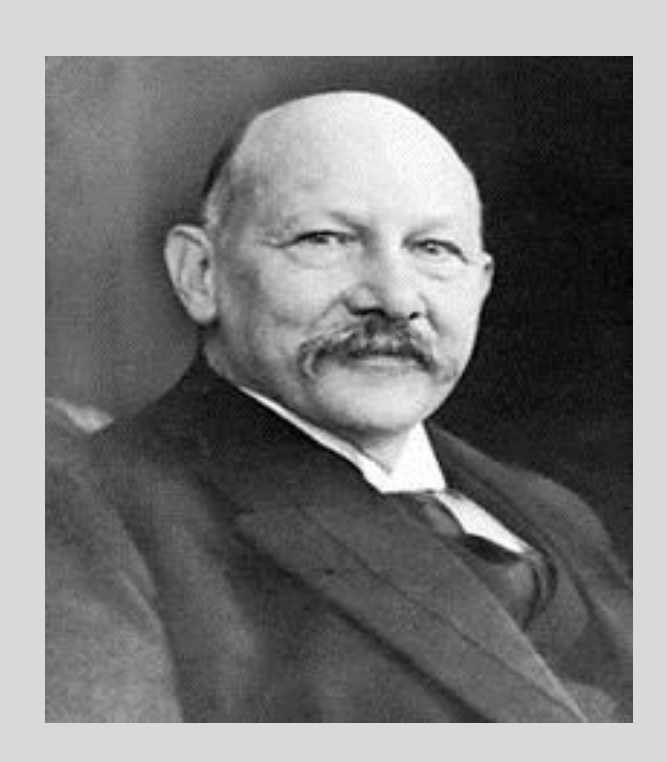


## Supraleiter



## 2.6 Supraleiter Heike Kammerlingh-Onnes

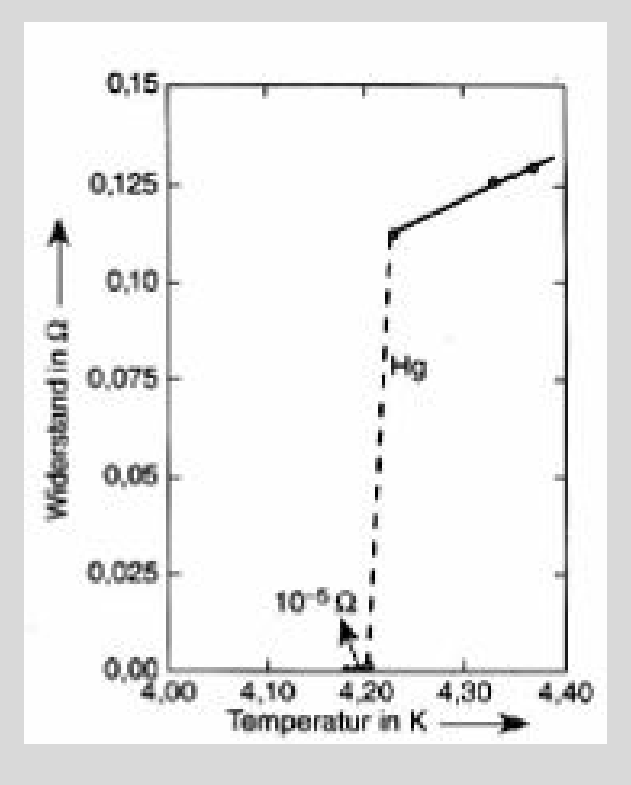




Heike Kammerlingh-Onnes \*1853 † 1926 Physiknobelpreis 1913

Heike Kammerlingh-Onnes gelang 1908 die Verflüssigung von Helium. Dabei entdeckte er, dass der elektrische Widerstand von Quecksilber bei 4,2 K nicht mehr messbar war.

Diese **Supraleitung** wurde seitdem bei vielen Metallen, Legierungen und Halbleitern festgestellt.



[H. Kamerlingh-Onnes, Proceedings of the Section of Sciences, volume XII (1911), pp. 1107-1113]

## 2.6 Supraleiter Supraleitende Elemente im Periodensystem



 $T_C$ : Sprungtemperatur (unterhalb derer das Material supraleitend ist)

Be 0,03											В	С		$T_{\rm C}$ > 1 K
Mg											Al 1,2	Si		<i>T</i> <sub>C</sub> < 1 K
Ca	Sc	Ti 0,39	V 5,3	Cr	Mn	Fe	Co	Ni	Cu	Zn 0,88	Ga 1,1	Ge		70 ( 1 1 1
Sr	Υ	Zr 0,55	Nb 9,2	Mo 0,92	Tc 7,8	Ru 0,5	Rh	Pd	Ag	Cd 0,55	In 3,4	Sn 3,7		
Ва	La 4,8	Hf 0,13	Ta 4,5	W 0,01	Re 1,7	Os 0,65	Ir 0,14	Pt	Au	Hg 4,1	TI 2,4	Pb 7,2		

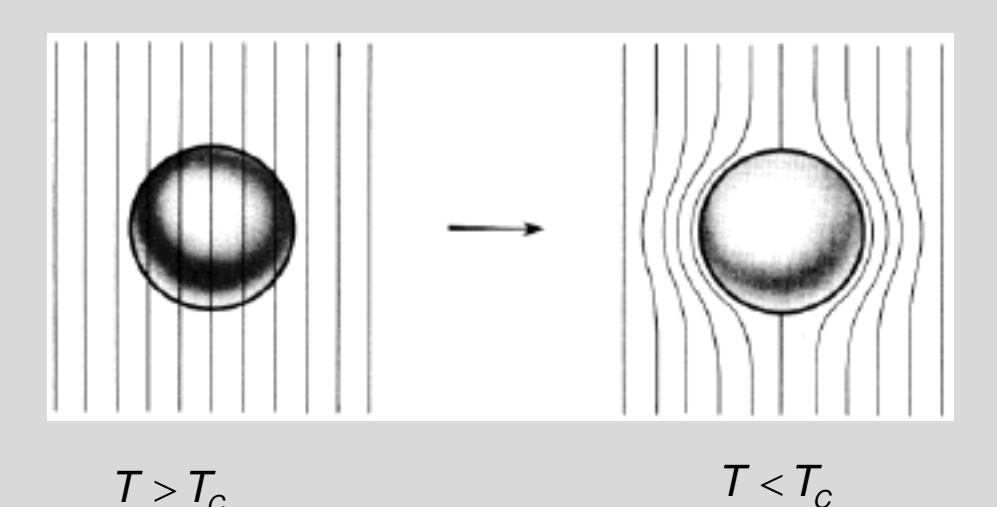
Th	Pa	U
1,4	1,3	0,2

[von Münch 1985 / 1987]

## 2.6 Supraleiter Meißner-Ochsenfeld-Effekt



### Meißner-Ochsenfeld-Effekt (1933)



Befindet sich ein Material im supraleitenden Zustand, fließen in der dünnen Oberflächenschicht des Supraleiters sehr große Oberflächenströme, sog. Supraströme, die ein äußeres Magnetfeld abschirmen. Deshalb ist das Innere des Supraleiters stets feldfrei.

$$B_i = 0$$
$$\chi_m = -1$$

⇒ Ein Supraleiter ist ein idealer Diamagnet.

Der supraleitende Zustand wird oberhalb einer kritischen magnetischen Flussdichte  $B_C$  zerstört.

## 2.6 Supraleiter Kritische Flussdichte



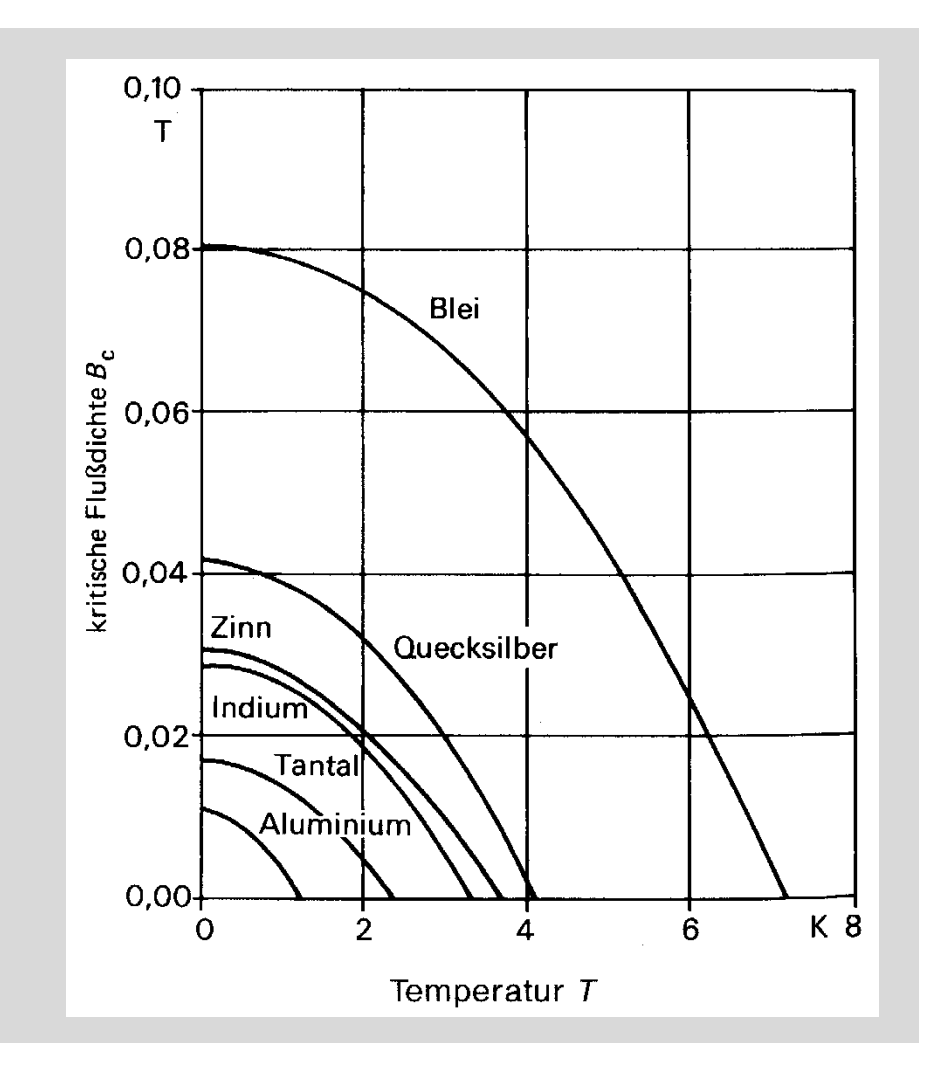
Die Supraleitung hängt in guter Näherung von der Temperatur und dem magnetischen Fluss ab:

$$B_C = B_0 \cdot \left( 1 - \left( \frac{T}{T_C} \right)^2 \right)$$

 $B_0$ : kritische Flussdichte für T = 0 K.

Für  $B < B_C$  und  $T < T_C$  befindet sich das Material im supraleitenden Zustand.

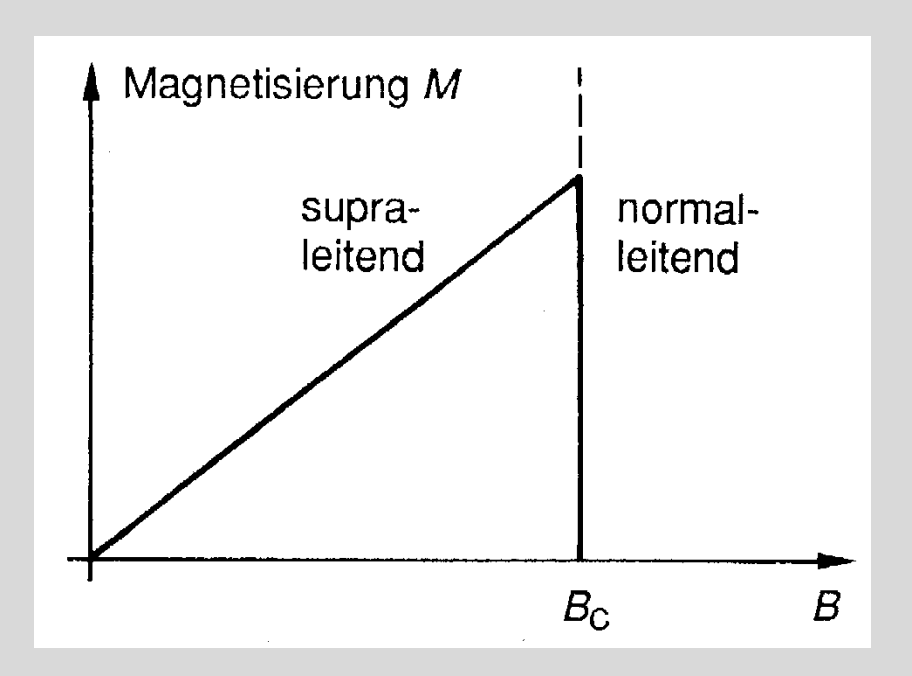
[Schaumburg 1993, Münch 1993]



## 2.6 Supraleiter Supraleitung erster und zweiter Art

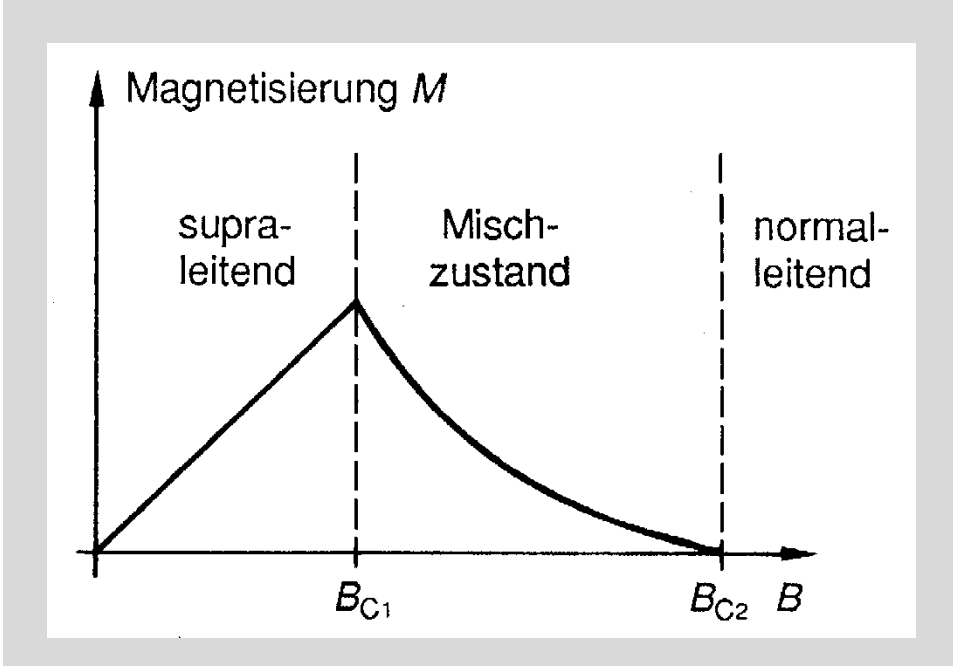


### **Supraleiter erster Art**



Für  $B < B_C$  wird der äußere Magnetfluss komplett verdrängt.

### **Supraleiter zweiter Art**



Für  $B_{C1} < B < B_{C2}$  bilden sich normalleitende, magnetische Flussschläuche. Die Supraleitung bleibt bis  $B_{C2}$  erhalten.

## 2.6 Supraleiter Flussschläuche bei Supraleitern zweiter Art



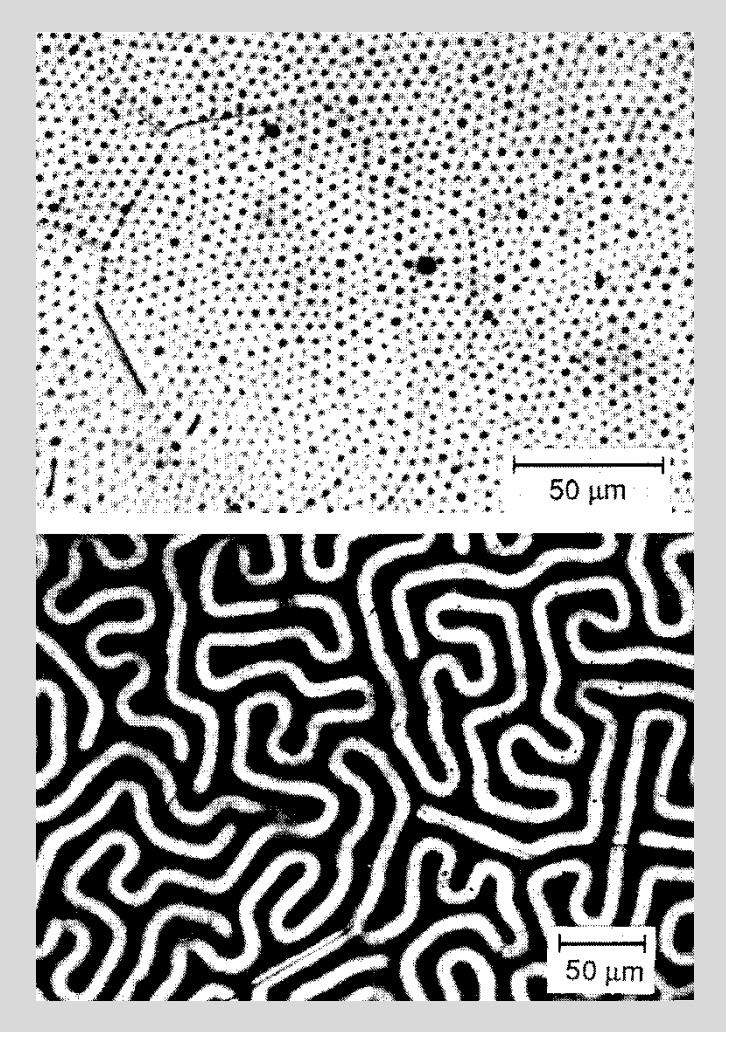
Beim Supraleiter 2. Art dringt der magnetische Fluss in Form von Flussschläuchen in das Material ein. Diese Flussschläuche sind quantisiert.

Der Wert eines elementaren Flussquants beträgt:

$$\Phi_0 = \frac{h}{2e} = 2 \cdot 10^{-15} Vs$$

Für die theoretische Erklärung der Flussschläuche erhielt Abrikosov 2003 den Nobelpreis für Physik.

Das Material befindet sich im supraleitenden Zustand (oben). Es sind zylinderförmige magnetische Bereiche sichtbar, die etwa 50 Flussquanten umfassen. Wird der magnetische Fluss erhöht. bilden sich mäanderförmige magnetische Bereiche.



Prof. Dr.-Ing. Ellen Ivers-Tiffée – Passive Bauelemente

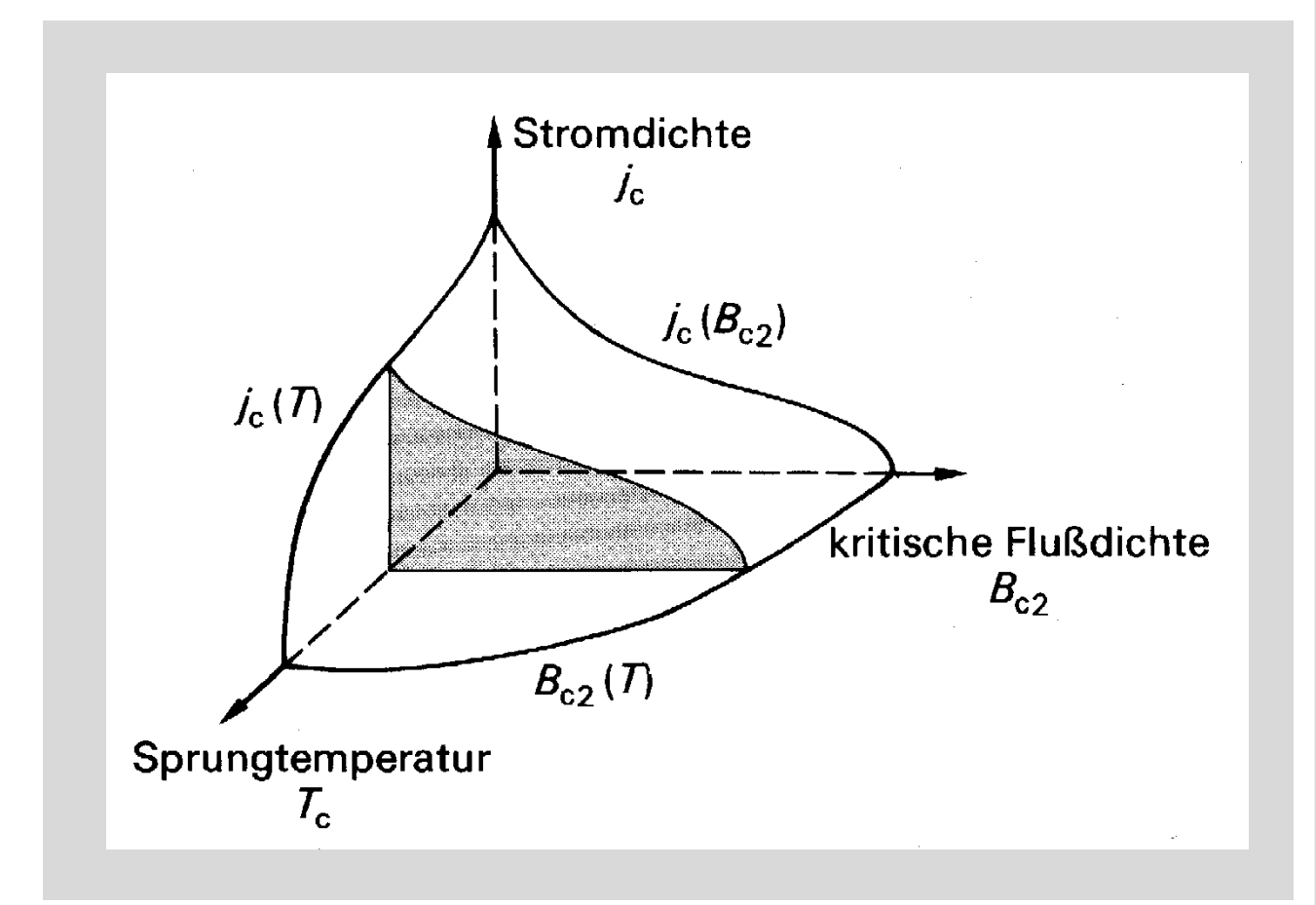
## 2.6 Supraleiter Stromdurchflossener Supraleiter



Fließt durch den Supraleiter ein elektrischer Strom, so wird ein magnetisches Feld erzeugt.

$$I = \oint \vec{H} \cdot d\vec{s}$$

Erreicht dieses Magnetfeld die kritische Flussdichte, bricht die Supraleitung zusammen.  $\Rightarrow$  Nur innerhalb der kritischen Größen  $T_C$ ,  $B_{C2}$  und  $j_C$  ist Supraleitung möglich. Diese Größen sind voneinander abhängig.



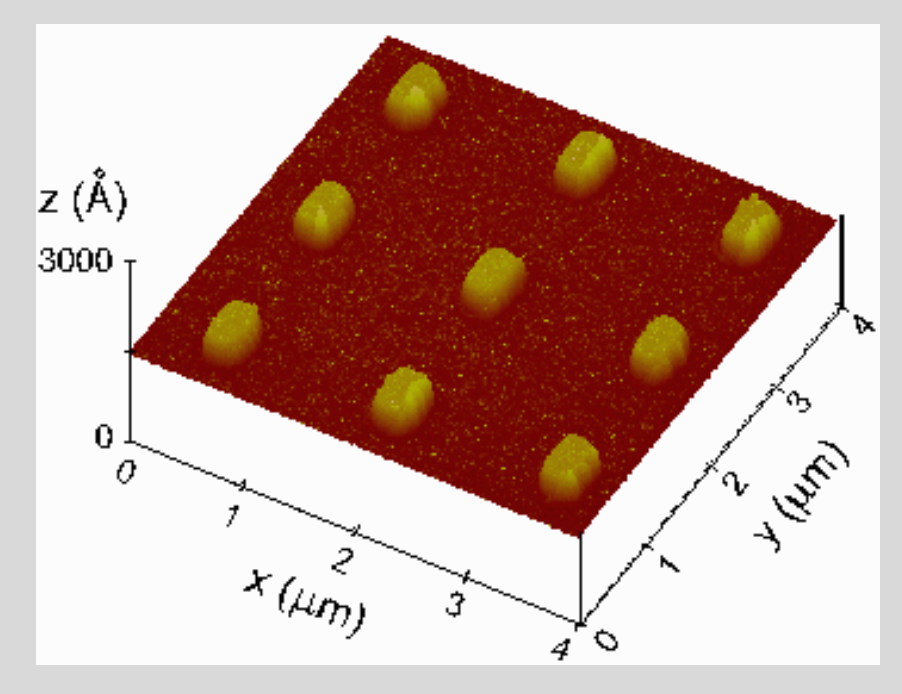
## 2.6 Supraleiter Pinning von Flussschläuchen



Wird ein Material der 2. Art als Stromleiter eingesetzt, verursacht der Strom ein Magnetfeld. Durch die Lorentzkraft kommen die Flussschläuche in Bewegung. Es entsteht Reibung und dadurch Wärme. Die Temperatur steigt über die Sprungtemperatur, so dass das Material seine Supraleitfähigkeit verliert.

$$\vec{F} \sim \vec{j} \times \vec{B}$$

Um die Bewegung der Flussschläuche zu verhindert, werden sie fixiert (pinning). Diese Materialien sind die Supraleiter dritter Art. Als Pinning-Zentren wirken Versetzungen, Ausscheidungen und Korngrenzen. Inseln bestehend aus 75 Å Au / 200 Å Co / 75 Å Au (AFM-Aufnahme)



[Van Bael, et. al., Phys. Rev. B 1 (1999), 59, 22]

## 2.6 Supraleiter BCS-Theorie (1)



### Physikalische Deutung der Supraleitung

• BCS-Theorie (1957): J. Bardeen, L. Cooper, B. Schrieffer, Nobelpreis 1972



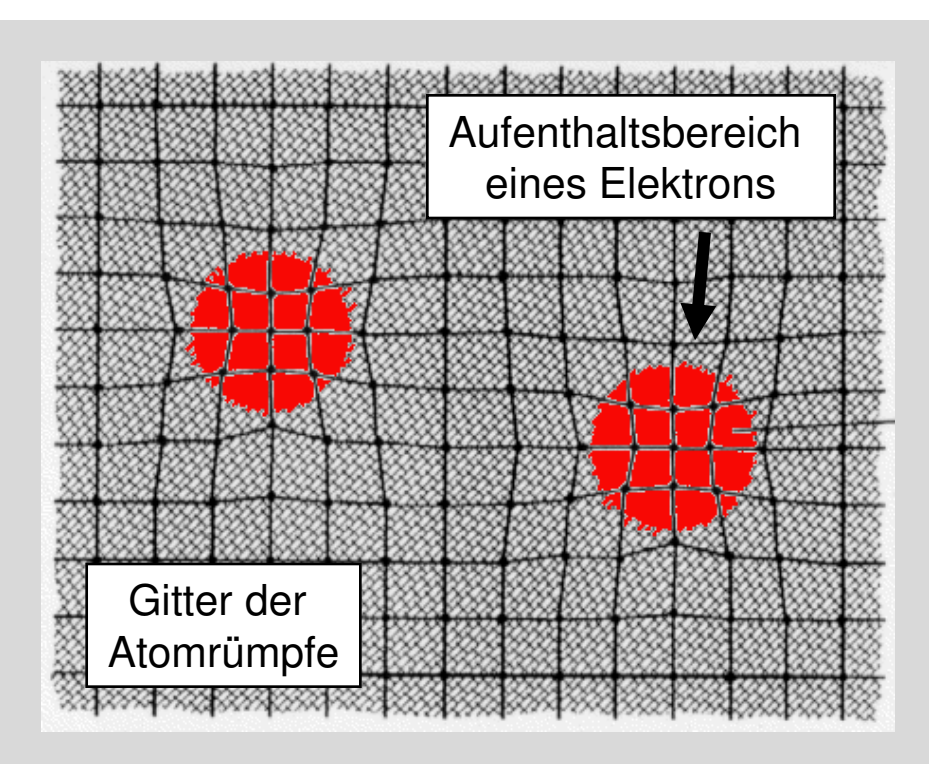
## 2.6 Supraleiter BCS-Theorie (2)



## **BCS-Theorie: Entstehung von Cooper- Paaren**

Ein Elektron verzerrt durch elektrische Wechselwirkungen das Ionengitter leicht (siehe Bild). Die etwas größere Konzentration positiver Ionen an dieser Stelle zieht ein weiteres Elektron an, das einen zum ersten exakt entgegen gesetzten Impuls und Drehimpuls (Spin) besitzt. Die beiden Elektronen nehmen einen gemeinsamen Energiezustand ein und bilden ein sog. Cooper-Paar.

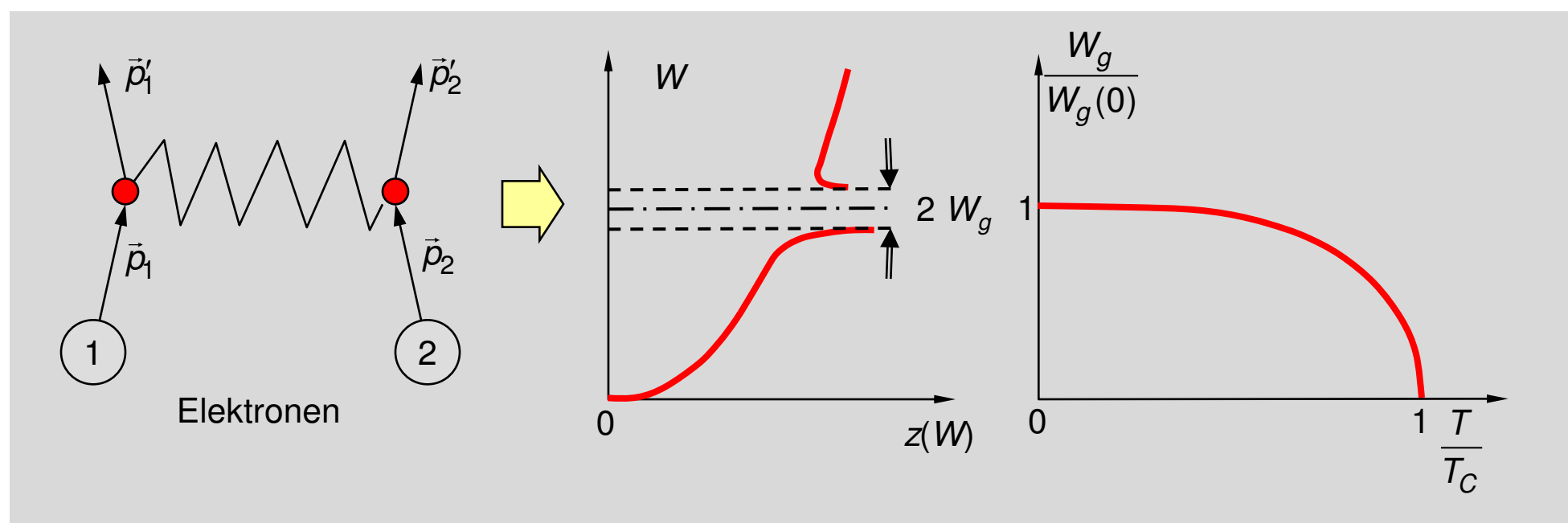
Für jedes Cooper-Paar gilt: Gesamtimpuls gleich Null.



[Fasching 1994]

## 2.6 Supraleiter Cooper-Paare





Ein Cooper-Paar kann nur dann mit dem Gitter in Wechselwirkung treten, wenn es aufgebrochen wird. Dazu ist die Bindungsenergie der Paarkorrelation notwendig. Cooper-Paare bewegen sich also verlustfrei durch das Gitter.

$$W_{\rm ges} = W_1 + W_2 - 2 W_{\rm g}$$

 $W_1$ ,  $W_2$ : Energien der ungebundenen Elektronen

 $W_{q}$ : Bindungsenergie pro Elektron

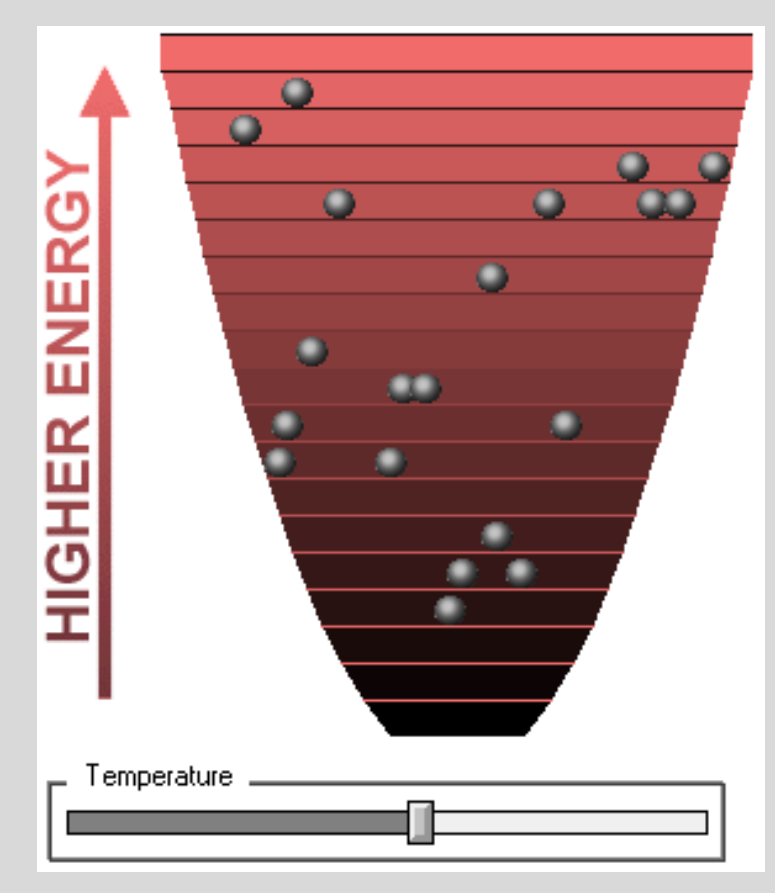
BCS-Theorie: 2 
$$W_g(0) = 3.5 kT_C$$

## 2.6 Supraleiter Bose-Einstein-Statistik



### **Temperatureinfluss**

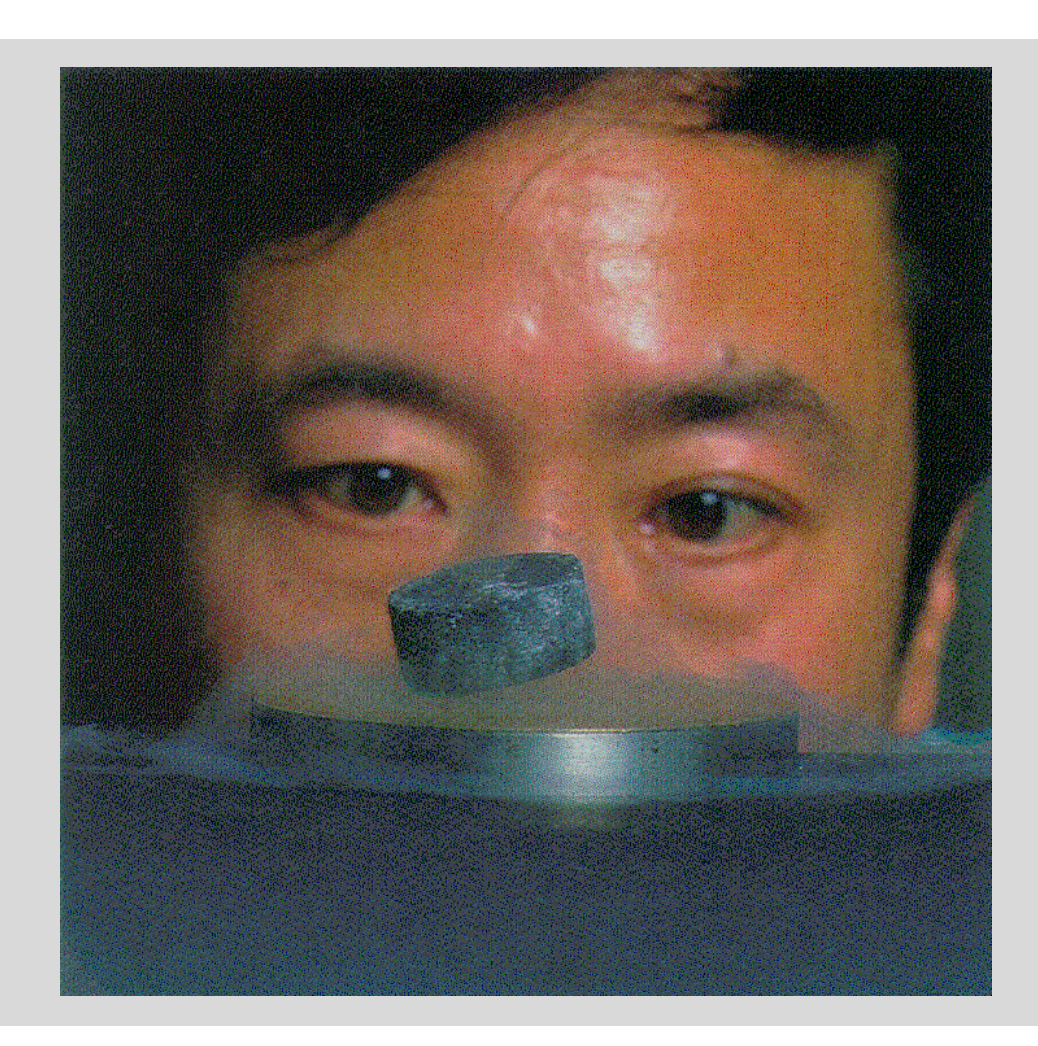
- Bei höheren T wird die schwache WW des Cooper-Paares durch die thermische Bewegung des Gitters gestört.
- Bei Cooper-Paaren ist der Gesamtspin bzw. -impuls Null. Deshalb sind sie nicht dem Pauli-Prinzip unterworfen, so dass alle Cooper-Paare den tiefstmöglichen quantenmechanischen Energiezustand einnehmen können.
- Die Cooper-Paare unterliegen nicht der Fermi-Dirac Statistik, sondern der Bose-Einstein-Statistik wechselwirkungsfreier Teilchen und nehmen bei Null Kelvin alle den gleichen Energiezustand ein (Grafik).



[http://www.colorado.edu/physics/2000/bec/what is it.html]

## 2.6 Supraleiter Hochtemperatursupraleiter (HTSC)





 $T_C > 50 \text{ K}$ 

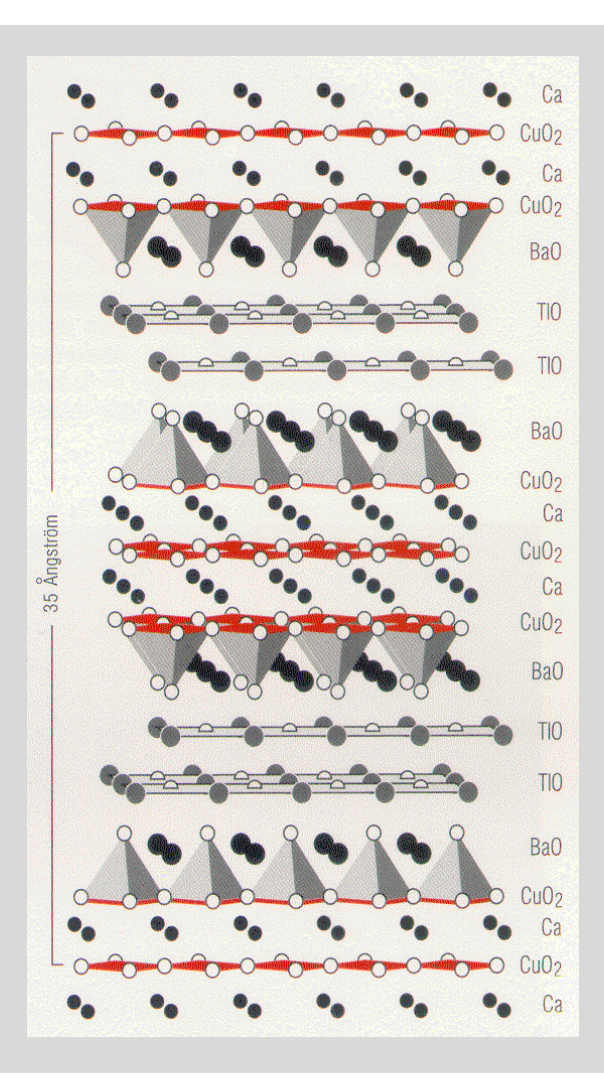
Das Schweben des HTSC über dem Permanentmagneten ergibt sich aus der Abstoßung zwischen dem äußeren Magnetfeld des Permanentmagneten und dem Magnetfeld, das durch die induzierten Ströme innerhalb des Supraleiter hervorgerufen wird.

[DPG 2000, MPI für Festkörperforschung, Stuttgart]

## 2.6 Supraleiter Yttrium-Barium-Kupferoxid (YBCO)



Struktur YBa<sub>2</sub>Cu<sub>3</sub>O<sub>7</sub>



Entdeckung 1986 durch Bednarz und Müller (IBM)

Die supraleitenden Eigenschaften gehen auf die Kupferoxidschichten (CuO<sub>2</sub>) zurück.

[DPG 2000, K.F. Renk, Universität Regensburg]

## 2.6 Supraleiter

## Video: Supraleitende Magnetschwebebahn







## 2.6 Supraleiter Übersicht der supraleitenden Werkstoffe



### **Supraleitende Werkstoffe**

### Metalle

weisen eine niedrige Sprungtemperatur auf und sind schon bei geringen magnetischen Flüssen normalleitend (Supraleiter 1. Art).

#### Keramiken

Wesentlich günstigere Eigenschaften haben keramische Werkstoffe, die erstmals 1986 von Bednorz und Müller beschrieben wurden (Nobelpreis 1987). Die Sprungtemperatur dieser Hochtemperatur-Supraleiter (HTSC) ist so hoch, dass sie mit flüssigem Stickstoff (T=77K) gekühlt werden können. Flüssiger Stickstoff ist günstig und ungiftig.

Supraleiter	$T_c/K$	$B_{c2}$ / T	Supraleiter
Hg	4,2	$B_0 = 0.0412$	1. Art
NbTi	10,6	11,8	2. Art
Nb <sub>3</sub> Sn	18	20	2. Art
YBa <sub>2</sub> Cu <sub>3</sub> O <sub>7</sub>	93	30 – 60	HTSC
Bi <sub>2</sub> Sr <sub>2</sub> CaCu <sub>2</sub> O <sub>8</sub>	85	30 – 60	HTSC
Bi <sub>2</sub> Sr <sub>2</sub> Ca <sub>2</sub> Cu <sub>3</sub> O <sub>10</sub>	110	100 – 200	HTSC
Te <sub>2</sub> Ca <sub>2</sub> Ba <sub>2</sub> Cu <sub>3</sub> O <sub>x</sub>	135	100 – 200	HTSC

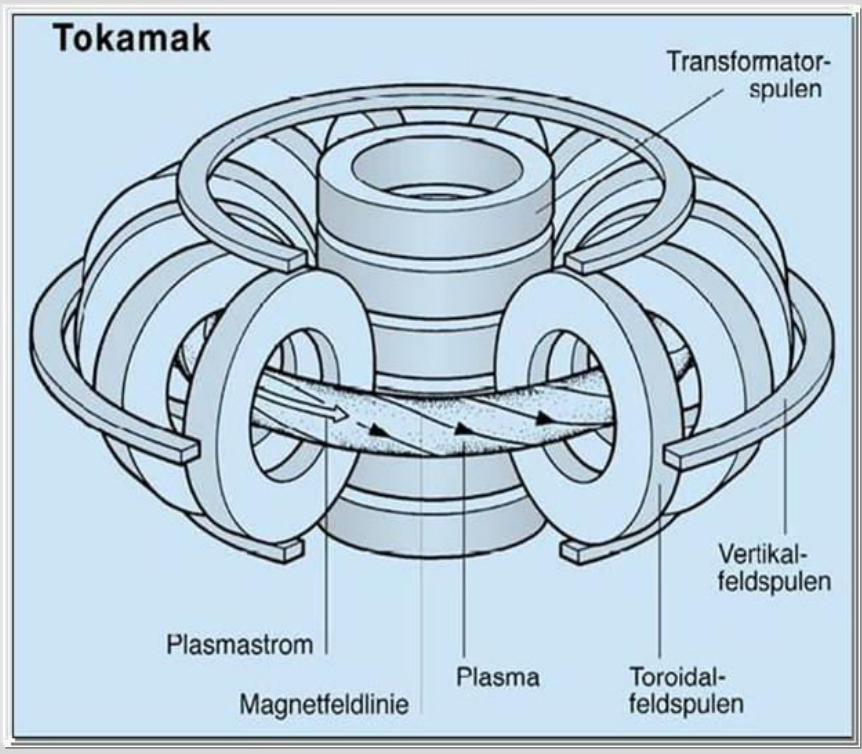
[Schaumburg 1993, Internet]

Prof. Dr.-Ing. Ellen Ivers-Tiffée – Passive Bauelemente

# 2.6 Supraleiter Erzeugung starker Magnetfelder (Teilchenbeschleuniger, Kernfusion)





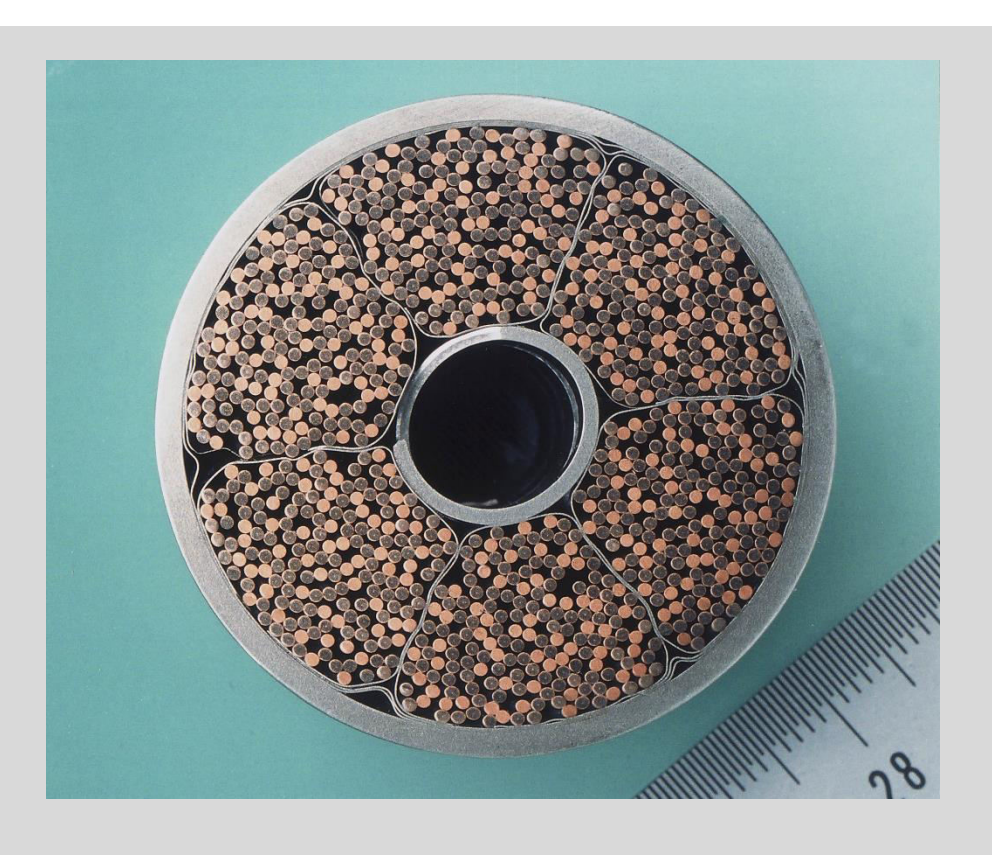


Plasmagefäß ASDEX Upgrade

[IPP – Kernfusion, 44, 15]

## 2.6 Supraleiter The ITER TF Model Coil Conductor

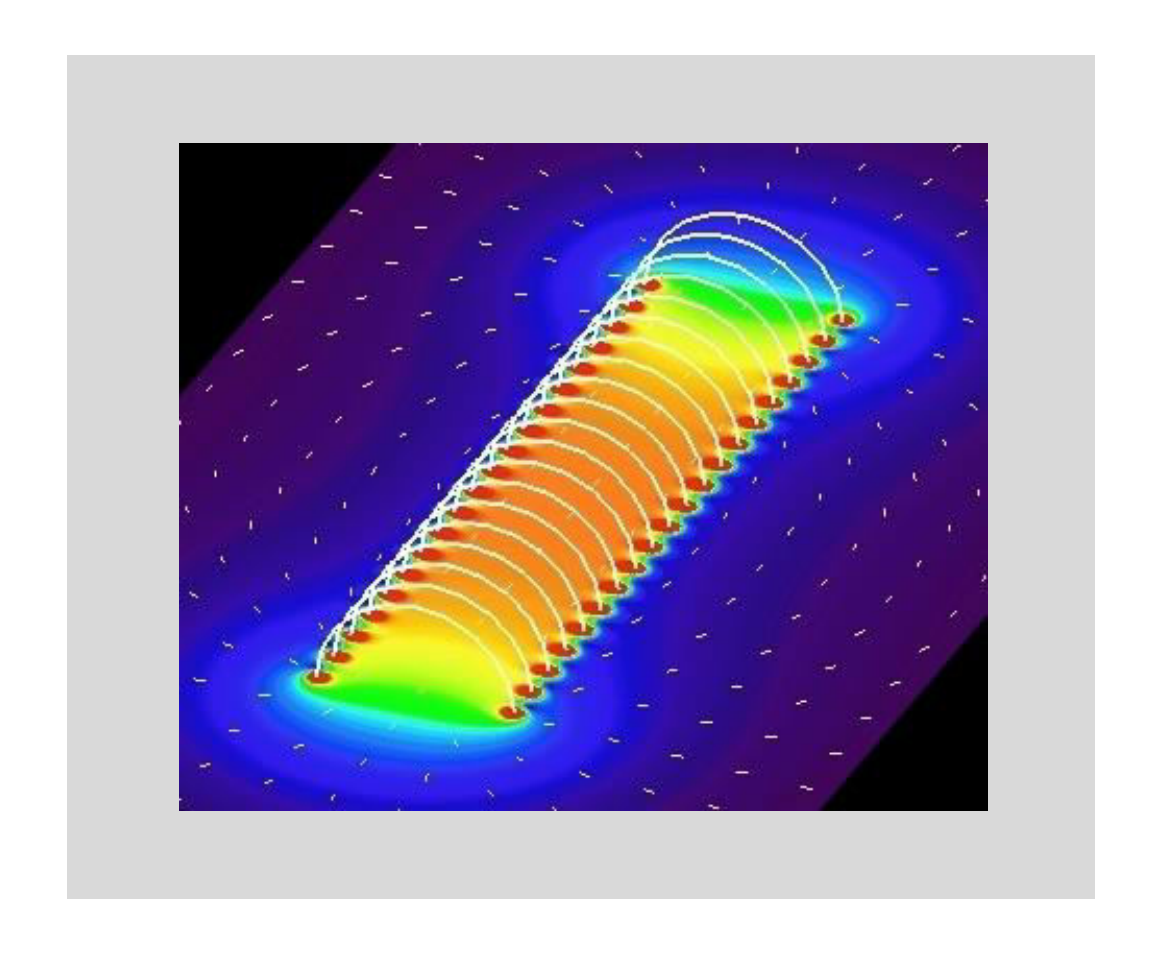




40 mm ø in 1.5 mm steel conduit rated current: 70 kA/11.8 T/4,6 K,  $\sim$  1028 strands, Nb $_3$ Sn + 1/3 Cu

## **Kapitel 4 Magnetische Werkstoffe und ihre Bauelemente**





## **Kapitel 4 Magnetische Werkstoffe und ihre Bauelemente**



4.1	Einführung
T. I	

- 4.2 Grundlagen
- 4.3 Polarisationsmechanismen
- 4.4 Magnetische Hysterese
- 4.5 Verhalten von Magnetika im Wechselfeld
- 4.6 Bauelemente und Anwendungen



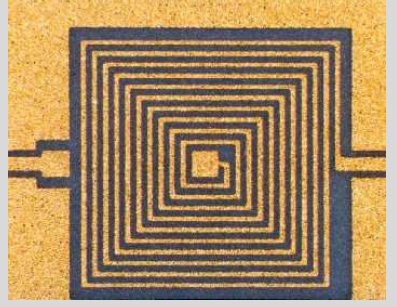
## 4.1 Einführung Anwendung von magnetischen Werkstoffen in Bauelementen (1)



### Spulen







[www.fzk.de/anka]

### Speicher





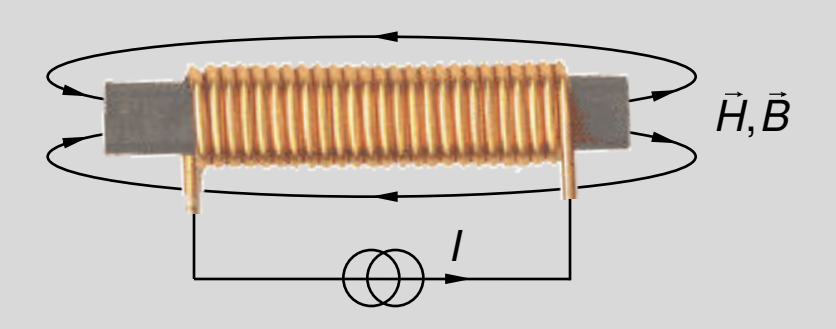
[www.walenz.org]

## 4.2 Grundlagen Magnetisches Verhalten von Werkstoffen



#### Feldstärke H und Flussdichte B

Die magnetische Feldstärke *H* wird durch einen elektrischen Strom *I* erzeugt. Die magnetische Flussdichte *B* ist über die Kraftwirkung auf eine bewegte Ladung definiert (nach Lorentz).



#### Definition: relative Permeabilitätszahl

In linearer, isotroper Materie ist die angelegte magnetische Feldstärke *H* proportional zur magnetischen Flussdichte *B*.

$$\vec{B} = \mu_0 \cdot \mu_r \cdot \vec{H}$$

 $\mu_r$ : relative Permeabilitätszahl (des Werkstoffs)

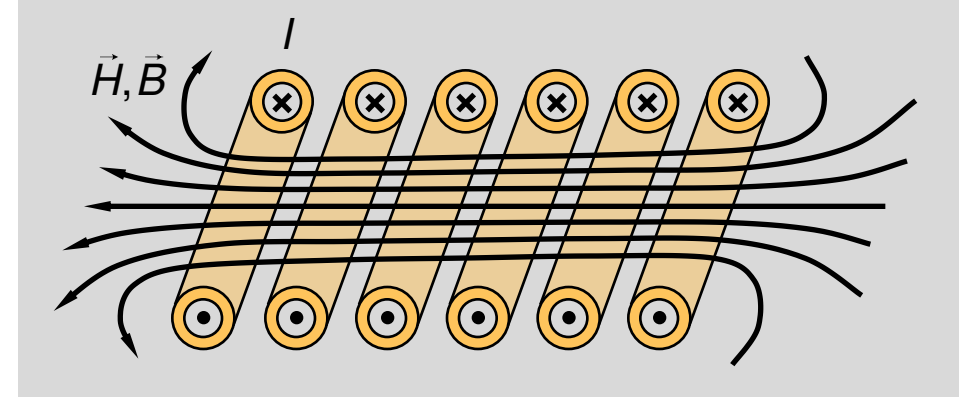
 $\mu_0$ : magnetische Feldkonstante (des Vakuums)

Die physikalische Deutung dieser Beziehung, die Behandlung nichtlinearer Materie sowie die Querempfindlichkeit der Permeabilitätszahl zu anderen physikalischen Größen (z.B. Temperatur) und die Anwendung in Bauelementen ist Gegenstand des folgenden Kapitels.

## 4.2 Grundlagen Magnetisierung von Materie

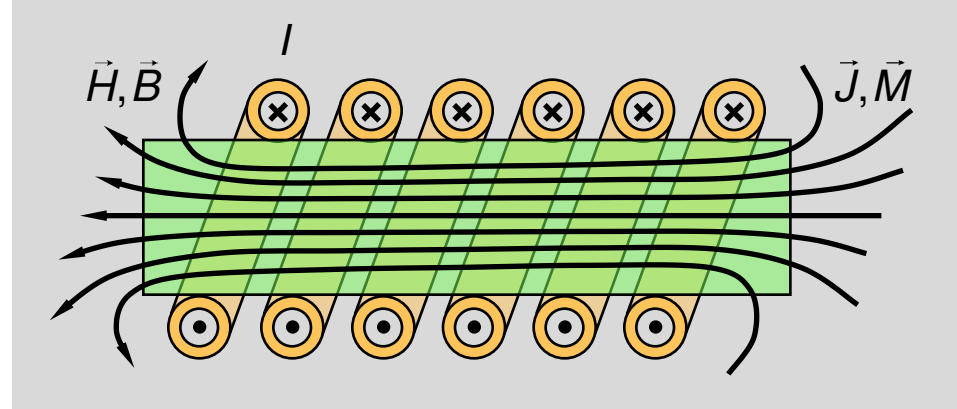


#### Flussdichte im Vakuum



 $B_0$ : magnetische Vakuumflussdichte

#### Flussdichte in Materie



: magnetische Polarisation

: Magnetisierung

$$\vec{B}_0 = \mu_0 \cdot \vec{H}$$

magnetische Feldkonstante  $\mu_0 = 4 \ \pi \cdot 10^{-7} \ \text{Vs/Am}$ 

$$\vec{B} = \mu_0 \cdot \vec{H} + \vec{J}$$

$$\vec{B} = \mu_0 \cdot (\vec{H} + \vec{M})$$

$$\vec{B} = \mu_0 \cdot \vec{H} + \vec{J}$$

$$\vec{B} = \mu_0 \cdot (\vec{H} + \vec{M})$$

$$\vec{J} = \mu_0 \cdot \vec{M}$$

$$J, M = \text{fkt } (H, T, ...)$$

## 4.2 Grundlagen

## Permeabilitätszahl und Suszeptibilität in linearer Materie



Flussdichte in Materie (allg.)

$$B = \mu_0 \cdot H + J = \mu_0 \cdot (H + M)$$

In linearer Materie sind Feldstärke und Polarisation (Magnetisierung) proportional:

$$J = \mu_0 \cdot \chi_m \cdot H \quad (M = \chi_m \cdot H)$$

 $\chi_m$ : magnetische Suszeptibilität

Daher gilt  $B = \mu_0 \cdot (1 + \chi_m) \cdot H$ 

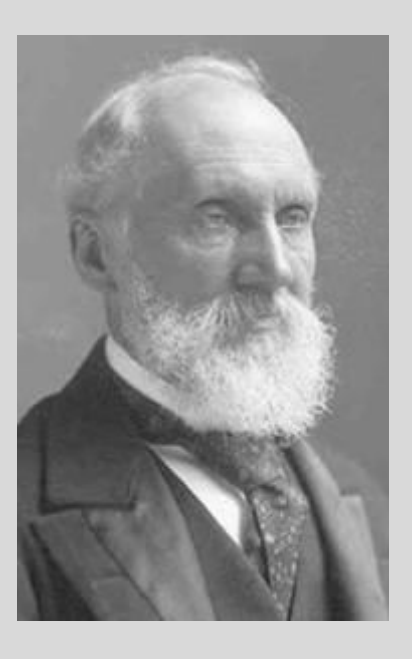
Definition: relative Permeabilitätszahl

$$\mu_r = 1 + \chi_m$$



$$\vec{B} = \mu_0 \cdot \mu_r \cdot \vec{H}$$
 in linearer Materie

William Thomson, Lord Kelvin \* 1824 † 1907



William Thomson führt 1850 die magnetische Permeabilität und Suszeptibilität ein.

## 4.2 Grundlagen Analogien zwischen Magnetika und Dielektrika (1)



### Magnetika

Magnetische Feldstärke H [A/m] Magnetische Flussdichte/Induktion B [Vs/m²] Magnetische Polarisation J [Vs/m²] Magnetisierung M [A/m]

$$B = \mu_0 \cdot H + J = \mu_0 \cdot (H + M)$$

#### In linearer Materie

$$B = \mu_0 \cdot \mu_r \cdot H$$

$$J = \mu_0 \cdot \chi_m \cdot H$$

$$M = \chi_m \cdot H$$

$$\mu_r = 1 + \chi_m$$

#### Dielektrika

Elektrische Feldstärke *E* [V/m]
Dielektrische Verschiebungsdichte *D* [As/m²]
Dielektrische Polarisation *P* [As/m²]
(-)

$$D = \varepsilon_0 \cdot E + P$$

#### In linearer Materie

$$D = \varepsilon_0 \cdot \varepsilon_r \cdot E$$

$$P = \varepsilon_0 \cdot \chi_e \cdot E$$

$$(-)$$

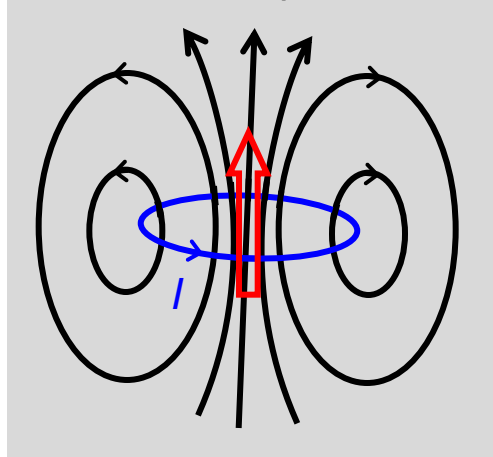
$$\varepsilon_r = 1 + \chi_e$$

## 4.2 Grundlagen Analogien zwischen Magnetika und Dielektrika (2)

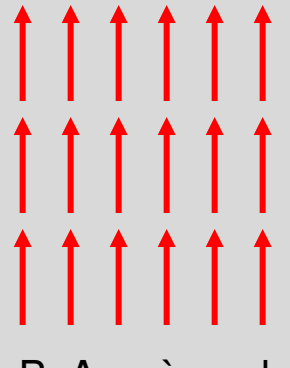


### Magnetika

mikroskopisch



magnetisches Moment  $\mu_M = i \cdot A$  makroskopisch

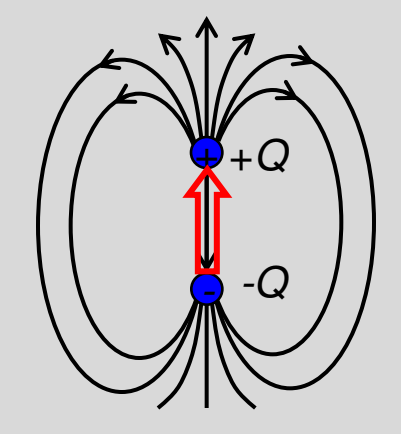


z.B. Ampèresche Kreisströme

magnetische Polarisation  $J = n \cdot \mu_M$ 

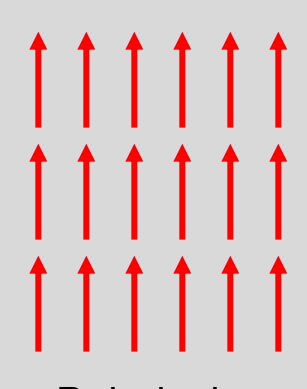
### Dielektrika

mikroskopisch



elektrisches Dipolmoment  $\mu_P = Q \cdot d$ 

makroskopisch



z.B. induzierte elektrische Dipole

dielektrische Polarisation

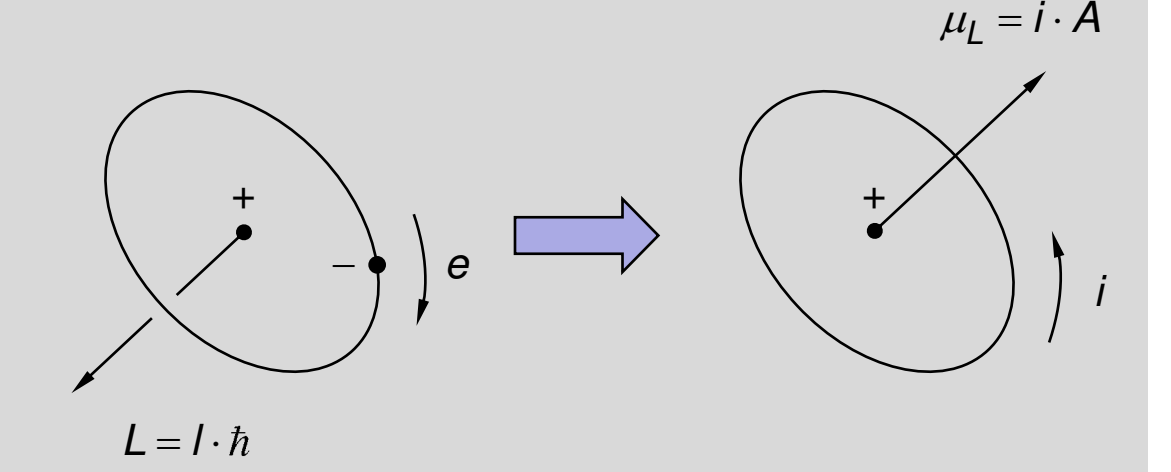
$$P = n \cdot \mu_P$$

[Arlt 1989]

## 4.3 Polarisationsmechanismen Magnetische Momente der Atome (1)



### Bahndrehimpuls der Elektronen



L: Bahndrehimpuls der Elektronen

I : Drehimpulsquantenzahl (ganze Zahl, vgl. Kap. 1.1)

 $\mu_{L}$ : magnetisches Moment der Bahndrehung

*i*: atomarer Kreisstrom

A: Fläche der Kreisbahn

 $\hbar$ : Plancksches Wirkungsquantum

### Quantisierter Bahndrehimpuls

$$L = I \cdot \hbar = m_e \cdot \omega \cdot r^2$$

$$\to \omega = I \cdot \frac{\hbar}{m_e \cdot r^2}$$

**Atomarer Kreisstrom** 

$$i = \frac{q}{t} = \frac{e_0 \cdot v}{2\pi \cdot r} = \frac{e_0 \cdot \omega}{2\pi}$$

### Magnetisches Bahnmoment

$$\mu_{L} = \frac{e_{0}\omega}{2\pi} \cdot \pi r^{2} = I \cdot \frac{e_{0}\hbar}{2m_{e}} \equiv I \cdot \mu_{B}$$

 $\mu_B$ : Bohrsches Magneton

## 4.3 Polarisationsmechanismen Magnetische Momente der Atome (2)



### **Bohrsches Magneton**

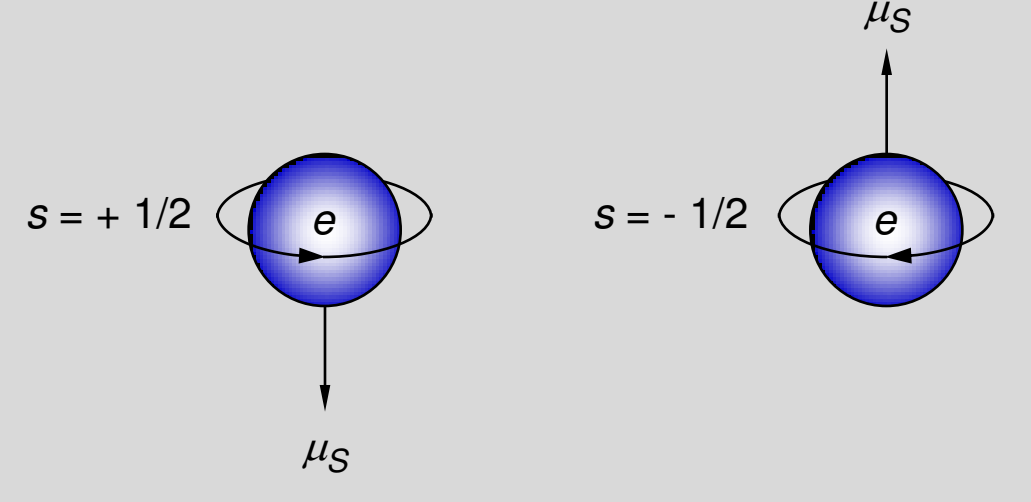
Elementarquantum magnetischer Momente, d.h. das Bahnmoment tritt in Vielfachen des Bohrschen Magnetons  $\mu_B$  auf.

$$\mu_B = \frac{e_0 \cdot h}{4\pi \cdot m_e}$$

#### Zahlenwert:

$$\mu_B = 9.27 \cdot 10^{-24} \text{ Am}^2$$

### Eigendrehimpuls der Elektronen (Spin)



s: Eigendrehimpulsquantenzahl (vgl. Kap. 1.1)  $\mu_S$ : magnetisches Moment der Eigendrehung

Für das magnetische Moment ergibt sich:

$$\mu_S = 2\mu_B \cdot s = \pm \mu_B$$

## 4.3 Polarisationsmechanismen Überblick



#### **Schwache Formen**

### **Diamagnetismus**

Induzierung atomarer magnetischer Momente entgegen der Richtung des äußeren Magnetfelds

### **Paramagnetismus**

Ausrichtung permanent vorhandener atomarer magnetischer Momente in Richtung des äußeren Magnetfelds

#### **Starke Formen**

### **Ferromagnetismus**

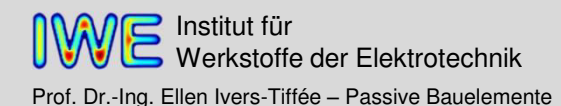
Spontane Parallelstellung aller magnetischen Momente in einer Domäne des Kristallgitters (nur bei metallischen Leitern)

### **Antiferromagnetismus**

Vollständige Kompensation aller magnetischen Momente durch Antiparallelstellung

#### **Ferrimagnetismus**

Spontane Orientierung der magnetischen Momente in einer Domäne durch Parallelstellung überwiegend in einer Richtung



## 4.3 Polarisationsmechanismen Einteilung der magnetischen Stoffklassen (1)



$$\mu_r < 1 , \chi_m < 0$$

### **Diamagnetismus**

linear (d.h. unabhängig von *H*) praktisch temperaturunabhängig

Wirkung: sehr schwach\*

$$\mu_r = 1 , \chi_m = 0$$

### magnetisch neutrale Stoffe

idealisierter Grenzfall

$$\mu_r > 1 , \chi_m > 0$$

### Para- und Antiferromagnetismus

praktisch linear (beachte Sättigung) temperaturabhängig

Wirkung: schwach/mäßig

$$\mu_r \gg 1$$
,  $\chi_m > 0$ 

### Ferro- und Ferrimagnetismus

nichtlinear und Hysterese temperaturabhängig

Wirkung: stark

<sup>\*</sup> Ausnahme Supraleiter, die mit  $\chi_m = -1$  ideale Diamagnete sind

## 4.2 Grundlagen Einteilung der magnetischen Stoffklassen (2)



Magnetische Suszeptibilität $\chi_m$ der Elemente																	
1	2	3	4	5	6	7	8	9	10	11	12	13	14	15	16	17	18
H (-2,5)	$ a_{2,5)} $ alle Angaben gelten für 300 K, bei														He (-1,1)		
Li 24	Be -23													Ne (-4,0)			
Na 8,1	Mg 5,7		Al Si P S Cl 21 -3,4 -23 -12 (-22)												Ar (-11)		
K 5,7	Ca 21	Sc 264	Ti 181	V 383	Cr 267	Mn 828	Fe 2,16	Co 1,76	Ni 0,61	Cu -9,7	Zn -12	Ga -23	Ge -7,3	As -5,4	Se -18	Br -16	Kr (-16)
Rb 4,4	Sr 36	Y 122	Zr 109	Nb 236	Mo 119	Tc 373	Ru 66	Rh 170	Pd 783	Ag -25	Cd -19	In -8,2	Sn 2,4	Sb -67	Te -24	I -22	Xe (-24)
Cs 5,3	Ba 6,7	La 63	Hf 71	Ta 175	W 78	Re 96	Os 15	Ir 37	Pt 264	Au -34	Hg -28	Tl -36	Pb -16	Bi -153	Po	At	Rn
	diamagnetisch paramagnetisch						etisch		ferro	magne	etisch			n ohne	~/	O <sup>-6</sup>	

[Münch 1987]

## 4.3 Polarisationsmechanismen Diamagnetismus (1)



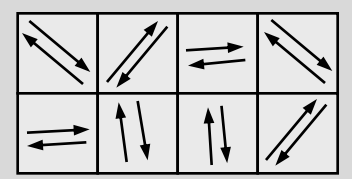
Voraussetzungen:

Atome mit abgeschlossenen Orbitalen

Magnetisches Moment:

Ohne äußeres Feld kein magnetisches Moment Kompensation der Spinmomente

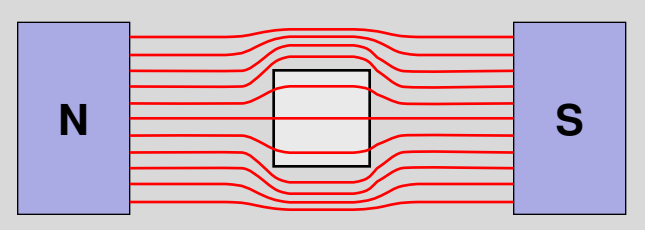
Richtung der Momente (H = 0):



Permeabilität/Suszeptibilität:

 $\mu_r < 1$ ,  $\chi_m < 0$  (sehr schwach ausgeprägt)

Wirkung auf den Feldlinienverlauf in einem homogenen Feld: (schematisch)



Werkstoffe:

Edelgase, Ionenkristalle, Halbleiter, Cu, Au, Ag

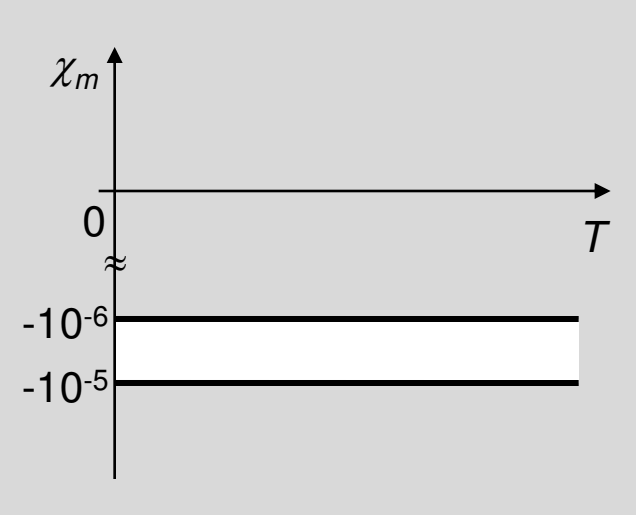
[Hahn 1983]

## 4.3 Polarisationsmechanismen Diamagnetismus (2)



### Beispiele

Ge: 
$$\chi_m \cong -7 \cdot 10^{-6}$$
 H<sub>2</sub>O:  $\chi_m \cong -9 \cdot 10^{-6}$ 



$$H = 0$$





keine magnetischen Dipole  $\mu_B$ 



$$\Theta \Theta \Theta S$$



induzierte magnetische Dipole  $\mu_{ind}$ 

[Callister 1994]

$$\overline{\mu}_{ind} = -\frac{e_0^2 \cdot r^2}{6m_e} B$$

$$\chi_m = -\mu_0 \cdot N \cdot \frac{{e_0}^2 \cdot r^2}{6m_e}$$

• 
$$|\chi_m| \cong 10^{-5}...10^{-6} \rightarrow \mu_r \approx 1$$

•  $\chi_m$  praktisch temperaturunabhängig

## 4.3 Polarisationsmechanismen Paramagnetismus (1)



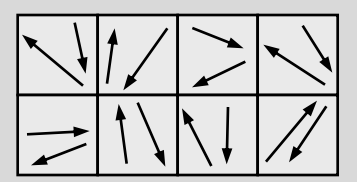
Voraussetzungen:

Atome mit unabgeschlossenen Orbitalen

Magnetisches Moment:

Moment klein, auch ohne äußeres Feld vorhanden Regellose Verteilung der Momentrichtungen

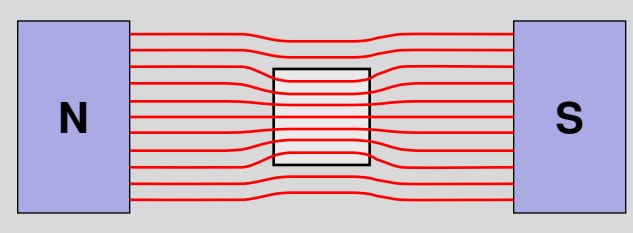
Richtung der Momente (H = 0):



Permeabilität/Suszeptibilität:

 $\mu_r > 1$ ,  $\chi_m > 0$  (schwach ausgeprägt)

Wirkung auf den Feldlinienverlauf in einem homogenen Feld: (schematisch)



Werkstoffe:

Alkali- und Übergangsmetalle, Seltene Erden O<sub>2</sub>, Al, Sn, Pt

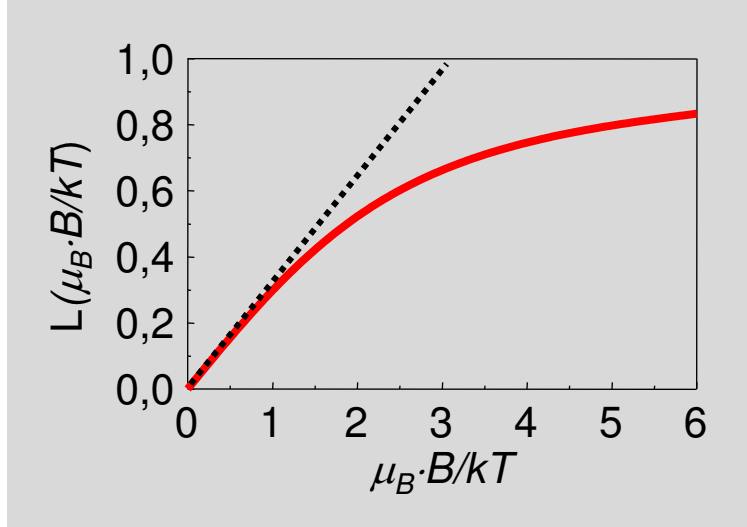
[Hahn 1983]

## 4.3 Polarisationsmechanismen Paramagnetismus (2)



#### Beispiele

Pt: 
$$\chi_m \cong 270 \cdot 10^{-6}$$
 Al:  $\chi_m \cong 22 \cdot 10^{-6}$ 



$$H = 0$$



$$\Theta \oplus \Theta \odot$$

$$\bigcirc \bigcirc \bigcirc \bigcirc \bigcirc$$

Atome besitzen ein magnetisches Dipolmoment  $\mu_B$ 

$$H \qquad \mu_{M_i} = \mu_B \cdot \cos \Theta_i$$

$$\bigcirc$$
  $\bigcirc$   $\bigcirc$   $\bigcirc$ 

$$\Theta \Theta \Theta \Theta$$

$$\bigcirc$$
  $\bigcirc$   $\bigcirc$ 

H-Feld richtet die magnetischen Dipole μ<sub>B</sub> teilweise (sehr schwach) aus

[Münch 1993]

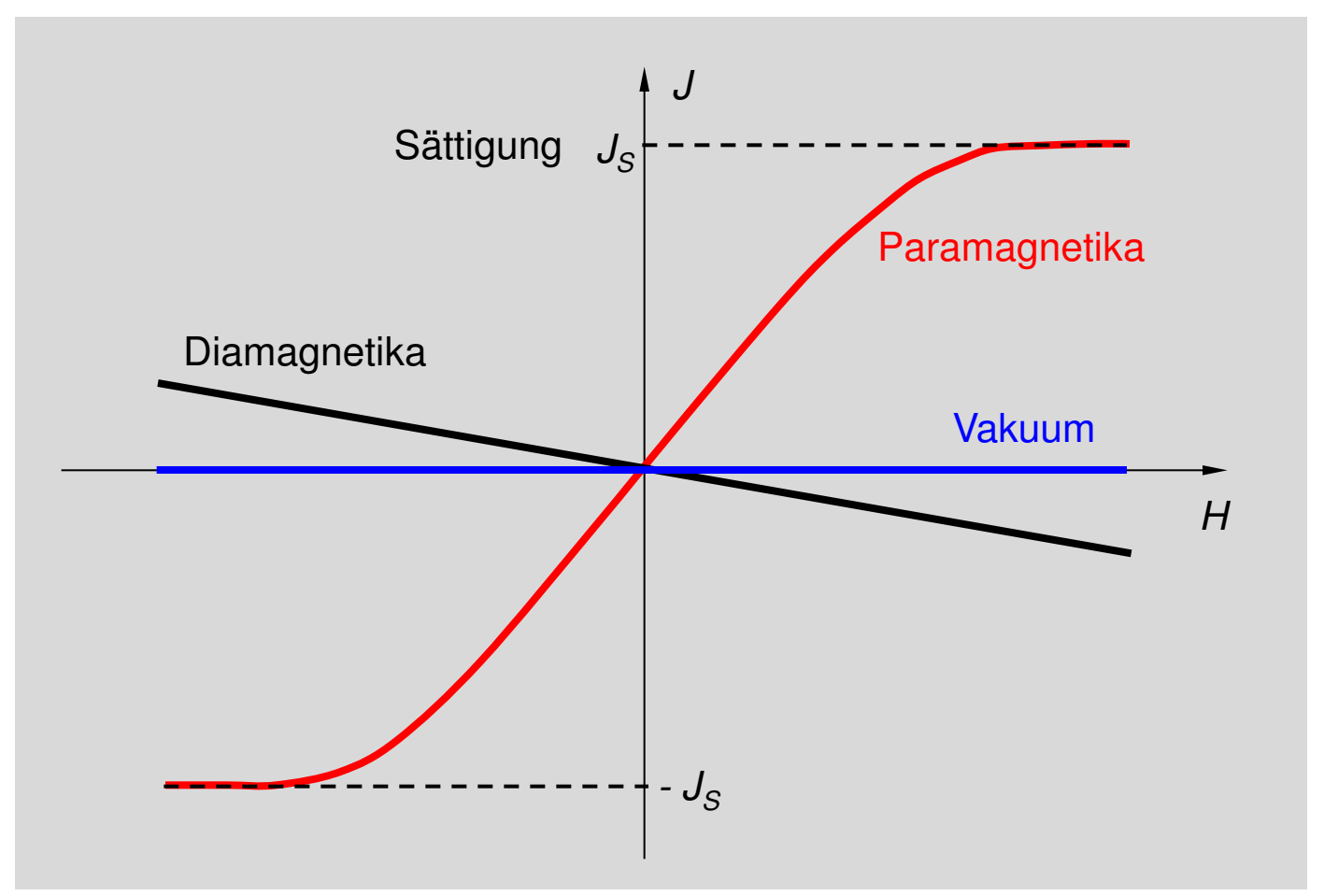
Ansatz wie in Kap. 3.2

$$M = \frac{1}{V} \sum_{i} \mu_{M_{i}} = N \mu_{B} \cdot L \left( \frac{\mu_{B}B}{kT} \right) \rightarrow \chi_{m} = \frac{\mu_{0} N \mu_{B}^{2}}{3kT}$$

- $|\chi_{\rm m}| \cong 10^{-3}...10^{-6} \rightarrow \mu_{\rm r} \approx 1$
- Temperaturabhängigkeit:  $\chi_m = C / T$  (Curie-Gesetz)
- k: Boltzmann-Konstante

### 4.3 Polarisationsmechanismen Magnetisierungskurven in Dia- und Paramagnetika





[Hahn 1983]

## 4.3 Polarisationsmechanismen Magnetische Ordnungszustände (1)



Ausrichtung der magnetischen Elektronenspins in den 3d-Zuständen nach der Hundschen Regel.

Sc 21 ↑	Ti 22 ↑↑	V 23 ↑↑↑	Cr 24 ↑↑↑↑	
Mn,Mn <sup>2+</sup> 25 ↑↑↑↑↑	Fe,Fe <sup>2+</sup> 26 ↑↑↑↑↑ ↓	Co,Co <sup>2+</sup> 27 ↑↑↑↑↑ ↓↓	Ni,Ni <sup>2+</sup> 28 ↑↑↑↑↑ ↓↓↓	
Cr <sup>3+</sup> 24 ↑↑↑	Mn⁴+ 25 ↑↑↑	Fe <sup>3+</sup> 26 ↑↑↑↑↑	atomares magnetisches Moment: $\uparrow = \mu_B$ Bohrsches	
			Magneton	

Bei den Atomen bzw. Ionen der 3d-Schale treten resultierende magnetische Momente bis zu einem Wert von  $5\mu_B$  auf.

Unter "geeigneten" Bedingungen (siehe Bethe-Slater-Diagramm) führt die Wechselwirkung der Nettomomente benachbarter Atome bzw. Ionen zu einem räumlich ausgedehnten Ordnungszustand (Parallel- oder Antiparallelstellung der resultierenden Momente). Bei paralleler Ausrichtung der Momente ist die Wirkung des Magnetismus sehr stark ausgeprägt.

Räumliche Bereiche gleichartiger Ordnungszustände nennt man **Domänen** oder **Weißsche Bezirke**.

## 4.3 Polarisationsmechanismen Magnetische Ordnungszustände (2)

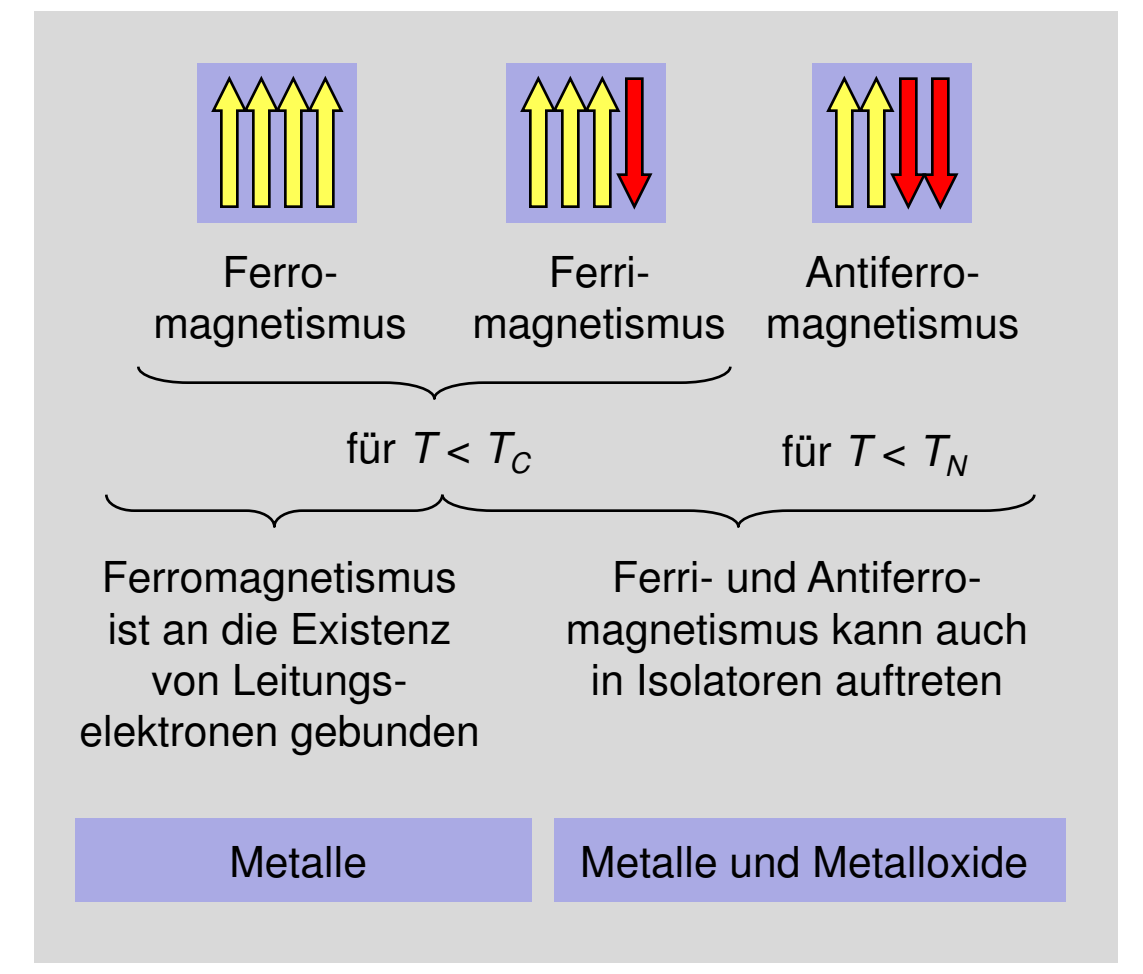


Die magnetischen Ordnungszustände innerhalb einer Domäne werden in drei Klassen unterteilt (Ferro-, Ferri- und Antiferromagnetismus).

Beim Überschreiten einer bestimmten Temperatur werden die magnetischen Ordnungszustände und damit die Magnetisierung zerstört. Jenseits davon verhalten sich die Substanzen paramagnetisch.

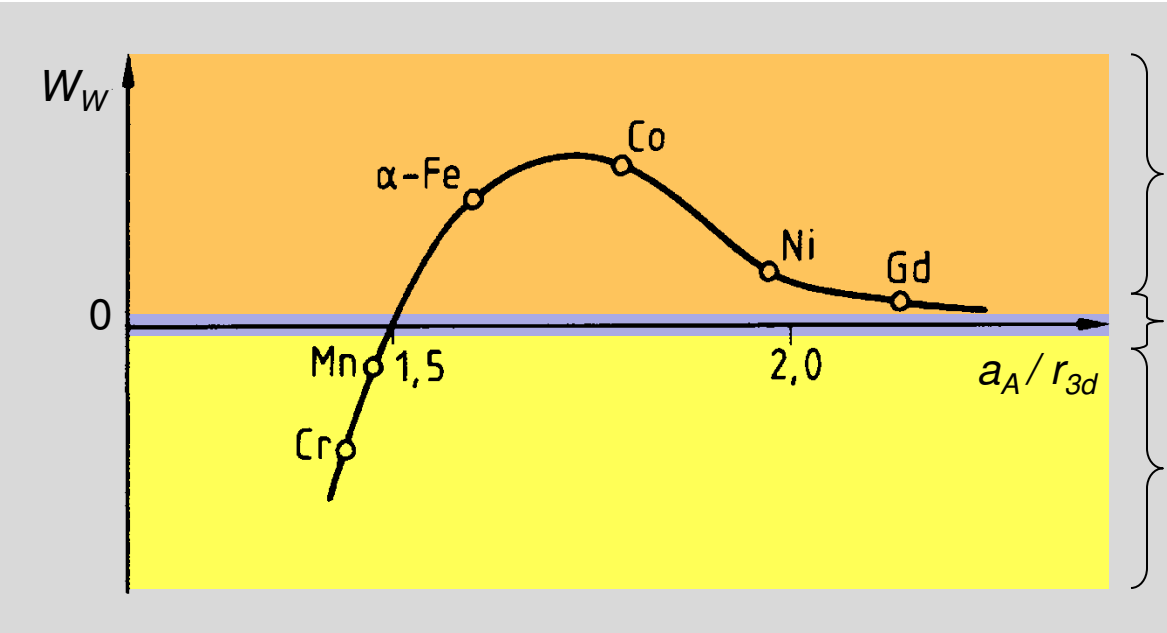
 $T_C$ : Curie-Temperatur

 $T_N$ : Néel-Temperatur



## 4.3 Polarisationsmechanismen Bethe-Slater-Diagramm





 $W_W > 0$ : Ferromagnetismus (parallele Momente)

W<sub>W</sub> klein: Paramagnetismus

 $W_W$  < 0: Antiferromagnetismus (antiparallele Momente)

 $W_W$ : Austauschwechselwirkungsenergie

 $\frac{a_A}{r_{3d}}$ : Atomabstand im Metall Radius der 3d-Schale

 $W_W > 0$ : Parallelstellung der magnetischen Momente

 $W_W < 0$ : Antiparallelstellung der magnetischen Momente

# 4.3 Polarisationsmechanismen Ferromagnetismus (1)



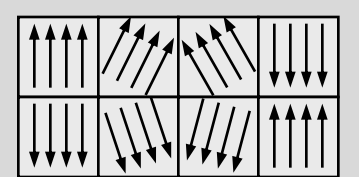
Voraussetzungen:

Atome mit unabgeschlossenen Orbitalen

Magnetisches Moment:

Moment groß, spontane Magnetisierung Weißsche Bezirke, Elementarmagnete

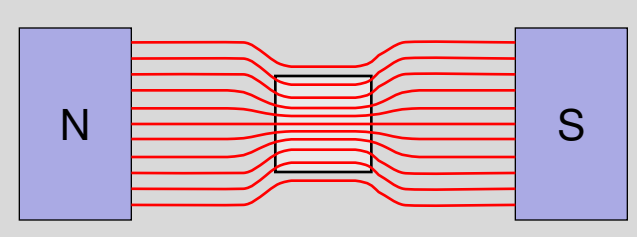
Richtung der Momente:



Permeabilität:

 $\mu_r >> 1$ ,  $\chi_m > 0$  (stärkste Form des Magnetismus)

Wirkung auf den Feldlinienverlauf in einem homogenen Feld: (schematisch)



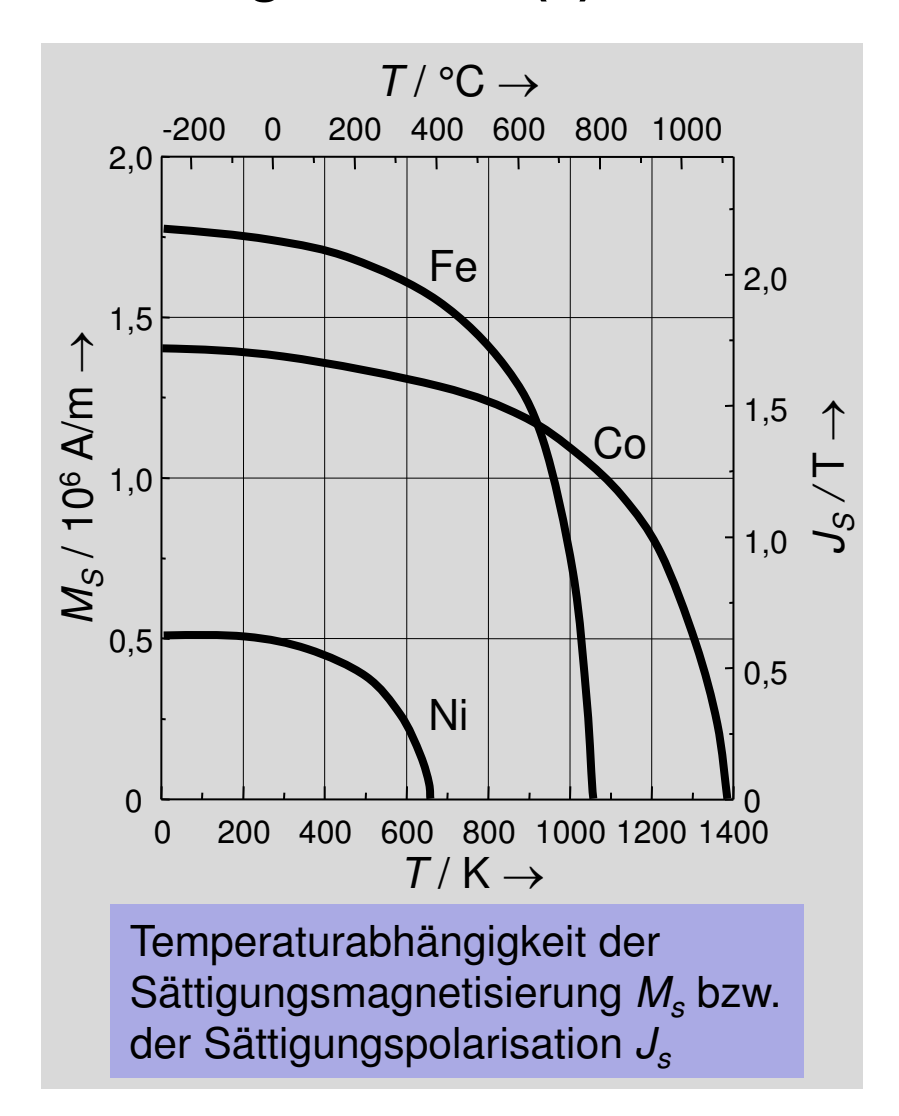
Werkstoffe:

Fe, Co, Ni, Legierungen

[Hahn 1983]

## 4.3 Polarisationsmechanismen Ferromagnetismus (2)





### Eigenschaften der Elemente Fe, Co, Ni

	Eisen	Kobalt	Nickel
Ordnungszahl	26	27	28
Atomgewicht	55,8	58,9	58,7
Gitterstruktur	krz	hdp	kfz
Gitterkonstante a	2,86	2,50	3,52
Gitterkonstante c	-	4,06	-
spez. Gewicht / (g/cm³)	7,9	8,8	8,9
Schmelzpunkt / °C	1536	1495	1453
Curie-Temperatur	770	1130	358
Sättigungsmagnetisierung / (10 <sup>5</sup> A/m)	17,3	14,4	5,1
spontane Magnetisierung (300 K) / (10 <sup>5</sup> A/m)	17,1	14,2	4,9
Sättigungspolarisation / T	2,18	1,81	0,64
spontane Polarisation (300 K) / T	2,16	1,78	0,61

### Sättigungswerte der Magnetisierung M<sub>S0</sub>

 $M_{S0,Fe}$ :  $N_{Fe} \cdot 4\mu_B$  (2,2)  $M_{S0,Co}$ :  $N_{Co} \cdot 3\mu_B$  (1,7)

 $M_{S0,Ni}$ :  $N_{Ni} \cdot 2\mu_B$  (0,6) experimentelle Daten magnetische Momente Atomkonzentration

# 4.3 Polarisationsmechanismen Antiferromagnetismus (1)



Voraussetzungen:

unabgeschlossene Orbitale, sehr geringer Atomabstand

Magnetisches Moment:

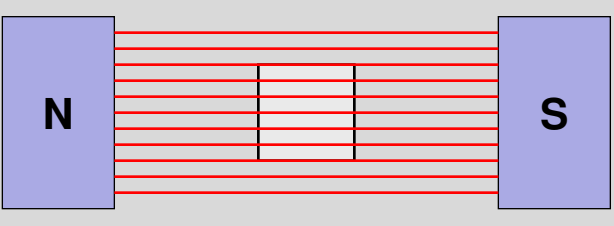
in jedem Atom wird die Magnetisierung vollständig kompensiert

Richtung der Momente:

Permeabilität:

 $\mu_r \approx 1$ ,  $\chi_m \approx 0$  (schwache Ausprägung)

Wirkung auf den Feldlinienverlauf in einem homogenen Feld: (schematisch)



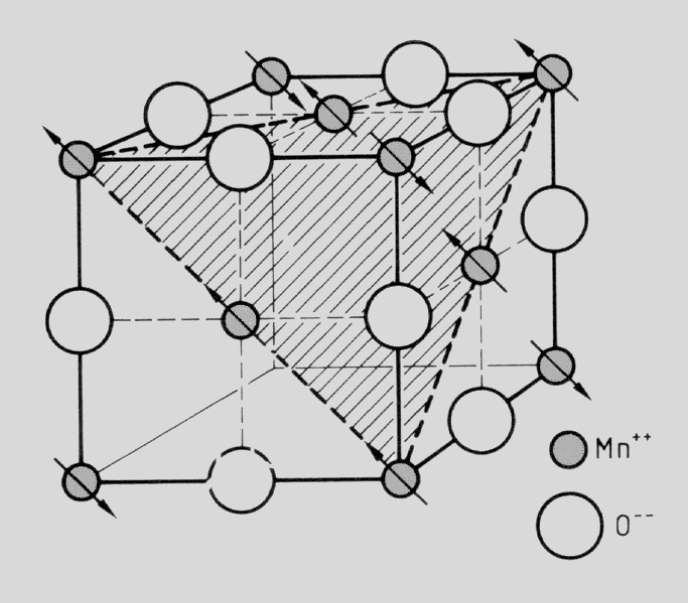
Werkstoffe:

MnO, FeO, CoO, NiO und andere Oxidverbindungen

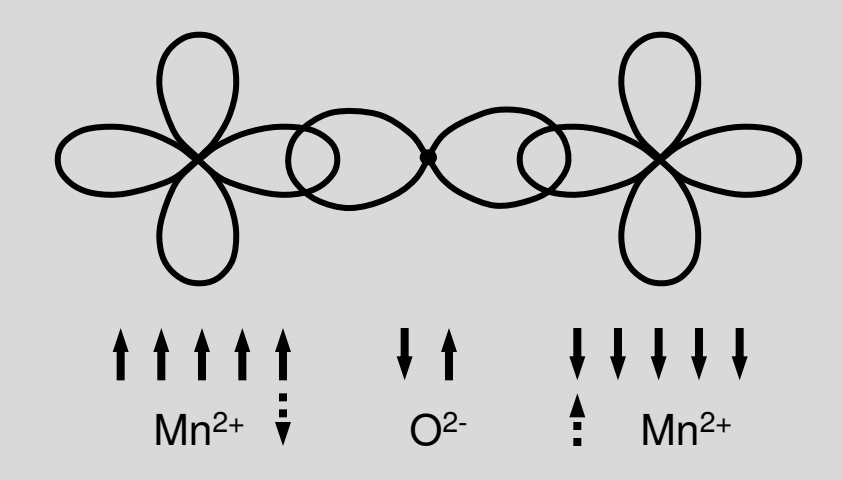
[Hahn 1983]

# 4.3 Polarisationsmechanismen Antiferromagnetismus (2)





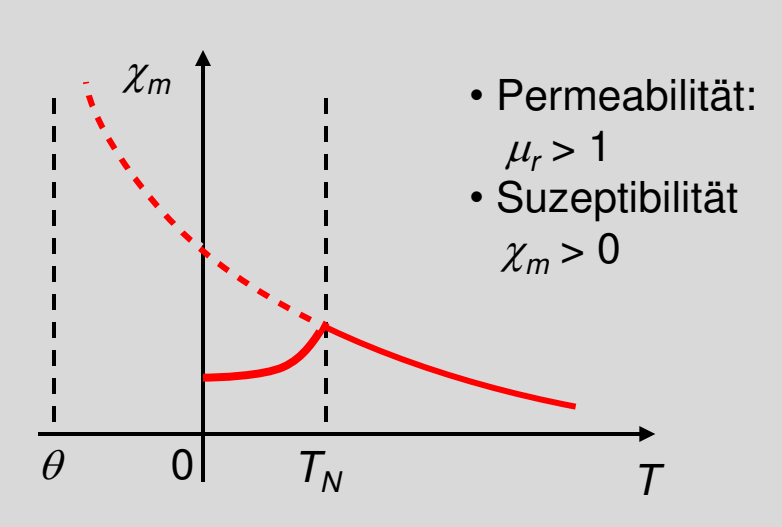
- Gitteraufbau und Spinorientierung bei Manganoxid (MnO)
- antiparallele Ausrichtung der Momente in Mn<sup>2+</sup> durch nichtmagnetische O<sup>2-</sup>-lonen



- Verteilung und Spinorientierung
   3d-Elektronen von Mn<sup>2+</sup> und
   2p-Elektronen des O<sup>2-</sup>
- teilweise Überlappung von 3d- und 2p-Orbitalen bewirkt (Hundsche Regel) eine antiparallele Orientierung der magnetischen Momente

# 4.3 Polarisationsmechanismen Antiferromagnetismus (3)

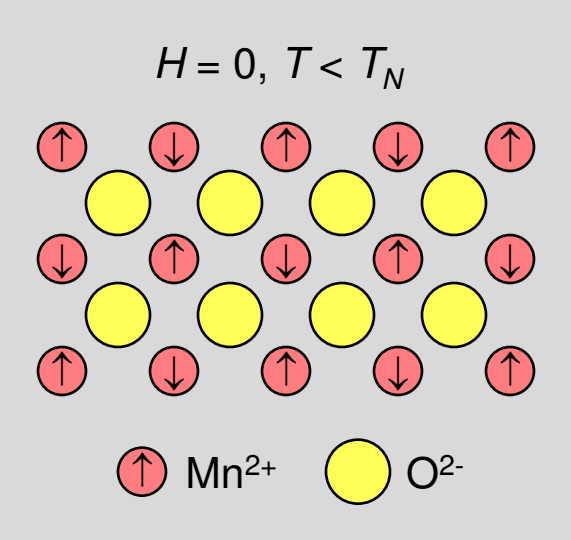




• Temperaturabhängigkeit  $T > T_N$ 

$$\chi_m = \frac{C}{T - \Theta}$$

(Curie-Weiß-Gesetz mit negativer Curietemperatur)



- Bei T < T<sub>N</sub> erfolgt Antiparallelstellung der magnetischen Dipole
- Bei  $T > T_N$  wird diese durch thermische Einflüsse zerstört

[Callister 1994]

## 4.3 Polarisationsmechanismen Ferrimagnetismus (1)



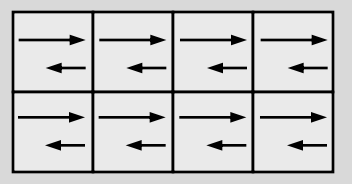
Voraussetzungen: Atome mit unabgeschlossenen Orbitalen

Gitterstruktur

Magnetisches Moment: Moment durch nicht vollständige

Kompensation vorhanden

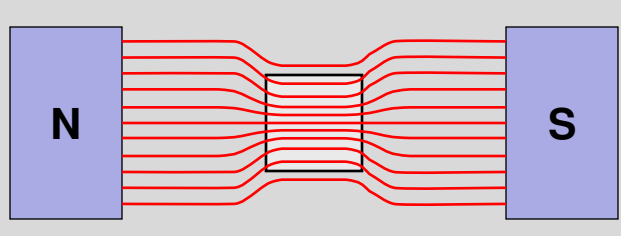
Richtung der Momente:



Permeabilität:

 $\mu_r >> 1$ ,  $\chi_m > 0$  (stark ausgeprägt, kleiner als Ferrom.)

Wirkung auf den Feldlinienverlauf in einem homogenen Feld: (schematisch)



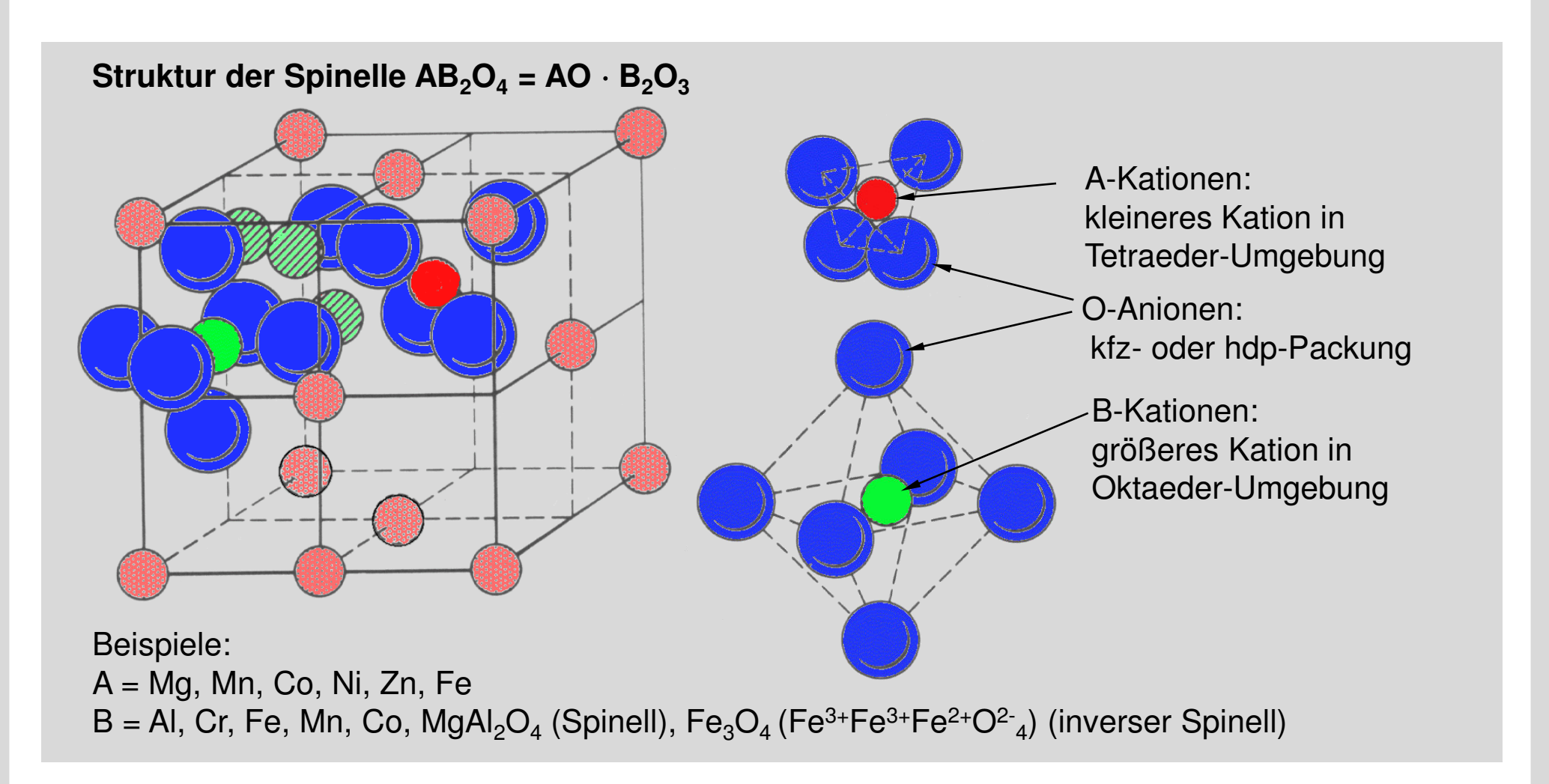
Werkstoffe:

sog. Ferrite: Spinelle (AB<sub>2</sub>O<sub>4</sub>)

[Hahn 1983]

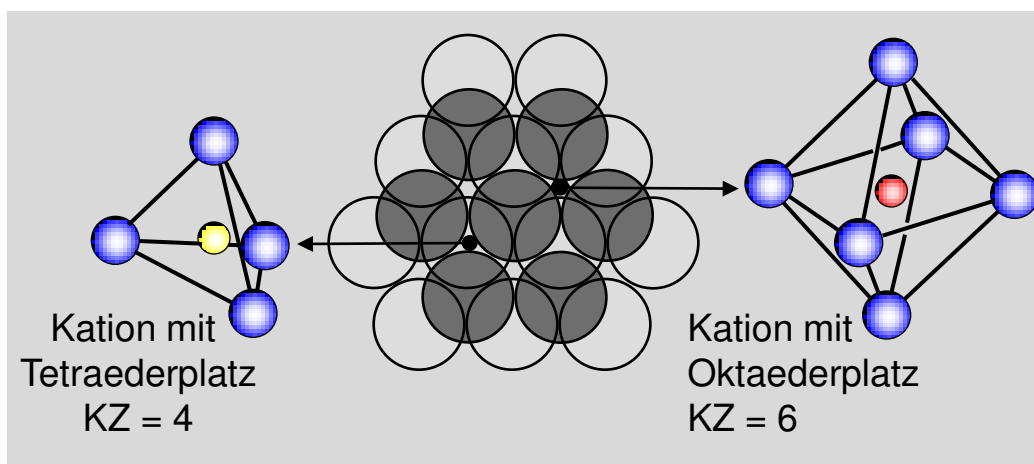
## 4.3 Polarisationsmechanismen Ferrimagnetismus (2)





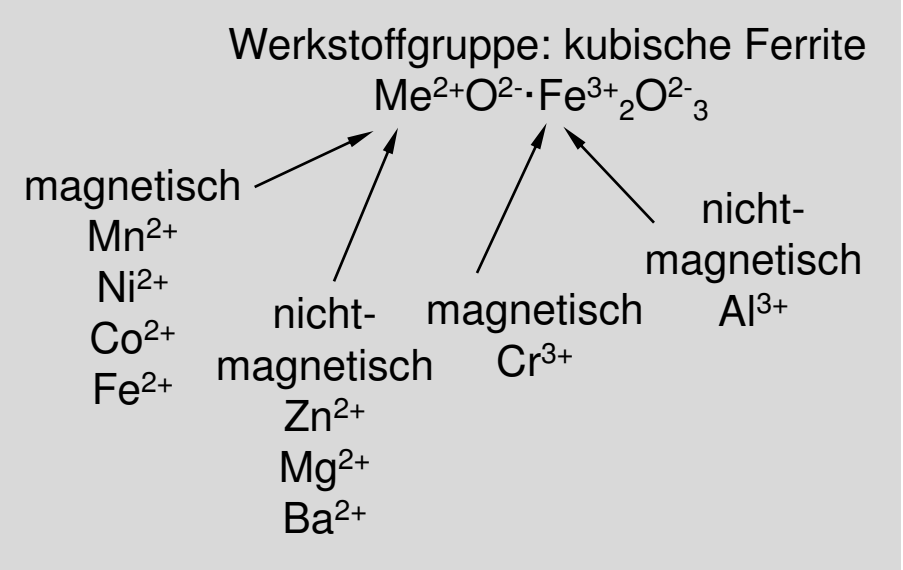
## 4.3 Polarisationsmechanismen Ferrimagnetismus (3)





#### Indirekte Austauschwechselwirkung

Spinorientierung der Tetraederplätze entgegengesetzt zur Spinorientierung der Oktaederplätze



Beispiel: Manganferrit MnO·Fe<sub>2</sub>O<sub>3</sub>

$$Mn_8^{2+} \Big[ Fe_{16}^{3+} \Big] O_{32}^{2-} -8.5 \mu_B + 16.5 \mu_B = 40 \mu_B$$

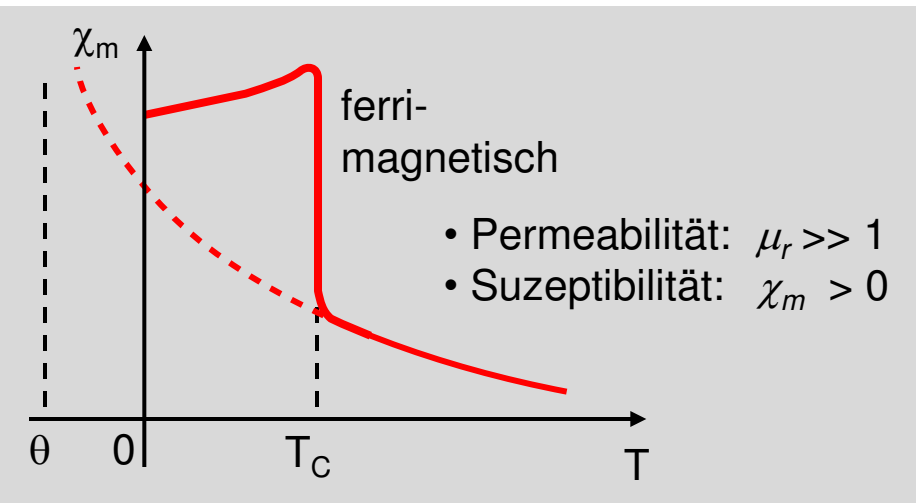
$$J_S = \mu_0 \cdot \frac{z \cdot \mu_B}{a^3}$$

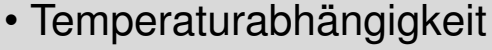
a: Gitterkonstante

resultierendes magnetisches Moment entspricht theoretischer Sättigungspolarisation  $J_S$ 

## 4.3 Polarisationsmechanismen Ferrimagnetismus (4)

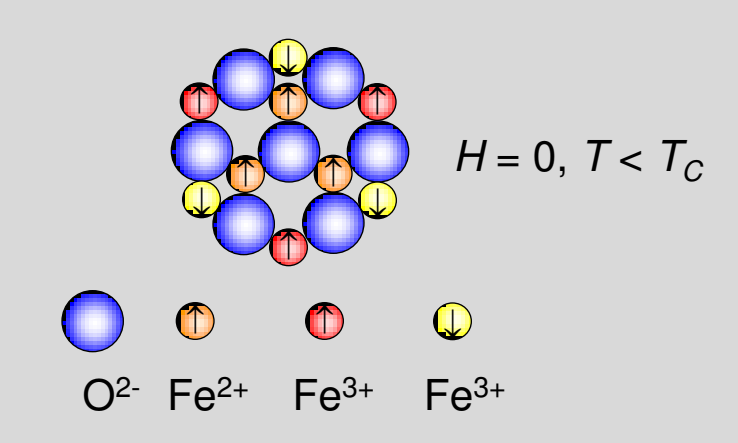






$$T > T_C$$
:  $\chi_m = \frac{C}{T - \Theta}$ 

 $T < T_C$ :  $\chi_m$  wird sehr groß



- Antiparallelstellung der magnetischen Dipole, die aber von unterschiedlicher Größe sind
- Bei  $T < T_C$  resultieren spontane Dipole auch bei H = 0, geringe Feldstärken genügen zur Ausrichtung in Feldrichtung

Werkstoffe: 
$$Fe_3O_4$$
  
 $T_C/K$ : 858

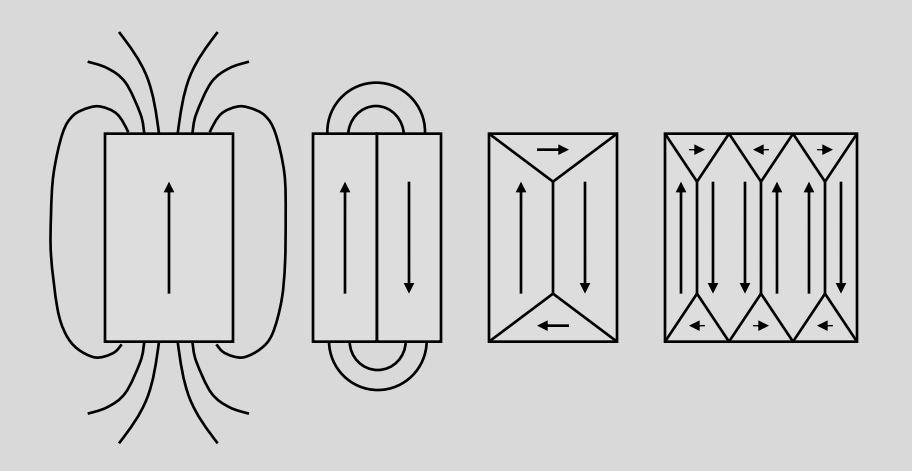
Mn-Zn-Ferrit 363-560

[Callister 1994 / Arlt 1989]

### 4.4 Magnetische Hysterese Ausbildung von Domänen bei Ferro- und Ferrimagnetika



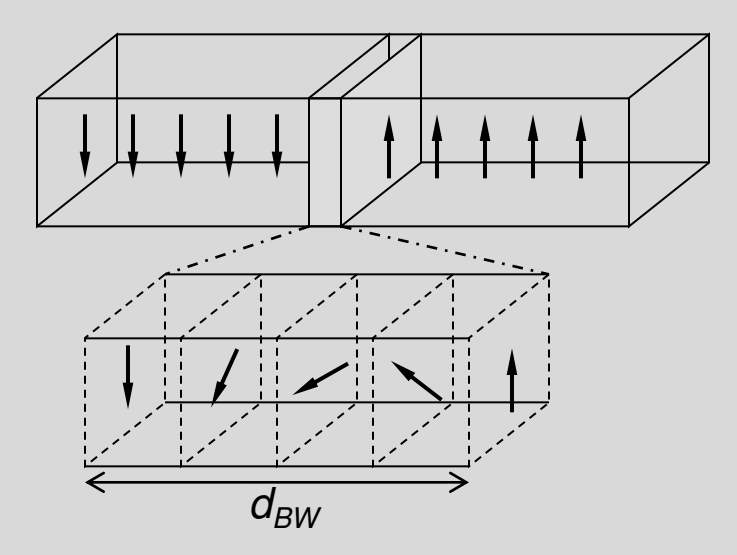
#### Domänenbildung (Weißsche Bezirke)



räumliche Ausbildung der Domänen minimiert Gesamtenergie des Systems.

Bloch-Wand: Grenzflächen der Weißschen Bezirke

#### Domänen mit 180° Bloch-Wand

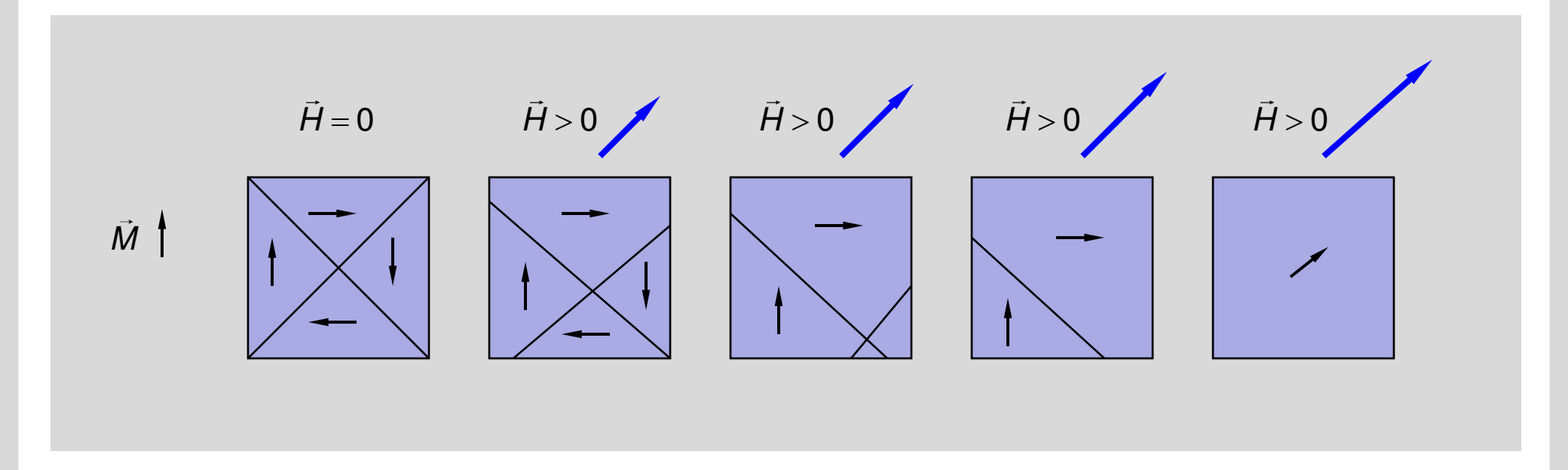


Umkehrung der Magnetisierungsrichtung in der Bloch-Wand ist über eine Reihe von Dipolen verteilt.

 $d_{BW}(Co) \approx 60 \text{ nm (ca. 250 Atomlagen)}$ 

### 4.4 Magnetische Hysterese Domänenwachstum bei ansteigender magnetischer Feldstärke (1)

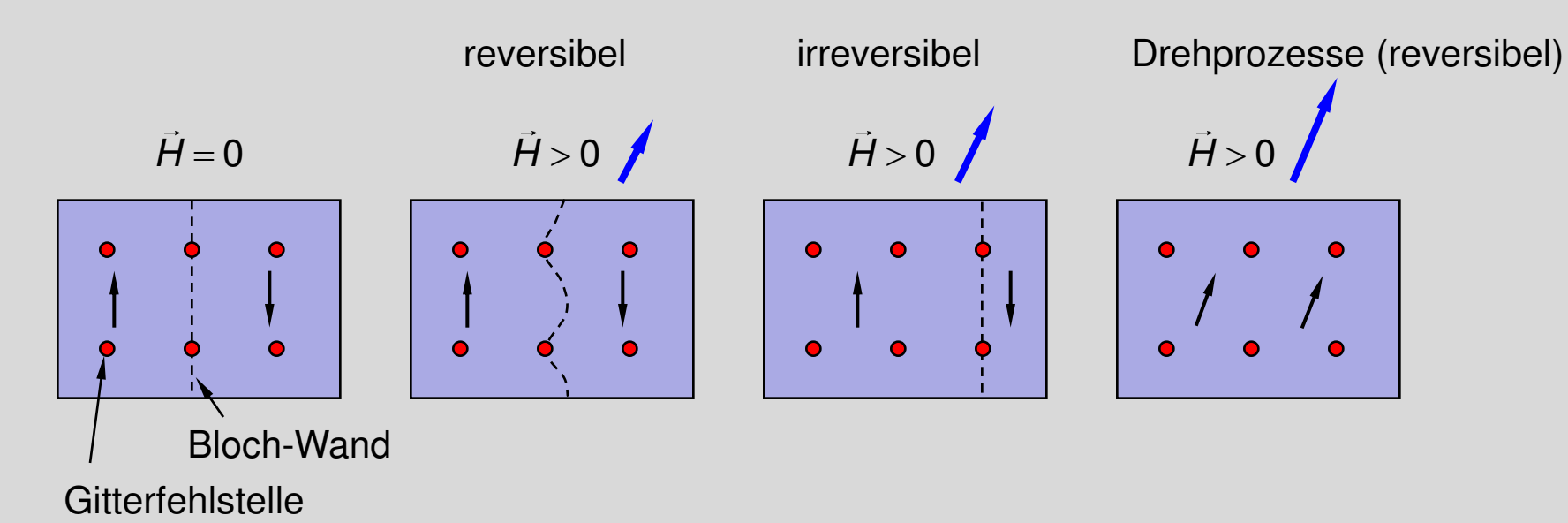




### 4.4 Magnetische Hysterese Domänenwachstum bei ansteigender magnetischer Feldstärke (2)



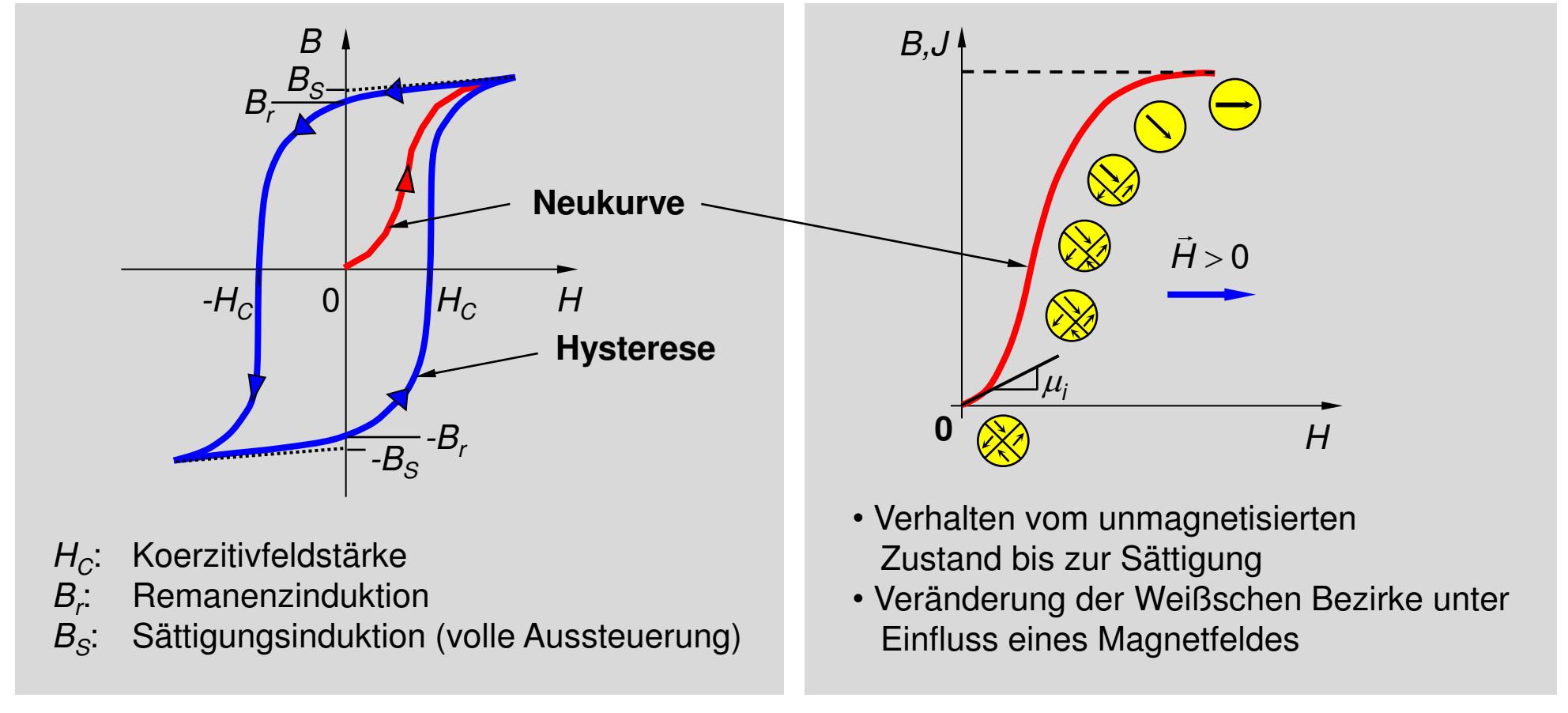
#### Reversible und irreversible Verschiebungen einer Bloch-Wand



Fehlstellen (Verunreinigungen, Leerstellen, Korngrenzen, Versetzungen, etc.) beeinflussen die magnetischen Eigenschaften eines Werkstoffs maßgeblich.

### 4.4 Magnetische Hysterese Magnetisierungskurven bei Ferro- und Ferrimagnetika (1)

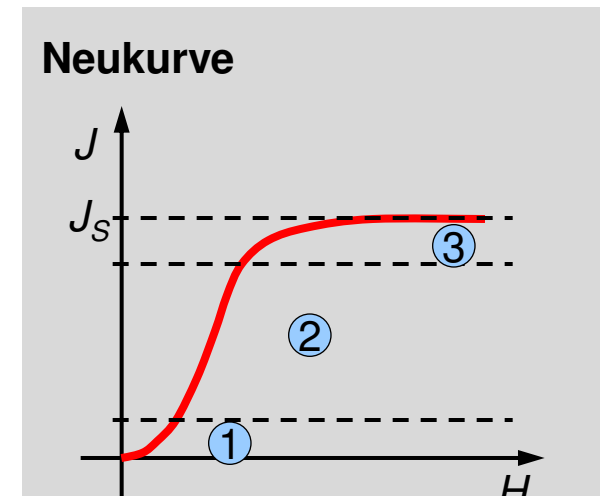




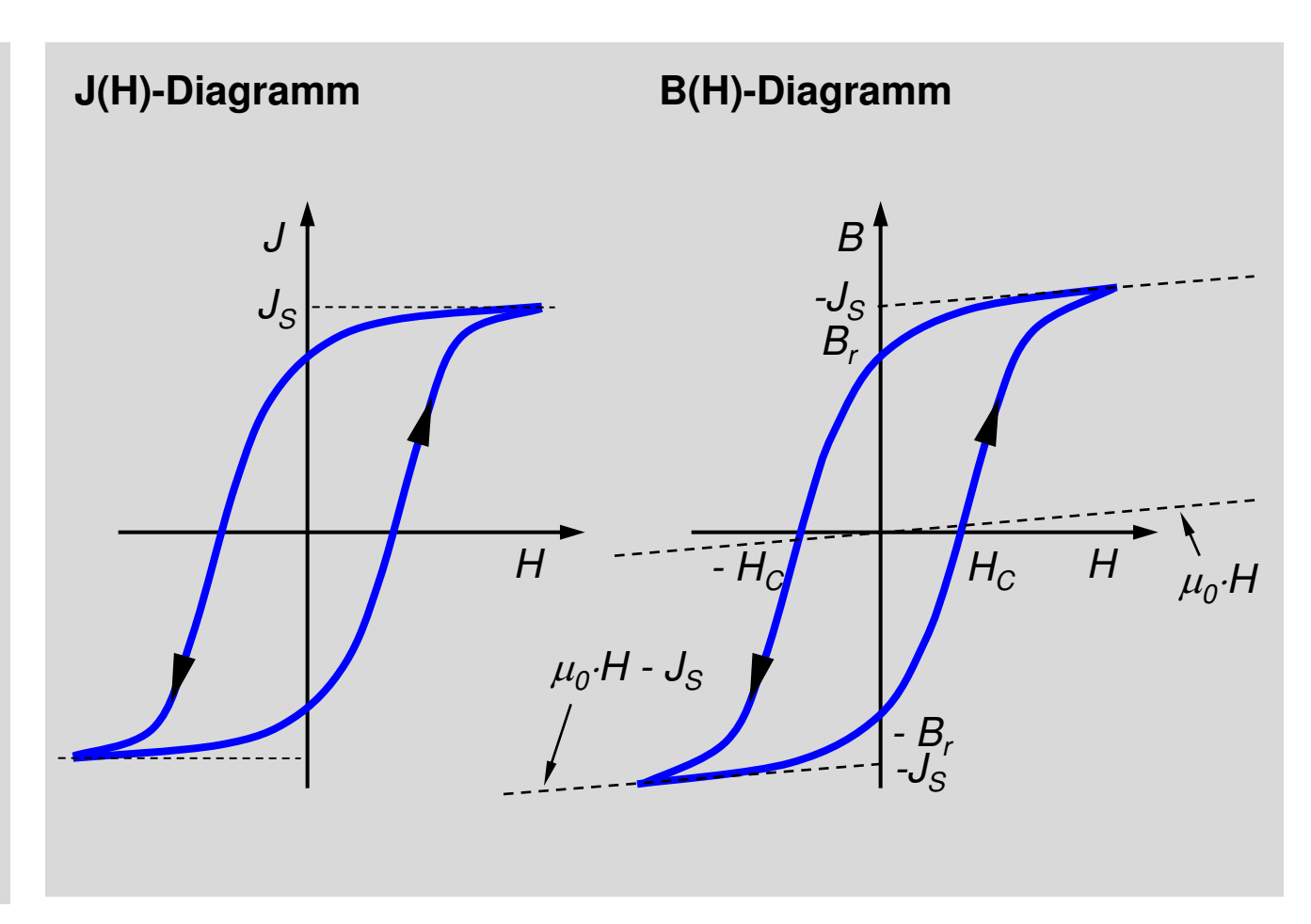
[Münch 1993 / Callister 1994]

### 4.4 Magnetische Hysterese Magnetisierungskurven bei Ferro- und Ferrimagnetika (2)



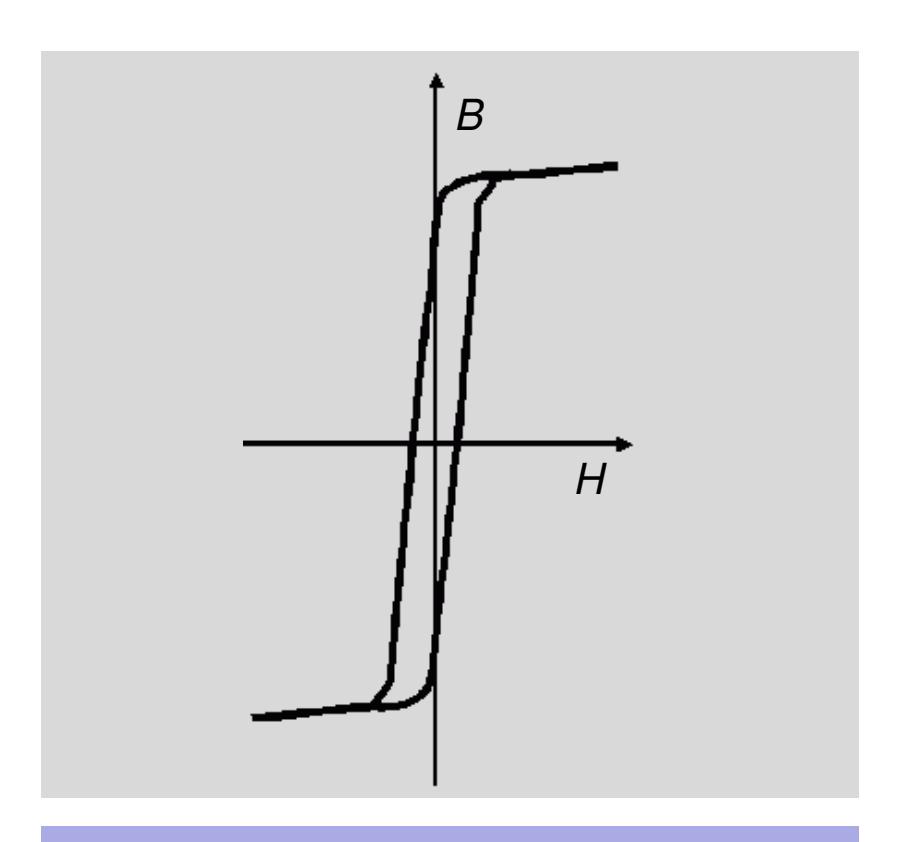


- 1 reversible Blochwandverschiebung
- irreversible Blochwandverschiebung
- 3 reversible Drehprozesse

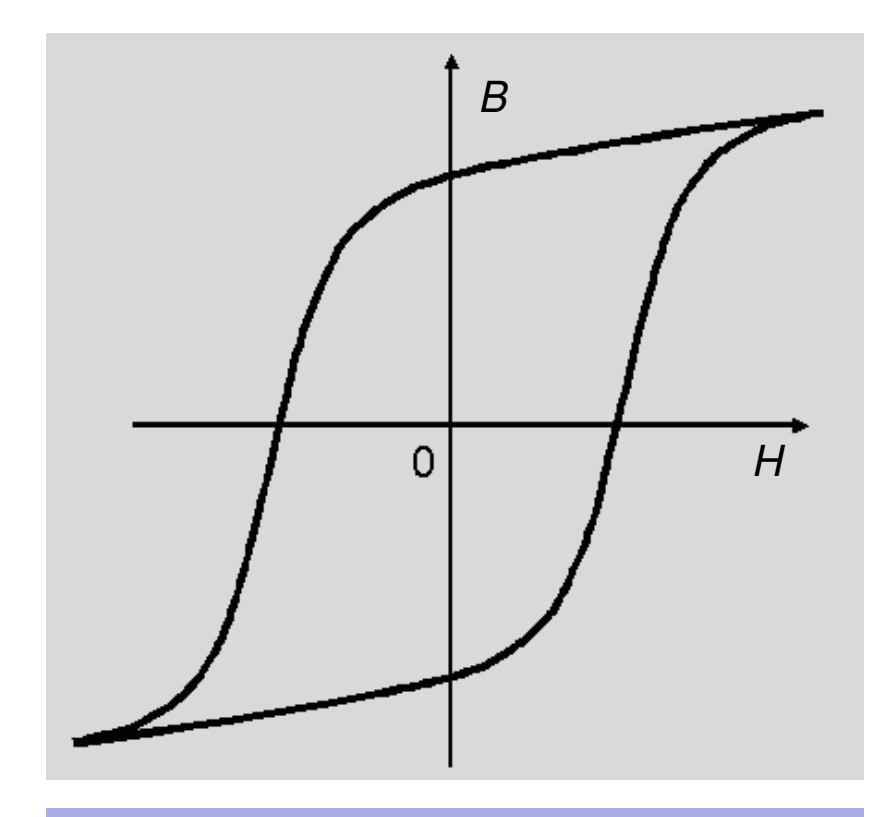


### 4.4 Magnetische Hysterese Weich- und hartmagnetische Werkstoffe (1)





weichmagnetischer Werkstoff mit kleiner Koerzitivfeldstärke  $H_C$  < 10 A/cm

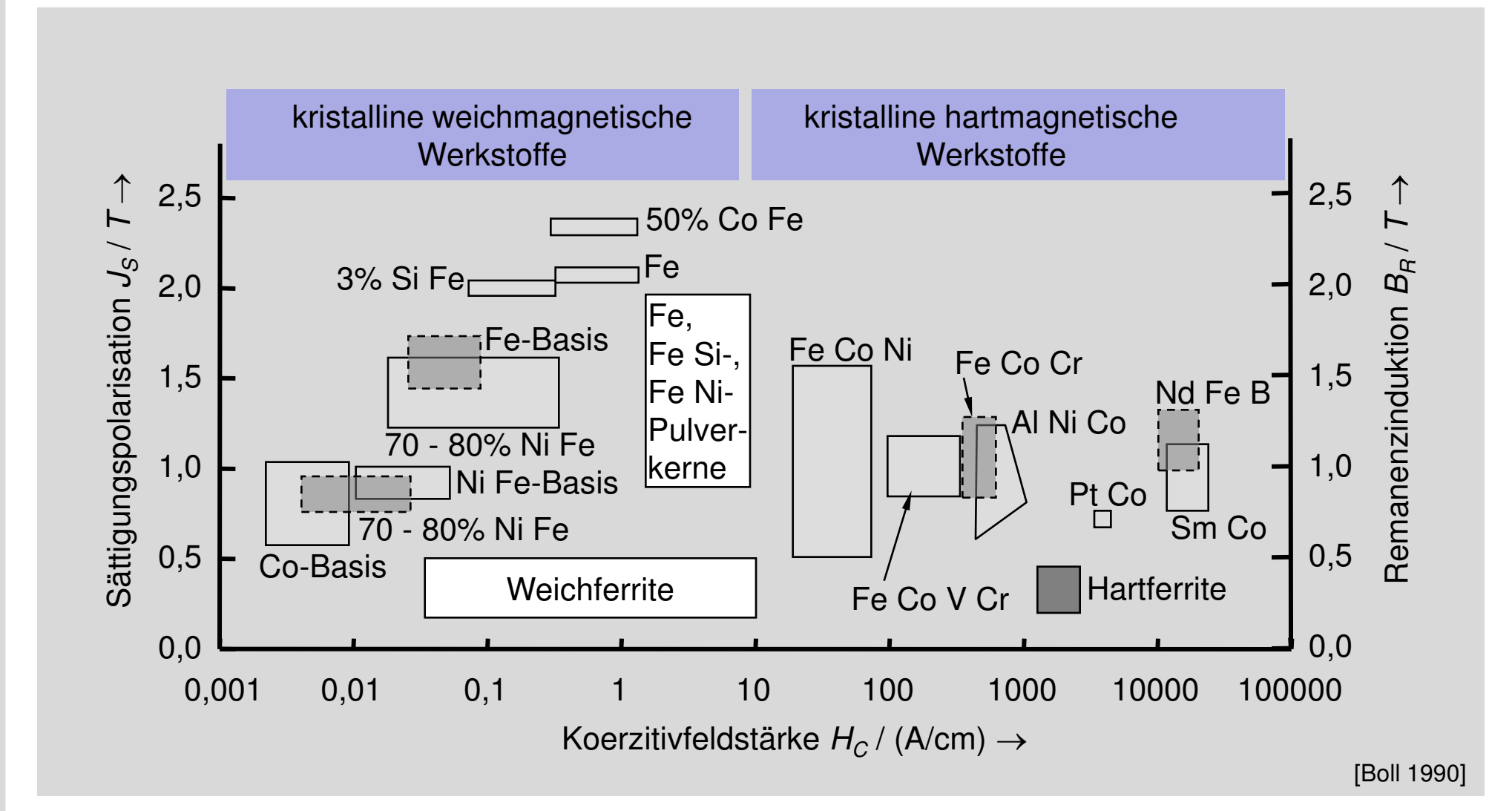


hartmagnetischer Werkstoff mit großer Koerzitivfeldstärke  $H_C > 100 \text{ A/cm}$ 



## 4.4 Magnetische Hysterese Weich- und hartmagnetische Werkstoffe (2)



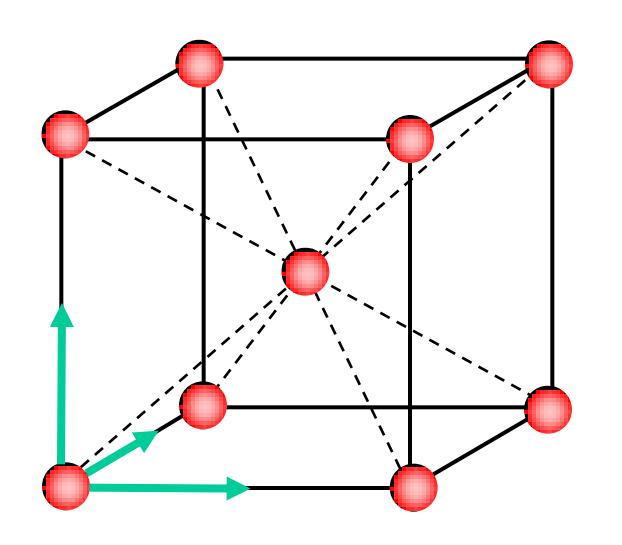


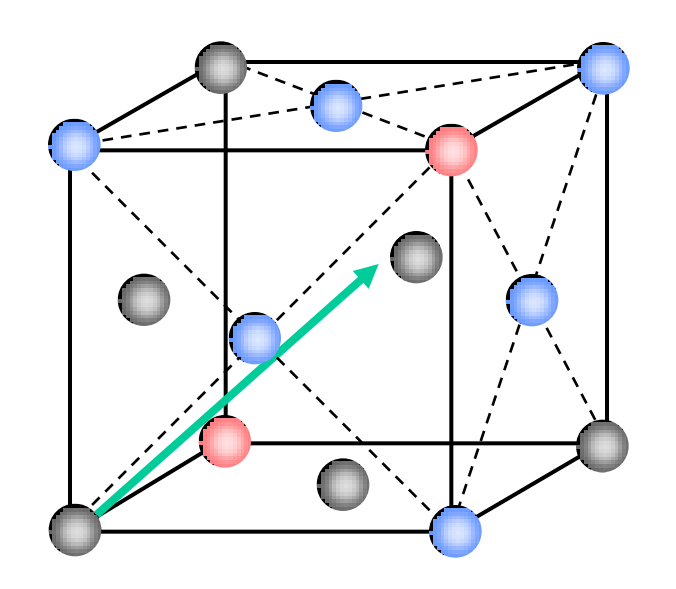


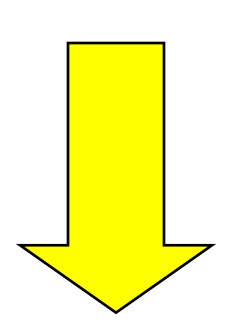
## 4.4 Magnetische Hysterese Weich- und hartmagnetische Werkstoffe (3)



Eisen (Fe)
kubisch raumzentriertes Gitter + Nickel (Ni)
kubisch flächenzentriertes Gitter + Permalloy
(80% Ni + 20% Fe)







Vorzugsmagnetisierungsrichtungen ———

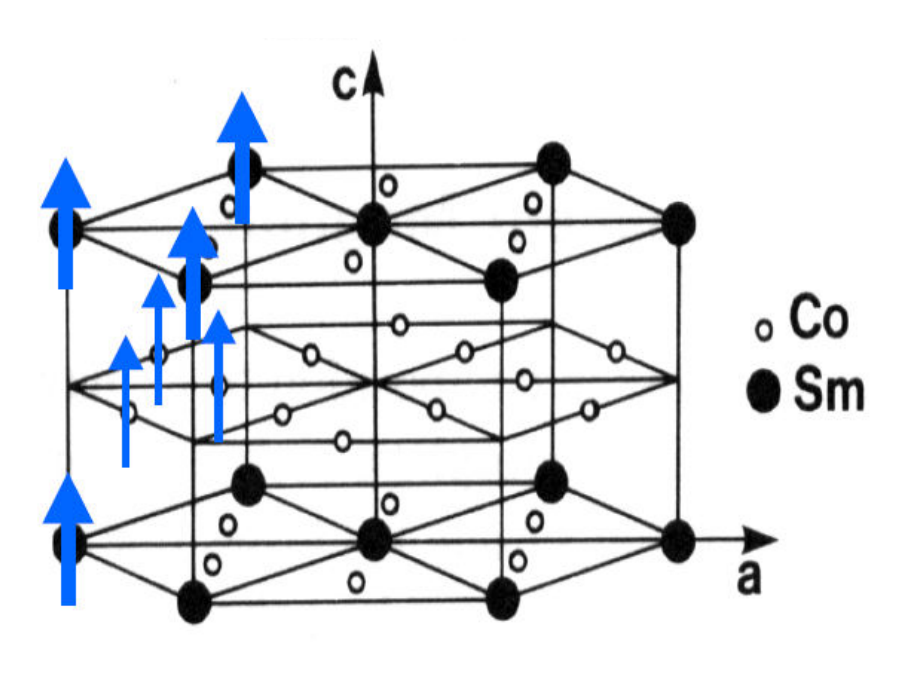
entlang der Würfelkante entlang der Diagonalen

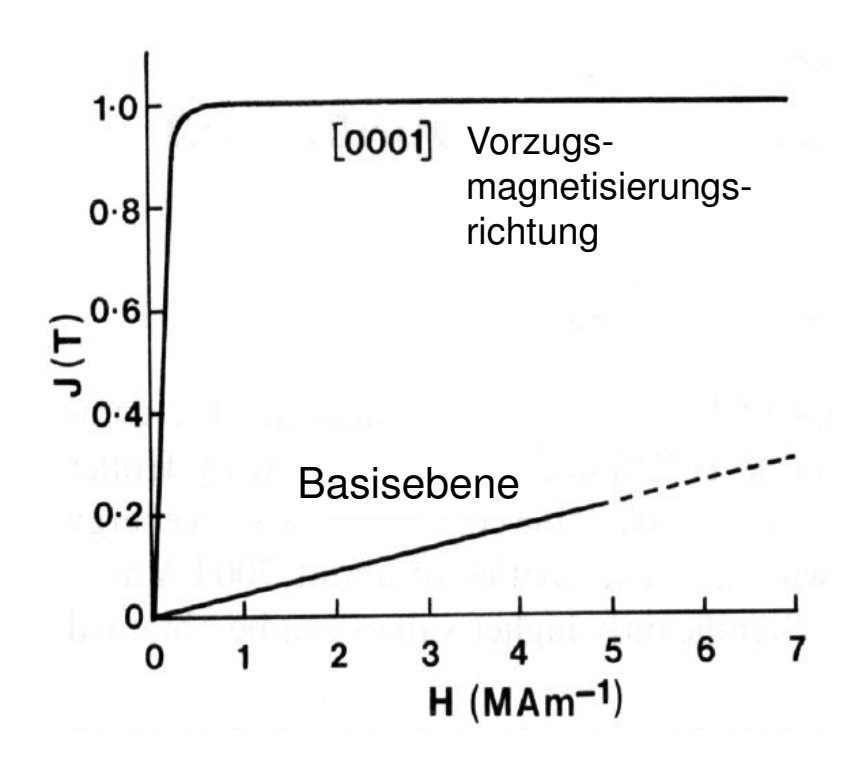
keine Vorzugsmagnetisierungsrichtung

### 4.4 Magnetische Hysterese Weich- und hartmagnetische Werkstoffe (3)



SmCo₅ hexagonales Gitter

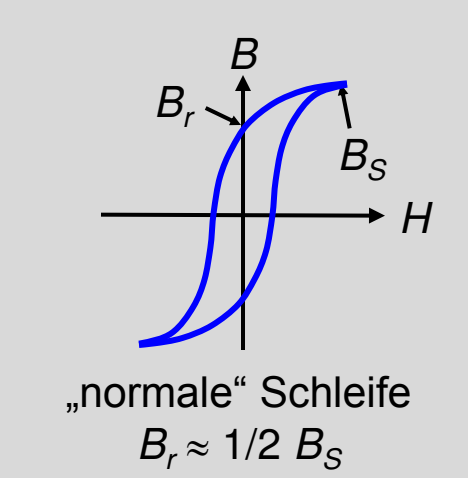


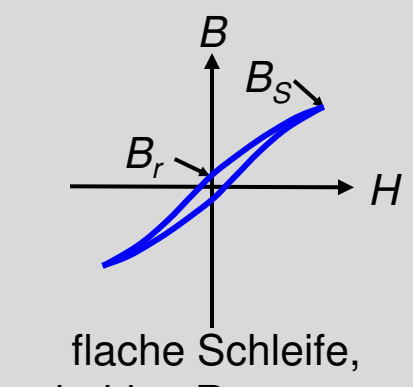


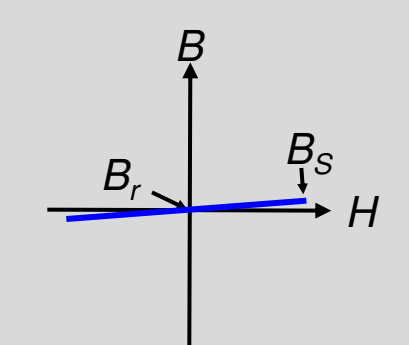
eine Vorzugsmagnetisierungsrichtung in Richtung der c-Achse

### 4.4 Magnetische Hysterese Typisierung technischer Hystereseschleifen

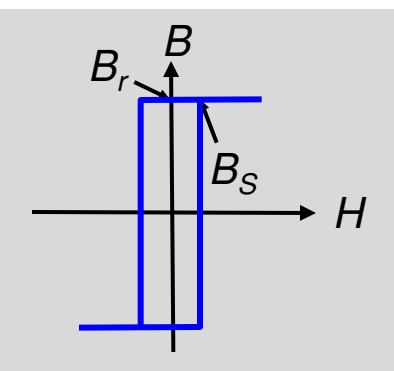




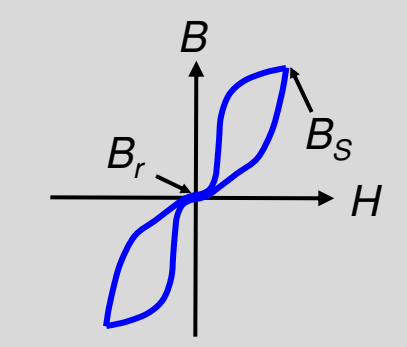




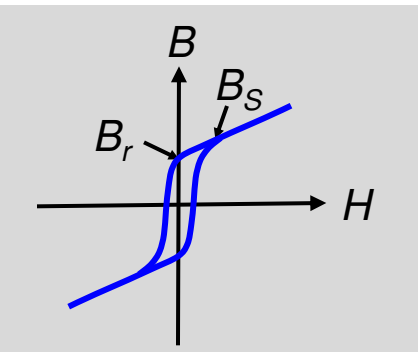
flache Schleife, niedrige Remanenz hoher Induktionshub lineare, extrem flache Schleife, typisch für Pulververbundwerkstoffe







Perminvar-Schleife, in der Mitte eingeschnürt, zweigeteilte Hysterese



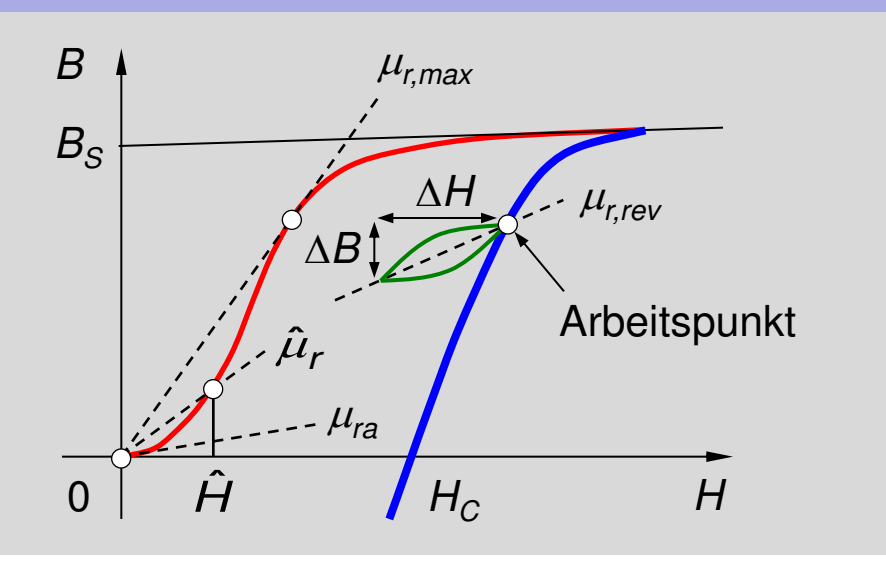
nichtlineare Schleife, typisch für Kerne aus zwei Werkstoffen

[Boll 1990]

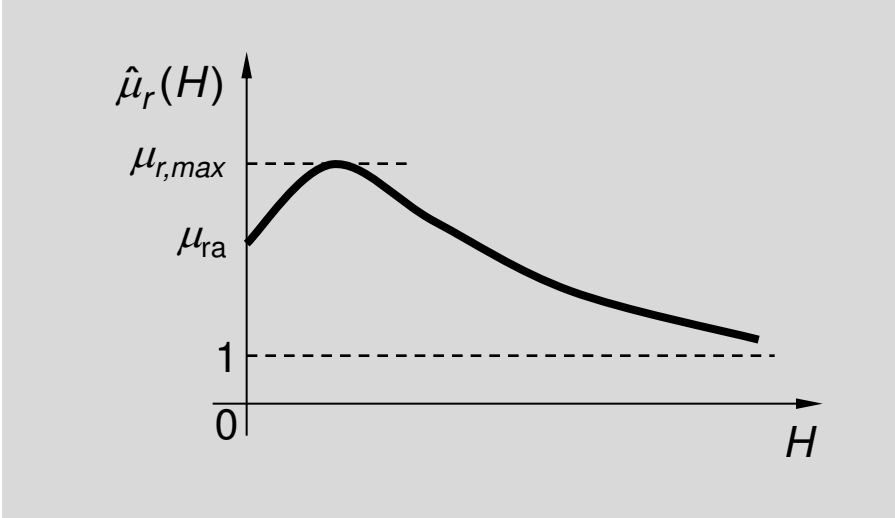
### 4.4 Magnetische Hysterese Technische Permeabilitätszahlen (1)



#### Permeabilitätszahl aus der Neukurve



### Feldstärkeabhängigkeit von $\hat{\mu}_r$



#### Reversible Permeabilitätszahl

$$\mu_{r,rev} = \frac{1}{\mu_0} \cdot \left(\frac{\Delta B}{\Delta H}\right)_{AP}$$

### Anfangs-Permeabilität

$$\mu_{ra} = \frac{1}{\mu_0} \cdot \left(\frac{dB}{dH}\right)_{H=0}$$

#### relative Amplitudenpermeabilität

$$\hat{\mu}_r = \frac{1}{\mu_0} \cdot \left(\frac{B}{H}\right)_{H=\hat{H}}$$

### 4.4 Magnetische Hysterese Technische Permeabilitätszahlen (2)

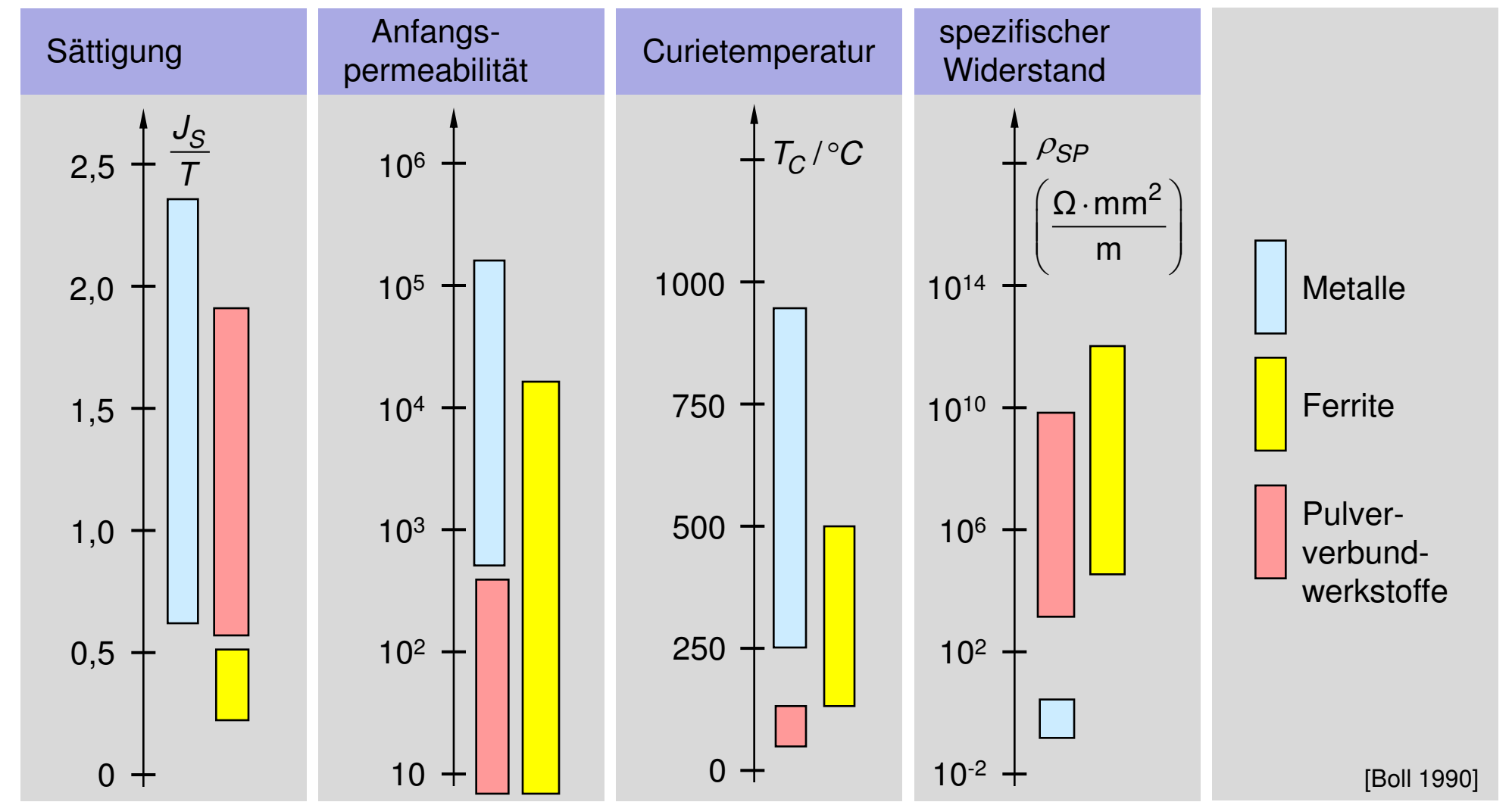


### **Typische ferro-/ferrimagnetische Werkstoffe**

Werkstoff	Zusammensetzung in Gew.% (Rest Fe)	B <sub>r</sub> [T]	H <sub>C</sub> [A/m]	$\mu_{ra}$	$\hat{\mu}_{r,max}$
Dynamoblech Trafoblech Permalloy Mumetall	2Si 4Si 78Ni, 3Mo 76Ni, 5Cu, 2Cr	0,6 0,4	60 40 1 2	500 300 10 <sup>4</sup> 3·10 <sup>4</sup>	6000 7000 8·10 <sup>4</sup> 10 <sup>5</sup>

### 4.4 Magnetische Hysterese Übersicht ferro- und ferrimagnetischer Werkstoffklassen

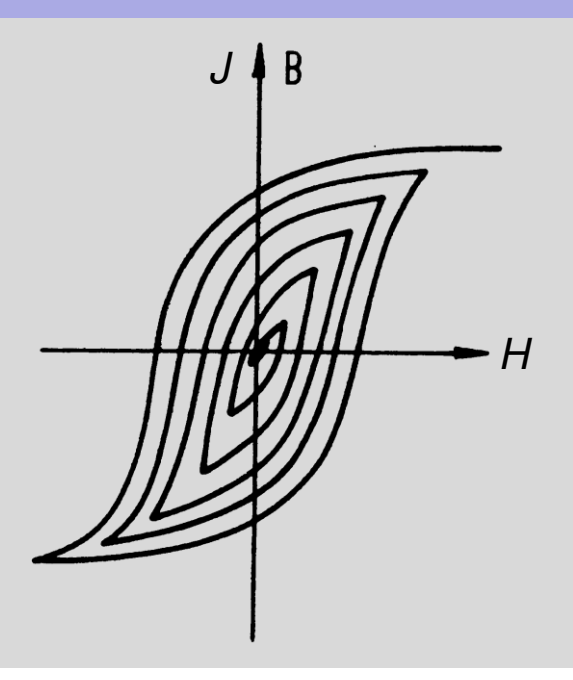




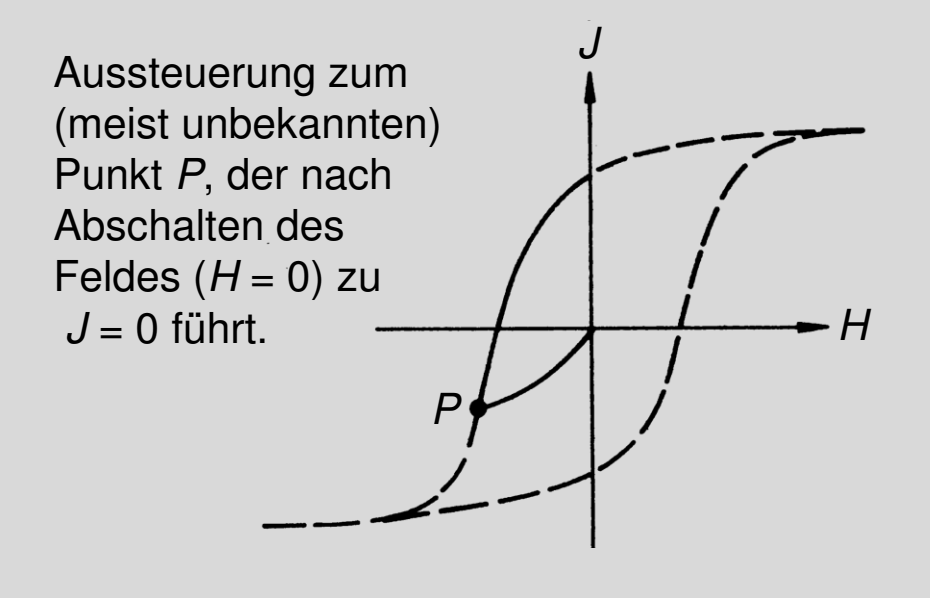
### 4.4 Magnetische Hysterese Abmagnetisierung der Werkstoffe



### Wechselfeld-Abmagnetisierung



### **Scheinbare Abmagnetisierung**



#### **Temperaturbehandlung**

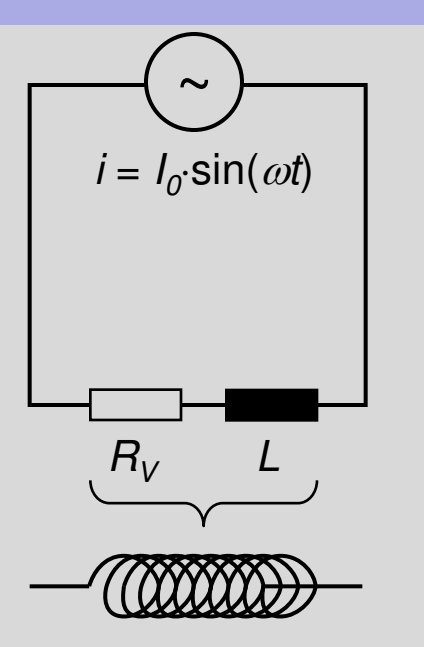
Wiederherstellung des unmagnetisierten Zustands durch Erwärmen des Werkstoffs über  $T_C$ 

[Arlt 1989]

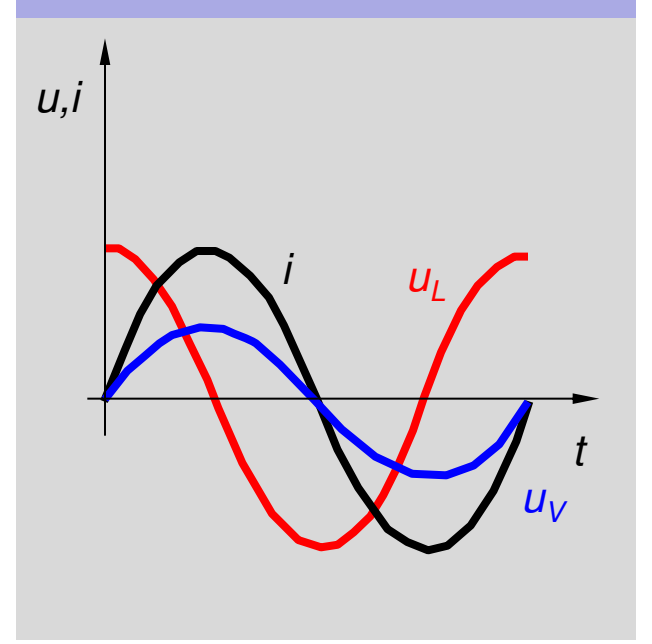
## 4.5 Verhalten von Magnetika im Wechselfeld Verlustfaktor und komplexe Permeabilitätszahl



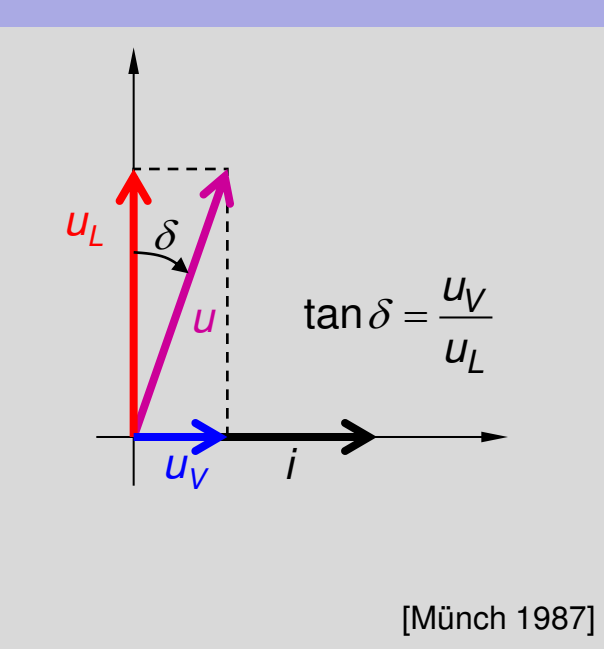
## Spule mit eingeprägtem Wechselstrom



### Strom- und Spannungsverlauf



## Zeigerdiagramm und Verlustfaktor



Induktivität (lange Spule):

$$L\approx \mu_0\cdot\mu_r\cdot\frac{n^2\cdot A}{I}$$

komplexe Permeabilitätszahl:

$$\mu_r^* = \mu_r' - j \cdot \mu_r''$$

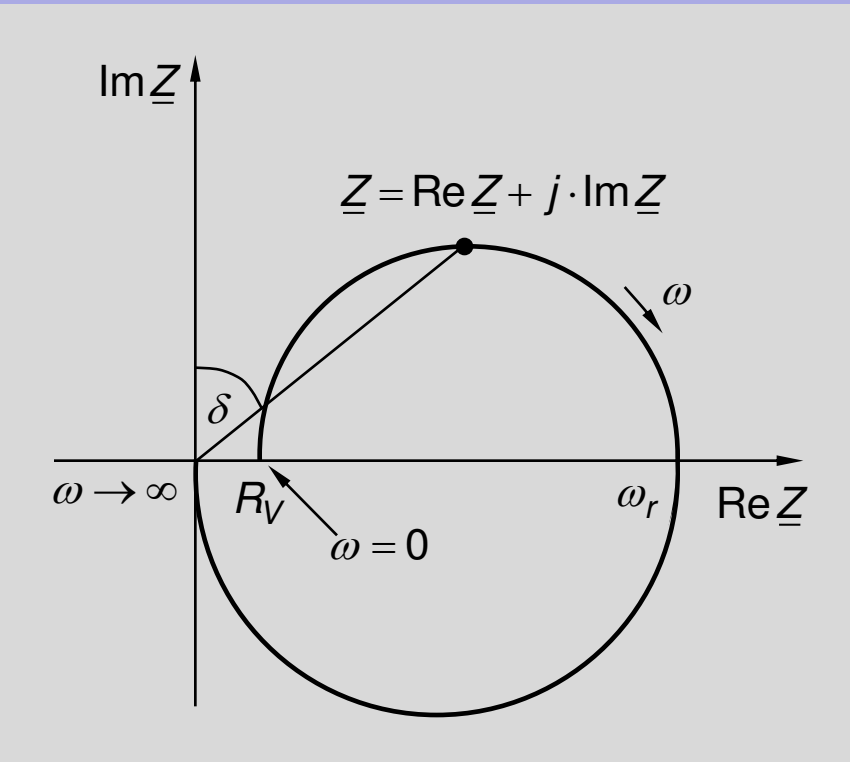
Verlustfaktor:

$$\tan \delta = \frac{\mu_r''}{\mu_r'}$$

## 4.5 Verhalten von Magnetika im Wechselfeld Ortskurve und Ersatzschaltbild einer realen Spule



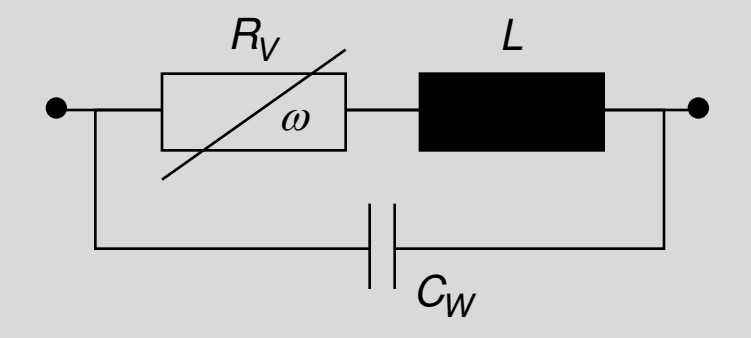
### Ortskurve einer realen Spule



 $R_V$ : Leitungs-, Hysterese-, Wirbelstromverluste

 $C_W$ : Wicklungskapazität

### Ersatzschaltbild einer realen Spule



kleine Kapazität  $C_W$  (technischer Fall)

Verlustfaktor

$$\tan \delta = \frac{\operatorname{Re} \underline{Z}}{\operatorname{Im} \underline{Z}} = \frac{R_V(\omega)}{\omega \cdot L}$$

Güte

$$Q = \frac{1}{\tan \delta}$$

Näherung für kleine Verluste

$$\tan \delta \approx \delta = \frac{1}{Q} \left( R_V \ll \omega L \right)$$

## 4.5 Verhalten von Magnetika im Wechselfeld Verluste durch Hysterese (Ummagnetisierung)



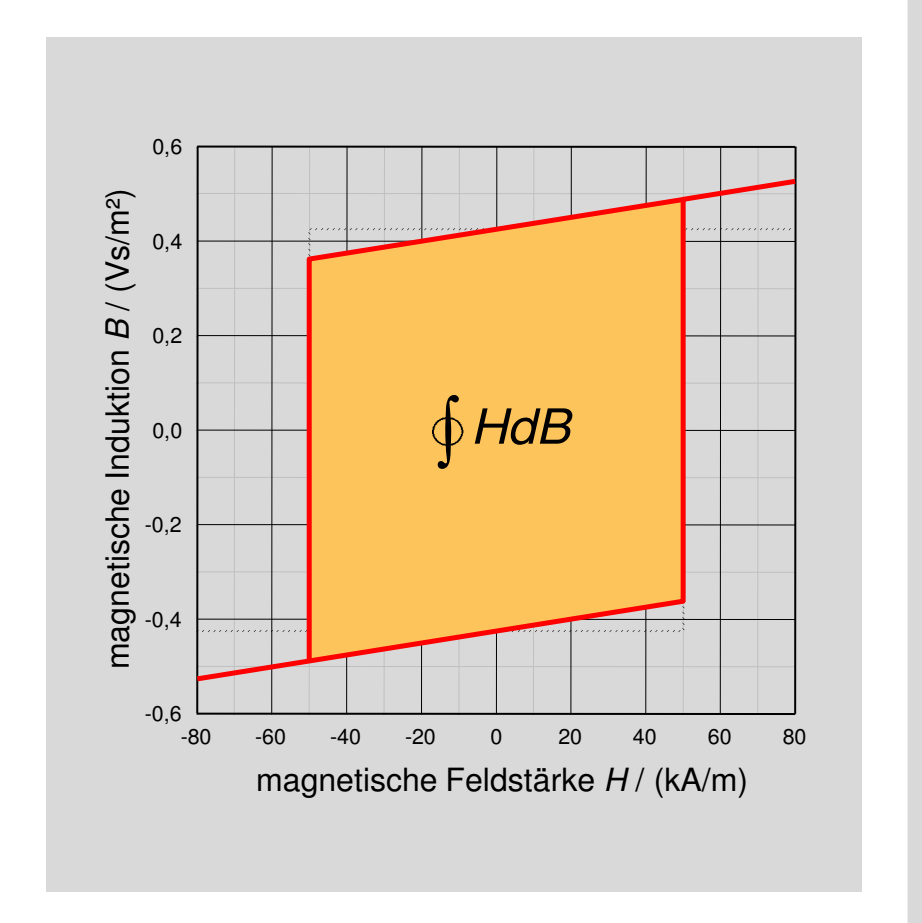
Bei der Ummagnetisierung ferro-/ferrimagnetischer Werkstoffe entstehen spezifische Wärmeverluste  $w_H$  [J/m³], welche dem Umlaufintegral auf der B(H)-Kennlinie entsprechen (eingeschlossene Fläche).

Energiedichte des Verlusts:  $w_H = \oint H dB$ 

Bei Wechselstromerregung führt dies zu einem Verlust, der sog. Hystereseverlustleistung  $P_H$ .

$$P_H = V \cdot f \cdot \oint HdB$$

Mit  $\mu_0 \cdot H \ll J$  folgt:  $P_H \approx V \cdot f \cdot \oint H dJ$ 



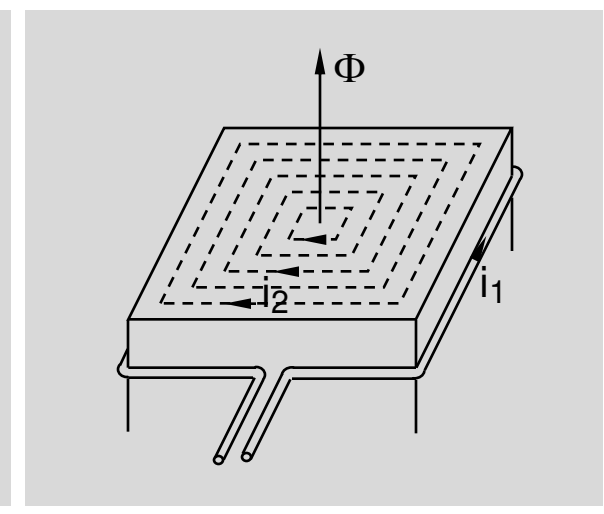
## 4.5 Verhalten von Magnetika im Wechselfeld Verluste durch Wirbelströme



#### Eisenkern im Wechselmagnetfeld

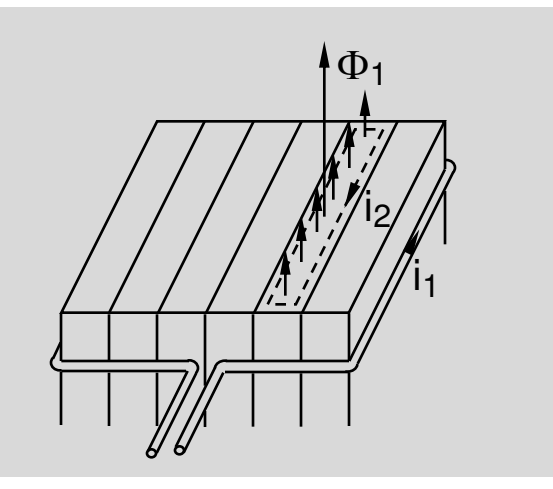
Befindet sich ein elektrischer Leiter in einem Wechselmagnetfeld, z.B. in einer Spule oder einem Transformator, so werden in ihm sog. Wirbelströme induziert (gemäß Lenzscher Regel). Diese führen zu Erwärmung und damit zu Verlusten.

**⇒** Wirbelstromverluste



#### Abhilfe in der Technik

Kern schichten aus dünnen, voneinander isolierten Eisenblechen. Zusätzlich Erhöhen des spezifischen Widerstands des Eisens durch Hinzulegieren von Silizium.



# 4.6 Bauelemente und Anwendungen Einsatzgebiete magnetischer Werkstoffe

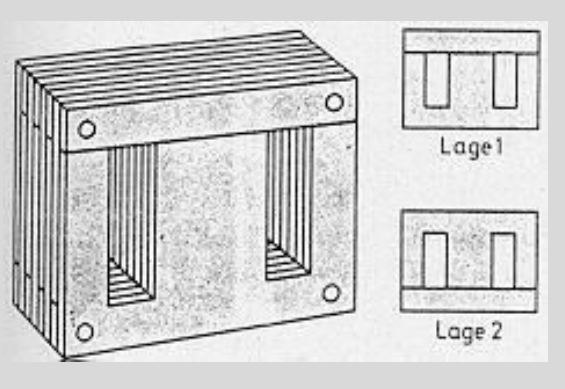


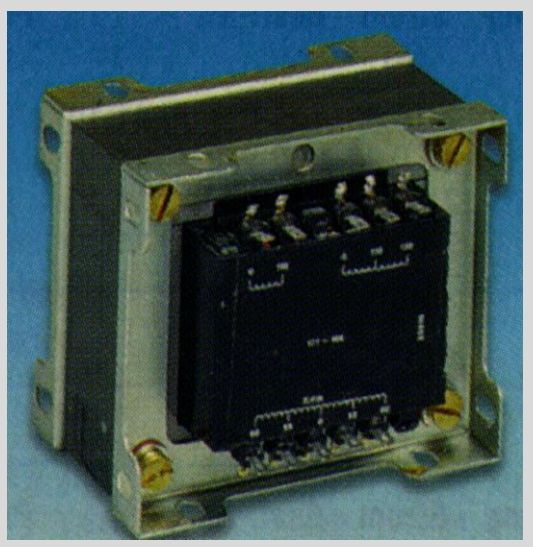
Anwendungen	Anforderungen	Werkstoffe
Transformatoren Motoren Generatoren	hohe Sättigungsmagnetisierung $J_s$ geringe Koerzitivfeldstärke $H_C$ geringe Leitfähigkeit	Fe + 0,74 Si Fe + 3550 Co
NF-Übertrager	Linearität der <i>B</i> ( <i>H</i> )-Kennlinie geringe Leitfähigkeit	Fe + 36 Ni ca. 20 Fe + 40 Ni ca. 20 Fe + 40 Co
HF-Übertrager	Linearität der <i>B(H</i> )-Kennlinie sehr geringe Leitfähigkeit	Ni-Zn-Ferrite
Abschirmungen	sehr hohe Anfangspermeabilität $\mu_{\it ra}$	Fe + 7679 Ni ( + Cu, Cr, Mo)
Digitale Informationsspeicher	rechteckige $B(H)$ -Kennlinie $(J_s \approx B_r)$	Fe + 50 Ni, Mg-Zn-Ferrite Granatschichten
Dauermagnete	Produkt  B·H  möglichst groß	50Fe+24Co+14Ni+9Al+3Cu BaO·6Fe <sub>2</sub> O <sub>3</sub> , Sm <sub>2</sub> Co <sub>17</sub> , NdFeB

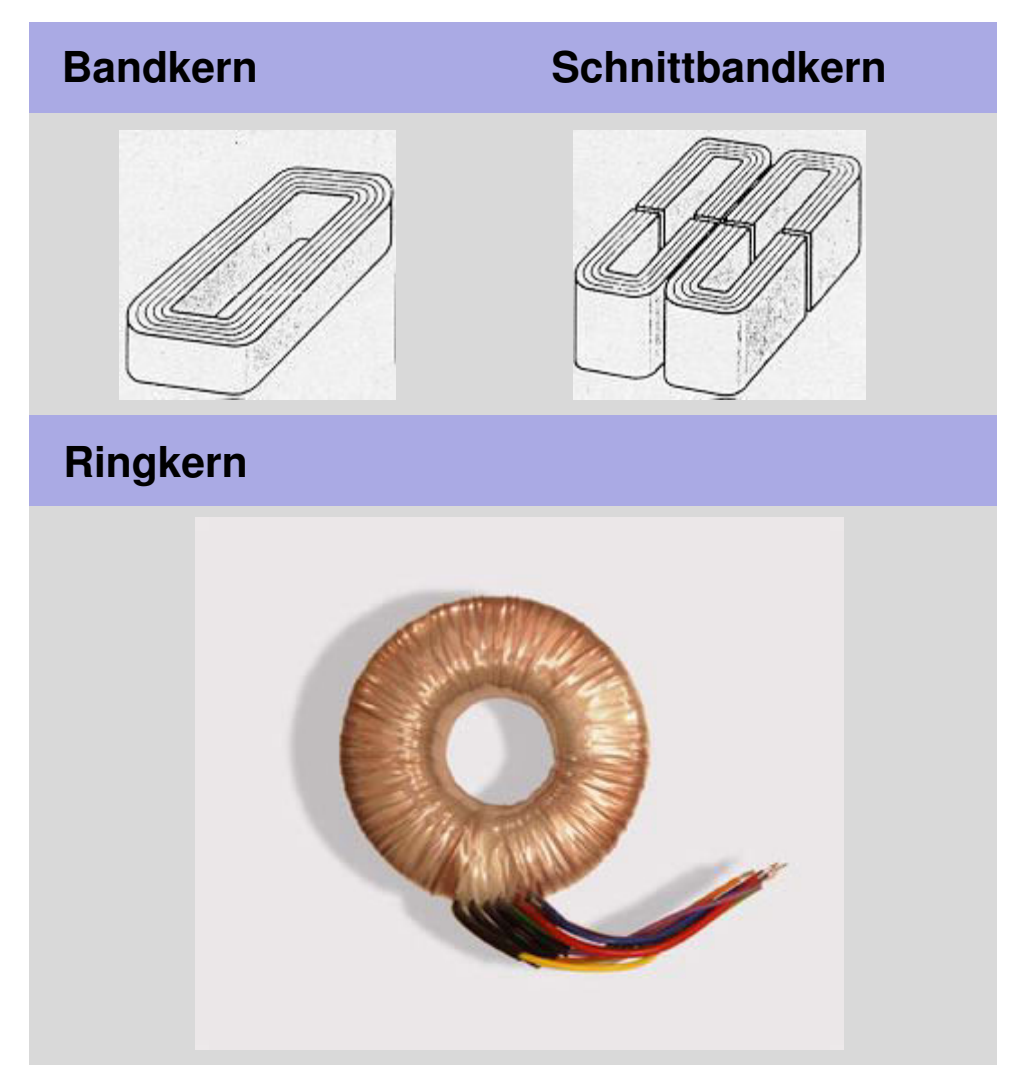
# 4.6 Bauelemente und Anwendungen Transformatoren, Übertrager



### **Geschichteter Eisenkern**



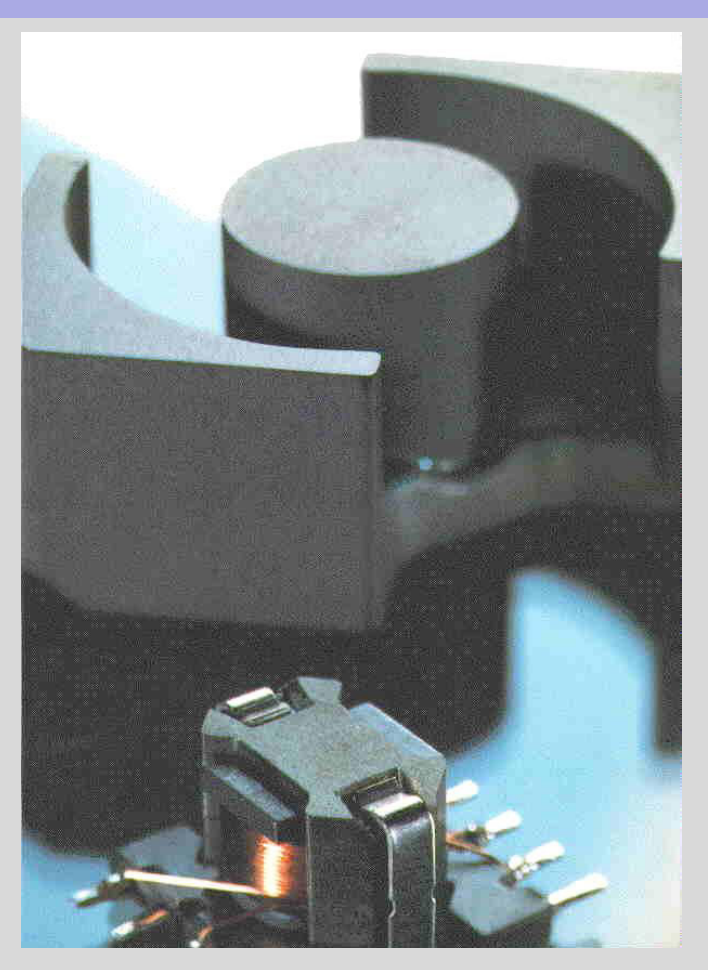




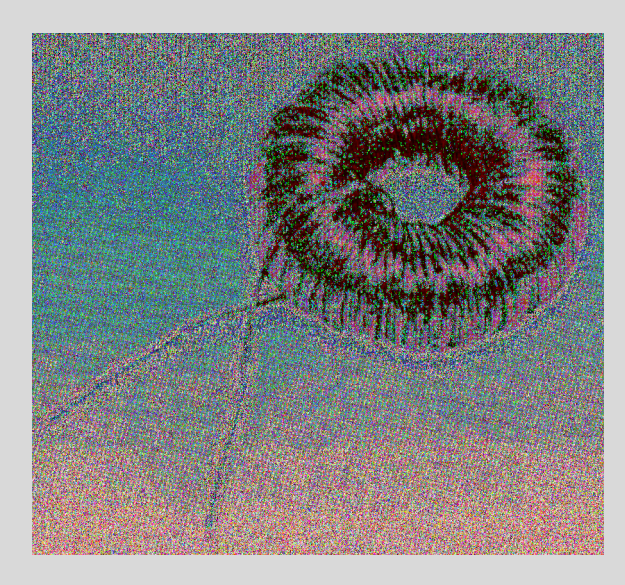
# 4.6 Bauelemente und Anwendungen Übertrager, Drosselspulen



### Schalenkern für Übertrager



### **Drosseln mit Ferritkern**

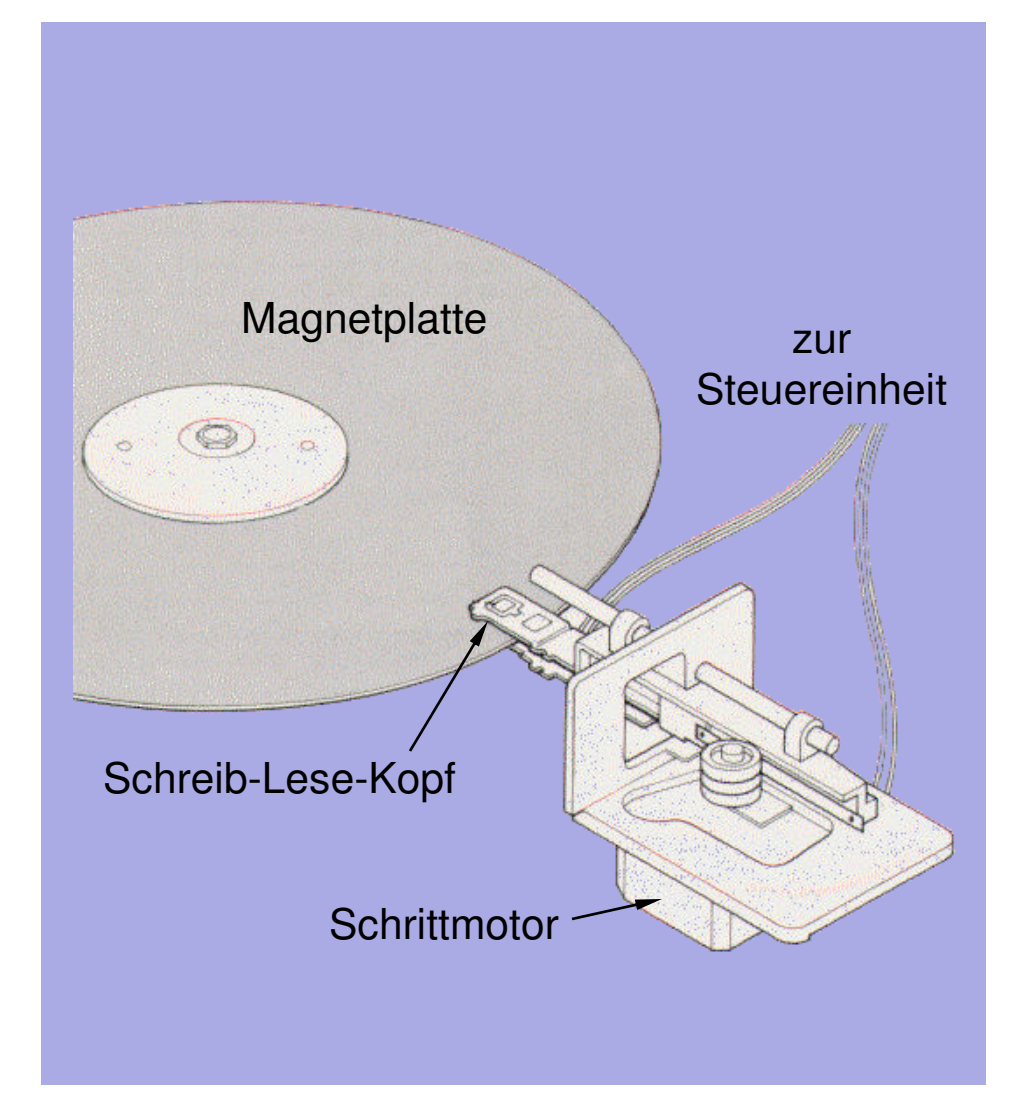


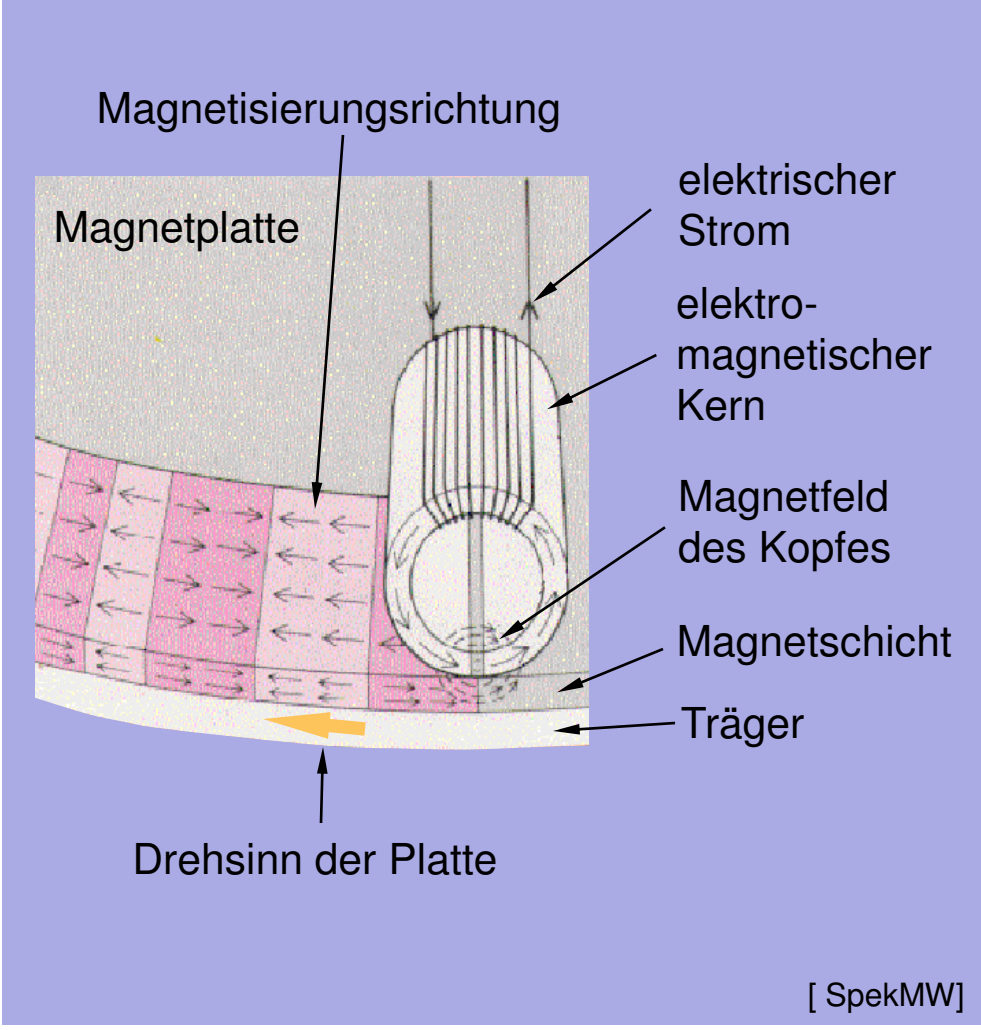




## 4.6 Bauelemente und Anwendungen Magnetplatte als Speichermedium: horizontale Polarisation

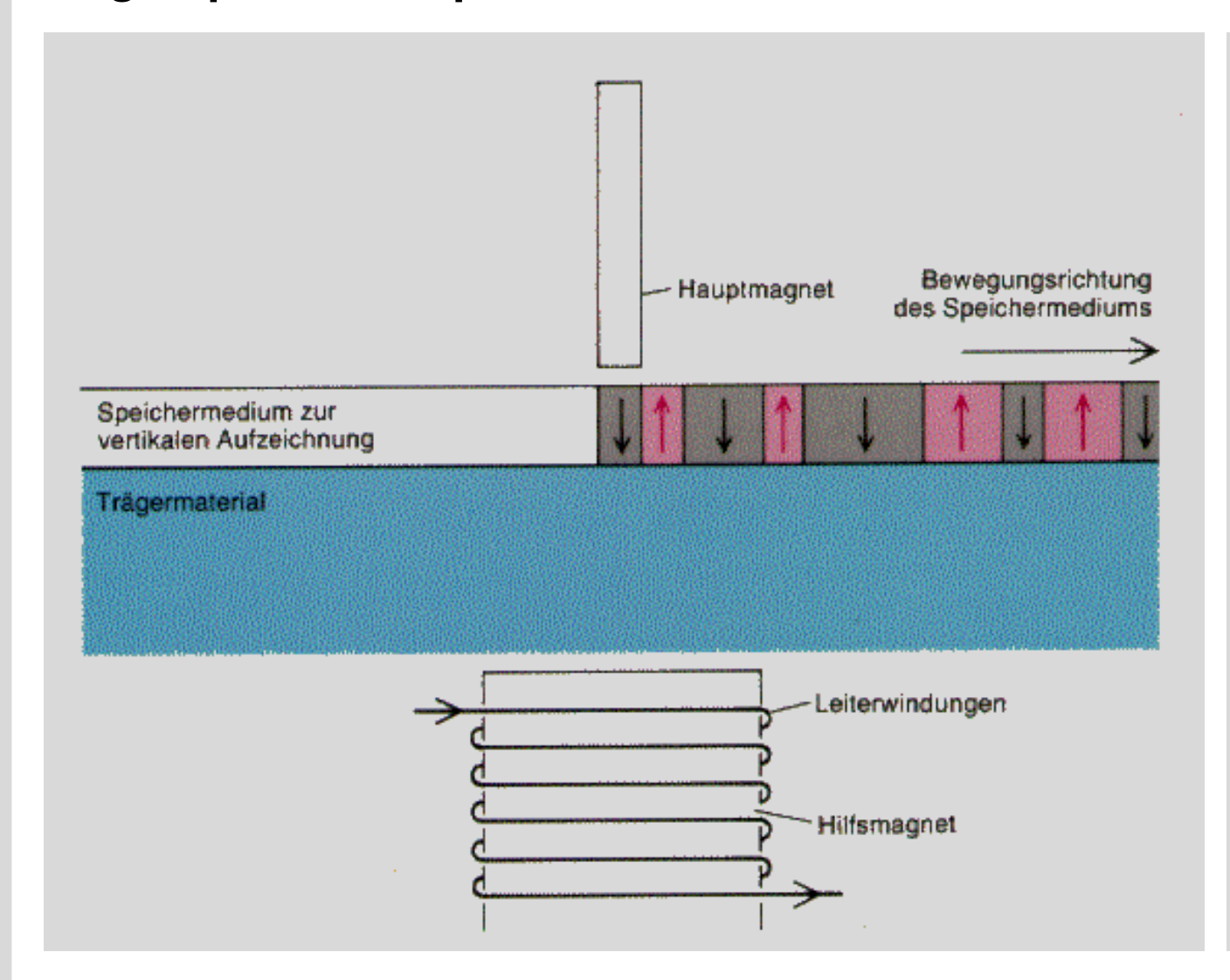






## 4.6 Bauelemente und Anwendungen Magnetplatte als Speichermedium: vertikale Polarisation



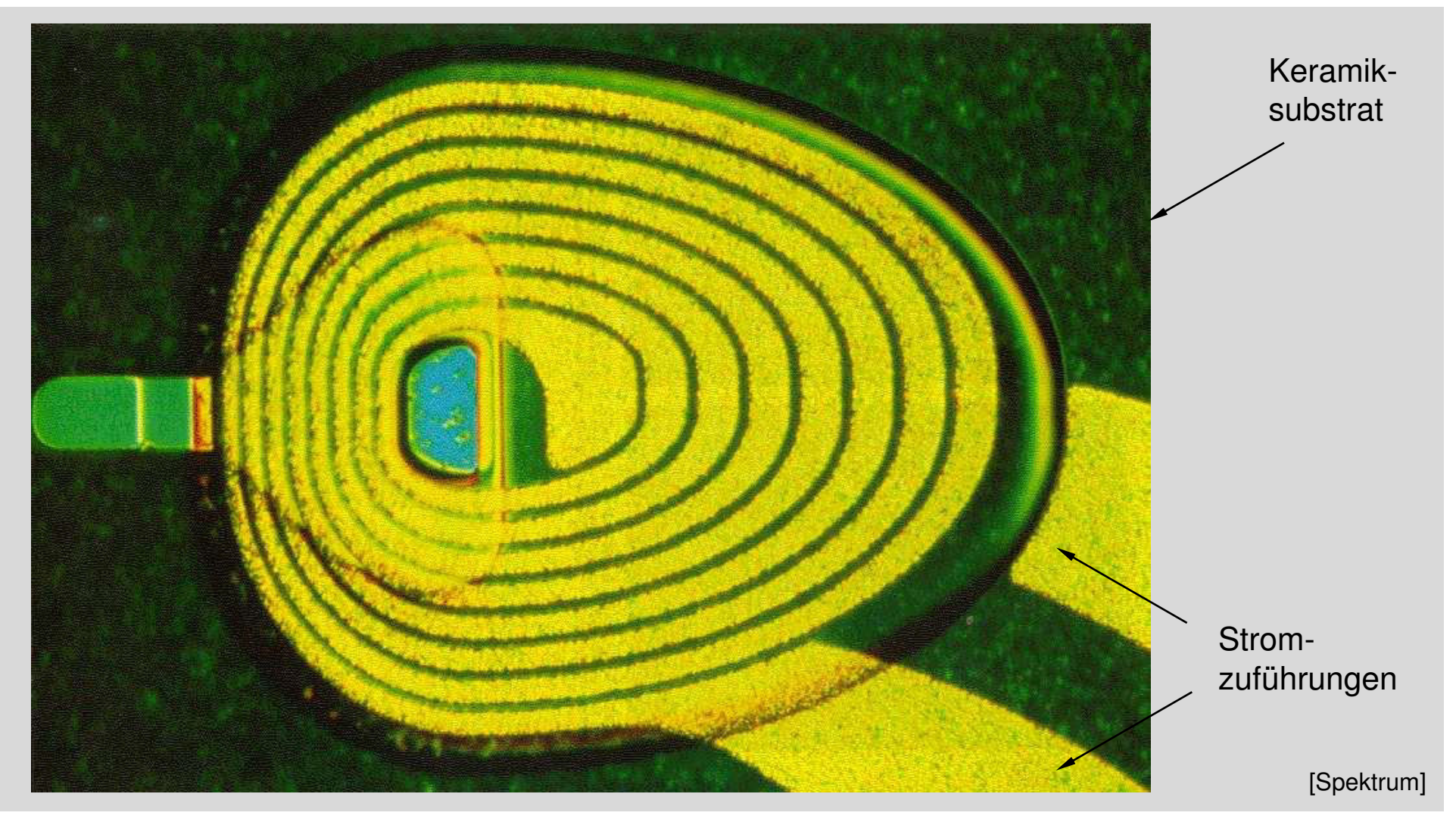


Maximale Speicherdichte wird erhöht durch vertikale Polarisation.

[Spektrum]

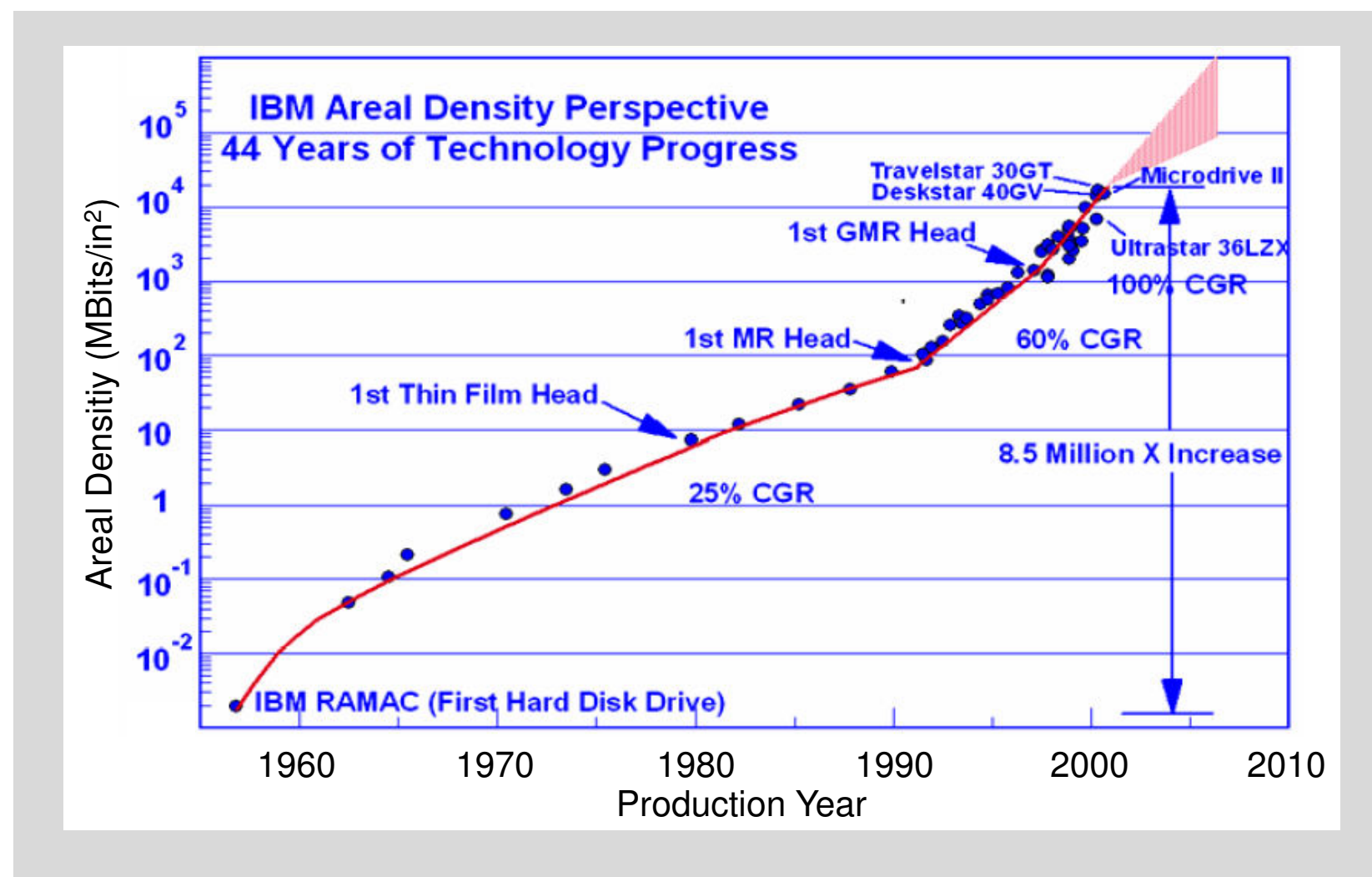
### 4.6 Bauelemente und Anwendungen Schreib/Lese-Kopf für Magnetplatten in Dünnschichttechnik



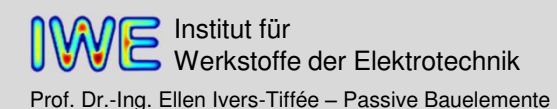


## 4.6 Bauelemente und Anwendungen Technologieentwicklung von Magnetspeicherplatten





[IBM]



## 4.6 Bauelemente und Anwendungen Permanentmagnete



### Anforderungen an Dauermagneten

#### Remanenz $B_r$

- Koerzitivfeldstärke <sub>B</sub>H<sub>C</sub> und <sub>J</sub>H<sub>C</sub>
- Form der Entmagnetisierungskurve
- Güteprodukt bzw. Energiedichte (BH)<sub>max</sub>
- TK von  $B_r$  bzw.  $H_C$

Entmagnetisierungskurven von 2 Werkstoffen mit Arbeitspunkten gleichen maximalen Güteprodukts (Energiedichte)

